

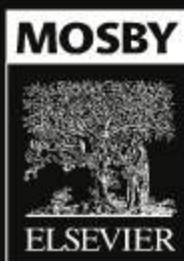
ATLAS DE ANATOMIA HUMANA EM IMAGEM

JAMIE WEIR · PETER H ABRAHAMS · JONATHAN D SPRATT · LONIE R SALKOWSKI

De acordo com a
**Terminologia
Anatômica
Internacional**
• SBA •



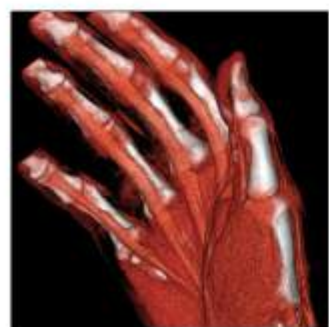
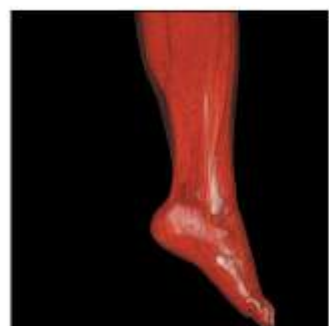
APOSTILASMEDICINA@HOTMAIL.COM
http://lista.mercadolivre.com.br/_CustId_161477952



+ de 120Gb de Livros de Medicina em PDF. Video-Aulas de Cursos preparatórios em Residência Médica. Video-Aulas do extensivo MEDCEL 2012 e MEDCURSO. Video-Aulas ATUALIZAÇÕES MEDCEL 2013. Video-Cursos da FM-USP 2013/2014. MedCurso 2013 Completo 70 apostilas em PDF. Apostilas M.E.D. 2012 COMPLETO 58 apostilas PDF. M.E.D 2014 41/58 Apostilas LANÇADAS ATÉ O MOMENTO pelo MEDGRUPO. MedEletro ECG 2014 (Lançamento desse ano) COMPLETO 3 Apostilas em PDF. INTENSIVÃO 2013 completo em PDF. MedCurso 2014 VEM AÍ... Aguardem...

AVISO LEGAL

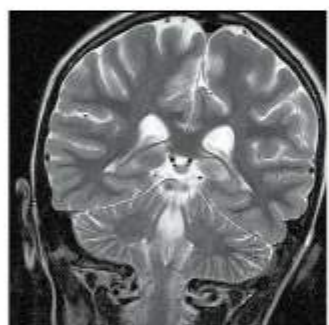
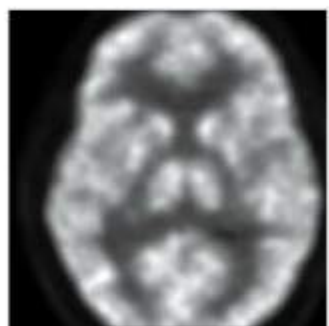
Caso esta Obra na versão impressa possua quaisquer materiais complementares, tais como: CDs e/ou DVDs ou recursos on-line, estes serão disponibilizados na versão adquirida a partir da Biblioteca Digital através do ícone "Recursos Extras" dentro da própria Biblioteca Digital.



ATLAS DE
**ANATOMIA
HUMANA
EM IMAGEM**

QUARTA
EDIÇÃO

(página deixada intencionalmente em branco)



ATLAS DE ANATOMIA HUMANA EM IMAGEM

QUARTA
EDIÇÃO

Jamie Weir MBBS, DMRD, FRCP(Ed), FRANZCR(Hon), FRCR

Emeritus Professor of Radiology
University of Aberdeen
Aberdeen, UK

Peter H Abrahams MBBS, FRCS(Ed), FRCR, DO(Hon)

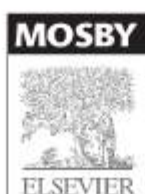
Professor of Clinical Anatomy, Warwick Medical School, UK
Professor of Clinical Anatomy, St George's University, Grenada, West Indies
Extraordinary Professor, Department of Anatomy, University of Pretoria, South Africa
Fellow, Girton College, Cambridge, UK
Examiner, MRCS, Royal College of Surgeons, UK
Family Practitioner, Brent, London, UK

Jonathan D Spratt MBBChir, MA(Cantab), FRCS(Eng), FRCS(Glasg), FRCR

Chief Radiologist, County Durham and Darlington NHS Foundation Trust
Examiner in Anatomy, Royal College of Radiologists, UK
Examiner, MRCS, Royal College of Surgeons, UK
Fellow in Anatomical Radiology, Northumbria University, UK
Visiting Professor of Anatomy, St George's School of Medicine, Grenada and St Vincent

Lonie R Salkowski MD

Associate Professor of Radiology and Anatomy
University of Wisconsin School of Medicine and Public Health
Madison, Wisconsin, USA
Clinical Professor, College of Health Sciences
University of Wisconsin-Milwaukee
Milwaukee, Wisconsin, USA



© 2011 por Mosby

Do original: Imaging Atlas of Human Anatomy – 4th edition

Tradução autorizada do idioma inglês da edição publicada por Mosby - um selo editorial Elsevier Inc.

ISBN: 978-0-7234-3457-3

Edição Internacional ISBN: 978-0-8089-2388-6

© 2011 Elsevier Editora Ltda.

Todos os direitos reservados e protegidos pela Lei 9.610 de 19/02/1998.

Nenhuma parte deste livro, sem autorização prévia por escrito da editora, poderá ser reproduzida ou transmitida sejam quais forem os meios empregados: eletrônicos, mecânicos, fotográficos, gravação ou quaisquer outros.

ISBN 978-85-352-6213-1

Capa

Interface/Sérgio Liuzzi

Editoração Eletrônica

Thomson Digital

Elsevier Editora Ltda.

Conhecimento sem Fronteiras

Rua Sete de Setembro, nº 111 - 16º andar
20050-006 - Centro - Rio de Janeiro - RJ

Rua Quintana, nº 753 - 8º andar
04569-011 - Brooklin - São Paulo - SP

Serviço de Atendimento ao Cliente
0800 026 53 40
sac@elsevier.com.br

Conheça nosso catálogo completo: cadastre-se em www.elsevier.com.br para ter acesso a conteúdos e serviços exclusivos e receber informações sobre nossos lançamentos e promoções.

NOTA

O conhecimento médico está em permanente mudança. Os cuidados normais de segurança devem ser seguidos, mas, como as novas pesquisas e a experiência clínica ampliam nosso conhecimento, alterações no tratamento e terapia à base de fármacos podem ser necessárias ou apropriadas. Os leitores são aconselhados a checar informações mais atuais dos produtos, fornecidas pelos fabricantes de cada fármaco a ser administrado, para verificar a dose recomendada, o método e a duração da administração e as contraindicações. É responsabilidade do médico, com base na experiência e contando com o conhecimento do paciente, determinar as dosagens e o melhor tratamento para cada um individualmente. Nem o editor nem o autor assumem qualquer responsabilidade por eventual dano ou perda a pessoas ou a propriedade originada por esta publicação.

O Editor

CIP-BRASIL. CATALOGAÇÃO-NA-FONTE
SINDICATO NACIONAL DOS EDITORES DE LIVROS, RJ

A891 Atlas de anatomia humana em imagem [recurso eletrônico] / Jamie Weir... [et al.] ;
[tradução Douglas Arthur Omena Futuro... et al.]. - Rio de Janeiro : Elsevier, 2012.
recurso digital : il.

Tradução de: Imaging atlas of human anatomy, 4th ed.

Formato: Flash

Requisitos do sistema: Adobe Flash Player

Modo de acesso: World Wide Web

ISBN 978-85-352-6213-1 (recurso eletrônico)

1. Anatomia humana - Atlas. 2. Diagnóstico por imagem - Atlas. 3. Livros eletrônicos. I. Weir, Jamie. I. Título.

12-3370.

CDD: 611.00222
CDU: 611(084)

Revisão Científica e Tradução

Revisão da Terminologia Anatômica

Cristiane Regina Ruiz

Professora de Anatomia Humana e Anatomia em Imagens do Centro Universitário São Camilo, SP
Doutora em Ciências (Morfologia) pela Universidade Federal de São Paulo (Unifesp/EPM)
Mestre em Ciências (Morfologia) pela Unifesp/EPM

Revisão Científica da Radiologia

Roberto Mogami

Professor Adjunto de Radiologia da Universidade do Estado do Rio de Janeiro (UERJ)
Membro Titular do Colégio Brasileiro de Radiologia
Médico do Setor de Ultrassonografia da Clínica Radiológica
Luiz Felipe Mattoso

Tradução

Douglas Arthur Omena Futuro (Caps. 2 a 4, 7)

Médico Ortopedista – Rio de Janeiro

Edianez Chimello (Índice)

Tradutora, SP

Fernando Diniz Mundim (Caps. 1, 5, 6 e 8)

Professor Adjunto do Instituto de Psiquiatria da Universidade Federal do Rio de Janeiro (UFRJ)

(página deixada intencionalmente em branco)

Agradecimentos

Muito obrigado a todos os autores que contribuíram anteriormente para as edições desse atlas e à Dra. Alison Murray, que gentilmente permitiu o uso das imagens usadas nos tutoriais de patologia na Internet. Novos materiais e títulos foram acrescentados pelo Dr. Richard Wellings, University

Hospital, Coventry e Warwickshire, e pelo Dr. Andrew Hine, N.W. London Hospitals, e somos muito gratos pela sua ajuda. As duas imagens da introdução, a angioressonância magnética (ARM) corporal e a tractografia por RM, foram gentilmente fornecidas por Toshiba Medical Systems.

Dedicatória

A nossos alunos – no passado, presente e futuro

(página deixada intencionalmente em branco)

Prefácio à quarta edição

Dá-se cada vez mais importância à interpretação da anatomia radiológica em um mundo que testemunhou, na última década, mudanças consideráveis nos programas de treinamento de estudantes de medicina, associadas à redução na dissecação de cadáveres.

Nós atualizamos e revisamos este atlas pela adição de novas imagens e técnicas que refletem essas tendências. A equipe de "Autores" também foi modificada. Desejamos registrar nossos sinceros agradecimentos aos Drs. Hourihan, Belli, Moore e Owen por suas contribuições anteriores e apresentar nossos dois novos coautores, Dr. Jonathan Spratt de Durham, Reino Unido, Dr. Lonie Salkowski de Madison, WI, EUA. Ambos são anatomistas radiológicos de grande renome, e a maior parte do material novo provém dos seus trabalhos.

O formato dessa quarta edição permanece o mesmo, mas a estrutura dos capítulos sobre o abdome e a pelve foi revista para refletir a prática radiológica e anatômica atual; os novos capítulos consistem em imagens do abdome e pelve em cortes transversais e em outros planos.

Foi também incluída uma nova seção sobre medicina nuclear, pelo Dr. Salkowski.

Para complementar este atlas radiológico, acrescentamos, pela primeira vez, um conteúdo online, que consiste em uma série de 10 tutoriais relacionados aos oito capítulos anatômicos e baseados em nove "conceitos" elaborados para ajudar na sua compreensão da relação entre a anatomia normal e anormal, esta última objeto de estudo da disciplina da patologia. Esse material foi produzido com a

ajuda da Dra. Jennifer Allison, que começou esse projeto quando ainda era estudante de medicina. Os nove conceitos são:

1. "coisas rechaçadas"
2. "coisas tracionadas"
3. "coisas adicionadas"
4. "coisas que estão faltando"
5. "coisas maiores que o normal"
6. "coisas menores que o normal"
7. "coisas que apresentam uma estrutura anormal, local ou difusa"
8. "coisas que apresentam uma forma anormal, local ou difusa"
9. "coisas que você não pode ver apesar de saber que elas estão presentes patologicamente; isto é, você não está usando o exame radiológico correto, ou não existirão anormalidades porque a doença é microscópica e não produz alterações anatômicas (ou fisiológicas) identificáveis."

Outras explicações, com numerosos exemplos para a demonstração desses "conceitos", estão no material online. Acreditamos que a confiança continuamente depositada pelos médicos na radiologia dos processos patológicos será facilitada por essa abordagem nova e sensacional. Igualmente, o acréscimo da patologia ao texto de anatomia radiológica extensamente revisto melhorará a compreensão radiológica, o que beneficia tanto a você, leitor, como a seus pacientes. Como este livro e o material online foram criados para você, estudante, nós recebemos de bom grado correções ou sugestões e ideias para edições futuras.

Jamie Weir, Peter H. Abrahams, Jonathan Spratt e Lonie Salkowski
Janeiro de 2010

Prefácio à primeira edição

Os métodos radiológicos usados para a representação da anatomia humana normal desenvolveram-se muito nas últimas décadas. A capacidade de demonstração dos tecidos moles pelo uso das modernas tecnologias de ressonância magnética, tomografia computadorizada e ultrassonografia facilitou muito nossa compreensão da ligação entre a anatomia conforme mostrada nas salas de dissecação e aquela necessária para a prática clínica. Esse atlas foi produzido de acordo com as novas tecnologias e alterações fundamentais que estão ocorrendo no ensino da anatomia. Ele permite ao estudante de medicina se relacionar com a anatomia básica e, ao mesmo tempo, se constitui em um guia de estudo abrangente para a interpretação clínica da radiologia, aplicável a todos os níveis de graduação e pós-graduação.

Vários autores notáveis, especialistas em seu campo de atuação radiológica, contribuíram para esse livro, que se beneficiou da integração editorial para assegurar o equilíbrio e a coerência. O atlas visa complementar e suplementar o *McMinn Atlas Clínico de Anatomia Humana*, 6^a edição.

A repetição de imagens ocorreu unicamente quando foi necessário demonstrar aspectos de interesse ou dificuldade na anatomia. Da

mesma forma, exemplos de diferentes modalidades radiológicas da mesma região anatômica foram incluídos unicamente quando necessários para melhor compreensão da região mostrada. Radiografias que mostram marcos importantes no desenvolvimento de centros de ossificação nos membros, com exemplos de algumas anomalias congênitas comuns, também são apresentadas. Em algumas seções, notadamente de RM e TC, as legendas podem se estender por mais de uma página, de modo que uma estrutura específica pode ser acompanhada de maneira contínua por vários níveis e planos.

A anatomia humana não se modifica, mas nossos métodos de demonstrá-la se alteraram de maneira significativa. A radiologia moderna permite que determinadas estruturas e suas relações sejam vistas pela primeira vez, e isso nos ajuda na interpretação. O conhecimento e a compreensão da anatomia radiológica são fundamentais para todos aqueles envolvidos no cuidado dos pacientes: de enfermeiros e paramédicos a estudantes de medicina e clínicos.

Jamie Weir e Peter H. Abrahams
Fevereiro de 1992

(página deixada intencionalmente em branco)

Introdução

Guia para as tabelas de ossificação

As tabelas de ossificação, como a mostrada a seguir, aparecem em todo o livro.

A chave para essas tabelas é a seguinte:

(c) = cartilagem

(m) = membrana

mvi = meses de vida intrauterina

svi = semanas de vida intrauterina

ms = meses

a = anos

E a regra a ser lembrada é: meninas antes dos meninos.

Ressonância magnética

A produção de imagens em ressonância magnética (RM) ocorre pela magnetização do paciente no interior do tubo de um potente magneto e transmissão de pulsos curtos de energia de radiofrequência (RF) a 46 Hz para ressonar prótons móveis (núcleos de hidrogênio) no tecido adiposo, nas proteínas e na água. Os prótons produzem ecos de RF quando sua energia ressonante é liberada e sua densidade e localização são correlacionadas por meio de complexos algoritmos matemáticos a uma matriz de imagens.

Os prótons do núcleo de hidrogênio em rotação agem como um diminuto magneto em barra, alinhando-se com o campo magnético ou contra ele e produzindo um pequeno vetor magnético final. A energia de RF é usada para gerar um segundo campo magnético, perpendicular ao campo magnético estático, que afasta os prótons do campo.

Depois que o pulso é desligado, os prótons voltam a sua posição original de equilíbrio ("relaxamento"), emitindo a energia de RF que eles haviam adquirido na antena em torno do paciente. Esta energia é digitalizada, amplificada e, finalmente, codificada espacialmente pelo processador do arranjo.

Os sistemas de RM são graduados de acordo com a potência do campo magnético por eles produzido. Sistemas capazes de produzir um campo magnético com potência de 1,5-3 T (Tesla) são considerados de alto campo. Eles utilizam eletromagneto supercondutor imerso em hélio líquido. Aparelhos abertos para pacientes claustrofóbicos e exame de membros usam magnetos entre 0,2 e 0,75 T. A título de comparação, o campo magnético da Terra varia de 30 a 60 uT. A RM não acarreta nenhum risco biológico conhecido; no entanto, pacientes que têm qualquer forma de marca-passo ou dispositivo eletroindutor implantado não devem ser examinados. Outros itens proibidos incluem gramos ferromagnéticos para aneurismas intracranianos, alguns tipos de valvas (válvulas) cardíacas e corpos estranhos metálicos intraoculares. Muitos gramos vasculares extracranianos e próteses ortopédicas atualmente permitem que os pacientes sejam examinados pela RM, mas podem causar artefatos locais. Itens metálicos soltos devem ser retirados da sala de exame — sabe-se que travesseiros contendo molas metálicas quase sufocaram alguns pacientes!

Embora não esteja no âmbito da edição atual deste livro, novos métodos para a análise da anatomia encefálica normal e patológica estão agora na linha de frente das pesquisas, quais sejam

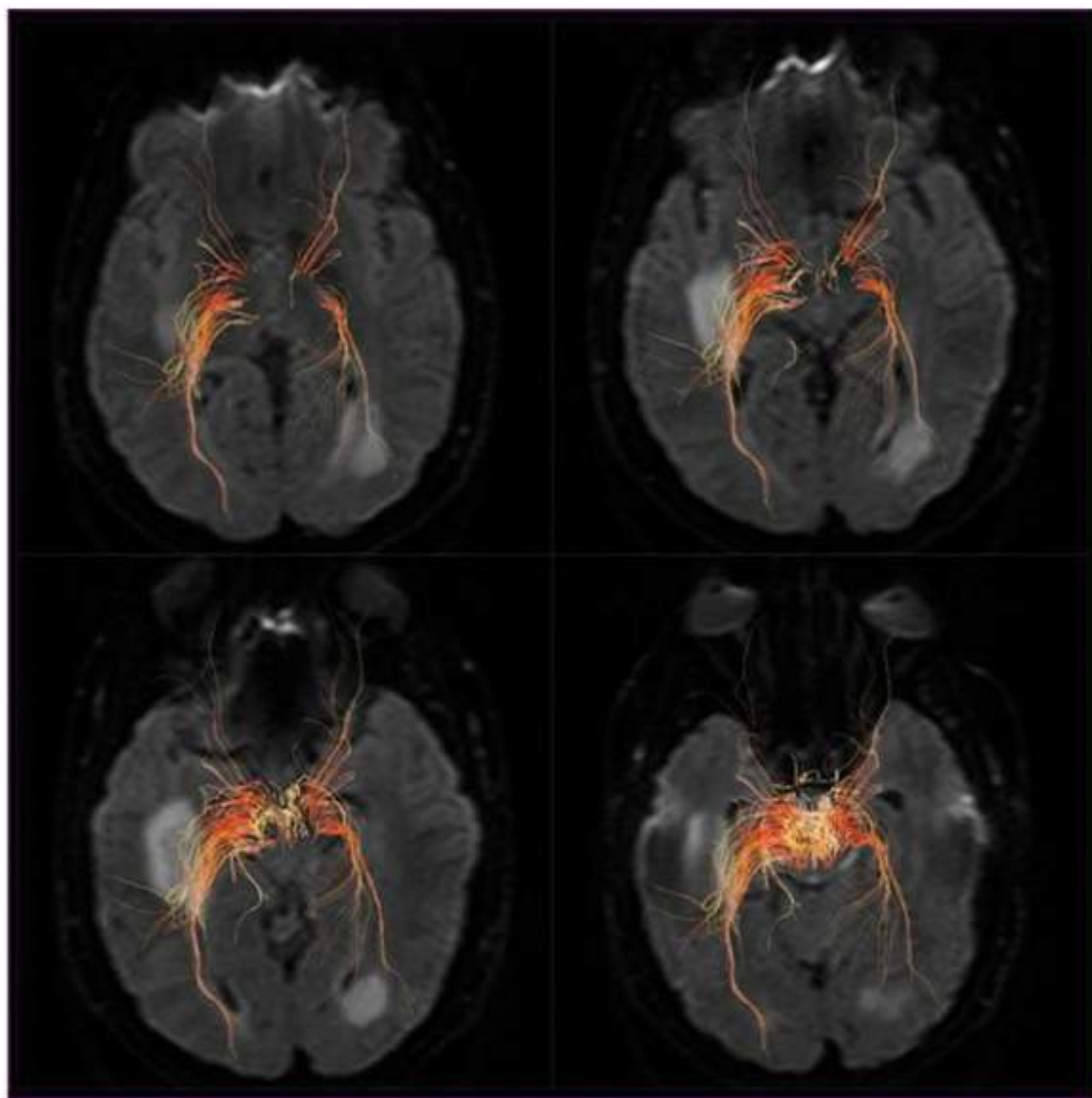
CLAVÍCULA (m)	Aparece	Funde-se
Extremidade acromial	5 s lu	20+ a
Extremidade esternal	15 a	20+ a
ESCÂPULA (c)		
Corpo	8 s lu	15 a
Processo coracoide	< 1 a	20 a
Base do processo coracoide	Puberdade	15-20 a
Acrômio	Puberdade	15-20 a

espectroscopia por ressonância magnética, ressonância magnética funcional e ressonância magnética molecular, esta última tomando um novo rumo desde a descrição do genoma humano.

A espectroscopia por ressonância magnética (ERM) avalia a função do encéfalo. A ERM baseia-se nas propriedades ressonantes ligeiramente



ARM corporal.



Tractografia por RM.

diferentes dos prótons nos diversos ambientes químicos. Para um dado volume encefálico, a distribuição da ressonância desses prótons pode ser mostrada como um espectro. Picos discerníveis podem ser vistos para alguns neurotransmissores: o N-acetilaspartato varia na esclerose múltipla, nos acidentes vasculares encefálicos e na esquizofrenia, ao passo que os níveis de colina e de lactato têm sido usados na avaliação de alguns tumores do encéfalo.

A RM funcional (RMf) baseia-se no fato de a hemoglobina ser diamagnética quando oxigenada, porém paramagnética quando desoxigenada. O uso de altos campos magnéticos permite que esses diferentes sinais sejam ponderados aos pequenos vasos, portanto mais próximos dos neurônios. Na ressonância molecular (RMm), marcadores biológicos interagem quimicamente com as regiões a seu redor e alteram a imagem de acordo com alterações moleculares presentes na área de interesse, o que possibilita a detecção precoce e o tratamento imediato de doenças, o desenvolvimento farmacêutico e testagens quantitativas.

Os magnetos de alto campo proporcionam, naturalmente, melhorias significativas na resolução espacial e no contraste. A aquisição de

imagens da microvasculatura do encéfalo humano com aparelhos de 8 T permite comparações histológicas, o que tem implicações significativas para o tratamento de lesões por reperfusão e para a fisiologia de tumores sólidos e da angiogênese. Há todos os motivos para se acreditar que esforços continuados para expandir o alcance das aplicações de magnetos de alto campo irão abrir novas perspectivas para o que parece ser uma gama infinidável de aplicações clínicas potenciais.

Ultrassonografia

Em contraste com as outras imagens neste livro, a ultrassonografia (US) não depende do uso de ondas eletromagnéticas. São as propriedades das ondas sonoras de alta frequência (ondas longitudinais) e suas interações com os tecidos biológicos que vêm a formar essas "ecografias".

Uma onda sonora de frequência apropriada (faixa diagnóstica de 3,5-20 MHz) é produzida por princípios piezelétricos; ou seja, alguns cristais podem mudar sua forma e produzir um potencial de voltagem, e vice-versa. Enquanto o feixe passa pelos tecidos, dois efeitos importantes determinam a produção da imagem: atenuação e reflexão. A atenuação é causada pela perda de energia devido à

absorção, reflexão, refração, para fora do alcance do receptor, com a consequente redução na intensidade do sinal. As ondas sonoras refletidas dentro do alcance do receptor produzem a imagem, cuja textura depende de diminutas diferenças na impedância acústica entre tecidos diferentes. No modo duplex, pode-se medir o fluxo sanguíneo e a velocidade do sangue (usando-se o princípio Doppler).

Técnicas como a harmônica e o uso de meios de contraste para ultrassonografia (microbolhas estabilizadas) possibilitaram a determinação não invasiva da perfusão miocárdica. Esses meios de contraste melhoraram claramente a detecção de metástases no fígado e no baço. A ultrassonografia é a técnica de imagens médicas mais comum para a produção de elastografias, em que imagens de rigidez ou sobrecarga dos tecidos moles são usadas para a detecção ou a classificação de tumores. O câncer é 5 a 28 vezes mais rígido que as partes moles normais. Ao se aplicar uma compressão ou vibração mecânica, o tumor apresenta uma deformação menor que a do tecido circundante. A elastografia pode ser usada para se medir a rigidez do fígado ou para a detecção de tumores da mama ou da tireoide. Foi demonstrada uma correlação entre a elasticidade do fígado e o escore de cirrose.

Somente um grupo de imagens ultrassonográficas chave foi incluído no livro, para ilustrar um aspecto ou área específicos, pois a natureza dinâmica da ultrassonografia impede uma cobertura adicional. A interpretação da anatomia a partir de imagens ultrassonográficas estáticas é mais difícil que a partir de outras modalidades, porque a técnica depende muito do operador e fornece informações sobre a estrutura e a forma dos tecidos diferentes daquelas de outras modalidades de exame.

Medicina nuclear

Historicamente, a medicina nuclear teve início em 1946, quando o iodo radioativo foi administrado como um "coquetel atômico" para tratar o câncer da glândula tireoide. Desde essa época, a medicina nuclear tem progredido e foi reconhecida como especialidade médica pela American Medical Association em 1971.

A radiologia diagnóstica cria uma imagem pela passagem da radiação através do corpo a partir de uma fonte externa. Diferentemente da radiologia diagnóstica, a medicina nuclear cria uma imagem a partir da medição da radiação emitida por marcadores internamente. A imagem é produzida, portanto, pela radiação emitida pelo paciente. As doses de radiação, de modo geral, são comparáveis e variam dependendo do exame.

A medicina nuclear também difere de outras modalidades radiológicas ao demonstrar a função de uma área específica do corpo. Em algumas ocasiões, esta informação fisiológica pode ser combinada à imagem mais anatômica da TC ou RM, o que melhora a capacidade diagnóstica.

Em lugar do meio de contraste para a aquisição das imagens, a medicina nuclear usa compostos radiofarmacêuticos que são marcados com um radionuclídeo. Esses compostos radiofarmacêuticos são administrados aos pacientes por injeção intravenosa, ingestão ou inalação. O método de administração depende do tipo de exame e do órgão ou processo orgânico a ser analisado. Por definição, todos esses compostos radiofarmacêuticos emitem radiação. Essa radiação emitida é detectada e sua imagem é obtida por equipamentos especializados como câmeras gama, tomografia por emissão de pósitrons (PET) e tomografia computadorizada por emissão de fóton único (SPECT). Em

alguns exames, a radiação pode ser medida pelo uso de sondas, ou pode-se colher amostras dos pacientes e medi-las em contadores.

A premissa da medicina nuclear envolve a biologia funcional, razão pela qual pode-se não apenas documentar um processo mórbido, mas também tratar doenças. Os compostos radiofarmacêuticos que são usados na aquisição de imagens emitem um raio gama (γ), e aqueles usados para tratamento emitem uma partícula beta (β). Os raios γ têm energia mais alta para atravessar o corpo e ser detectados por uma câmera de detecção, enquanto as partículas β percorrem apenas distâncias pequenas e emitem sua dose de radiação no órgão-alvo. Por exemplo, pode-se usar tecnécio-99m ou iodo-123 para a detecção de doenças da glândula tireoide, mas algumas doenças da glândula tireoide ou cânceres da glândula tireoide podem ser tratados unicamente, ou em parte, pelo iodo-131. A diferença na substância empregada depende do tipo e dos níveis de energia da partícula de radiação que o radioisótopo emite.

Os radionuclídeos, ou a partícula radioativa, usados na medicina nuclear estão ligados quimicamente a um complexo designado como marcador, de modo que, quando administrados, eles possam agir de maneira característica no corpo. A maneira pela qual o corpo lida com esse marcador pode diferir em doenças ou processos patológicos, demonstrando assim imagens diferentes do normal em estados mórbidos. O marcador usado na aquisição de imagens ósseas, por exemplo, é o metileno-difosfonato (MDP). O MDP está ligado ao tecnécio-99m para a aquisição de imagens ósseas. O MDP se liga à hidroxiapatita nos ossos. Se houver uma alteração fisiológica no osso por uma fratura, um acrometismo ósseo metastático ou uma alteração artrítica, haverá um aumento na atividade óssea e, portanto, um acúmulo maior do marcador nessa região em comparação ao osso normal. Isso ocasionará um "ponto quente" focal do composto radiofarmacêutico em uma cintilografia óssea.

O tecnécio-99m é o principal radioisótopo utilizado na medicina nuclear. O acesso é fácil, pois ele pode ser eluído a partir de um gerador de molibdênio/tecnécio armazenado em um serviço de medicina nuclear e tem meia-vida curta (6 horas), o que torna mais fácil a aquisição de imagens médicas e o descarte. Suas propriedades farmacológicas permitem que ele se ligue com facilidade a diversos marcadores e emita raios γ que têm uma energia adequada para a aquisição de imagens médicas.

Além do tecnécio-99m, os radionuclídeos intravenosos mais comumente usados na medicina nuclear são leucócitos marcados com iodo-123 e iodo-131, tálio-201, gálio-67, 18-fluorodesoxiglicose (FDG) e índio-111. Os radionuclídeos gasosos/em aerosol mais comuns são xenônio-133, criptônio-81m, tecnécio-99m (Technegas) e tecnécio-99m DTPA.

Apenas uma ou muitas imagens podem ser obtidas pela medicina nuclear. Os conjuntos de imagens podem ser representados em sequência temporal (p. ex., cine), como avaliações dinâmicas ou sequências sincronizadas com eletrocardiogramas, ou por sequências espaciais em que a câmera gama se move relativamente ao paciente, como na aquisição de imagens por SPECT. O exame em sequências espaciais permite que a documentação seja apresentada como uma pilha de imagens em fatias, de modo muito semelhante à TC ou RM. As imagens em sequência espacial também podem ser fundidas a outras de TC ou RM concomitantes, o que produz imagens fisiológicas e anatômicas combinadas. As imagens em sequências temporais e espaciais proporcionam uma perspectiva singular e fornecem informações sobre processos fisiológicos no corpo.

PET (tomografia por emissão de pósitrons) é um tipo especializado de exame de medicina nuclear que mede as funções corporais importantes, como fluxo sanguíneo, uso de oxigênio e metabolismo do açúcar (glicose) para avaliar quão bem os órgãos e os tecidos estão funcionando. No PET, isótopos marcadores radioativos de vida curta são incorporados quimicamente a moléculas biologicamente ativas. A molécula mais comumente usada é a fluorodesoxiglicose (FDG), que é um açúcar. Depois de injetadas no corpo, essas moléculas ativas se concentram nos tecidos de interesse. Depois de um período de espera, que é de cerca de uma hora para a FDG, a aquisição de imagens pode prosseguir e ela ocorre enquanto a emissão de pósitrons pelo isótopo declina. Ao ser emitido, o pósitron percorre apenas alguns milímetros e se aniquila juntamente com um elétron. Secundariamente, há produção de um par de fôtons γ que se move em direções opostas. Os detectores do exame PET processam unicamente esses pares de fôtons, que são detectados simultaneamente (detecção coincidente). Esses dados são processados e criam uma imagem da atividade do tecido em relação a esse isótopo específico. Essas imagens podem ser fundidas então a imagens de TC ou RM.

Uma limitação do PET é a curta meia-vida dos isótopos. Por esta razão, o acesso próximo de um ciclotron para a geração dos isótopos tem um papel importante na viabilidade dos exames com PET. Os isótopos tipicamente usados na aquisição de imagens médicas e suas meias-vidas são: carbono-11 (~20 min), nitrogênio-13 (~10 min), oxigênio-13 (~2 min) e flúor-18 (~110 min).

Angiografia/radiologia intervencionista

A angiografia teve início em 1927 com Egas Moniz, clínico e neurologista, pela introdução da angiografia cerebral radiográfica contrastada. Em 1949 ele recebeu o Prêmio Nobel por seu trabalho. O campo da angiografia, porém, passou por uma revolução em 1953 com o advento da técnica de Seldinger, em que nenhuma agulha pontiaguda permanecia na luz vascular durante o exame.

Embora começasse pelos exames radiográficos e fluoroscopias de vasos sanguíneos e órgãos do corpo por meio da injeção intravenosa de meios de contraste radiopacos, o campo da angiografia evoluiu muito mais. Muitos dos procedimentos realizados pela angiografia podem ser diagnósticos, e o surgimento de técnicas novas permitiu o advento de procedimentos minimamente invasivos realizados com orientação por imagens; com isso ocorreu a mudança de nome da disciplina para radiologia intervencionista (ou radiologia vascular e intervencionista).

As angiografias são tipicamente realizadas obtendo-se acesso aos vasos sanguíneos; de acordo com a área de interesse a ser examinada, o acesso será feito pela artéria femoral, veia femoral ou veia jugular. As angiografias podem ser obtidas do cérebro como angiografias cerebrais; do coração, como angiografias coronárias; dos pulmões, como angiografias pulmonares, e assim por diante. O exame da circulação arterial e venosa dos membros superiores e inferiores pode demonstrar uma doença vascular periférica. Uma vez efetuado o acesso vascular, cateteres são direcionados para um local específico a ser examinado, por meio de fios-guia. Meios de contraste são injetados por esses cateteres para a visualização radiológica dos vasos ou do órgão.

Além do diagnóstico, tratamentos e/ou intervenções podem ser frequentemente realizados por exames semelhantes à base de cateteres. Esses procedimentos podem envolver angioplastias, em que um balão é colocado em uma área de estenose em um vaso. A área de estenose

pode ser alargada pela insuflação controlada do balão. Em muitos casos, para impedir que essas áreas se estreitem novamente, podem ser colocados stents na luz do vaso ou até mesmo na traqueia ou esôfago.

A radiologia em procedimentos diagnósticos ou intervencionistas pode ser representada por imagens estáticas ou em movimento (cine). A técnica frequentemente usada é designada como angiografia por subtração digital (ASD). Nesse tipo de exame são obtidas imagens a 2-30 instantâneos por segundo, para permitir o estudo do fluxo sanguíneo através dos vasos. Essa imagem em "máscara" é então subtraída eletronicamente de todas as imagens, deixando-se apenas os vasos preenchidos por meio de contraste. Essa técnica exige que o paciente permaneça imóvel para que se obtenha um resultado adequado.

Podem ser realizadas angiografias do coração para se avaliar o tamanho e a contratilidade das câmaras e a anatomia dos vasos coronários. O tórax também pode ser estudado para se avaliar as artérias e as veias pulmonares quanto a malformações vasculares, coágulos sanguíneos e possíveis causas de hemoptise. Imagens do pescoço são frequentemente obtidas para a identificação dos vasos que suprem o encéfalo desde sua origem no arco da aorta até os vasos do encéfalo para a investigação de uma doença aterosclerótica, malformações vasculares e suprimento sanguíneo de tumores. O estudo da artéria renal pode elucidar a causa de uma hipertensão específica, assim como a investigação dos vasos mesentéricos pode descobrir a origem de sangramentos gastrointestinais ou de angina mesentérica.

Além de angiografias e venografias, a radiologia intervencionista realiza também procedimentos como a embolização por "coils" de aneurismas e malformações vasculares, angioplastia com balão e colocação de stents, quimioembolização diretamente dentro de tumores, inserções de cateteres para drenagem, embolizações (p. ex., embolização da artéria uterina para o tratamento de fibroides uterinos), trombólise para a dissolução de coágulos sanguíneos, biópsia de tecidos (percutânea ou transvascular), ablação por radiofrequência e crioablação de tumores, inserção de acesso vascular especializado, colocação de filtros na veia cava inferior, vertebroplastia, colocação de nefrostomias, colocação de sondas de gastrostomia para alimentação, acesso para diálise, realização de DITP (derivação intra-hepática transjugular portossistêmica) intervenções biliares e, mais recentemente, ablação intravenosa a laser de veias varicosas.

Tomografia computadorizada

A limitação de todas as técnicas radiográficas simples é a representação bidimensional de estruturas tridimensionais: o coeficiente de atenuação linear de todos os tecidos no trajeto do feixe de raios X forma a imagem.

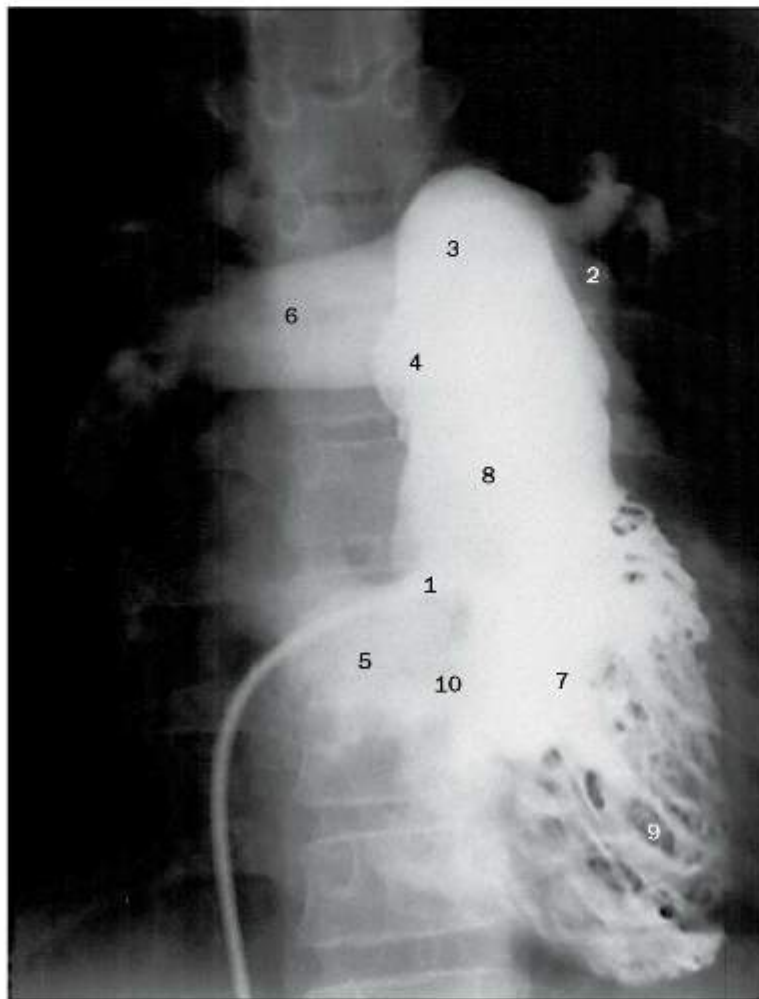
A tomografia computadorizada (TC) obtém uma série de diferentes projeções radiográficas angulares que são processadas por um computador para se obter um corte de espessura especificada. A imagem tomográfica compreende uma matriz regular de elementos figurados (pixels). Todos os tecidos contidos no pixel atenuam as projeções radiográficas e acarretam um valor de atenuação médio para o pixel. Esse valor é comparado ao valor de atenuação da água e é mostrado em uma escala (a escala Hounsfield). A água tem atenuação de 0 unidades Hounsfield (UH); o ar tipicamente tem -1.000 UH; o tecido adiposo tem aproximadamente -100 UH; os tecidos moles estão na faixa de +20 a +7 UH; e os ossos têm geralmente mais de +400 UH.

Os modernos aparelhos de TC helicoidal *multislice* podem obter imagens em tempos inferiores a um segundo. O estudo de todo o corpo, da parte superior da cabeça até os membros inferiores, pode ser realizado com uma única suspensão da respiração por alguns segundos. A rapidez na aquisição das imagens possibilita o estudo dinâmico de artérias e veias em momentos diferentes após a injeção de meios de contraste intravenosos. A aquisição contínua de dados por um aparelho de TC helicoidal permite a reconstrução da imagem em qualquer plano, comumente os planos sagital e coronal, conforme será mostrado em muitos dos capítulos subsequentes. Esse estudo ortogonal melhora a compreensão dos aspectos tridimensionais da anatomia radiológica e faz parte da rotina da avaliação de doenças.

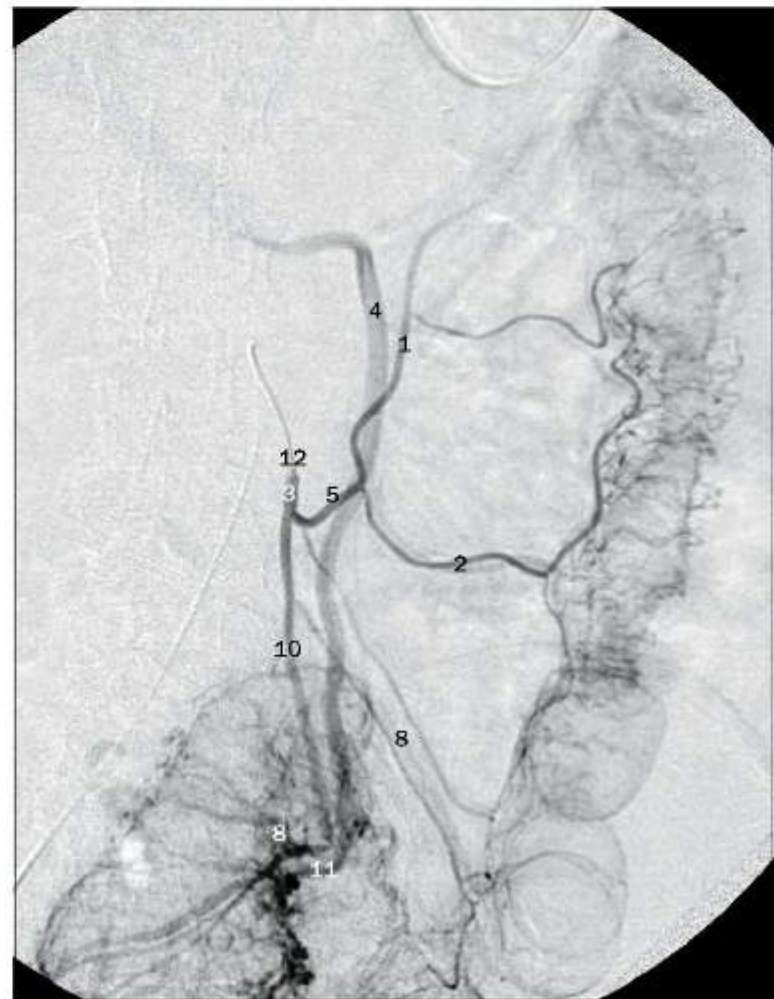
As imagens digitais são armazenadas em um arquivo e passam a fazer parte de um registro eletrônico de armazenamento que está se tornando comum em todo o mundo, o PACS (Picture Archiving and Communication System). O PACS permite o acesso das imagens por uma rede eletrônica, de modo que aquelas imagens (e respectivos laudos) possam ser visualizadas à distância, por exemplo nas enfermarias ou em um outro hospital. O Electronic Patient Record (EPR), em que são armazenadas todas as informações dos pacientes, desenvolveu-se rapidamente e vem obtendo aceitação, o que permitiu melhorias acentuadas no manejo dos dados.

Não é necessário um preparo específico para os exames de TC do encéfalo, da coluna vertebral ou do sistema musculoesquelético. Os estudos do tórax, do abdome e da pelve geralmente requerem a administração intravenosa de um meio de contraste iodado, que opacifica as artérias e veias e define claramente suas relações. A opacificação do intestino para mostrar o colo em estudos de TC do abdome e da pelve pode ser realizada pela ingestão oral de um meio de contraste hidrossolúvel 24 horas antes do exame, combinada à ingestão oral adicional cerca de 0-60 minutos antes do exame, para o delineamento do estômago e do intestino delgado. Ocassionalmente pode ser necessária a administração direta de um meio contraste retal para a demonstração da região distal do intestino grosso.

Geralmente todos os estudos são realizados com o paciente em decúbito dorsal, e as imagens são obtidas no plano transverso ou axial. Os modernos aparelhos de TC permitem até 25° de angulação da mesa, o que é particularmente útil para a aquisição de imagens espinais. Ocassionalmente, imagens coronais são obtidas de forma direta na investigação de anormalidades crânicas e maxilofaciais; nesses casos, o paciente fica em decúbito ventral, com o pescoço estendido e a mesa apropriadamente angulada, mas essa técnica foi em grande parte sobrepujada pelos estudos ortogonais descritos anteriormente.



Angiografia ventricular direita (p.112).



Arteriografia mesentérica inferior (p.186).

(página deixada intencionalmente em branco)

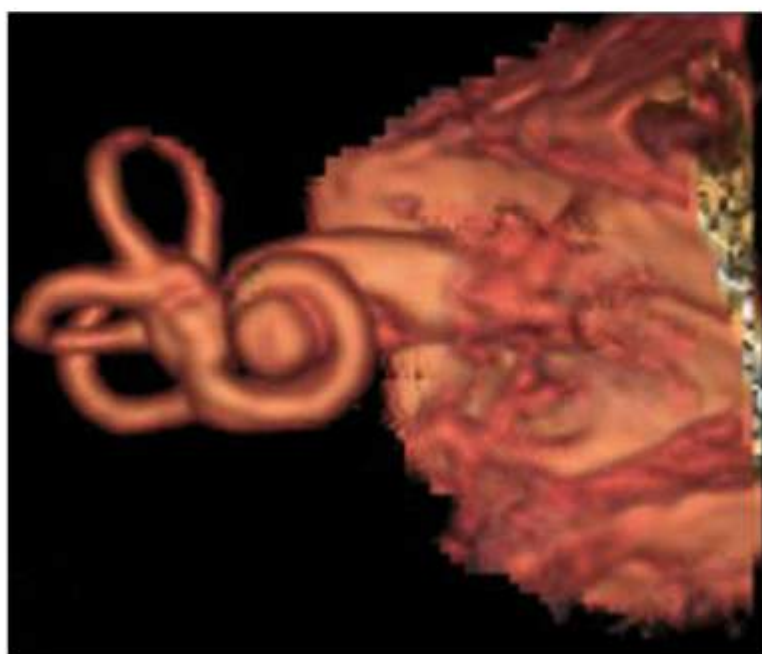
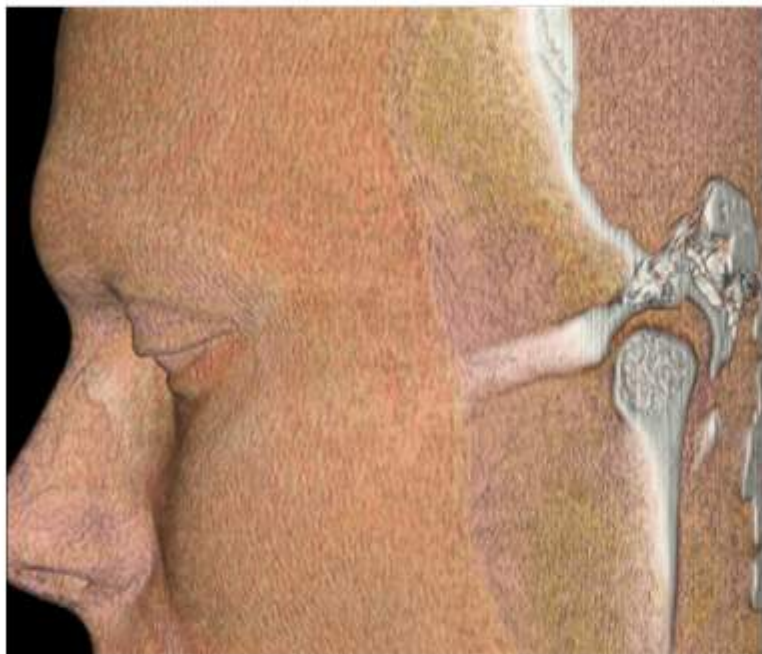
Sumário

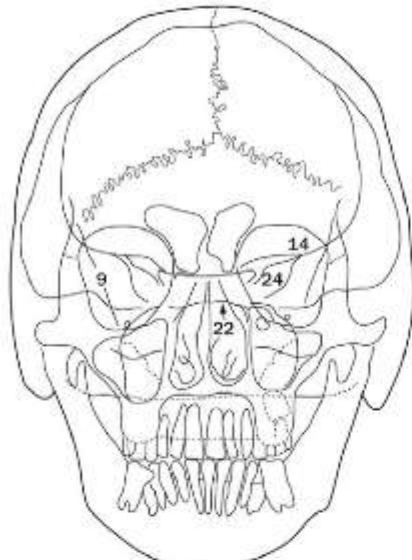
Revisão Científica e Tradução	v
Agradecimentos e Dedicatória	vii
Prefácio à quarta edição	ix
Prefácio à primeira edição	ix
Introdução	xi
1. Cabeça, pescoço e encéfalo	1
2. Coluna vertebral e medula espinal	55
3. Membro superior	67
4. Tórax	89
5. Abdome e pelve — Corte transversal	123
6. Abdome e pelve — Outros planos	171
7. Membro inferior	207
8. Medicina nuclear	235
Índice remissivo	

(página deixada intencionalmente em branco)

1

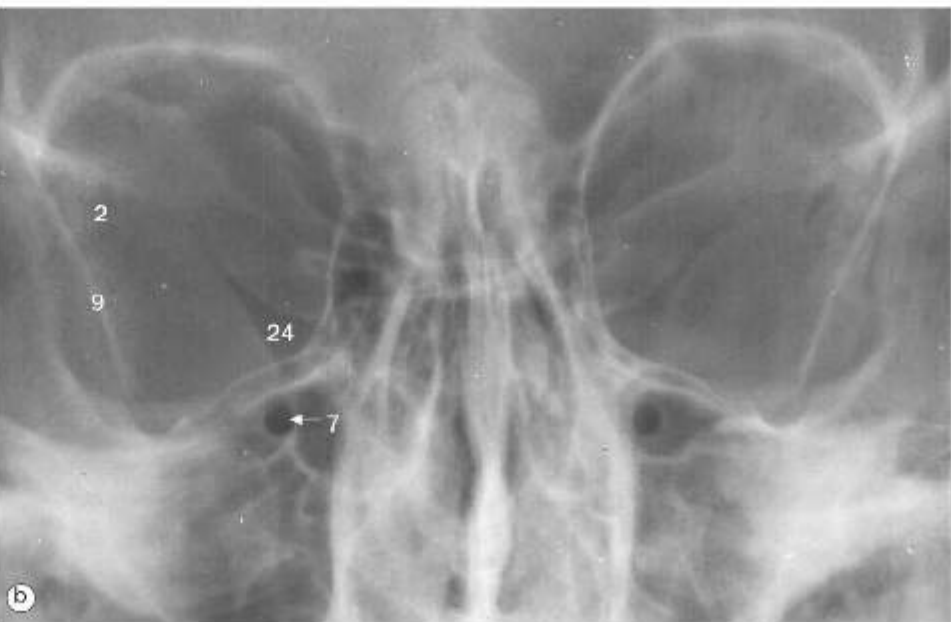
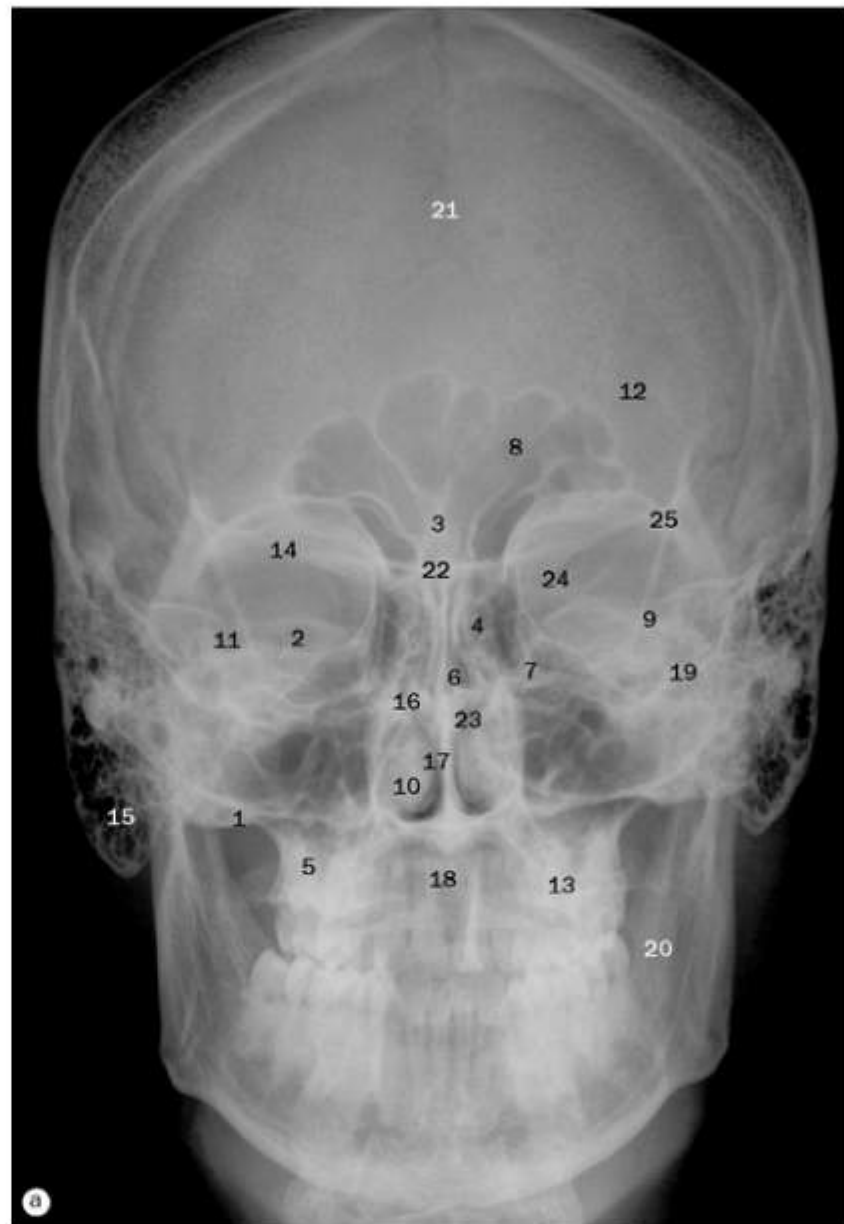
Cabeça, pescoço e encéfalo

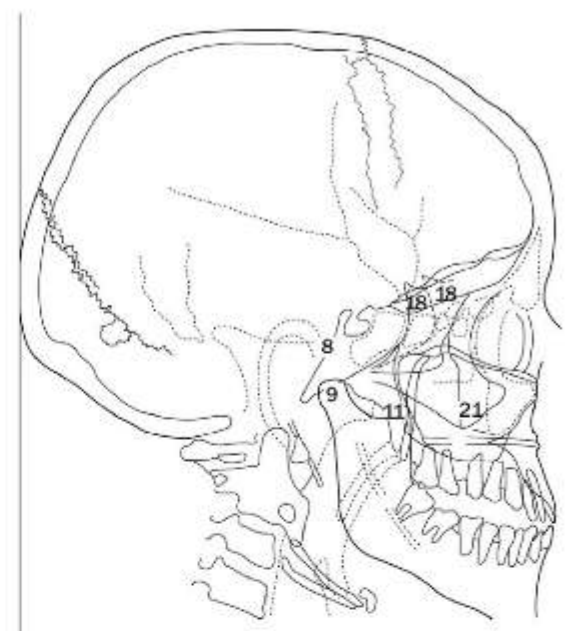
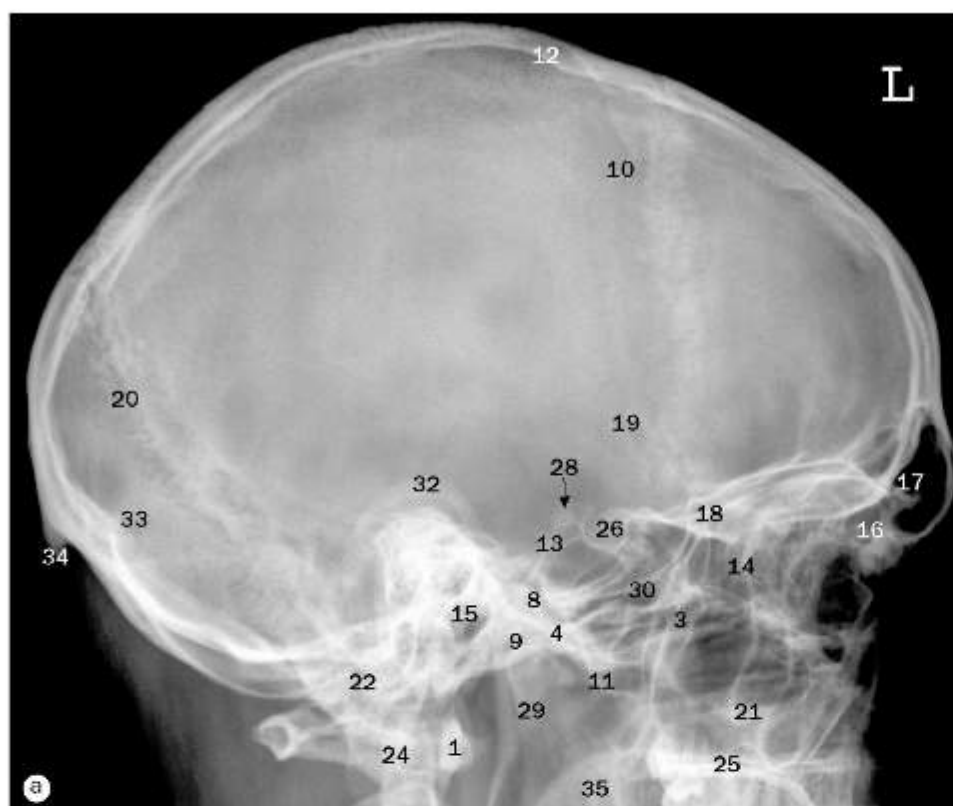




(a) Crânio, projeção occipitofrontal.
(b) Crânio, demonstrando os forames redondos, projeção occipitofrontal.

1. Parte basilar do osso occipital
2. Corpo do esfenoide
3. Crista etmoidal
4. Células etmoidais
5. Assoalho do seio maxilar (antro)
6. Assoalho da fossa hipofisial
7. Forame redondo
8. Seio frontal
9. Asa maior do esfenoide
10. Concha nasal inferior
11. Meato acústico interno
12. Sutura lambdóidea
13. Massa lateral do atlas (primeira vértebra cervical)
14. Asa menor do esfenoide
15. Processo mastoide
16. Concha nasal média
17. Septo nasal
18. Dente do áxis (segunda vértebra cervical)
19. Parte petrosa do osso temporal
20. Ramo da mandíbula
21. Sutura sagital
22. Plano esfenoidal
23. Seio esfenoidal
24. Fissura orbital superior
25. Face temporal da asa maior do esfenoide





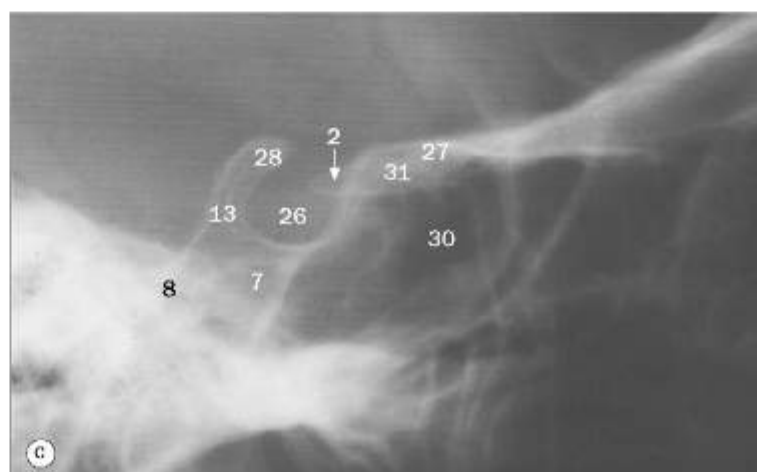
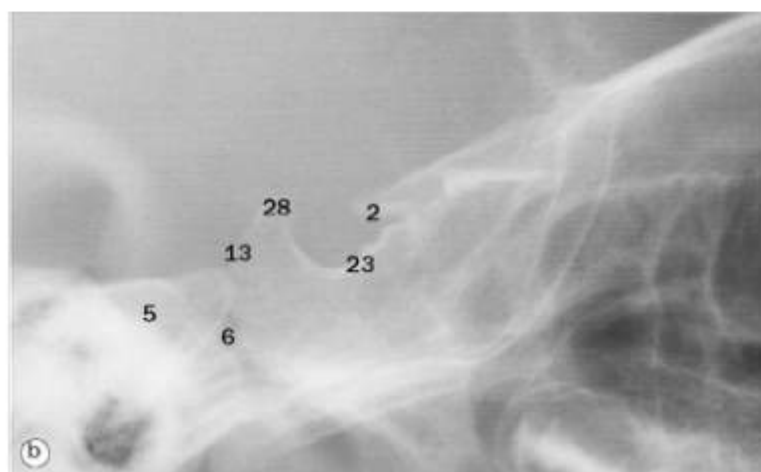
(a) Crânio, projeção lateral.

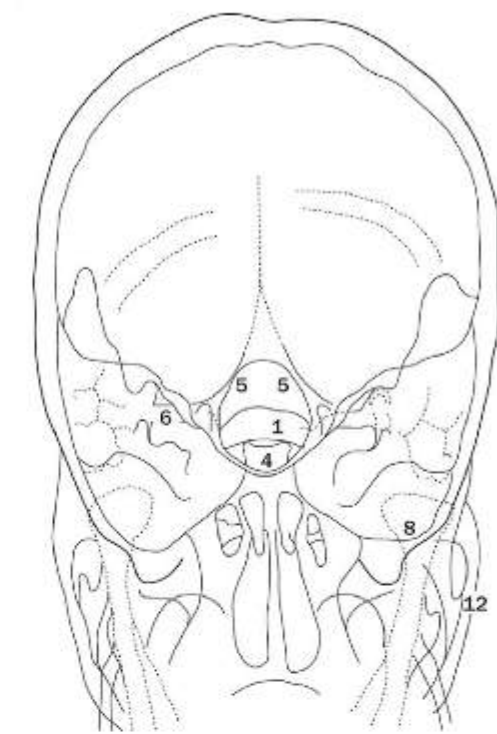
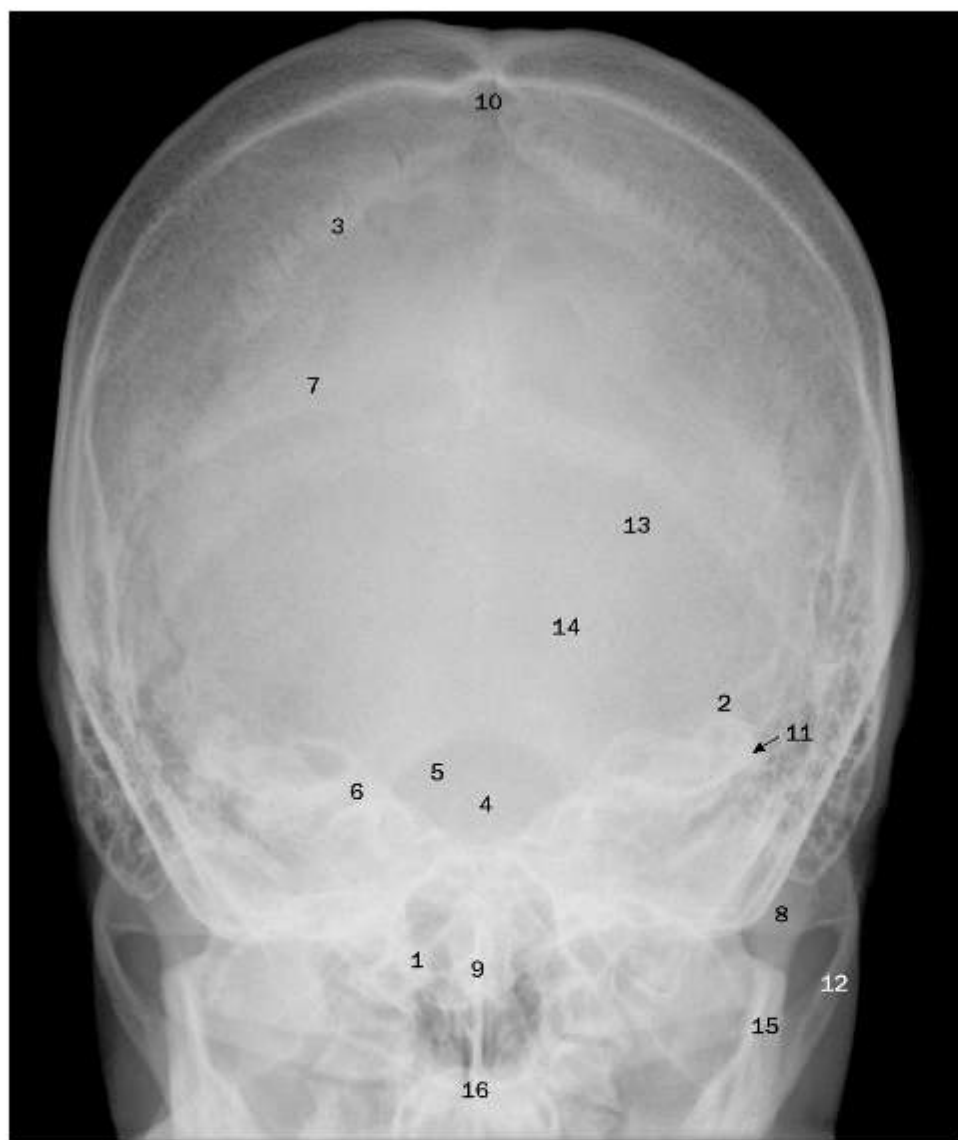
Fossa hipofisial (sela turca), (b) de uma criança de 7 anos, (c) de uma mulher de 23 anos, projeções laterais.

- 1 Arco anterior do atlas (primeira vértebra cervical)
- 2 Processo clinoide anterior
- 3 Arco zigomático
- 4 Tubérculo articular para a articulação temporomandibular
- 5 Parte basilar do osso occipital
- 6 Sincondrose esfenoccipital
- 7 Sulco carótico
- 8 Clivo
- 9 Processo condilar da mandíbula
- 10 Sutura coronal
- 11 Processo coronoide da mandíbula

- 12 Diploe
- 13 Dorso da sela
- 14 Células etmoidais
- 15 Meato acústico externo
- 16 Processo frontal do zigomático
- 17 Seio frontal
- 18 Asa maior do esfenóide
- 19 Sulcos para os vasos meníngeos médios
- 20 Sutura lambdóidea
- 21 Processo zigomático da maxila
- 22 Células aéreas mastóideas
- 23 Processo clinoide médio

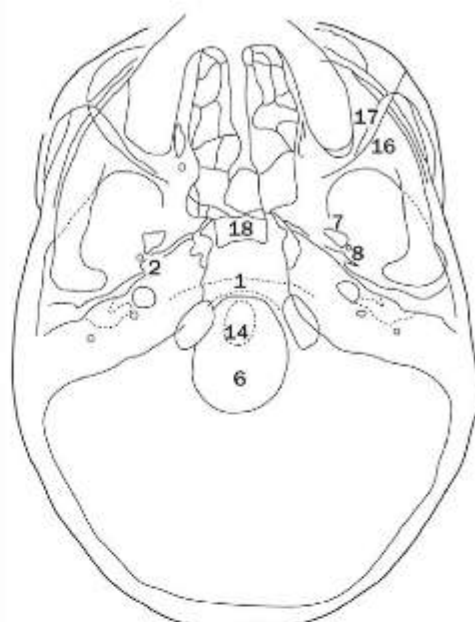
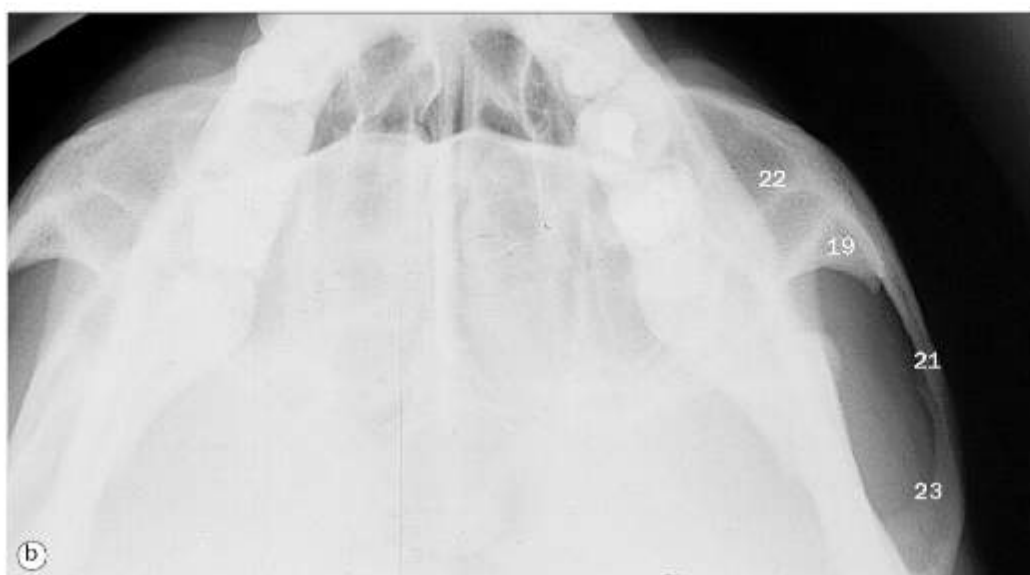
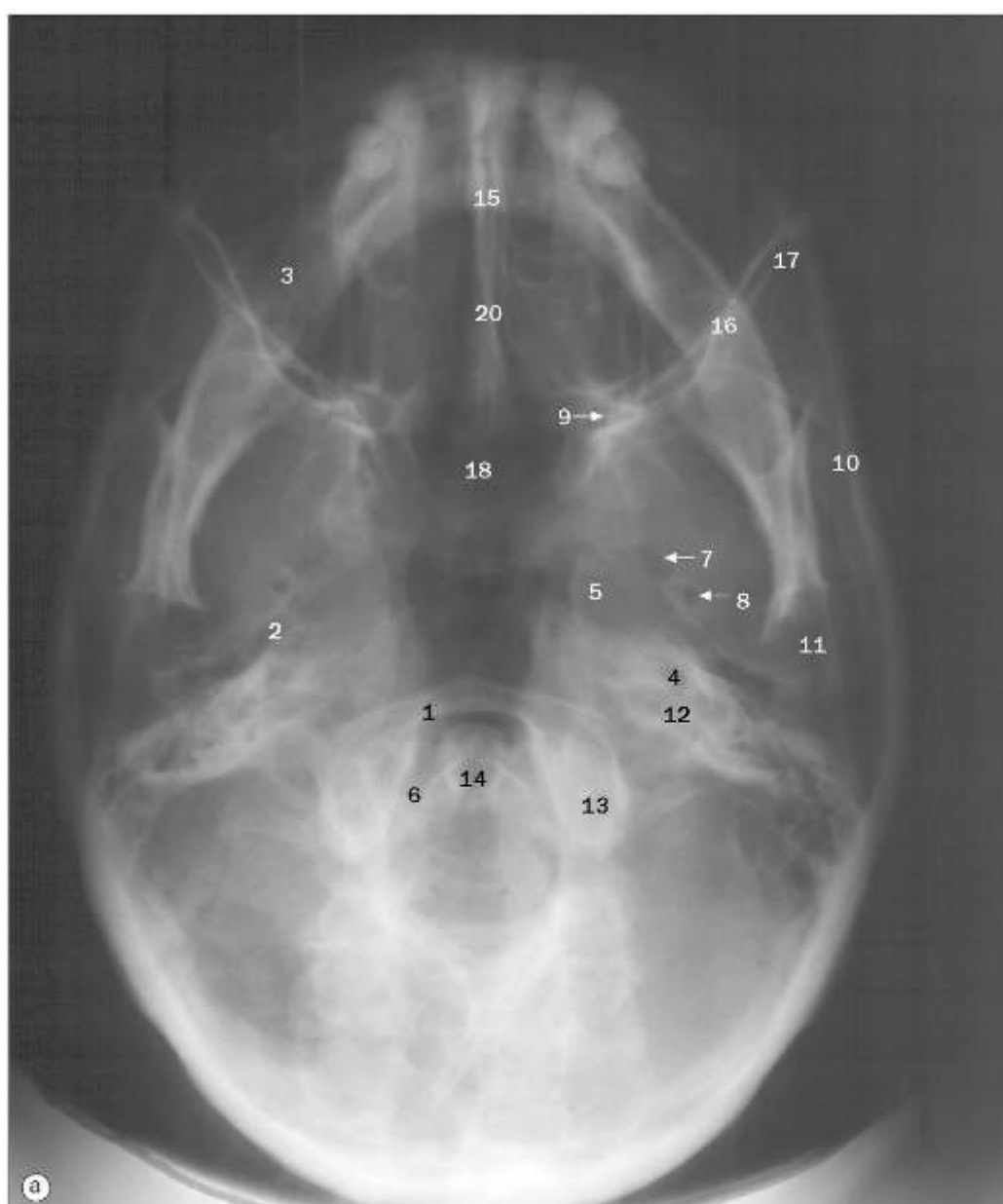
- 24 Dente do áxis (segunda vértebra cervical)
- 25 Processo palatino da maxila
- 26 Fossa hipofisial (sela turca)
- 27 Plano esfenoidal
- 28 Processo clinoide posterior
- 29 Ramo da mandíbula
- 30 Seio esfenoidal
- 31 Tubérculo da sela
- 32 Hélice da orelha externa
- 33 Ínio
- 34 Protuberância occipital externa
- 35 Palato mole





Crânio, projeção occipitofrontal a 30° (Towne).

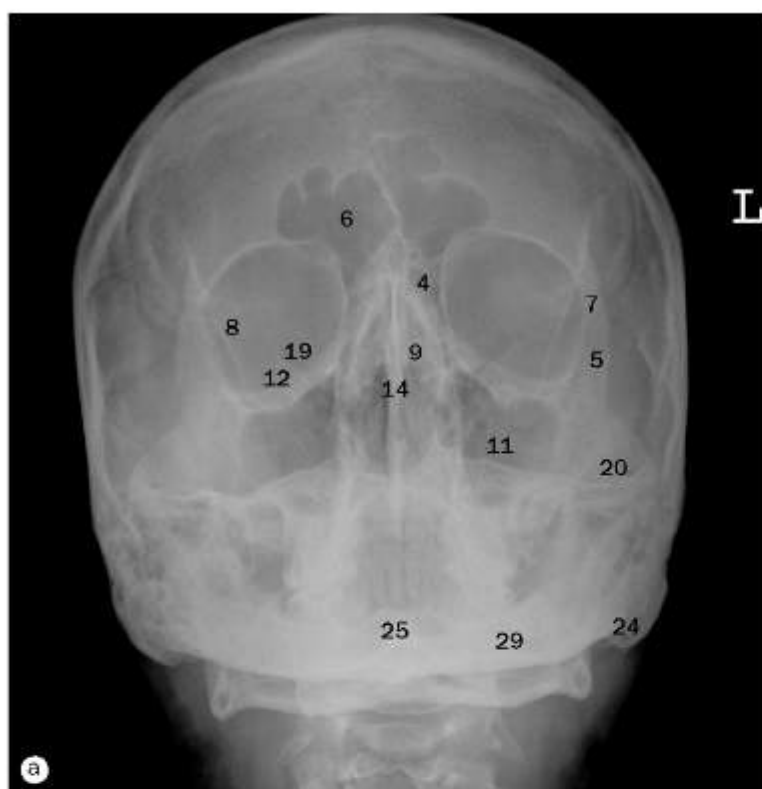
- 1 Arco do atlas (primeira vértebra cervical)
- 2 Eminência arqueada do osso temporal
- 3 Sutura coronal
- 4 Dorso da sela
- 5 Forame magno
- 6 Meato acústico interno
- 7 Sutura lambdóidea
- 8 Processo condilar da mandíbula
- 9 Dente do áxis (segunda vértebra cervical)
- 10 Sutura sagital
- 11 Canal semicircular superior
- 12 Arco zigomático
- 13 Sulco do seio transverso
- 14 Escama occipital
- 15 Mandíbula
- 16 Septo nasal



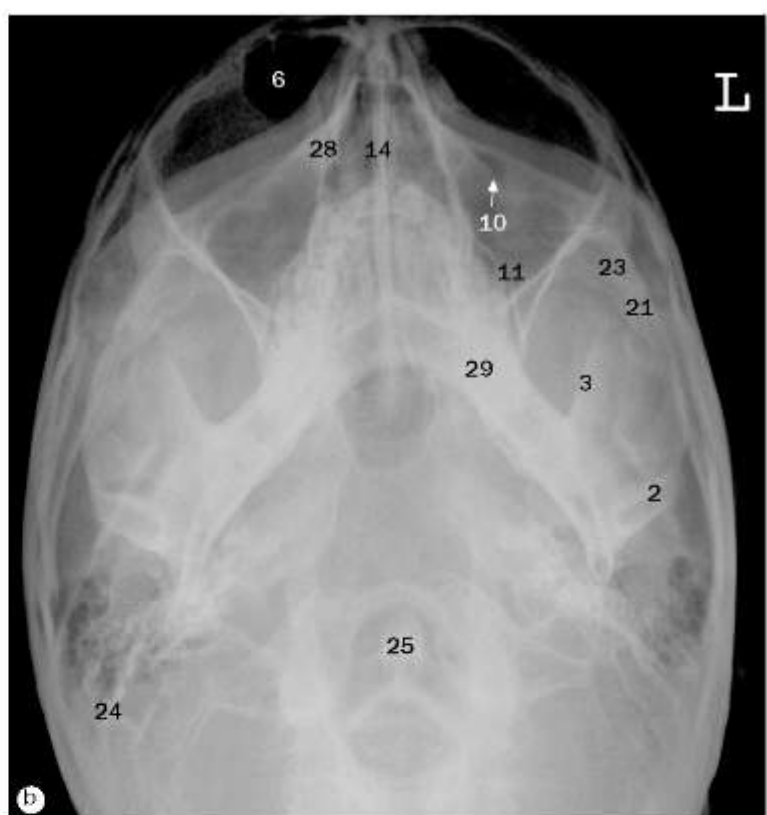
(a) Crânio, projeção submentovertical.
(b) Crânio, com angulação adicional para os arcos zigomáticos, projeção submentovertical.

- 1. Arco anterior do atlas (primeira vértebra cervical)
- 2. Tuba auditiva
- 3. Corpo da mandíbula
- 4. Canal carótico
- 5. Forame lacerado
- 6. Forame magno
- 7. Forame oval
- 8. Forame espinhoso
- 9. Forame palatino maior
- 10. Asa maior do esfenóide
- 11. Cabeça da mandíbula
- 12. Forame jugular
- 13. Côndilo occipital
- 14. Dente do áxis (segunda vértebra cervical)
- 15. Lâmina perpendicular do etmoíde
- 16. Margem posterior da órbita
- 17. Parede posterior do seio maxilar (antro)
- 18. Seio esfenoidal
- 19. Processo temporal do osso zigomático
- 20. Vômer
- 21. Arco zigomático
- 22. Osso zigomático
- 23. Processo zigomático do osso temporal

6 Ossos da face e seios paranasais



(a) Projeção occipitofrontal modificada.



(b) Projeção occipitomental.



(c) Projeção lateral dos ossos nasais.

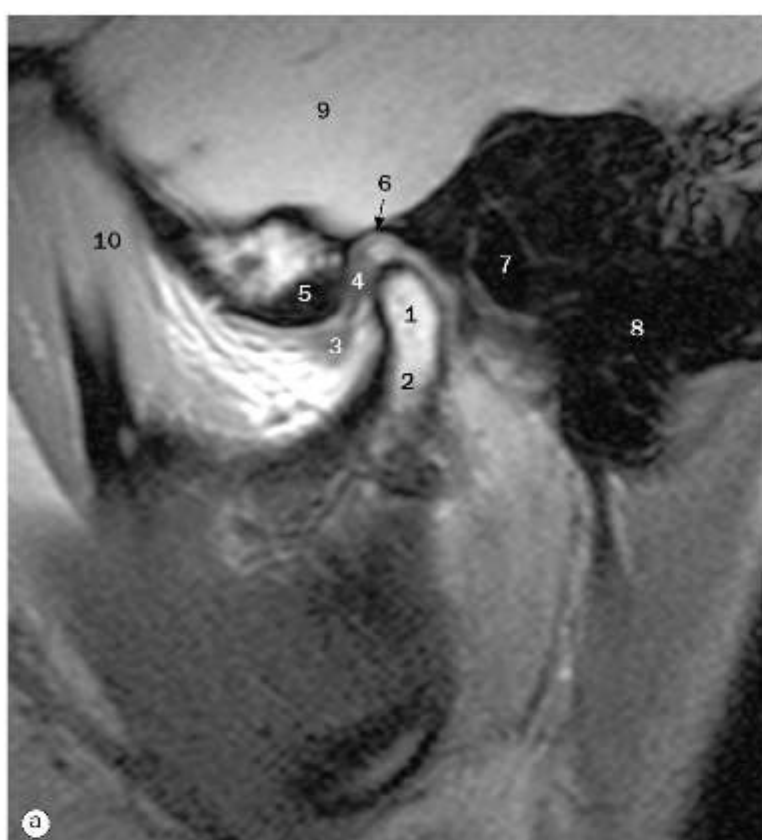


(d) Projeção lateral dos seios paranasais.

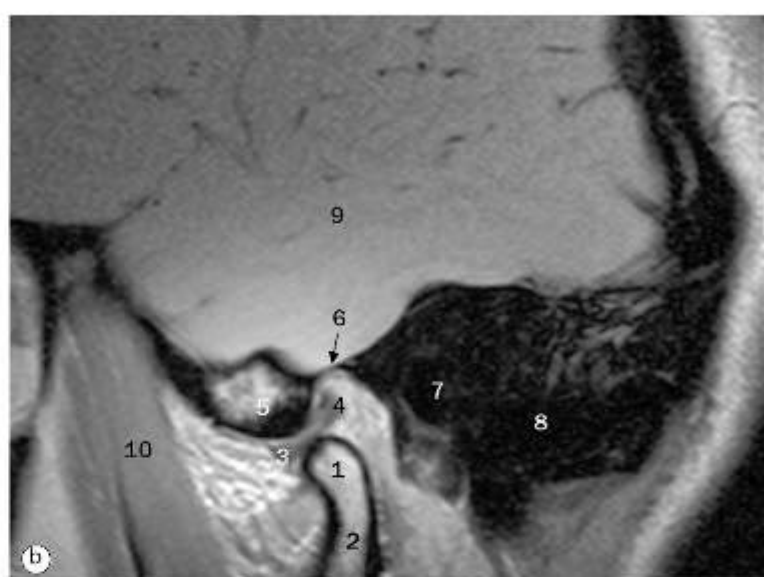
- 1 Parede anterior do seio maxilar (antro)
- 2 Processo condilar da mandíbula
- 3 Processo coronoide da mandíbula
- 4 Células etmoidais
- 5 Processo frontal do osso zigomático
- 6 Seio frontal
- 7 Sutura frontozigomática
- 8 Asa maior do esfenoide
- 9 Lâmina horizontal do osso palatino
- 10 Forame infraorbital

- 11 Seio maxilar esquerdo (antro)
- 12 Asa menor do esfenoide
- 13 Processo zigomático da maxila
- 14 Septo nasal
- 15 Processo palatino da maxila
- 16 Parede posterior do seio maxilar (antro)
- 17 Sela turca
- 18 Seio esfenoidal
- 19 Fissura orbital superior
- 20 Processo temporal do osso zigomático

- 21 Arco zigomático
- 22 Processo zigomático do osso frontal
- 23 Processo zigomático do osso temporal
- 24 Processo mastoide
- 25 Dente do áxis
- 26 Palato mole
- 27 Assolo do fosso posterior do crânio
- 28 Ossos nasais
- 29 Mandíbula

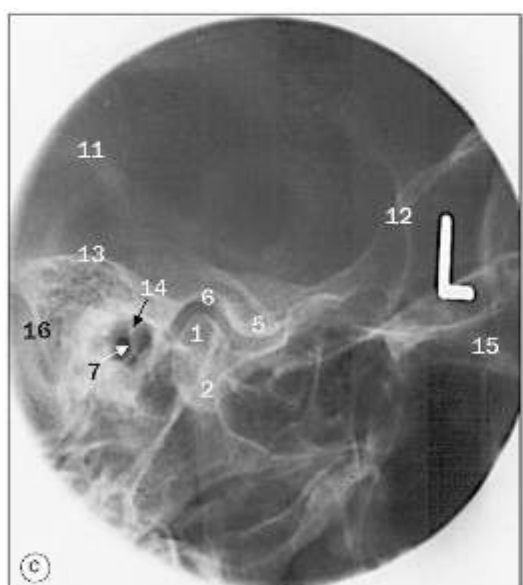


(a) RM da articulação temporomandibular: fechada.



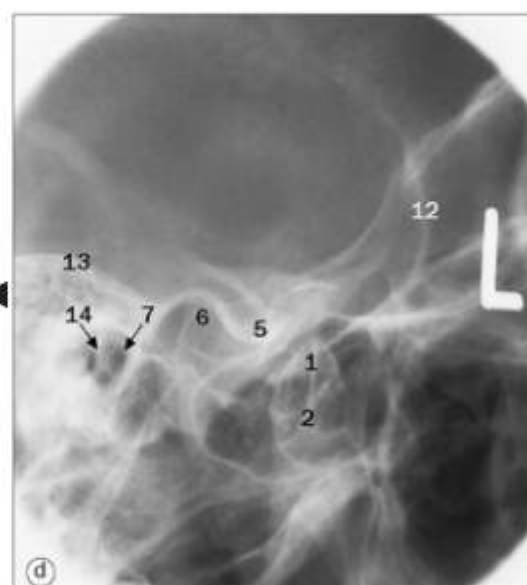
(b) RM da articulação temporomandibular: aberta.

RM da articulação temporomandibular com o indivíduo olhando para a esquerda.



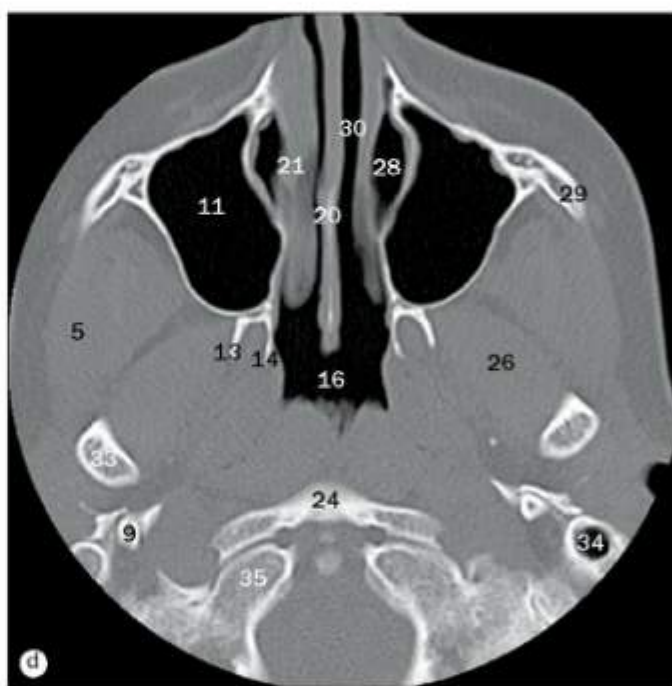
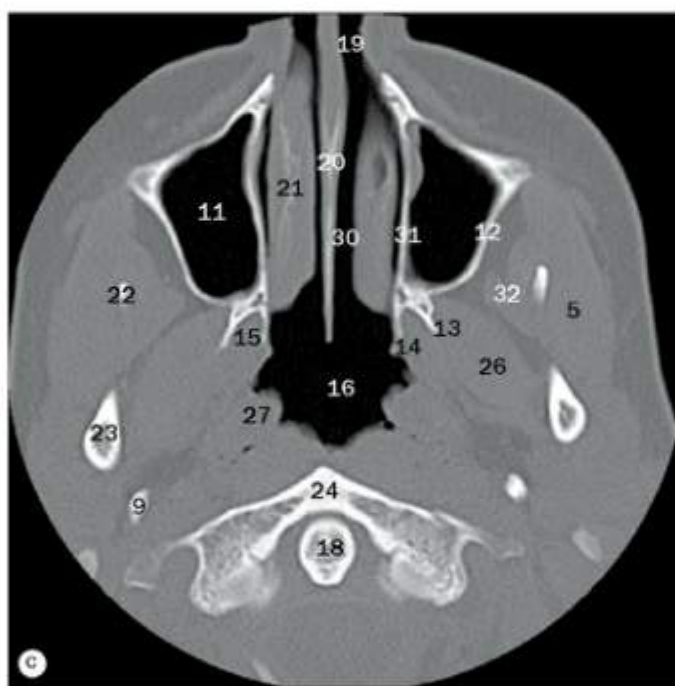
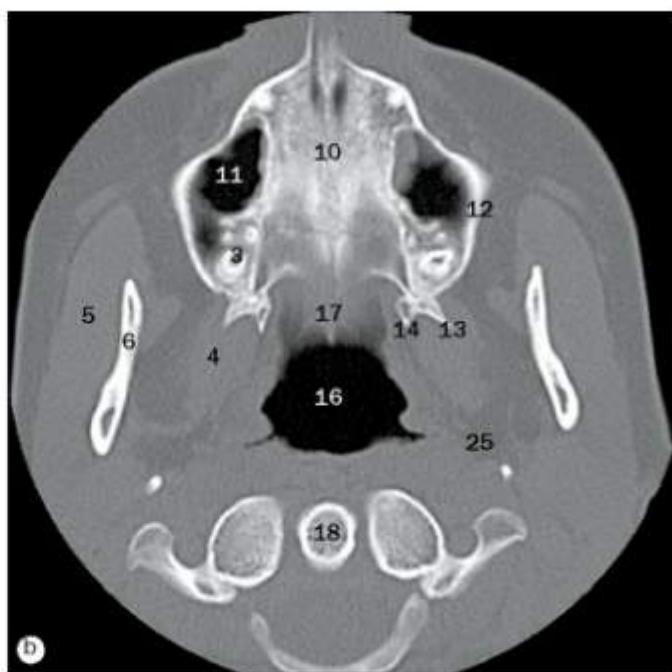
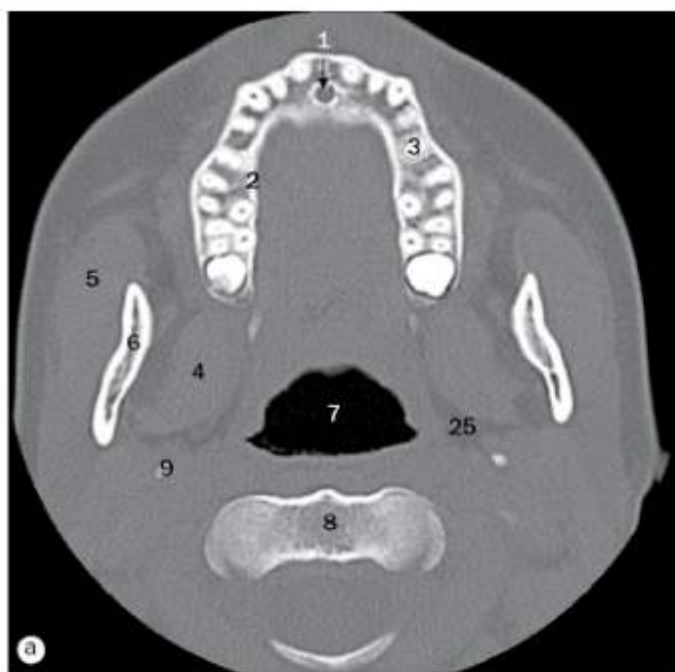
(c) Radiografia da articulação temporomandibular: fechada.

- 1: Processo condilar da mandíbula (cabeça da mandíbula)
- 2: Processo condilar da mandíbula (côlo da mandíbula)
- 3: Faixa anterior do disco articular
- 4: Faixa posterior do disco articular
- 5: Tubérculo articular
- 6: Fossa mandibular
- 7: Meato acústico externo
- 8: Processo mastoide do osso temporal
- 9: Lobo temporal do cérebro
- 10: Músculo temporal
- 11: Hélice da orelha externa
- 12: Asa maior do esfenóide
- 13: Tegme timpânico
- 14: Martelo
- 15: Processo zigomático do osso temporal
- 16: Sulco do seio sigmóideo



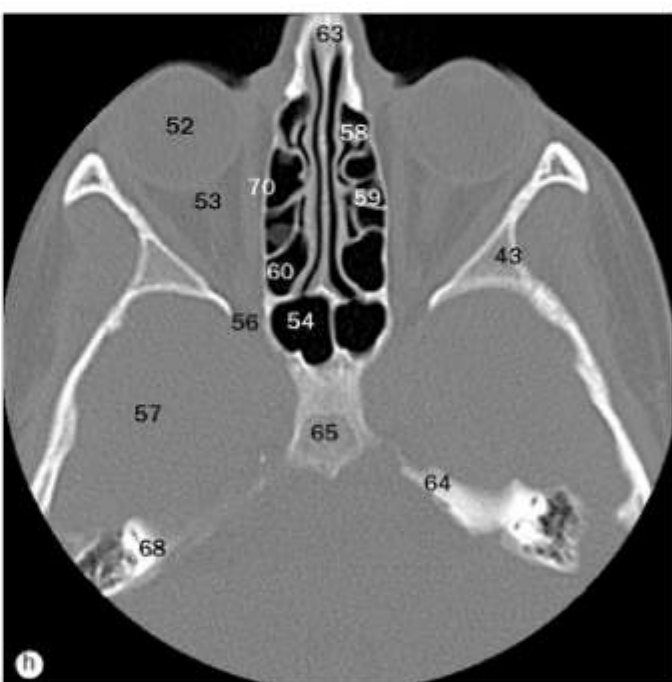
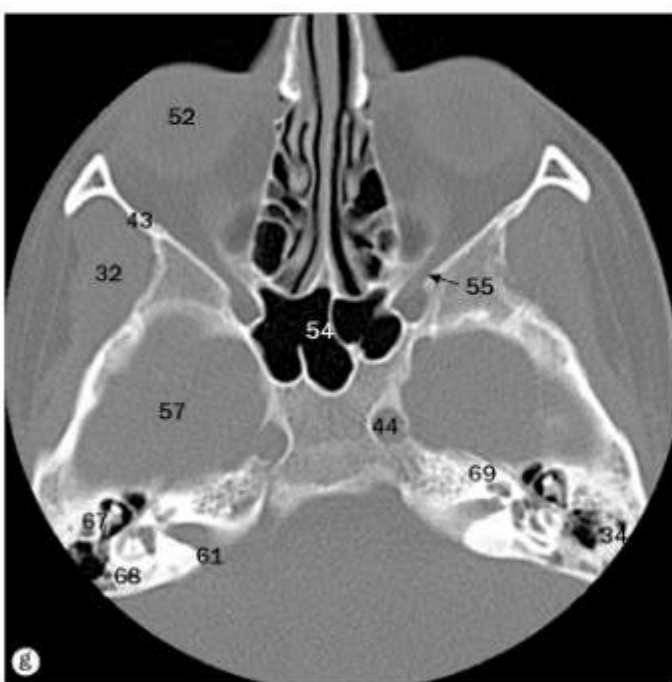
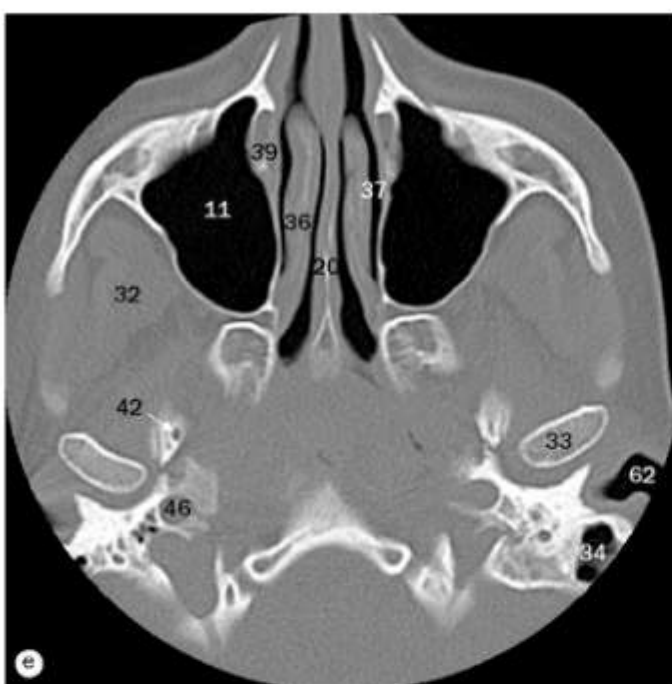
(d) Radiografia da articulação temporomandibular: aberta.

Radiografias da articulação temporomandibular com o indivíduo olhando para a direita.



Ossos da face e seios paranasais, imagens axiais de TC demonstradas nos seguintes níveis: (a) processo alveolar da maxila, (b) palato duro, (c) narinas, (d) seio maxilar, (e) concha nasal média, (f) arco zigomático, (g) seio esfenoidal, (h) células etmoidais.

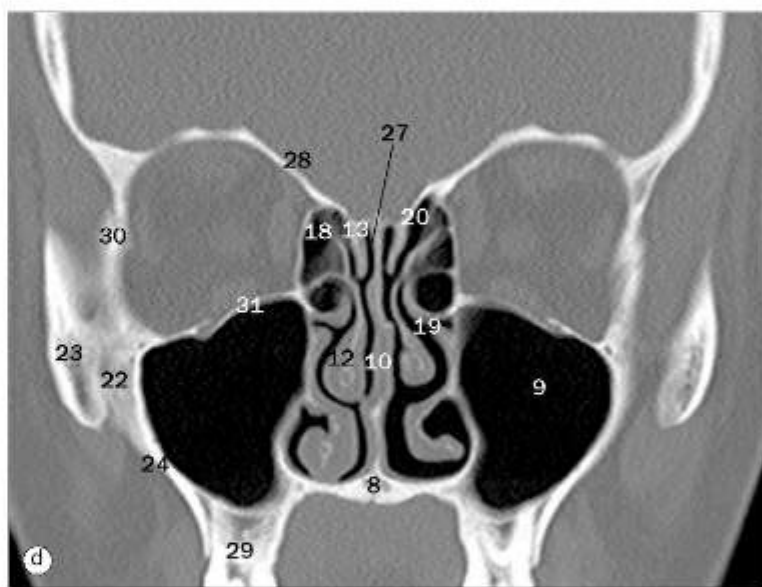
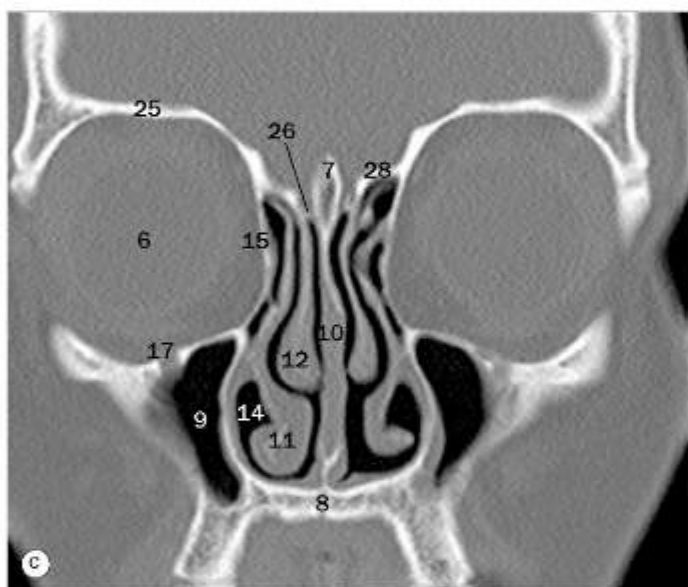
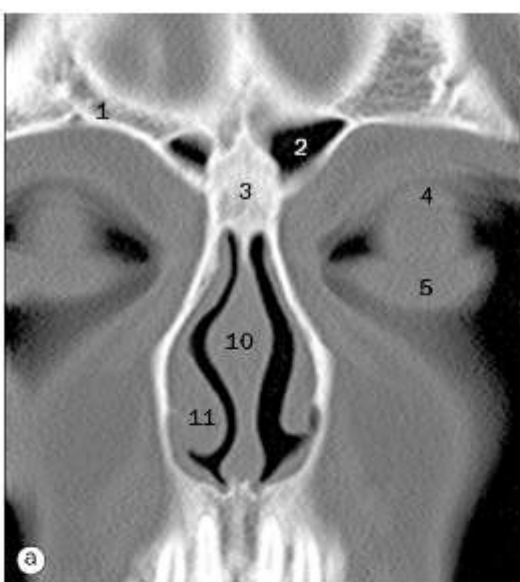
- | | | |
|---|--|--|
| 1 Canal incisivo | 14 Lâmina medial do processo pterigoide | 25 Espaço parafaringeo |
| 2 Arco alveolar | 15 Fossa pterigóidea | 26 Músculo pterigóideo lateral |
| 3 Alvéolo dental | 16 Parte nasal da faringe | 27 Toro tubárico |
| 4 Músculo pterigóideo medial | 17 Vômer | 28 Meato nasal inferior (no local da abertura do ducto lacrimal) |
| 5 Músculo masseter | 18 Dente do axis | 29 Arco zigomático |
| 6 Ramo da mandíbula | 19 Narinas | 30 Cavidade nasal |
| 7 Parte oral da faringe | 20 Septo nasal | 31 Parede medial do seio maxilar (antro) |
| 8 Corpo da vértebra C2 | 21 Concha nasal inferior | 32 Músculo temporal |
| 9 Processo estiloide | 22 Processo coronoide da mandíbula | 33 Processo condilar da mandíbula (cabeça da mandíbula) |
| 10 Palato duro | 23 Processo condilar da mandíbula (colo da mandíbula) | 34 Células mastoides |
| 11 Seio maxilar (antro) | 24 Arco anterior do atlas (primeira vértebra cervical) | |
| 12 Parede lateral do seio maxilar (antro) | | |
| 13 Lâmina lateral do processo pterigoide | | |



35 Côndilo occipital
36 Concha nasal média
37 Meato nasal médio
38 Concha nasal superior
39 Ducto lacrimonasal
40 Arco zigomático
41 Clivo
42 Forame espinhoso
43 Asa maior do esfenoide
44 Porção cavernosa da artéria carótida interna (parte cavernosa)
45 Porção petrosa horizontal do canal da artéria carótida interna

46 Porção petrosa vertical do canal da artéria carótida interna
47 Fossa pterigopalatina
48 Forame redondo
49 Canal pterigóideo
50 Cávidade da orelha média
51 Tuba auditiva
52 Bulbo do olho
53 Nervo óptico
54 Seio esfenoidal
55 Fissura orbital inferior
56 Fissura orbital superior
57 Lobo temporal

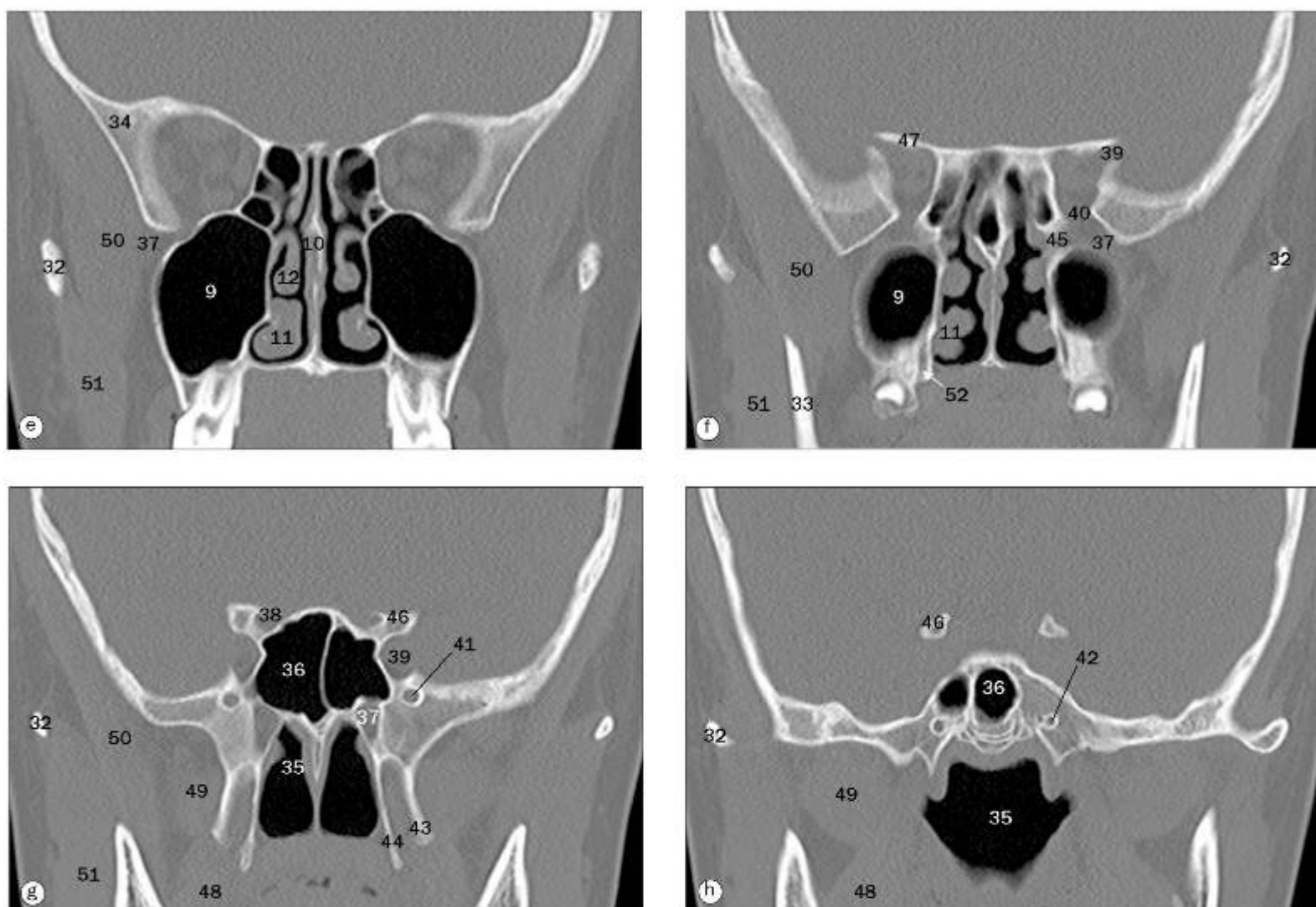
58 Células etmoidais anteriores
59 Células etmoidais médias
60 Células etmoidais posteriores
61 Meato acústico interno
62 Meato acústico externo
63 Osso nasal
64 Ápice da parte petrosa
65 Assoalho da sela turca
66 Forame lacerado
67 Ossículos da orelha média (bigorna e martelo)
68 Canais semicirculares da orelha interna
69 Cóclea da orelha interna
70 Lâmina orbital



Seios paranasais, imagens coronais de TC demonstradas nos seguintes níveis: (a) seios frontais, (b) ducto lacrimonasal, (c) lâmina cribriforme, (d) células etmoidais anteriores, (e) células etmoidais médias, (f) fossa pterigopalatina, (g) seio esfenoidal, (h) parte nasal da faringe.

- 1 Osso frontal
- 2 Seio frontal
- 3 Osso nasal
- 4 Pálpebra superior
- 5 Pálpebra inferior
- 6 Bulbo do olho
- 7 Crista etmoidal
- 8 Palato duro
- 9 Seio maxilar
- 10 Septo nasal

- 11 Concha nasal inferior
- 12 Concha nasal média
- 13 Concha nasal superior
- 14 Meato nasal inferior
- 15 Lâmina orbital
- 16 Ar no saco lacrimal
- 17 Fissura orbital inferior
- 18 Células etmoidais anteriores
- 19 Meato nasal médio
- 20 Meato nasal superior



Seios paranasais, imagens coronais de TC demonstradas nos seguintes níveis: (a) seios frontais, (b) ducto lacrimonasal, (c) lâmina cribriforme, (d) células etmoidais anteriores, (e) células etmoidais médias, (f) fossa pterigopalatina, (g) seio esfenoidal, (h) parte nasal da faringe.

21. Ducto lacrimonasal

22 Maxila

23 Zigmático

24 Parede lateral do seio maxilar

25 Teto da órbita, osso frontal

26 Lâmina cribriforme, osso etmoide

27 Lâmina perpendicular, osso etmoide

28 Incisura etmoidal, osso frontal

29 Margem alveolar superior

30 Parede lateral da órbita, osso zigmático

31 Assoalho da órbita, osso maxila

32 Arco zigmático

33 Ramo da mandíbula

34 Asa maior do esfenóide

35 Parte nasal da faringe

36 Seio esfenoidal

37 Fossa pterigopalatina

38 Canal óptico

39 Fissura orbital superior

40 Fissura orbital inferior

41 Forame redondo

42 Canal pterigóideo

43 Lâmina lateral do processo pterigoide

44 Lâmina medial do processo pterigoide

45 Forâme esfenopalatino

46 Processo clinóide anterior

47 Asa menor do esfenóide

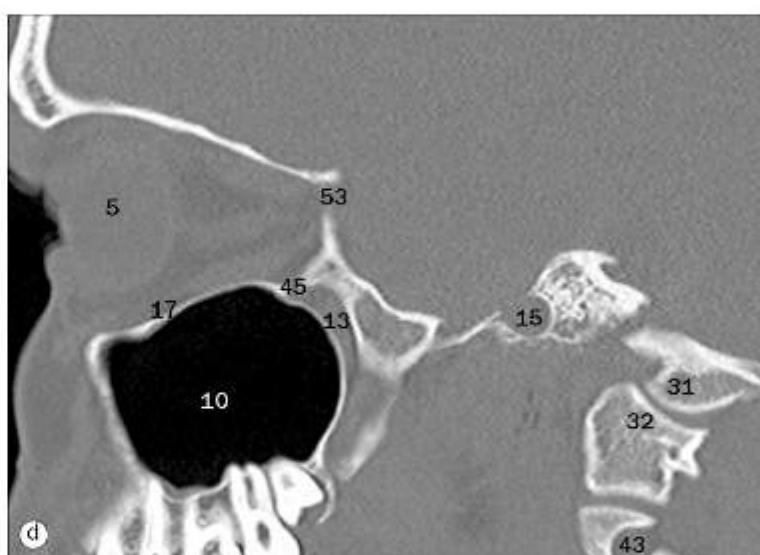
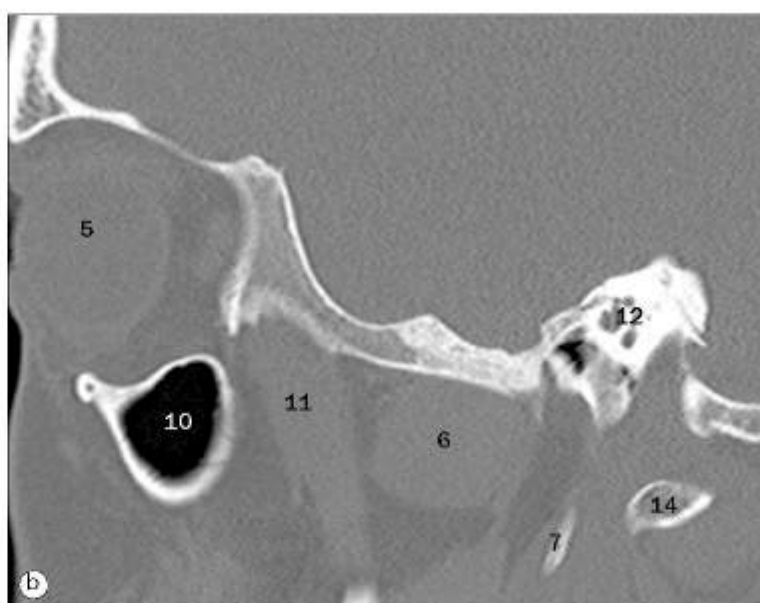
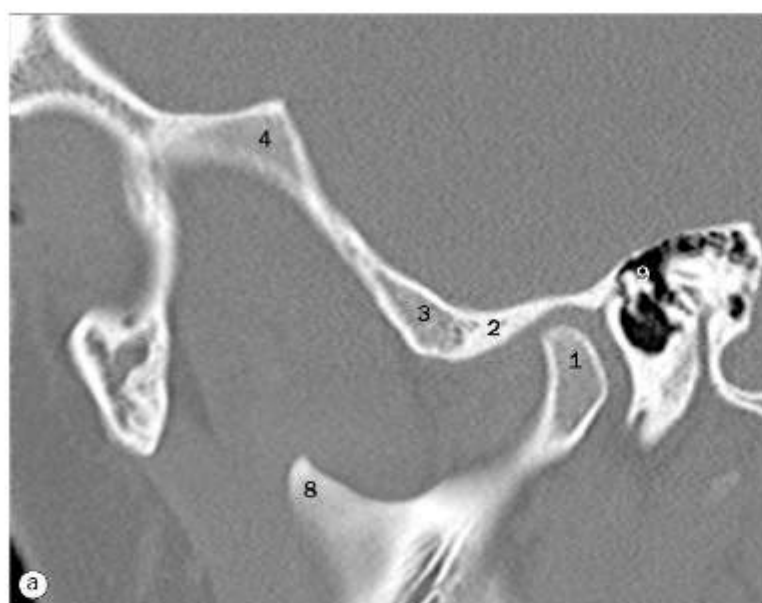
48 Músculo pterigóideo medial

49 Músculo pterigóideo lateral

50 Músculo temporal

51 Músculo masseter

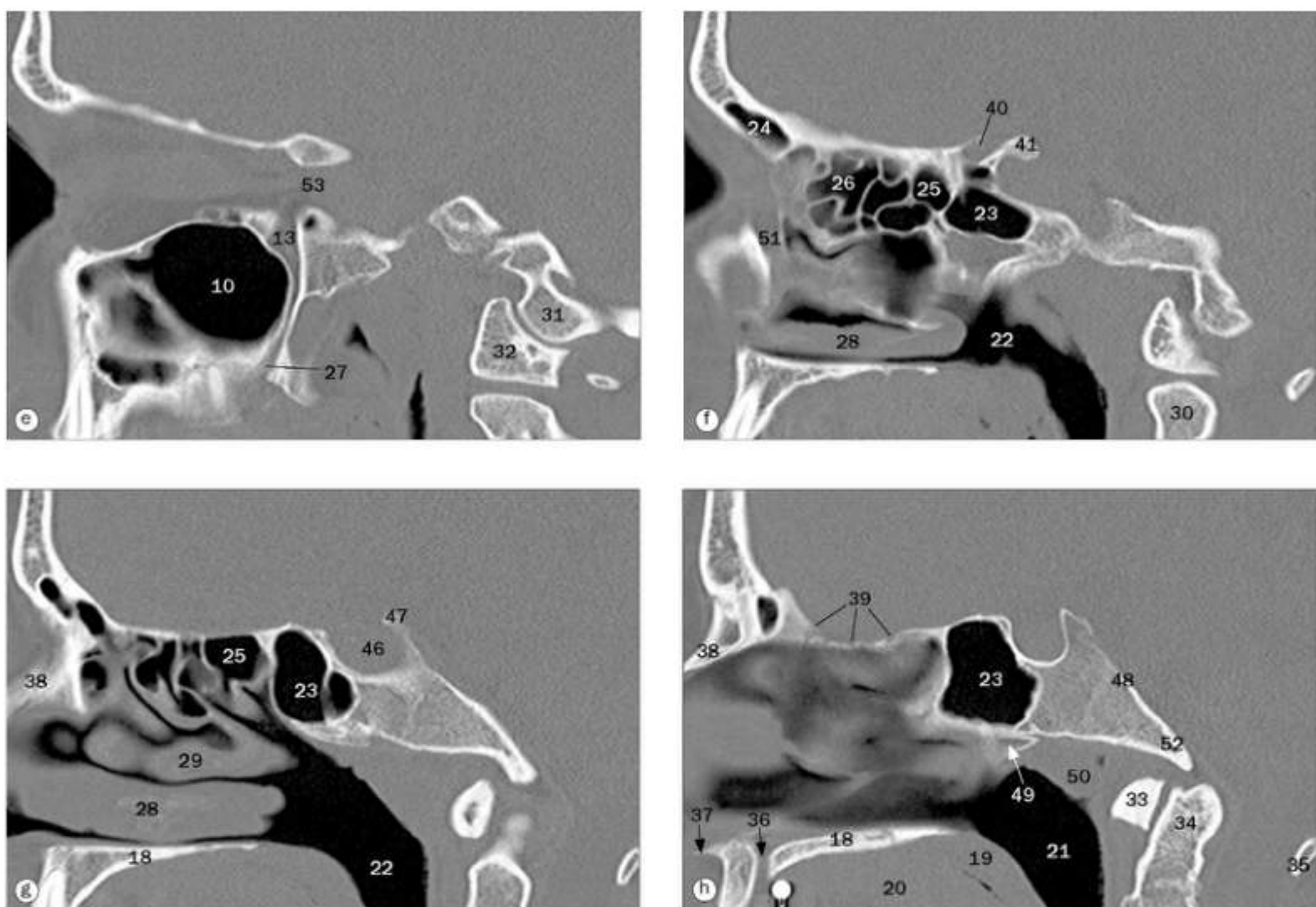
52 Forâme palatino maior



(a)-(h) Seios paranasais, imagens sagitais de TC, de lateral para a linha mediana.

- 1 Processo condilar da mandíbula
- 2 Tubérculo articular
- 3 Arco zigomático
- 4 Zigomático
- 5 Bulbo do olho
- 6 Músculo pterigóideo lateral
- 7 Processo estiloide
- 8 Processo coronoide da mandíbula
- 9 Orelha média
- 10 Seio maxilar
- 11 Músculo masseter
- 12 Orelha interna
- 13 Fossa pterigopalatina
- 14 Processo transverso de C1

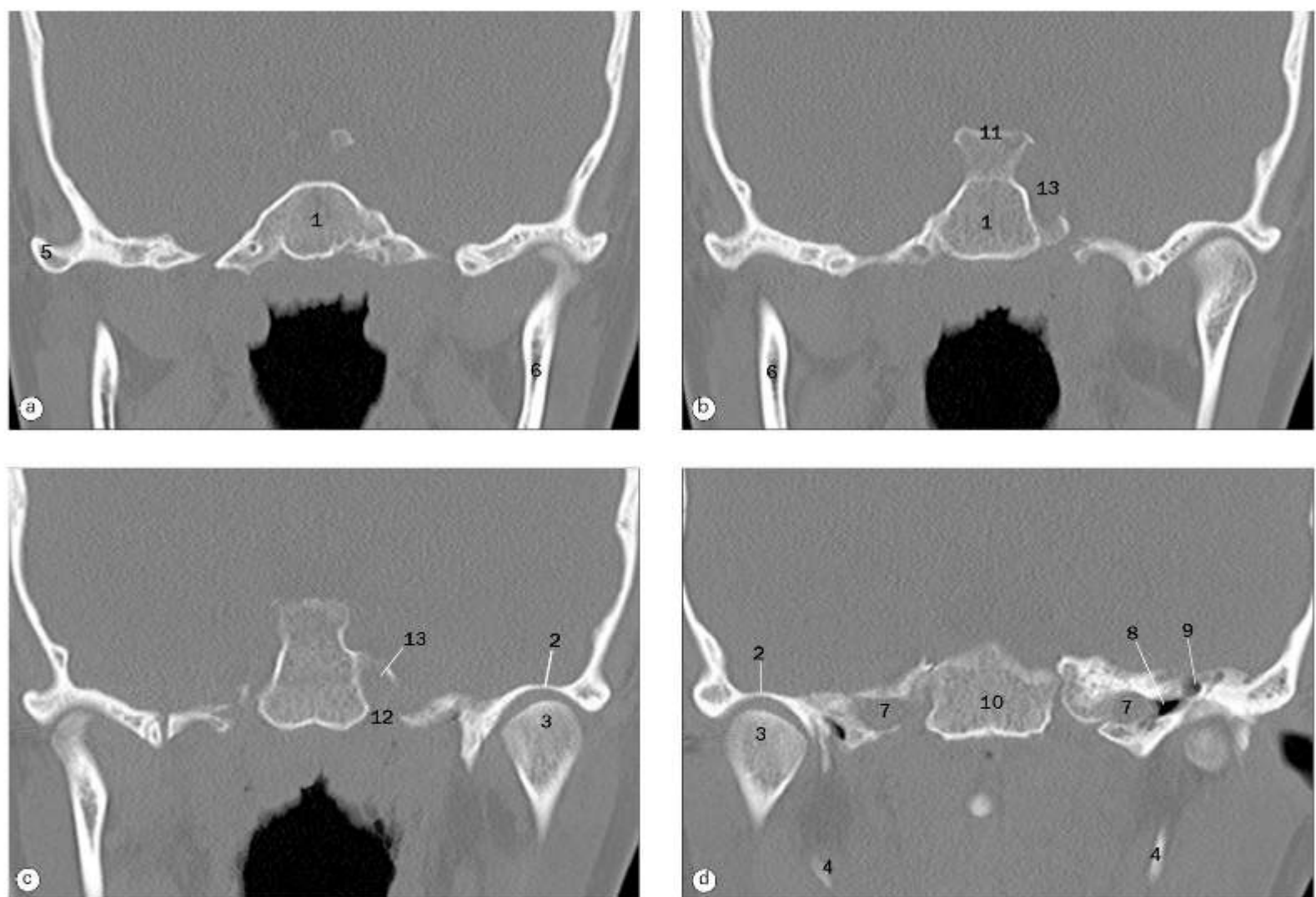
- 15 Porção petrosa horizontal do canal da artéria carótida interna
- 16 Osso frontal, teto da órbita
- 17 Osso maxila, assoalho da órbita
- 18 Palato duro
- 19 Palato mole
- 20 Língua
- 21 Parte oral da faringe
- 22 Parte nasal da faringe
- 23 Seio estenoidal
- 24 Seio frontal
- 25 Células etmoidais posteriores
- 26 Células etmoidais anteriores
- 27 Forame palatino maior
- 28 Concha nasal inferior



(a)-(h) Seios paranasais, imagens sagitais de TC, de lateral para a linha mediana.

- 29 Concha nasal média
- 30 Base de C2
- 31 Côndilo occipital
- 32 Massa lateral de C1
- 33 Arco anterior de C1
- 34 Dente do áxis
- 35 Arco posterior de C1
- 36 Forame incisivo (contém o nervo nasopalatino – ramo sensitivo V2)
- 37 Espinha nasal anterior
- 38 Osso nasal
- 39 Lâmina cibritiforme
- 40 Canal óptico

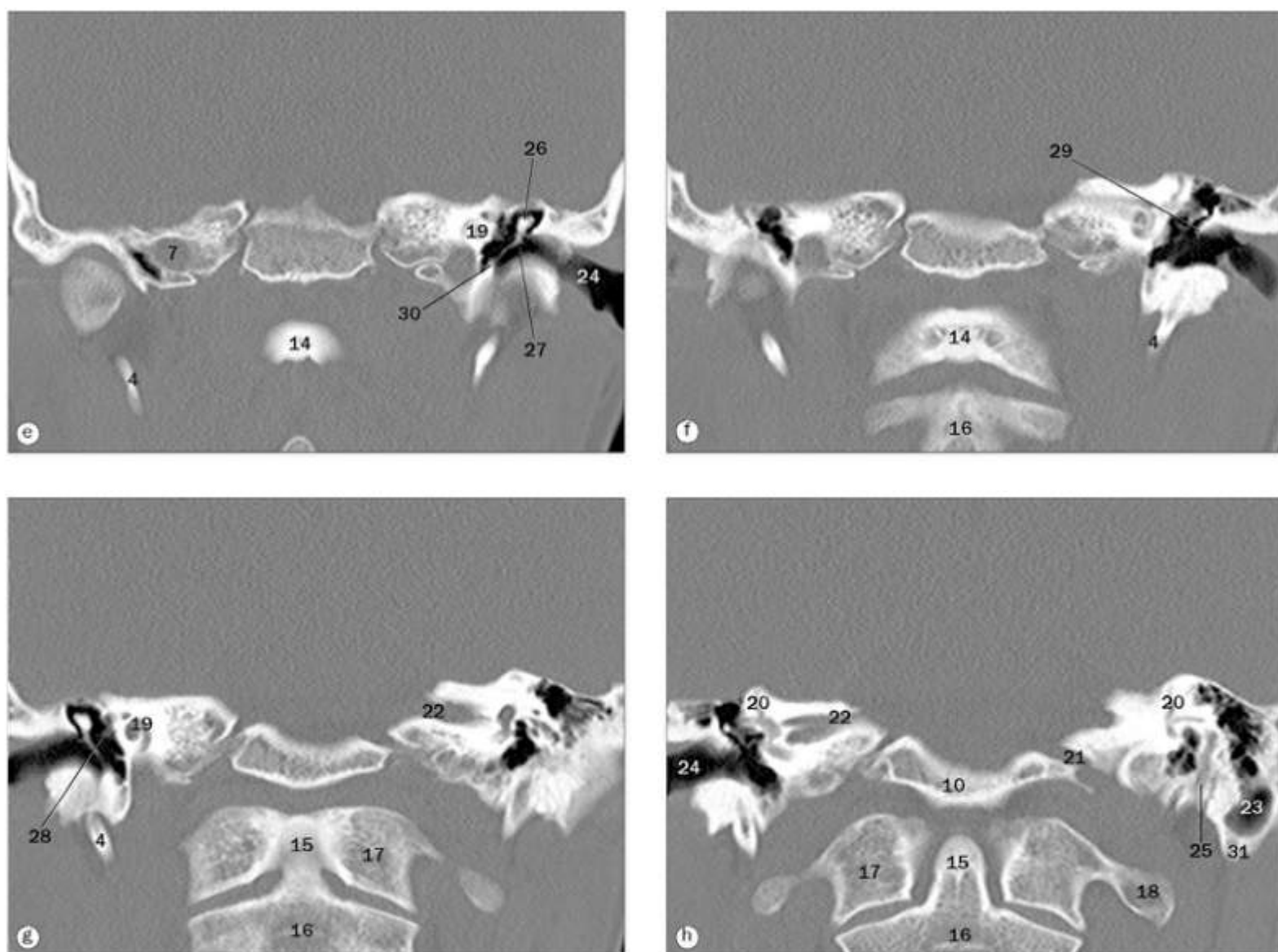
- 41 Processo clinóide anterior
- 42 Tubérculos do processo transverso de C1
- 43 Forame transverso de C2
- 44 Meato acústico interno
- 45 Fissura orbital inferior
- 46 Fossa hipofisial
- 47 Dorso da sela turca
- 48 Clivo
- 49 Vômer
- 50 Tonsila faríngea
- 51 Ducto lacrimal nasal
- 52 Básio
- 53 Fissura orbital superior



(a)-(h) Imagens coronais de TC, da região anterior para posterior.

- 1 Corpo do esfenoide
- 2 Fossa mandibular da articulação temporomandibular
- 3 Cabeça da mandíbula
- 4 Processo estiloide
- 5 Arco zigomático
- 6 Ramo da mandíbula
- 7 Porção petrosa horizontal do canal da artéria carótida interna
- 8 Hipotímpano

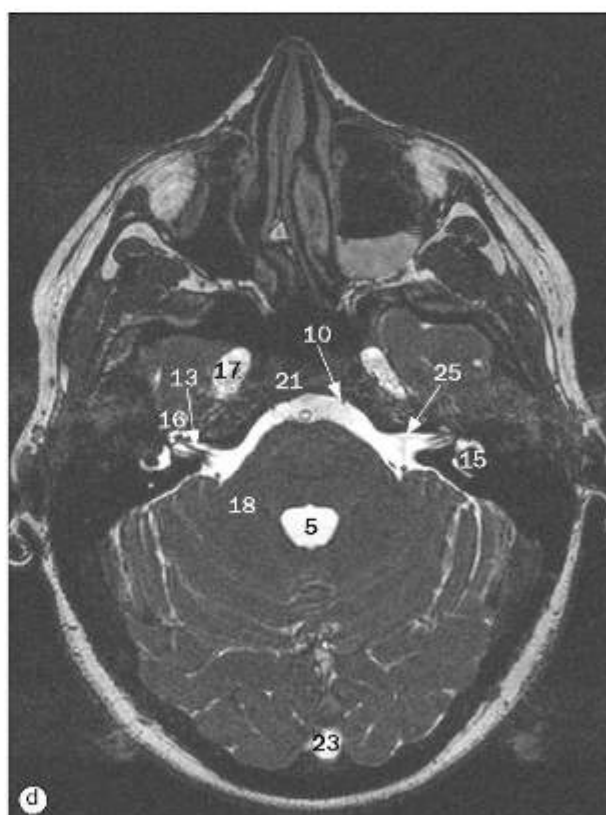
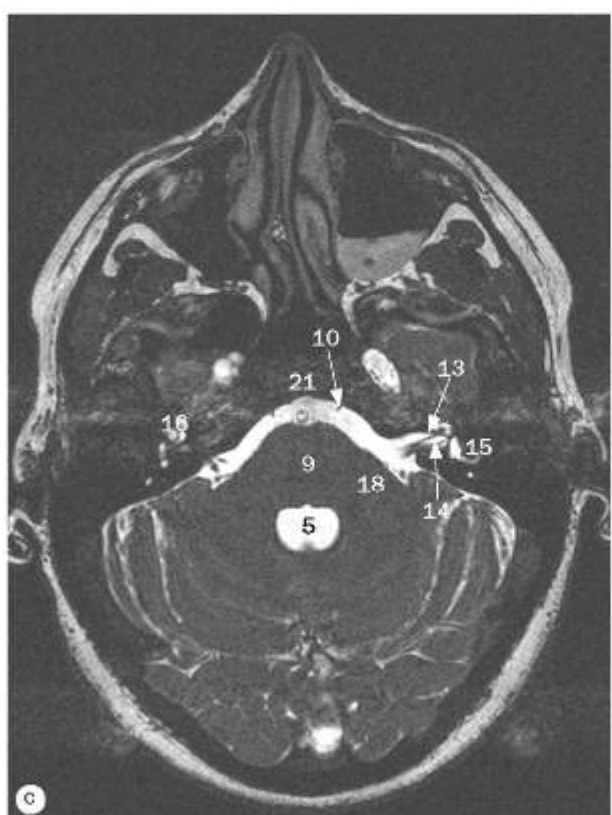
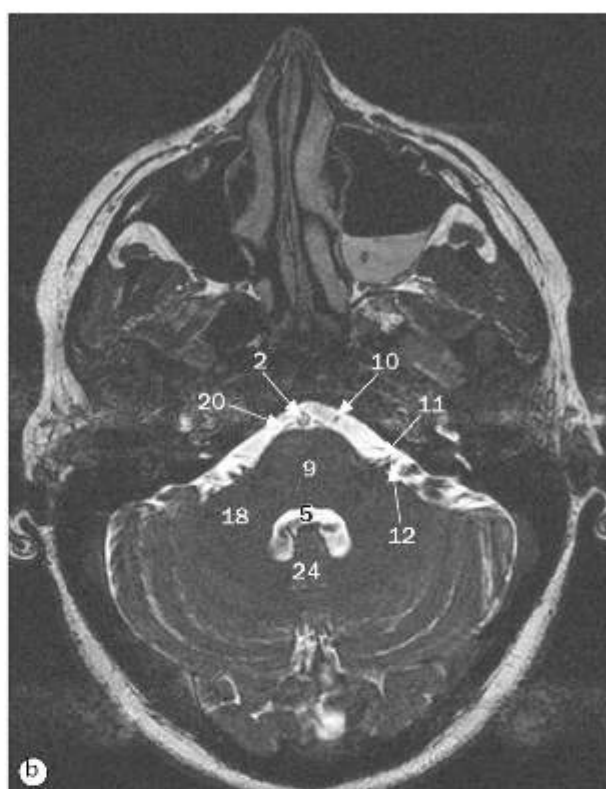
- 9 Epitímpano
- 10 Parte basilar do occipital
- 11 Dorso da sela turca
- 12 Forame lacerado
- 13 Localização da parte vertical da artéria carótida interna
- 14 Arco anterior de C1
- 15 Dente do áxis
- 16 Corpo de C2



(a)-(h) Imagens coronais de TC, da região anterior para posterior.

17 Massa lateral de C1
18 Processo transverso de C1
19 Cóclea
20 Canal semicircular
21 Forame jugular
22 Meato acústico interno
23 Células mastoídeas
24 Meato acústico externo

25 Forame estilomastóideo (localização do segmento mastoide do NC VII)
26 Bigorna
27 Martelo
28 Tendão do músculo tensor do tímpano
29 Esporão do ático
30 Anel timpânico
31 Extremidade do processo mastoide



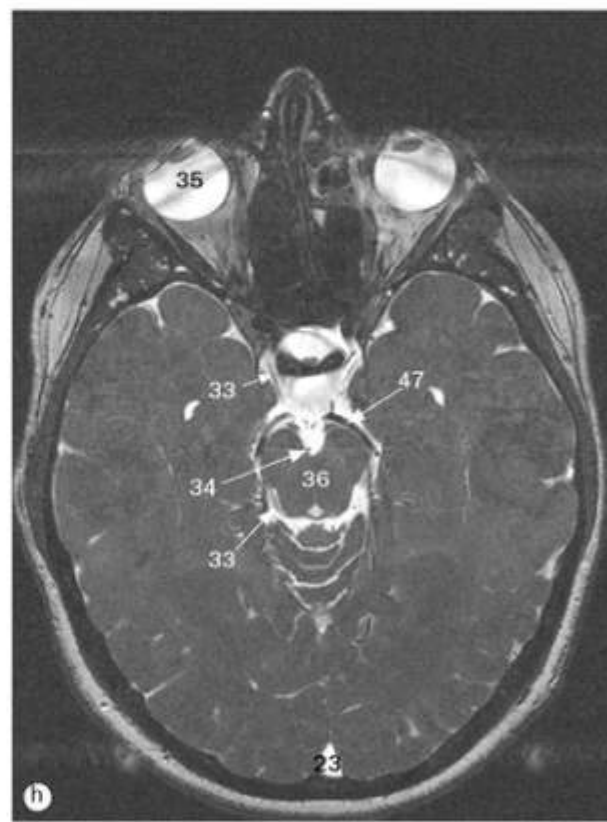
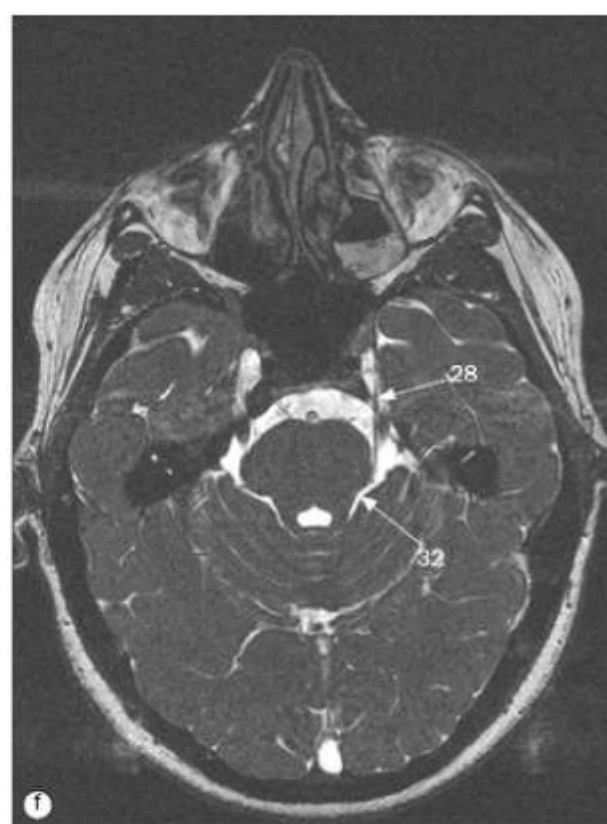
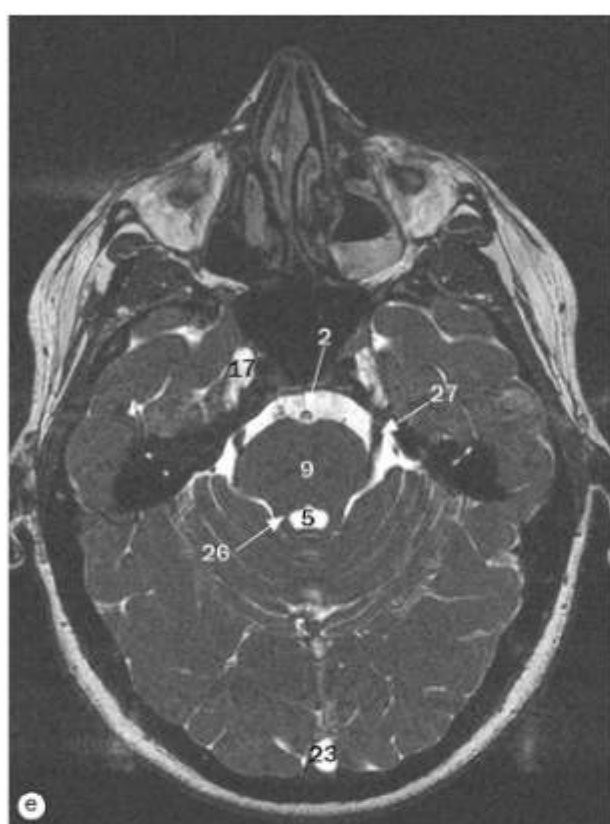
(a)-(h) Imagens axiais de RM, da região inferior para superior.

- 1 Nervo glossofaríngeo (NC IX)
- 2 Artéria basilar
- 3 Forame jugular
- 4 Bulbo

- 5 Quarto ventrículo
- 6 Nervo vago (NC X)
- 7 Hemisfério cerebelar
- 8 Artéria carótida interna

- 9 Ponte
- 10 Nervo abducente (NC VI)
- 11 Nervo facial (NC VII)
- 12 Nervo vestibulococlear (NC VIII)

As legendas das páginas 16-19 são comuns para todas as quatro páginas.



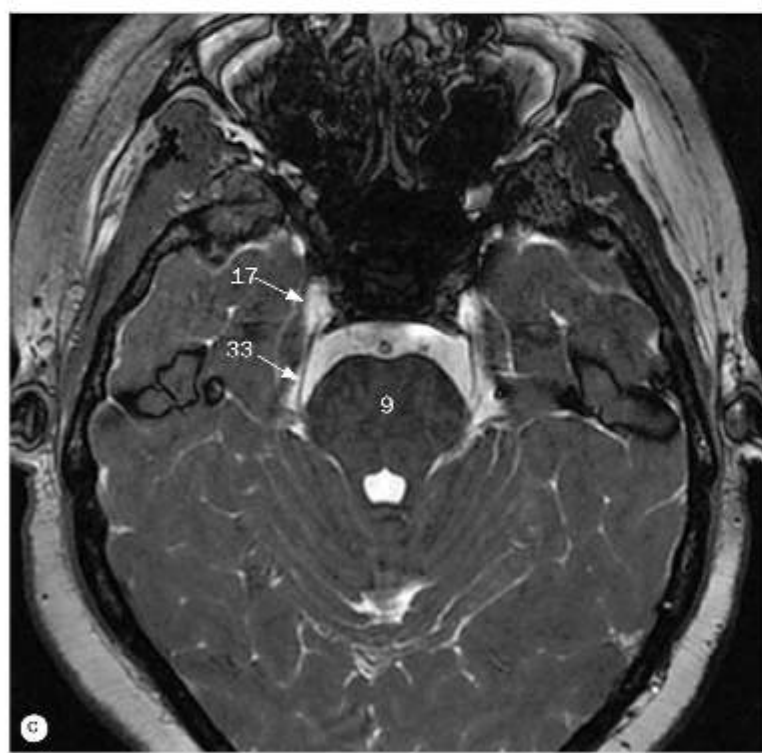
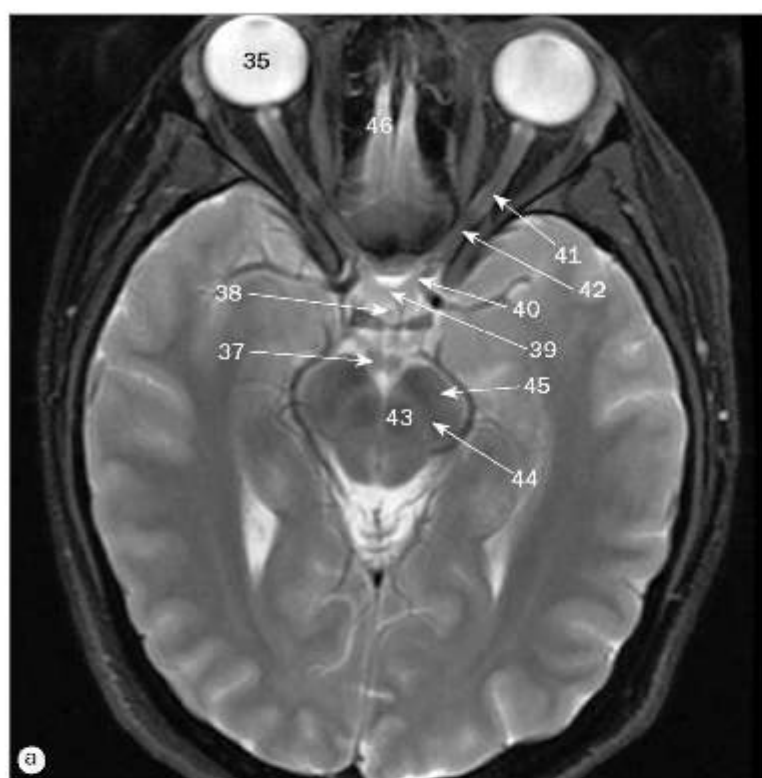
(a)-(h) Imagens coronais de TC, da região inferior para superior.

13 Nervo coclear
14 Nervo vestibular
15 Canais semicirculares
16 Cóclea

17 Cavidade trigeminal
18 Pedúnculo cerebelar médio
19 Abertura lateral do quarto ventrículo
20 Artéria cerebelar inferior anterior

21 Clivo
22 Nervo facial no forame estilomastóideo
23 Seio sagital superior
24 Verme

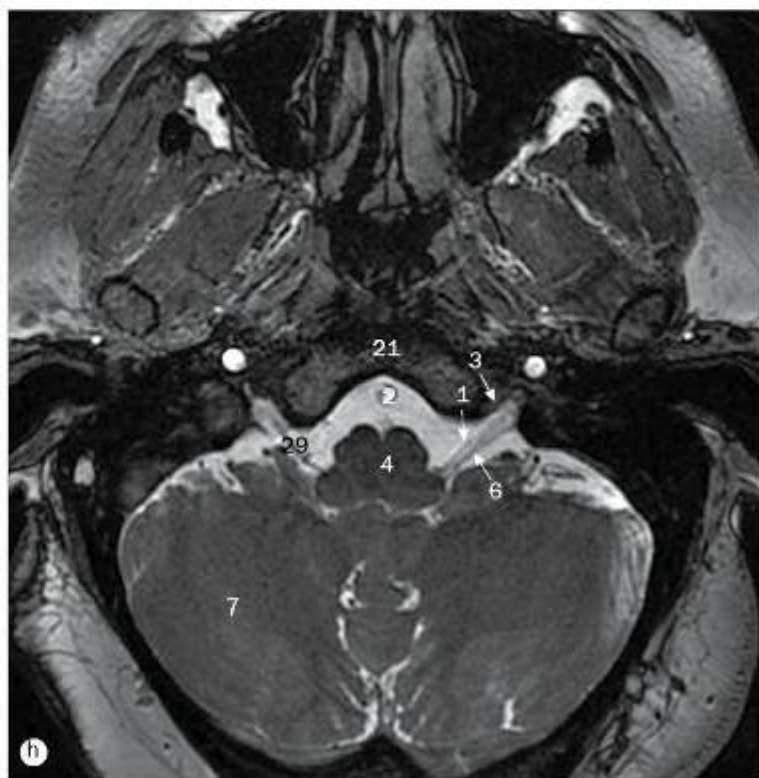
As legendas das páginas 16-19 são comuns para todas as quatro páginas.



Nervos cranianos, imagens de RM de (a) nervos olfatório e óptico, (b) nervo oculomotor, (c) nervo troclear, (d) nervo trigêmeo, (e) e (f) nervos abducente, facial e vestibulococlear, (g) nervo glossofaríngeo, (h) nervo hipoglosso.

- 25 Meato acústico interno
- 26 Pedúnculo cerebelar superior
- 27 Segmento pré-ganglionar do NC V (trigêmeo)
- 28 NC V entra na cavidade trigeminal
- 29 Nervo oculomotor (NC III)
- 30 NC III na cisterna oculomotora

- 31 Hipófise
- 32 Cistema ambiens
- 33 Nervo troclear (NC IV)
- 34 Cistema Interpeduncular
- 35 Bulbo do olho
- 36 Mesencéfalo



Nervos cranianos, imagens de RM de (a) nervos olfatório e óptico, (b) nervo oculomotor, (c) nervo troclear, (d) nervo trigâneo, (e) e (f) nervos abducente, facial e vestibuloclear, (g) nervo glossofaríngeo, (h) nervo hipoglosso.

37 Corpo mamilar

38 Infundíbulo

39 Quiasma óptico

40 Nervo óptico, parte intracraniana

41 Nervo óptico, parte intraocular

42 Nervo óptico, parte do canal

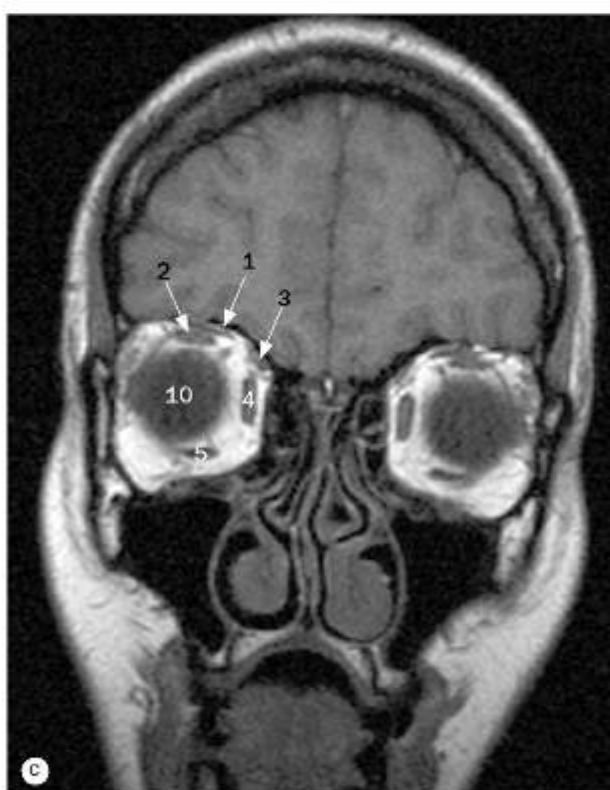
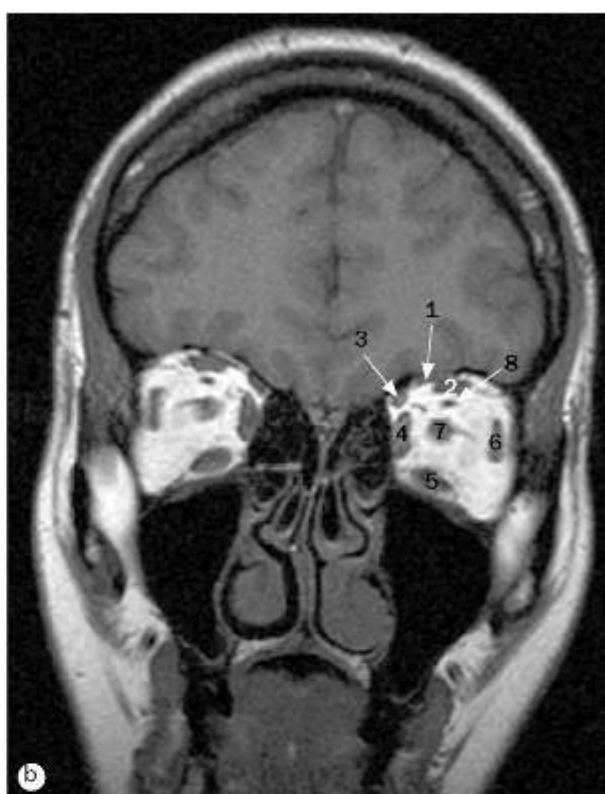
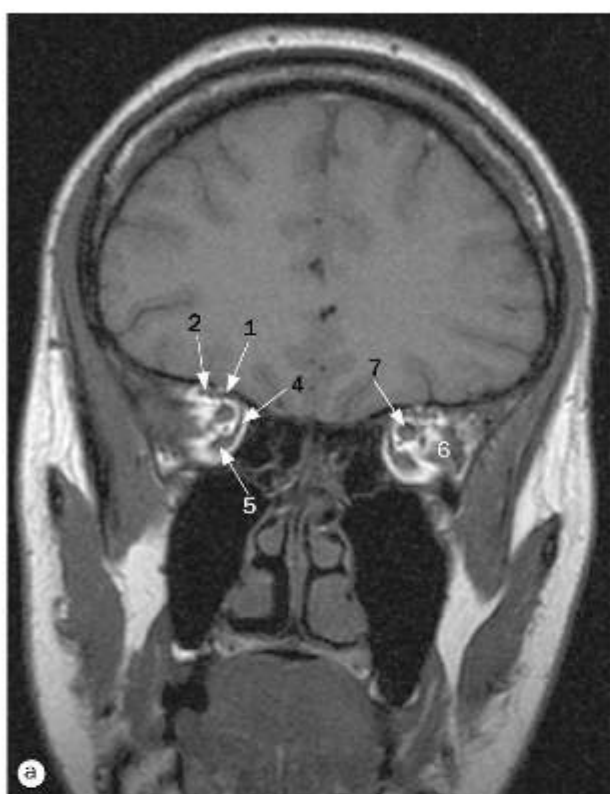
43 Núcleo rubro do mesencéfalo

44 Substância negra

45 Pédunculo cerebral

46 Trato e bulbo olfatório (NC I)

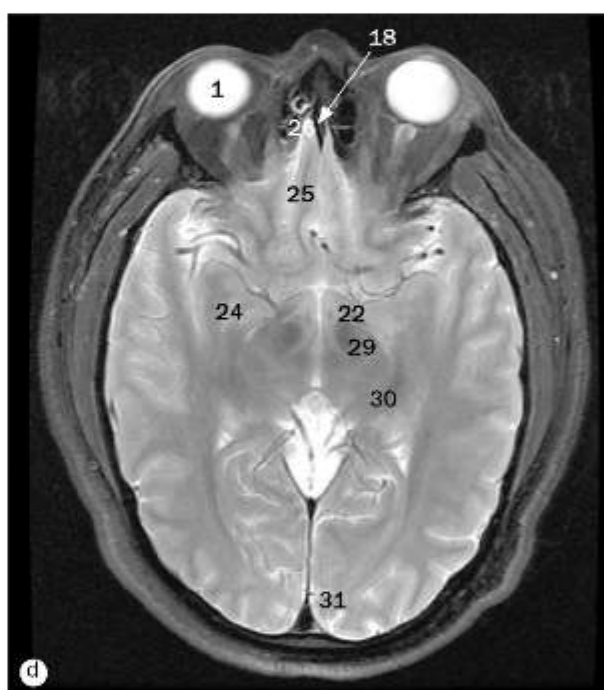
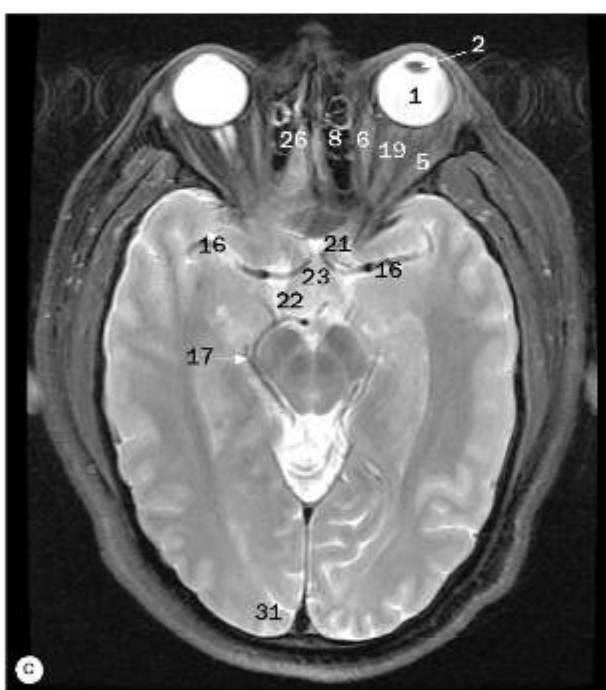
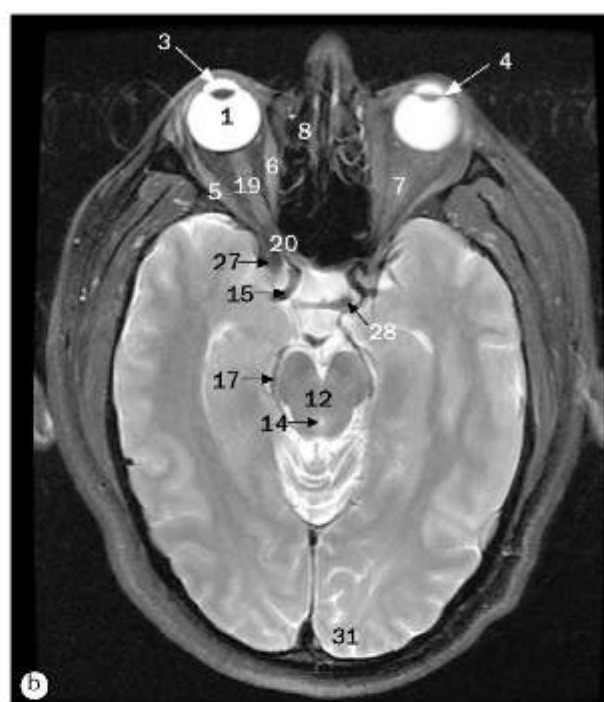
47 Artéria cerebral posterior



(a)-(d) Imagens coronais de RM, da região posterior para anterior.

- 1 Músculo levantador da pálpebra superior
- 2 Músculo reto superior
- 3 Músculo oblíquo superior
- 4 Músculo reto medial
- 5 Músculo reto inferior

- 6 Músculo reto lateral
- 7 Complexo nervo óptico/bainha do nervo óptico
- 8 Veia oftálmica superior
- 9 Glândula lacrimal
- 10 Bulbo do olho

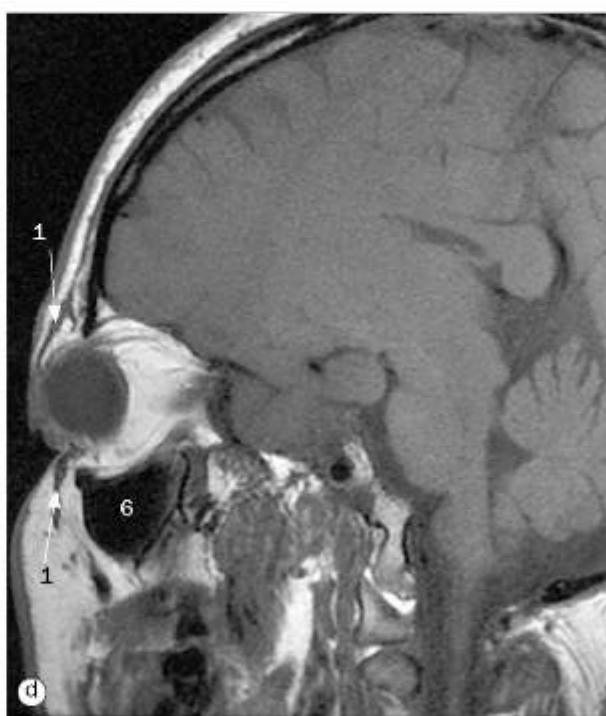
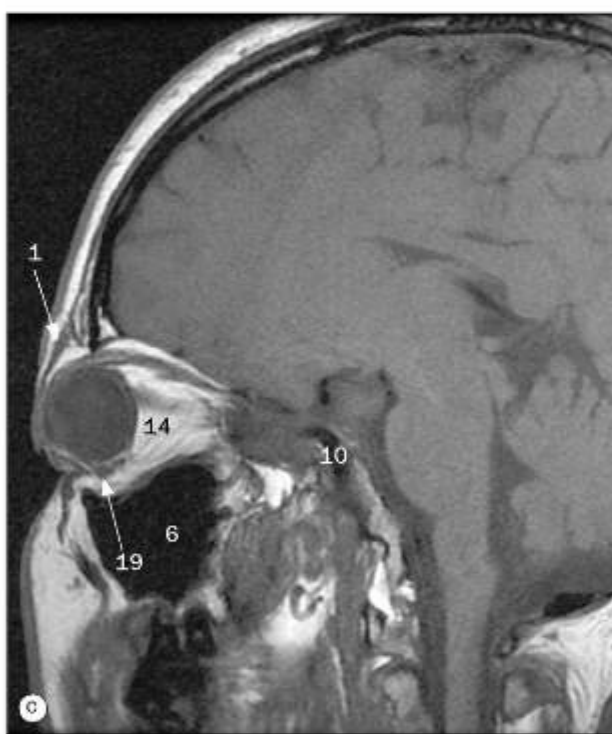
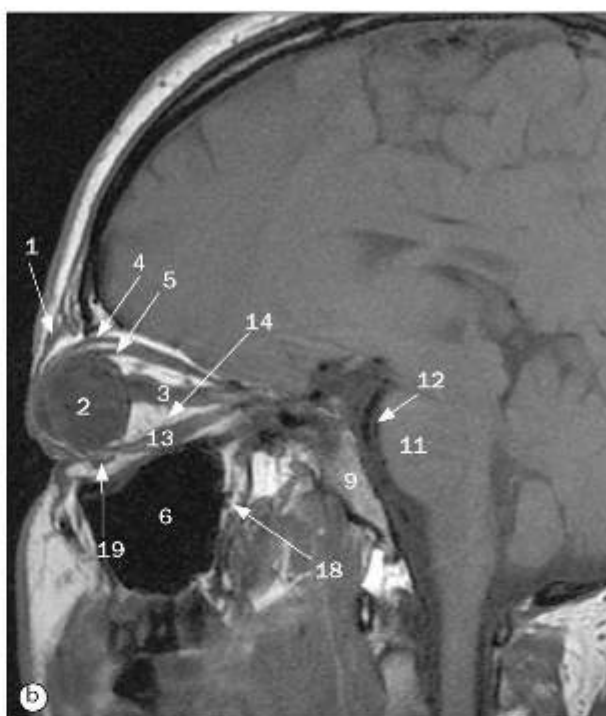
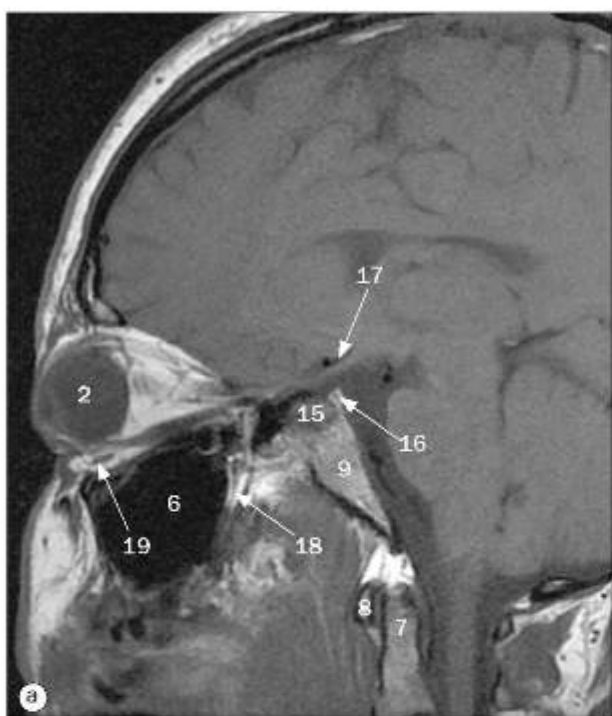


(a)-(d) Órbita, imagens de RM axiais, da região inferior para superior.

- 1 Câmera postrema do bulbo do olho
- 2 Lente
- 3 Câmera anterior do bulbo do olho
- 4 Corpo ciliar
- 5 Músculo reto lateral
- 6 Músculo reto medial
- 7 Músculo reto superior
- 8 Células etmoidais
- 9 Seio estenoidal
- 10 Artéria basilar
- 11 Ponte

- 12 Mesencéfalo
- 13 Recesso superior do quarto ventrículo
- 14 Aqueduto do mesencéfalo
- 15 Arteria carótida interna
- 16 Arteria cerebral média
- 17 Arteria cerebral posterior
- 18 Crista etmoidal
- 19 Nervo óptico (parte intraocular)
- 20 Nervo óptico (parte do canal)
- 21 Nervo óptico (parte intracraniana)
- 22 Trato óptico

- 23 Quiasma óptico
- 24 Comissura anterior
- 25 Giro reto
- 26 Nervo olfatório (NC I)
- 27 Processo clinóide anterior
- 28 Dorso da sela turca
- 29 Pedúnculo cerebral
- 30 Corpos geniculados medial e lateral
- 31 Córtez visual (calcarino)



(a)-(d) Órbita, imagens sagitais de RM, da região medial para lateral.

1 Músculo orbicular do olho

2 Bulbo do olho

3 Nervo óptico, parte intraorbital

4 Músculo levantador da pálpebra superior

5 Músculo reto superior

6 Seio maxilar

7 Dente do axis

8 Arco anterior do atlas

9 Clivo

10 Artéria carótida interna

11 Ponte

12 Artéria basilar

13 Músculo reto inferior

14 Corpo adiposo da órbita

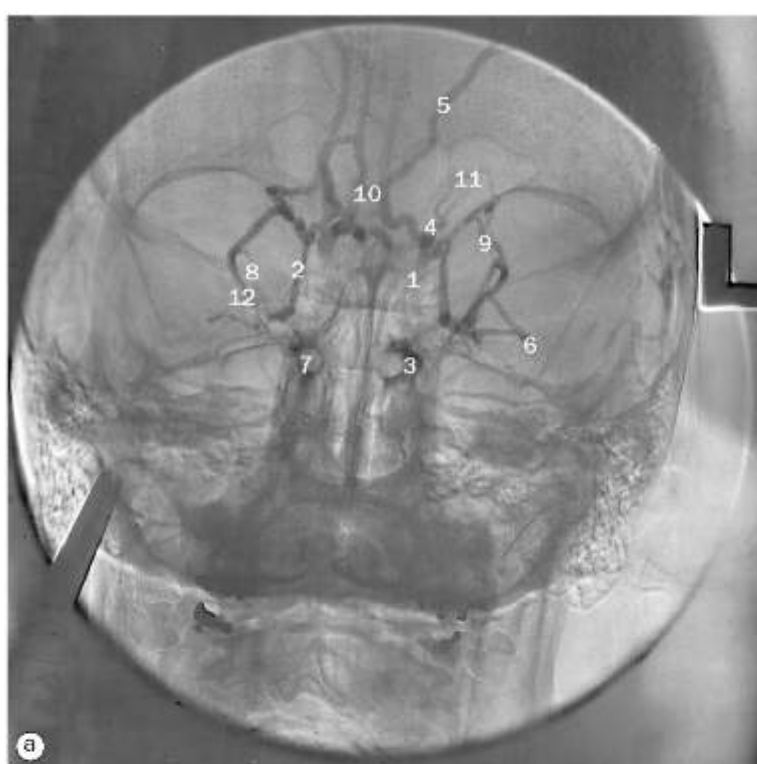
15 Sela turca/hipófise

16 Dorso da sela turca

17 Nervo óptico, parte intracraniana

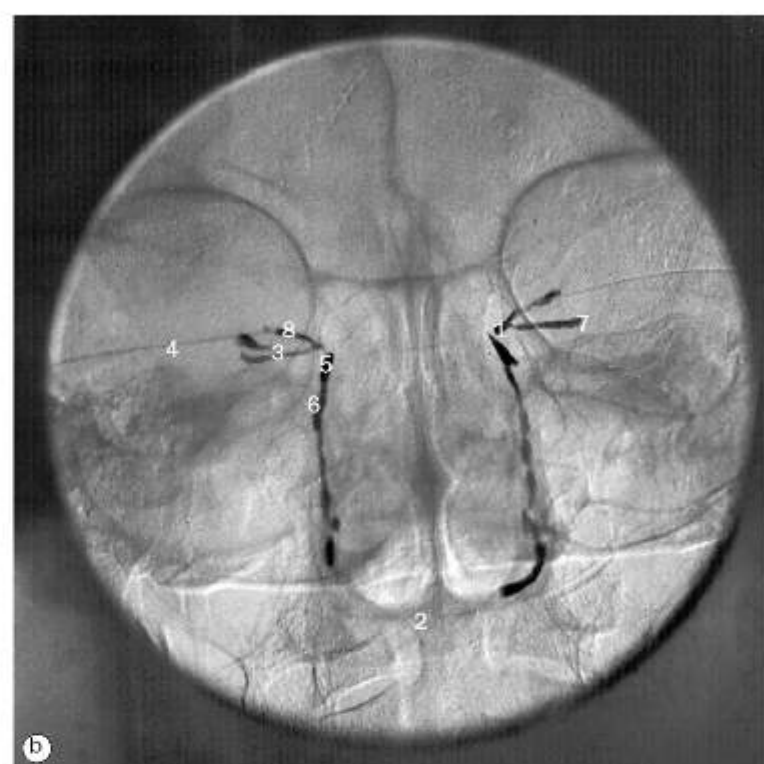
18 Fossa pterigopalatina

19 Músculo obliquo inferior



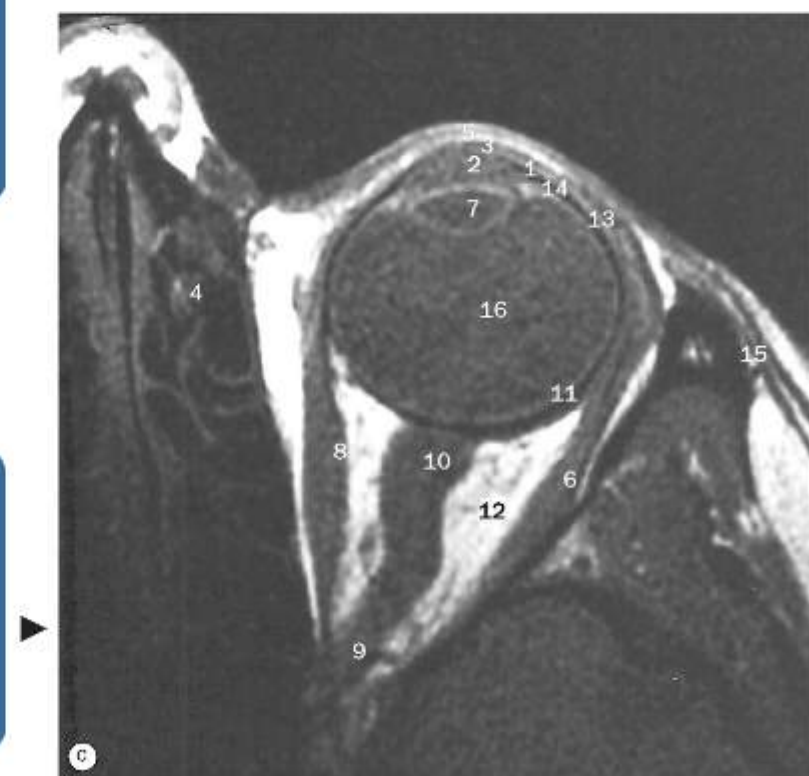
(a) Venografia orbital.

- 1 Veias angulares
- 2 Veia colateral anterior
- 3 Seio cavernoso
- 4 Primeira parte da veia oftálmica superior
- 5 Veias frontais
- 6 Veia oftálmica inferior
- 7 Artéria carótida interna
- 8 Veia colateral medial
- 9 Segunda parte da veia oftálmica superior
- 10 Veia comunicante superficial
- 11 Veia supraorbital
- 12 Terceira parte da veia oftálmica superior



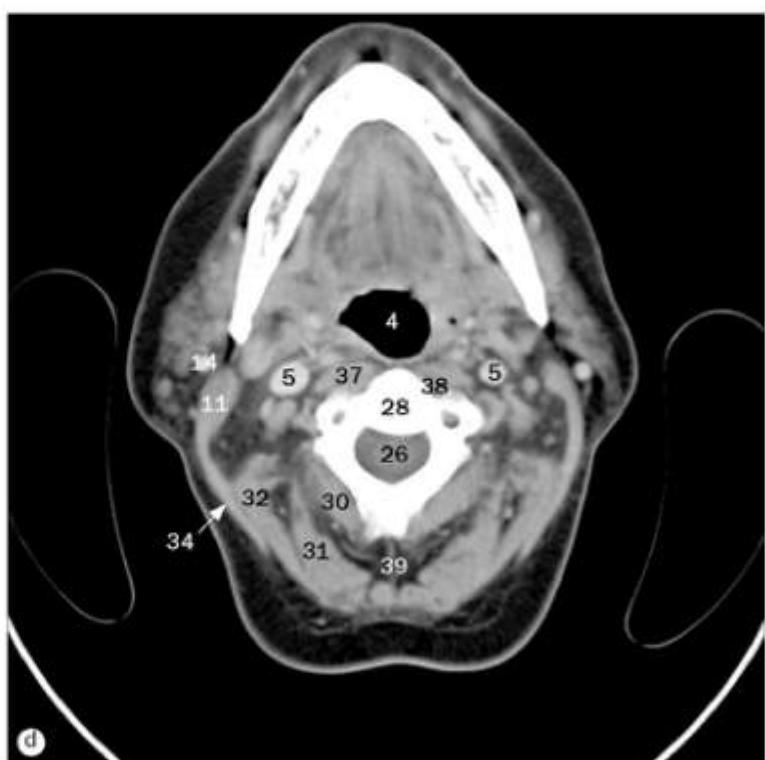
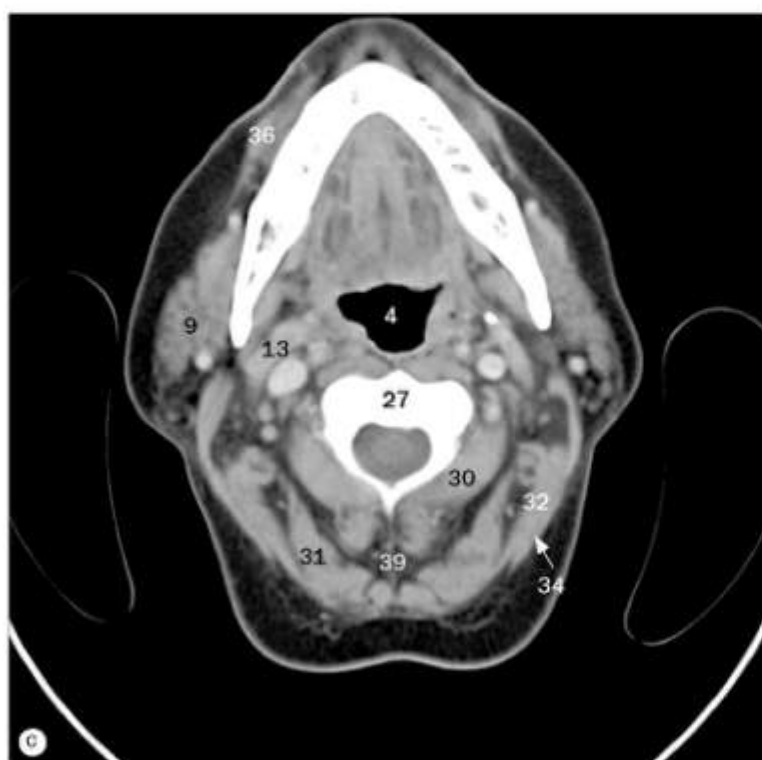
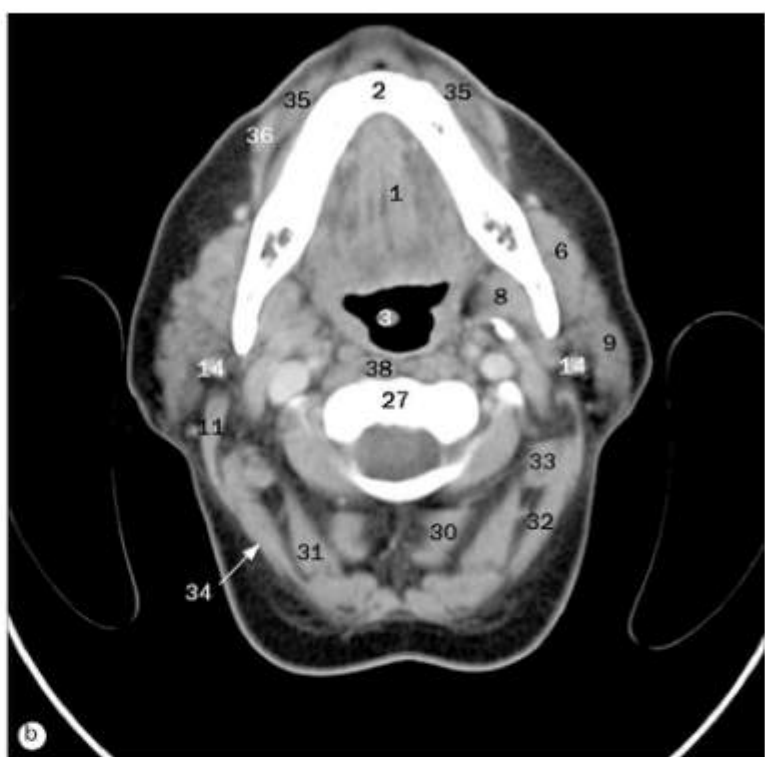
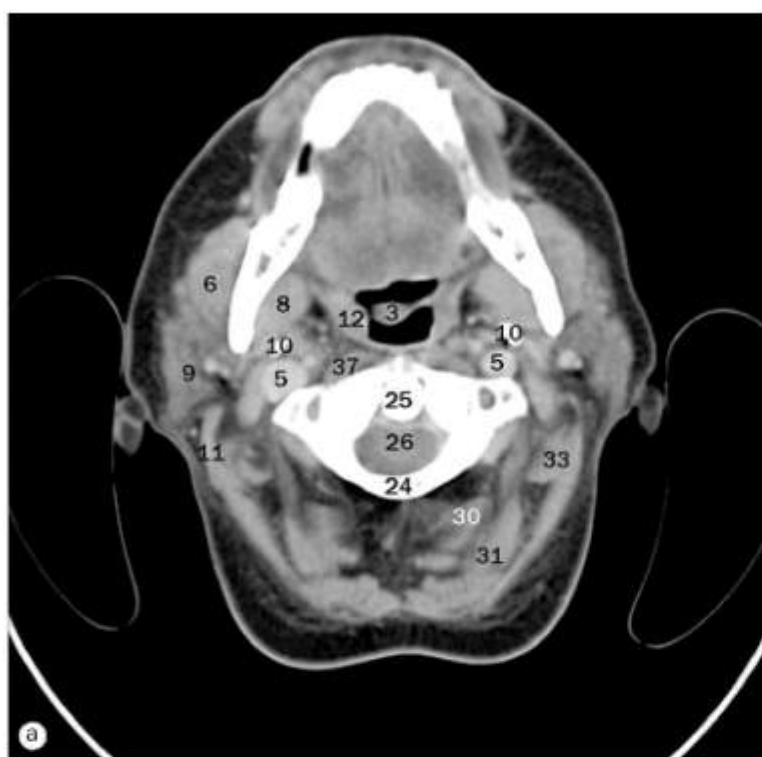
(b) Macrodacriocistografia.

- 1 Canalículo comum
- 2 Palato duro
- 3 Canalículo inferior
- 4 Cateteres lacrimais
- 5 Saco lacrimal
- 6 Ducto lacrimonasal
- 7 Local do ponto lacrimal
- 8 Canalículo superior



(c) Bulbo do olho, imagem axial de RM.

- | | |
|------------------------|---------------------------------|
| 1 Câmara anterior | 10 Nervo óptico |
| 2 Humor aquoso | 11 Retina e corioide |
| 3 Córnea | 12 Corpo adiposo da órbita |
| 4 Células etmoidais | 13 Esclera |
| 5 Pálpebra | 14 Ligamento suspensor da lente |
| 6 Músculo reto lateral | 15 Músculo temporal |
| 7 Lente | 16 Humor vítreo |
| 8 Músculo reto medial | |
| 9 Artéria oftálmica | |

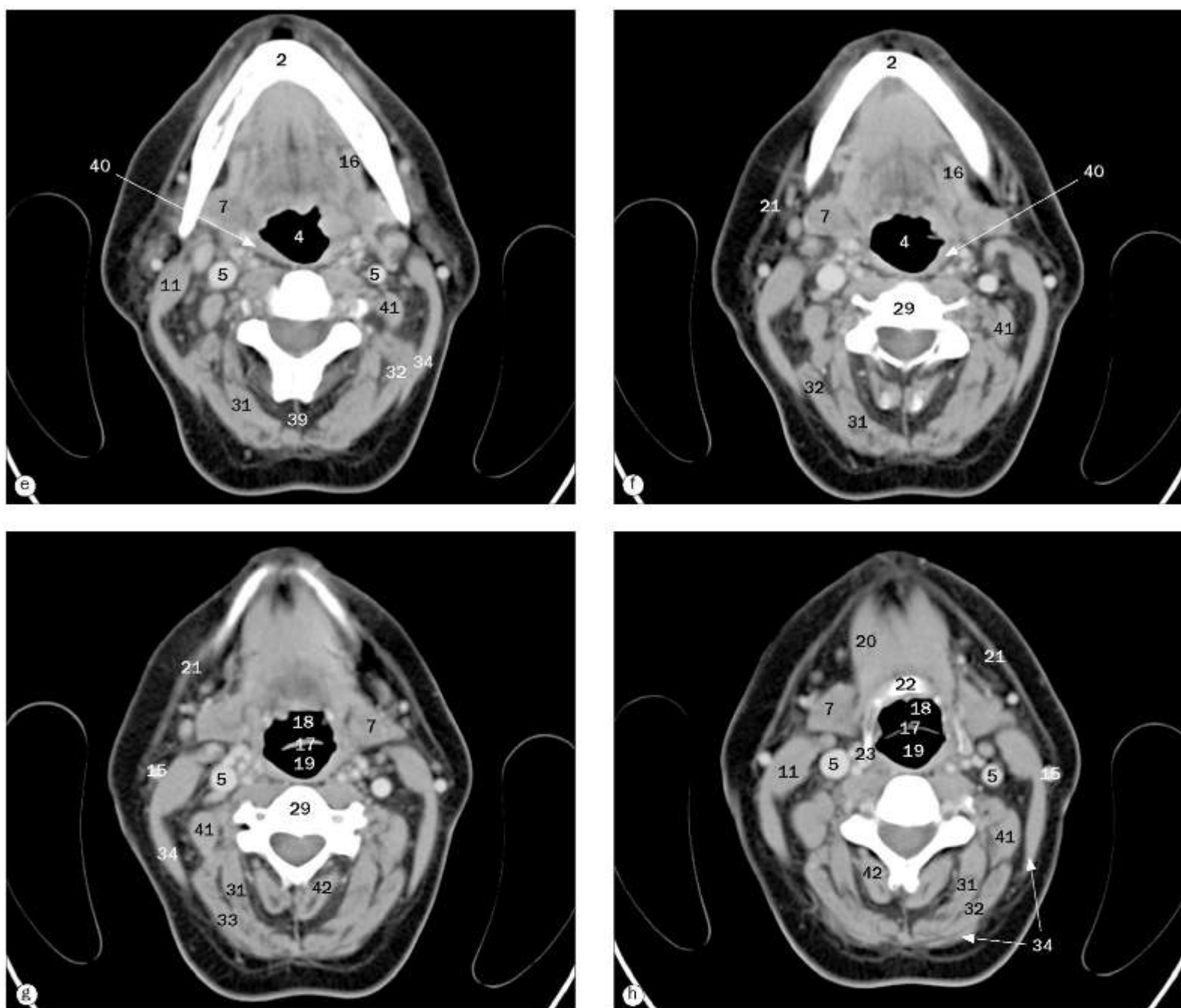


(a)-(h) Partes nasal e oral da faringe, imagens axiais de TC.

- 1. Músculo genioglosso
- 2. Corpo da mandíbula
- 3. Uvula palatina
- 4. Parte oral da faringe
- 5. Veia jugular interna
- 6. Músculo masseter
- 7. Glândula submandibular

- 8. Músculo pterigóideo medial
- 9. Glândula parótida
- 10. Processo estiloide
- 11. Músculo esternocleidomastóideo
- 12. Tonsila palatina
- 13. Ventre posterior do músculo digástrico
- 14. Veia retromandibular

- 15. Veia jugular externa
- 16. Vento anterior do músculo digástrico
- 17. Epiglote
- 18. Valécula epiglótica
- 19. Parte laringea da faringe
- 20. Músculo milo-hióideo
- 21. Músculo platisma



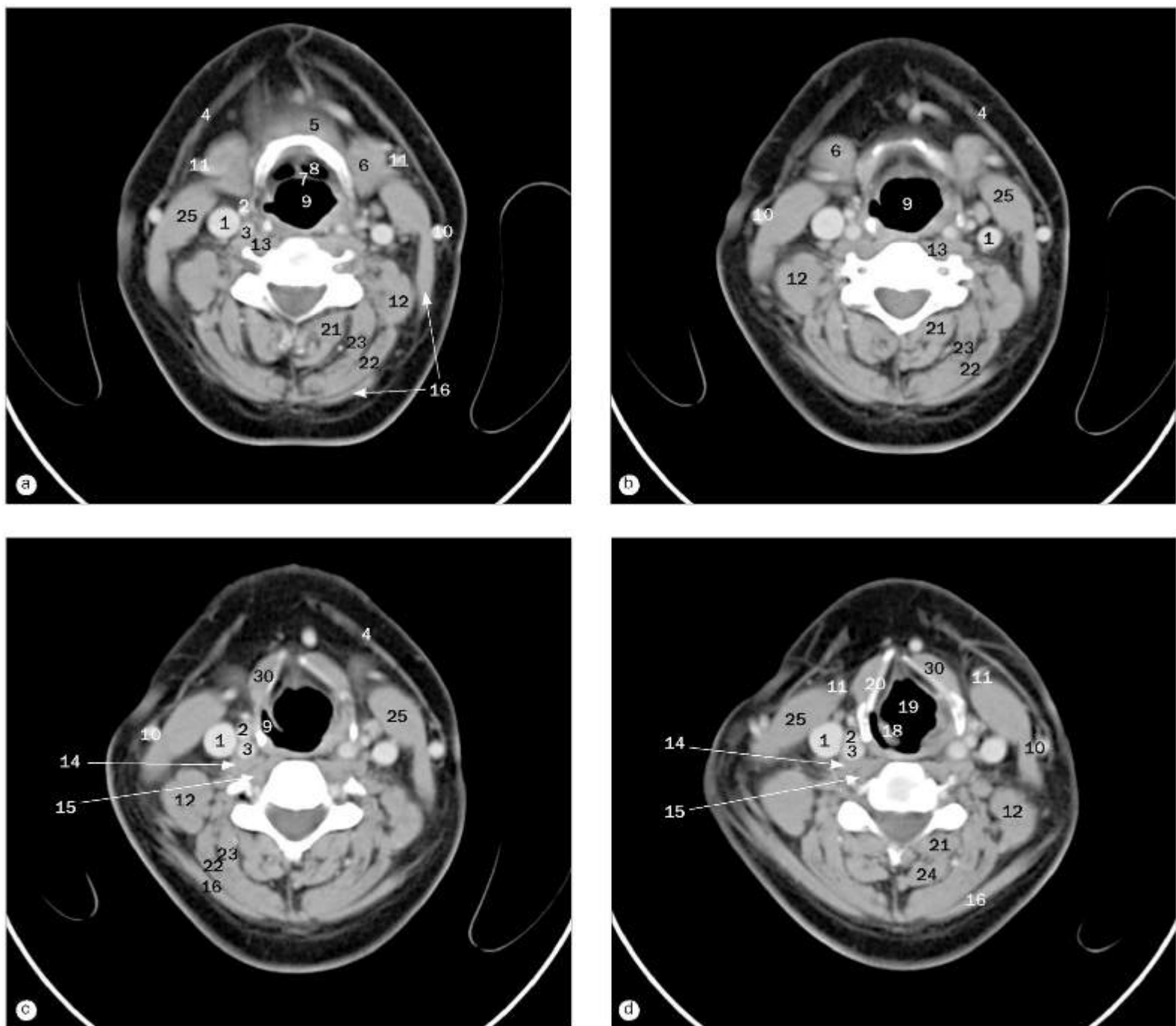
(a)-(h) Partes nasal e oral da faringe, imagens axiais de TC.

22 Osso hioide
23 Corno maior do osso hioide
24 Arco posterior de C1
25 Dente do áxis
26 Medula espinhal
27 Corpo de C2
28 Corpo de C3
29 Corpo de C4

30 Músculo oblíquo inferior da cabeça
31 Músculo semiespinal da cabeça
32 Músculo esplênião da cabeça
33 Músculo longuissímo da cabeça
34 Músculo trapézio
35 Músculo orbicular da boca
36 Músculo levantador do ângulo da boca
37 Músculo longo da cabeça

38 Músculo longo do pescoço
39 Ligamento nucal
40 Músculo constrictor superior da faringe
41 Músculo levantador da escápula
42 Músculo espinal da cabeça e músculo multifídeo

26 Laringe e parte laríngea da faringe

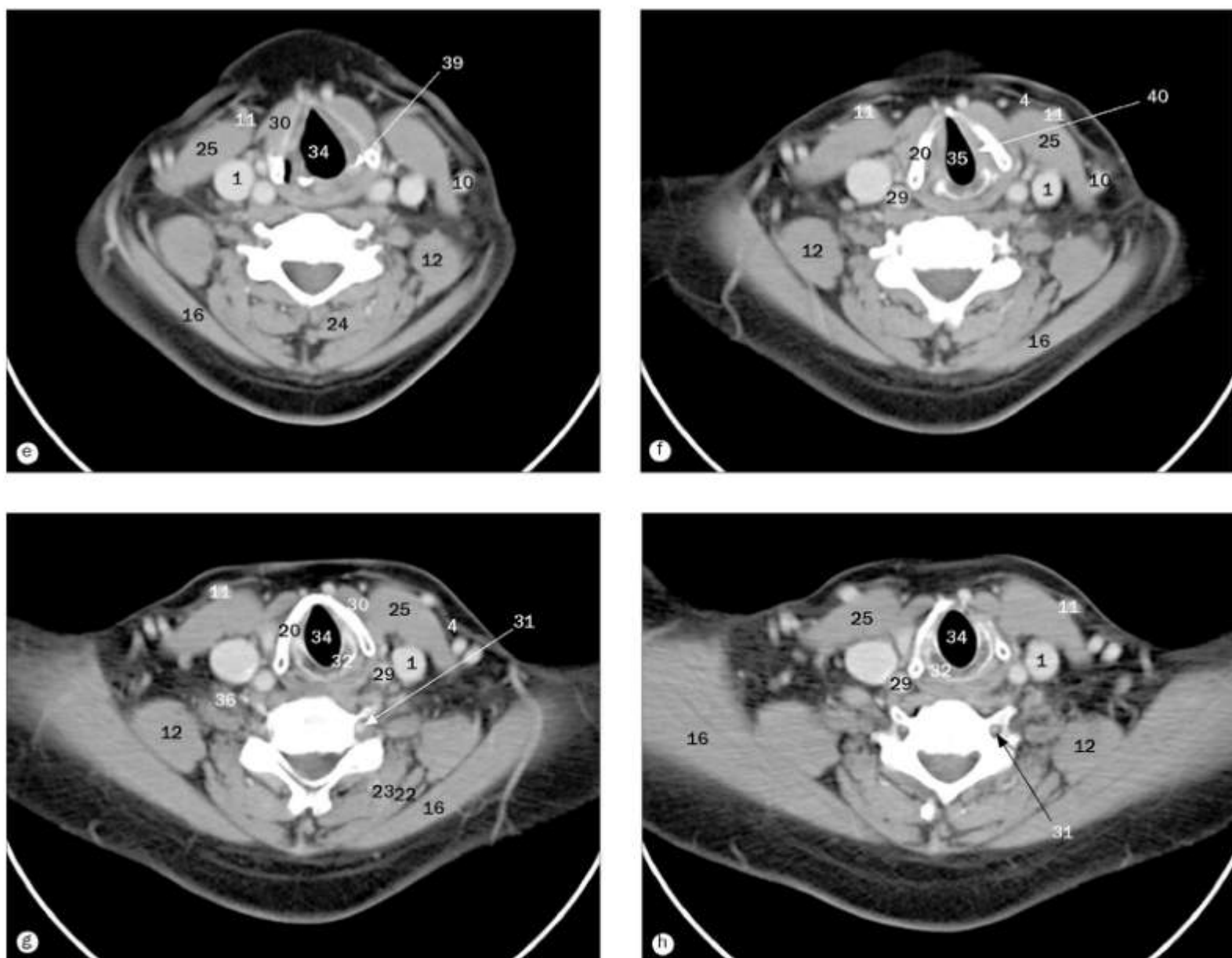


(a)-(d) Laringe e parte laríngea da faringe, imagens axiais de TC.

- 1 Veia jugular interna
- 2 Artéria carótida externa
- 3 Artéria carótida interna
- 4 Músculo platisma
- 5 Músculo gênia-hióideo
- 6 Glândula submandibular
- 7 Epiglote

- 8 Valécula epiglótica
- 9 Parte laríngea da faringe
- 10 Veia jugular externa
- 11 Veia jugular anterior
- 12 Músculo levantador da escápula
- 13 Músculos longo da cabeça e longo do pescoço
- 14 Músculo longo da cabeça

As legendas das páginas 26-28 são comuns para todas as três páginas.



(a)-(l) Laringe e parte laríngea da faringe, imagens axiais de TC.

15 Músculo longo do pescoço

16 Músculo trapézio

17 Clavícula

18 Prega ariepiglótica

19 Vestíbulo da laringe

20 Lâmina da cartilagem da tireóidea

21 Músculo espinal do pescoço

22 Músculo esplênio da cabeça

23 Músculo semiespinal da cabeça

24 Músculo semiespinal do pescoço

25 Músculo esternocleidomastóideo

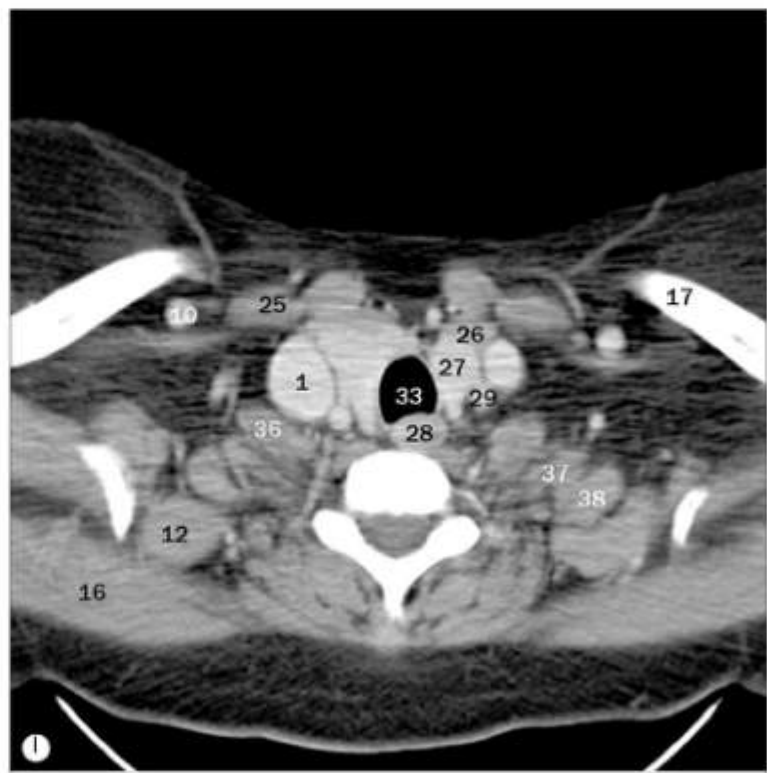
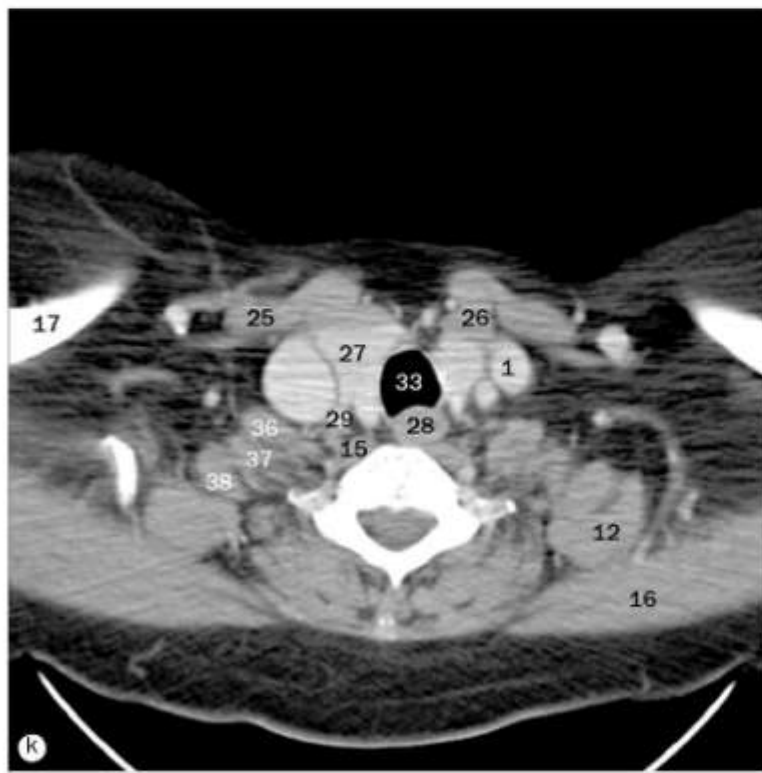
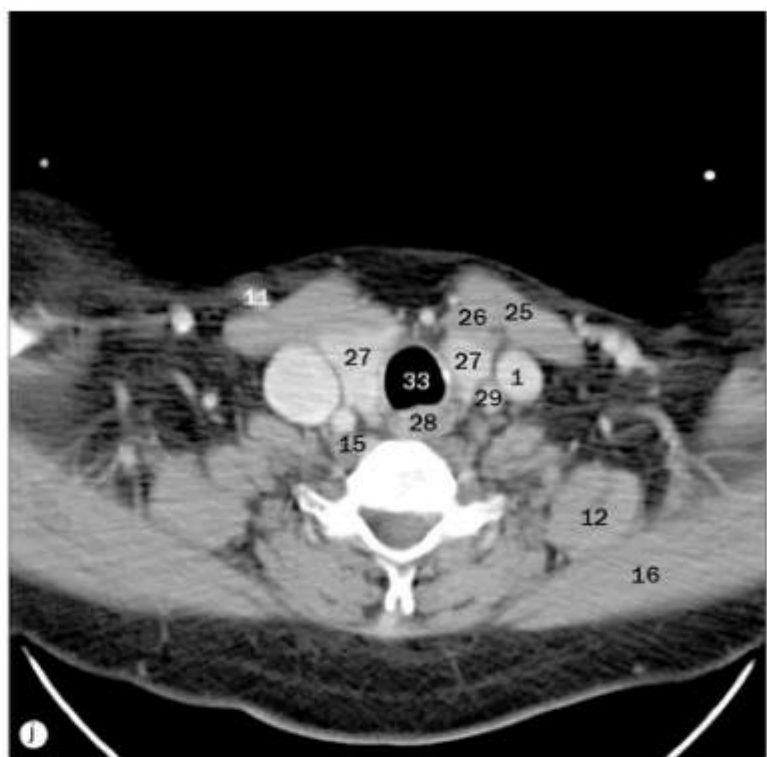
26 Músculo esterno-hiôideo

27 Glândula tireoide

28 Esôfago

As legendas das páginas 26-28 são comuns para todas as três páginas.

28 Laringe e parte laríngea da faringe



(a)-(l) Laringe e parte laríngea da faringe, imagens axiais de TC.

29 Artéria carótida comum
30 Músculo infra-hióideo
31 Artéria vertebral
32 Cartilagem cricóidea
33 Traqueia
34 Laringe

35 Glote
36 Músculo escaleno anterior
37 Músculo escaleno médio
38 Músculo escaleno posterior
39 Cartilagem aritenóidea
40 Músculo vocal

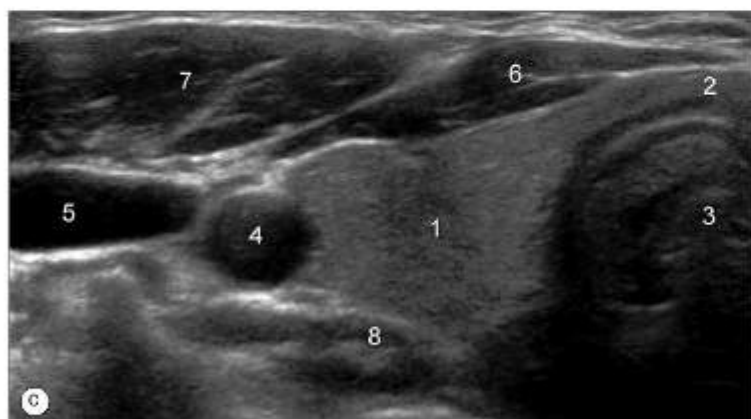
As legendas das páginas 26-28 são comuns para todas as três páginas.



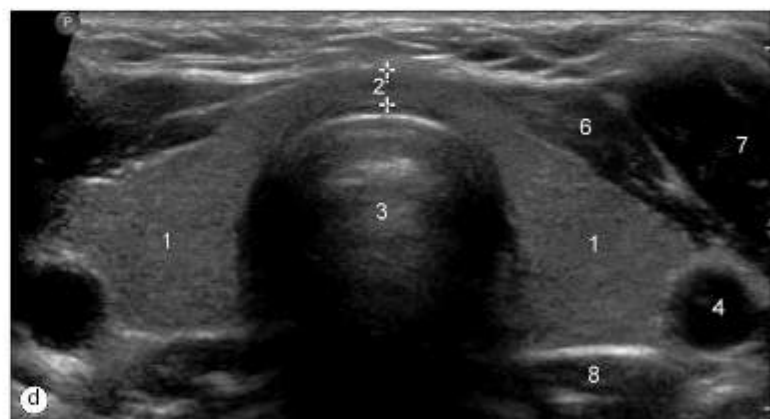
(a) Tecidos moles do pescoço, projeção lateral.



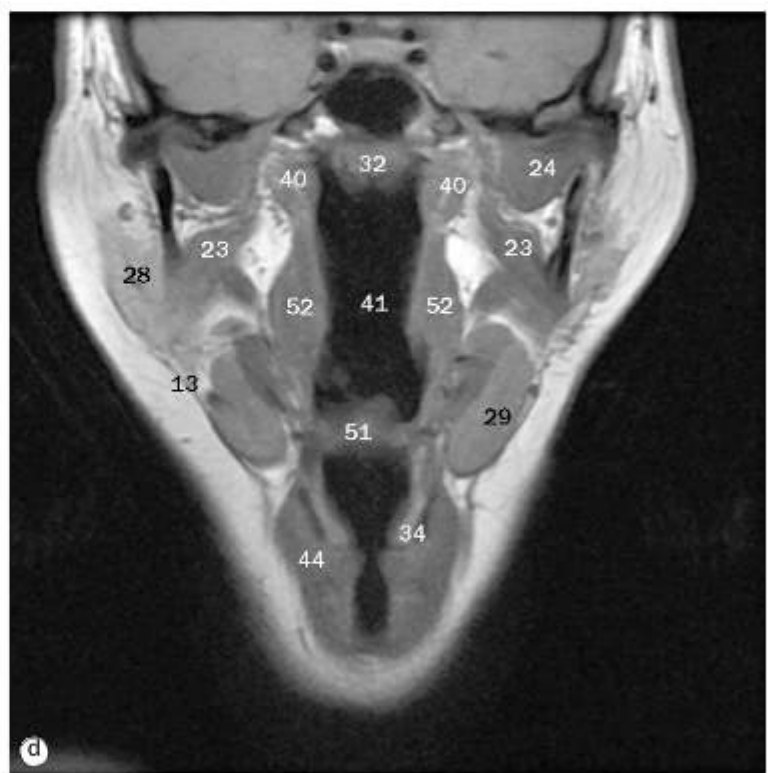
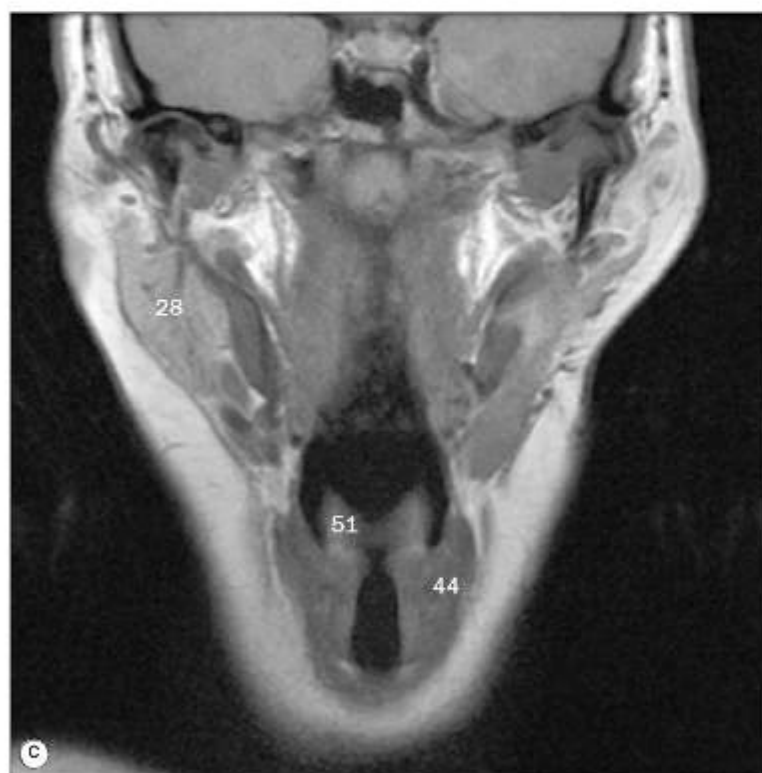
(b) Os lábios, imagem sagital de RM.



(c) e (d) Ultrassonografia da glândula tireoide, projeção axial.



- 1 Lobo da glândula tireoide
- 2 Istmo da glândula tireoide
- 3 Traqueia
- 4 Artéria carótida comum
- 5 Vena jugular interna
- 6 Músculo infra-hióideo
- 7 Músculo esternocleidomastóideo
- 8 Músculo pré-vertebral

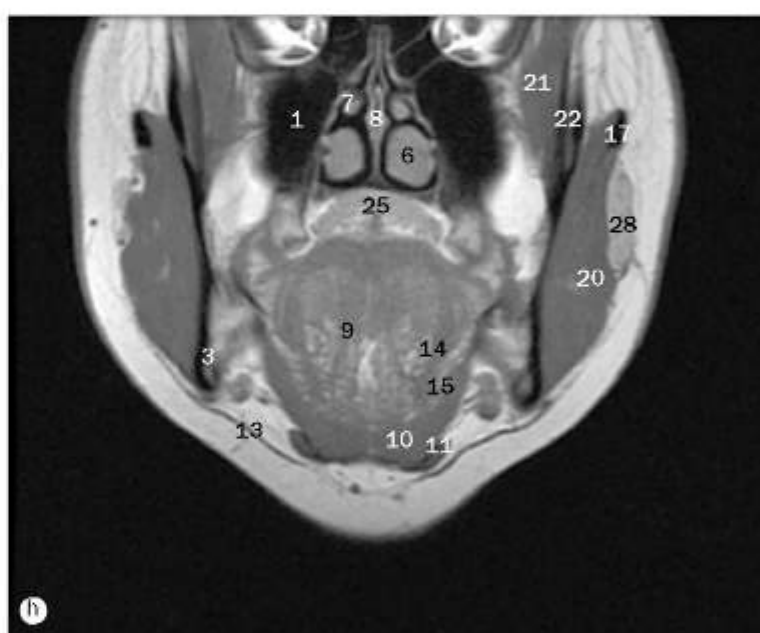
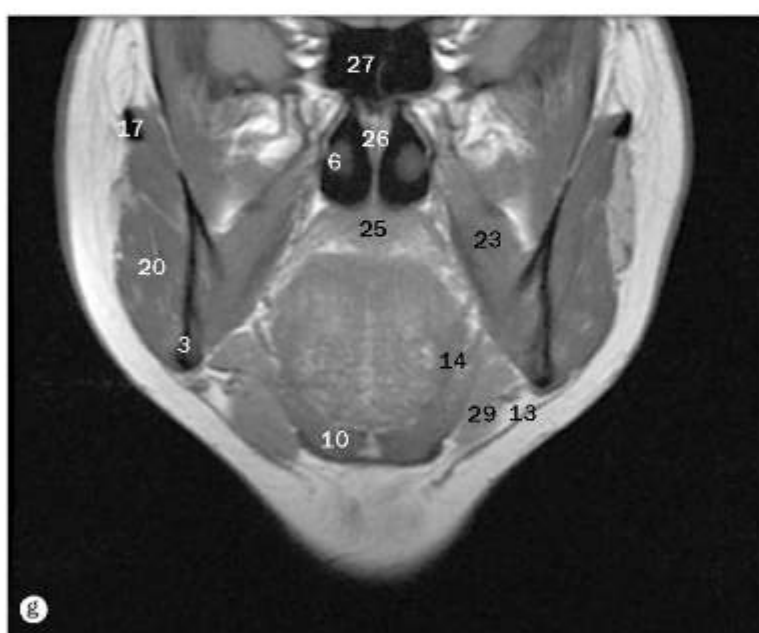
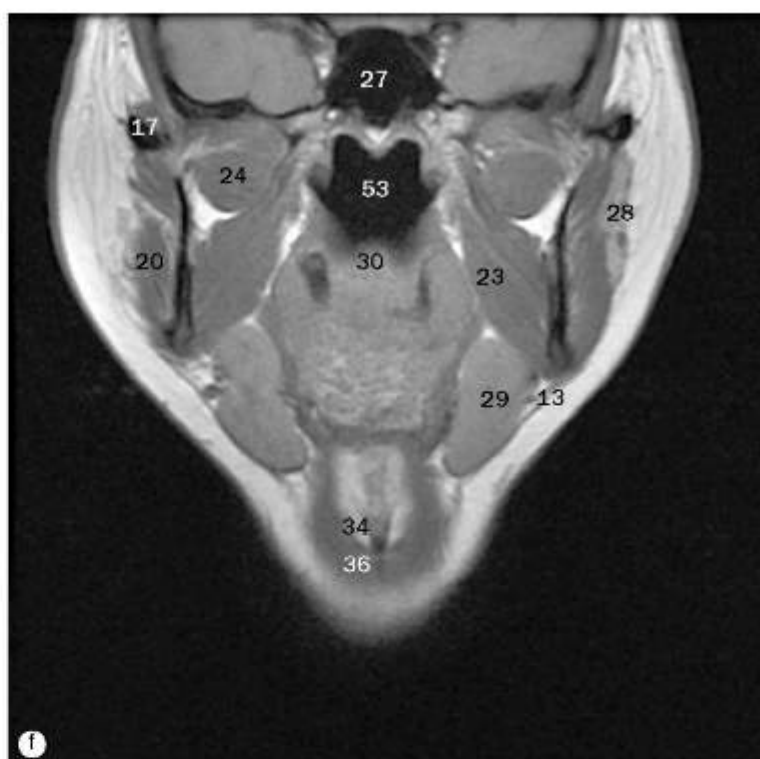
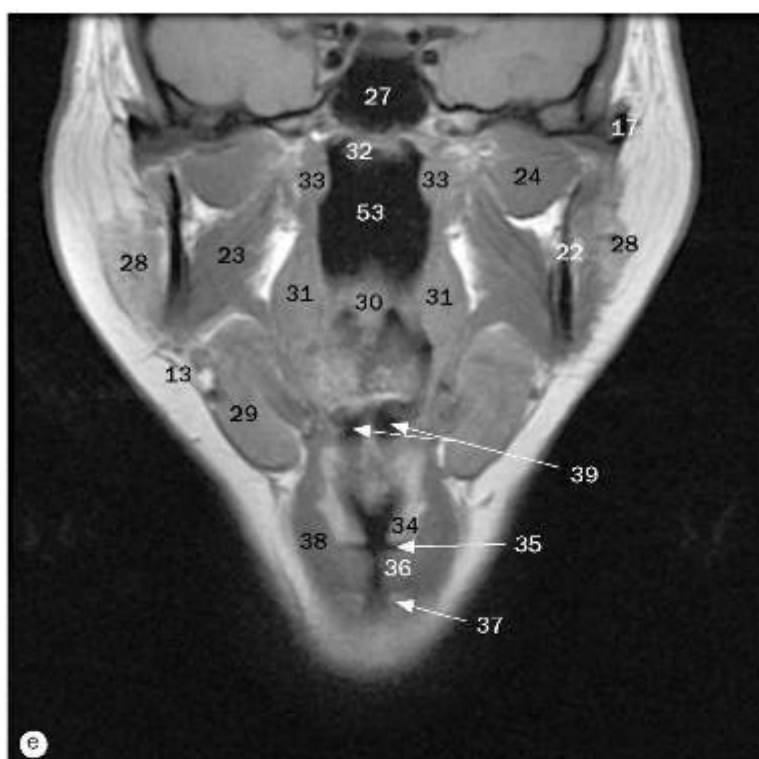


(a)-(d) Imagens coronais de RM da faringe, da região posterior para anterior.

- 1 Seio maxilar
- 2 Palato duro
- 3 Mandíbula
- 4 Margem alveolar da maxila
- 5 Cavidade oral
- 6 Concha nasal inferior
- 7 Concha nasal média

- 8 Septo nasal
- 9 Músculo genioglosso
- 10 Músculo gênio-hióideo
- 11 Ventre anterior do músculo digástrico
- 12 Septo da língua
- 13 Músculo platisma
- 14 Músculo hioglosso

As legendas das páginas 30-32 são comuns para todas as três páginas.



(a)-(l) Imagens coronais de RM da faringe, da região posterior para anterior.

15 Músculo milo-hióideo

16 Osso zigomático

17 Arco zigomático

18 Músculo transverso da língua

19 Músculo longitudinal da língua

20 Músculo masseter

21 Músculo temporal

22 Ramo da mandíbula

23 Músculo pterigóideo medial

24 Músculo pterigóideo lateral

25 Palato mole

26 Vômer

27 Seio esfenoidal

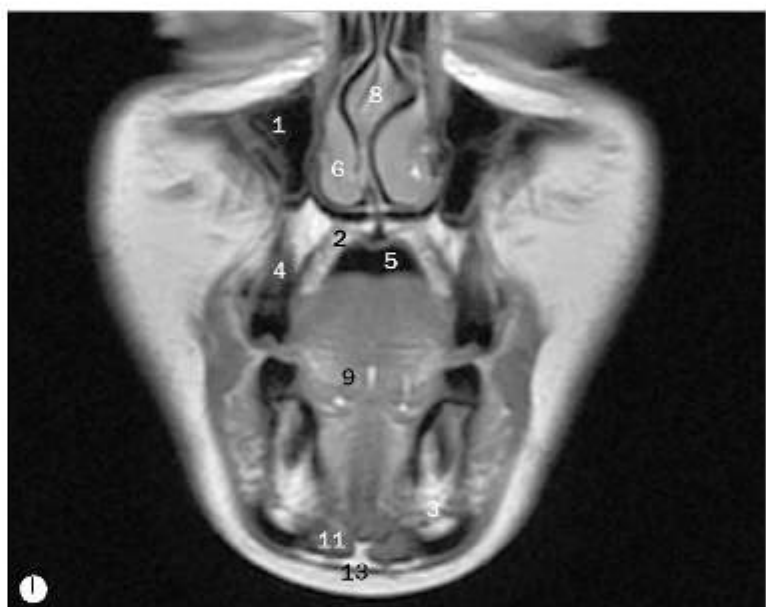
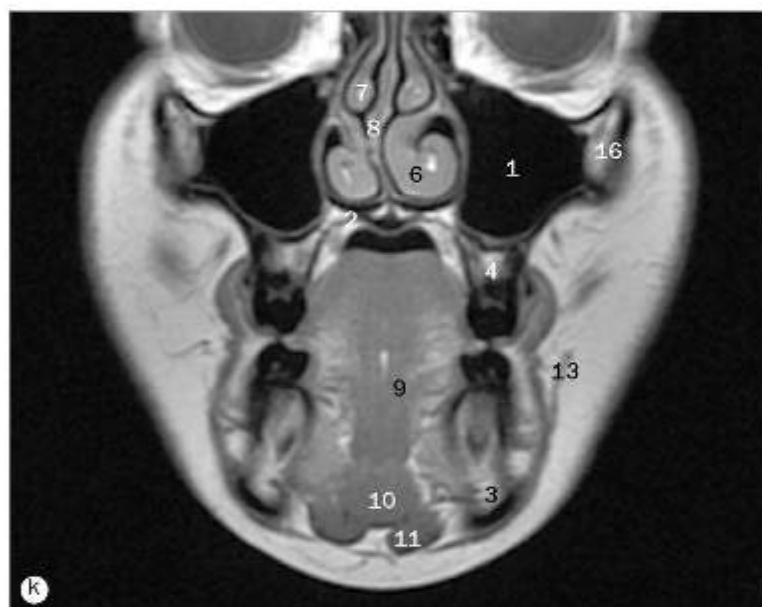
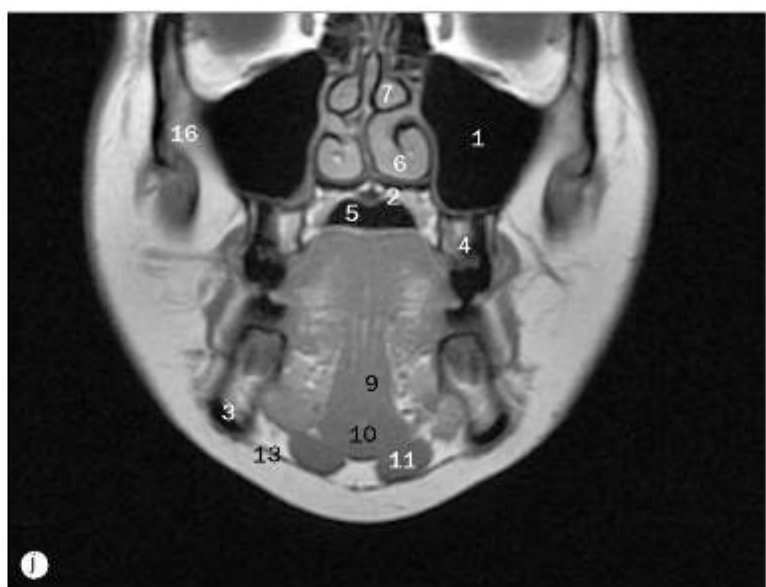
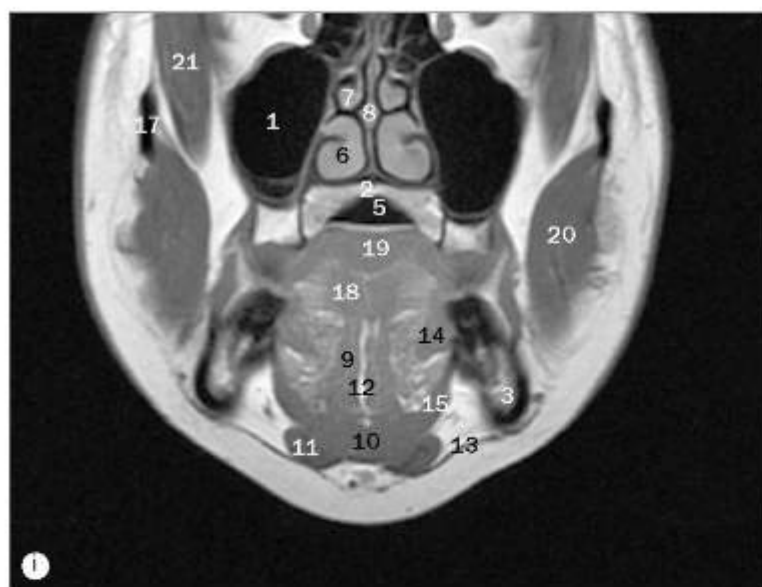
28 Glândula parótida

29 Glândula submandibular

30 Úvula palatina

31 Músculo palatofaringeo

32 Tonsilas faríngeas

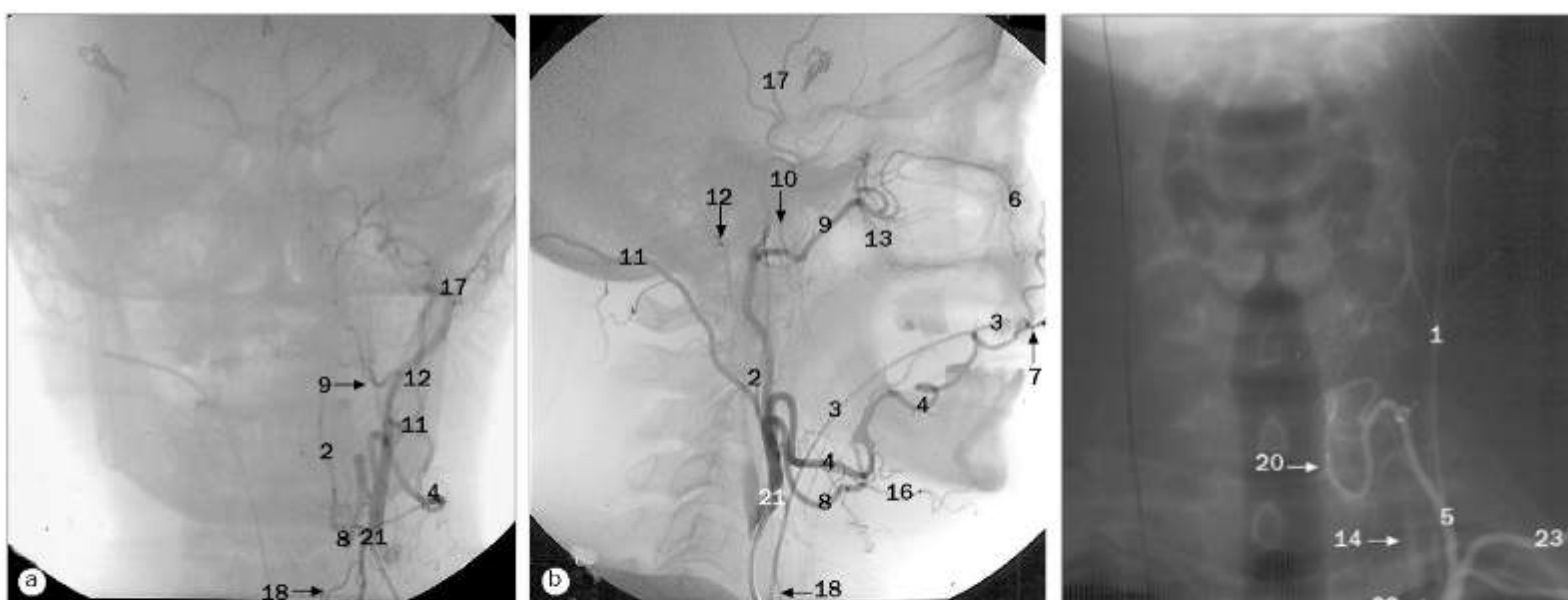


(a)-(l) Imagens coronais de RM da faringe, da região posterior para anterior.

- 33 Músculo levantador do véu palatino
- 34 Prega vestibular
- 35 Ventrículo da laringe
- 36 Músculo vocal
- 37 Cartilagem cricóidea
- 38 Músculo tiro-hióideo
- 39 Valécula epiglótica
- 40 Tuba auditiva
- 41 Parte oral da faringe
- 42 Processo condilar da mandíbula
- 43 Articulação temporomandibular

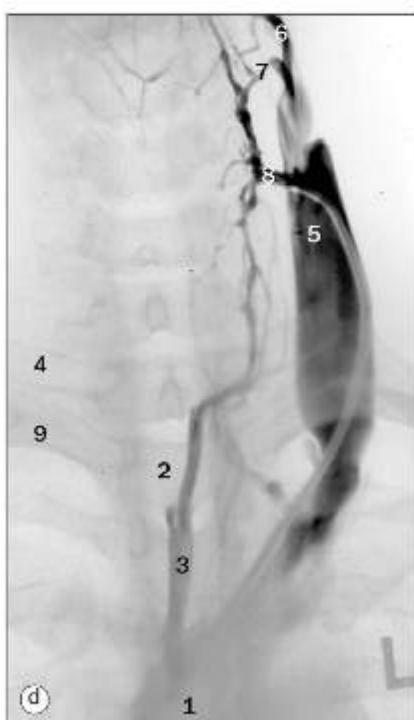
- 44 Glândula tireoide
- 45 Músculo esternocleidomastóideo
- 46 Traqueia
- 47 Artéria carótida interna
- 48 Meato acústico externo
- 49 Veia retromandibular
- 50 Arco anterior do atlas
- 51 Epiglote
- 52 Tonsilas palatinas
- 53 Parte nasal da faringe

As legendas das páginas 30-32 são comuns para todas as três páginas.



Arteriografias de subtração digital da artéria carótida externa, (a) projeção anteroposterior, (b) projeção lateral. (c) Arteriografia da glândula tireoide.

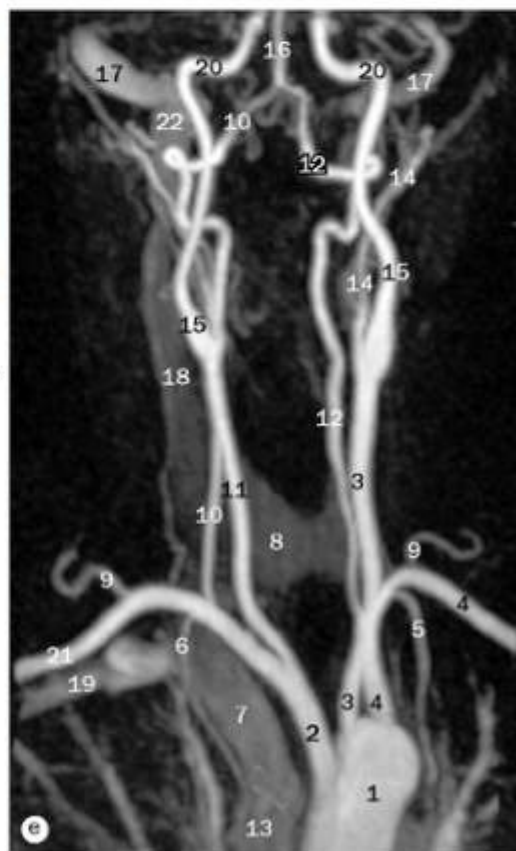
- | | | |
|--|--|--|
| 1 Artéria cervical ascendente | 9 Artéria maxilar | 17 Artéria temporal superficial |
| 2 Artéria faríngea ascendente | 10 Artéria meníngea média | 18 Artéria tireóidea superior |
| 3 Tubo endotraqueal | 11 Artéria occipital | 19 Artéria supraescapular |
| 4 Artéria facial | 12 Artéria auricular posterior | 20 Ramos tireóideos da artéria tireóidea inferior |
| 5 Artéria tireóidea inferior | 13 Artéria alveolar posterossuperior | 21 Extremidade do cateter na artéria carótida externa |
| 6 Artéria infraorbital | 14 Refluxo de meio de contraste para o interior | 22 Extremidade do cateter no tronco tireocervical |
| 7 Ramo labial da artéria facial | 15 Artéria subclávia | 23 Artéria cervical transversa |
| 8 Artéria lingual | 16 Artéria submentual | |

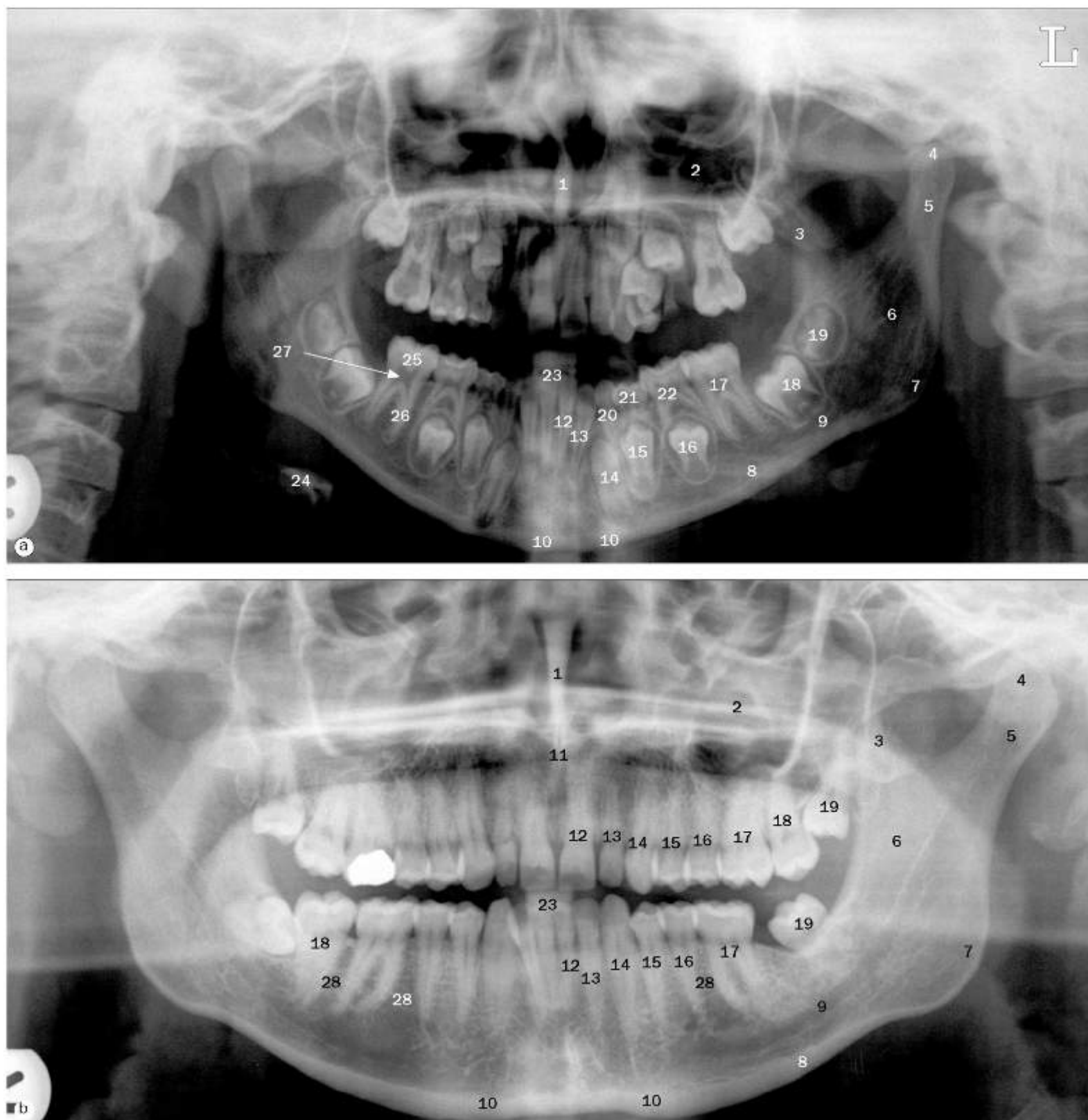


- | | |
|---------------------------------|--|
| 1 Veia braquiocefálica esquerda | 6 Veia lingual |
| 2 Traqueia | 7 Veia tireóidea superior |
| 3 Veia tireóidea inferior | 8 Extremidade do cateter na veia tireóidea média |
| 4 Processo transverso de C7 | 9 Primeira costela direita |
| 5 Veia jugular interna | |

- | | |
|-------------------------------------|--|
| 1 Arco da aorta | 12 Artéria vertebral esquerda |
| 2 Tronco braquiocefálico | 13 Veia cava superior |
| 3 Artéria carótida comum esquerda | 14 Artéria carótida externa |
| 4 Artéria subclávia esquerda | 15 Artéria carótida interna |
| 5 Artéria torácica interna esquerda | 16 Artéria basilar |
| 6 Artéria torácica interna direita | 17 Selo sigmoidéo |
| 7 Veia braquiocefálica direita | 18 Veia jugular interna |
| 8 Lobo direito da glândula tireoide | 19 Veia subclávia direita |
| 9 Tronco costocervical | 20 Parte petrosa da artéria carótida interna |
| 10 Artéria vertebral direita | 21 Artéria subclávia direita |
| 11 Artéria carótida comum direita | 22 Bulbo da veia jugular |

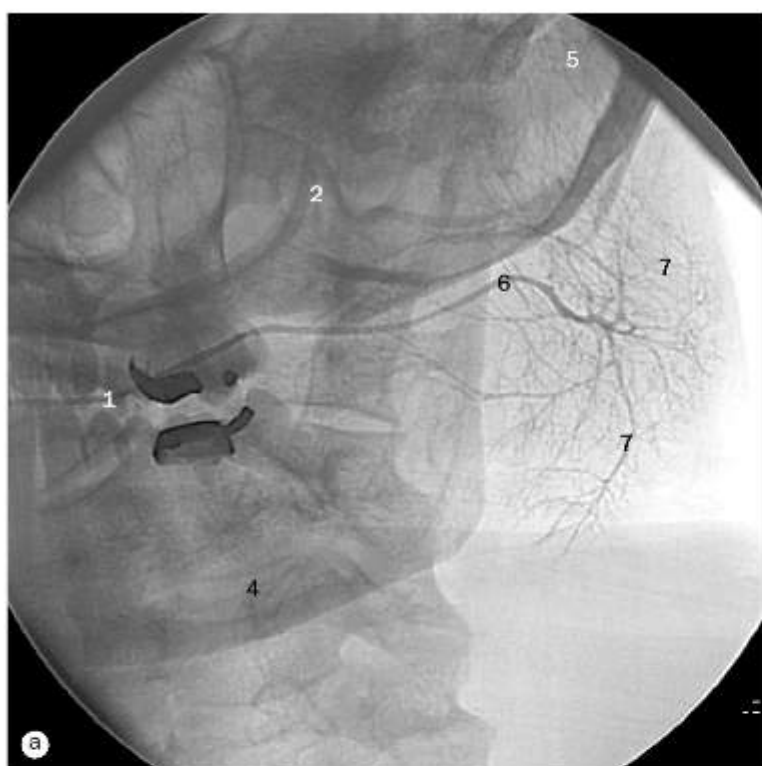
- (d) Venografia do pescoço.
- (e) Angiorressonânciam dos vasos do pescoço.



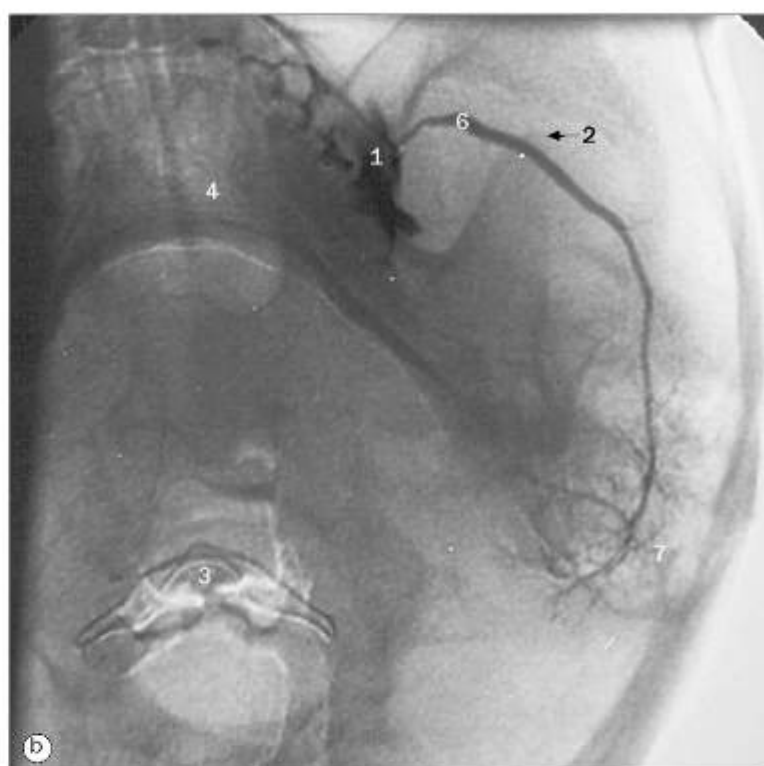


Tomografia panorâmica dental (ortopantomografia) de (a) uma criança de 6 anos, (b) um adulto.

- | | | | |
|--------------------------------|---------------------------|------------------------------|-------------------------------|
| 1 Septo nasal | 6 Ramo da mandíbula | 14 Dente canino | 22 Prémolar posterior deciduo |
| 2 Seio maxilar | 7 Ângulo da mandíbula | 15 Prémolar anterior | 23 Bloqueio da mordida |
| 3 Processo coronoide da | 8 Corpo da mandíbula | 16 Prémolar posterior | 24 Osso hioide |
| mandíbula | 9 Canal da mandíbula | 17 Primeiro molar | 25 Coroa do dente |
| 4 Cabeça do processo condilar | 10 Tubérculo mental | 18 Segundo molar | 26 Raiz do dente |
| da mandíbula | 11 Espinha nasal anterior | 19 Terceiro molar | 27 Cavidade pulpar |
| 5 Colo do processo condilar da | 12 Incisivo medial | 20 Dente canino deciduo | 28 Alvéolo dental |
| mandíbula | 13 Incisivo lateral | 21 Prémolar anterior deciduo | |



(a) Sialografia da parótida.



(b) Sialografia da parótida, projeção submentovertical.

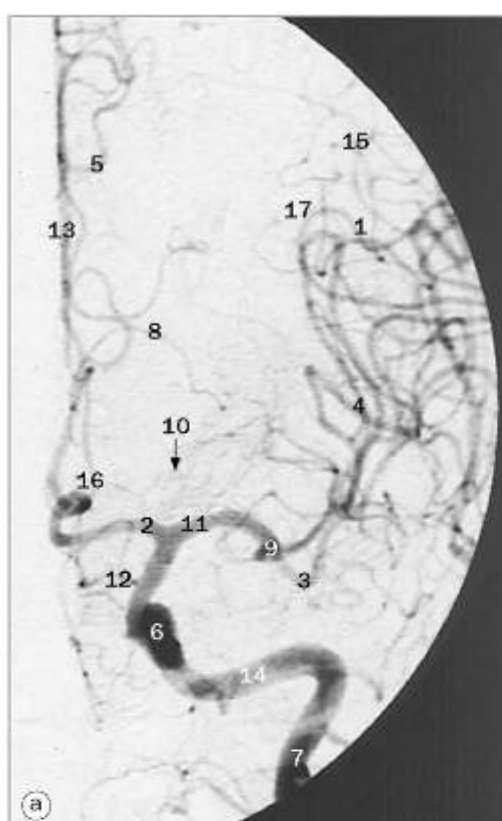
- 1. Cateter
- 2. Processo coronoide da mandíbula
- 3. Osso hioide
- 4. Mandíbula

- 5. Processo mastóideo
- 6. Ducto parotídeo
- 7. Dúctulos secundários

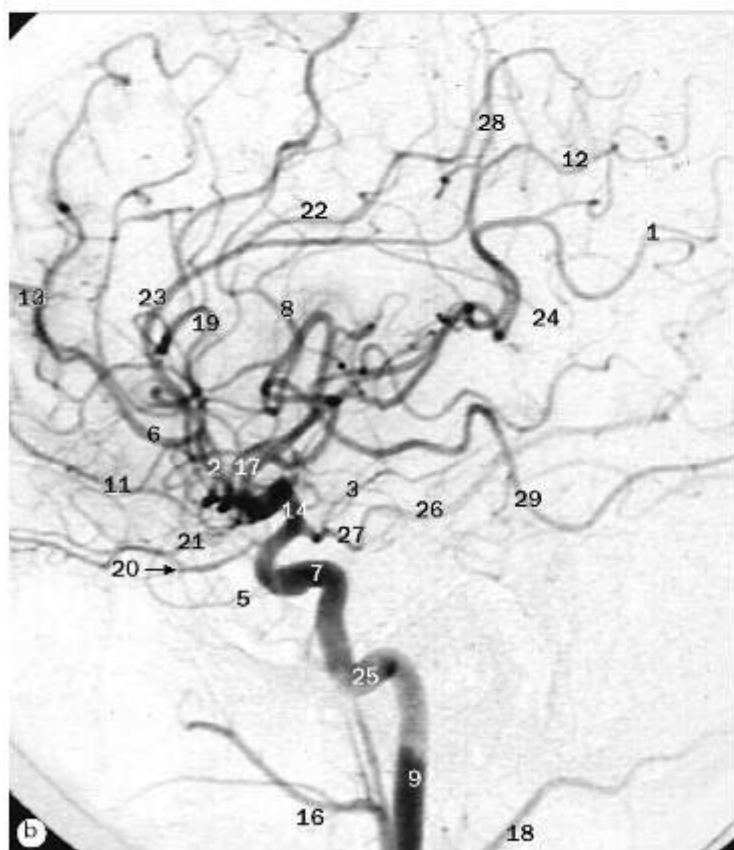


(c) Sialografia submandibular.

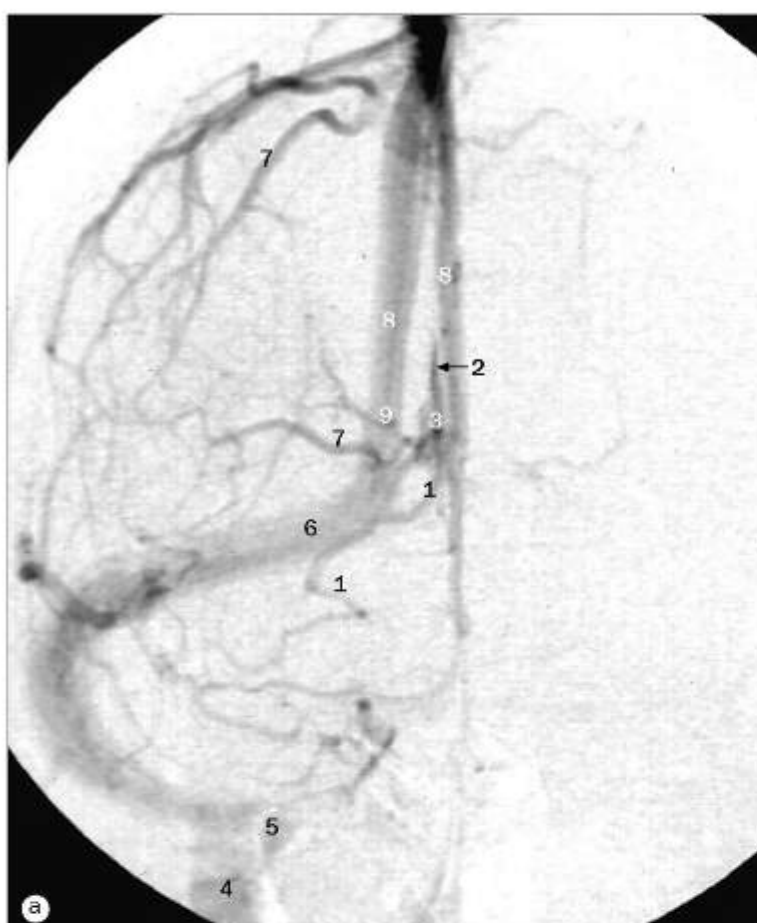
- 1. Cateter
- 2. Ducto submandibular
- 3. Mandíbula
- 4. Ductos secundários



- 1 Ramos angulares da artéria cerebral média
- 2 Artéria cerebral anterior
- 3 Ramos temporais anteriores da artéria cerebral média
- 4 Ramos (na insula) da artéria cerebral média
- 5 Artéria calosomarginal
- 6 Parte cavernosa da artéria carótida interna
- 7 Parte cervical da artéria carótida interna
- 8 Artéria polar frontal
- 9 Joelho da artéria cerebral média
- 10 Arterias centrais anterolaterais
- 11 Artéria cerebral média
- 12 Ramo orbitofrontal da artéria pericalosa
- 13 Artéria pericalosa
- 14 Parte petrosa da artéria carótida interna
- 15 Ramos parietais posteriores da artéria cerebral média
- 16 Artéria estriada distal medial
- 17 Ramo anterior da artéria meningea média (ponto de Sylvius)

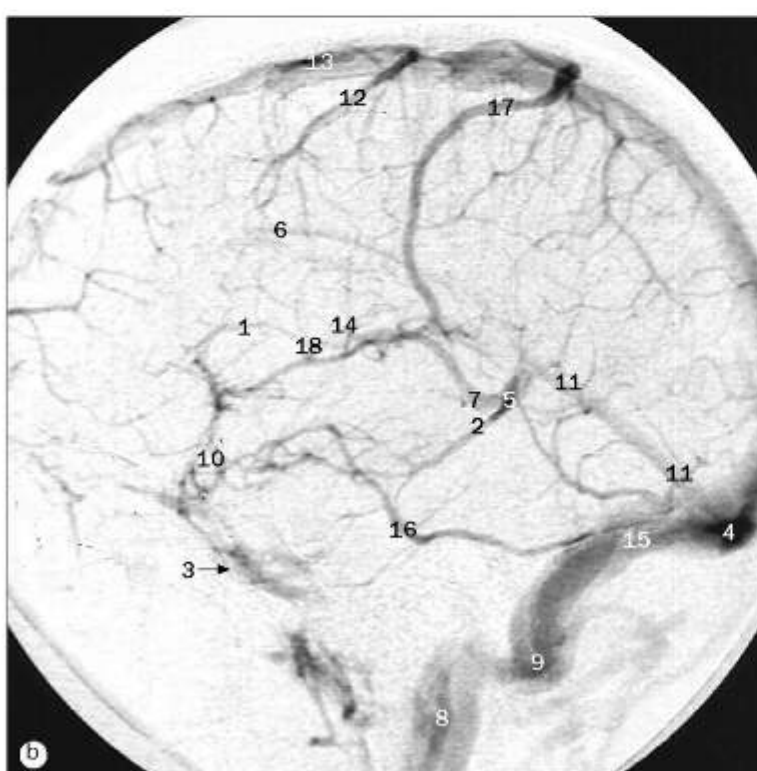


- 1 Artéria angular
- 2 Artéria cerebral anterior
- 3 Artéria corióidea anterior
- 4 Artéria comunicante anterior
- 5 Artéria temporal anterior
- 6 Artéria calosomarginal
- 7 Parte cavernosa da artéria carótida interna
- 8 Artéria do sulco central
- 9 Parte cervical da artéria carótida interna
- 10 Ramo etmoidal da artéria oftálmica
- 11 Artéria polar frontal
- 12 Artéria parietal inferior interna
- 13 Ramo frontal interno da artéria cerebral anterior
- 14 Parte cerebral da artéria carótida interna
- 15 Artéria central anterolateral
- 16 Artéria maxilar
- 17 Artéria cerebral média
- 18 Artéria occipital
- 19 Artéria opercular frontal
- 20 Artéria oftálmica
- 21 Artéria orbitofrontal
- 22 Artéria paracentral
- 23 Artéria pericalosa
- 24 Artéria pericalosa estendendo-se ao redor do corpo caloso
- 25 Parte petrosa da artéria carótida interna
- 26 Artéria cerebral posterior
- 27 Artéria comunicante posterior
- 28 Artéria parietal posterior
- 29 Artéria temporal posterior
- 30 Artéria estriada distal medial



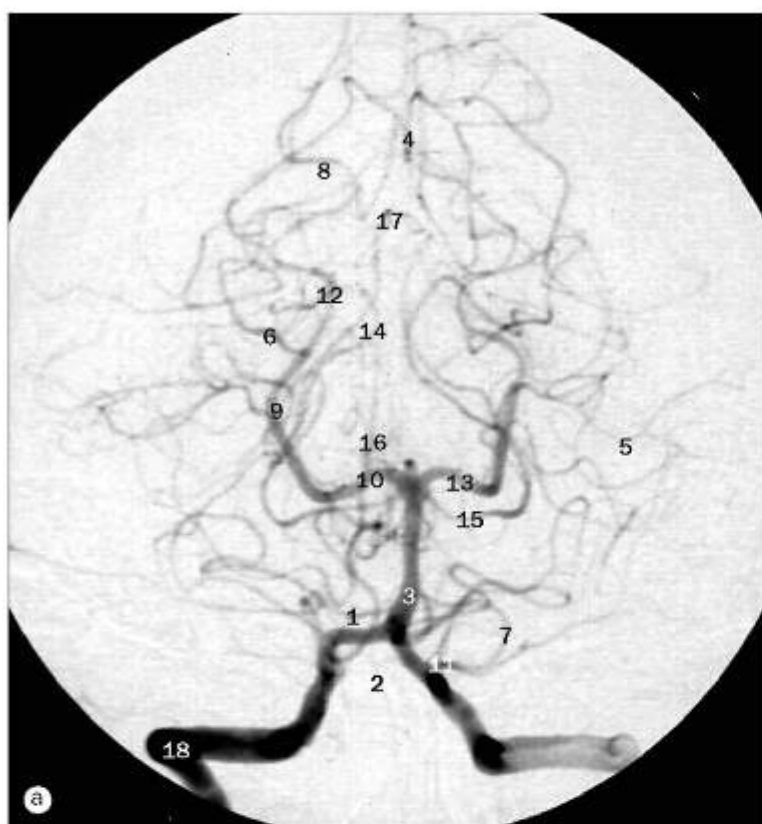
(a) Fase venosa de arteriografia de subtração digital da carótida, projeção anteroposterior.

- 1 Veia basilar
- 2 Seio sagital inferior
- 3 Veia cerebral interna
- 4 Veia jugular interna
- 5 Bulbo da veia jugular
- 6 Seio transverso direito
- 7 Veias cerebrais superficiais
- 8 Seio sagital superior
- 9 Veia talamoestriada



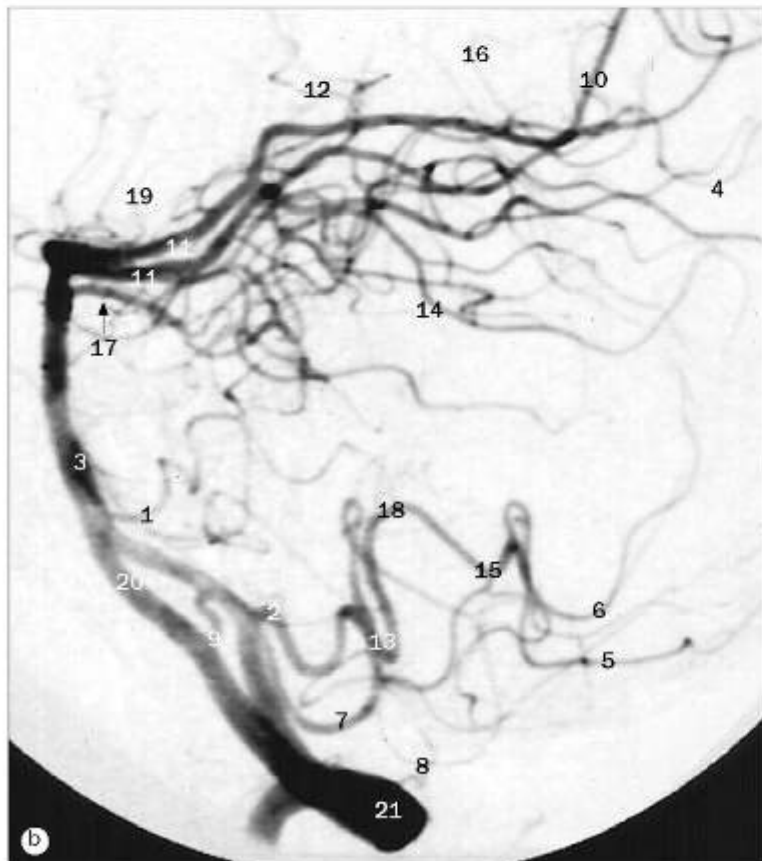
(b) Fase venosa de arteriografia de subtração digital da carótida, projeção lateral.

- 1 Veia anterior do núcleo caudado
- 2 Veia basilar
- 3 Seio cavernoso
- 4 Confluência dos seios
- 5 Veia cerebral magna
- 6 Seio sagital superior
- 7 Veia cerebral interna
- 8 Veia jugular interna
- 9 Seio sigmóideo
- 10 Seio esfenoparietal
- 11 Seio reto
- 12 Veias cerebrais superficiais
- 13 Seio sagital superior
- 14 Veia talamoestriada
- 15 Seio transverso
- 16 Veia cerebral superficial média
- 17 Veia anastomótica inferior
- 18 Ângulo venoso



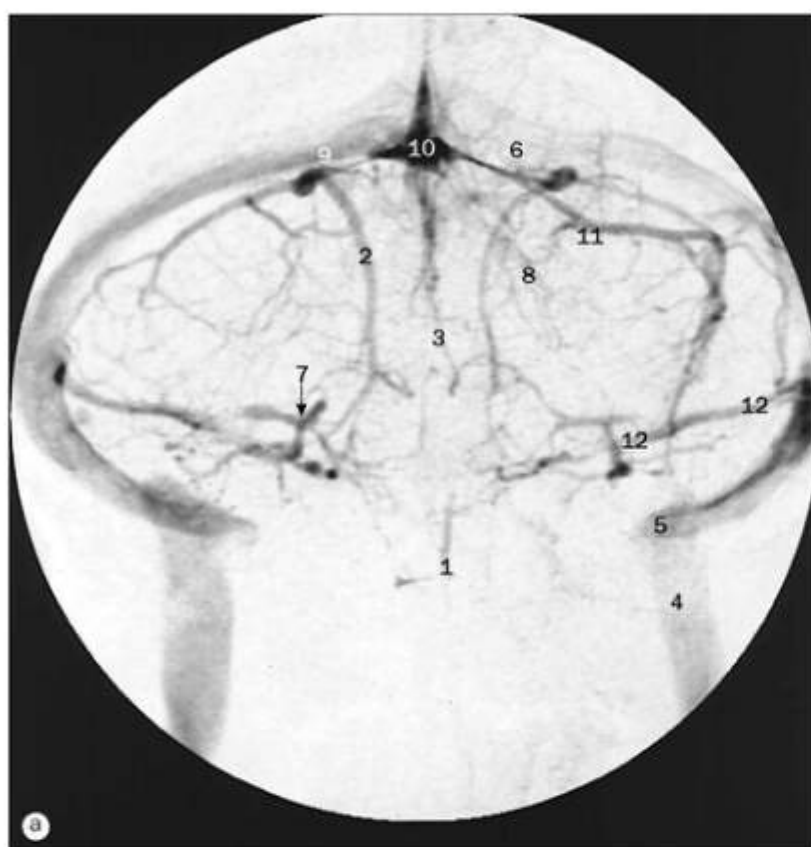
(a) Fase arterial de arteriografia de subtração digital vertebral, projeção anteroposterior.

- 1 Artéria cerebelar inferior anterior
- 2 Artéria espinhal anterior
- 3 Artéria basilar
- 4 Artéria calcarina
- 5 Ramo hemisférico da artéria cerebelar superior
- 6 Artéria temporal inferior
- 7 Segmento medular da artéria cerebelar inferoposterior
- 8 Artéria parietoccipital
- 9 Artéria cerebral posterior na cisterna ambiens
- 10 Artéria cerebral posterior na cisterna interpeduncular
- 11 Artéria cerebelar inferior posterior
- 12 Parte colicular da artéria cerebral posterior (artéria colicular)
- 13 Local de junção com a artéria comunicante posterior
- 14 Artérias cerebelares superiores atrás do tronco encefálico
- 15 Artéria cerebelar superior
- 16 Ramos talamoperfurantes da artéria cerebelar superior
- 17 Artéria cerebelar superior (ramo para o verme)
- 18 Artéria vertebral emergindo do forame transversário do atlas (primeira vértebra cervical)



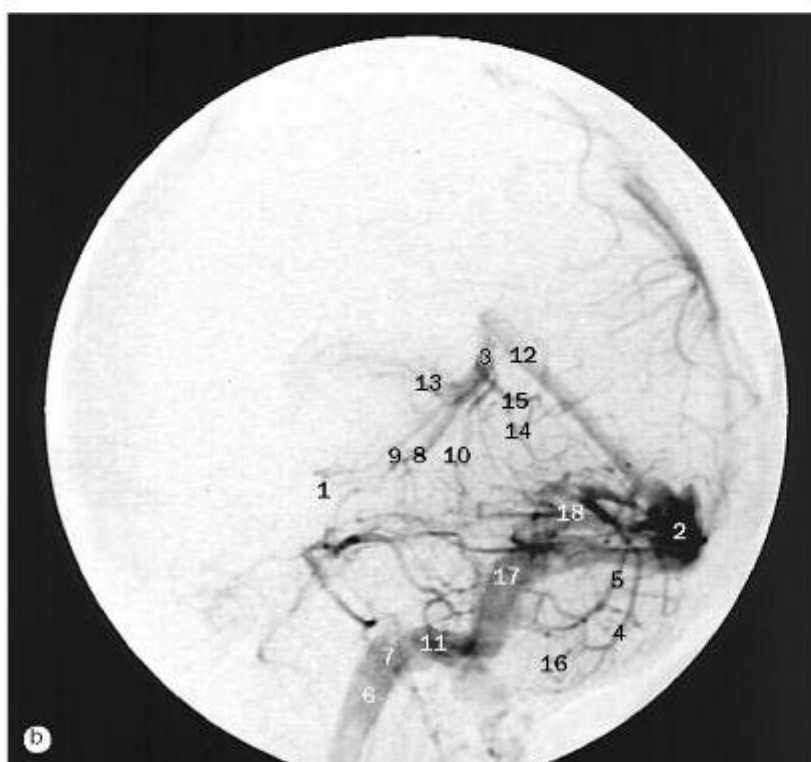
(b) Fase arterial de arteriografia de subtração digital vertebral, projeção lateral.

- 1 Artéria cerebelar inferior anterior
- 2 Segmento medular anterior da artéria cerebelar inferoposterior
- 3 Artéria basilar
- 4 Artéria calcarina
- 5 Ramos hemisféricos da artéria cerebelar inferoposterior
- 6 Artéria cerebelar inferior posterior (segmento para o verme)
- 7 Segmento medular lateral da artéria cerebelar inferior posterior
- 8 Ramo meníngeo da artéria vertebral
- 9 Origem da artéria cerebelar inferoposterior
- 10 Artéria parietoccipital
- 11 Artéria cerebral posterior
- 12 Ramos corioides posteriores da artéria cerebral posterior
- 13 Segmento medular posterior da artéria cerebelar inferoposterior
- 14 Artéria temporal posterior
- 15 Segmento retrotonsilar da artéria cerebelar inferior posterior
- 16 Ramos espilênicos da artéria cerebral posterior
- 17 Artéria cerebelar superior
- 18 Segmento supratonsilar da artéria cerebelar inferior posterior
- 19 Ramos perfurantes do tálamo da artéria cerebral posterior
- 20 Artéria vertebral
- 21 Artéria vertebral emergindo do forame transversário do atlas (primeira vértebra cervical)



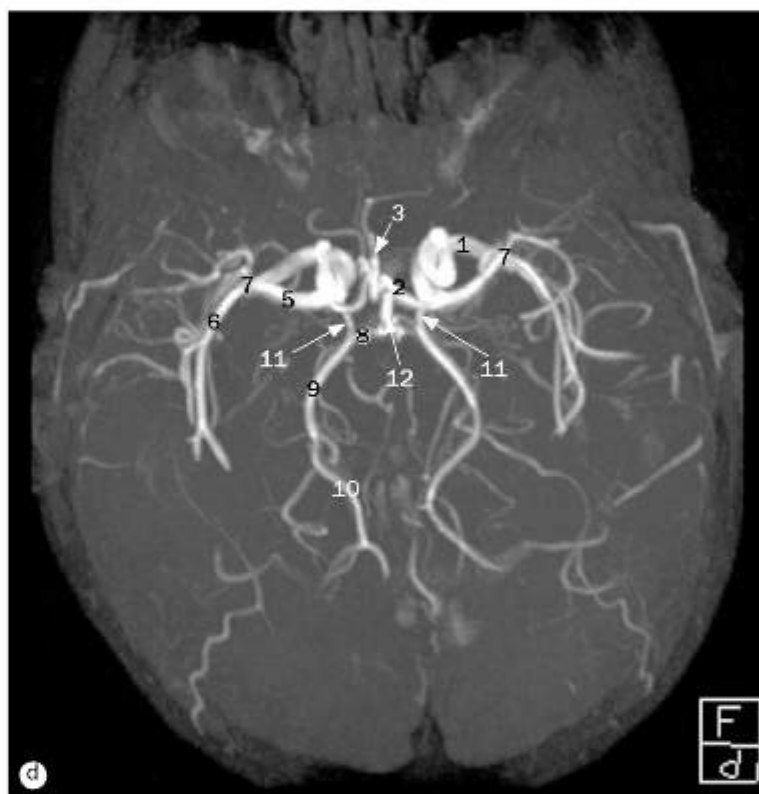
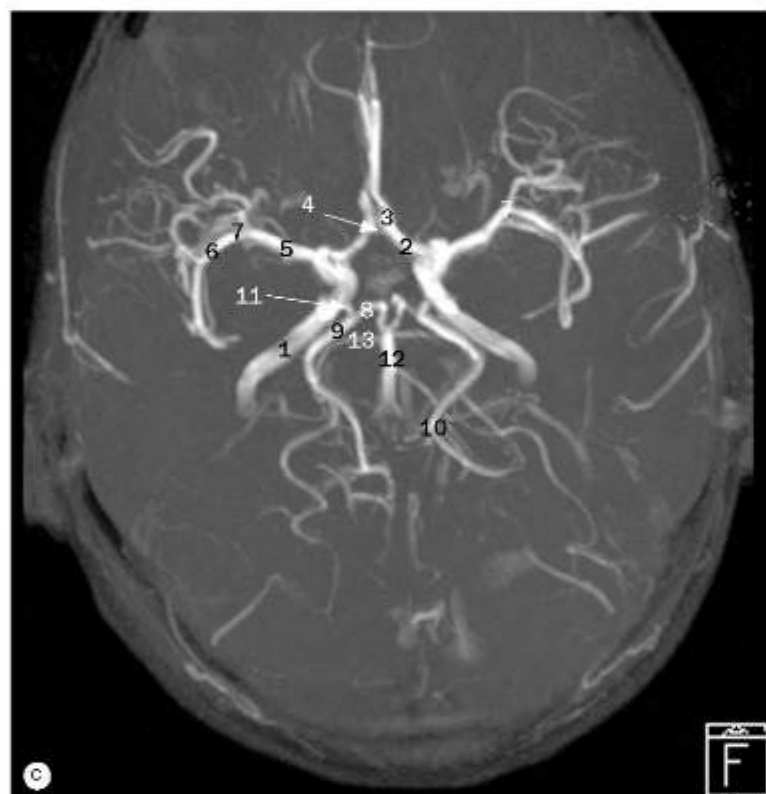
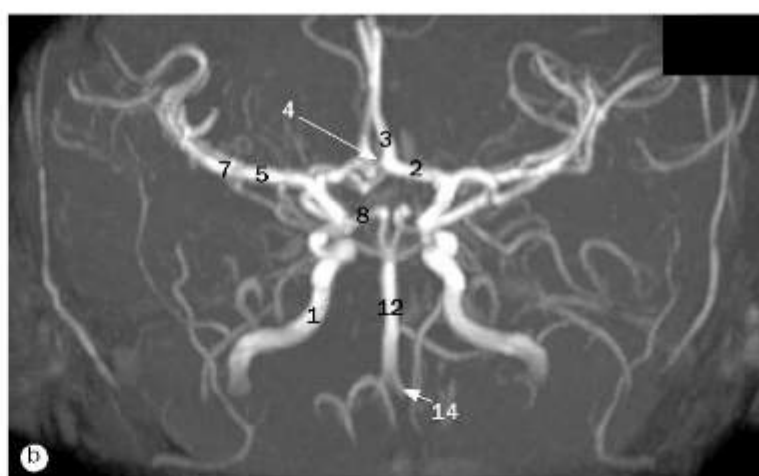
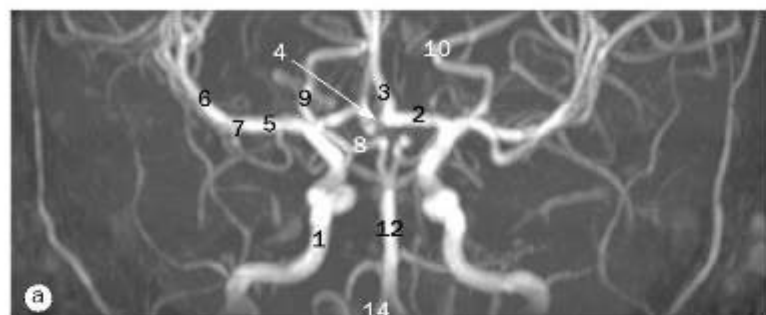
(a) Fase venosa de arteriografia de subtração digital vertebral, projeção anteroposterior.

- 1. Veia pontomesencefálica anterior
- 2. Veia hemisférica inferior
- 3. Veia inferior do verme
- 4. Veia jugular interna
- 5. Bulbo da veia jugular
- 6. Seio transverso esquerdo
- 7. Veia petrosa
- 8. Veia mesencefálica posterior
- 9. Seio transverso direito
- 10. Seio reto
- 11. Veia hemisférica superior
- 12. Seio petroso superior



(b) Fase venosa de arteriografia de subtração digital vertebral, projeção lateral.

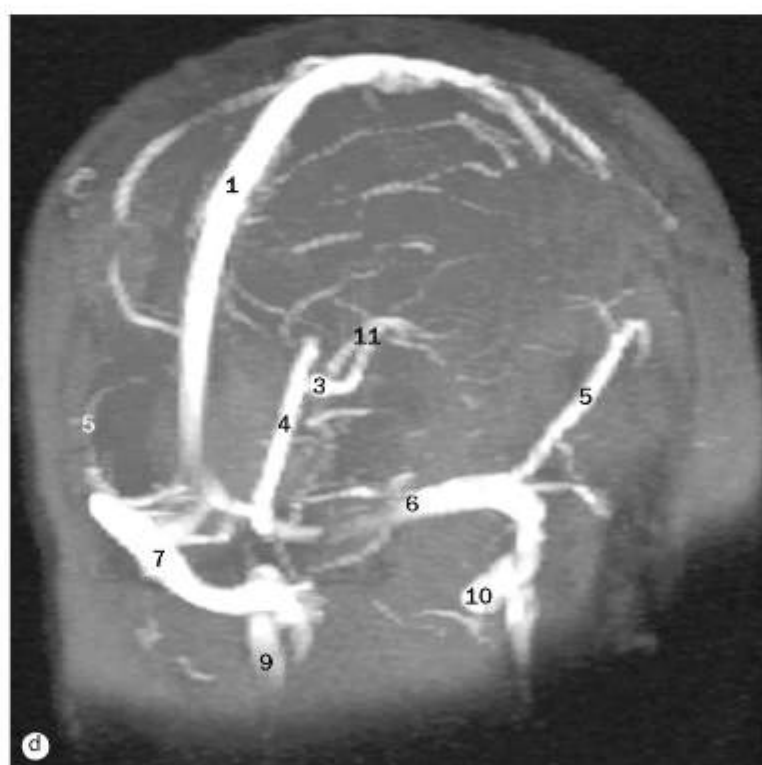
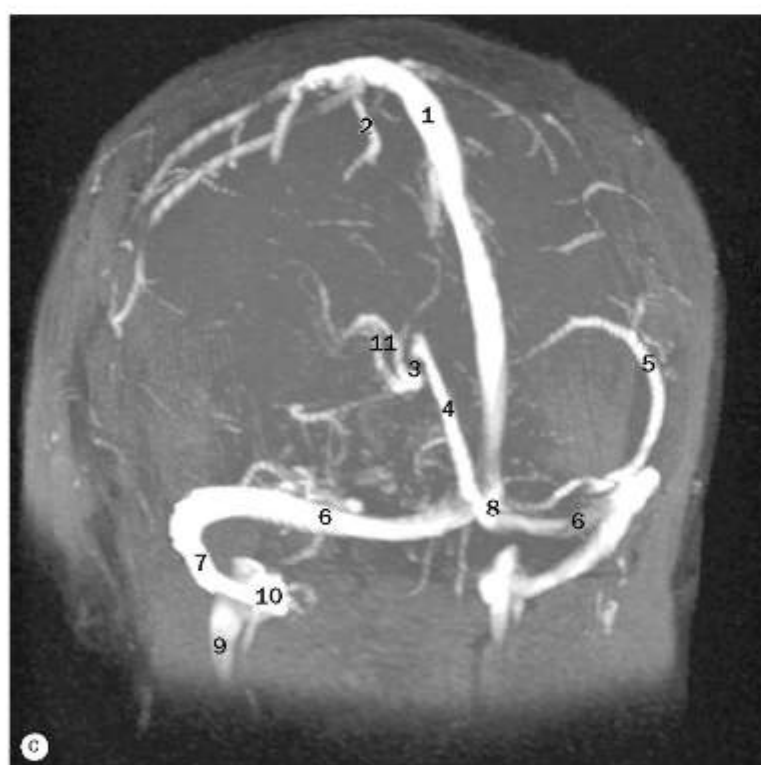
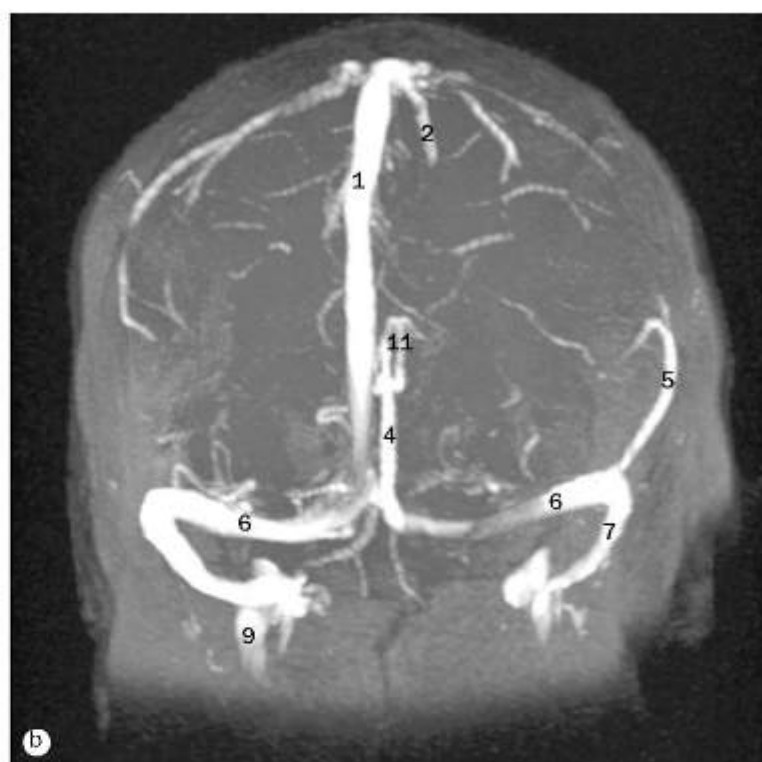
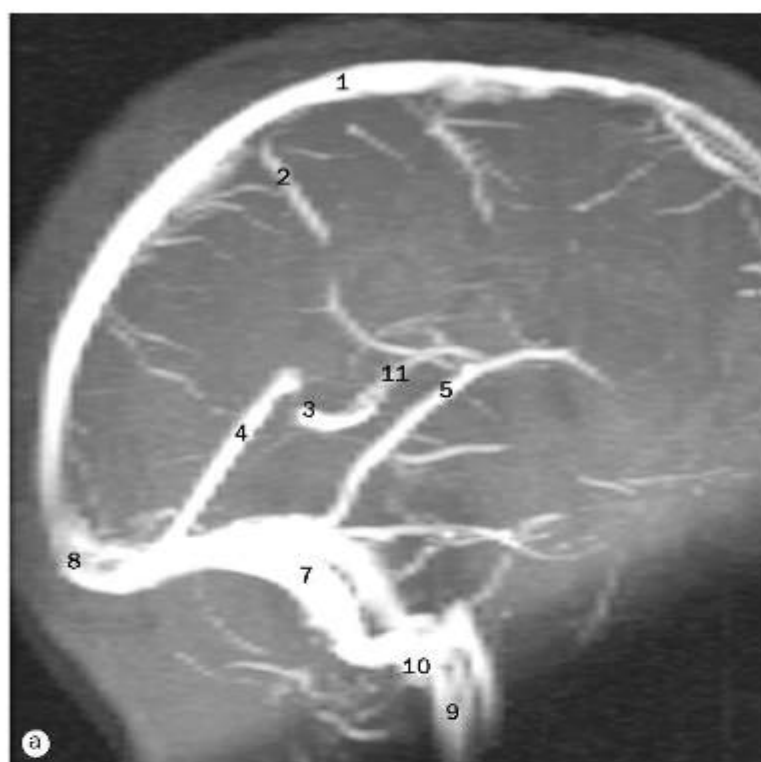
- 1. Veia pontomesencefálica anterior
- 2. Confluência dos seios
- 3. Veia cerebral magna
- 4. Veia hemisférica inferior
- 5. Veia inferior do verme
- 6. Veia jugular interna
- 7. Bulbo da veia jugular
- 8. Veia mesencefálica lateral
- 9. Veia mesencefálica posterior
- 10. Veia cerebelar pré-central
- 11. Seio sigmóideo
- 12. Seio reto
- 13. Veia coriôidea superior
- 14. Veia hemisférica superior
- 15. Veia superior do verme
- 16. Veia da tonsila
- 17. Seio transverso
- 18. Veia da grande fissura horizontal



Angiorressonâncias (ARM) do círculo arterial do cérebro, (a) e (b), coronal, (c) e (d) axial.

- 1. Artéria carótida interna
- 2. Parte pré-comunicante – segmento (A1) da artéria cerebral anterior
- 3. Parte pós-comunicante – segmento (A2) da artéria cerebral anterior
- 4. Artéria comunicante anterior
- 5. Parte esfenoidal – segmento (M1) da artéria cerebral média
- 6. Parte insular – segmento (M2) da artéria cerebral média
- 7. Joelho (bifurcação) da artéria cerebral média

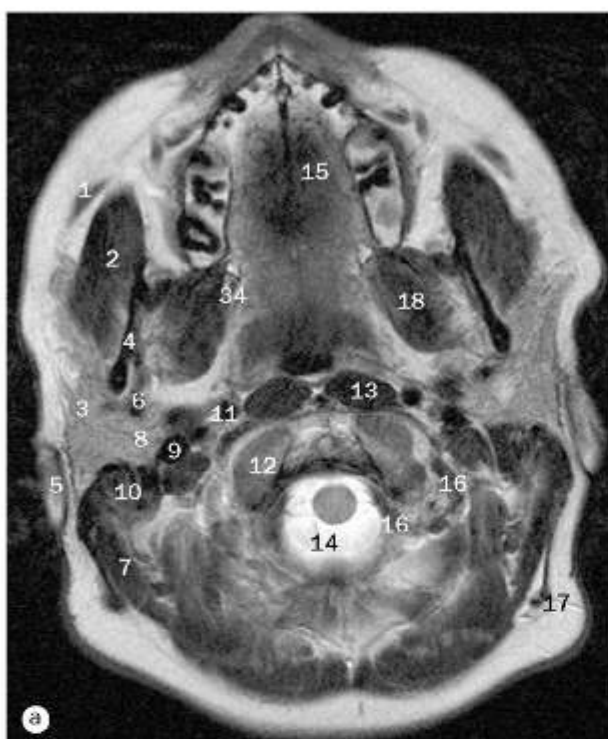
- 8. Parte pré-comunicante – segmento (P1) da artéria cerebral posterior
- 9. Parte pós-comunicante – segmento (P2) da artéria cerebral posterior
- 10. Artéria occipital lateral – segmento (P3) da artéria cerebral posterior
- 11. Artéria comunicante posterior
- 12. Artéria basilar
- 13. Artéria cerebelar superior
- 14. Artéria vertebral



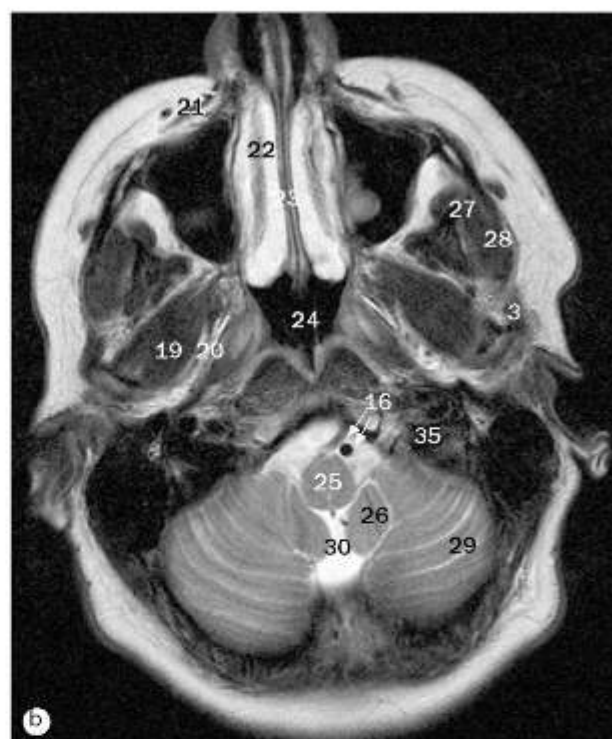
Imagens de RM da circulação venosa, (a) vista lateral, (b) vista frontal, (c) vista oblíqua posterior esquerda, (d) vista oblíqua posterior direita.

- 1 Seio sagital superior
- 2 Veias cerebrais superficiais
- 3 Veia cerebral magna
- 4 Seio reto
- 5 Veia cerebral superficial média
- 6 Seio transverso

- 7 Seio sigmóideo
- 8 Confluência dos seios
- 9 Veia jugular interna
- 10 Bulbo da veia jugular
- 11 Veia cerebral interna



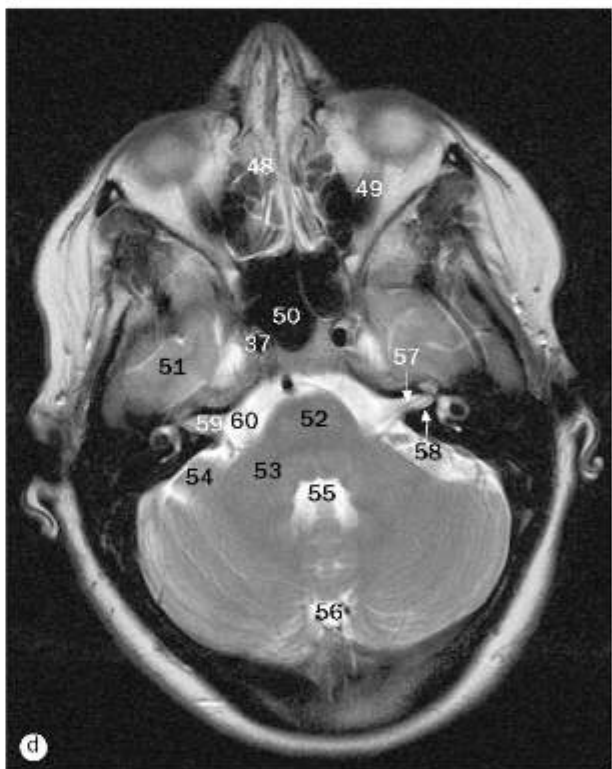
a



b



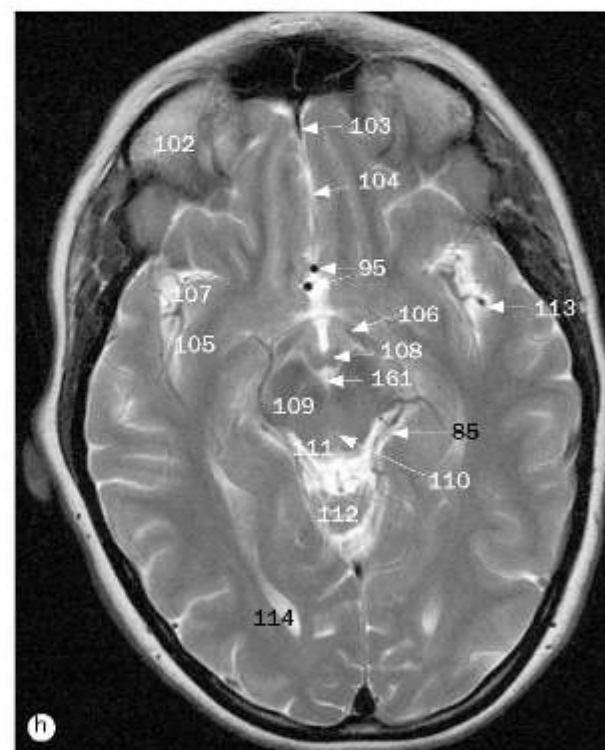
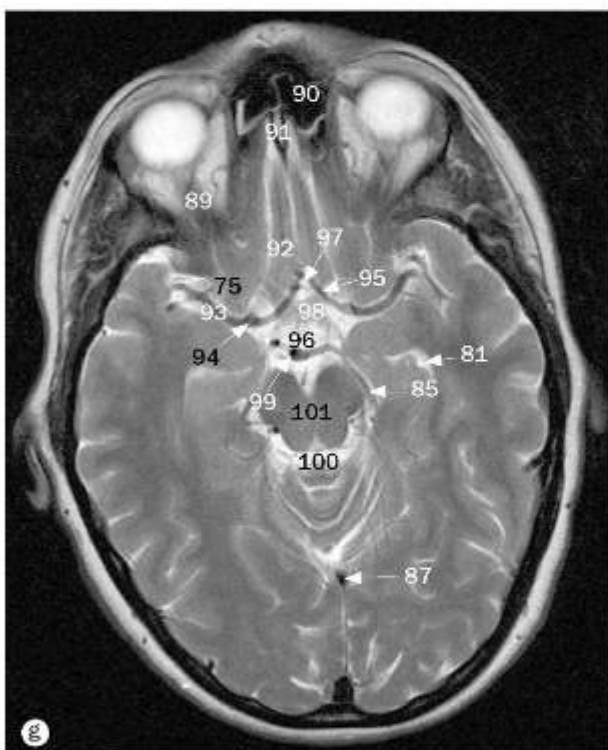
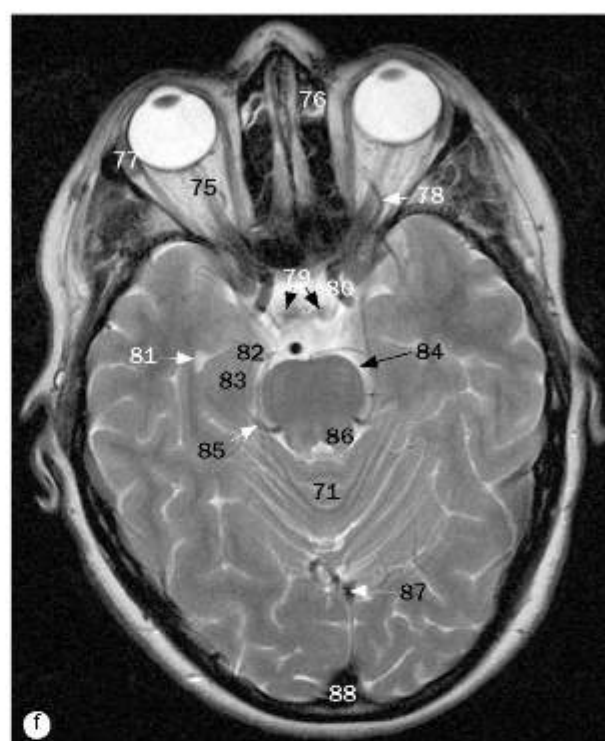
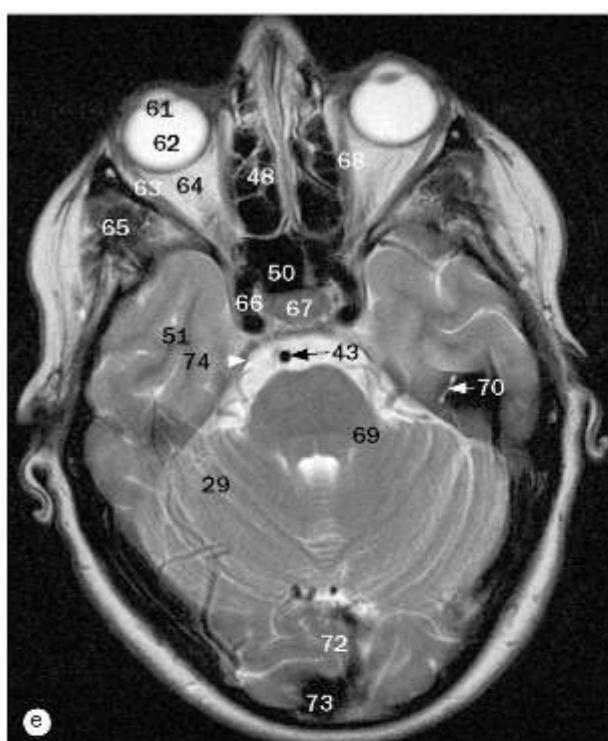
c



d

(a)-(n) Imagens axiais de RM do encéfalo, ponderadas em T2, da região inferior para superior.

1 Ducto parotideo	10 Processo mastoíde	19 Músculo pterigóideo lateral	26 Tonsila do cerebelo
2 Músculo masseter	11 Artéria carótida interna	20 Lâmina lateral do processo pterigoide	27 Processo coronoide da mandíbula
3 Glândula parótida (lobo superficial)	12 Côndilo occipital	21 Músculo levantador do lábio superior e da asa do nariz	28 Músculo temporal
4 Ramo da mandíbula	13 Músculo longo da cabeça	22 Concha nasal inferior	29 Folhas do cerebelo
5 Hélice da orelha	14 Forame magno	23 Septo nasal	30 Abertura mediana do quarto ventrículo
6 Veia retromandibular	15 Palato duro	24 Parte nasal da faringe	31 Ducto lacrimonásal
7 Músculo esternocleidomastóideo	16 Artéria vertebral	25 Bulbo	32 Arco zigomático
8 Glândula parótida (lobo profundo)	17 Vasos occipitais		
9 Veia jugular interna	18 Músculo pterigóideo medial		



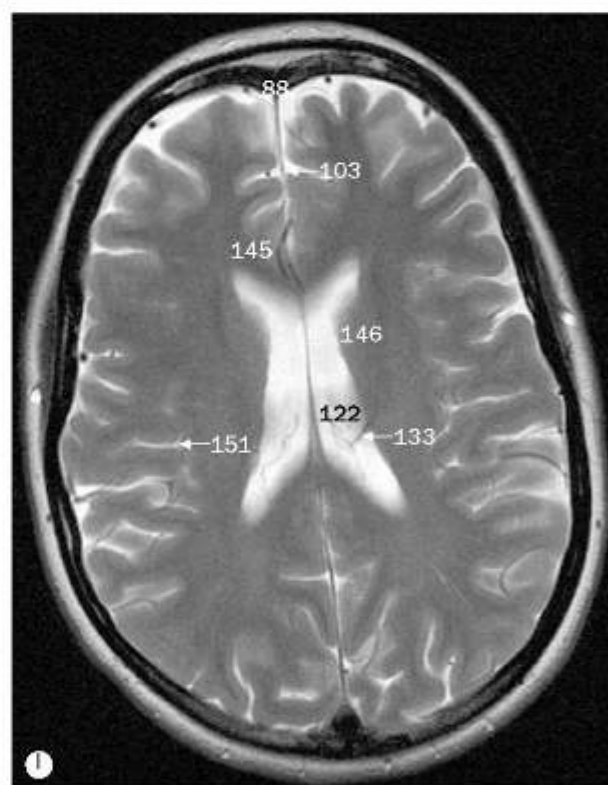
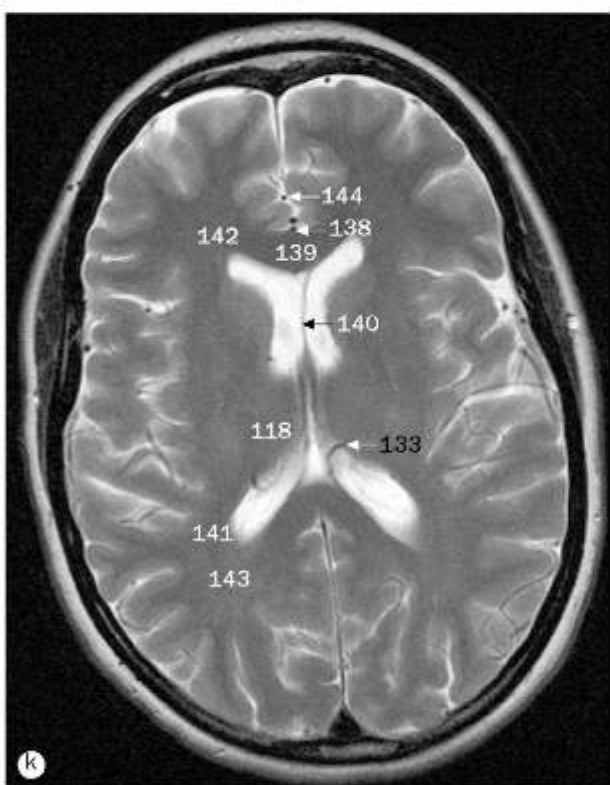
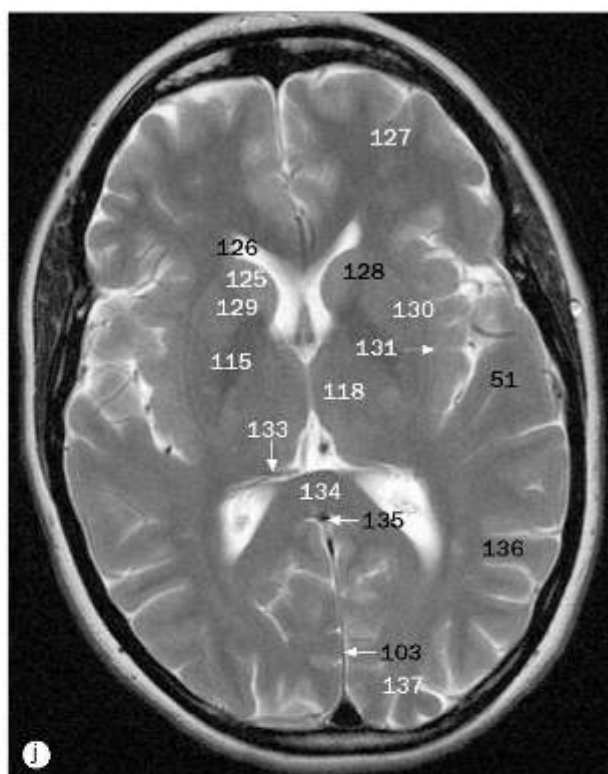
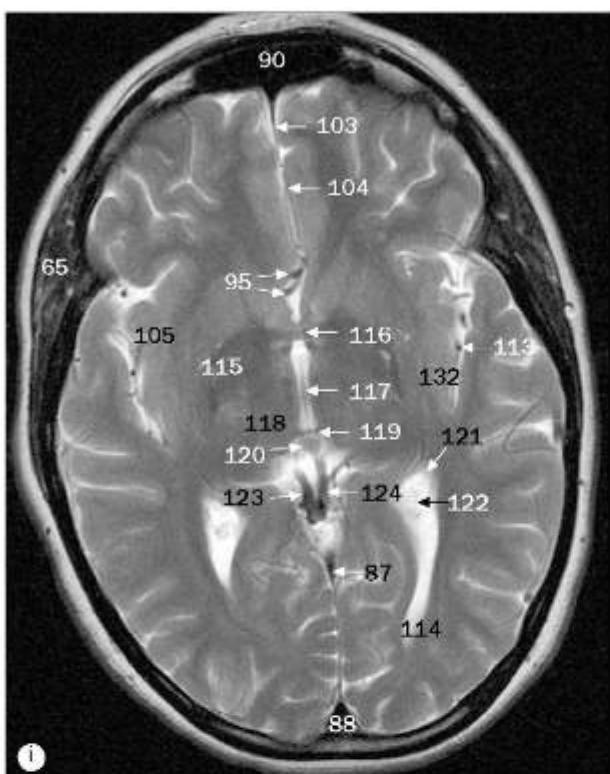
(a)-(n) Imagens axiais de RM do encéfalo, ponderadas em T2, da região inferior para superior.

- 33 Cabeça da mandíbula
- 34 Lâmina medial do processo pterigoide
- 35 Forame jugular
- 36 Parte petrosa do osso temporal
- 37 Artéria carótida interna
- 38 Células mastóideas
- 39 Seio maxilar

- 40 Cóclea
- 41 Canal semicircular posterior
- 42 Clivo
- 43 Artéria basilar
- 44 Artéria do labirinto
- 45 Vermo do cerebelo (região inferior)
- 46 Ínio (protuberância occipital interna)

- 47 Abertura lateral do quarto ventrículo
- 48 Células etmoidais
- 49 Músculo reto-inferior
- 50 Seio esfenoidal
- 51 Lobo temporal
- 52 Ponte
- 53 Pediúnculo cerebelar médio
- 54 Lobo flocculonodular do cerebelo

- 55 Quarto ventrículo
- 56 Cisterna magna (cerebelobulbar posterior)
- 57 Nervo facial (sétimo nervo craniano)
- 58 Nervo vestibulococlear (oitavo nervo craniano)
- 59 Meato acústico interno
- 60 Ângulo pontocerebelar



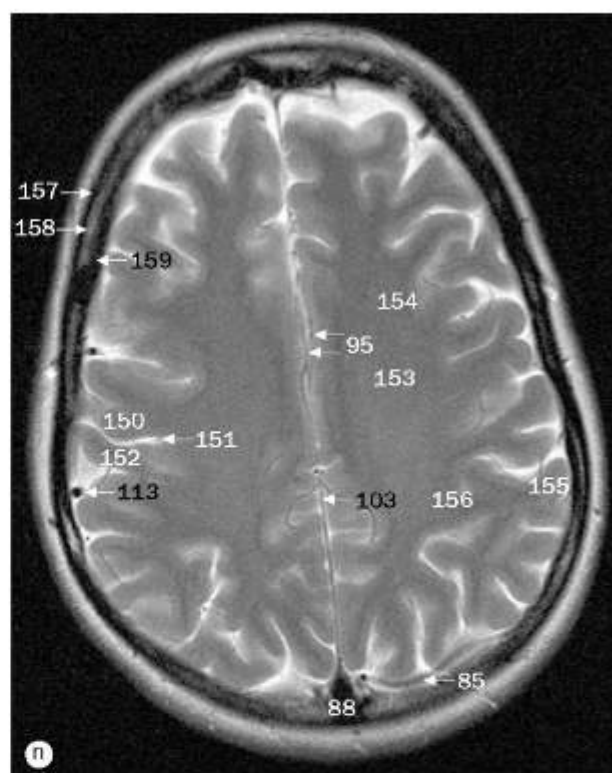
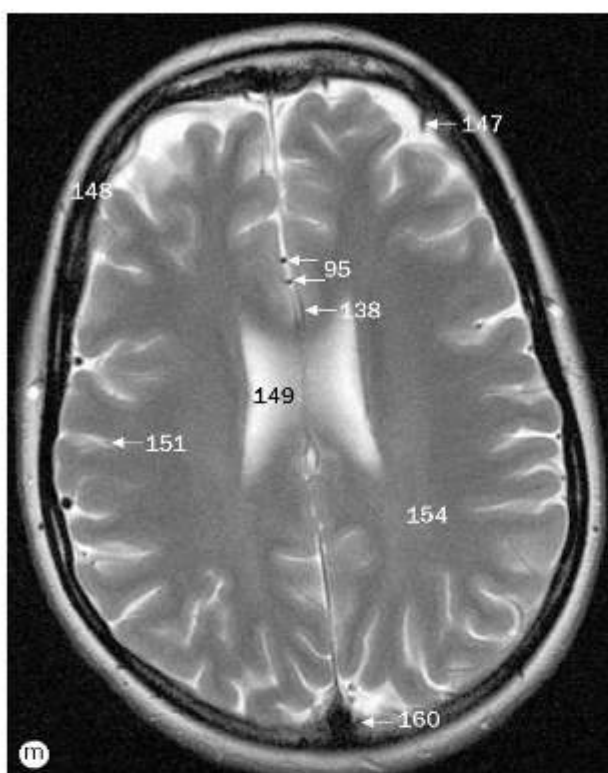
(a)-(n) Imagens axiais de RM do encéfalo, ponderadas em T2, da região inferior para superior.

- 61 Lente
- 62 Humor vítreo
- 63 Músculo reto lateral
- 64 Corpo adiposo da órbita
- 65 Músculo temporal
- 66 Artéria carótida interna (parte cavernosa)
- 67 Corpo do esfenóide

- 68 Músculo reto medial
- 69 Pedúnculo cerebelar superior
- 70 Canal semicircular superior
- 71 Vermie do cerebelo (região superior)
- 72 Cortex calcarino do lobo occipital

- 73 Confluência dos seios
- 74 Ligamento petroclínideo
- 75 Nervo óptico (segundo nervo craniano)
- 76 Infundíbulo do seio frontal
- 77 Glândula lacrimal
- 78 Veia oftálmica superior

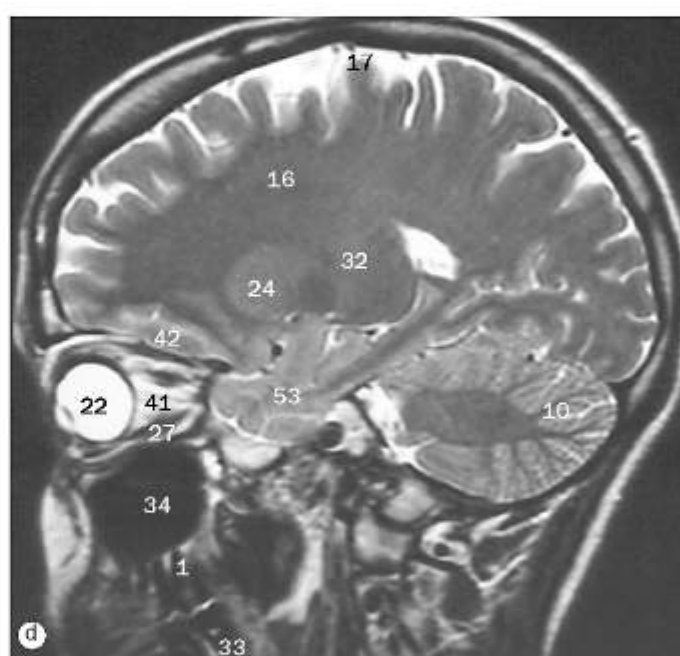
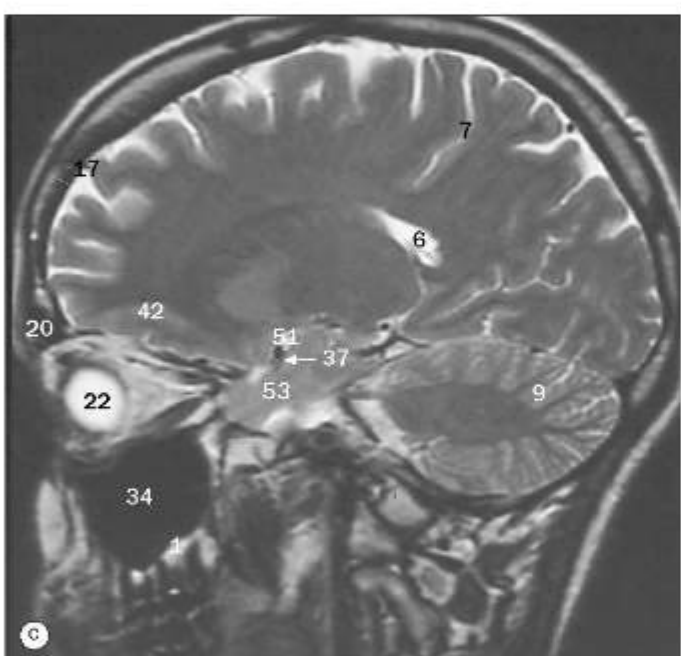
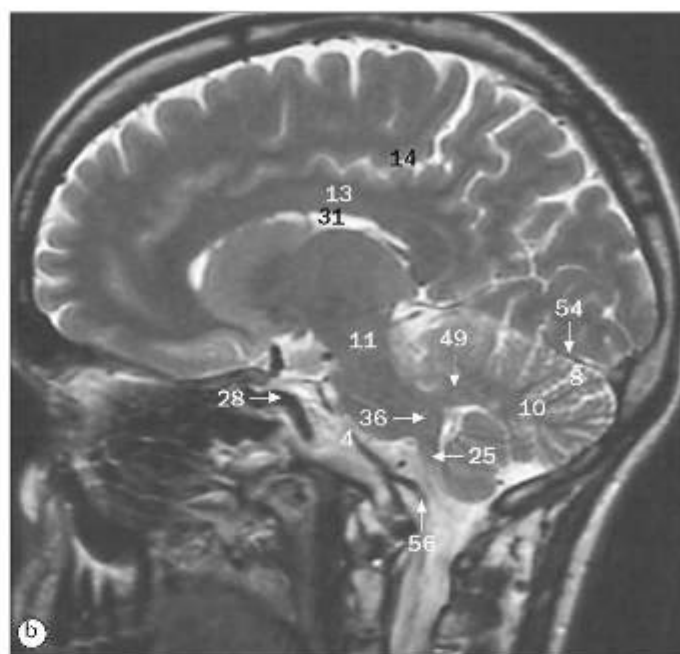
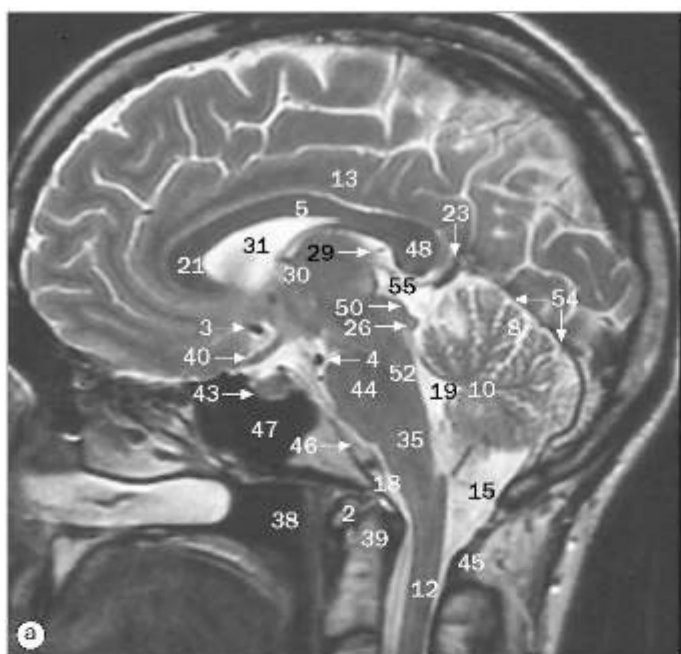
- 79 Glândula hipófise
- 80 Artéria carótida interna (parte cerebral)
- 81 Corno temporal do ventrículo lateral
- 82 Unco do lobo temporal



(a)-(n) Imagens axiais de RM do encéfalo, ponderadas em T2, da região inferior para superior.

83 Hipocampo	102 Lâmina orbital do osso frontal	120 Glândula pineal	141 Radiação óptica
84 Cisterna ambiens	103 Foice do cérebro	121 Trígono colateral	142 Fôrceps frontal
85 Artéria cerebral posterior	104 Fissura longitudinal do cérebro	122 Plexo corioide	143 Fôrceps occipital
86 Colículo inferior	105 Giros da insula	123 Veia basilar	144 Artéria polar frontal
87 Seio reto	106 Trato óptico	124 Veia cerebral magna	145 Giro do cíngulo
88 Seio sagital superior	107 Sulco lateral	125 Cabeça do núcleo caudado	146 Corpo do núcleo caudado
89 Músculo reto superior	108 Corpo mamilar	126 Corno frontal do ventrículo lateral	147 Veia cortical
90 Seio frontal	109 Pedúnculo cerebral	127 Lobo frontal	148 Calvária do crânio
91 Crista etmoidal	110 Aqueduto do mesencéfalo	128 Ramo anterior da cápsula interna	149 Corpo do ventrículo lateral
92 Nervo olfatório (primeiro nervo craniano)	111 Colículo superior	129 Globo pálido	150 Giro pré-central
93 Artéria cerebral média	112 Folhas do cerebelo	130 Putame	151 Sulco central
94 Bifurcação da artéria carótida interna	113 Artéria cerebral média (ramo de segunda ordem)	131 Cápsula externa	152 Giro pós-central
95 Artéria cerebral anterior	114 Corno occipital do ventrículo lateral	132 Claustrum	153 Centro semiovais
96 Cisterna supraselar	115 Ramo posterior da cápsula interna	133 Vasos corioideos	154 Coroa radiada
97 Artéria comunicante anterior	116 Comissura anterior	134 Esplênio do corpo caloso	155 Substância cinzenta
98 Quiasma óptico	117 Terceiro ventrículo	135 Seio sagital inferior	156 Substância branca
99 Bifurcação da artéria basilar	118 Tálamo	136 Lobo parietal	157 Lâmina externa da calvária
100 Cisterna colicular	119 Comissura posterior	137 Lobo occipital	158 Díploe
101 Mesencéfalo		138 Artéria calosomarginal	159 Lâmina interna da calvária
		139 Joelho do corpo caloso	160 Granulação aracnóidea
		140 Septo pelúcido	161 Cisterna interpeduncular

Os números 1-161 são comuns às páginas 42-45.



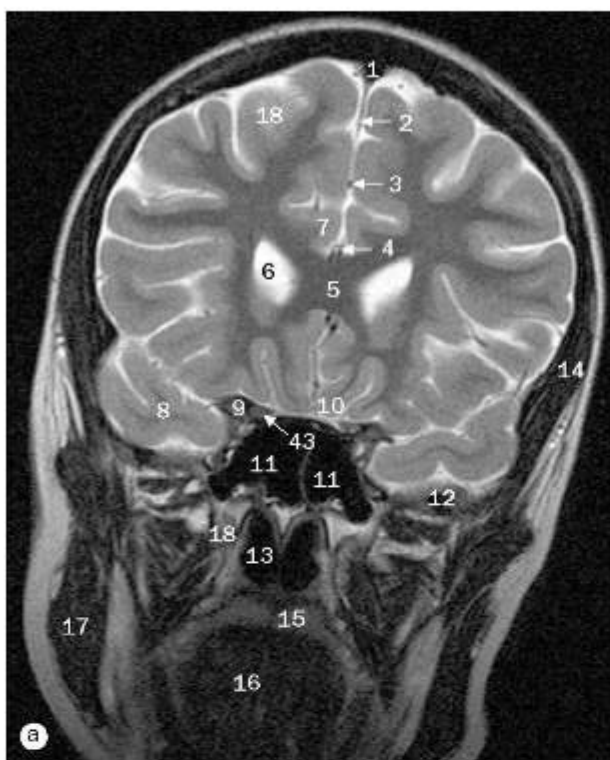
(a)-(d) Encéfalo, imagens sagitais de RM.

- | | | | |
|--|---|---|---------------------------------|
| 1 Crista alveolar | 15 Cisterna magna (cisterna cerebelobulbar posterior) | 29 Veia cerebral interna | 43 Glândula hipófise |
| 2 Arco anterior do atlas
(primeira vértebra cervical) | 16 Coroa radiada | 30 Forame interventricular | 44 Ponte |
| 3 Artéria cerebral anterior | 17 Veia cortical | 31 Ventrículo lateral | 45 Arco posterior do atlas |
| 4 Artéria basilar | 18 Forame magno | 32 Núcleo lenticiforme | 46 Cisterna pontina |
| 5 Tronco do corpo caloso | 19 Quarto ventrículo | 33 Mandíbula | 47 Seio esfenoidal |
| 6 Corpo do ventrículo lateral | 20 Seio frontal | 34 Seio maxilar (antro) | 48 Esplênio do corpo caloso |
| 7 Sulco central | 21 Joelho do corpo caloso | 35 Bulbo | 49 Pedúnculo cerebelar superior |
| 8 Folhas do cerebelo | 22 Bulbo do olho | 36 Pedúnculo cerebelar médio | 50 Colículo superior |
| 9 Hemisfério cerebelar | 23 Veia cerebral magna | 37 Artéria cerebral média | 51 Sulco lateral |
| 10 Cerebelo | 24 Cabeça do núcleo caudado | 38 Parte nasal da faringe | 52 Tegmento da ponte |
| 11 Pedúnculo cerebral | 25 Pedúnculo cerebelar inferior | 39 Dente do áxis | 53 Lobo temporal |
| 12 Medula espinal – parte cervical | 26 Colículo inferior | 40 Quiasma óptico na cisterna quiasmática | 54 Tentório do cerebelo |
| 13 Giro do cíngulo | 27 Músculo reto inferior | 41 Nervo óptico | 55 Glândula pineal |
| 14 Sulco do cíngulo | 28 Artéria carótida interna (parte cavernosa) | 42 Parte orbital do lobo frontal | 56 Artéria vertebral |

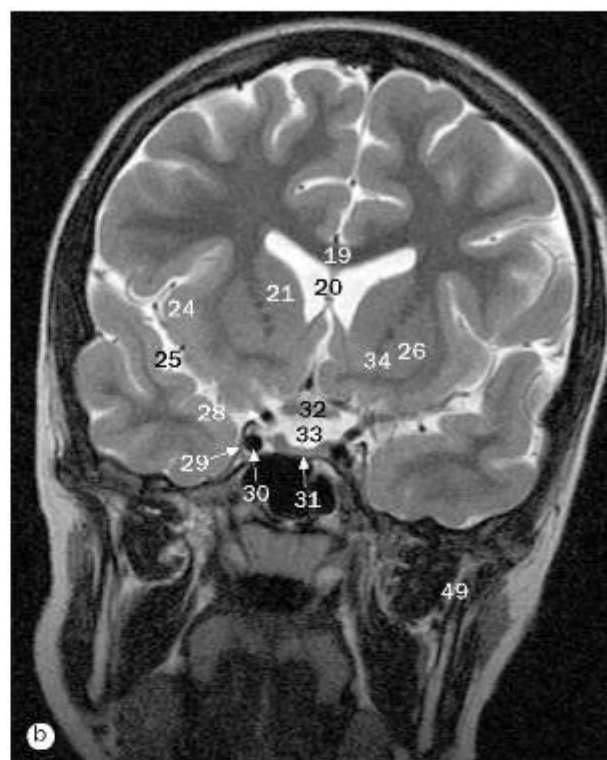


Encéfalo, imagem de RM sagital na linha mediana

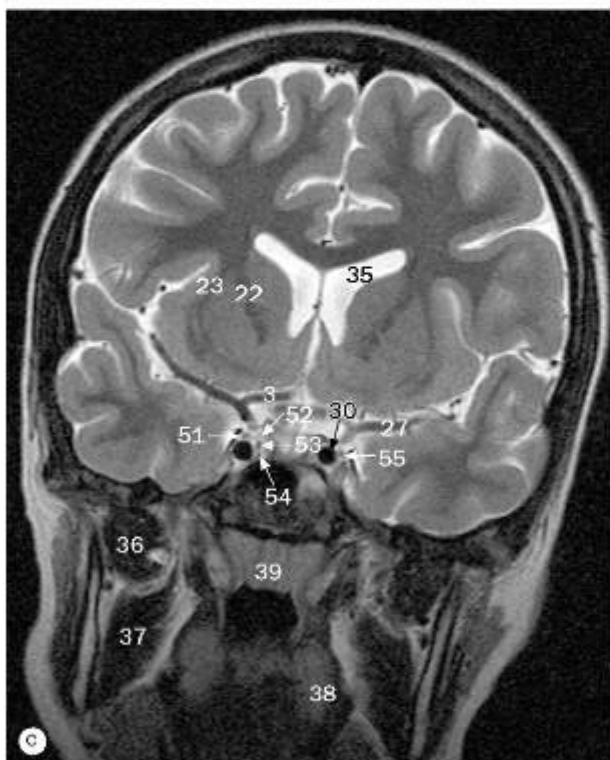
- | | | |
|---|--------------------------------------|---------------------------------|
| 1 Arco anterior do atlas (primeira vértebra cervical) | 15 Tecido adiposo na medula do clivo | 31 Sulco parietoccipital |
| 2 Artéria cerebral anterior | 16 Forame magno | 32 Glândula pineal |
| 3 Comissura anterior | 17 Fórnice | 33 Glândula hipófise |
| 4 Aqueduto do mesencéfalo | 18 Quarto ventrículo | 34 Ponte |
| 5 Artéria basilar | 19 Seio frontal | 35 Arco posterior do atlas |
| 6 Tronco do corpo caloso | 20 Joelho do corpo caloso | 36 Comissura posterior |
| 7 Folhas do cerebelo | 21 Veia cerebral magna | 37 Cisterna pontina |
| 8 Tonsila do cerebelo | 22 Veia cerebral interna | 38 Cisterna colicular |
| 9 Cerebelo | 23 Forame interventricular | 39 Lâmina do teto (mesencéfalo) |
| 10 Pedúnculo cerebral | 24 Lâmina terminal | 40 Seio esfenoidal |
| 11 Medula espinal – parte cervical | 25 Ventrículo lateral | 41 Esplênio do corpo caloso |
| 12 Giro do cíngulo | 26 Corpo mamilar | 42 Véu medular superior |
| 13 Cisterna magna (cisterna cerebelobulbar posterior) | 27 Aderência intertalâmica | 43 Tegmento da ponte |
| 14 Diploe | 28 Bulbo | 44 Tentório do cerebelo |
| | 29 Parte nasal da faringe | 45 Terceiro ventrículo |
| | 30 Dente do áxis | |



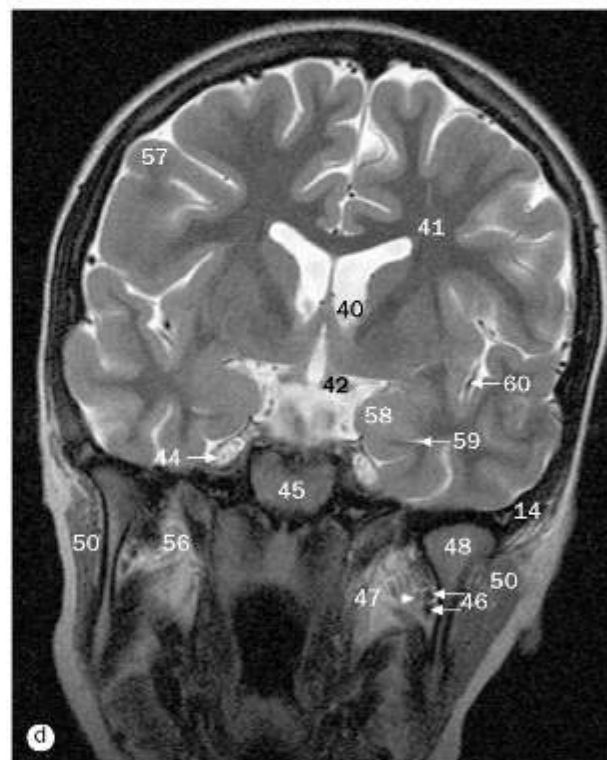
a



b



c



d

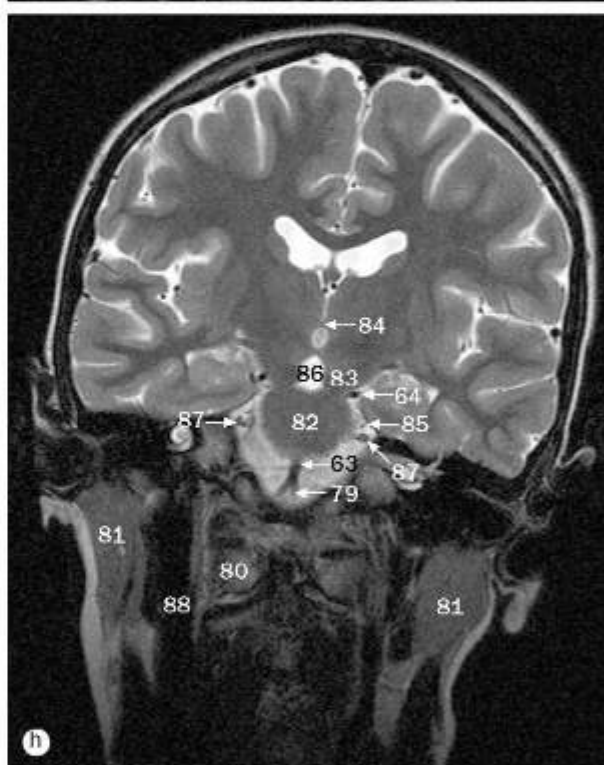
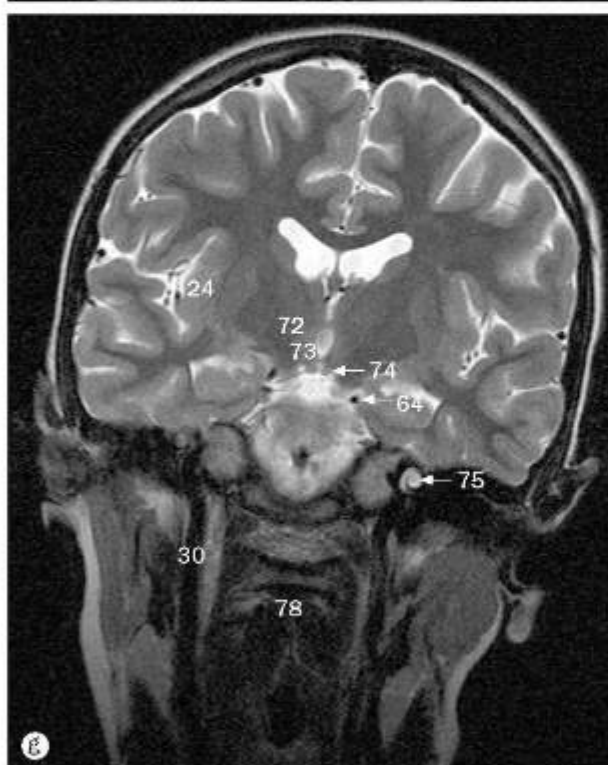
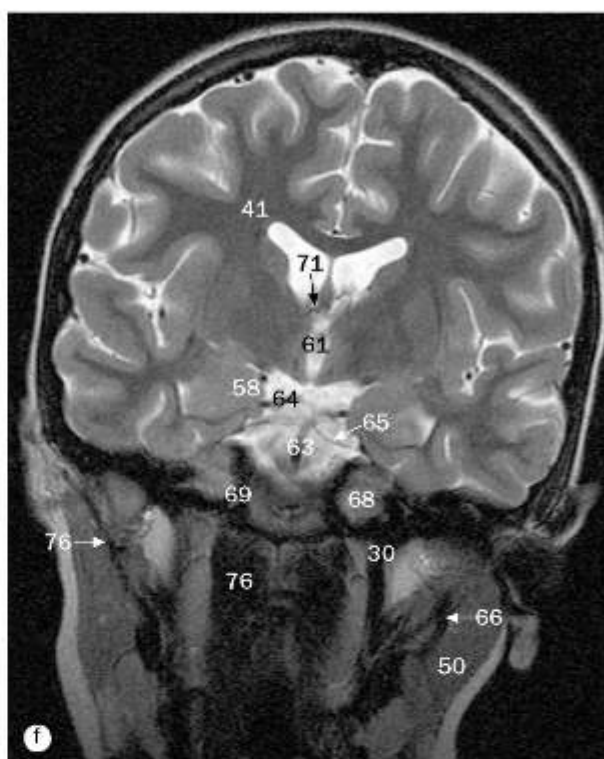
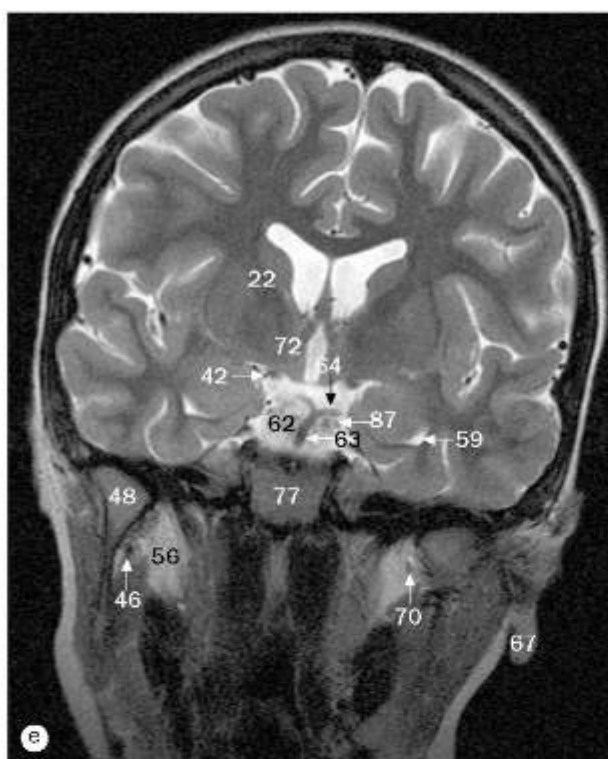
(a)-(p) Encéfalo, imagens coronais de RM, ponderadas em T2, da região anterior para posterior.

- 1 Selo sagital superior
- 2 Foice do cérebro
- 3 Artéria cerebral média
- 4 Artéria calosomarginal
- 5 Joelho do corpo caloso
- 6 Corno frontal do ventrículo lateral
- 7 Giro do cíngulo
- 8 Lobo temporal

- 9 Processo clinóide anterior
- 10 Côrtex olfatório
- 11 Selo esfenoidal
- 12 Asa maior do esfenóide
- 13 Parte nasal da faringe
- 14 Músculo temporal
- 15 Palato duro
- 16 Parte oral da faringe
- 17 Músculo masseter

- 18 Lobo frontal
- 19 Tronco do corpo caloso
- 20 Septo pelúcido
- 21 Cabeça do núcleo caudado
- 22 Ramo anterior da cápsula interna
- 23 Cápsula externa
- 24 Giros da insula
- 25 Sulco lateral

- 26 Putame
- 27 Artéria cerebral média
- 28 Parte cerebral da artéria carótida interna
- 29 Parede lateral do seio cavernoso
- 30 Artéria carótida interna
- 31 Glândula hipófise
- 32 Quiasma óptico



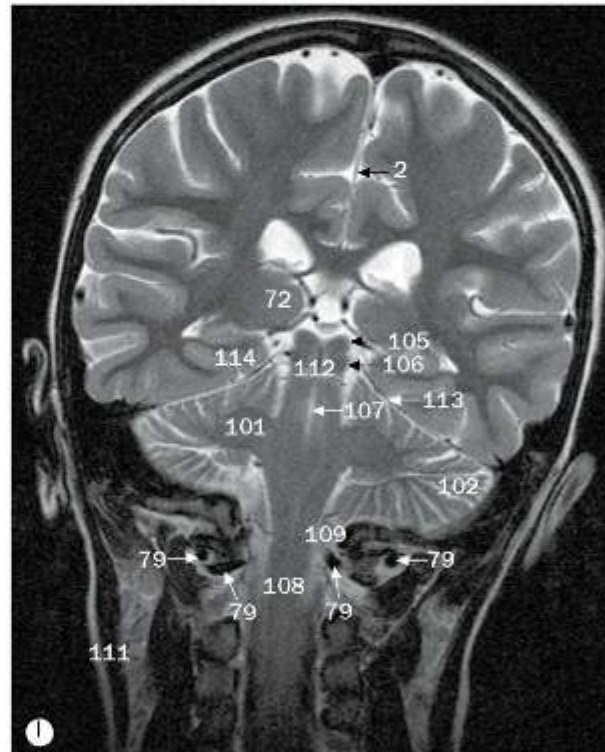
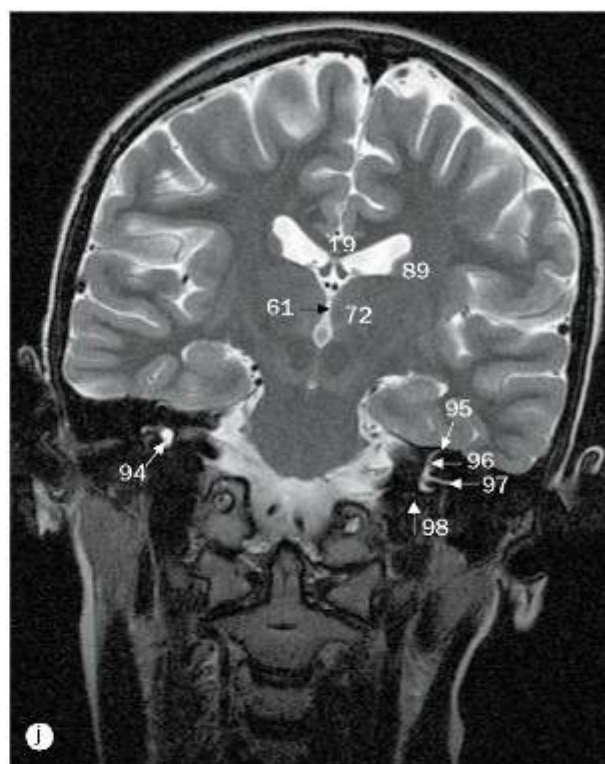
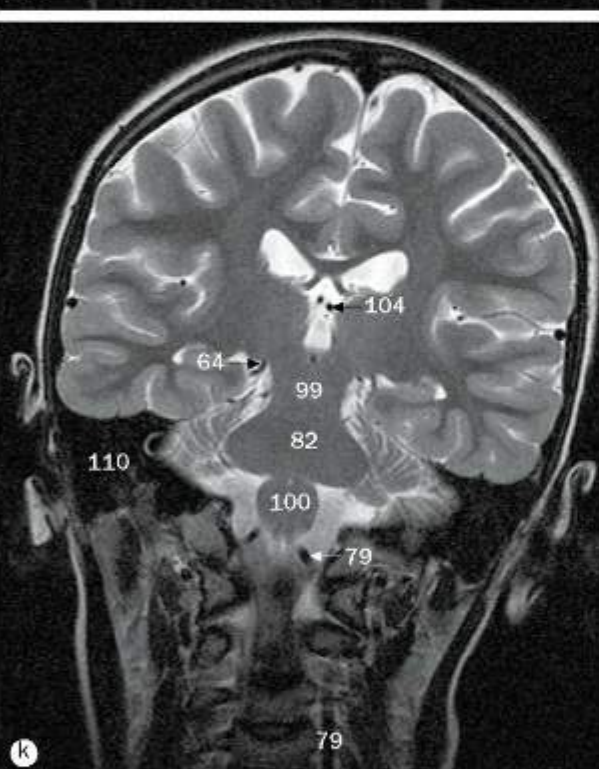
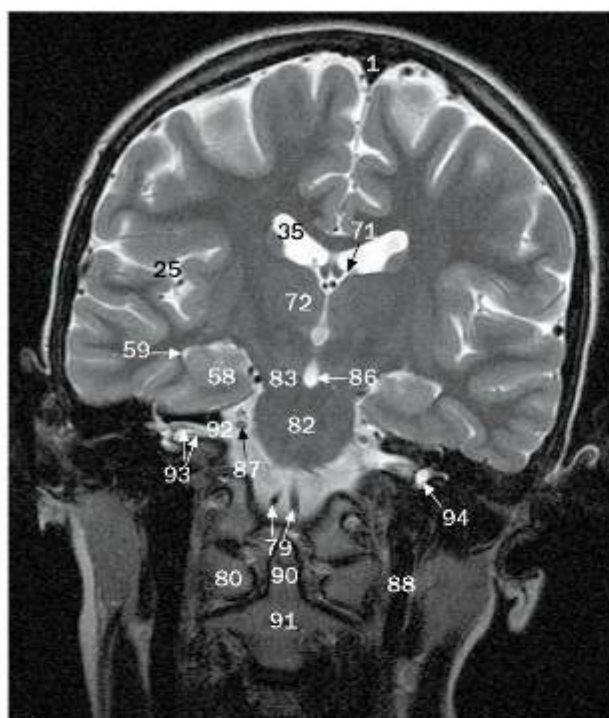
(a)-(p) Encéfalo, imagens coronais de RM, ponderadas em T2, da região anterior para posterior.

33 Cisterna quiasmática
34 Globo pálido
35 Corpo do ventrículo lateral
36 Músculo pterigóideo lateral
37 Músculo pterigóideo medial
38 Língua
39 Palato mole
40 Plexo coroídeo
41 Coroa radiada
42 Trato óptico

43 Nervo óptico (segundo nervo craniano)
44 Gânglio trigeminal na cavidade trigeminal
45 Corpo do esfenóide
46 Vasos alveolares inferiores
47 Nervo alveolar inferior
48 Cabeça da mandíbula
49 Processo coronoide da mandíbula

50 Glândula parótida
51 Nervo oculomotor (terceiro nervo craniano)
52 Nervo troclear (quarto nervo craniano)
53 Ramo oftálmico (quinto nervo craniano, primeira divisão)
54 Ramo maxilar (quinto nervo craniano, segunda divisão)

55 Nervo abducente (sexto nervo craniano)
56 Fossa infratemporal
57 Lobo parietal
58 Hipocampo
59 Corno temporal do ventrículo lateral
60 Artéria cerebral média (ramo de segunda ordem)
61 Terceiro ventrículo



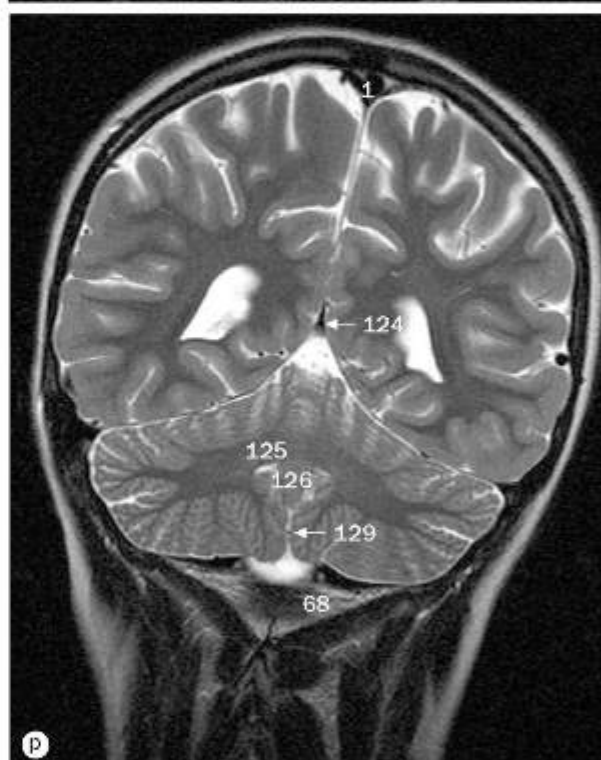
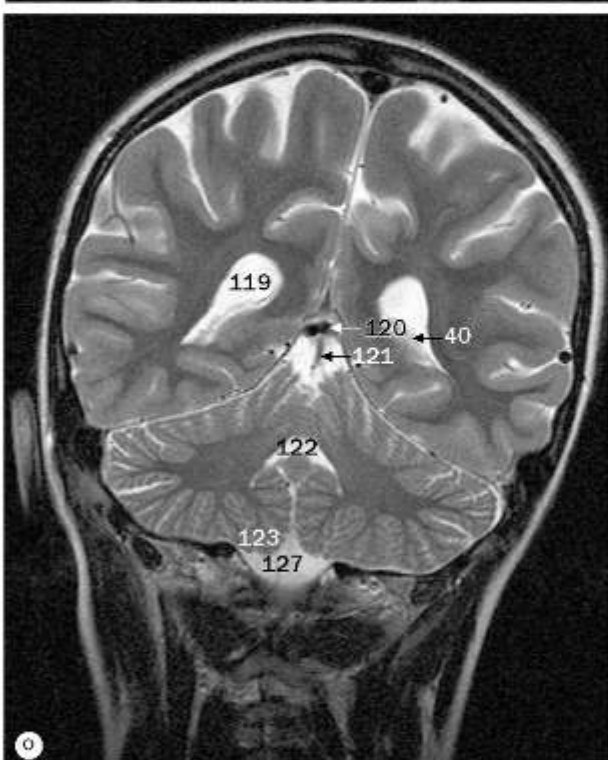
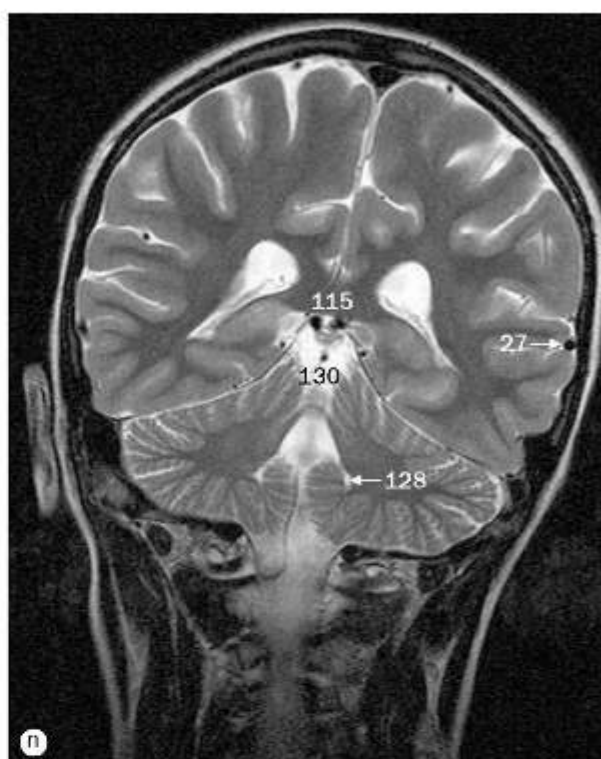
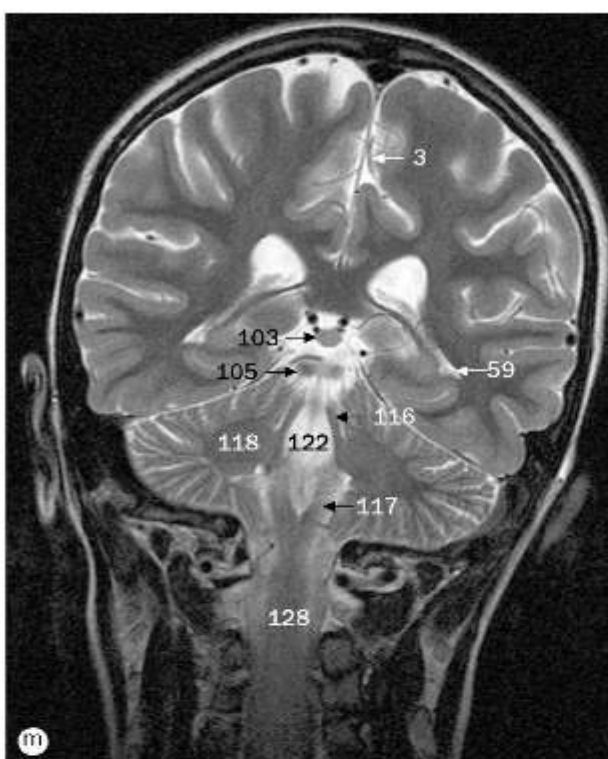
(a)-(p) Encéfalo, imagens coronais de RM, ponderadas em T2, da região anterior para posterior.

- 62 Cisterna pontina
- 63 Artéria basilar
- 64 Artéria cerebral posterior
- 65 Artéria cerebelar superior
- 66 Veia retromandibular
- 67 Trago da orelha externa
- 68 Base do occipital
- 69 Sincondrose esfenoccipital
- 70 Nervo auriculotemporal
- 71 Forame interventricular
- 72 Tálamo

- 73 Hipotálamo
- 74 Corpo mamilar
- 75 Cóclea
- 76 Rafe da faringe
- 77 Base do esfenóide
- 78 Arco anterior de C1
- 79 Artéria vertebral
- 80 Massa lateral de C1
- 81 Músculo esternocleidomastóideo
- 82 Ponte

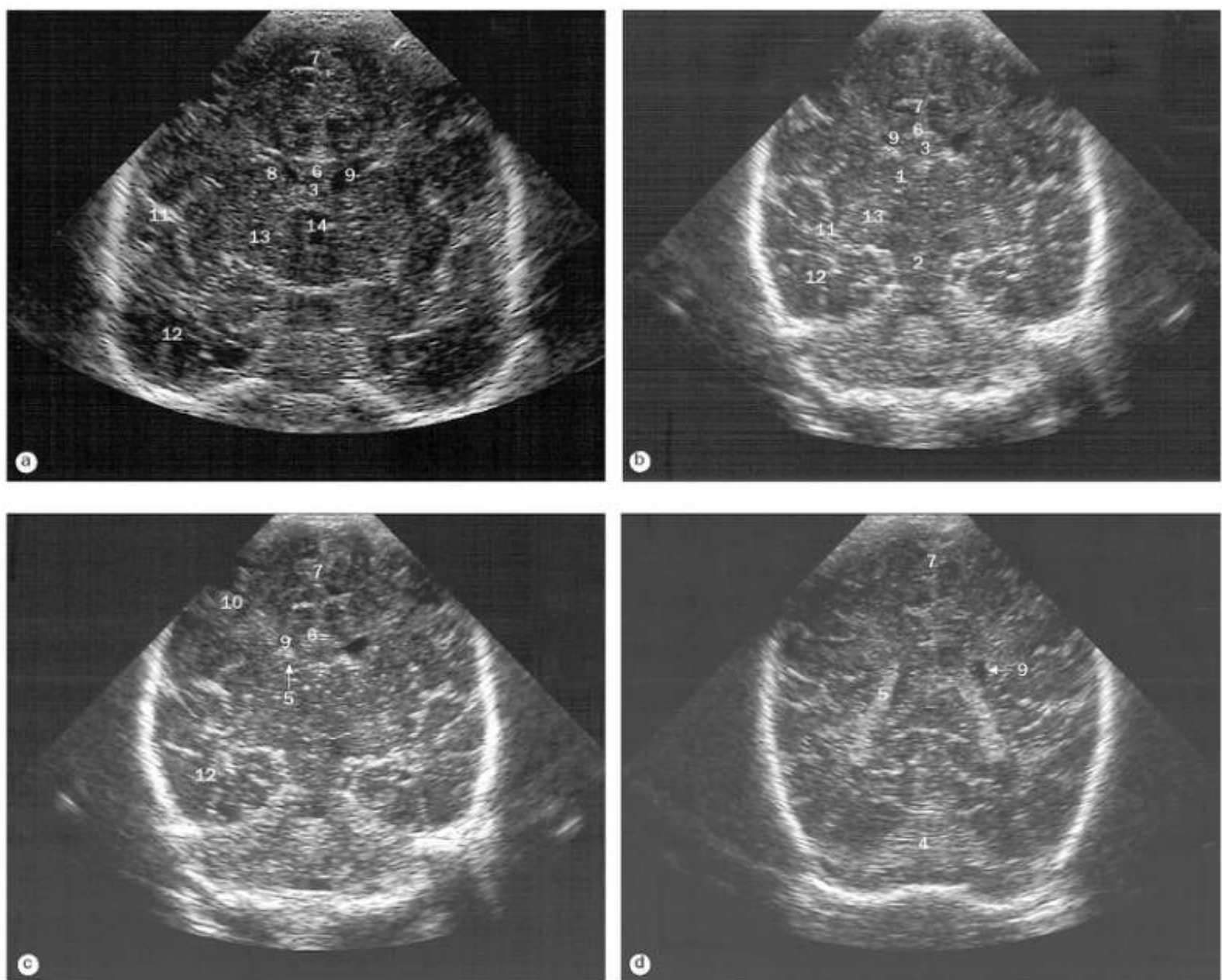
- 83 Pedúnculo cerebral
- 84 Aderência intertalâmica
- 85 Nervo abducente (sexto nervo craniano) na cisterna ambiens
- 86 Cisterna interpeduncular
- 87 Nervo trigêmeo (quinto nervo craniano)
- 88 Veia jugular interna
- 89 Corpo do núcleo caudado

- 90 Dente do áxis
- 91 Corpo do áxis
- 92 Meato acústico interno
- 93 Nervos facial (sétimo nervo craniano) e vestibulococlear (oitavo nervo craniano)
- 94 Vestíbulo
- 95 Eminência arqueada da parte petrosa do osso temporal
- 96 Canal semicircular superior



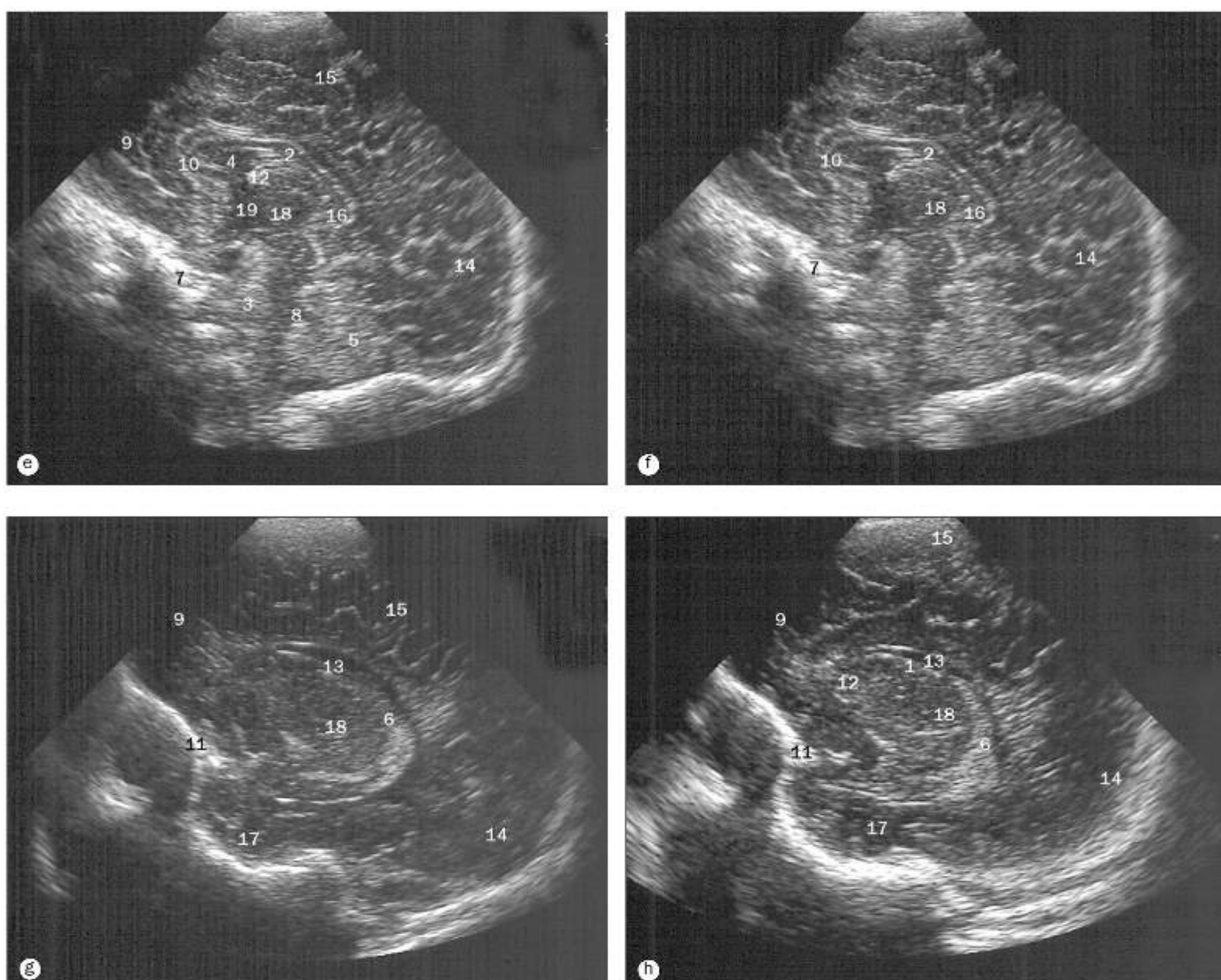
(a)-(p) Encéfalo, imagens coronais de RM, ponderadas em T2, da região anterior para posterior.

97 Canal semicircular lateral	106 Colículo inferior	116 Pedúnculo cerebelar superior	125 Núcleo dentado do cerebelo
98 Canal semicircular posterior	107 Aqueduto do mesencéfalo	117 Pedúnculo cerebelar inferior	126 Nódulo do cerebelo
99 Mesencéfalo	108 Medula espinal	118 Hemisfério cerebelar	127 Cisterna magna (cerebelobulbar posterior)
100 Bulbo	109 Forame magno	119 Trígono colateral	128 Abertura lateral do quarto ventrículo
101 Pedúnculo cerebelar médio	110 Células mastóideas	120 Veia cerebral magna	129 Abertura mediana do quarto ventrículo
102 Folhas do cerebelo	111 Músculo trapézio	121 Veia basilar	130 Cisterna colicular
103 Glândula pineal	112 Teto do mesencéfalo	122 Quarto ventrículo	
104 Veias cerebrais internas	113 Tentório do cerebelo	123 Tonsila do cerebelo	
105 Colículo superior	114 Uncus do lobo temporal	124 Seio sagital inferior	
	115 Espião do corpo caloso		



(a)-(d) Encéfalo neonatal, imagens ultrassonográficas coronais.

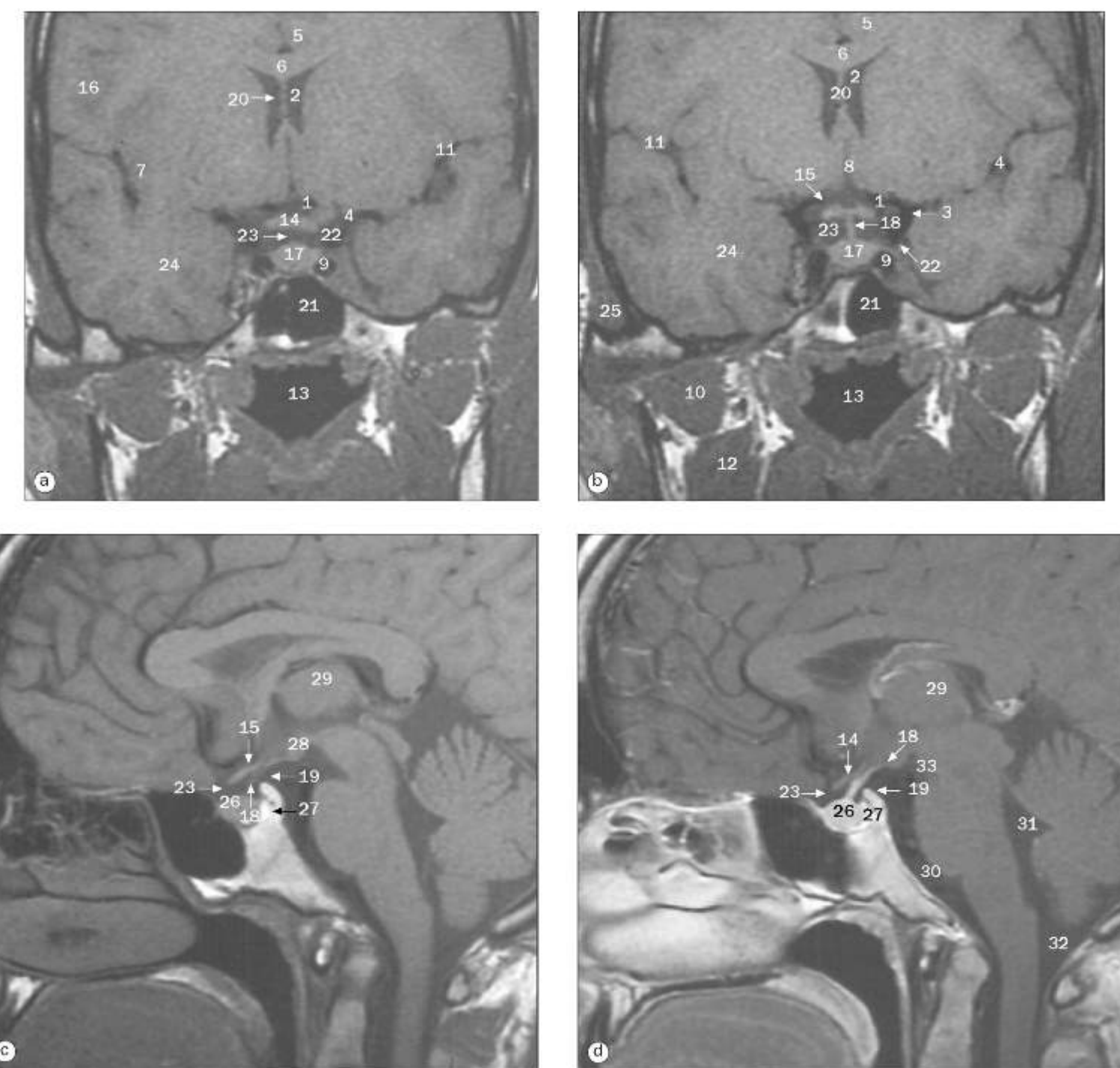
- 1. Corpo do núcleo caudado
- 2. Tronco encefálico
- 3. Cavidade do septo pélucido
- 4. Cerebelo
- 5. Plexo coriônideo
- 6. Corpo caloso
- 7. Foice do cérebro
- 8. Cabeça do núcleo caudado
- 9. Ventrículo lateral
- 10. Lobo parietal do cérebro
- 11. Sulco lateral
- 12. Lobo temporal
- 13. Tálamo
- 14. Terceiro ventrículo



(e)-(h) Encéfalo neonatal, imagens ultrassonográficas sagitais.

- 1 Corpo do núcleo caudado
- 2 Corpo do corpo caloso
- 3 Tronco encefálico
- 4 Cavidade do septo pelúcido
- 5 Cerebelo
- 6 Plexo coriôideo
- 7 Clivo
- 8 Quarto ventrículo
- 9 Lobo frontal
- 10 Joelho do corpo caloso

- 11 Asa maior do esfenóide
- 12 Cabeça do núcleo caudado
- 13 Ventrículo lateral
- 14 Lobo occipital
- 15 Lobo parietal do cérebro
- 16 Espiêncio do corpo caloso
- 17 Lobo temporal
- 18 Tálamo
- 19 Terceiro ventrículo

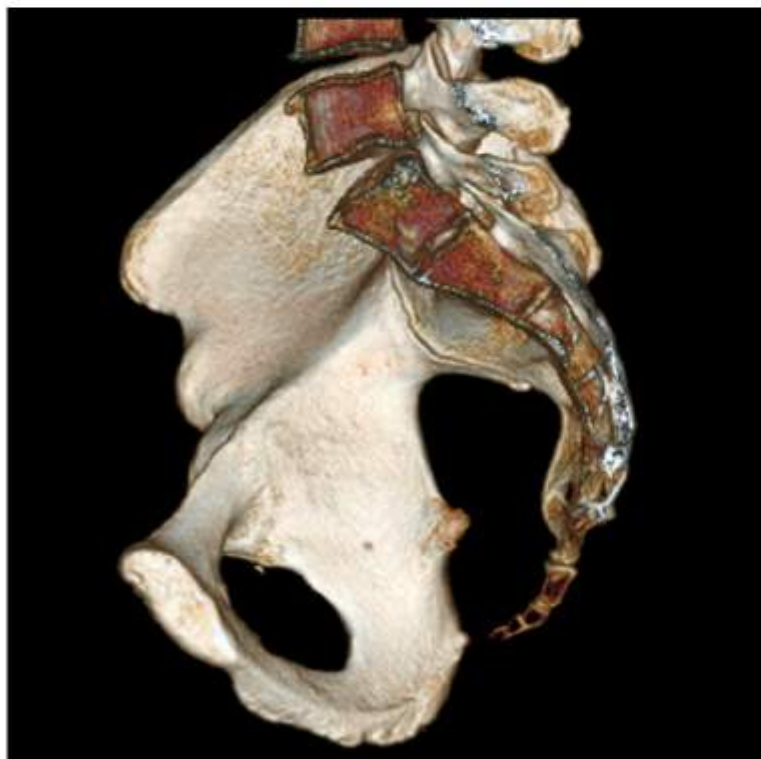


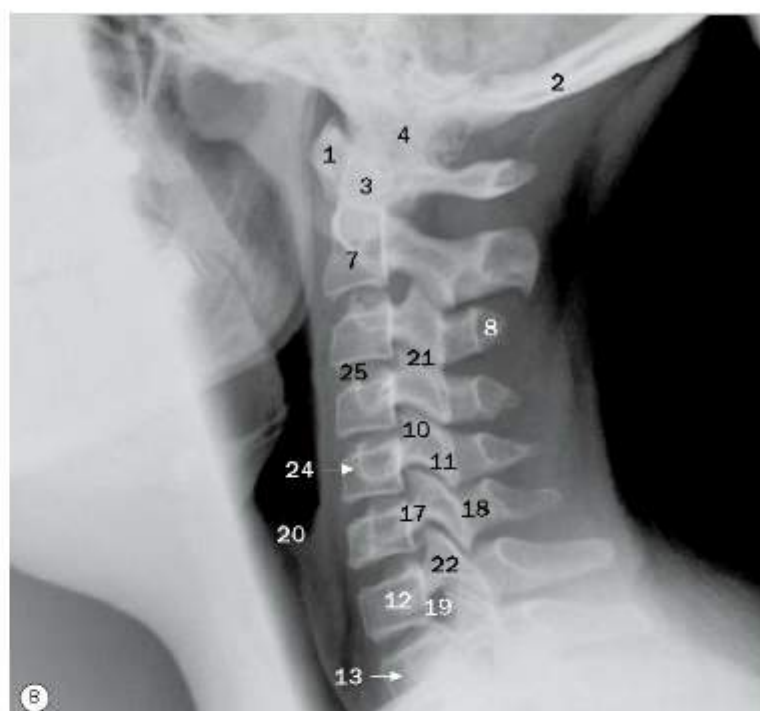
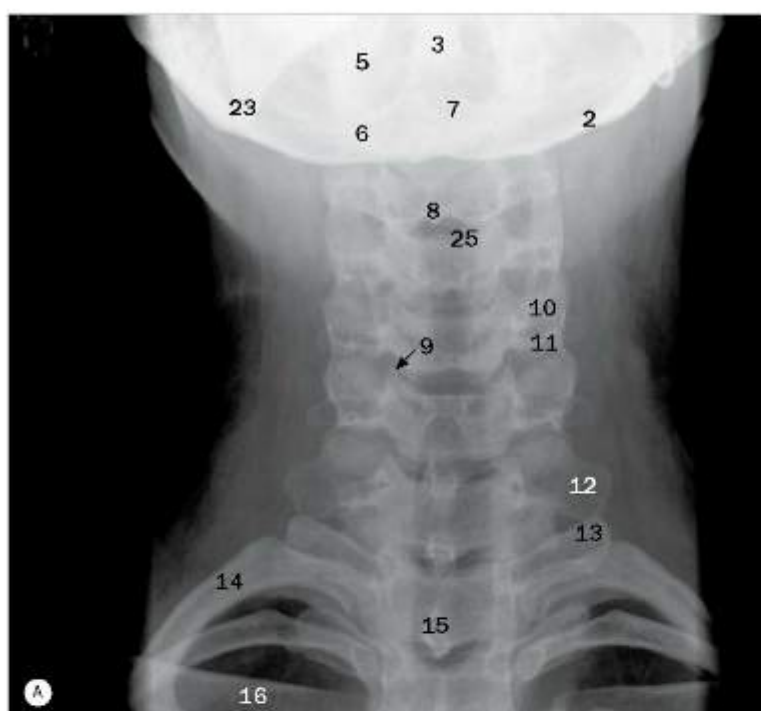
Imagens de RM da fossa hipofisial, ponderadas em T1, (a) e (b) coronal, (c) sagital, (d) sagital após gadolínio.

- | | | | |
|---|--|--------------------------------------|--|
| 1 Artéria cerebral anterior | 8 Fissura longitudinal do cérebro | 17 Glândula hipófise | 26 Glândula hipófise (adeno-hipófise) |
| 2 Corno anterior do ventrículo lateral | 9 Artéria carótida interna no seio cavernoso | 18 Infundíbulo hipofisial | 27 Glândula hipófise (neuro-hipófise) |
| 3 Bifurcação da artéria carótida interna | 10 Músculo pterigóideo lateral | 19 Processo clinóide posterior | 28 Corpo mamilar |
| 4 Ramo da artéria cerebral média no sulco lateral | 11 Sulco lateral | 20 Septo pélucido | 29 Tálamo |
| 5 Giro do cingulo | 12 Músculo pterigóideo medial | 21 Seio esfenoidal | 30 Cisterna pontina |
| 6 Corpo caloso | 13 Parte nasal da faringe | 22 Artéria carótida (parte cerebral) | 31 Quarto ventrículo |
| 7 Lobo insular | 14 Quiasma óptico | 23 Cisterna quiasmática | 32 Cisterna magna (cerebelobulbar posterior) |
| | 15 Trato óptico | 24 Lobo temporal do cérebro | 33 Cisterna interpeduncular |
| | 16 Lobo parietal do cérebro | 25 Músculo temporal | |

2

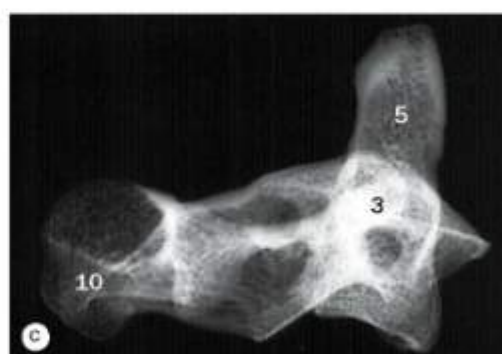
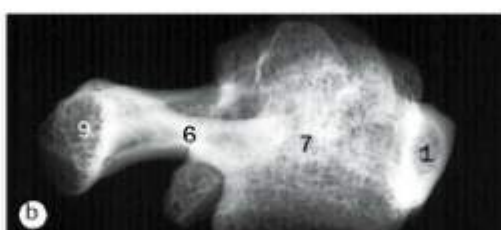
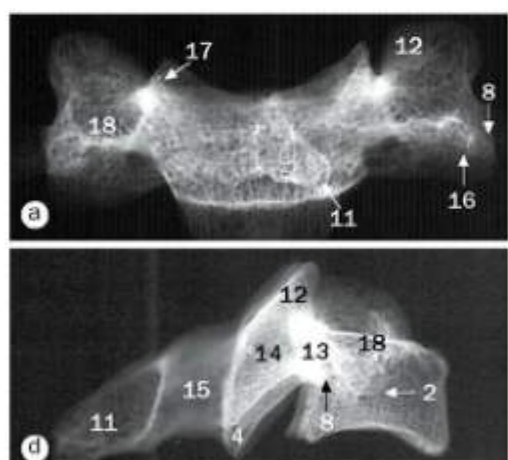
Coluna vertebral e medula espinal





(a) Região cervical da coluna, projeção anteroposterior, (b) região cervical da coluna, projeção lateral.

- | | | | |
|-------------------------------|--------------------------------------|--|---|
| 1 Arco anterior do atlas | 9 Articulação uncovertebral de C5/6 | 14 Primeira costela | 20 Epiglote |
| 2 Base do occipital | 10 Processo articular superior de C5 | 15 Processo espinhoso de T1 | 21 Processo articular de C3/4 – articulação dos processos articulares |
| 3 Dente do áxis | 11 Processo articular inferior de C5 | 16 Clavícula | 22 Parte interarticular de C7 |
| 4 Côndilo occipital | 12 Processo transverso de C7 | 17 Pediculo do arco vertebral de C6 | 23 Ângulo da mandíbula |
| 5 Massa lateral do atlas (C1) | 13 Processo transverso de T1 | 18 Lâmina do arco vertebral de C6 | 24 Processo transverso de C5 |
| 6 Massa lateral do áxis (C2) | | 19 Forame intervertebral de C7/T1 (para a raiz C8) | 25 Disco intervertebral em C3/4 |
| 7 Corpo do áxis (C2) | | | |
| 8 Processo espinhoso de C3 | | | |



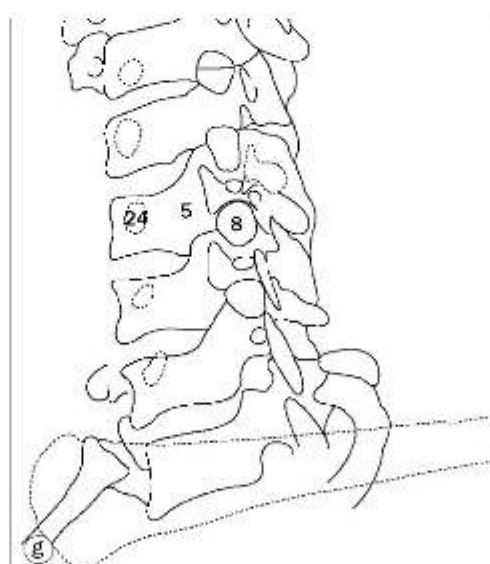
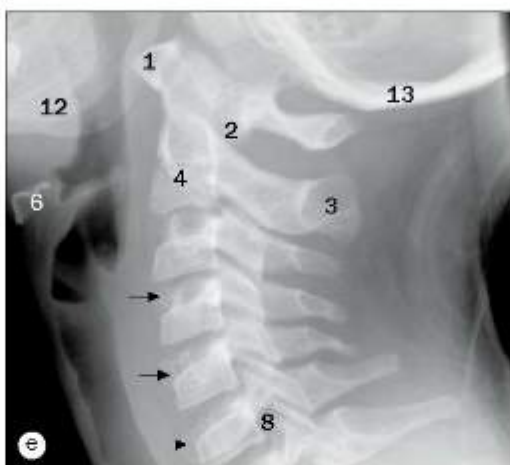
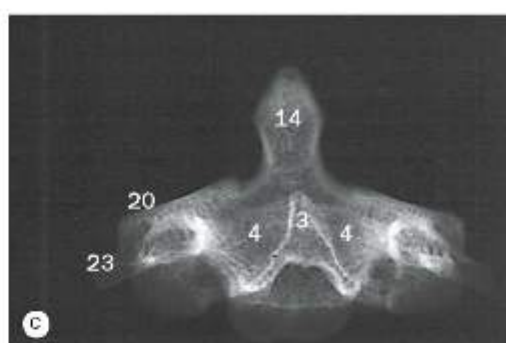
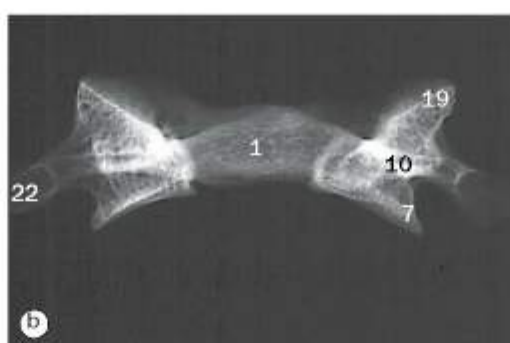
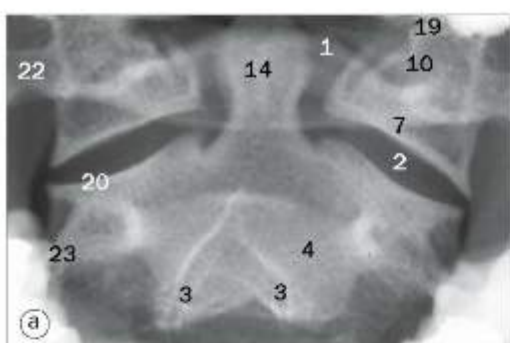
Imagens radiológicas de vértebras cervicais dissecadas.

- (a) Incidência anteroposterior de C4.
(b) Incidência lateral de C1.
(c) Incidência lateral de C2.
(d) Incidência lateral de C4.

- 1 Arco anterior do atlas (primeira vértebra cervical)
2 Tubérculo anterior do processo transverso da quarta vértebra cervical
3 Corpo do áxis (segunda vértebra cervical)
4 Processo articular inferior da quarta vértebra cervical
5 Dente do áxis (segunda vértebra cervical)
6 Arco posterior do atlas (primeira vértebra cervical)

- 7 Corpo do atlas (primeira vértebra cervical)
8 Tubérculo posterior do processo transverso da quarta vértebra cervical
9 Tubérculo posterior do atlas (primeira vértebra cervical)
10 Processo espinhoso do áxis (segunda vértebra cervical)
11 Processo espinhoso da quarta vértebra cervical

- 12 Processo articular superior da quarta vértebra cervical
13 Pediculo do arco vertebral de C4
14 Parte interarticular de C4
15 Lâmina do arco vertebral de C4
16 Lamela intertubercular do processo transverso de C4
17 Uncus do corpo de C4
18 Processo transverso de C4.



- 1 Arco anterior do atlas (primeira vértebra cervical)
- 2 Articulação atlantoaxial
- 3 Processo espinhoso bifido do áxis (segunda vértebra cervical)
- 4 Corpo do áxis (segunda vértebra cervical)
- 5 Corpo da quinta vértebra cervical
- 6 Osso hioide
- 7 Processo articular inferior do atlas (primeira vértebra cervical)
- 8 Forame intervertebral
- 9 Lâmina do arco vertebral da quinta vértebra cervical
- 10 Massa lateral do atlas (primeira vértebra cervical)
- 11 Primeira costela esquerda
- 12 Mandíbula
- 13 Osso occipital
- 14 Dente do áxis (segunda vértebra cervical)
- 15 Tubérculo posterior do processo transverso da quinta vértebra cervical
- 16 Unco do corpo da quinta vértebra cervical
- 17 Primeira costela direita
- 18 Processo espinhoso da quinta vértebra cervical
- 19 Processo articular superior do atlas (primeira vértebra cervical)
- 20 Processo articular superior do áxis (segunda vértebra cervical)
- 21 Traqueia
- 22 Processo transverso do atlas (primeira vértebra cervical)
- 23 Processo transverso do áxis (segunda vértebra cervical)
- 24 Pêndulo do arco vertebral de C5

(a) Atlas (primeira vértebra cervical) e áxis (segunda vértebra cervical), projeção anteroposterior, "boca aberta".

(b) Atlas (primeira vértebra cervical) ressecado, projeção anteroposterior.

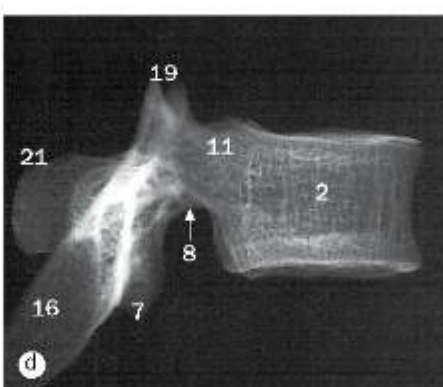
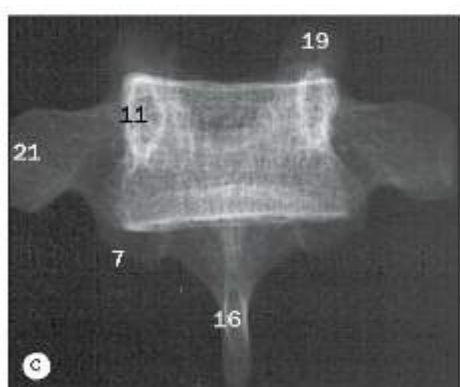
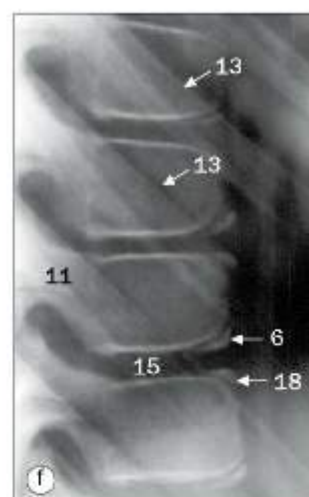
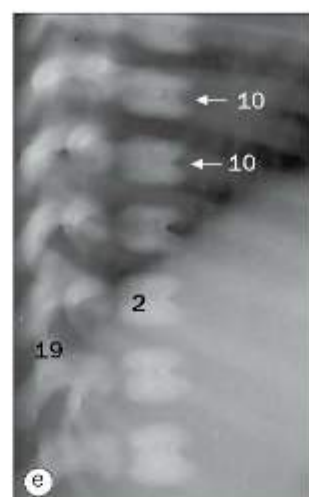
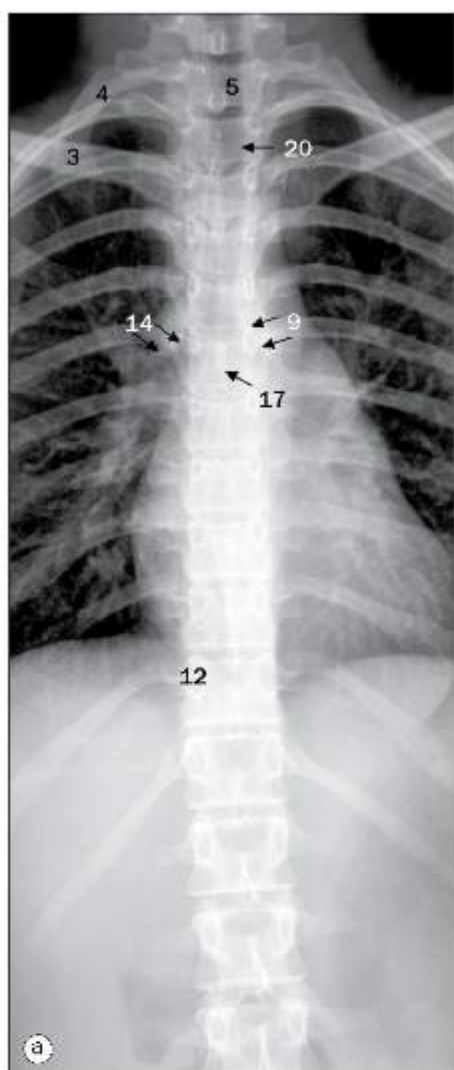
(c) Áxis (segunda vértebra cervical) ressecado, projeção anteroposterior.

(d) Radiografia da região cervical da coluna de um indivíduo de 3 anos de idade, projeção lateral. O espaço da articulação atlantoaxial pode normalmente medir até 5 mm (até 3 mm em adultos).

(e) Radiografia da região cervical da coluna de um indivíduo de 9 anos de idade, projeção lateral. Observe o encunhamento normal dos corpos vertebrais (setas) causado pelos processos não ossificados da placa terminal superior.

(f) Radiografia oblíqua da região cervical de uma coluna adulta.

(g) Desenho esquemático de (f).



(a) Região torácica da coluna, projeção anteroposterior.

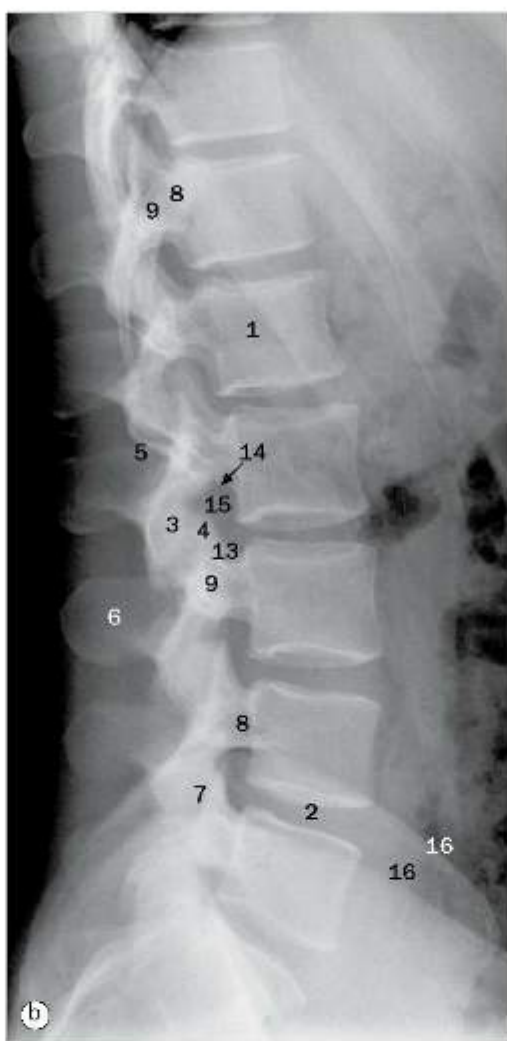
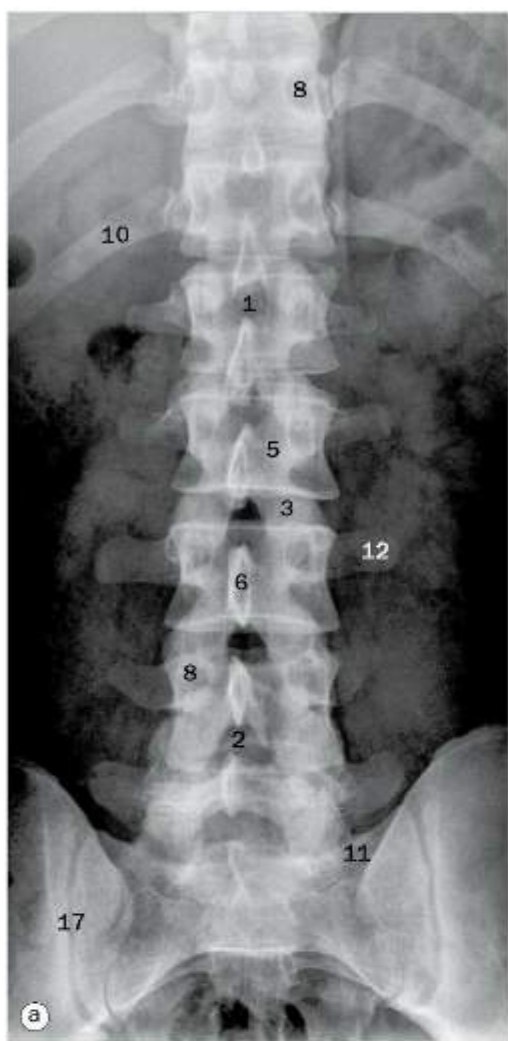
(d) Sexta vértebra torácica ressecada, projeção lateral.

(b) Região torácica da coluna, projeção lateral.

Região torácica da coluna (e) de um neonato com 7 dias de vida, e (f), de uma criança de 12 anos de idade, projeções laterais.

(c) Vértebra torácica ressecada, projeção anteroposterior.

- 1 Corpo da sexta vértebra torácica
- 2 Corpo vertebral
- 3 Clavícula
- 4 Primeira costela
- 5 Primeira vértebra torácica
- 6 Discos epifisiais anulares inferiores do corpo vertebral
- 7 Processo articular inferior
- 8 Incisura articular inferior
- 9 Brônquio principal esquerdo
- 10 Fenda neonatal
- 11 Pedículo do arco vertebral
- 12 Pedículo do arco vertebral da décima primeira vértebra torácica
- 13 Costelas
- 14 Brônquio principal direito
- 15 Local do disco intervertebral
- 16 Processo espinhoso
- 17 Processo espinhoso da sexta vértebra torácica
- 18 Discos epifisiais anulares superiores do corpo vertebral
- 19 Processo articular superior
- 20 Traqueia
- 21 Processo transverso



(a) Região lombar da coluna, radiografia anteroposterior

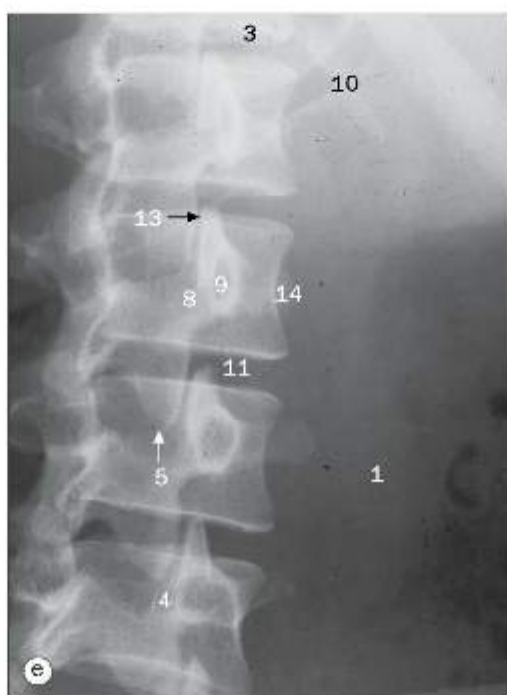
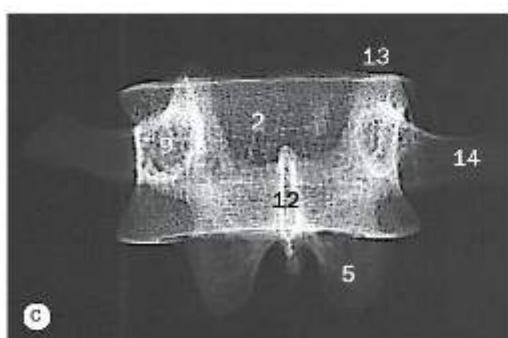
(b) Região lombar da coluna, projeção lateral.

(c) Segunda vértebra lombar ressecada, projeção anteroposterior.

(d) Segunda vértebra lombar ressecada, projeção lateral

(e) Região lombar da coluna, projeção oblíqua.

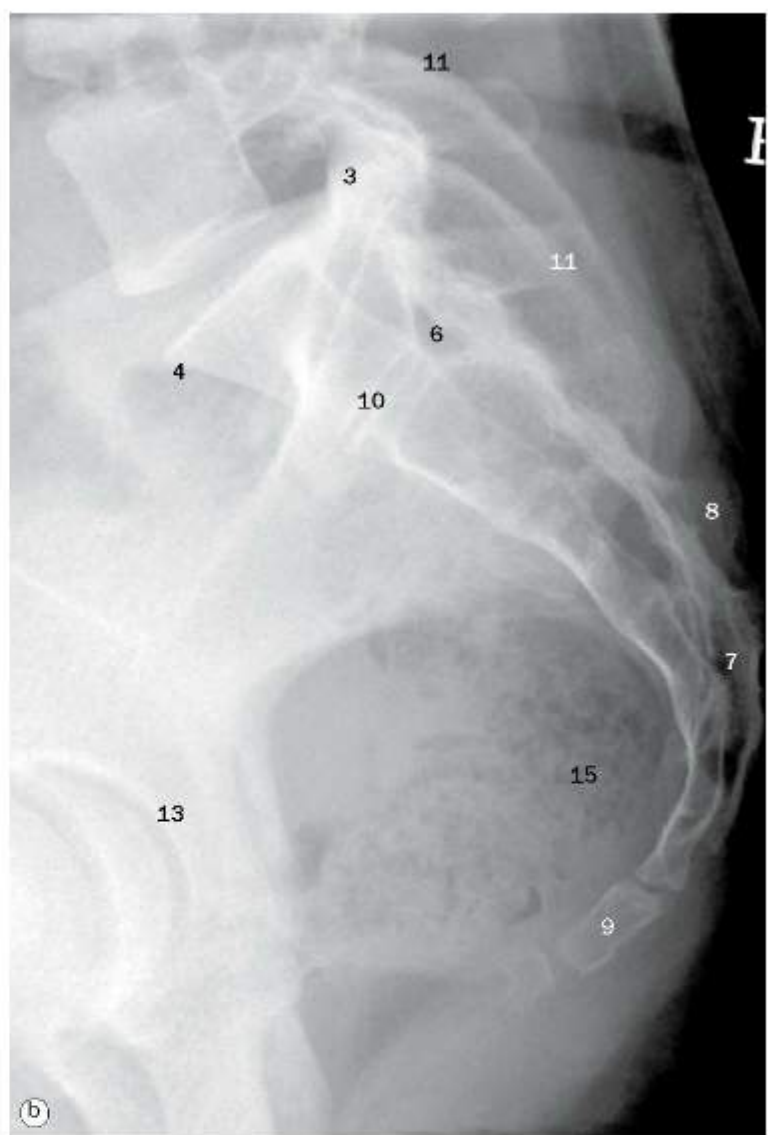
- 1: Corpo da primeira vértebra lombar
- 2: Disco intervertebral L4/5
- 3: Processo articular inferior de L2
- 4: Processo articular superior de L3
- 5: Lâmina do arco vertebral de L2
- 6: Processo espinhoso de L3
- 7: Articulação dos processos articulares de L4/5
- 8: Pedículo do arco vertebral
- 9: Parte interarticular
- 10: Décima segunda costela direita
- 11: Promontório sacral
- 12: Processo transverso de L3
- 13: Processo mamilar
- 14: Incisura vertebral inferior de L2
- 15: Forame intervertebral de L2/3 (para a raiz L2)
- 16: Crista ilíaca
- 17: Articulação sacroilíaca



- 1: Contorno do músculo psoas maior
- 2: Corpo da segunda vértebra lombar
- 3: Corpo da décima segunda vértebra torácica
- 4: Corpo da quarta vértebra lombar
- 5: Processo articular inferior da segunda vértebra lombar
- 6: Incisura vertebral inferior da segunda vértebra lombar
- 7: Processo mamilar da segunda vértebra lombar
- 8: Parte interarticular
- 9: Pedículo do arco vertebral da segunda vértebra lombar
- 10: Décima segunda costela
- 11: Espaço do disco intervertebral entre L2 e L3
- 12: Processo espinhoso da segunda vértebra lombar
- 13: Processo articular superior da segunda vértebra lombar
- 14: Processo transverso da segunda vértebra lombar



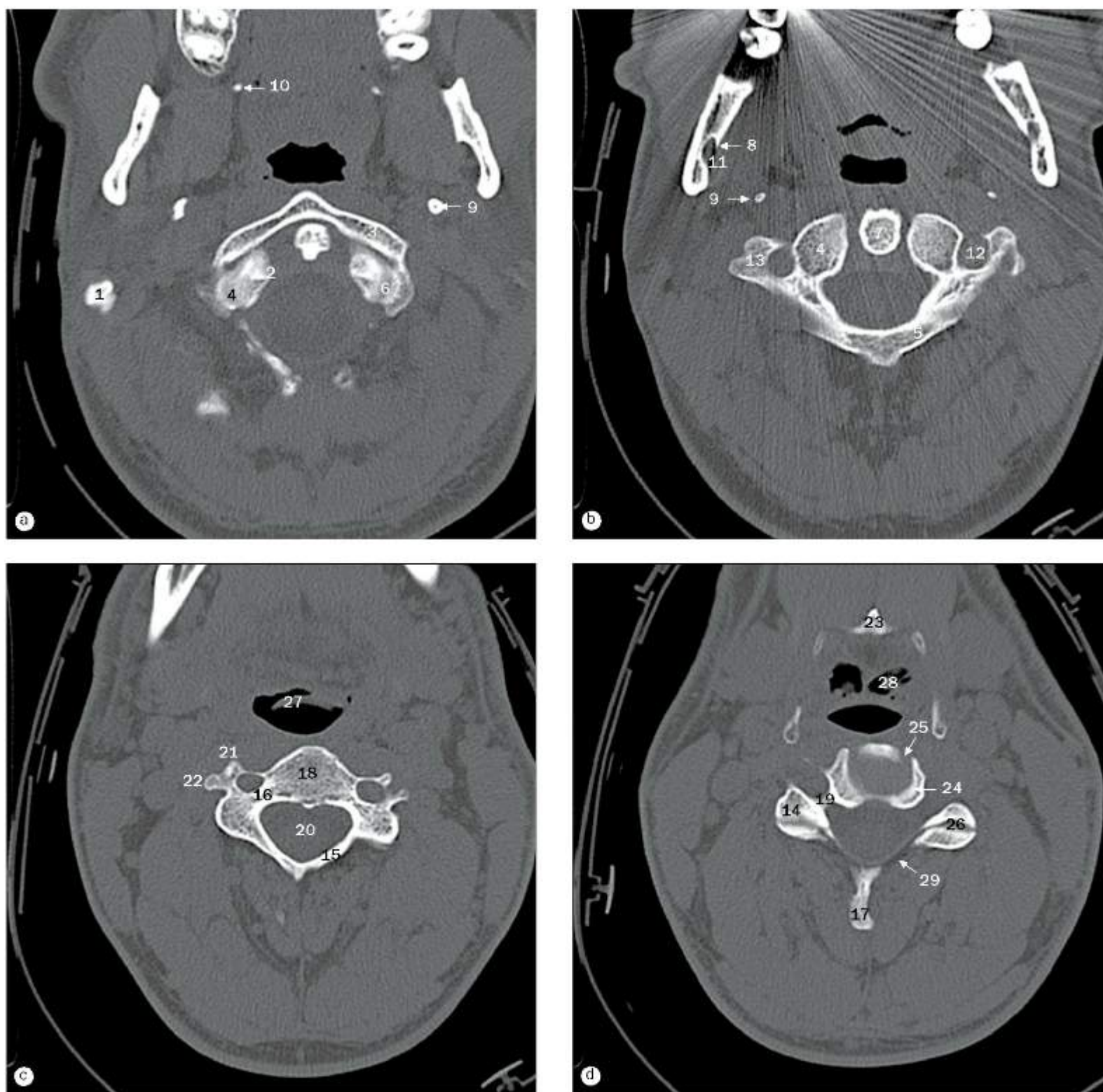
(a) Sacro, projeção anteroposterior.



(b) Sacro e cóccix, projeção lateral.

- 1 Articulação sacroiliaca
- 2 Asa do sacro
- 3 Processo articular superior do sacro
- 4 Promontório sacral
- 5 Forame sacral (S1/2 para a raiz direita S1)
- 6 Parte superior do canal sacral
- 7 Parte inferior do canal sacral
- 8 Crista sacral mediana
- 9 Coccix
- 10 Espaço discal rudimentar S1/2
- 11 Crista ilíacea
- 12 Sulco pré-auricular
- 13 Teto do acetábulo
- 14 Ramo superior do púbis
- 15 Reto
- 16 Músculo levantador do ánus (delineado pelo tecido adiposo na fossa isquioanal)
- 17 Sínfise pública

O sulco pré-auricular é uma característica da pelve feminina e é ocasionado pela reabsorção óssea na inserção do ligamento sacroiliaco anterior. Ele é proeminente nas mulheres que já tiveram filhos.



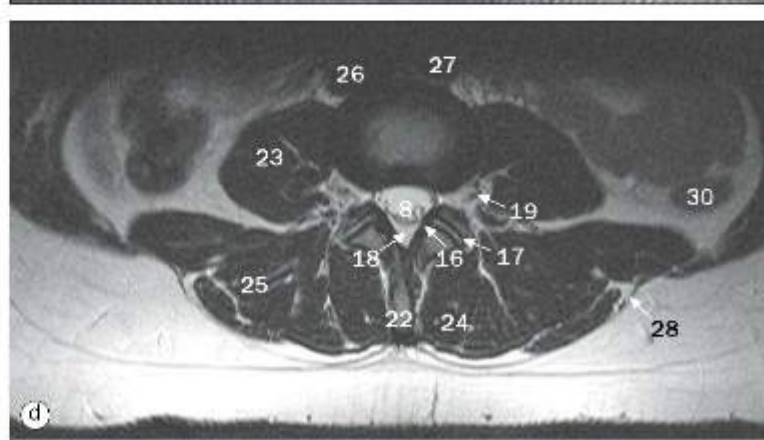
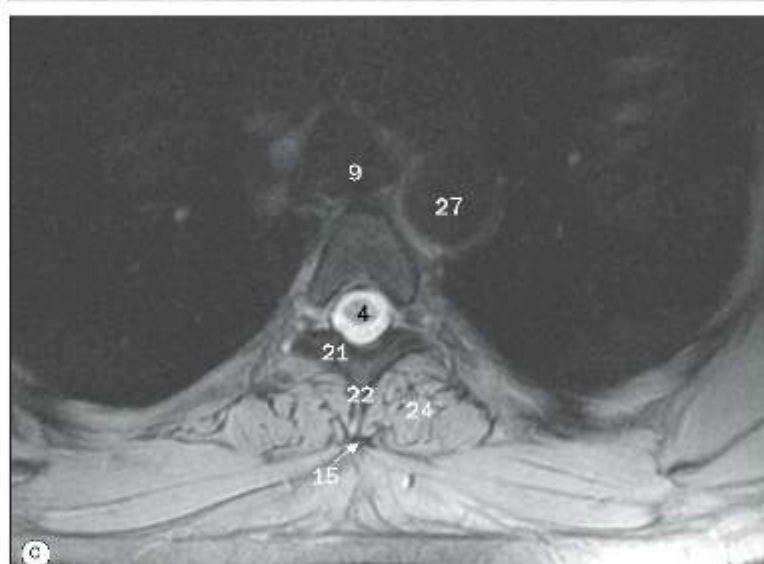
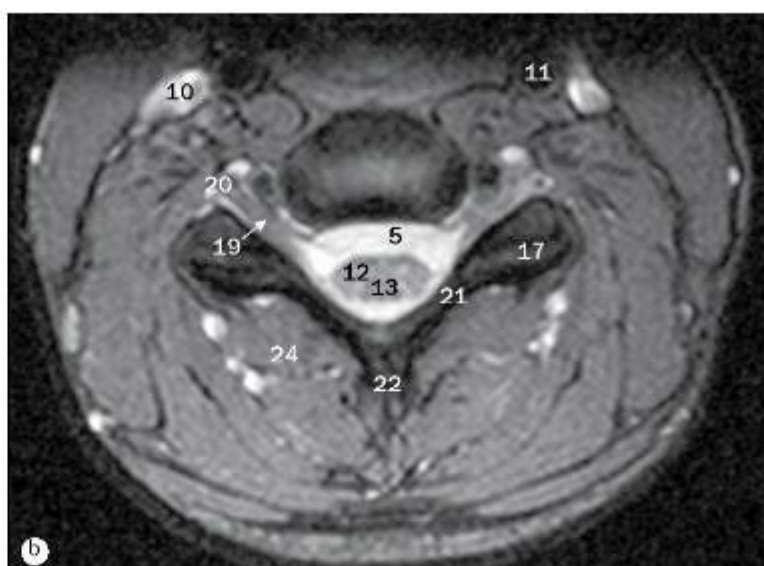
Imagens axiais de tomografia computadorizada da parte superior região cervical da coluna nos níveis de C1/2 (a, b), C2 (c) e C2/3 (d).

- | | | |
|---|---|--|
| 1. Processo mastoide (extremidade) | 12. Forame transversário de C1 | 22. Tubérculo posterior do processo transverso de C2 |
| 2. Ligamento transverso do atlas (inserção) | 13. Processo transverso de C1 | 23. Cartilagem tireóidea |
| 3. Arco anterior do atlas (C1) | 14. Processo articular inferior de C2 | 24. Unco do corpo vertebral de C3 |
| 4. Massa lateral do atlas | 15. Lâmina do arco vertebral de C2 | 25. Articulação uncovertebral (de Luschka) em C2/3 |
| 5. Arco posterior de C1 | 16. Pedículo do arco vertebral de C2 | 26. Articulação dos processos articulares de C2/3 |
| 6. Sulco da artéria vertebral | 17. Processo espinhoso de C2 | 27. Epiglote |
| 7. Dente do áxis (C2) | 18. Corpo vertebral de C2 | 28. Valécula epiglótica |
| 8. Língula da mandíbula | 19. Forame intervertebral de C2/3 | 29. Ligamento amarelo |
| 9. Processo estiloide | 20. Medula espinal | |
| 10. Hâmulo pterigóideo | 21. Tubérculo anterior do processo transverso de C2 | |
| 11. Forame da mandíbula | | |

62 Coluna vertebral e medula espinal

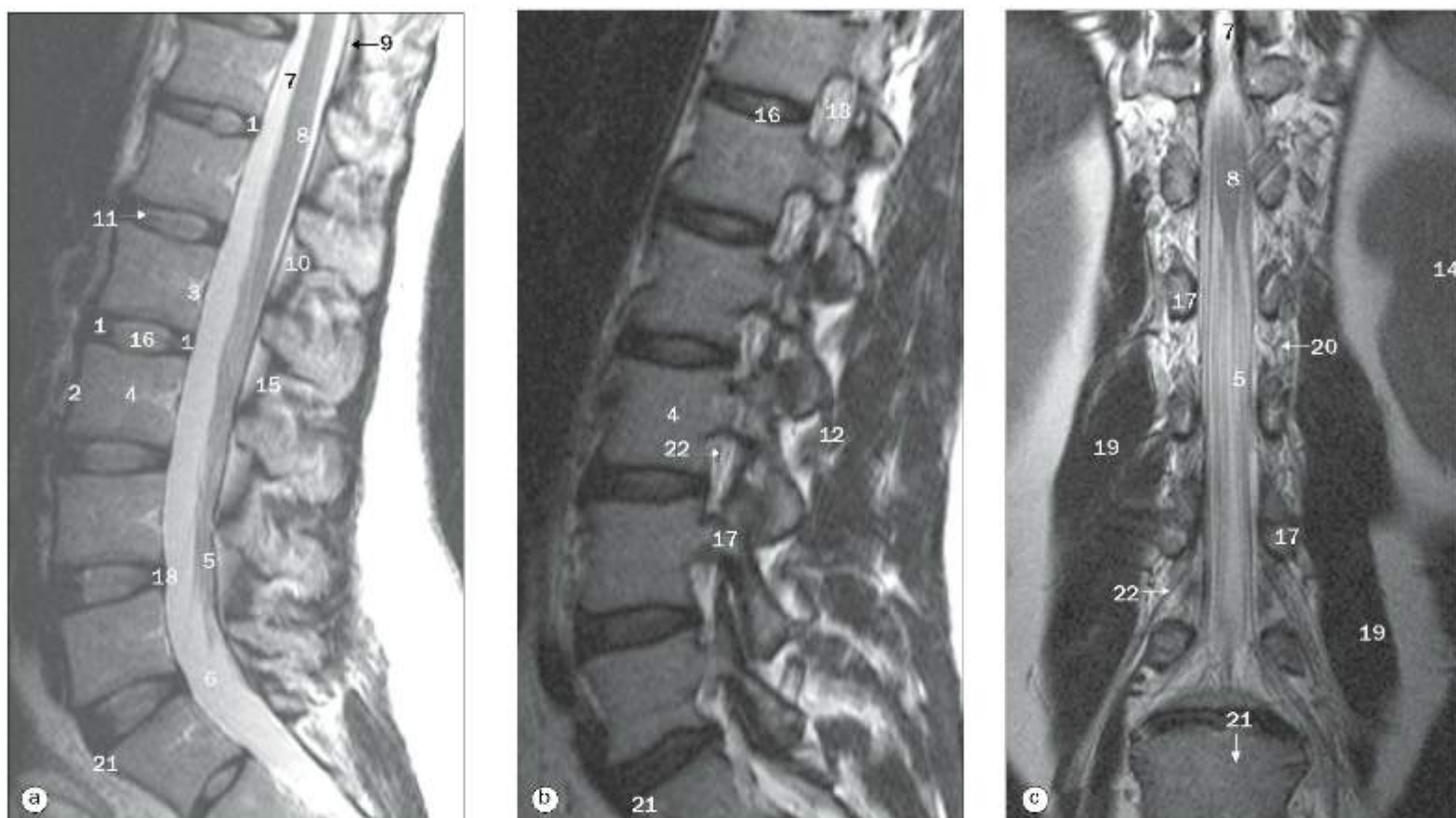


Imagens de ressonância magnética da coluna vertebral em T2, cortes sagital (a) e axial das regiões cervical (b), torácica (c) e lombar (d).



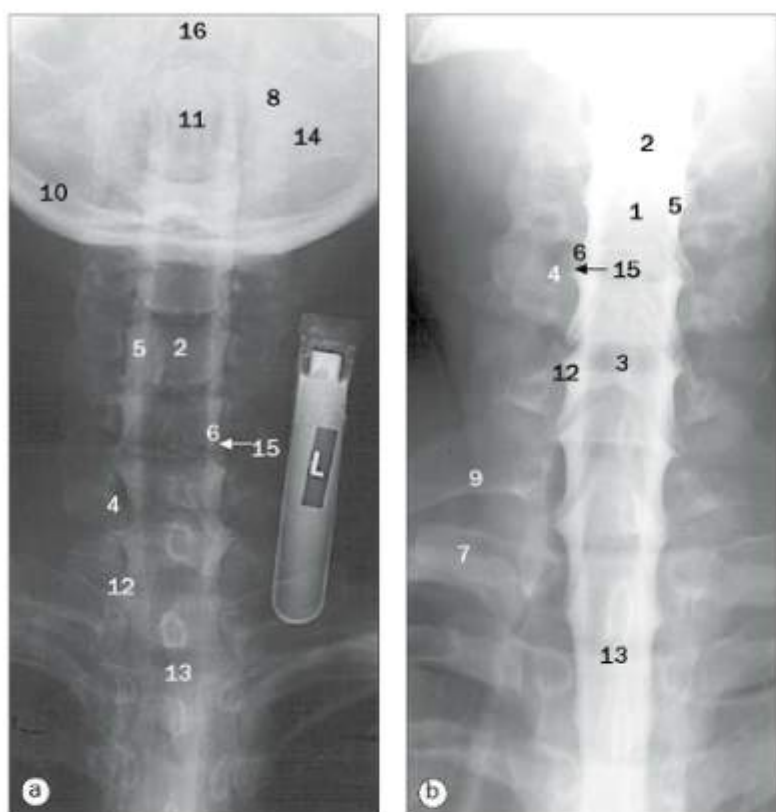
- 1 Forame magno
- 2 Corpo vertebral de C7
- 3 Núcleo pulposo do disco intervertebral de T5/6
- 4 Medula espinal
- 5 Líquido cerebroespinal no espaço subaracnóideo (artefato de lacuna de fluxo)
- 6 Veia basivertebral
- 7 Cone medular
- 8 Cauda equina
- 9 Traqueia
- 10 Veia jugular interna
- 11 Artéria carótida comum
- 12 Substância cinzenta da medula espinal
- 13 Substância branca da medula espinal
- 14 Processo espinhoso de T4
- 15 Ligamento supraespinal
- 16 Ligamento amarelo
- 17 Articulação dos processos articulares
- 18 Tecido adiposo no espaço extradural
- 19 Gânglio sensitivo do nervo espinal
- 20 Raiz do nervo espinal
- 21 Lâmina do arco vertebral
- 22 Processo espinhoso

- 23 Músculo psoas maior
- 24 Músculo erector da espina
- 25 Músculo multifídio
- 26 Veia cava inferior
- 27 Aorta
- 28 Fáscia toracolombar
- 29 Ligamento nucal
- 30 Colo descendente



Região lumbossacral da coluna, (a) imagem sagital, (b) imagem parassagital e (c) imagem coronal de ressonância magnética.

- | | | |
|-------------------------------------|--|--|
| 1 Anel fibroso | 10 Espaço extradural (preenchido por tecido adiposo) | 18 Ligamento longitudinal posterior e anel fibroso |
| 2 Ligamento longitudinal anterior | 11 Fenda internuclear | 19 Músculo psoas maior |
| 3 Veia basivertebral | 12 Ligamento interespinal | 20 Vasos radiculares |
| 4 Corpo da terceira vértebra lombar | 13 Forame intervertebral | 21 Promontório sacral |
| 5 Cauda equina | 14 Rim | 22 Raiz do nervo espinal no forame intervertebral |
| 6 Saco tecal | 15 Ligamento amarelo | |
| 7 Líquido cerebrospinal | 16 Núcleo pulposo | |
| 8 Cone medular | 17 Pedículo do arco vertebral | |
| 9 Saco dural | | |

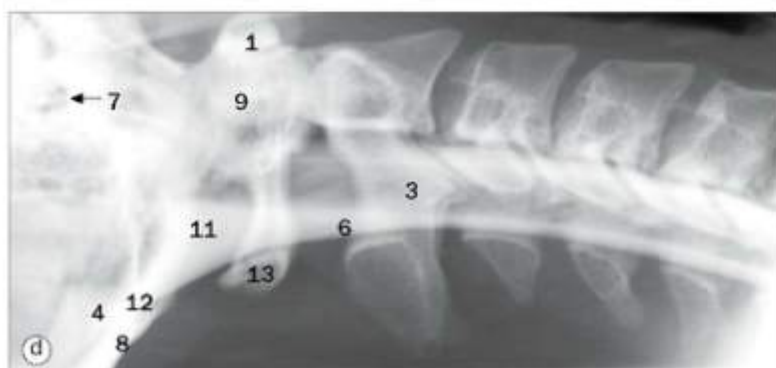


Mielografia cervical (a) com o pescoço em extensão, (b) com o pescoço levemente flexionado, projeções anteroposteriores. O meio de contraste não iônico hidrossolúvel em água é introduzido no espaço subaracnóideo da região lombar através de uma punção. O paciente é posicionado em decúbito ventral, com o pescoço hiperestendido, e preso em uma mesa inclinável. O meio de contraste é levado até a região cervical para demonstrar a região cervical da medula espinal e a saída das raízes nervosas cervicais. Existem oito raízes nervosas cervicais: as raízes do oitavo nervo cervical saem através dos forames intervertebrais entre a sétima vértebra cervical e a primeira vértebra torácica. A intumescência cervical normal da medula espinal (3) (para o plexo braquial) se estende da terceira vértebra cervical até a segunda vértebra torácica. Ela atinge seu máximo na quinta vértebra cervical e não deve ser confundida com uma lesão intramedular.

- 1. Artéria espinal anterior
- 2. Região cervical da medula espinal
- 3. Dilatação da região cervical da medula espinal
- 4. Nervo espinal cervical saindo através do forame intervertebral
- 5. Meio de contraste no espaço subaracnóideo da região cervical
- 6. Raiz posterior do nervo espinal
- 7. Primeira costela
- 8. Massa lateral do atlas (primeira vértebra cervical)
- 9. Processo transverso normalmente maior da sétima vértebra cervical
- 10. Occipital
- 11. Dente do axis
- 12. Raiz do oitavo nervo cervical
- 13. Região torácica da medula espinal
- 14. Forame transversário
- 15. Raiz anterior do nervo espinal
- 16. Arteria vertebral

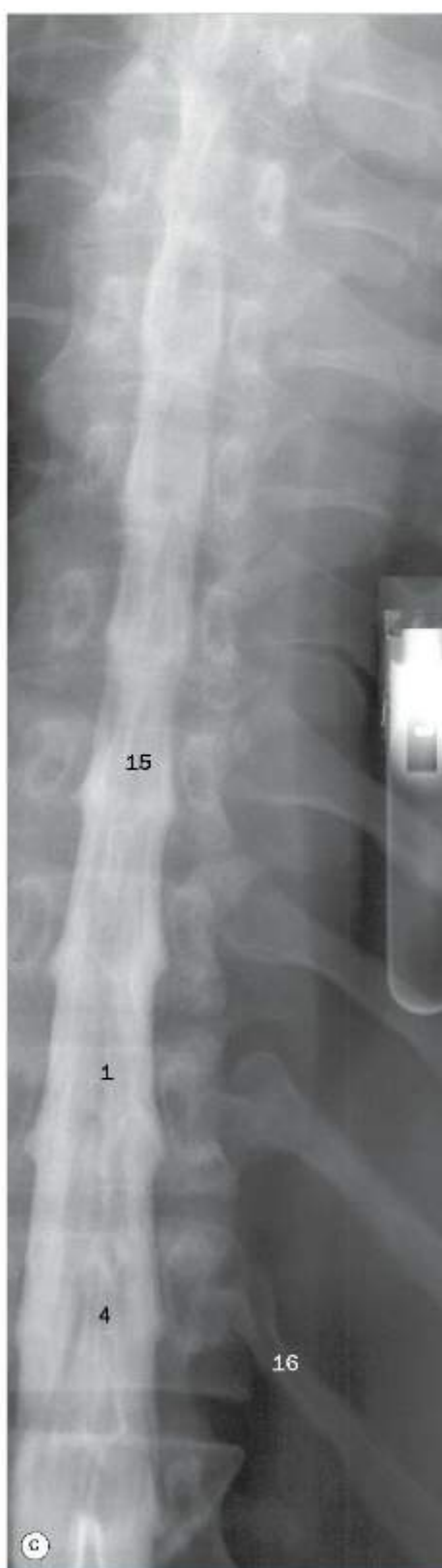


Mielografia cervical, (c) com o paciente em decúbito ventral, (d) com o paciente em decúbito dorsal, projeções laterais.



- 1. Arco anterior do atlas (primeira vértebra cervical)
- 2. Margem anterior do forame magno
- 3. Região cervical da medula espinal
- 4. Cisterna magna (cisterna cerebelobulbar posterior)
- 5. Clivo
- 6. Meio de contraste no espaço subaracnóideo da região cervical
- 7. Meato acústico externo
- 8. Occipital
- 9. Dente do axis
- 10. Endentação posterior na dura-máter pelo ligamento amarelo
- 11. Arteria cerebelar inferoposterior
- 12. Margem posterior do forame magno
- 13. Tubérculo posterior do atlas (primeira vértebra cervical)

Radiculografia lombar, (a) projeção lateral, (b) projeção oblíqua, (c) projeção anteroposterior. Meio de contraste não iônico hidrossolúvel em água é introduzido no espaço subaracnóideo da região lombar através de uma punção. As raízes nervosas da cauda equina estão bem demonstradas e saem através dos forames intervertebrais. As raízes nervosas que se estendem do cone medular para o saco tecal terminal passam abaixo do pedúnculo do arco vertebral correspondente. O saco tecal termina no nível da primeira/segunda vértebras sacrais. O filamento terminal pode ser observado. A inclinação do paciente em decúbito ventral colocando a cabeça levemente para baixo permite que o meio de contraste flua cranialmente e delineie o cone medular e a região torácica inferior da medula espinal. A medula tem tamanho uniforme da segunda à décima vértebra, ponto em que a intumescência lombossacral se estende da décima vértebra torácica até o nível da primeira vértebra lombar. O cone medular geralmente termina na primeira/segunda vértebras lombares, mas pode ser visto um nível acima e abaixo como uma variação normal.



- 1 Fissura mediana anterior
- 2 Corpo da segunda vértebra lombar
- 3 Meio de contraste no espaço subaracnóideo
- 4 Cone medular
- 5 Quinto nervo espinal lombar
- 6 Quarto nervo espinal lombar
- 7 Endentações do disco intervertebral na margem anterior da dura-máter

- 8 Extensão lateral do espaço subaracnóideo ao redor das raízes nervosas espinais
- 9 Agulha da punção lombar no espaço entre a terceira e quarta vértebras lombares
- 10 Promontório sacral
- 11 Nervos espinais dentro do espaço subaracnóideo (cauda equina)

- 12 Processo espinhoso da terceira vértebra lombar
- 13 Dura-máter terminal na primeira/segunda vértebra sacral
- 14 Tubo de ensaio contendo meio de contraste indica a inclinação do paciente
- 15 Região torácica da medula espinal
- 16 Décima segunda costela



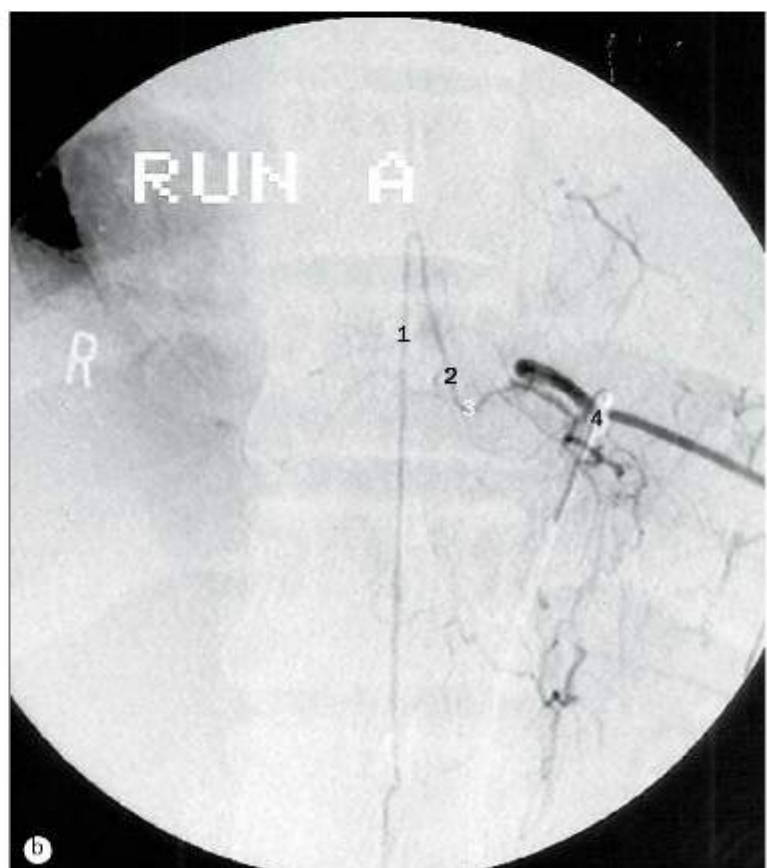
(a) Venografia lombar por subtração.

Após o advento das técnicas de TC e RM, a venografia lombar raramente é realizada. Entretanto, a anatomia das veias vertebrais é demonstrada de maneira ideal por esta técnica. A drenagem venosa da medula espinal está disposta longitudinalmente por meio de plexos. Existem anastomoses entre os plexos venosos vertebrais internos (6) e externos (1 e 4), que também se comunicam (4 e 2). Observe como as veias internas se inclinam lateralmente no nível do interespaço discal e medialmente no nível dos pedículos do arco vertebral, onde se unem através de uma veia conectora (2).

- 1. Veias lombares ascendentes
- 2. Veias basiverterais
- 3. Cateter na veia ilíaca comum
- 4. Veias intervertebrais
- 5. Veias sacrais laterais
- 6. Plexo venoso vertebral longitudinal
- 7. Plexo venoso sacral
- 8. Ponta do cateter na veia intervertebral

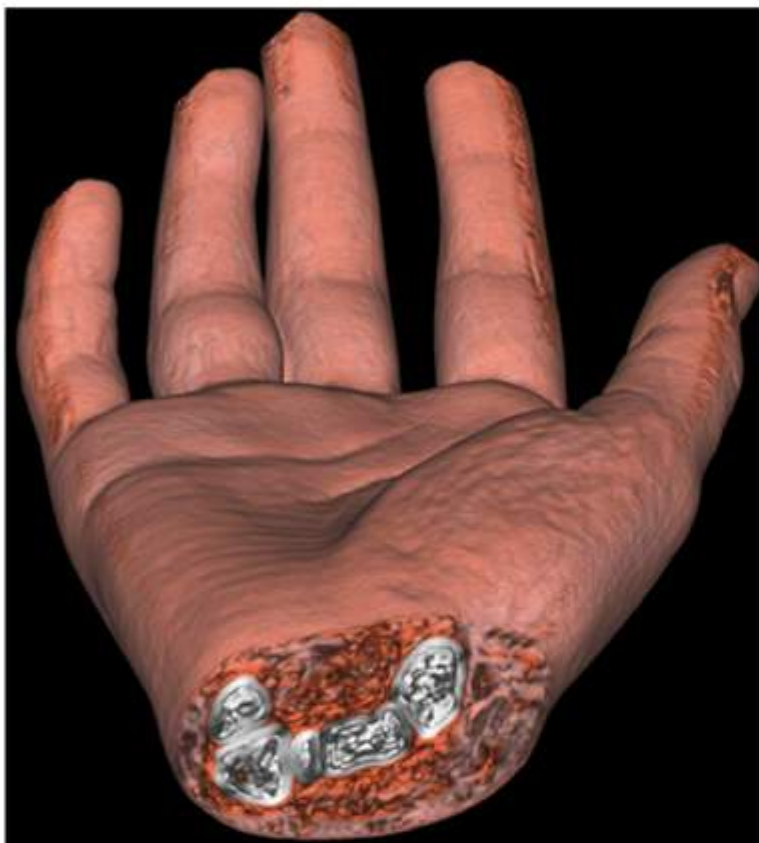
(b) Arteriografia espinal.

- 1. Artéria espinal anterior
- 2. Artéria radicular anterior (de Adamkiewicz)
- 3. Estenose transdural normal da artéria radicular anterior
- 4. Cateterização seletiva da décima primeira artéria intercostal esquerda.



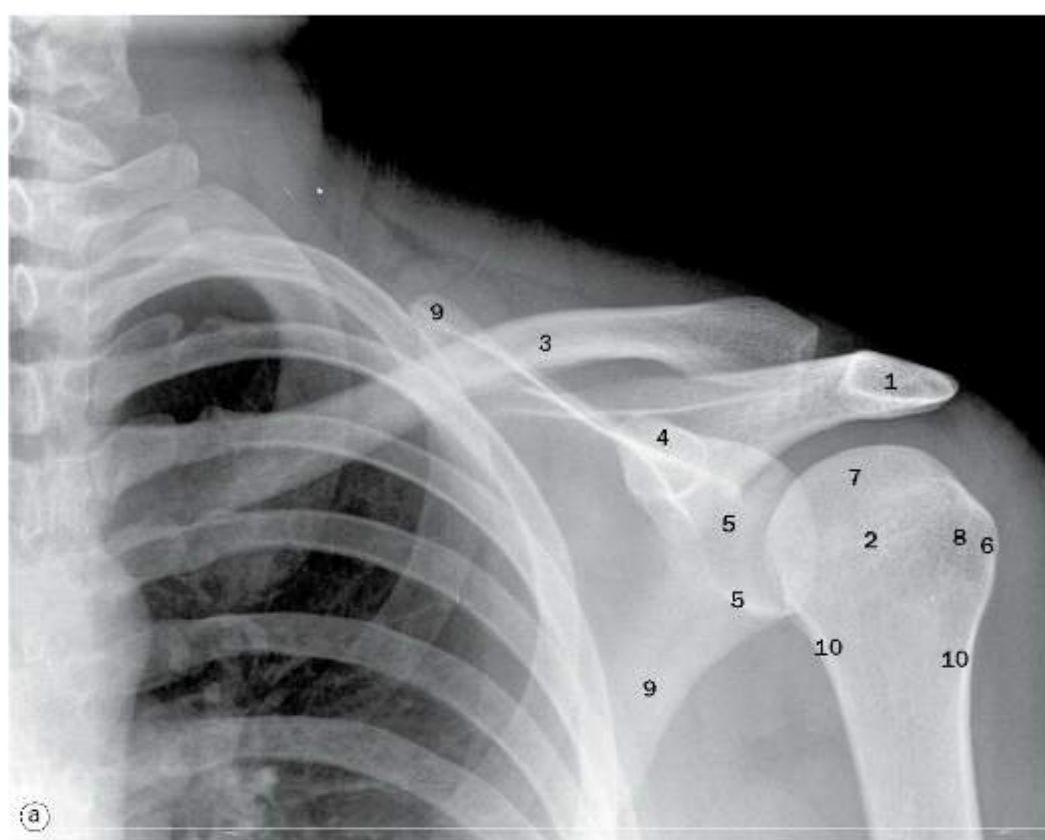
3

Membro superior



(a) Ombro, radiografia anteroposterior.

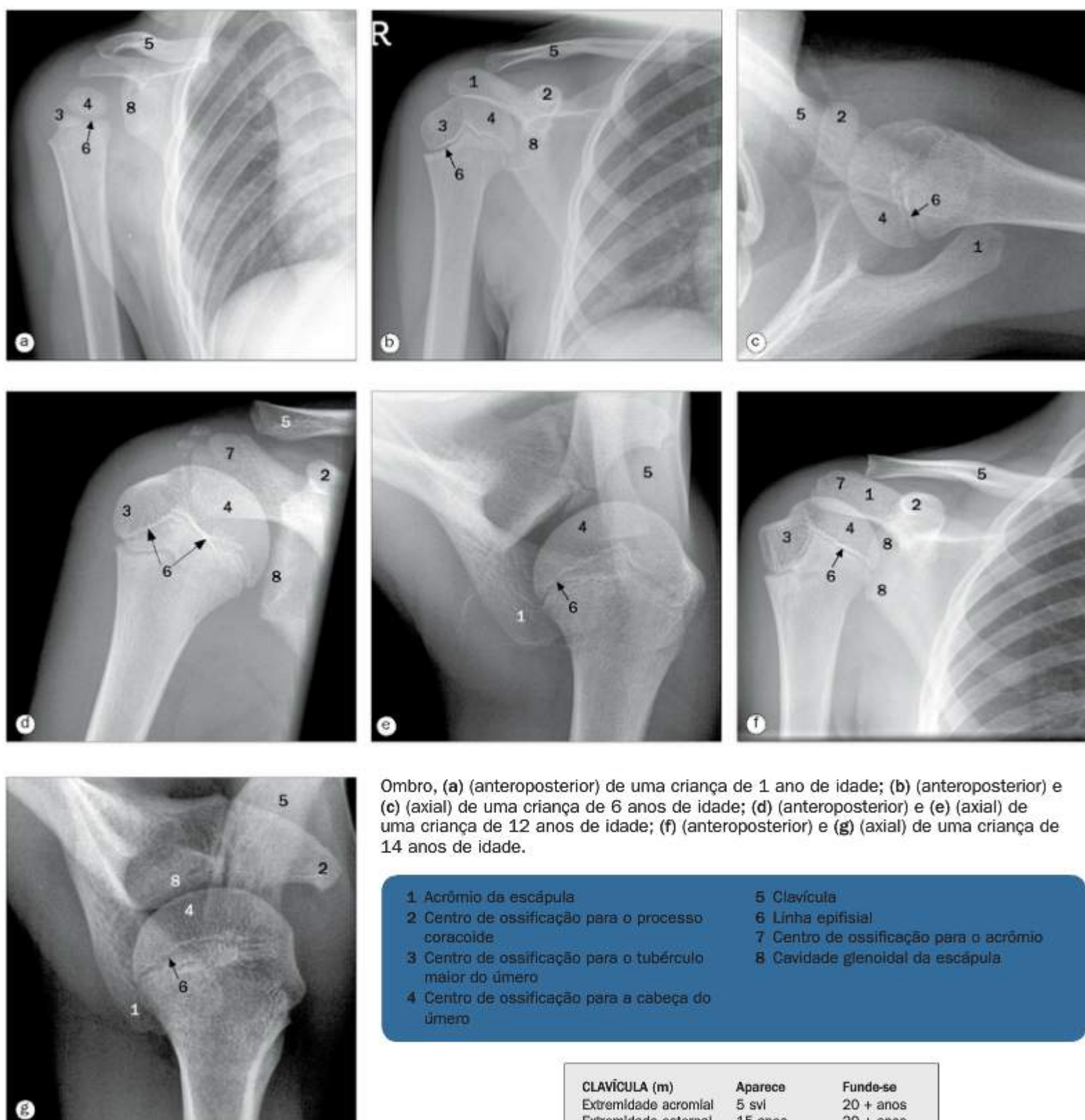
- 1 Acrônio da escápula
- 2 Colo anatômico do úmero
- 3 Clavícula
- 4 Processo coracoide da escápula
- 5 Cavidade glenoidal da escápula
- 6 Tubérculo maior do úmero
- 7 Cabeça do úmero
- 8 Tubérculo menor do úmero
- 9 Escápula
- 10 Colo cirúrgico do úmero



(b) Ombro, projeção axial (superoinferior).

- 1 Acrônio da escápula
- 2 Clavícula
- 3 Processo coracoide da escápula
- 4 Cavidade glenoidal da escápula
- 5 Tubérculo maior do úmero
- 6 Cabeça do úmero
- 7 Sulco intertubercular do úmero
- 8 Tubérculo menor do úmero
- 9 Espinha da escápula





Ombro, (a) (anteroposterior) de uma criança de 1 ano de idade; (b) (anteroposterior) e (c) (axial) de uma criança de 6 anos de idade; (d) (anteroposterior) e (e) (axial) de uma criança de 12 anos de idade; (f) (anteroposterior) e (g) (axial) de uma criança de 14 anos de idade.

- 1 Acrômio da escápula
- 2 Centro de ossificação para o processo coracoide
- 3 Centro de ossificação para o tubérculo maior do úmero
- 4 Centro de ossificação para a cabeça do úmero

- 5 Clavícula
- 6 Linha epifisial
- 7 Centro de ossificação para o acrônio
- 8 Cavidade glenoidal da escápula

CLAVÍCULA (m)	Aparece	Funde-se
Extremidade acromial	5 svi	20 + anos
Extremidade esternal	15 anos	20 + anos
ESCÂPULA (c)		
Corpo	8 svi	15 anos
Processo coracoide	< 1 ano	20 anos
Base do processo coracoide		
Acrônio	Puberdade	15-20 anos
		15-20 anos



a



b



c

(a) Úmero, projeção lateral, (b), cotovelo, projeção anteroposterior, (c) cotovelo, projeção lateral.

- 1 Úmero
- 2 Rádio
- 3 Ulna
- 4 Capítulo do úmero
- 5 Processo coronoide da ulna
- 6 Cabeça do rádio
- 7 Epicôndilo lateral do úmero

- 8 Epicôndilo medial do úmero
- 9 Colo do rádio
- 10 Fossa do olécrano
- 11 Olécrano da ulna
- 12 Tróclea do úmero
- 13 Incisura troclear da ulna
- 14 Tuberosidade do rádio

ÚMERO (c)	Aparece	Funde-se
Diáfise	8 svi	15-20 anos
Cabeça	1-6 meses	15-20 anos
Tubérculo maior	6 meses-1 ano	15-20 anos
Tubérculo menor	3-5 anos	18-20 anos
Capítulo	4 meses-1 ano	13-16 anos
Tróclea	10 anos	13-16 anos
Epicôndilo medial	3-6 anos	13-16 anos
Epicôndilo lateral	9-12 anos	13-16 anos



Imagens do cotovelo, (a) criança com 7 meses de vida, (b) criança com 3 anos de idade, (c) criança com 6 anos de idade, (d) criança com 9 anos de idade.

RÁDIO (c)

Diáfise	8 svf	
Epífise proximal	4-6 anos	13-16 anos
Epífise distal	1 ano	16-18 anos

ULNA (c)

Diáfise	8 svf	
Epífise proximal	8-10 anos	13-15 anos
Epífise distal	5-7 anos	16-18 anos

1 Centro de ossificação para o capitulo

2 Centro de ossificação para o epicôndilo lateral

3 Centro de ossificação para o epicôndilo medial

4 Centro de ossificação para a cabeça do rádio

5 Centro de ossificação para a tróclea

6 Linha epifisial

7 Úmero

8 Rádio

9 Ulna

10 Centro de ossificação para o olécrano



Imagens do cotovelo, (a) e (b) de uma criança de 11 anos de idade, (c) e (d) de uma criança de 14 anos de idade.

- 1 Centro de ossificação para o capítulo
- 2 Centro de ossificação para o epicôndilo lateral
- 3 Centro de ossificação para o epicôndilo medial

- 4 Centro de ossificação para a cabeça do rádio
- 5 Centro de ossificação para a tróclea
- 6 Linha epifisial
- 7 Úmero

- 8 Rádio
- 9 Ulna
- 10 Centro de ossificação para o olécrano



Imagens do antebraço, (a) lateral e (b) anteroposterior.

1 Úmero

2 Epicôndilo medial do úmero

3 Epicôndilo lateral do úmero

4 Rádio

5 Ulna

6 Processo estiloide da ulna

7 Trapézio

8 Trapezoide

9 Piramidal

10 Escapoide

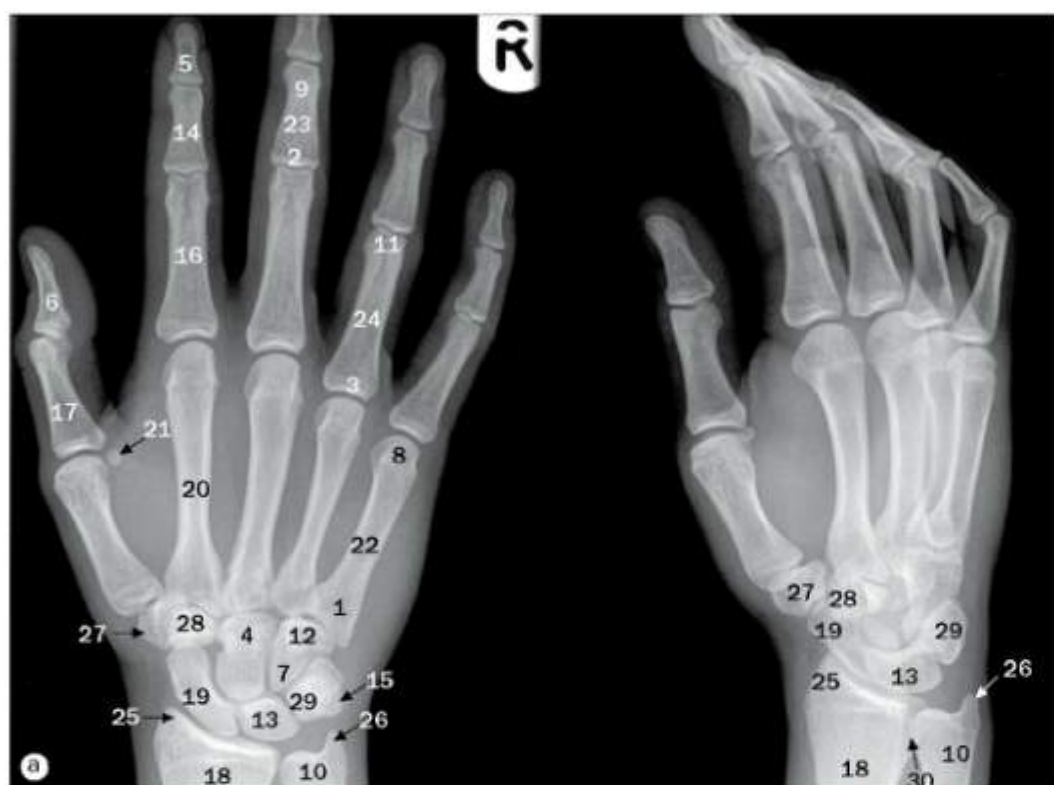
11 Metacarpais

12 Semilunar

13 Pisiforme

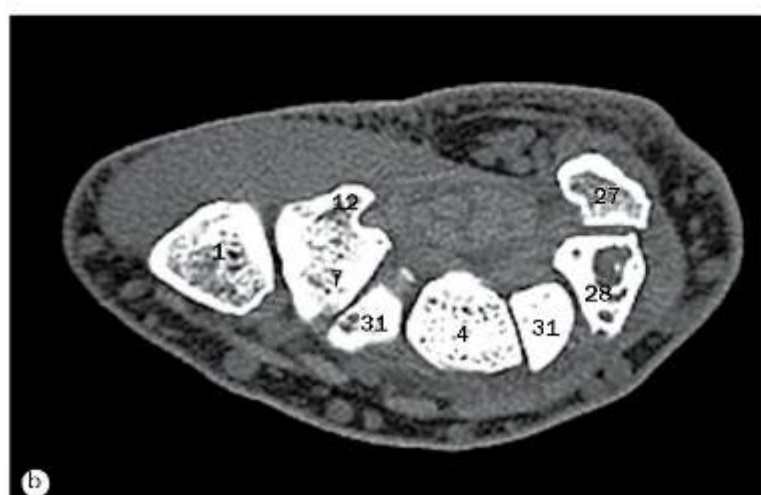
14 Capitato

15 Hamato



(a) Ossos da mão, projeções dorsopalmar e oblíqua.

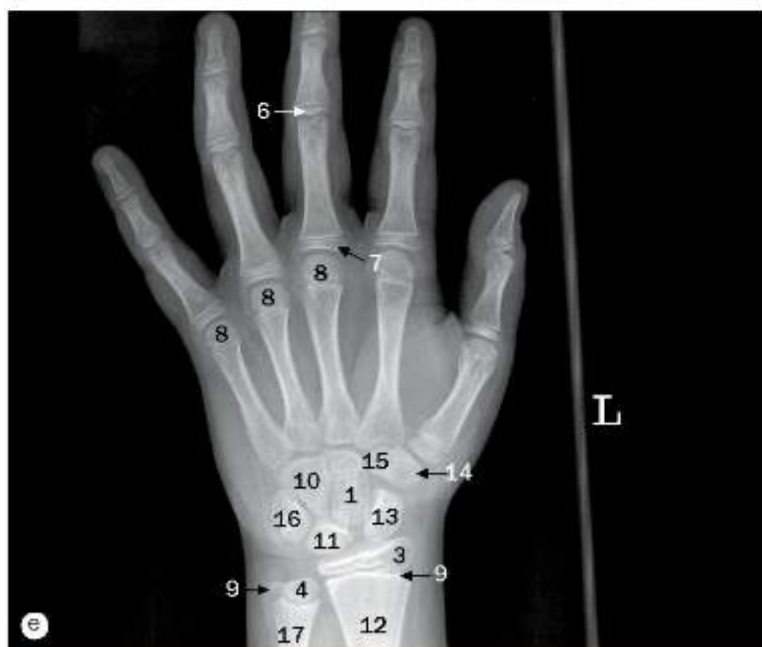
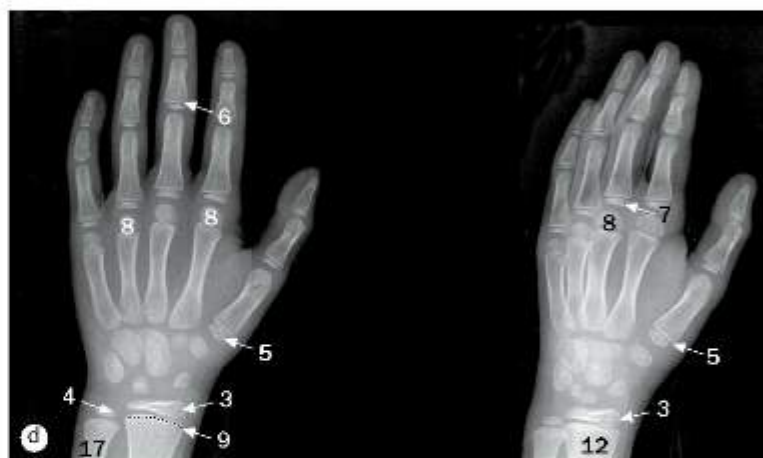
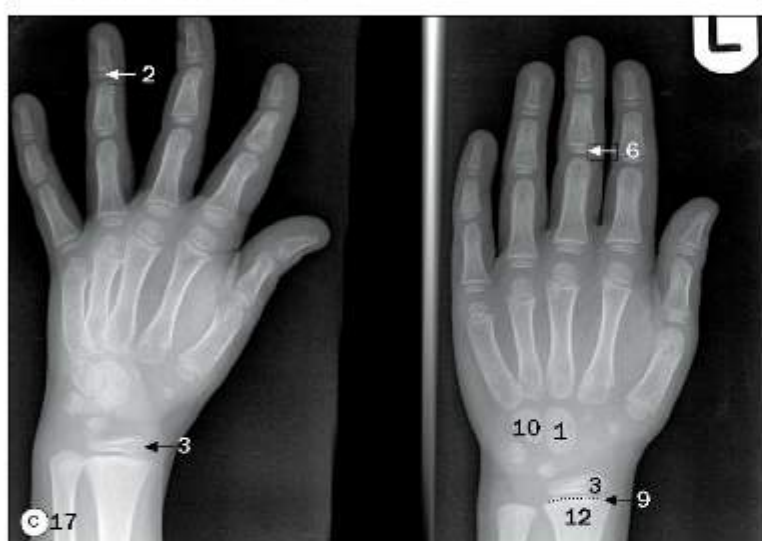
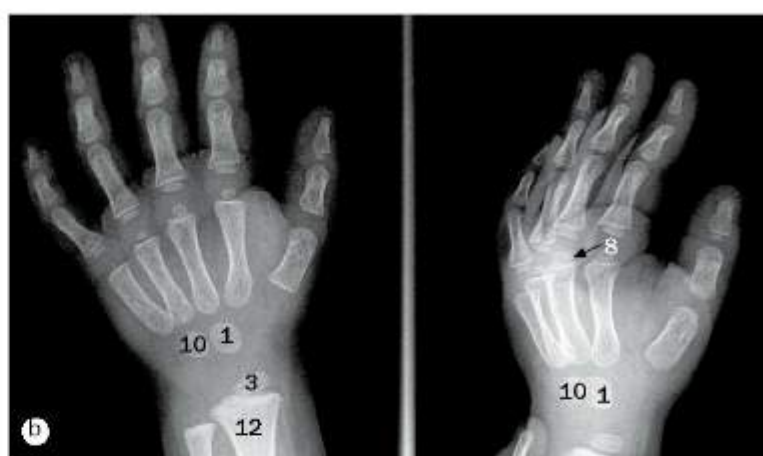
- | | | |
|--|---------------------------------------|---|
| 1 Base do quinto metacarpal | 12 Hâmulo do hamato | 23 Diáfise da falange média do dedo médio |
| 2 Base da falange média do dedo médio | 13 Semilunar | 24 Diáfise da falange proximal do dedo anular |
| 3 Base da falange proximal do dedo anular | 14 Falange média do dedo indicador | 25 Processo estiloide do rádio |
| 4 Capitato | 15 Pisiforme | 26 Processo estiloide da ulna |
| 5 Falange distal do dedo indicador | 16 Falange proximal do dedo indicador | 27 Trapézio |
| 6 Falange distal do polegar | 17 Falange proximal do polegar | 28 Trapezoide |
| 7 Hamato | 18 Rádio | 29 Piramidal |
| 8 Cabeça do quinto metacarpal | 19 Escafoide | 30 Incisura ulnar do rádio |
| 9 Cabeça da falange média do dedo médio | 20 Segundo metacarpal | 31 Base do metacarpal |
| 10 Cabeça da ulna | 21 Osso sesamoide | |
| 11 Cabeça da falange proximal do dedo anular | 22 Diáfise do quinto metacarpal | |



(b) Tomografia computadorizada axial através do túnel do carpo.



(c) Ossos do punho, projeção lateral.



CARPO (c)	Aparece	Funde-se
Capitato	1-3 meses	
Hamato	2-4 meses	
Piramidal	2-3 anos	
Semilunar	2-4 anos	
Escafoide	4-6 anos	
Trapezio	4-6 anos	
Trapezolde	4-6 anos	
Pisiforme (sesamoide)	8-12 anos	
METACARPAIS (c)		
Diáfise	9 svl	
Cabeça	1-2 anos	14-19 anos
FALANGES (c)		
Diáfise	8-12 svl	
Base	1-3 anos	14-18 anos

Ossos da mão (projeções dorsopalmares), (a) de uma criança com 10 meses de vida, (b) de uma criança com 2 anos de idade, (c) de uma criança com 6 anos de idade, (d) de uma criança com 9 anos de idade, para ilustrar os centros de ossificação, e (e) de uma criança com 11 anos de idade.

- 1 Capitato
- 2 Centro de ossificação para a falange distal do dedo anular
- 3 Centro de ossificação para a região distal do rádio
- 4 Centro de ossificação para a região distal da ulna

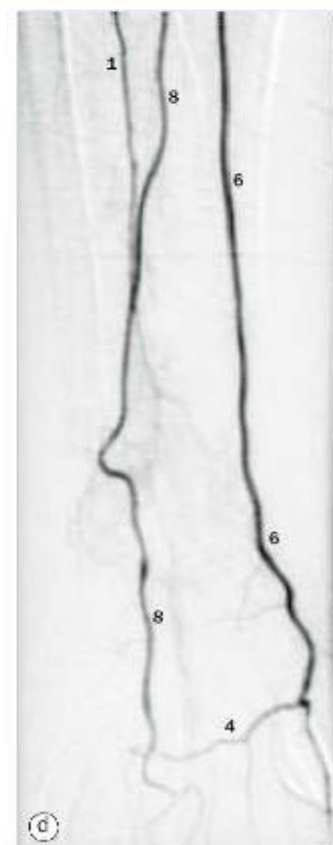
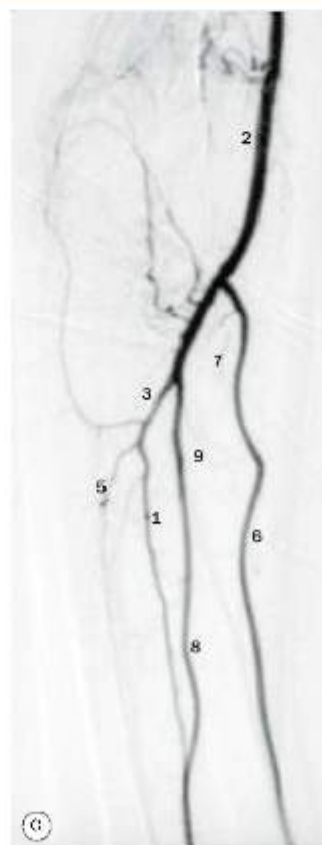
- 5 Centro de ossificação para o primeiro metacarpal
- 6 Centro de ossificação para a falange média do dedo médio
- 7 Centro de ossificação para a falange proximal do dedo médio

- 8 Centro de ossificação para o segundo metacarpal (se aplica do segundo ao quinto metacarpais)
- 9 Linha epifisial
- 10 Hamato
- 11 Semilunar

- 12 Rádio
- 13 Escafoide
- 14 Trapézio
- 15 Trapezoide
- 16 Piramidal
- 17 Ulna



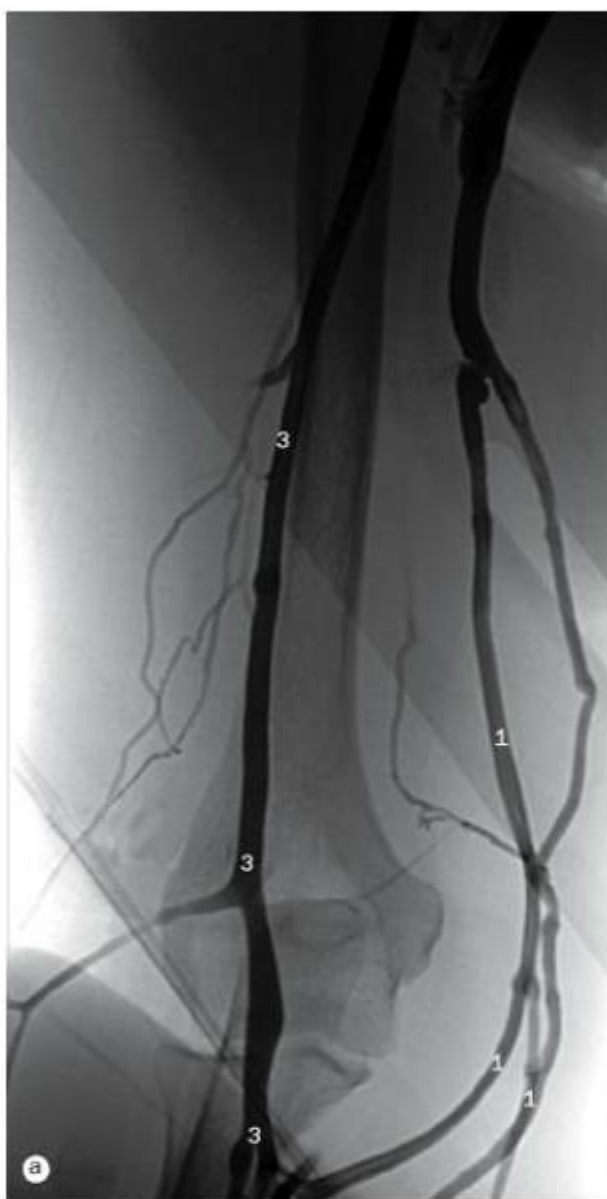
- 1 Artéria circunflexa anterior do úmero
2 Artéria axilar
3 Artéria braquial
4 Artéria circunflexa da escápula
5 Artéria torácica lateral
6 Ramos musculares da artéria braquial
7 Artéria circunflexa posterior do úmero
8 Artéria braquial profunda
9 Artéria subescapular
10 Artéria torácica superior
11 Artéria toracoacromial



Arteriografias axilares, (a) por subtração, (b), por subtração digital, (c) e (d) arteriografias braquiais.

- 1 Artéria interóssea anterior
2 Artéria braquial
3 Artéria interóssea comum
4 Arco palmar profundo
5 Artéria interóssea posterior

- 6 Artéria radial
7 Artéria recorrente radial
8 Artéria ulnar
9 Artéria recorrente ulnar



(a)



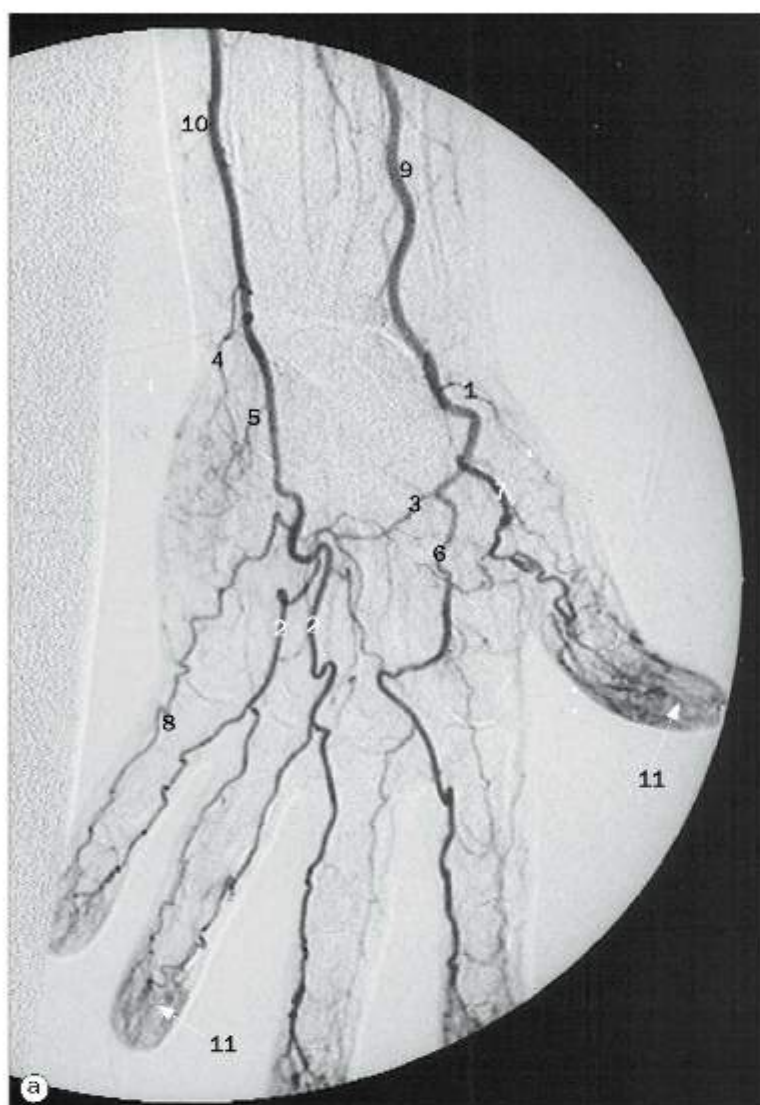
(b)



(c)

(a) e (b) Venografias dos membros superiores,
(c) cavografia superior.

- 1 Veia basilica
- 2 Veia intermédia do cotovelo
- 3 Veia cefálica
- 4 Rádio
- 5 Ulna
- 6 Veia axilar
- 7 Veia braquiocefálica
- 8 Átrio direito
- 9 Local de entrada da veia braquiocefálica esquerda
- 10 Veia subclávia
- 11 Veia cava superior



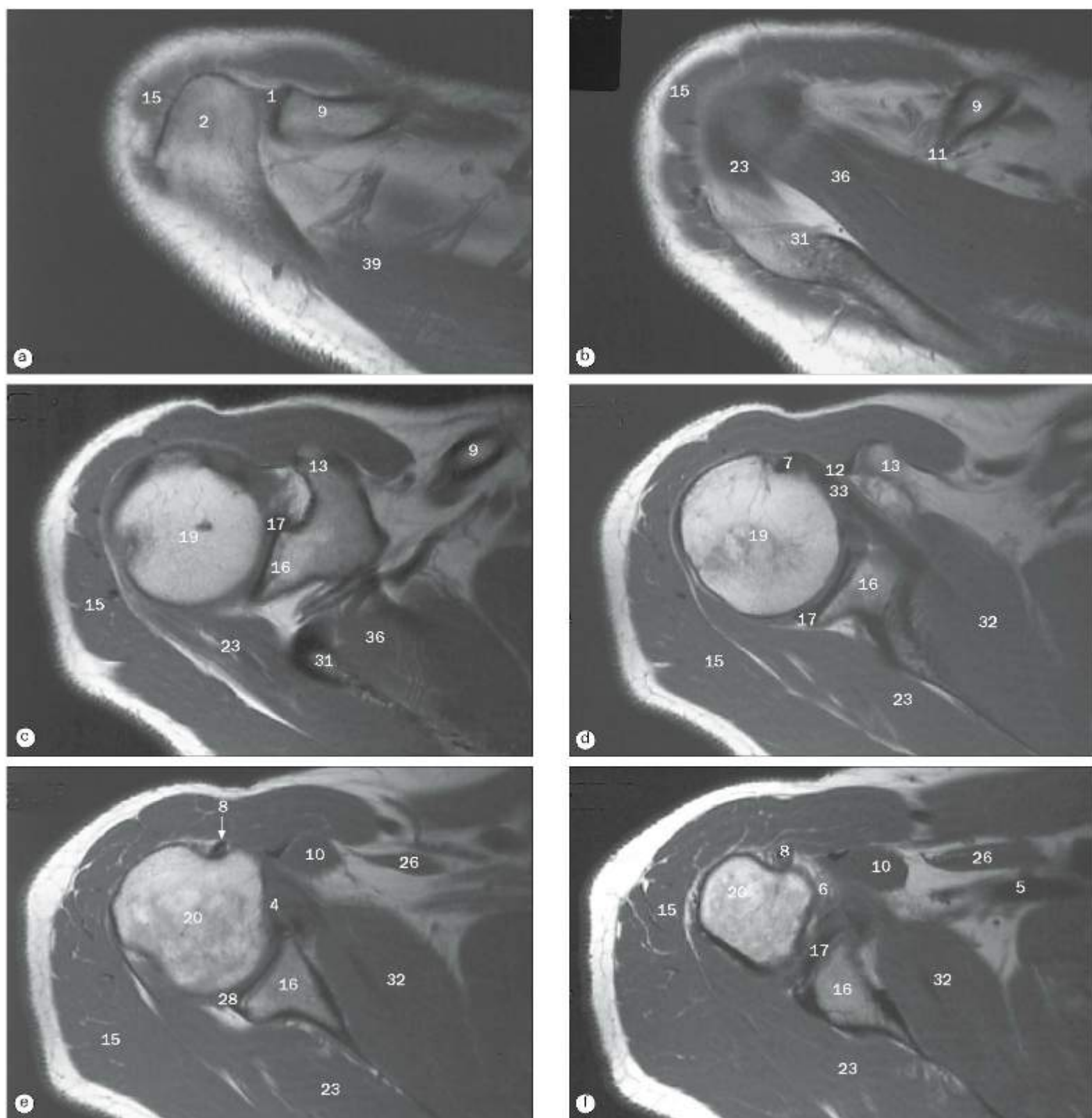
(a) Arteriografia da mão por subtração digital.
Neste paciente observa-se um arco palmar superficial incompleto.

- 1 Artéria da face radial do polegar
- 2 Artéria digital palmar comum
- 3 Arco palmar profundo
- 4 Ramo palmar profundo da artéria ulnar
- 5 Ramo carpal palmar da artéria ulnar
- 6 Artéria metacarpal palmar
- 7 Artéria principal do polegar
- 8 Artéria digital palmar própria
- 9 Artéria radial
- 10 Artéria ulnar
- 11 Anastomoses da polpa



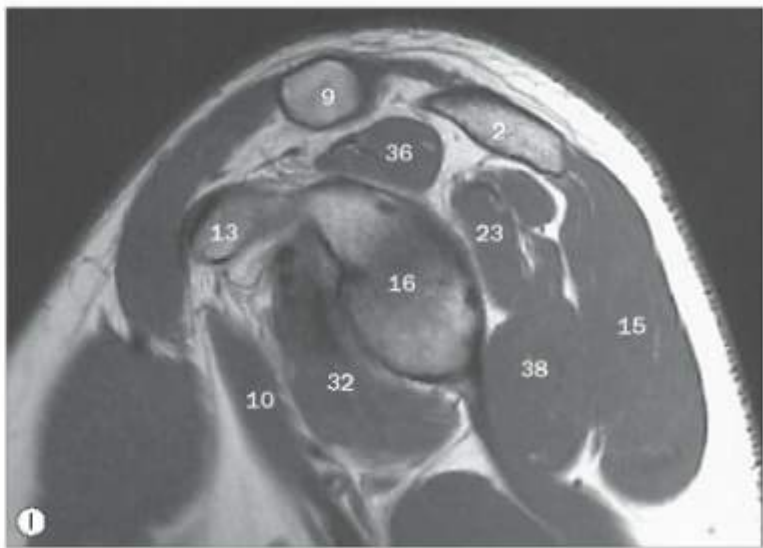
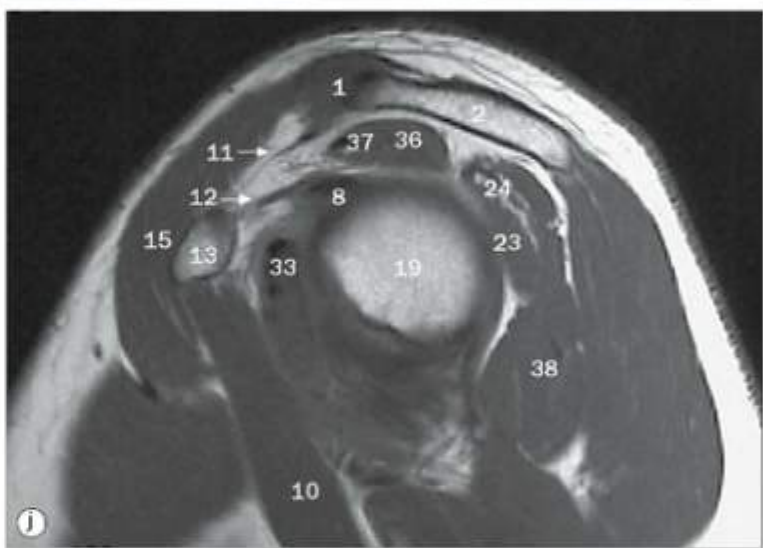
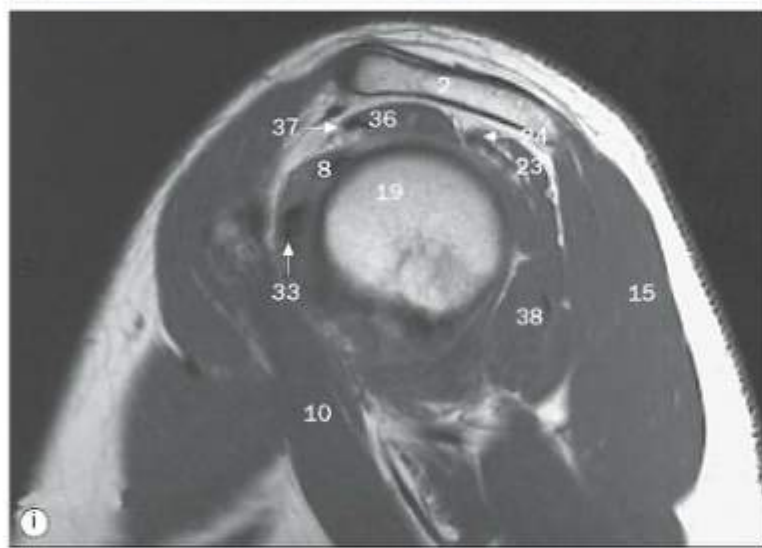
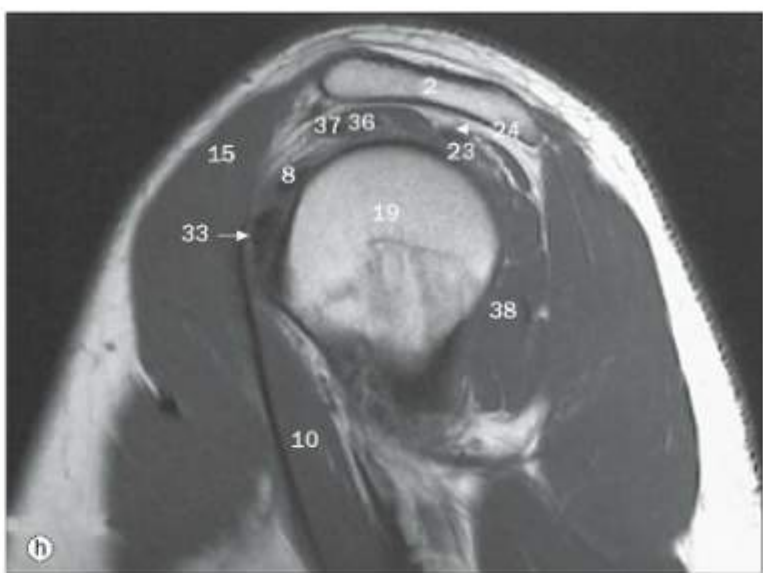
(b) Fase venosa da arteriografia da mão.

- 1 Veia basilica
- 2 Veia cefálica
- 3 Veia digital palmar comum
- 4 Veia digital palmar
- 5 Veia principal do polegar
- 6 Veia radial do indicador
- 7 Arco venoso palmar superficial



Ombro, imagens axiais de artroressonância magnética.

- | | | |
|---|--|-------------------------------------|
| 1 Articulação acromioclavicular | 8 Tendão do músculo bíceps braquial (cabeça longa) | 16 Cavidade glenoidal |
| 2 Acrônio | 9 Clavícula | 17 Lábio glenoidal |
| 3 Cápsula da articulação do ombro (região anterior) | 10 Músculo coracobraquial | 18 Tubérculo maior |
| 4 Lábio glenoidal (parte anterior) | 11 Ligamento coracoclavicular | 19 Cabeça do úmero |
| 5 Artéria e veia axilares | 12 Ligamento coracoumeral | 20 Úmero |
| 6 Recesso axilar | 13 Processo coracoide | 21 Ligamento glenoumeral inferior |
| 7 Tendão do músculo bíceps braquial | 14 Tendão do músculo deltóide | 22 Lábio glenoidal (parte inferior) |
| | 15 Músculo deltóide | 23 Músculo infraespinal |
| | | 24 Tendão do músculo infraespinal |

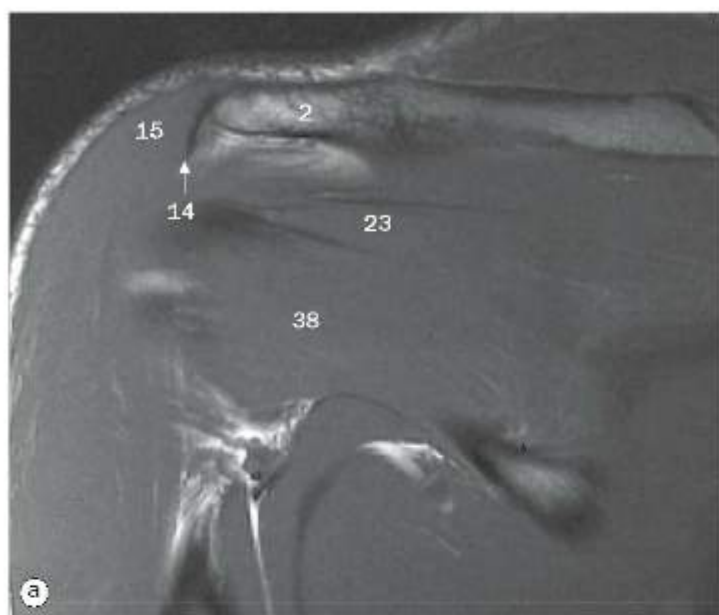


Ombro, imagens sagitais de artroressonância.

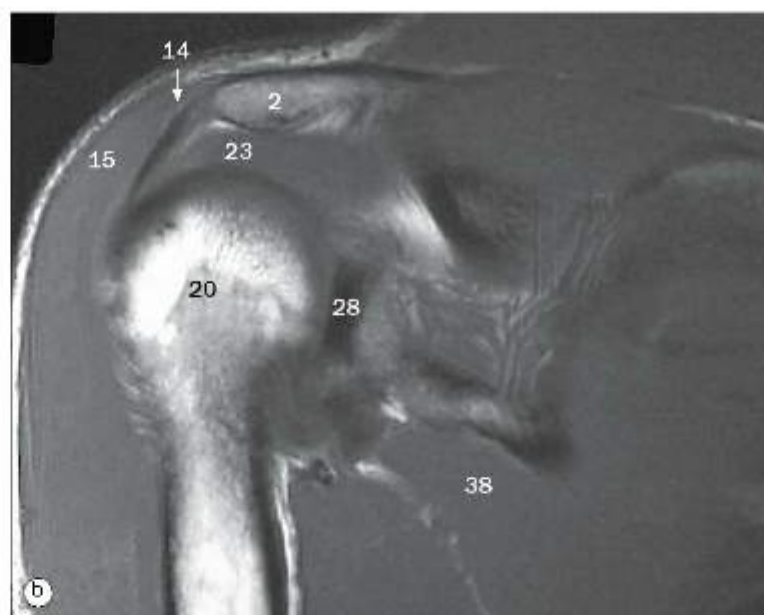
- 25 Ligamento glenoumeral médio
- 26 Músculo peitoral menor
- 27 Cápsula da articulação do ombro (região posterior)
- 28 Lábio glenoidal (parte posterior)

- 29 Manguito rotador
- 30 Escápula
- 31 Espinha da escápula
- 32 Músculo subescapular
- 33 Tendão do músculo subescapular
- 34 Ligamento glenoumeral superior

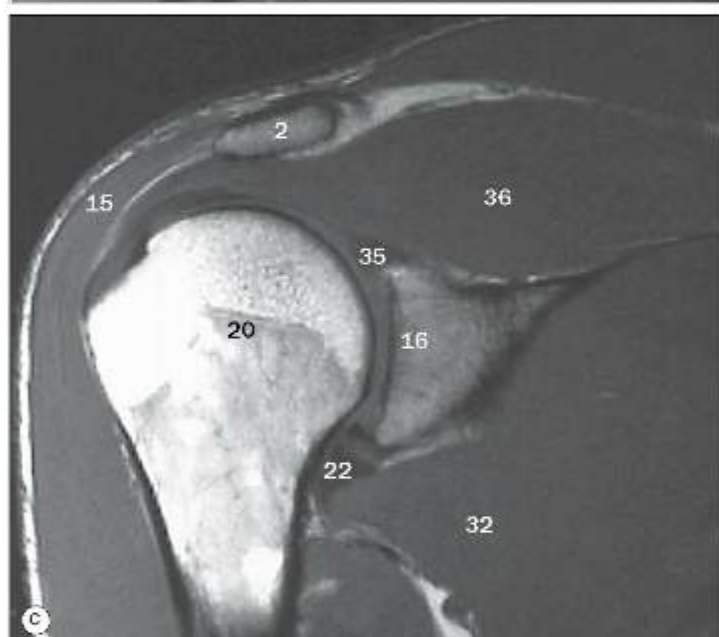
- 35 Lábio glenoidal (parte superior)
- 36 Músculo supraespinal
- 37 Tendão do músculo supraespinal
- 38 Músculo redondo menor
- 39 Músculo trapézio



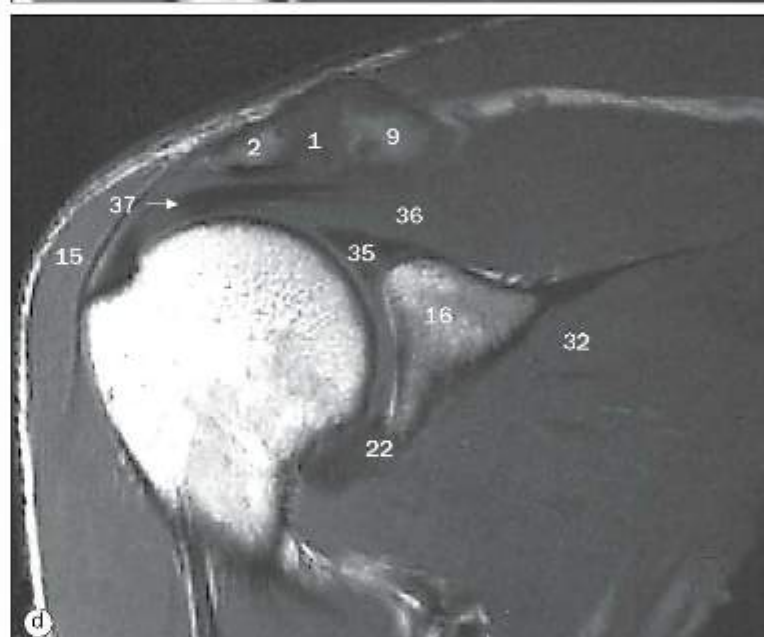
a



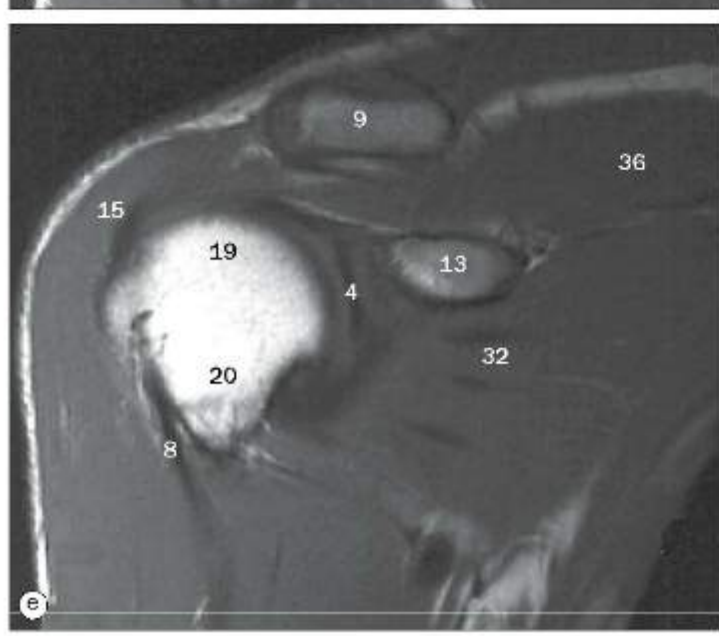
b



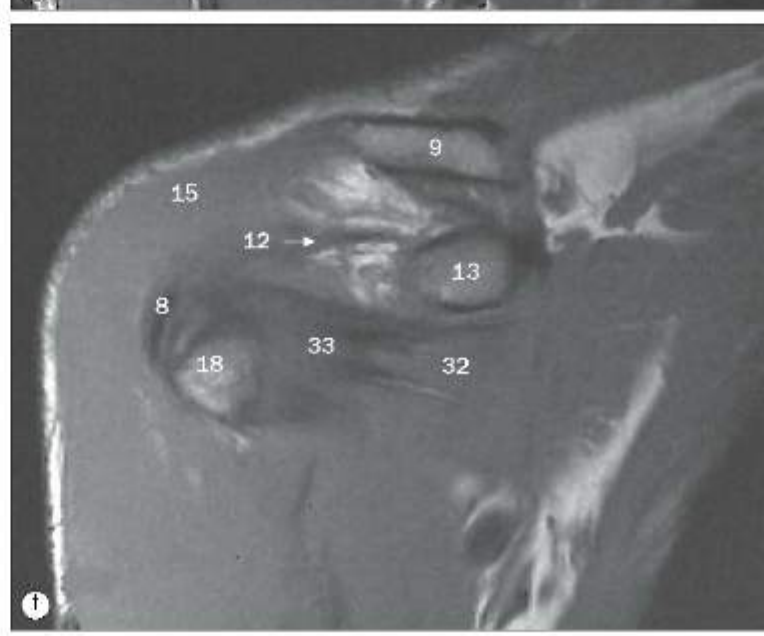
c



d

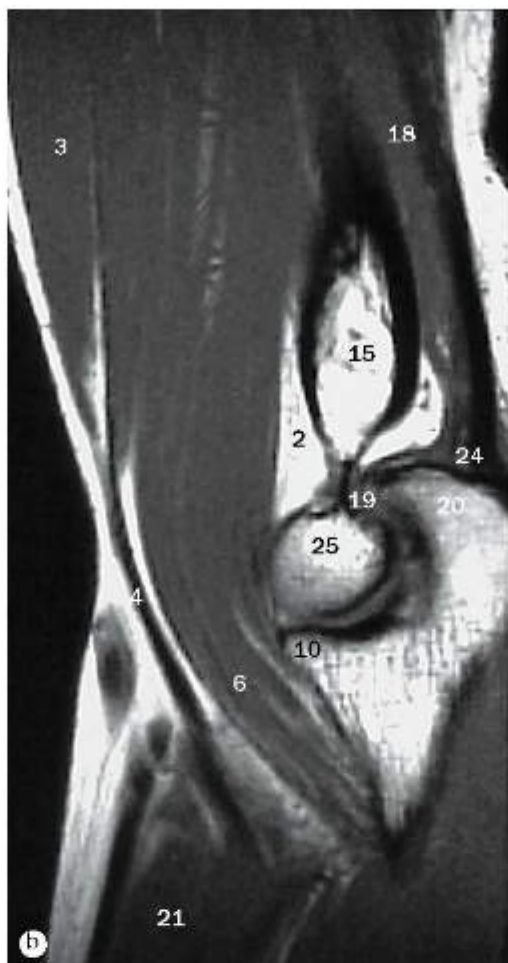


e



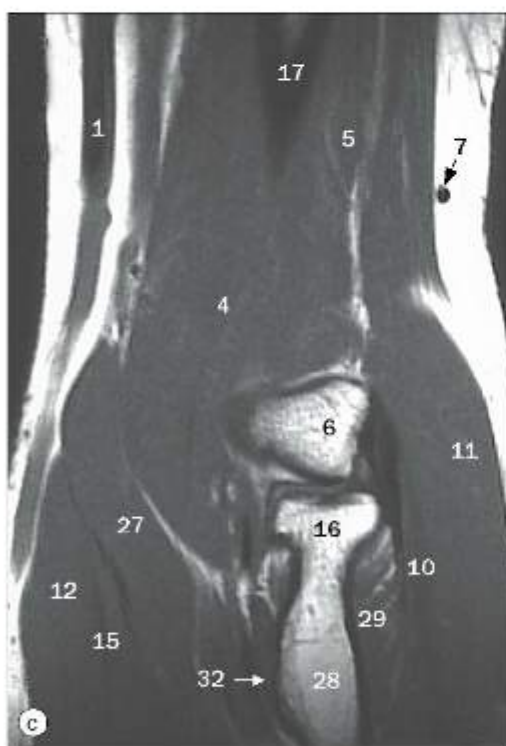
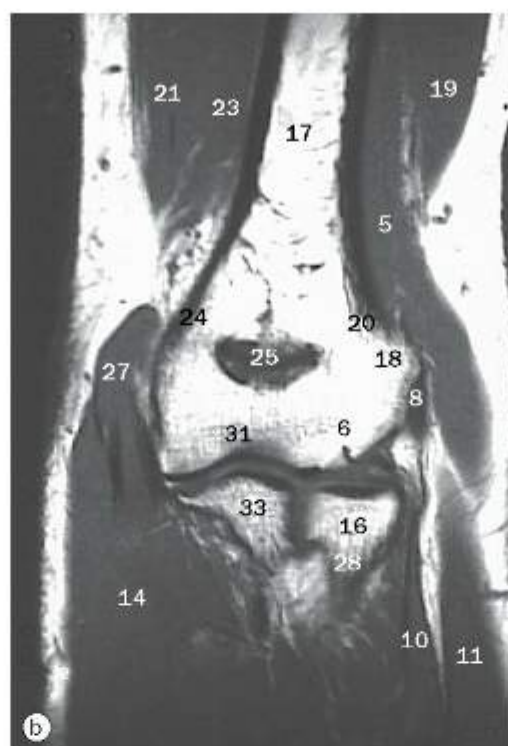
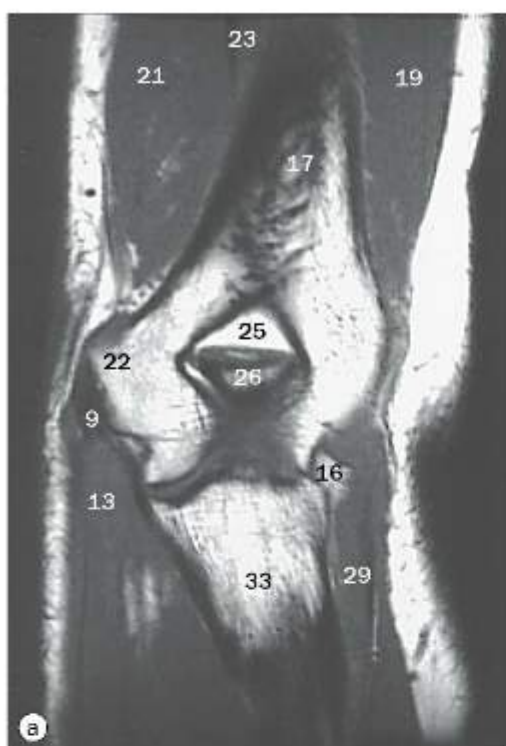
f

Ombro, imagens coronais oblíquas de artrorressonância magnética. Ver nas páginas 79 e 80 as referências numéricas.



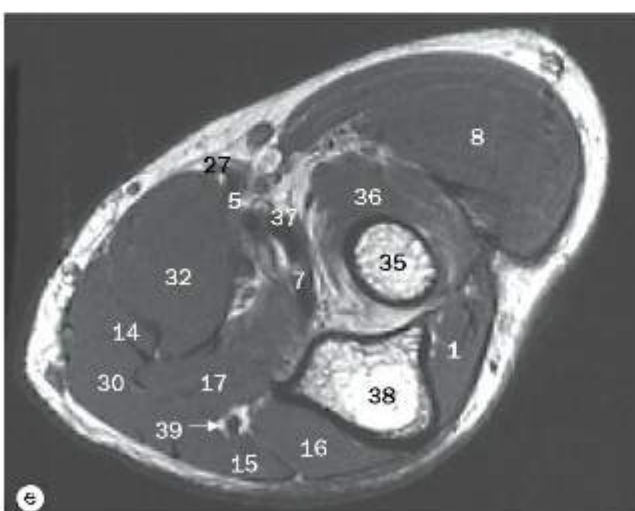
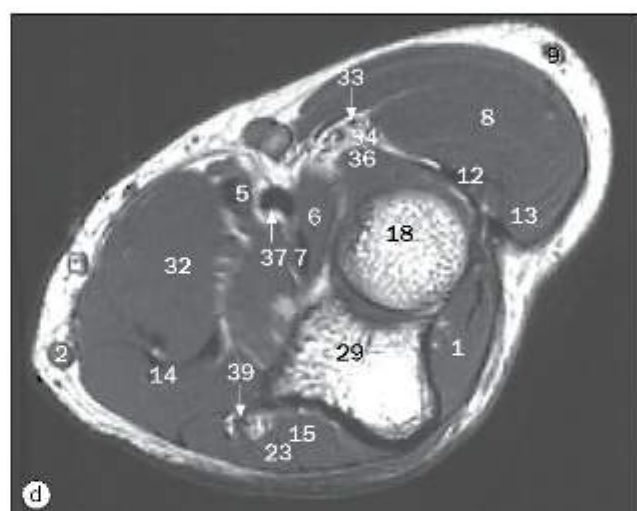
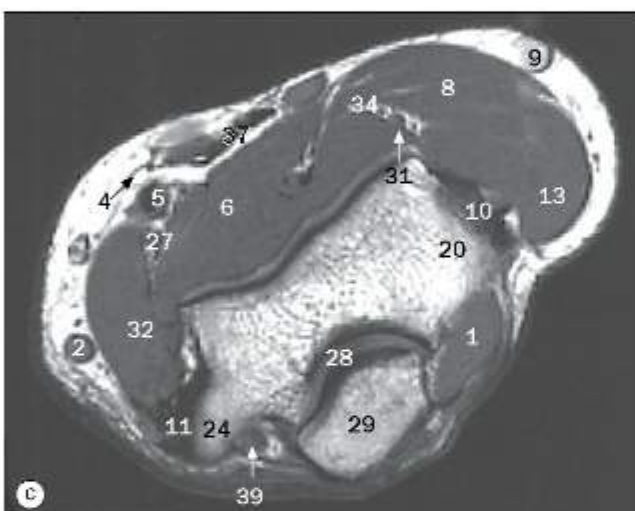
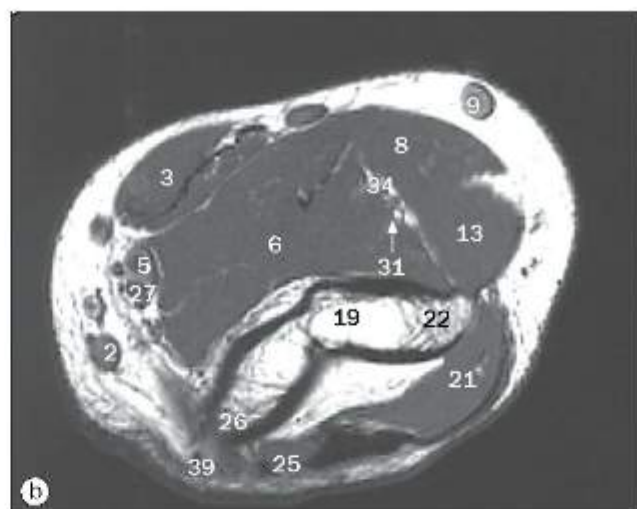
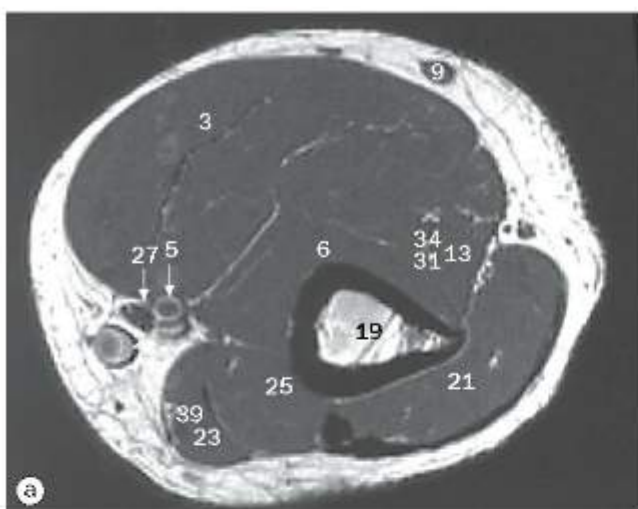
(a)–(d) Cotovelo, imagens sagitais de ressonância magnética.

- 1 Músculo extensor radial longo do carpo
- 2 Coxim adiposo anterior
- 3 Músculo bíceps braquial
- 4 Tendão do m. bíceps braquial
- 5 Artéria braquial
- 6 Músculo braquial
- 7 Músculo braquiorradial
- 8 Capítulo do úmero
- 9 Veia cefálica
- 10 Processo coronoide da ulna
- 11 Músculo flexor ulnar do carpo
- 12 Músculo flexor profundo dos dedos
- 13 Músculo flexor superficial dos dedos
- 14 Cabeça do rádio
- 15 Úmero
- 16 Cabeça lateral do músculo tríceps braquial
- 17 Epicôndilo medial
- 18 Cabeça medial do músculo tríceps braquial
- 19 Fossa do olécrano
- 20 Olécrano
- 21 Músculo pronador redondo
- 22 Rádio
- 23 Músculo supinador
- 24 Tendão do músculo tríceps braquial
- 25 Tróclea do úmero



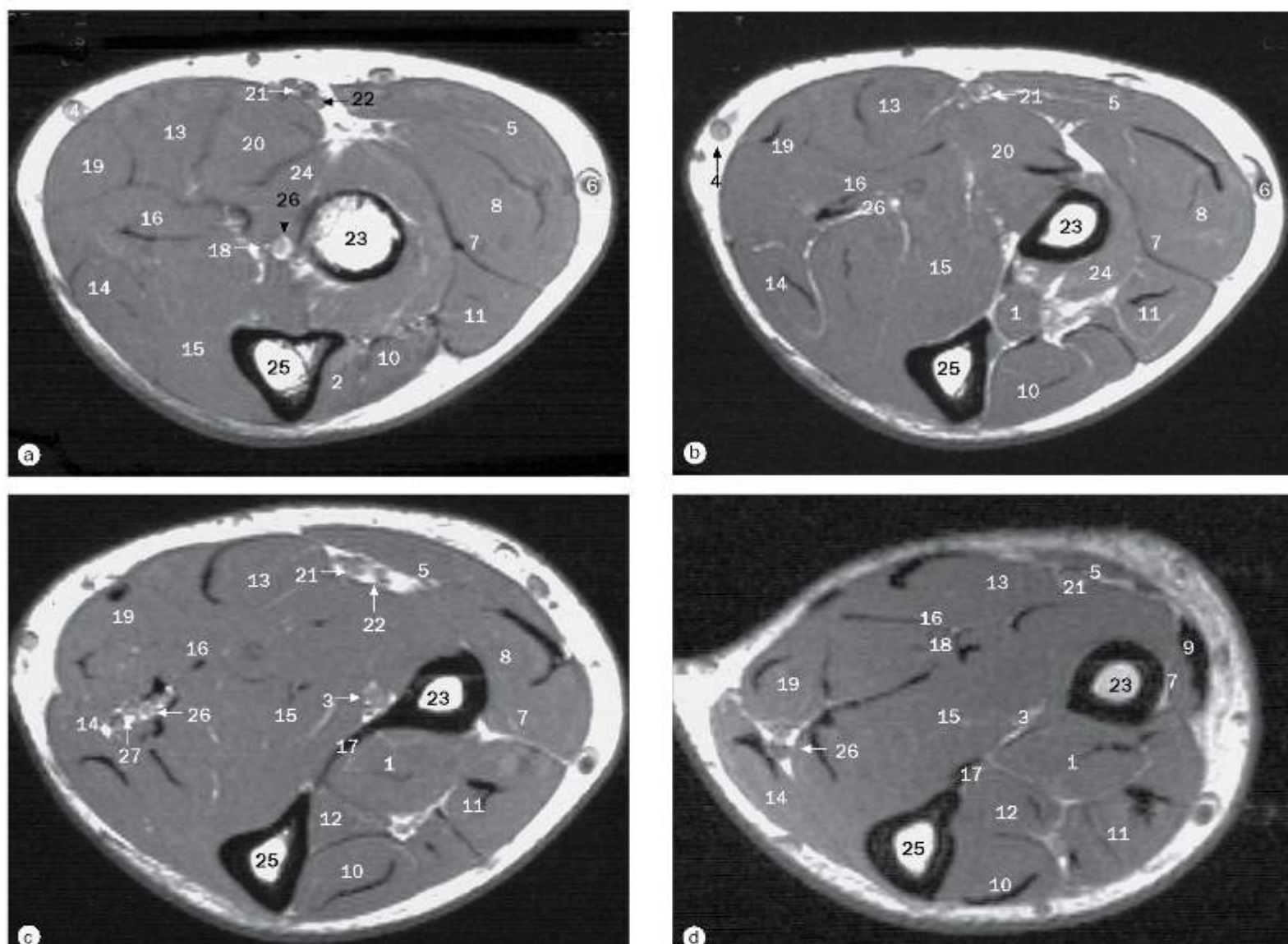
(a)-(d) Cotovelo, imagens coronais de ressonância magnética.

- 1 Vena basilica
- 2 Músculo bíceps braquial
- 3 Artéria braquial
- 4 Músculo braquial
- 5 Músculo braquiorradial
- 6 Capítulo do úmero
- 7 Veia cefálica
- 8 Origem comum dos músculos extensores
- 9 Origem comum dos músculos flexores
- 10 Músculo extensor radial curto do corpo
- 11 Músculo extensor radial longo do corpo
- 12 Músculo flexor radial do corpo
- 13 Músculo flexor ulnar do corpo
- 14 Músculo flexor profundo dos dedos
- 15 Músculo flexor superficial dos dedos
- 16 Cabeça do rádio
- 17 Úmero
- 18 Epicôndilo lateral
- 19 Cabeça lateral do músculo tríceps braquial
- 20 Crista supraepicondilar lateral
- 21 Cabeça longa do músculo tríceps braquial
- 22 Epicôndilo medial
- 23 Cabeça medial do músculo tríceps braquial
- 24 Crista supraepicondilar medial
- 25 Fossa do olécrano
- 26 Olécrano
- 27 Músculo pronador redondo
- 28 Rádio
- 29 Músculo supinador
- 30 Tendão do músculo bíceps braquial
- 31 Tróclea do úmero
- 32 Tuberosidade do rádio
- 33 Ulna



(a)-(e) Cotovelo, imagens axiais de ressonância magnética.

- | | |
|---|---|
| 1 Músculo anconeó | 19 Úmero |
| 2 Veia basilica | 20 Epicôndilo lateral |
| 3 Músculo bíceps braquial | 21 Cabeça lateral do músculo tríceps braquial |
| 4 Aponeurose do músculo bíceps braquial | 22 Crista supraepicondilar lateral |
| 5 Artéria braquial | 23 Cabeça longa do músculo tríceps braquial |
| 6 Músculo braquial | 24 Epicôndilo medial |
| 7 Tendão do músculo braquial | 25 Cabeça medial do músculo tríceps braquial |
| 8 Músculo braquiorradial | 26 Crista supraepicondilar medial |
| 9 Veia cefálica | 27 Nervo mediano |
| 10 Origem comum dos músculos extensores | 28 Fossa do olécrano |
| 11 Origem comum dos músculos flexores | 29 Olécrano |
| 12 Músculo extensor radial curto do carpo | 30 Músculo palmar longo |
| 13 Músculo extensor radial longo do carpo | 31 Artéria braquial profunda |
| 14 Músculo flexor radial do carpo | 32 Músculo pronador redondo |
| 15 Músculo flexor ulnar do carpo | 33 Artéria radial |
| 16 Músculo flexor profundo dos dedos | 34 Nervo radial |
| 17 Músculo flexor superficial dos dedos | 35 Rádio |
| 18 Cabeça do rádio | 36 Músculo supinador |
| | 37 Tendão do músculo bíceps braquial |
| | 38 Ulna |
| | 39 Nervo ulnar |

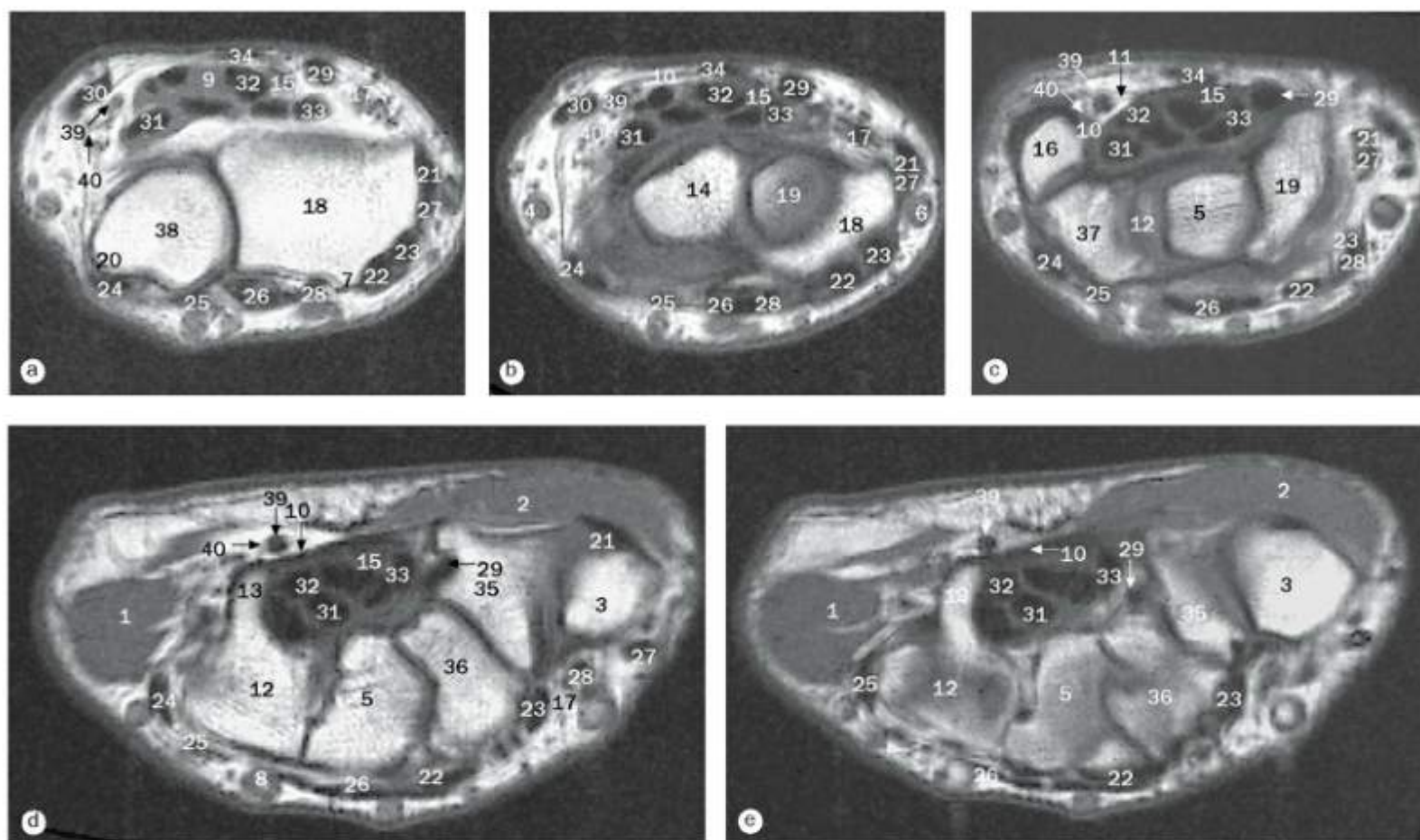


(a)–(d) Antebraço, imagens axiais de ressonância magnética.

- 1. Músculo abdutor longo do polegar
- 2. Músculo anconeó
- 3. Artéria interóssea anterior
- 4. Veia basilíca
- 5. Músculo braquiorradial
- 6. Veia cefálica
- 7. Músculo extensor radial curto do carpo
- 8. Músculo extensor radial longo do carpo
- 9. Tendão do músculo extensor radial longo do carpo

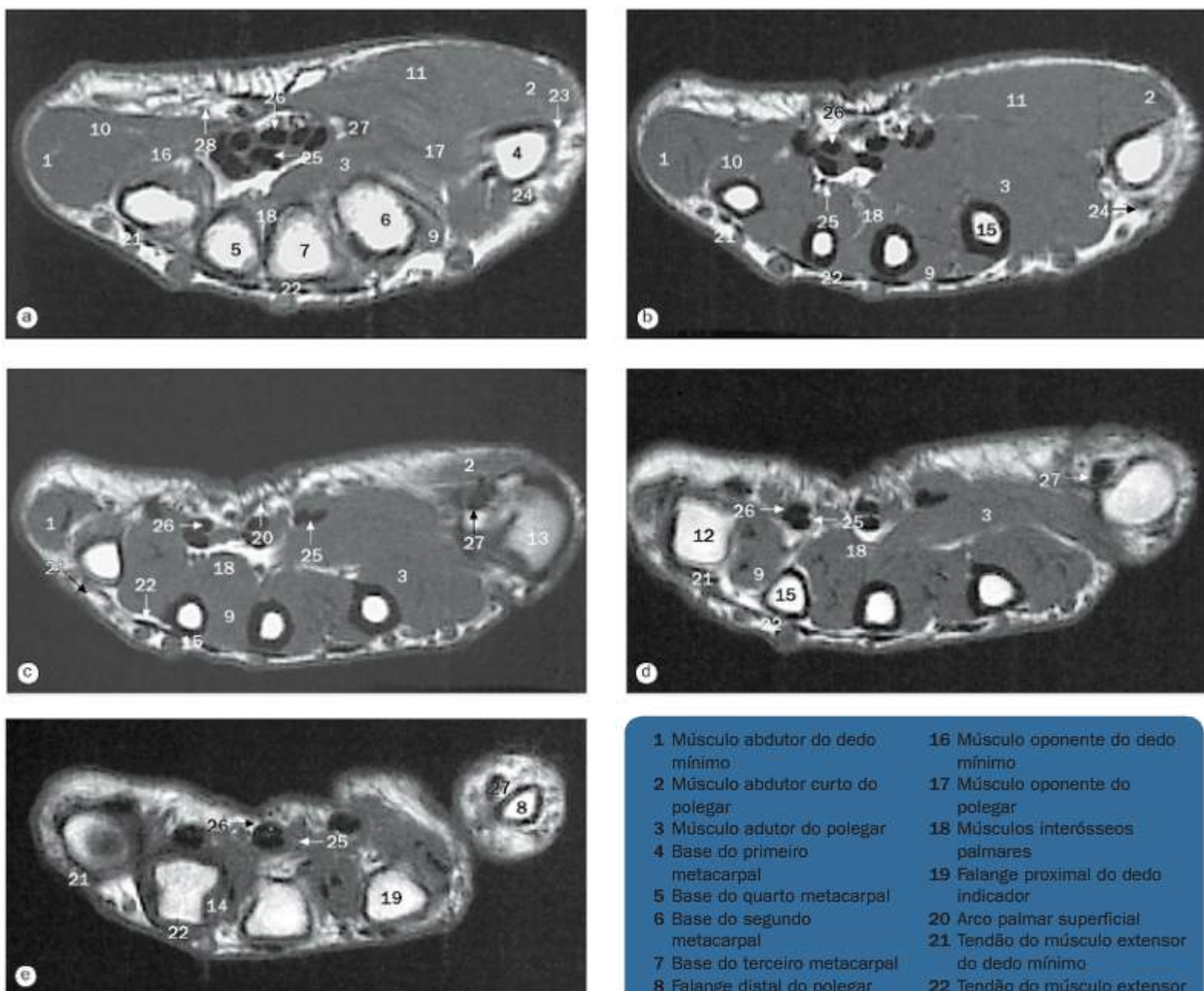
- 10. Músculo extensor ulnar do carpo
- 11. Músculo extensor dos dedos
- 12. Músculo extensor longo do polegar
- 13. Músculo flexor radial do carpo
- 14. Músculo flexor ulnar do carpo
- 15. Músculo flexor profundo dos dedos
- 16. Músculo flexor superficial dos dedos
- 17. Membrana interóssea
- 18. Nervo mediano
- 19. Músculo palmar longo

- 20. Músculo pronador redondo
- 21. Artéria radial
- 22. Nervo radial
- 23. Rádio
- 24. Músculo supinador
- 25. Ulna
- 26. Artéria ulnar
- 27. Nervo ulnar

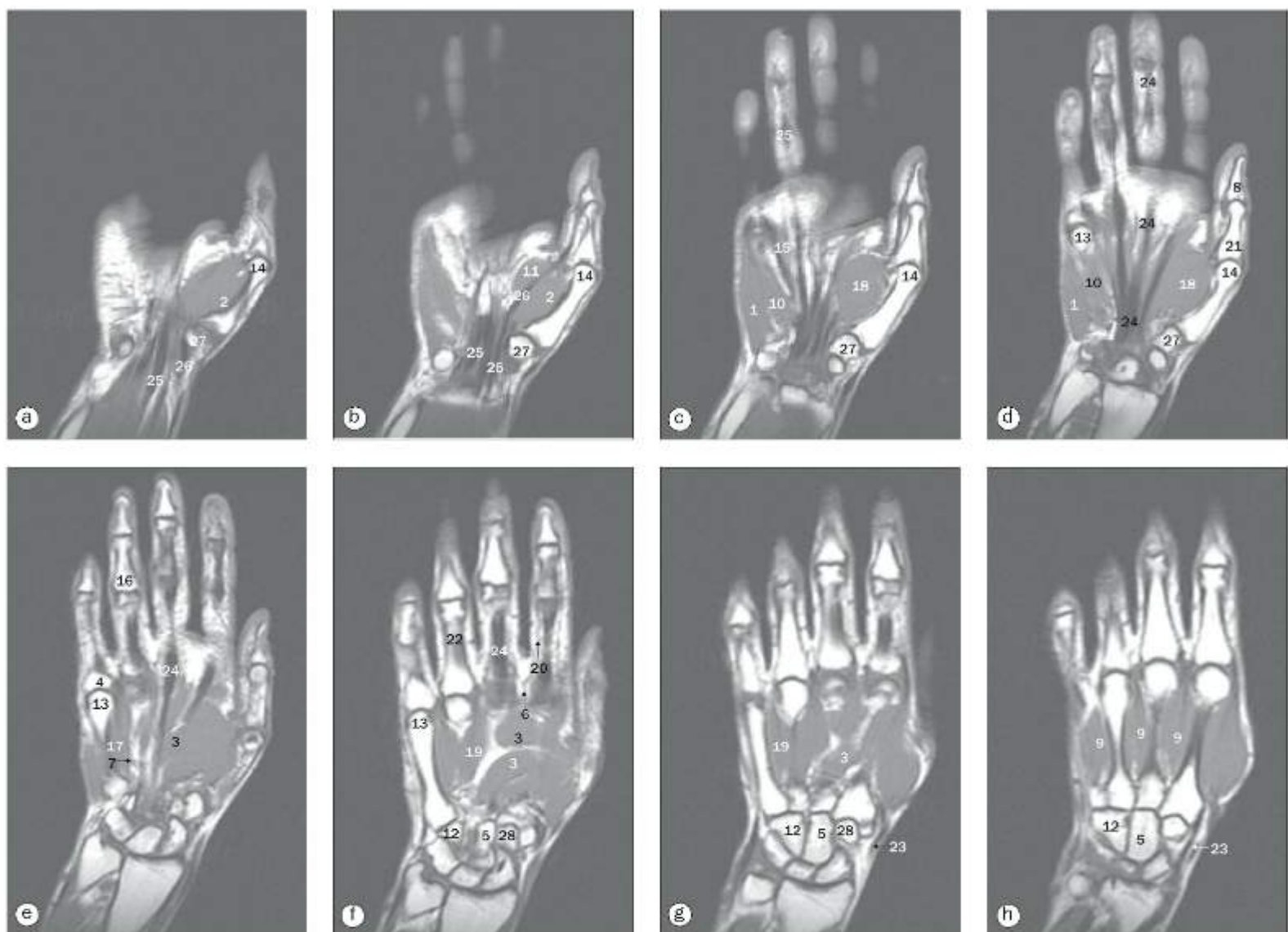


(a)–(e) Punho, imagens axiais de ressonância magnética.

- | | | |
|--|---|---|
| 1 Músculo abdutor do dedo mínimo | 18 Rádio | 28 Tendão do músculo extensor longo do polegar |
| 2 Músculo abdutor curto do polegar | 19 Escafoide | 29 Tendão do músculo flexor radial do carpo |
| 3 Base do primeiro metacarpal | 20 Processo estiloide da ulna | 30 Tendão do músculo flexor ulnar do carpo |
| 4 Veia basilica | 21 Tendão do músculo abdutor longo do polegar | 31 Tendão do músculo flexor profundo dos dedos |
| 5 Capitato | 22 Tendão do músculo extensor radial curto do carpo | 32 Tendão do músculo flexor superficial dos dedos |
| 6 Veia cefálica | 23 Tendão do músculo extensor radial longo do carpo | 33 Tendão do músculo flexor longo do polegar |
| 7 Tubérculo dorsal do rádio | 24 Tendão do músculo extensor ulnar do carpo | 34 Tendão do músculo palmar longo |
| 8 Arco venoso dorsal | 25 Tendão do músculo extensor do dedo mínimo | 35 Trapézio |
| 9 Músculo flexor superficial dos dedos | 26 Tendão do músculo extensor dos dedos | 36 Trapezoide |
| 10 Retináculo dos músculos flexores | 27 Tendão do músculo extensor curto do polegar | 37 Piramidal |
| 11 Túnel ulnar | | 38 Ulna |
| 12 Hamato | | 39 Artéria ulnar |
| 13 Hâmulo do hamato | | 40 Nervo ulnar |
| 14 Semilunar | | |
| 15 Nervo mediano | | |
| 16 Pisiforme | | |
| 17 Artéria radial | | |



- | | |
|--|---|
| 1 Músculo abdutor do dedo mínimo | 16 Músculo oponente do dedo mínimo |
| 2 Músculo abdutor curto do polegar | 17 Músculo oponente do polegar |
| 3 Músculo adutor do polegar | 18 Músculos interósseos palmares |
| 4 Base do primeiro metacarpal | 19 Falange proximal do dedo indicador |
| 5 Base do quarto metacarpal | 20 Arco palmar superficial |
| 6 Base do segundo metacarpal | 21 Tendão do músculo extensor do dedo mínimo |
| 7 Base do terceiro metacarpal | 22 Tendão do músculo extensor dos dedos |
| 8 Falange distal do polegar | 23 Tendão do músculo extensor curto do polegar |
| 9 Músculos interósseos dorsais | 24 Tendão do músculo extensor longo do polegar |
| 10 Músculo flexor curto do dedo mínimo | 25 Tendão do músculo flexor profundo dos dedos |
| 11 Músculo flexor curto do polegar | 26 Tendão do músculo flexor superficial dos dedos |
| 12 Cabeça do quinto metacarpal | 27 Tendão do músculo flexor longo do polegar |
| 13 Cabeça do primeiro metacarpal | |
| 14 Músculo lumbrical | |
| 15 Corpo do osso metacarpal | |
| 28 Artéria ulnar | |



(a)–(h) Mão, imagens coronais de ressonância magnética.

- 1 Músculo abdutor do dedo mínimo
- 2 Músculo abdutor curto do polegar
- 3 Músculo adutor do polegar
- 4 Base da falange proximal do quinto dedo
- 5 Capitato
- 6 Artéria digital palmar comum
- 7 Arco palmar profundo

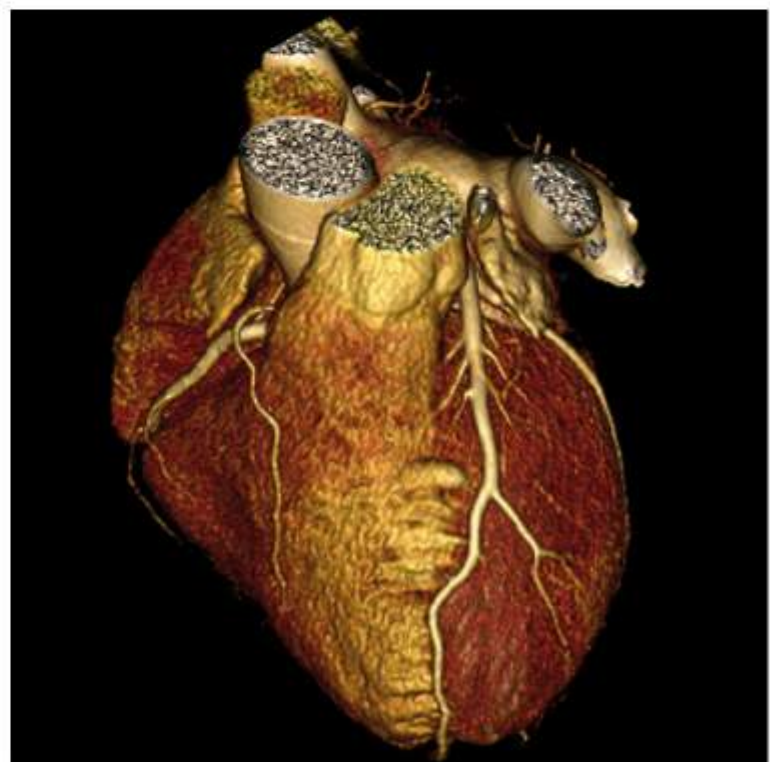
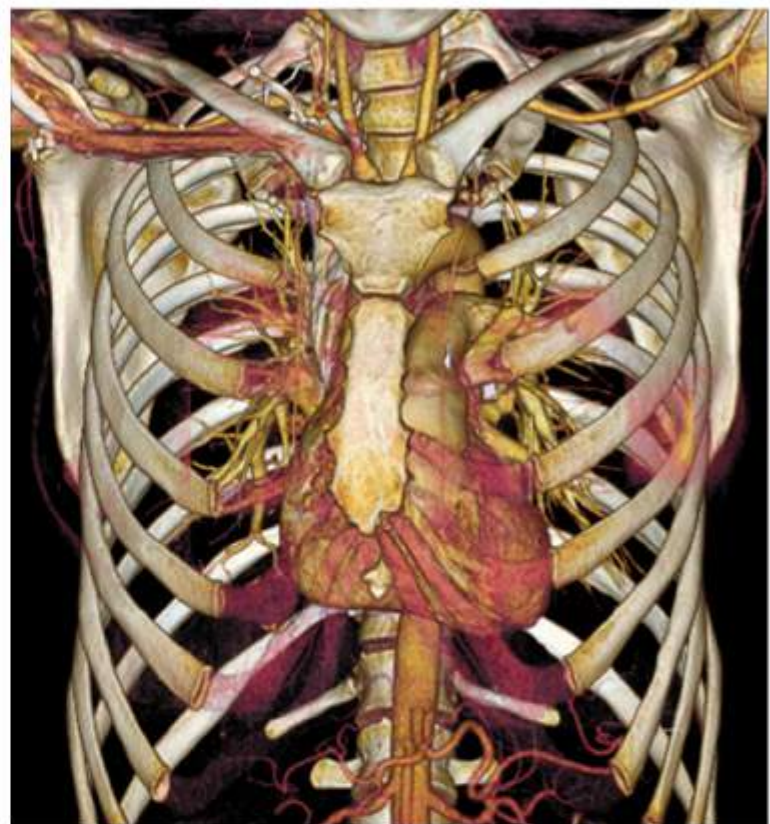
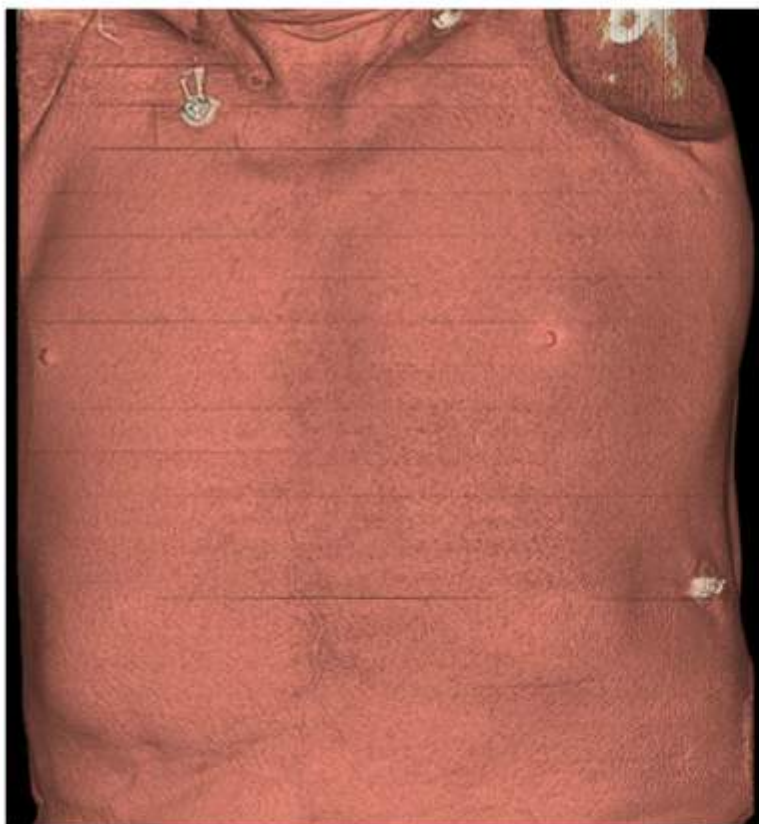
- 8 Falange distal do polegar
- 9 Músculos interósseos dorsais
- 10 Músculo flexor do dedo mínimo
- 11 Músculo flexor curto do polegar
- 12 Hamato
- 13 Cabeça do quinto metacarpal
- 14 Cabeça do primeiro metacarpal
- 15 Músculo lumbrical
- 16 Falange média do quarto dedo

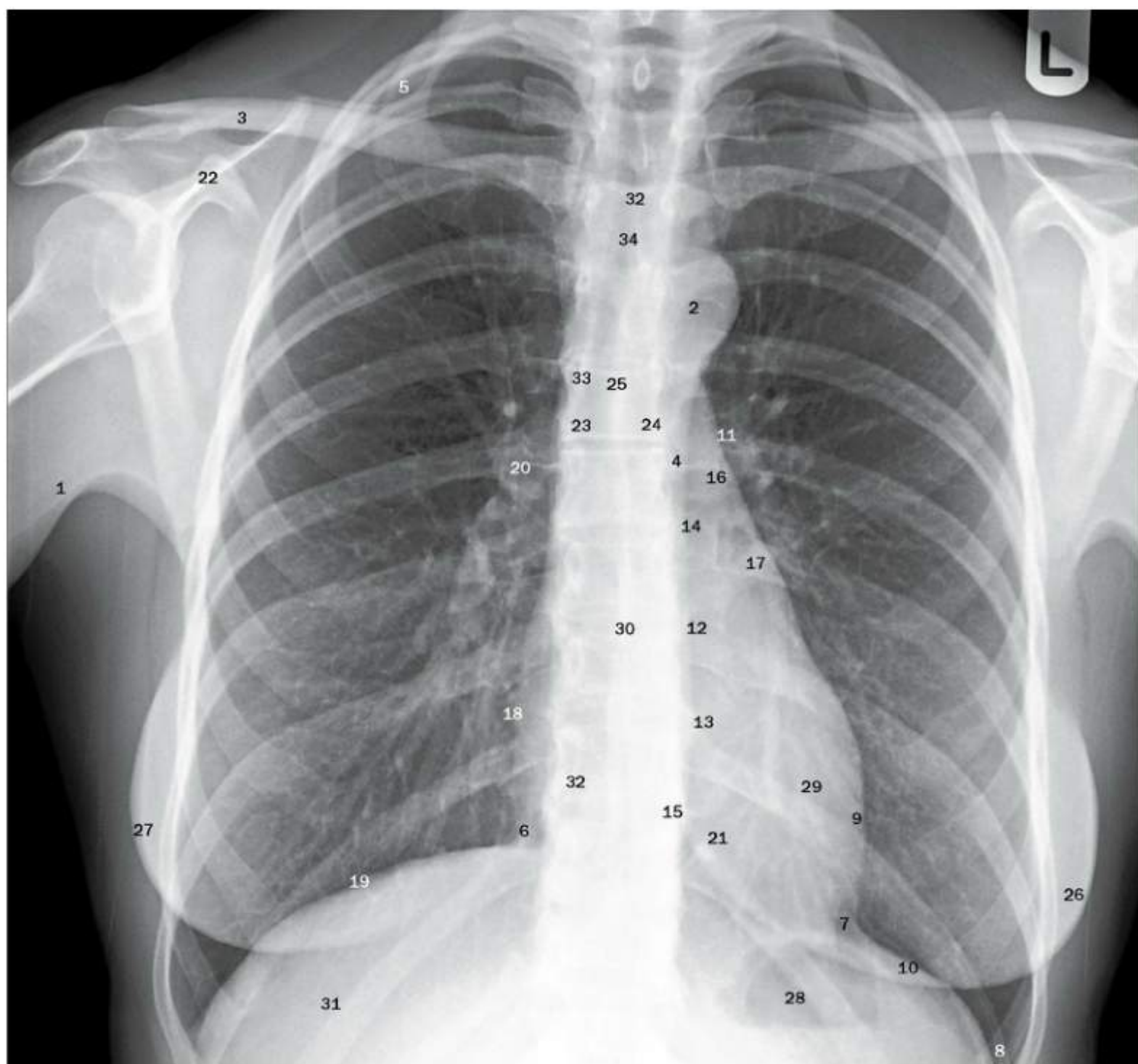
- 17 Músculo oponente do dedo mínimo
- 18 Músculo oponente do polegar
- 19 Músculos interósseos palmares
- 20 Artéria digital palmar própria
- 21 Falange proximal do polegar
- 22 Corpo da falange proximal do quarto dedo

- 23 Tendão do músculo extensor longo do polegar
- 24 Tendão do músculo flexor profundo dos dedos
- 25 Tendão do músculo flexor superficial dos dedos
- 26 Tendão do músculo flexor longo do polegar
- 27 Trapézio
- 28 Trapezoide

4

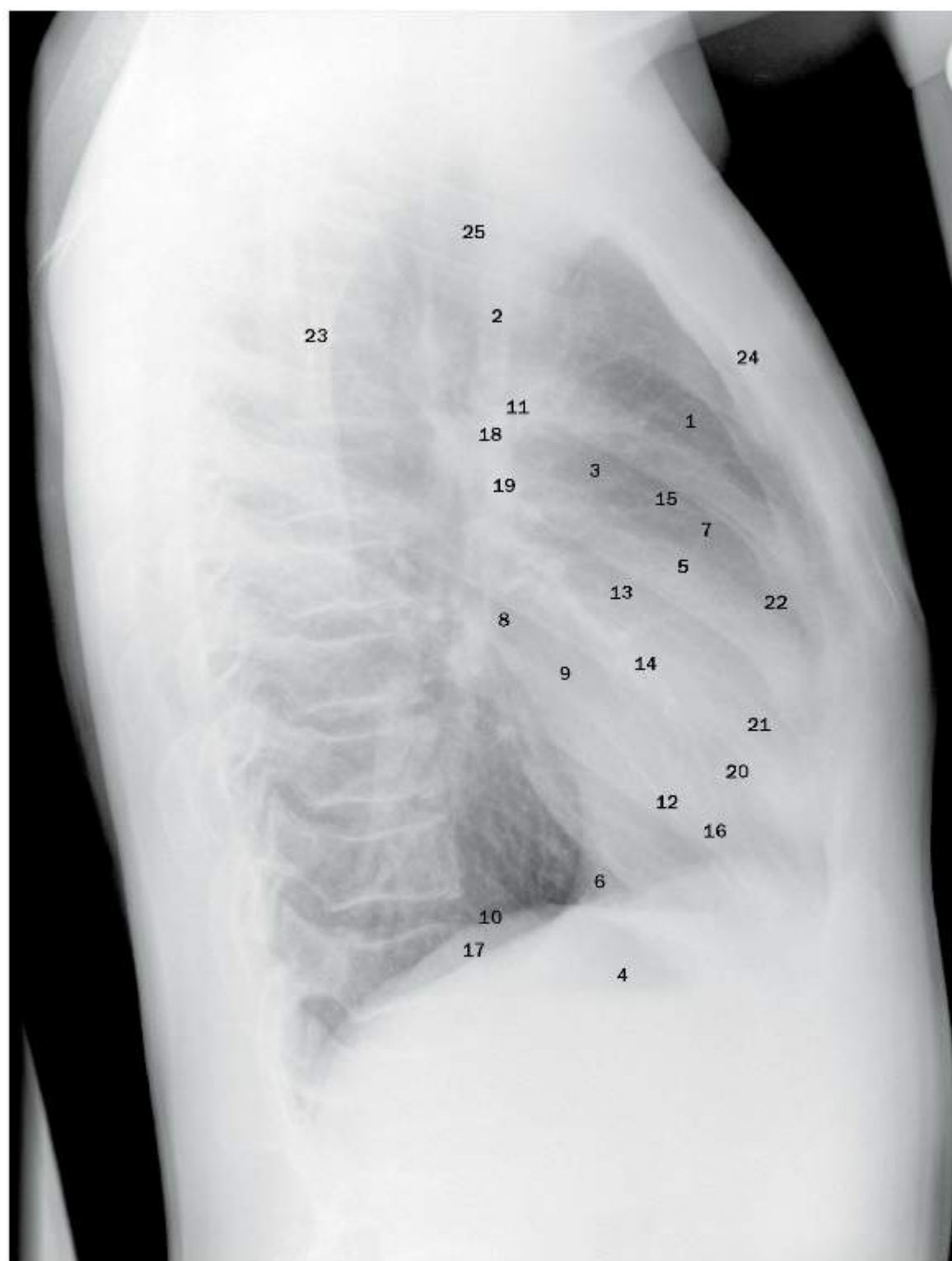
Tórax





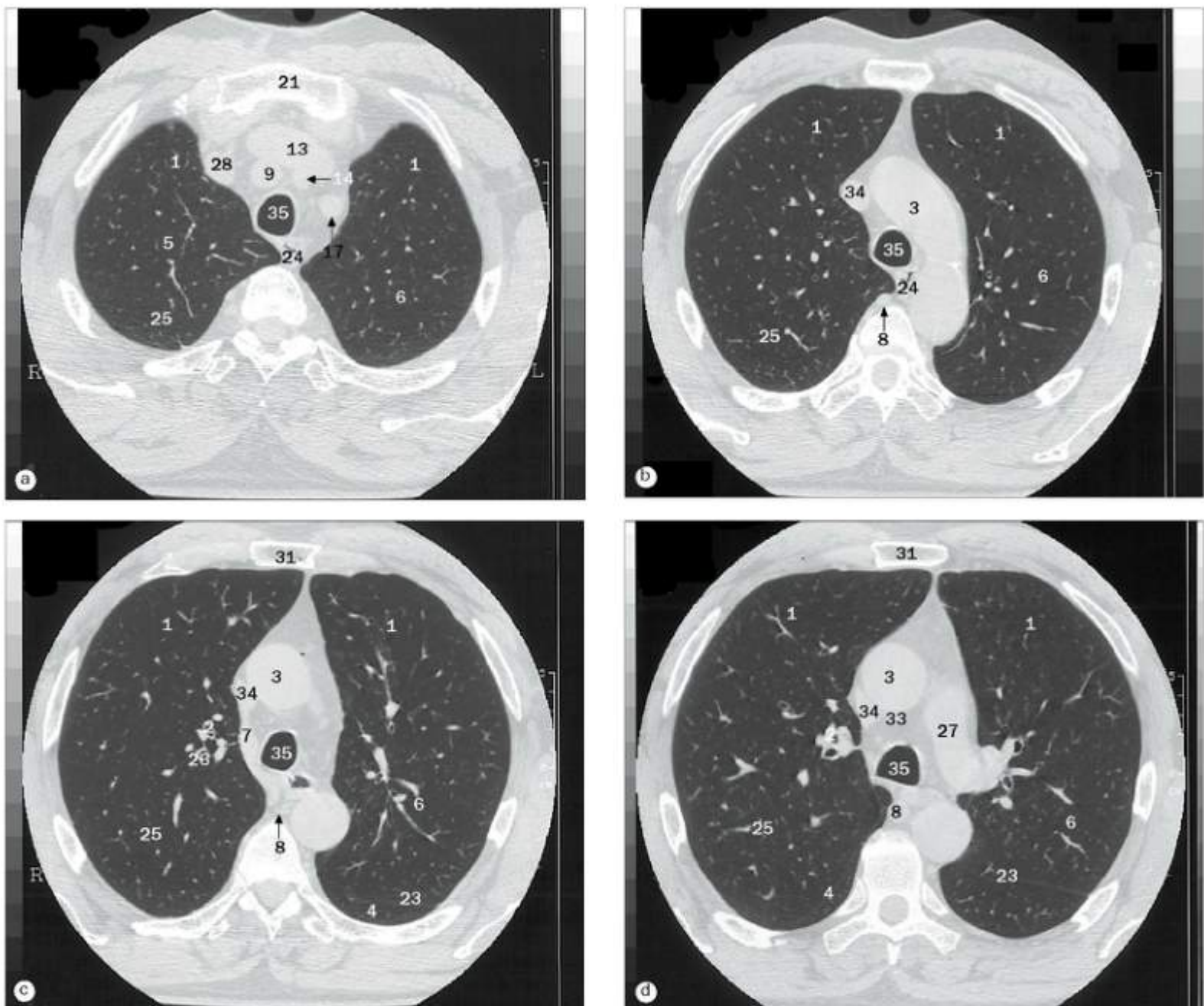
Radiografia de tórax, projeção posteroanterior.

- | | | | |
|--|---|---|-----------------------------------|
| 1 Pregue axilar anterior | 9 Contorno do ventrículo esquerdo | 16 Tronco pulmonar | 26 Contorno da mama esquerda |
| 2 Arco da aorta | 10 Cúpula esquerda do diafragma | 17 Região da ponta da aurícula esquerda | 27 Contorno da mama direita |
| 3 Clavícula | 11 Artéria pulmonar esquerda | 18 Margem do átrio direito | 28 Gás no fundo gástrico |
| 4 Parte descendente da aorta | 12 Posição da valva da aorta | 19 Cúpula direita do diafragma | 29 Posição do ventrículo esquerdo |
| 5 Primeira costela | 13 Posição da valva atrioventricular esquerda (mitral) | 20 Artéria pulmonar direita | 30 Posição do átrio esquerdo |
| 6 Veia cava inferior | 14 Posição da valva do tronco pulmonar | 21 Ventrículo direito | 31 Posição do fígado |
| 7 Recesso costomediesternal esquerdo | 15 Posição da valva atrioventricular direita (tricúspide) | 22 Espinha da escápula | 32 Manubrio |
| 8 Recesso costodiaphragmático esquerdo | | 23 Brônquio principal direito | 33 Vena cava superior |
| | | 24 Brônquio principal esquerdo | 34 Traqueia |
| | | 25 Carina da traqueia | |



Radiografia de tórax, projeção lateral.

- | | | | |
|--|--|---|--------------------------------------|
| 1 Mediastino anterior | 8 Margem do átrio esquerdo | 15 Posição da valva do tronco pulmonar | 20 Fissura oblíqua do pulmão direito |
| 2 Arco da aorta | 9 Átrio esquerdo | 16 Posição da valva atrioventricular direita (tricúspide) | 21 Ventrículo direito |
| 3 Parte ascendente da aorta | 10 Cúpula esquerda do diafragma | 17 Cúpula direita do diafragma | 22 Margem do ventrículo direito |
| 4 Gás no fundo gástrico | 11 Artéria pulmonar esquerda | 18 Brônquio principal direito | 23 Escápula |
| 5 Fissura horizontal | 12 Fissura oblíqua do pulmão esquerdo | 19 Artéria pulmonar direita | 24 Esterno |
| 6 Veia cava inferior | 13 Posição da valva da aorta | | 25 Traqueia |
| 7 Cone arterial do ventrículo direito (abaixo) com tronco pulmonar (acima) | 14 Posição da valva atrioventricular esquerda (mitral) | | |

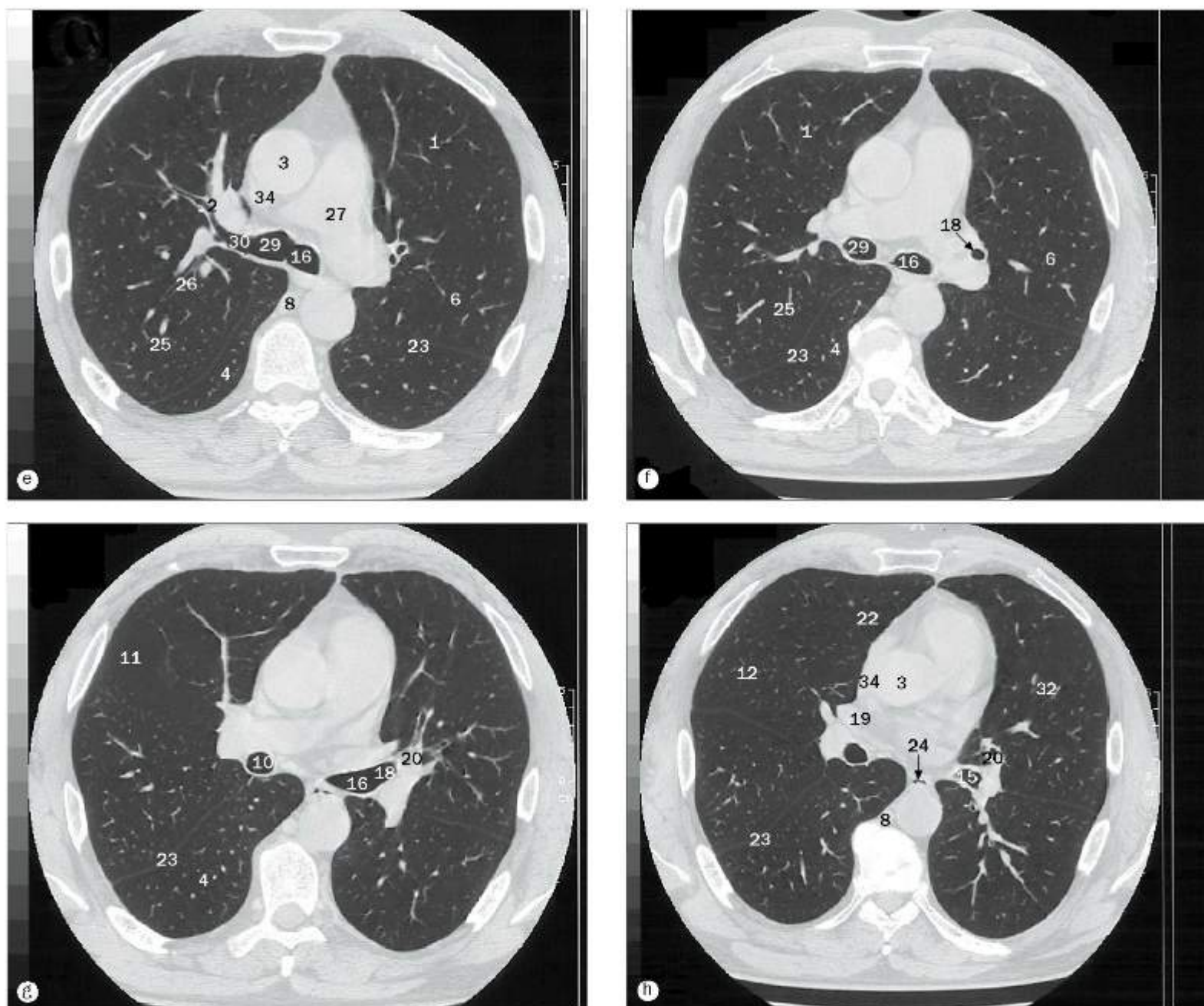


(a)-(h) Pulmões, imagens axiais de TC de alta resolução.

- 1 Segmento anterior do lobo superior
- 2 Brônquio segmentar anterior
- 3 Aorta
- 4 Segmento apical do lobo inferior
- 5 Segmento apical do lobo superior direito
- 6 Segmento apicoposterior do lobo superior esquerdo
- 7 Arco da veia ázigo

- 8 Veia ázigo
- 9 Tronco braquiocefálico
- 10 Brônquio intermédio (continuação do brônquio principal direito)
- 11 Fissura horizontal
- 12 Segmento lateral do lobo médio
- 13 Veia braquiocefálica esquerda
- 14 Artéria carótida comum esquerda

- 15 Brônquio lobar inferior esquerdo
- 16 Brônquio principal esquerdo
- 17 Artéria subclávia esquerda
- 18 Brônquio lobar superior esquerdo
- 19 Veia pulmonar direita superior
- 20 Brônquio lingular superior

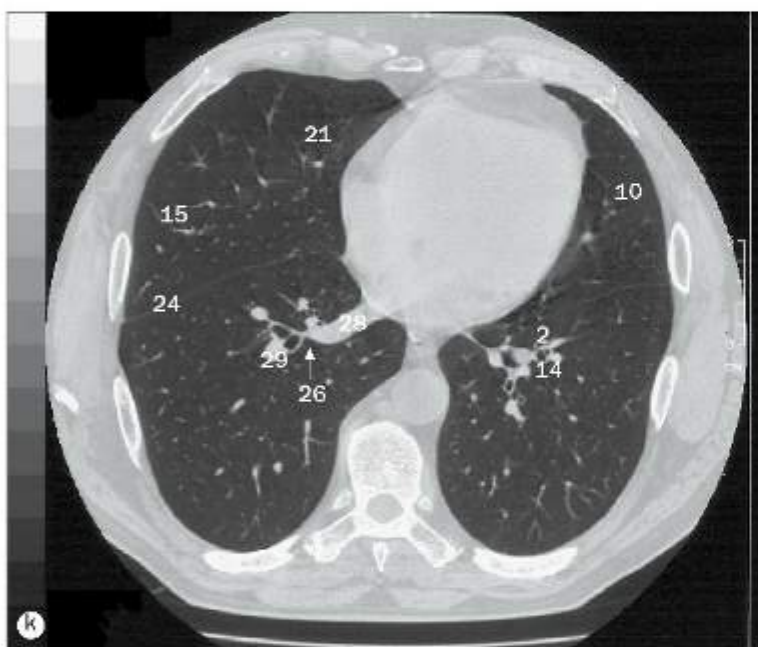
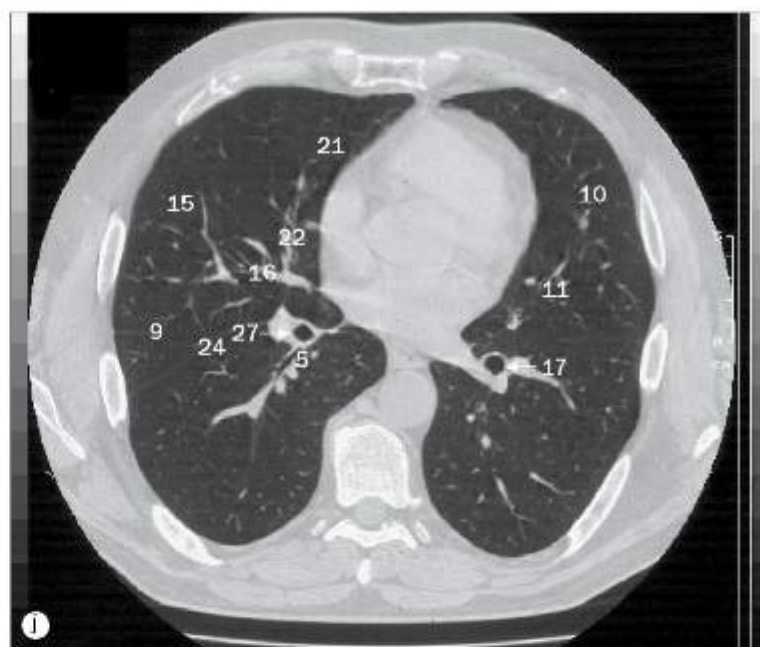
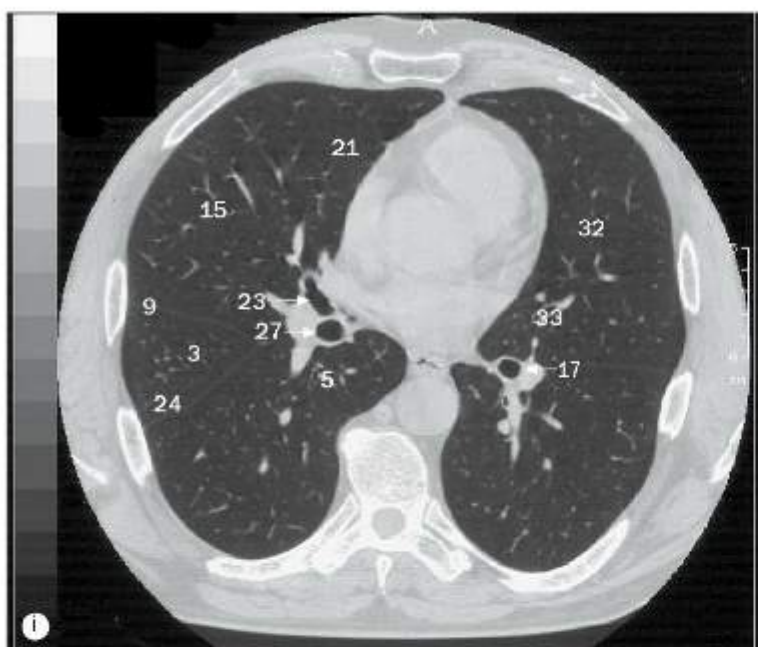


(a)-(h) Pulmões, imagens axiais de TC de alta resolução.

21 Manubrio do esterno
22 Segmento medial do lobo médio
23 Fissura oblíqua
24 Esôfago
25 Segmento posterior do lobo superior

26 Brônquio segmentar posterior
27 Artéria pulmonar
28 Veia braquiocefálica direita
29 Brônquio principal direito
30 Brônquio lobar superior direito

31 Esterno
32 Segundo segmento lingular superior
33 Recesso pericárdico superior
34 Veia cava superior
35 Traqueia

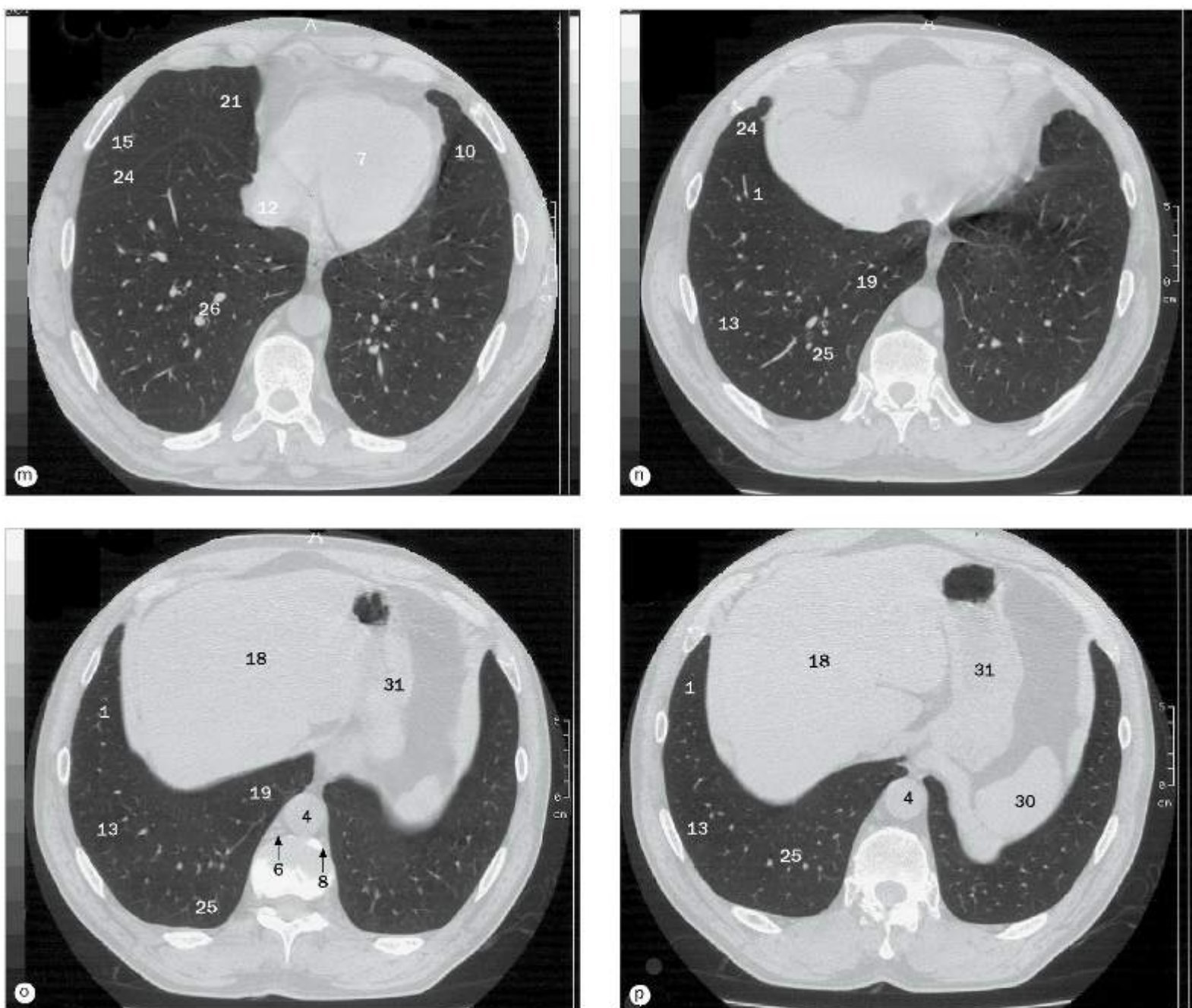


(I)-(p) Pulmões, imagens axiais de TC de alta resolução.

- 1 Segmento basilar anterior do lobo inferior
- 2 Brônquio segmentar basilar anterior
- 3 Segmento anterior do lobo superior
- 4 Aorta
- 5 Brônquio segmentar superior do lobo inferior

- 6 Veia ázigo
- 7 Coração
- 8 Veia hemiázigo
- 9 Fissura horizontal
- 10 Segmento lingular inferior
- 11 Brônquio lingular inferior

- 12 Veia cava inferior
- 13 Segmento basilar lateral do lobo inferior
- 14 Brônquio segmentar basilar lateral
- 15 Segmento lateral do lobo médio
- 16 Brônquio segmentar lateral do lobo médio
- 17 Brônquio lobar inferior esquerdo

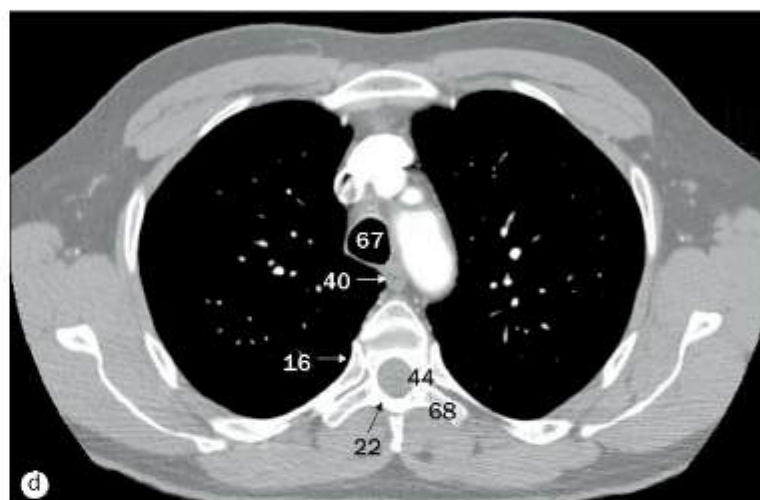
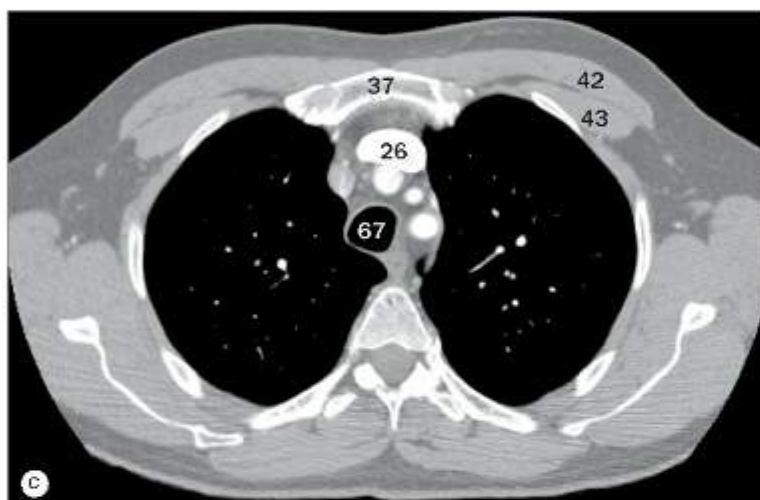
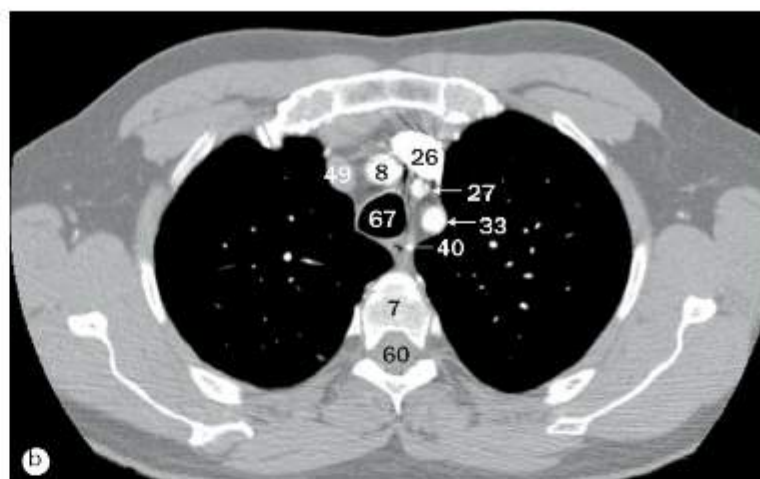
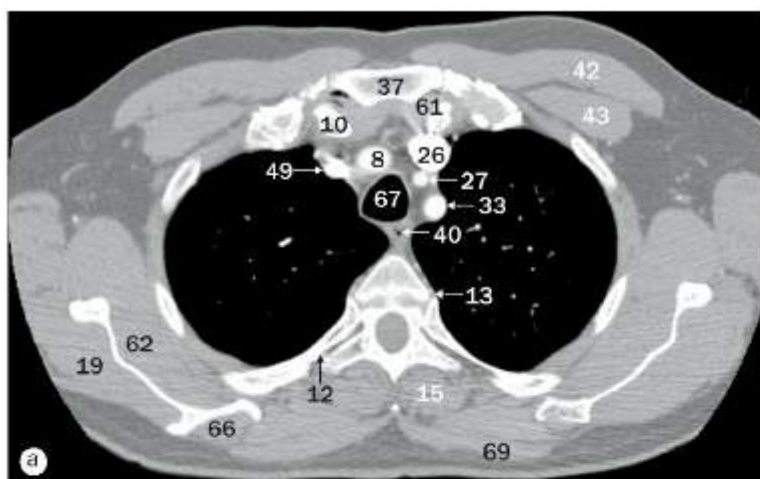


(l)–(p) Pulmões, imagens axiais de TC de alta resolução.

18 Fígado
19 Segmento basilar medial do lobo inferior
20 Brônquio segmentar basilar medial
21 Segmento medial do lobo médio
22 Brônquio segmentar medial do lobo médio
23 Brônquio lobar médio

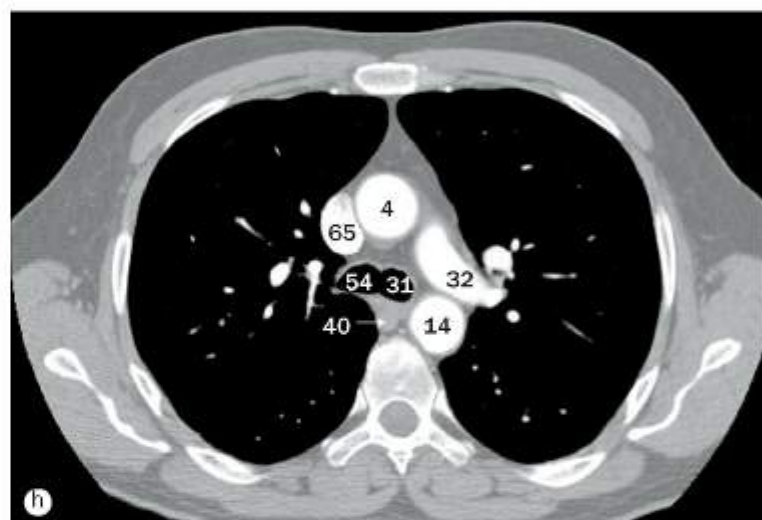
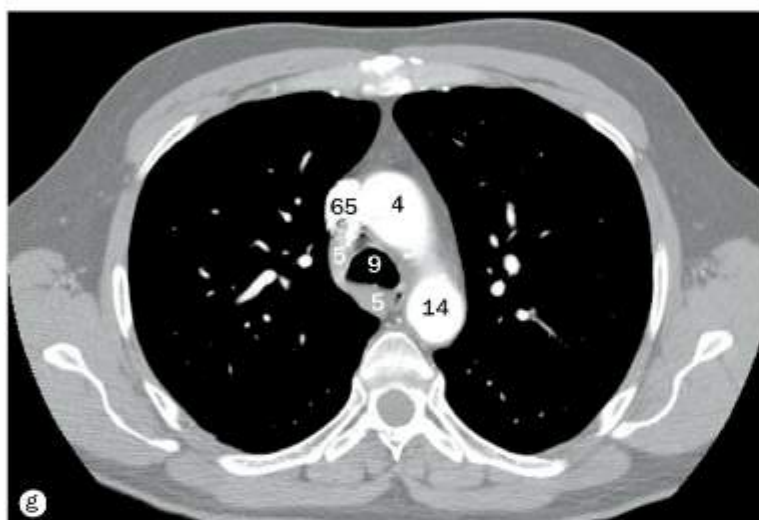
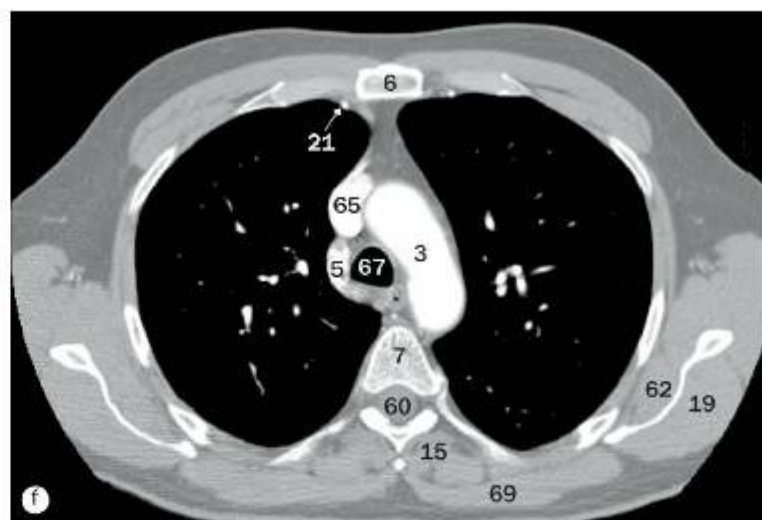
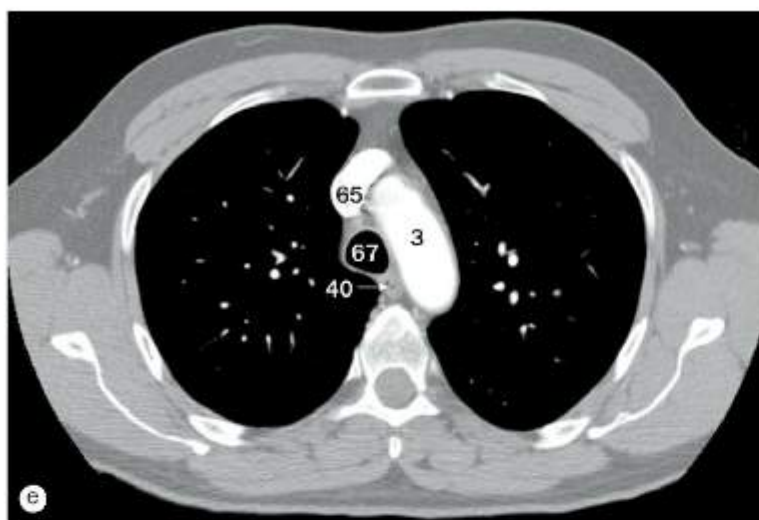
24 Fissura oblíqua
25 Segmento basilar posterior do lobo inferior
26 Brônquio segmentar basilar posterior
27 Brônquio lobar inferior direito
28 Veia pulmonar direita inferior

29 Ramo lobar inferior da artéria pulmonar direita
30 Baço
31 Estômago
32 Segmento lingular superior
33 Brônquio lingular superior



(a)-(t) Tórax, imagens axiais de TC do mediastino.

- | | | |
|--|------------------------------------|-------------------------------------|
| 1 Ramo interventricular anterior da artéria coronária esquerda | 12 Articulação costotransversária | 24 Aurícula esquerda |
| 2 Valva da aorta | 13 Articulação costovertebral | 25 Átrio esquerdo |
| 3 Arco da aorta | 14 Parte descendente da aorta | 26 Veia braquiocefálica esquerda |
| 4 Parte ascendente da aorta | 15 Músculo erector da espina | 27 Artéria carótida comum esquerda |
| 5 Veia ázigo | 16 Cabeça da costela | 28 Cúpula esquerda do diafragma |
| 6 Corpo do esterno | 17 Veia hemiázigo | 29 Brônquio lobar inferior esquerdo |
| 7 Corpo vertebral | 18 Veia cava inferior | 30 Veia pulmonar esquerda inferior |
| 8 Tronco braquiocefálico | 19 Músculo infraespinal | 31 Brônquio principal esquerdo |
| 9 Carina da traqueia | 20 Septo interatrial | 32 Arteria pulmonar esquerda |
| 10 Clavícula | 21 Artéria e veia torácica interna | 33 Artéria subclávia esquerda |
| 11 Seio coronário | 22 Lâmina do arco vertebral | 34 Brônquio lobar superior esquerdo |
| | 23 Músculo latíssimo do dorso | 35 Veia pulmonar esquerda superior |

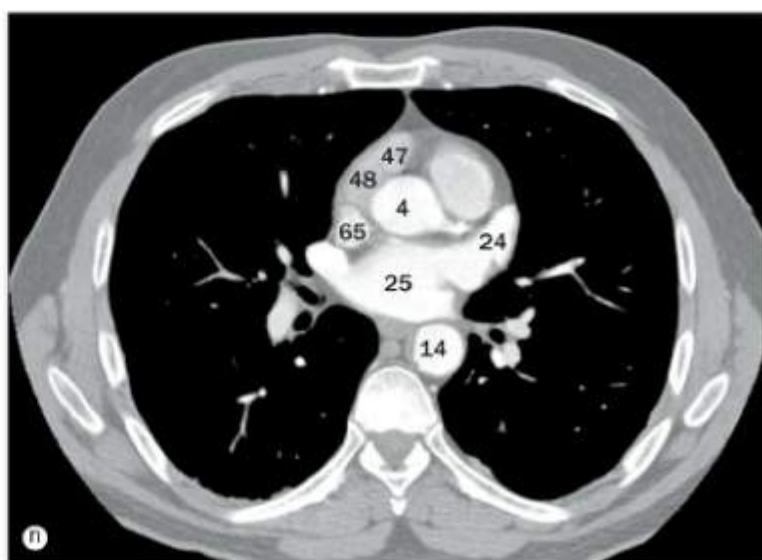
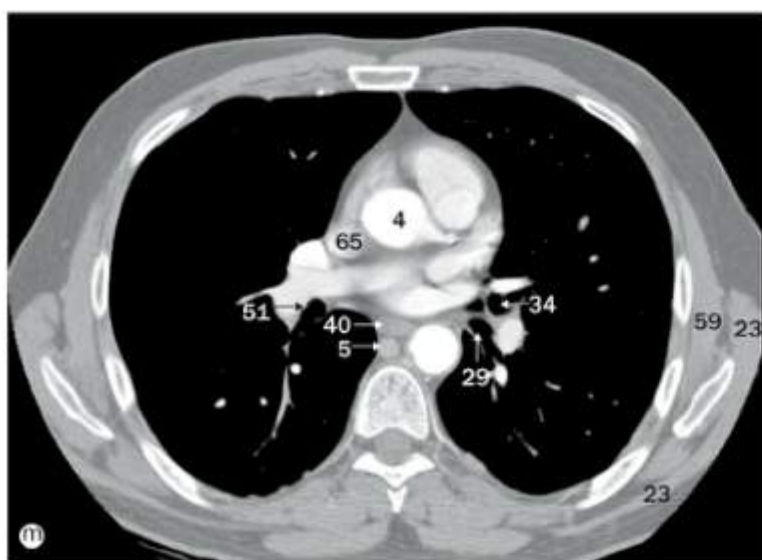
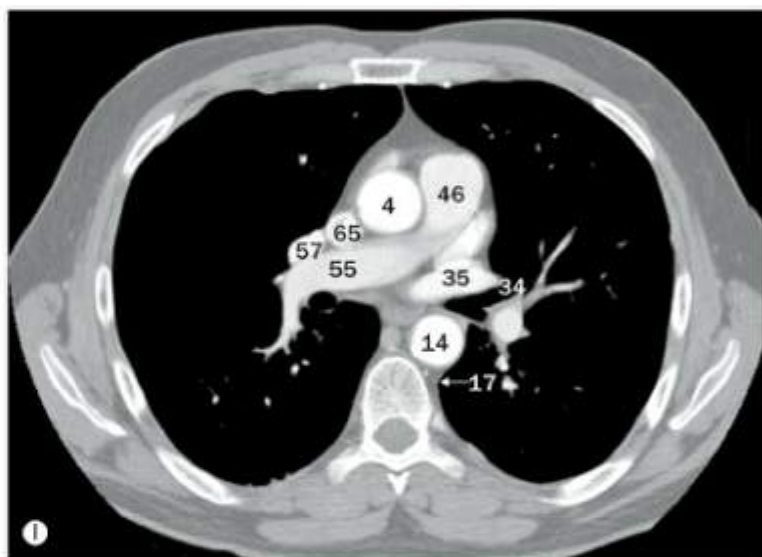
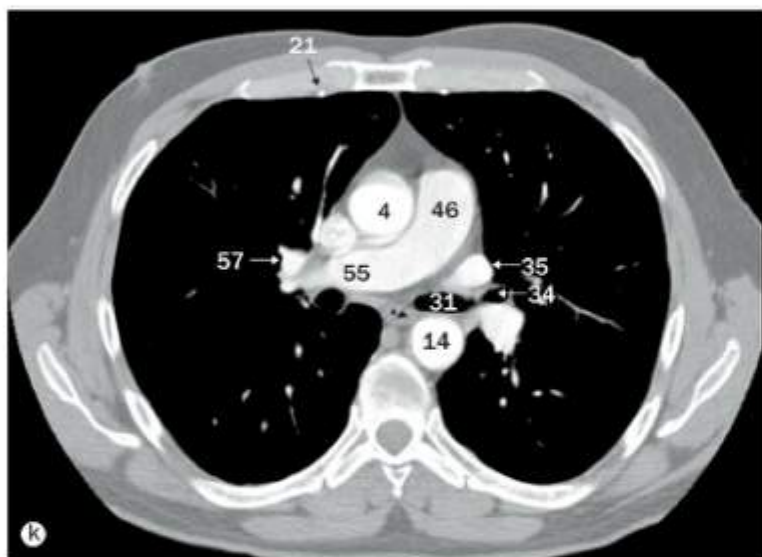
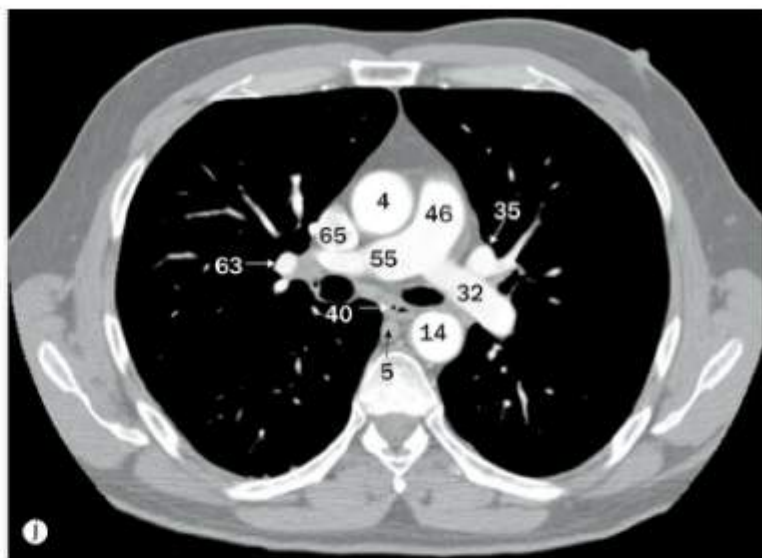


(a)-(t) Tórax, imagens axiais de TC do mediastino.

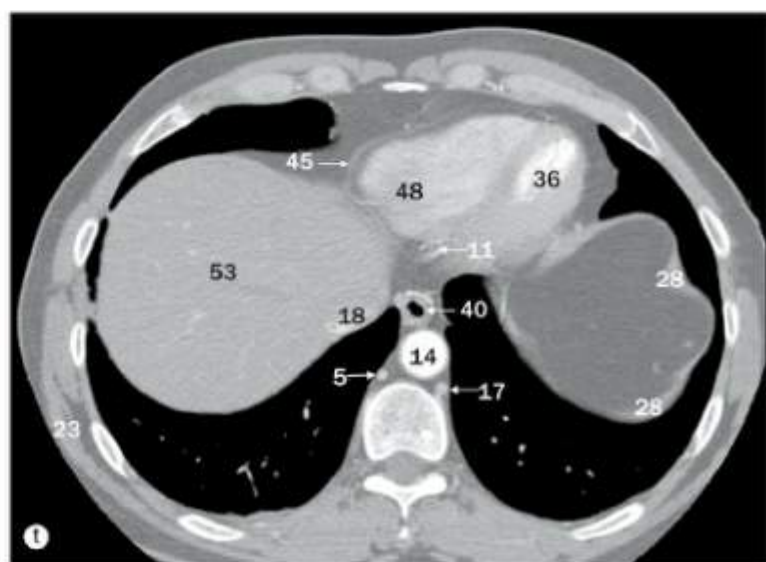
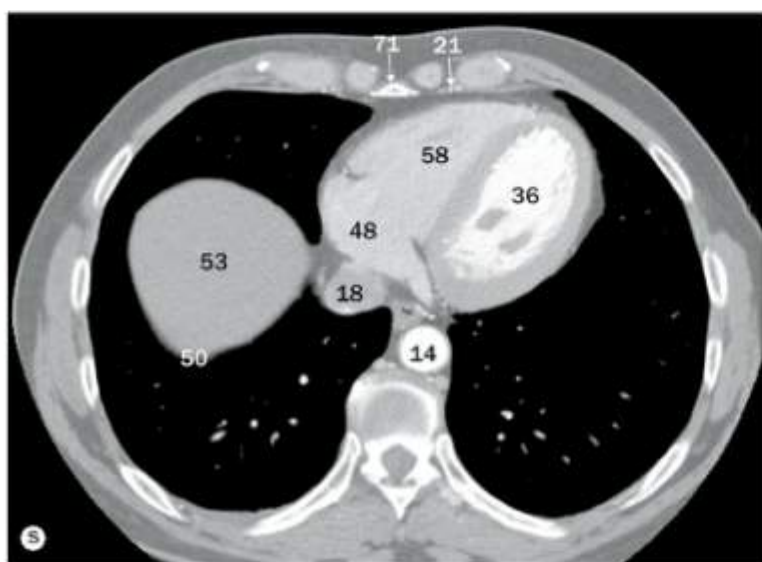
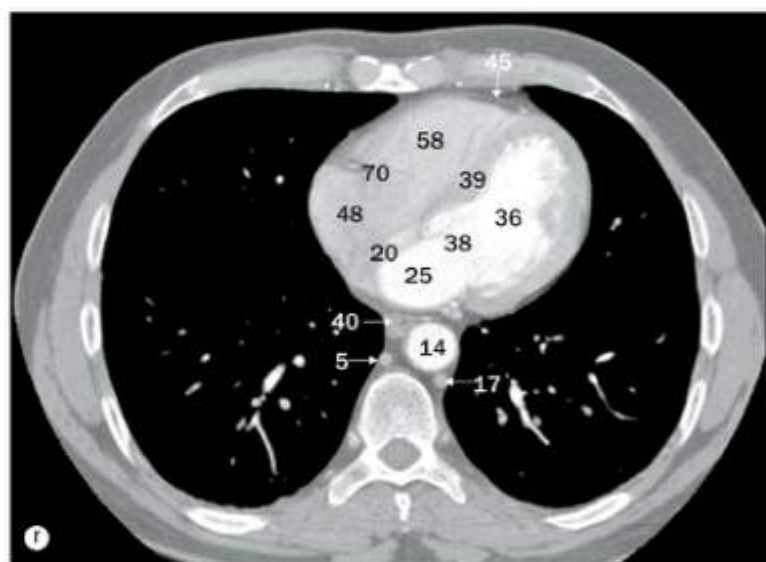
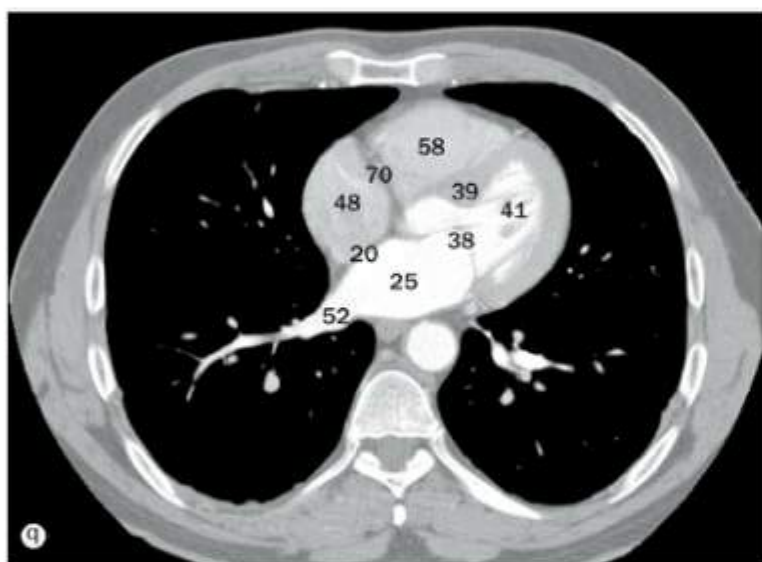
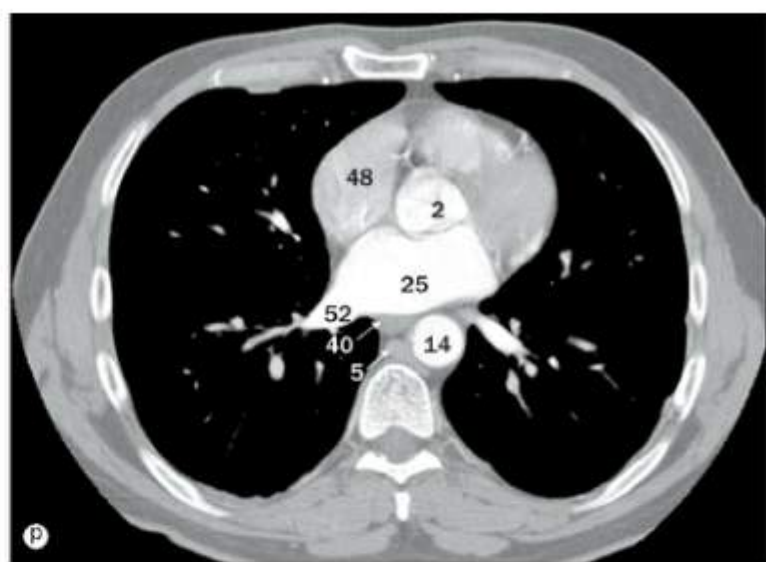
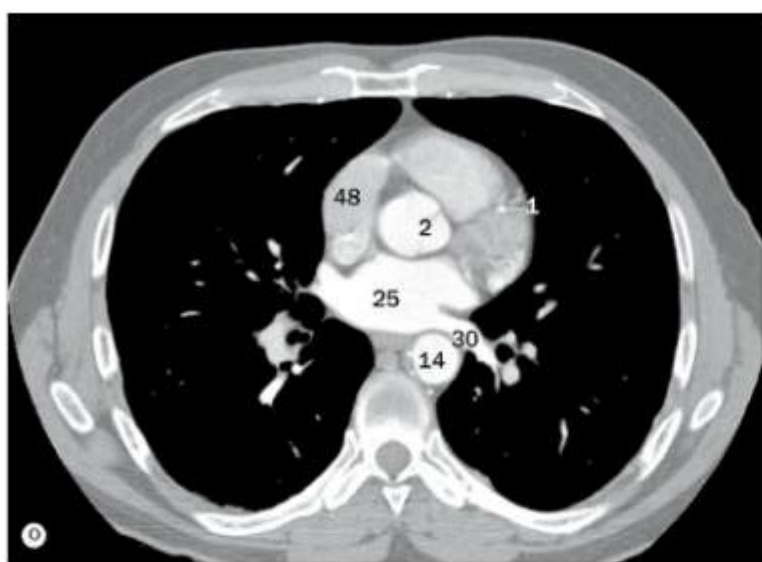
- 36 Ventrículo esquerdo
- 37 Manubrio do esterno
- 38 Valva atrioventricular esquerda (mitral)
- 39 Septo interventricular (parte muscular)
- 40 Esôfago
- 41 Músculos papilares
- 42 Músculo peitoral maior
- 43 Músculo peitoral menor
- 44 Pedículo do arco vertebral
- 45 Pericárdio
- 46 Tronco pulmonar
- 47 Aurícula direita
- 48 Átrio direito

- 49 Veia braquiocefálica direita
- 50 Cúpula direita do diafragma
- 51 Brônquio lobar inferior direito
- 52 Veia pulmonar direita inferior
- 53 Lobo hepático direito
- 54 Brônquio principal direito
- 55 Artéria pulmonar direita
- 56 Brônquio lobar superior direito
- 57 Veia pulmonar direita superior
- 58 Ventrículo direito
- 59 Músculo serrátil anterior
- 60 Canal vertebral
- 61 Articulação esternoclavicular

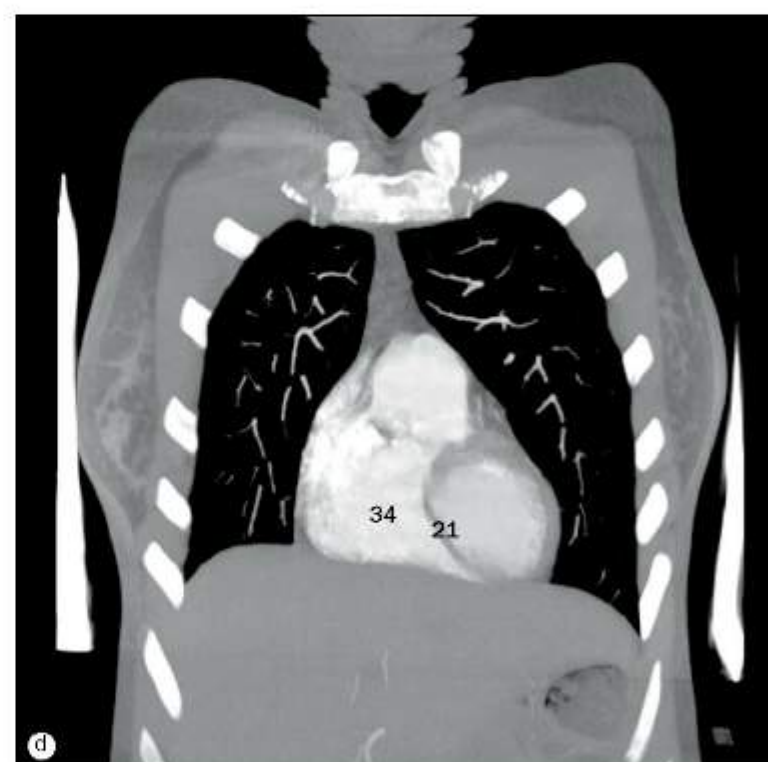
- 62 Músculo subescapular
- 63 Ramo lobar superior da artéria pulmonar direita
- 64 Recesso pericárdico superior
- 65 Veia cava superior
- 66 Músculo supraespinal
- 67 Traqueia
- 68 Processo transverso
- 69 Músculo trapézio
- 70 Valva atrioventricular direita (tricúspide)
- 71 Processo xifoide



(a)-(t) Tórax, imagens axiais de TC do mediastino. Ver referências nas páginas 96-97.



(a)-(t) Tórax, imagens axiais de TC do mediastino. Ver referências nas páginas 96-97.

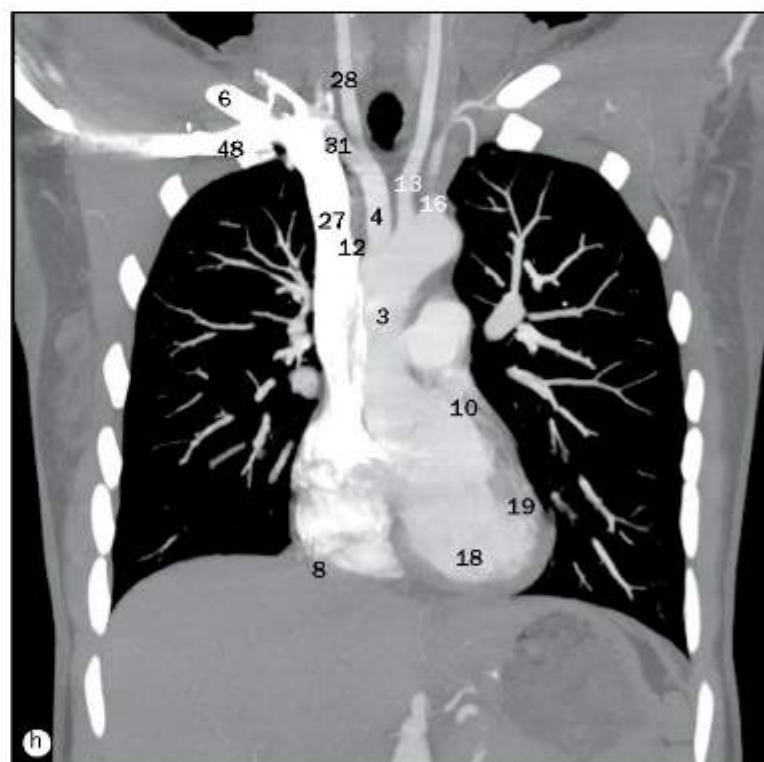
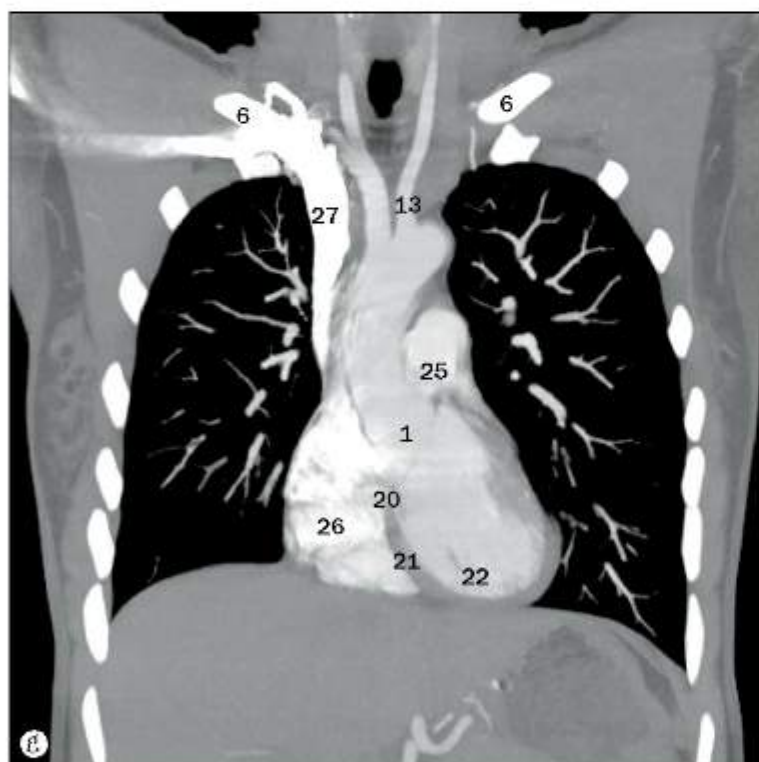
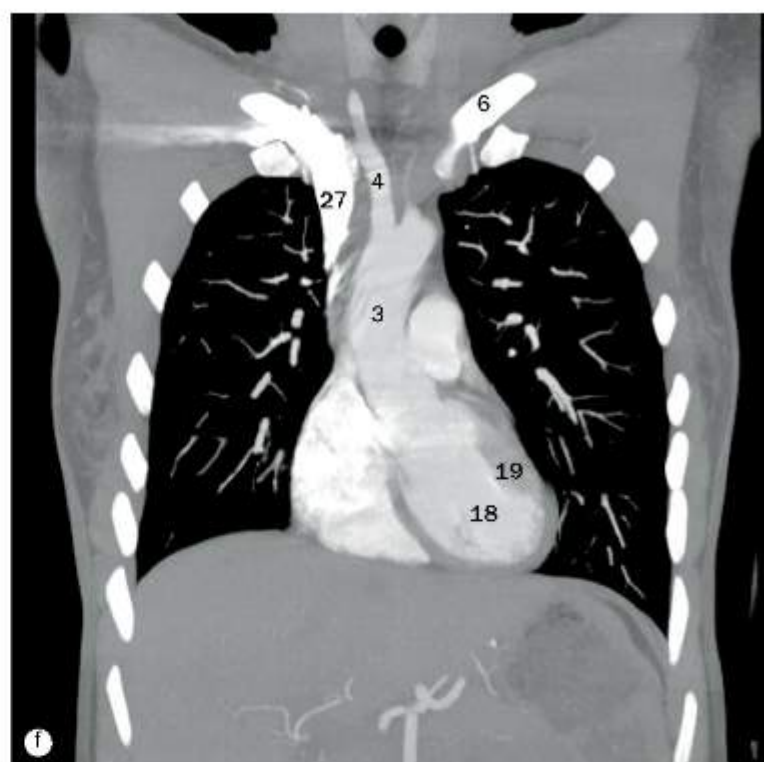


(a)-(p) Tórax, imagens coronais de TC, da região anterior para a posterior.

- 1 Valva da aorta
- 2 Arco da aorta
- 3 Parte ascendente da aorta
- 4 Tronco braquiocefálico
- 5 Carina da traqueia
- 6 Clavícula
- 7 Parte descendente da aorta
- 8 Veia cava inferior

- 9 Septo interatrial
- 10 Aurícula esquerda
- 11 Átrio esquerdo
- 12 Veia braquiocefálica esquerda
- 13 Artéria carótida comum esquerda
- 14 Brônquio principal esquerdo
- 15 Artéria pulmonar esquerda
- 16 Artéria subclávia esquerda

- 17 Veia pulmonar esquerda superior
- 18 Ventrículo esquerdo
- 19 Parede do ventrículo esquerdo
- 20 Septo interventricular – parte membranácea
- 21 Septo interventricular – parte muscular
- 22 Músculos papilares
- 23 Pericárdio
- 24 Tronco pulmonar

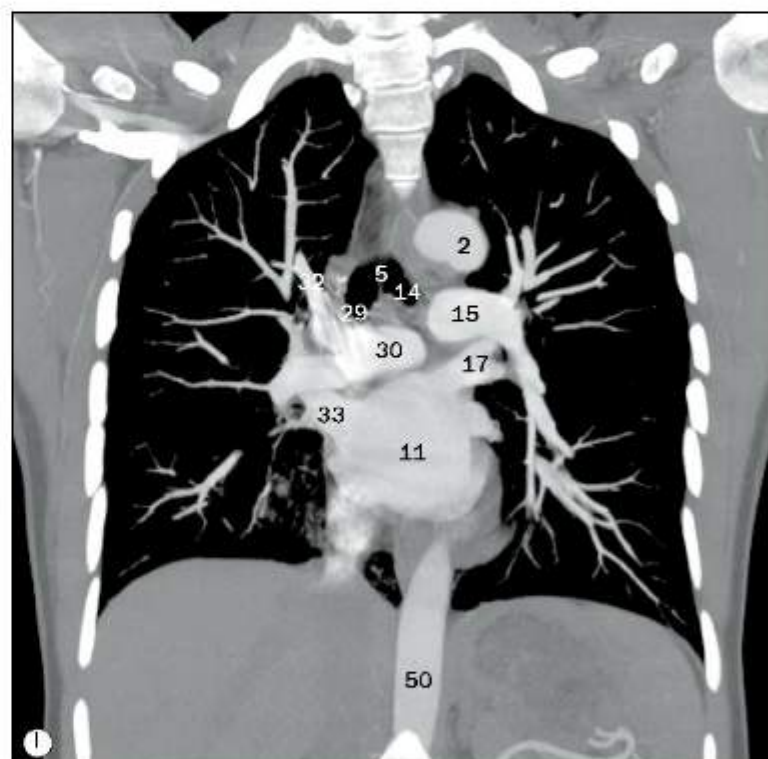
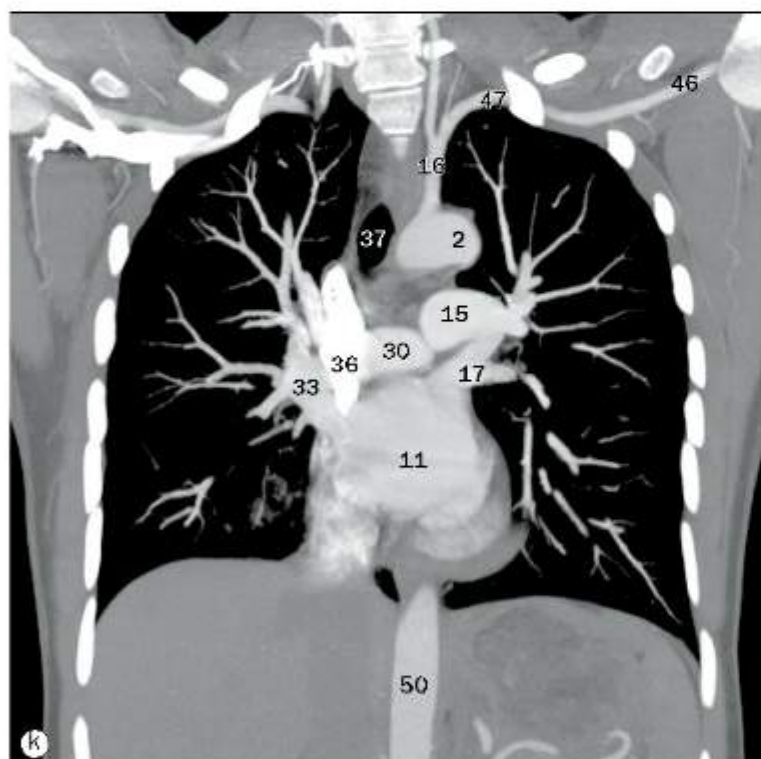
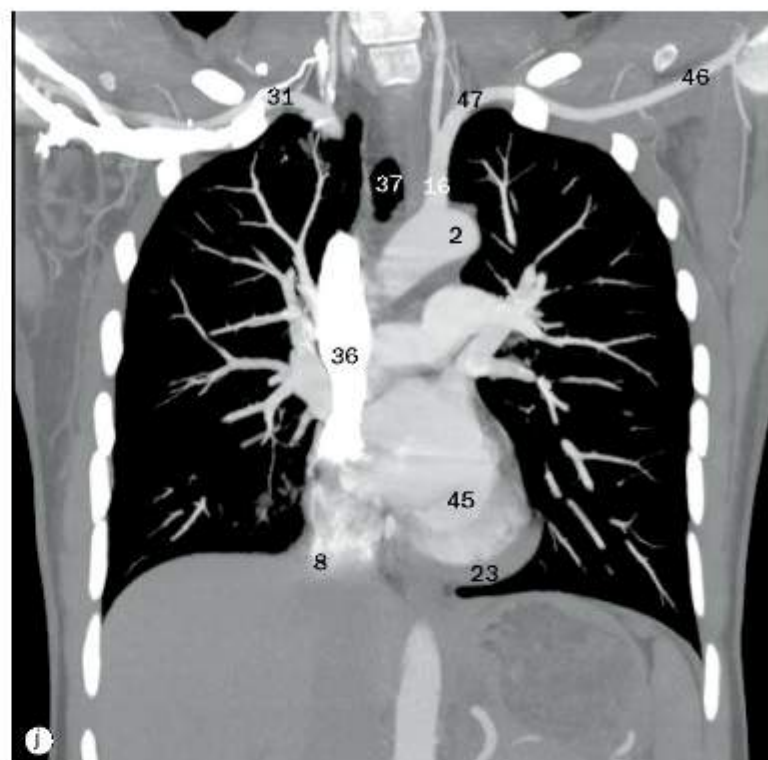
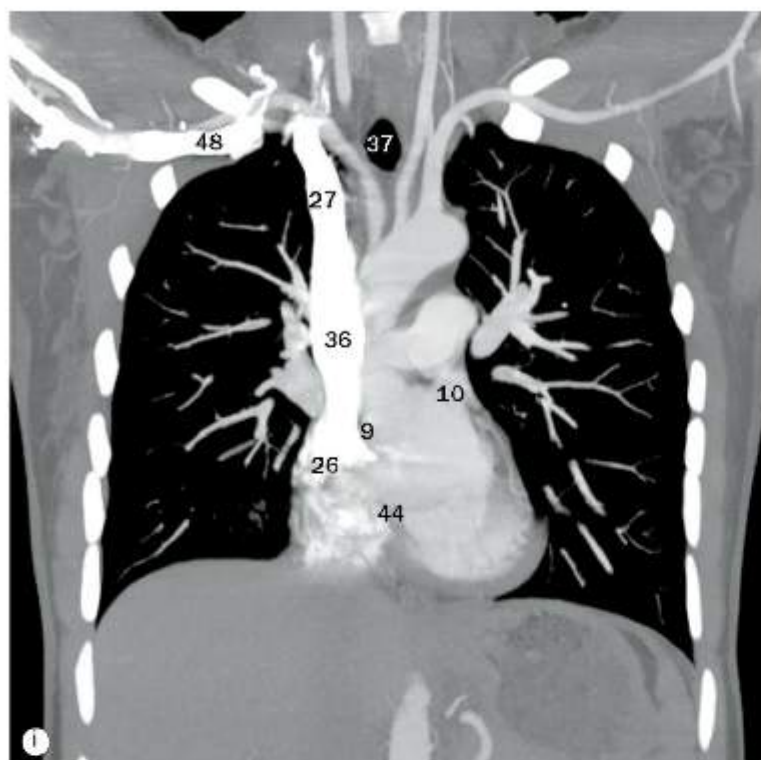


(a)-(p) Tórax, imagens coronais de TC, da região anterior para a posterior.

- 25 Valva do tronco pulmonar
- 26 Átrio direito
- 27 Veia braquiocefálica direita
- 28 Artéria carótida comum direita
- 29 Brônquio principal direito
- 30 Artéria pulmonar direita
- 31 Artéria subclávia direita
- 32 Artéria lobar superior direita
- 33 Veia pulmonar direita superior

- 34 Ventrículo direito
- 35 Parede do ventrículo direito
- 36 Veia cava superior
- 37 Traqueia
- 38 Esterno
- 39 Manubrio
- 40 Cartilagem costal
- 41 Artéria torácica interna esquerda
- 42 Artéria torácica interna direita

- 43 Processo xifoide
- 44 Valva atrioventricular direita (tricúspide)
- 45 Valva atrioventricular esquerda (mitral)
- 46 Artéria axilar esquerda
- 47 Artéria subclávia esquerda
- 48 Veia subclávia direita
- 49 Veia pulmonar esquerda inferior
- 50 Parte abdominal da aorta
- 51 Veia pulmonar direita inferior

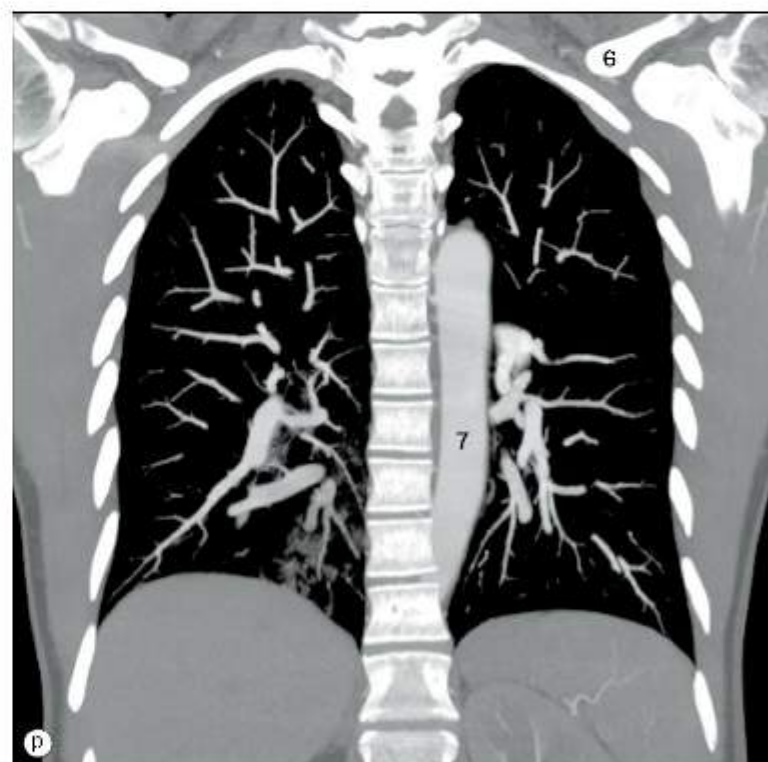
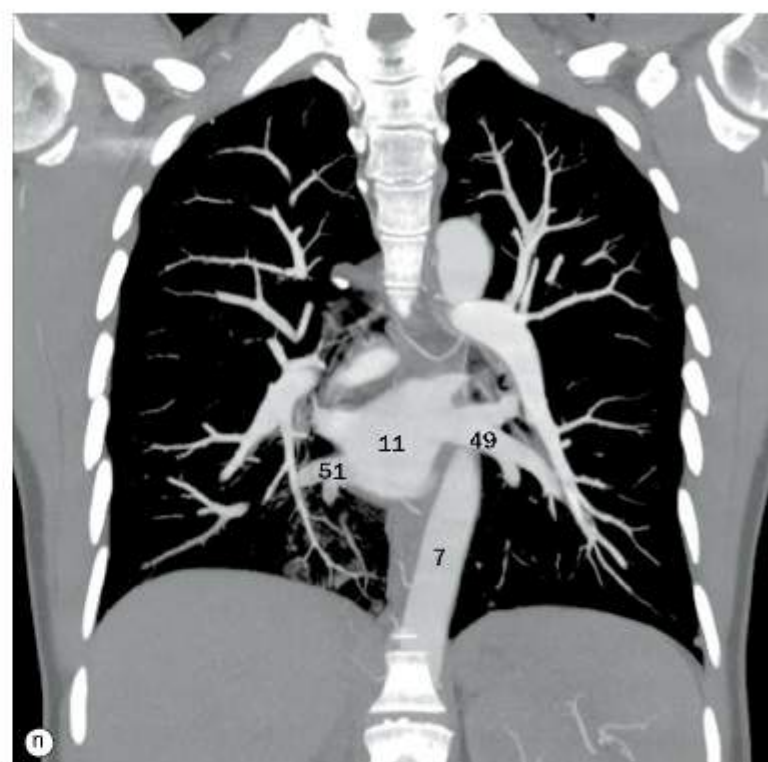
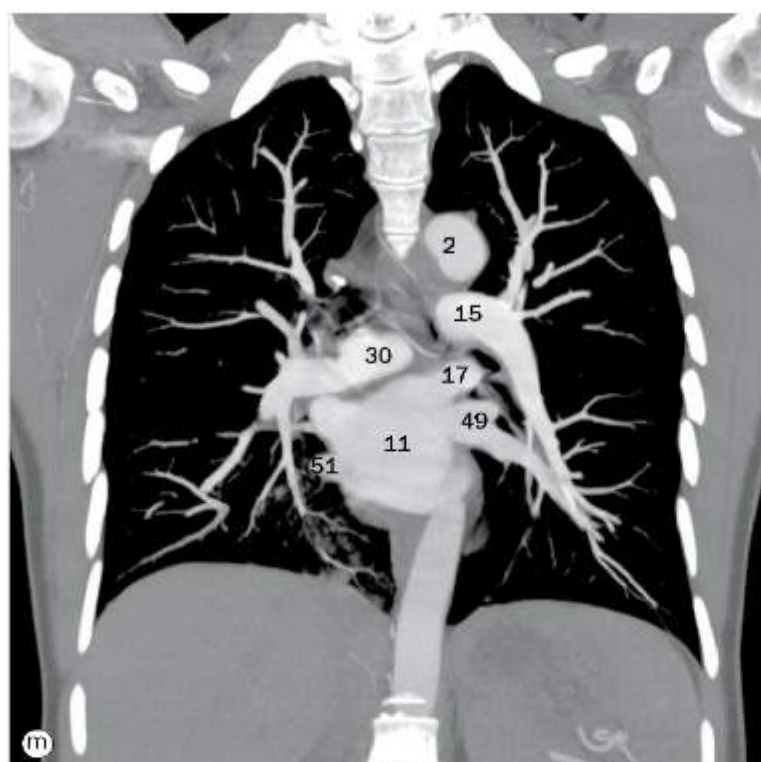


(a)-(p) Tórax, imagens coronais de TC, da região anterior para a posterior.

- 1 Valva da aorta
- 2 Arco da aorta
- 3 Parte ascendente da aorta
- 4 Tronco braquiocefálico
- 5 Carina da traqueia
- 6 Clavícula
- 7 Parte descendente da aorta
- 8 Veia cava inferior

- 9 Septo interatrial
- 10 Aurícula esquerda
- 11 Átrio esquerdo
- 12 Veia braquiocefálica esquerda
- 13 Artéria carótida comum esquerda
- 14 Brônquio principal esquerdo
- 15 Artéria pulmonar esquerda
- 16 Artéria subclávia esquerda

- 17 Veia pulmonar esquerda superior
- 18 Ventrículo esquerdo
- 19 Parede do ventrículo esquerdo
- 20 Septo interventricular – parte membranácea
- 21 Septo interventricular – parte muscular
- 22 Músculos papilares
- 23 Pericárdio
- 24 Tronco pulmonar

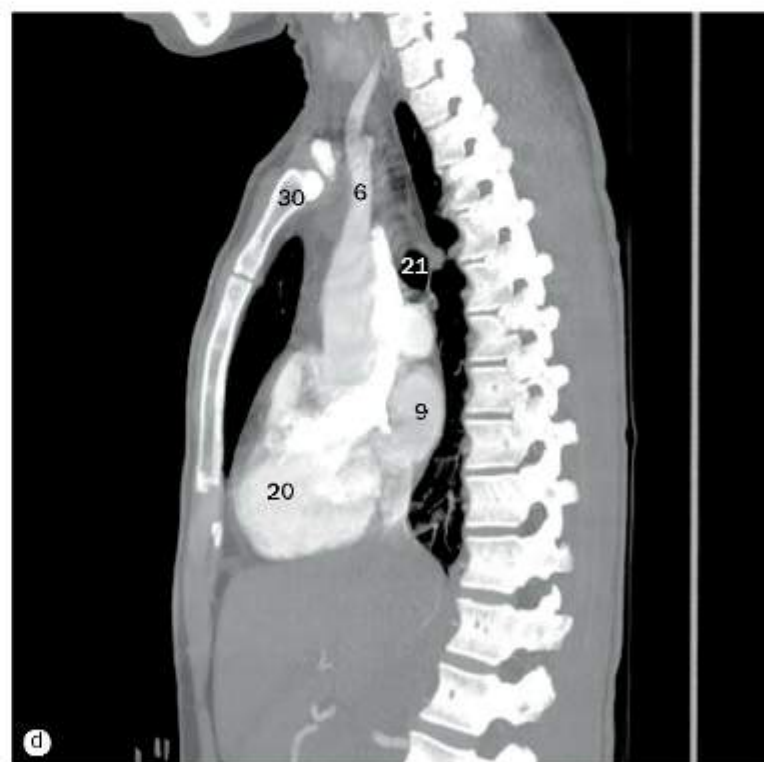
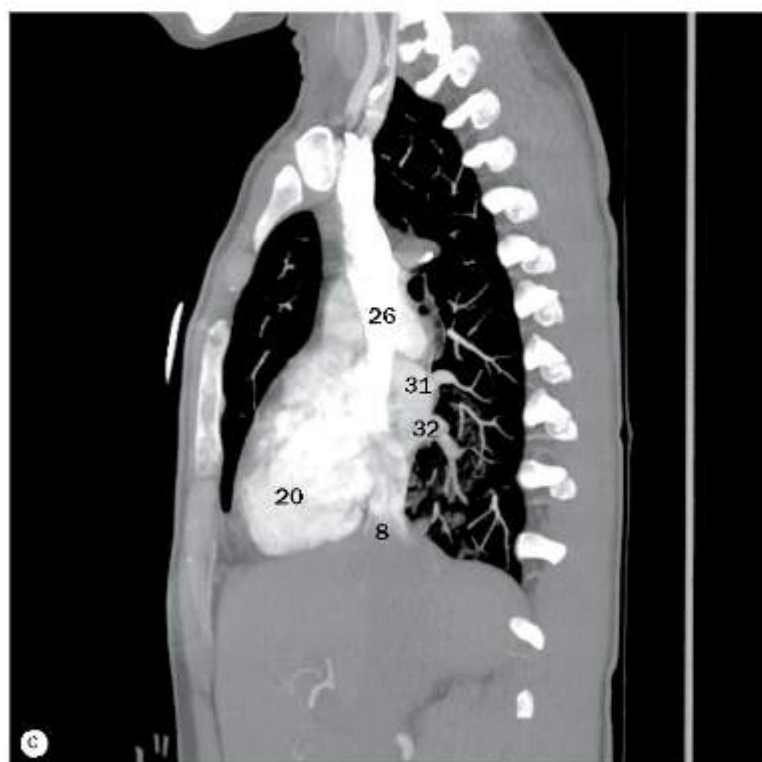
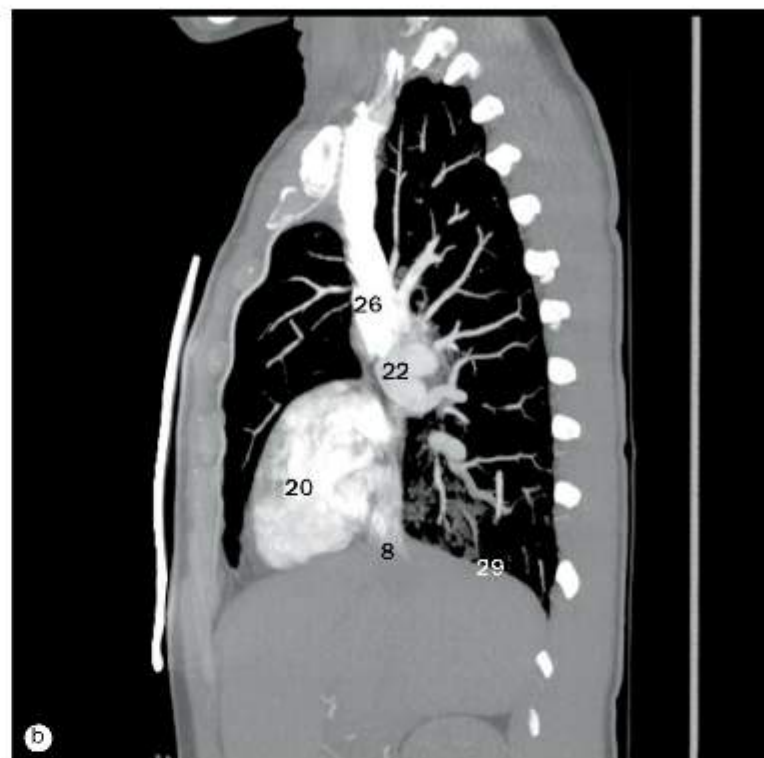
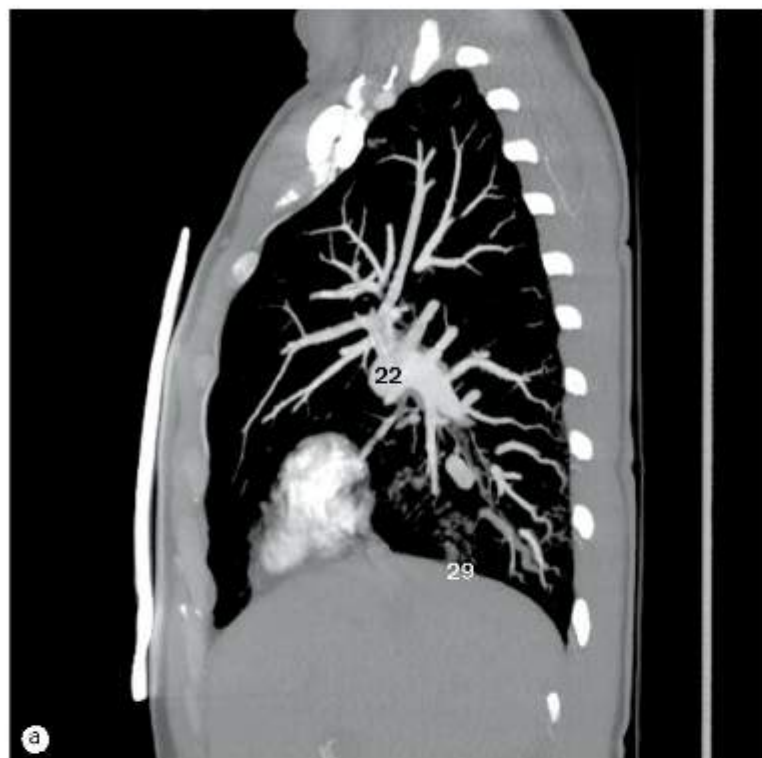


(a)-(p) Tórax, imagens coronais de TC, da região anterior para a posterior.

- 25 Valva do tronco pulmonar
- 26 Átrio direito
- 27 Veia braquiocefálica direita
- 28 Artéria carótida comum direita
- 29 Brônquio principal direito
- 30 Artéria pulmonar direita
- 31 Artéria subclávia direita
- 32 Artéria lobar superior direita
- 33 Veia pulmonar direita superior

- 34 Ventrículo direito
- 35 Parede do ventrículo direito
- 36 Veia cava superior
- 37 Traqueia
- 38 Esterno
- 39 Manubrio
- 40 Cartilagem costal
- 41 Artéria torácica interna esquerda
- 42 Artéria torácica interna direita

- 43 Processo xifoide
- 44 Valva atrioventricular direita (tricúspide)
- 45 Valva atrioventricular esquerda (mitral)
- 46 Artéria axilar esquerda
- 47 Artéria subclávia esquerda
- 48 Veia subclávia direita
- 49 Veia pulmonar esquerda inferior
- 50 Parte abdominal da aorta
- 51 Veia pulmonar direita inferior

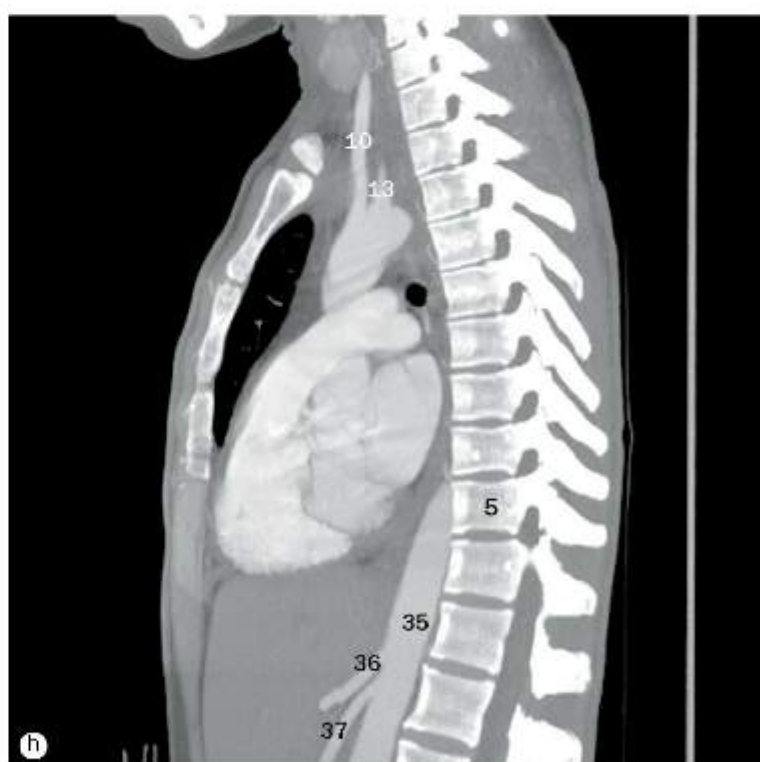
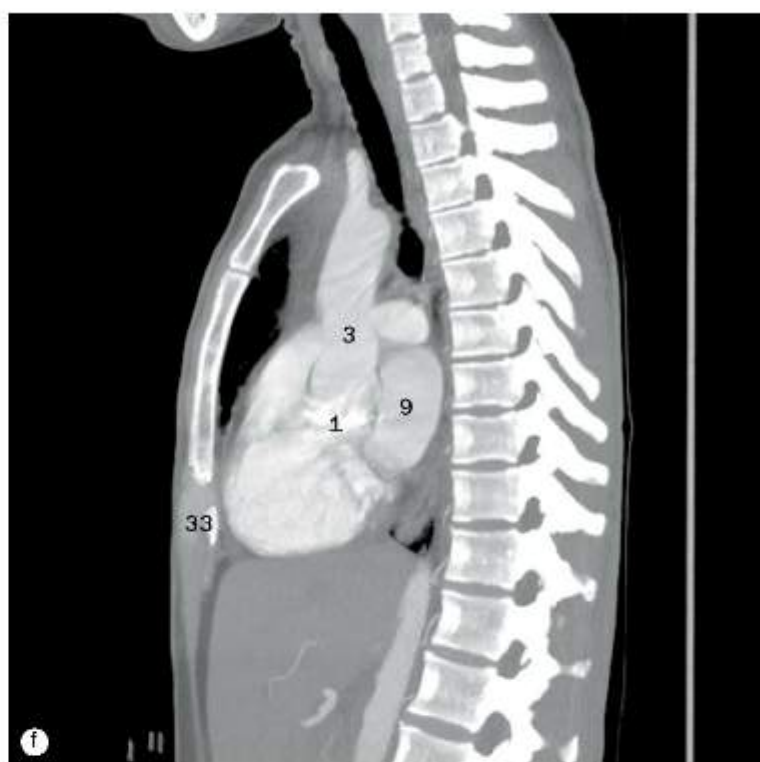


(a)-(p) Tórax, imagens sagitais de TC, da direita para a esquerda.

- 1 Valva da aorta
- 2 Arco da aorta
- 3 Parte ascendente da aorta
- 4 Corpo do esterno
- 5 Corpo vertebral
- 6 Tronco braquiocefálico
- 7 Parte descendente da aorta

- 8 Veia cava inferior
- 9 Átrio esquerdo
- 10 Artéria carótida comum esquerda
- 11 Brônquio principal esquerdo
- 12 Artéria pulmonar esquerda
- 13 Artéria subclávia esquerda
- 14 Ventrículo esquerdo

- 15 Valva atrioventricular esquerda (mitral)
- 16 Septo interventricular – parte muscular
- 17 Pericárdio
- 18 Tronco pulmonar
- 19 Valva do tronco pulmonar
- 20 Átrio direito
- 21 Brônquio principal direito

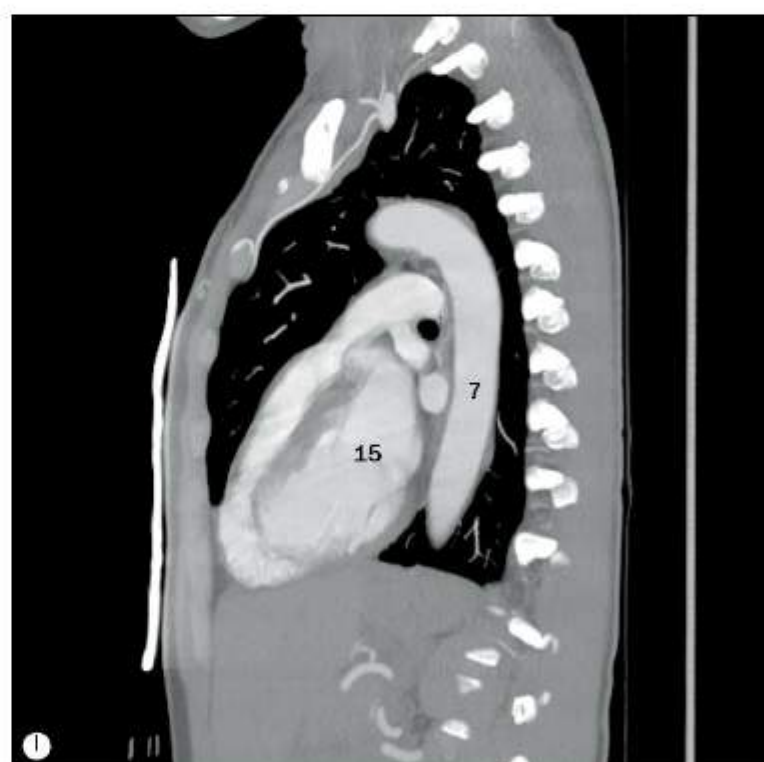
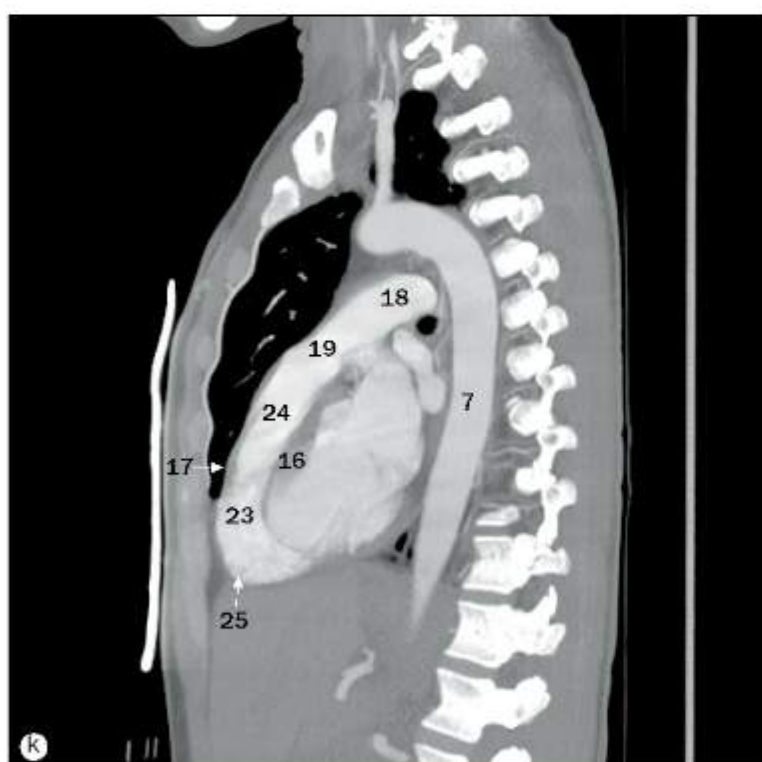
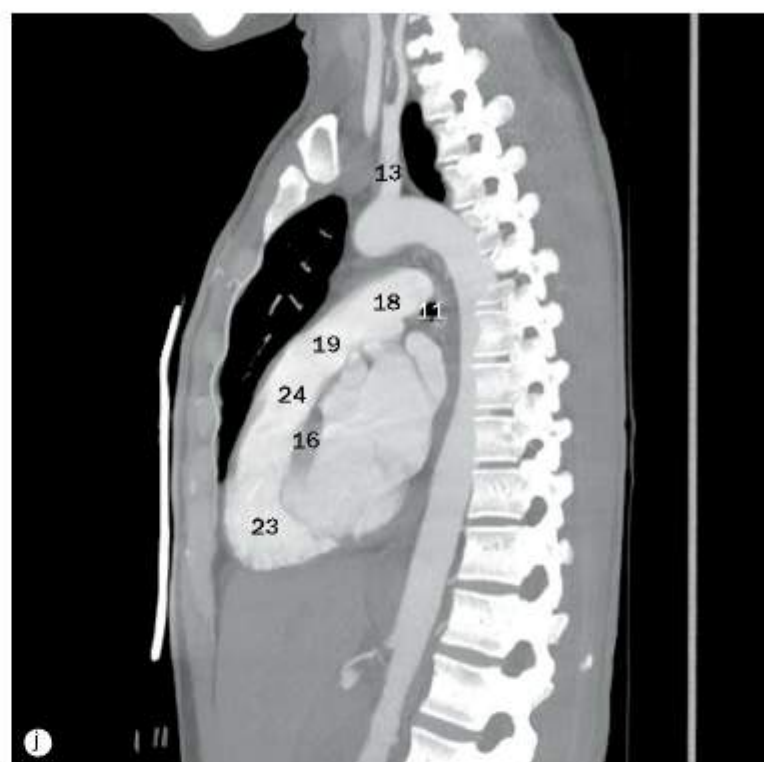
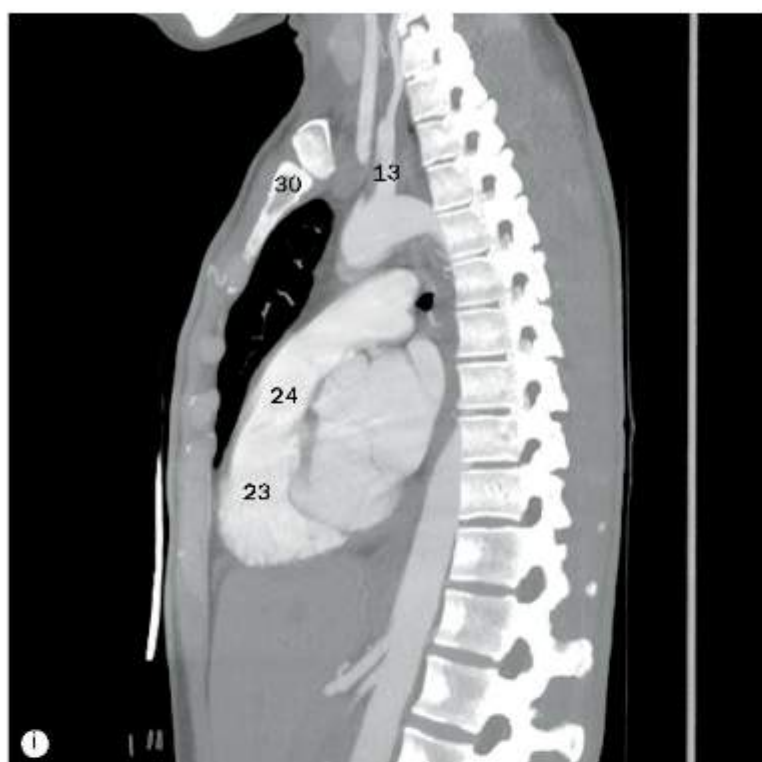


(a)-(p) Tórax, imagens sagitais de TC, da direita para a esquerda.

- 22 Artéria pulmonar direita
- 23 Ventrículo direito
- 24 Trato de fluxo de saída do ventrículo direito
- 25 Parede do ventrículo direito
- 26 Veia cava superior

- 27 Traqueia
- 28 Cúpula esquerda do diafragma
- 29 Cúpula direita do diafragma
- 30 Manúbrio
- 31 Veia pulmonar direita superior
- 32 Veia pulmonar direita inferior

- 33 Processo xifoide
- 34 Valva atrioventricular direita (tricúspide)
- 35 Parte abdominal da aorta
- 36 Tronco celiaco
- 37 Arteria mesentérica superior
- 38 Artéria coronária direita

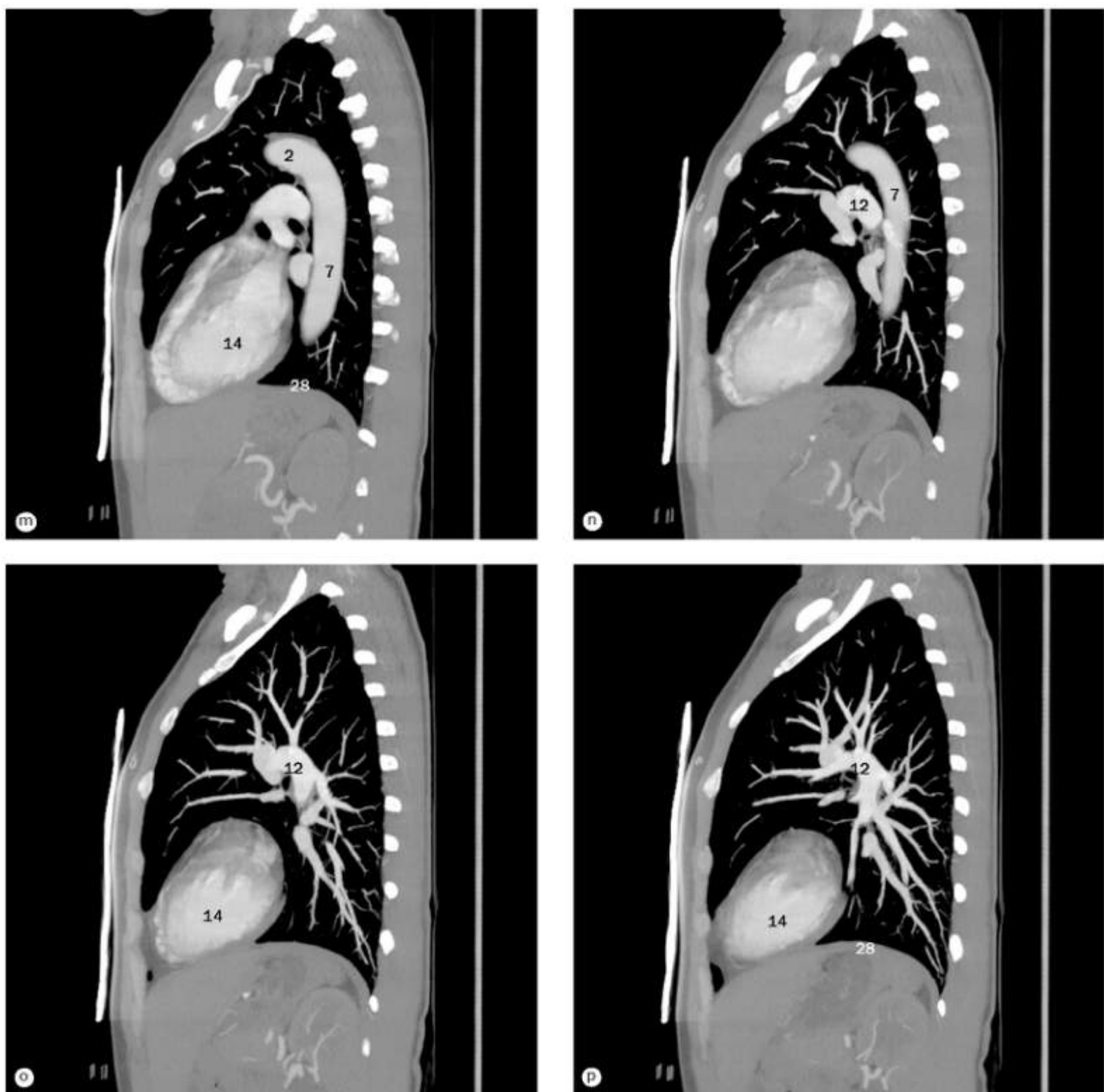


(a)-(p) Tórax, imagens sagitais de TC, da direita para a esquerda.

1. Valva da aorta
2. Arco da aorta
3. Parte ascendente da aorta
4. Corpo do esterno
5. Corpo vertebral
6. Tronco braquiocefálico
7. Parte descendente da aorta

8. Vena cava inferior
9. Átrio esquerdo
10. Artéria carótida comum esquerda
11. Brônquio principal esquerdo
12. Artéria pulmonar esquerda
13. Artéria subclávia esquerda
14. Ventrículo esquerdo

15. Valva atrioventricular esquerda (mitral)
16. Septo interventricular – parte muscular
17. Pericárdio
18. Tronco pulmonar
19. Valva do tronco pulmonar
20. Átrio direito
21. Brônquio principal direito

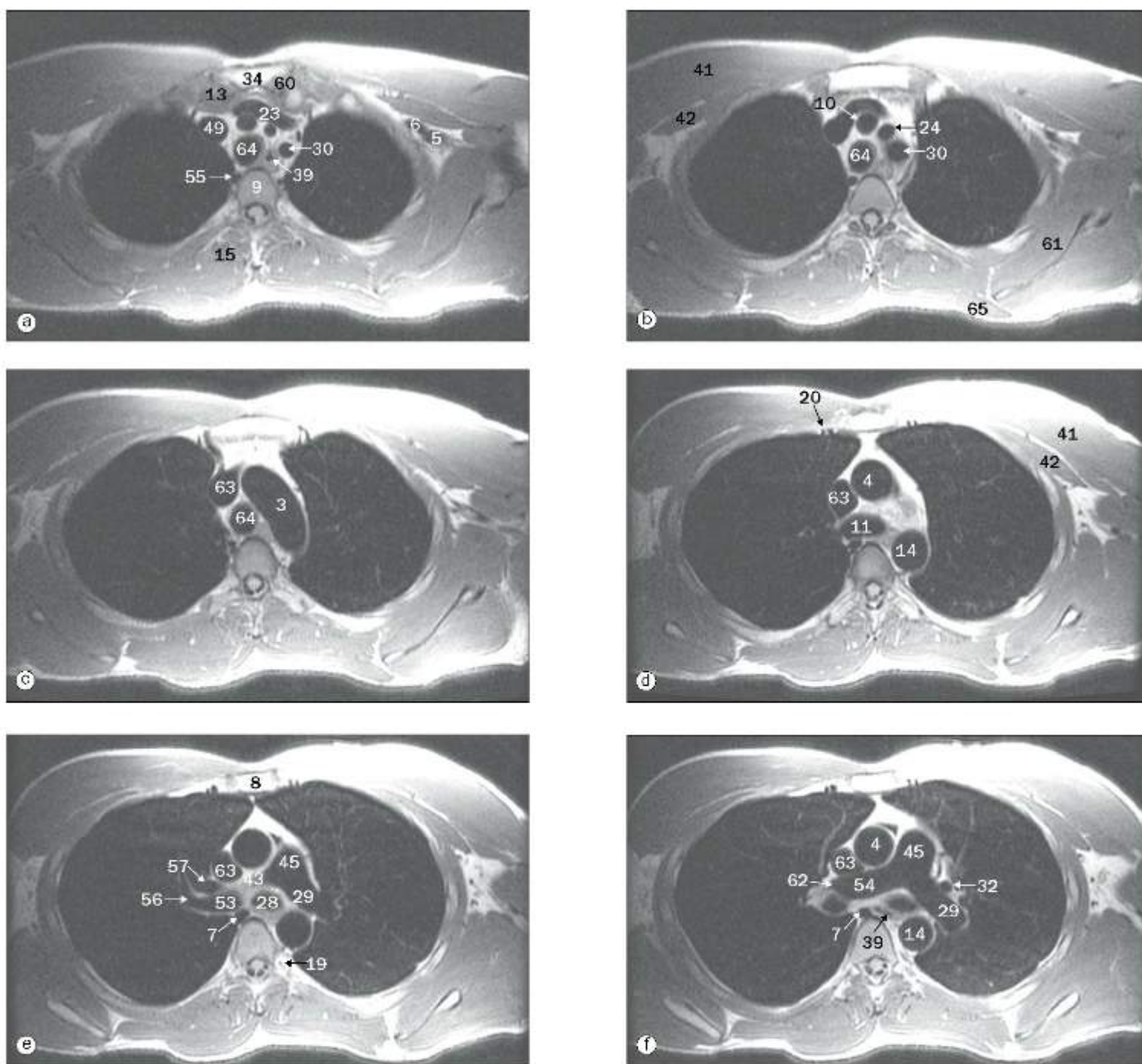


(a)-(p) Tórax, imagens sagitais de TC, da direita para a esquerda.

22 Artéria pulmonar direita
 23 Ventrículo direito
 24 Trato de fluxo de saída do ventrículo
direito
 25 Parede do ventrículo direito
 26 Veia cava superior

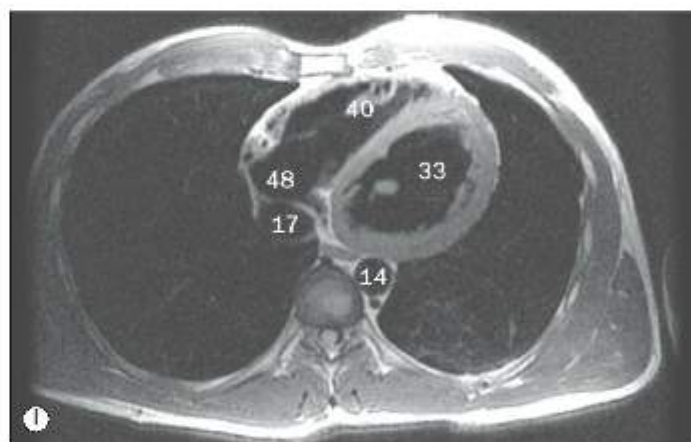
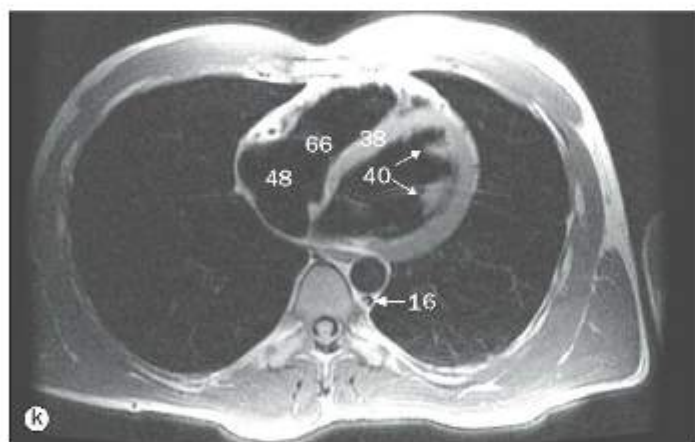
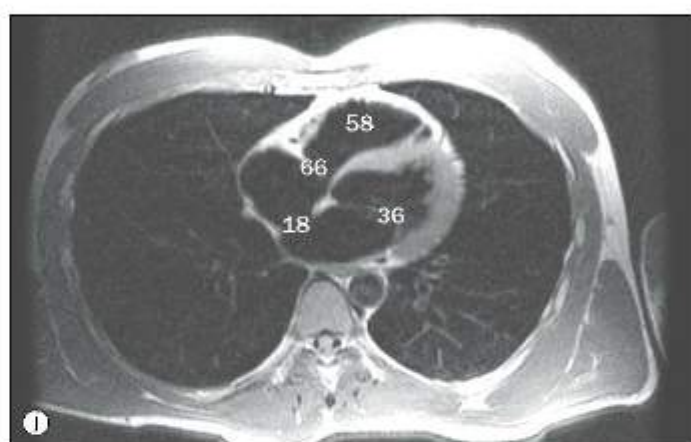
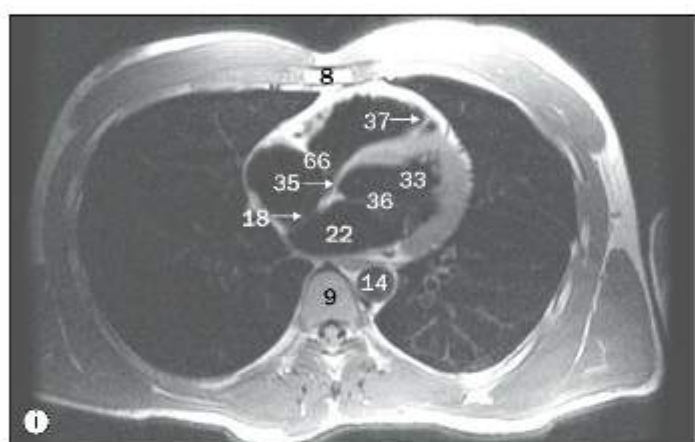
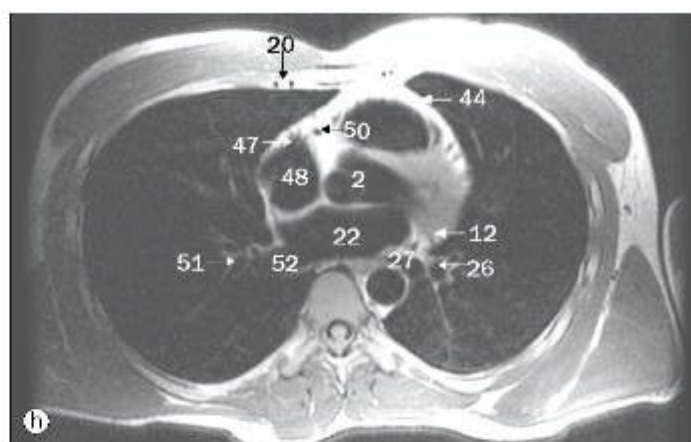
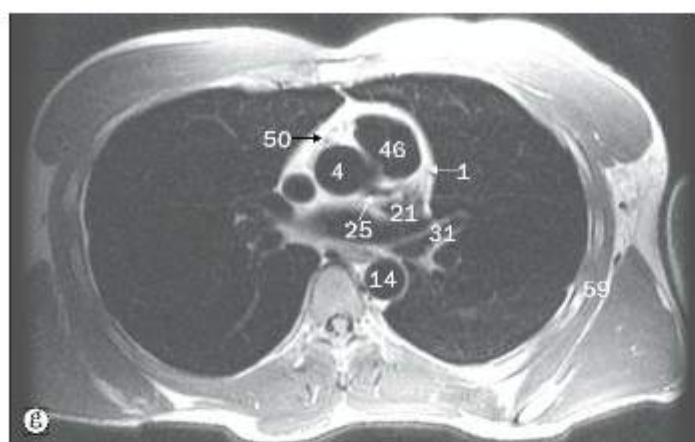
27 Traqueia
 28 Cúpula esquerda do diafragma
 29 Cúpula direita do diafragma
 30 Maníbrio
 31 Veia pulmonar direita superior
 32 Veia pulmonar direita inferior

33 Processo xifoide
 34 Valva atrioventricular direita (tricúspide)
 35 Parte abdominal da aorta
 36 Tronco celiaco
 37 Artéria mesentérica superior
 38 Artéria coronária direita



(a)-(l) Tórax, imagens axiais de RM.

- | | | |
|--|---|-------------------------------------|
| 1 Ramo interventricular anterior da artéria coronária esquerda | 12 Ramo circunflexo da artéria coronária esquerda | 23 Veia braquiocefálica esquerda |
| 2 Valva da aorta | 13 Clavícula | 24 Artéria carótida comum esquerda |
| 3 Arco da aorta | 14 Parte descendente da aorta | 25 Artéria coronária esquerda |
| 4 Parte ascendente da aorta | 15 Músculo eretor da espinha | 26 Brônquio lobar inferior esquerdo |
| 5 Artéria axilar | 16 Veia hemiázigo | 27 Vela pulmonar esquerda inferior |
| 6 Veia axilar | 17 Veia cava inferior | 28 Brônquio principal esquerdo |
| 7 Veia ázigo | 18 Septo interatrial | 29 Artéria pulmonar esquerda |
| 8 Corpo do esterno | 19 Artéria intercostal | 30 Artéria subclávia esquerda |
| 9 Corpo vertebral | 20 Artéria e vela torácicas internas | 31 Brônquio lobar superior esquerdo |
| 10 Tronco braquiocefálico | 21 Aurícula esquerda | 32 Vela pulmonar esquerda superior |
| 11 Carina da traqueia | 22 Átrio esquerdo | 33 Ventrículo esquerdo |
| | | 34 Manubrio do esterno |



(a)-(l) Tórax, imagens axiais de RM.

35 Septo interventricular – parte membranácea
36 Valva atrioventricular esquerda (mitral)
37 Trabécula septomarginal
38 Septo interventricular – parte muscular
39 Esôfago
40 Músculos papilares
41 Músculo peitoral maior
42 Músculo peitoral menor
43 Recesso pericárdico
44 Pericárdio
45 Tronco pulmonar

46 Valva do tronco pulmonar
47 Aurícula direita
48 Átrio direito
49 Veia braquiocefálica direita
50 Arteria coronária direita
51 Brônquio lobar inferior esquerdo
52 Veia pulmonar direita inferior
53 Brônquio principal direito
54 Artéria pulmonar direita
55 Veia intercostal superior direita
56 Brônquio lobar superior direito

57 Veia pulmonar direita superior
58 Ventrículo direito
59 Músculo serrátil anterior
60 Articulação esternoclavicular
61 Músculo subescapular
62 Ramo lobar superior da artéria pulmonar direita
63 Veia cava superior
64 Traqueia
65 Músculo trapézio
66 Valva atrioventricular direita (tricúspide)

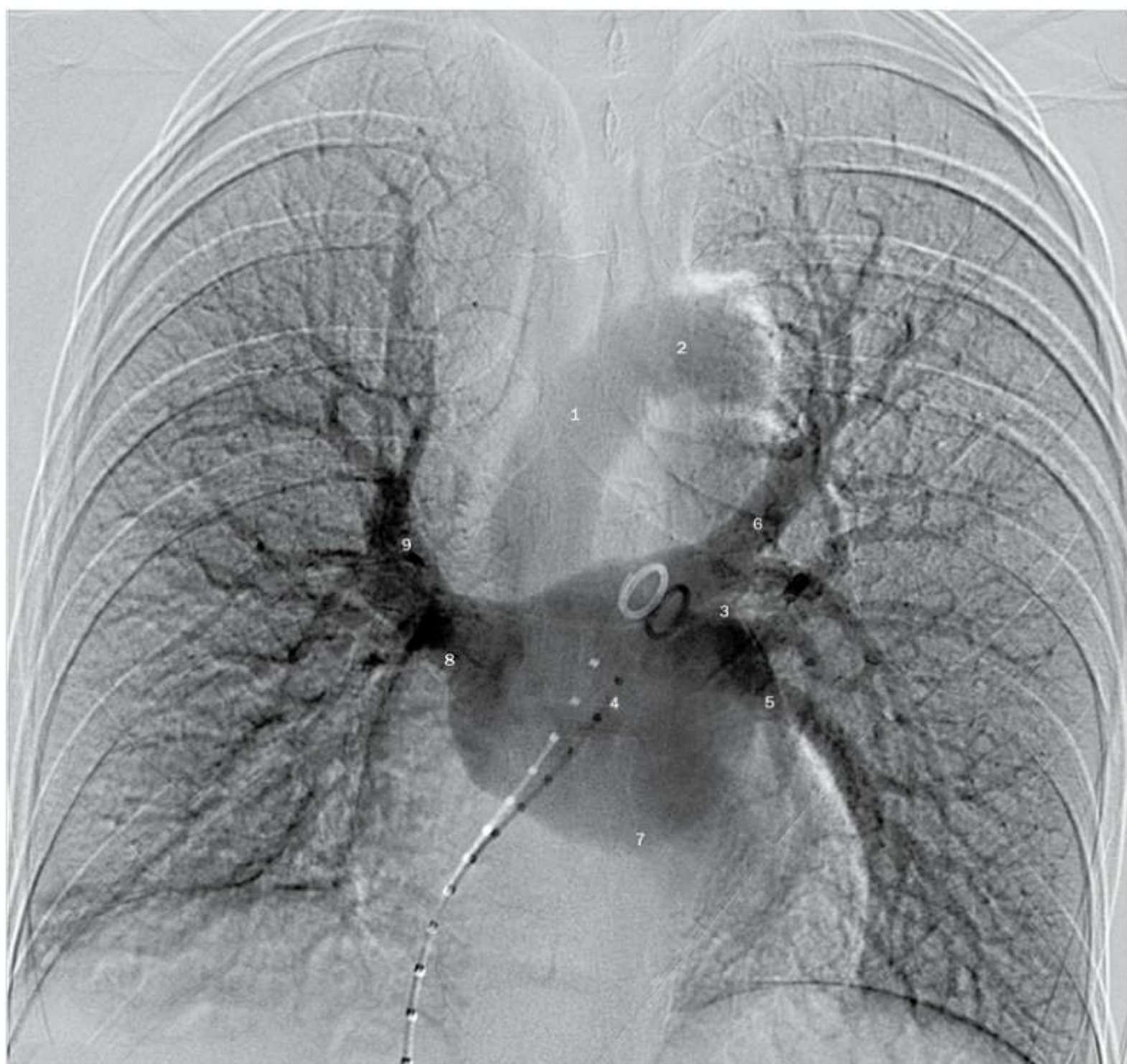


Arteriografia pulmonar, fase arterial.

- 1 Artéria segmentar anterior (lobo superior)
- 2 Artéria segmentar basilar anterior
- 3 Artéria segmentar apical (lobo superior)
- 4 Cateter no tronco pulmonar via veia femoral, veia cava inferior, átrio direito e ventrículo direito
- 5 Artéria lingular inferior

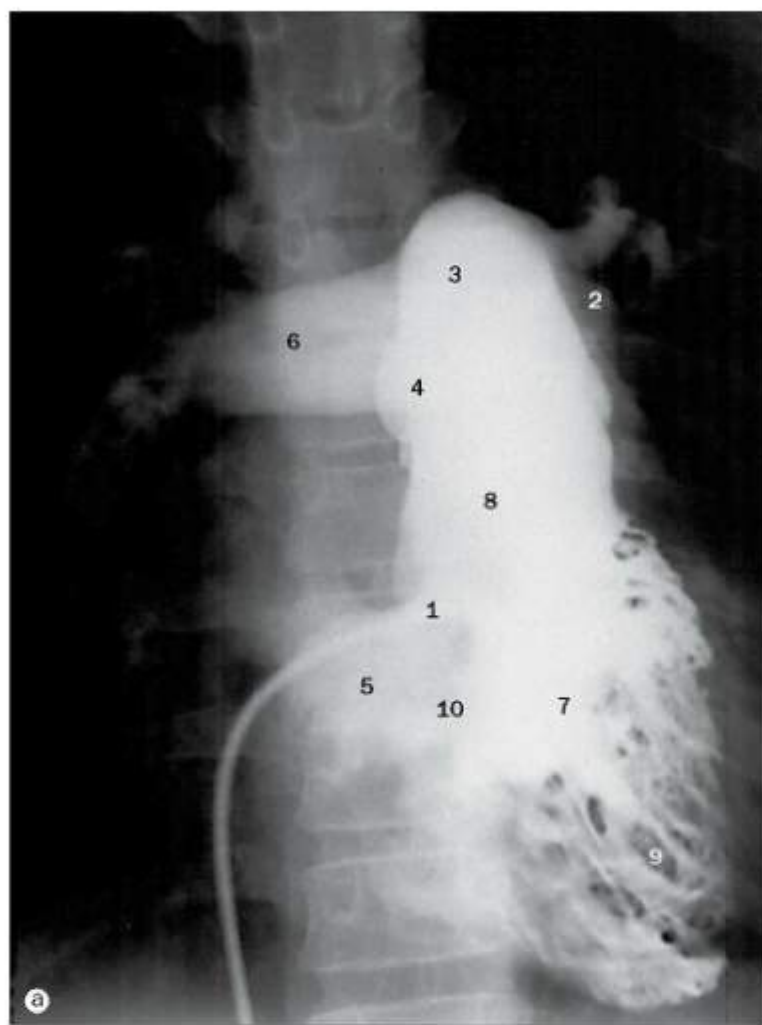
- 6 Artéria lobar inferior
- 7 Artéria segmentar lateral (lobo médio)
- 8 Artéria segmentar basilar lateral
- 9 Artéria pulmonar esquerda
- 10 Artéria segmentar medial (lobo médio)
- 11 Artéria segmentar basilar medial
- 12 Artéria lobar média

- 13 Artéria segmentar posterior (lobo superior)
- 14 Artéria segmentar basilar posterior
- 15 Artéria pulmonar direita
- 16 Artéria lingular superior
- 17 Artéria lobar superior

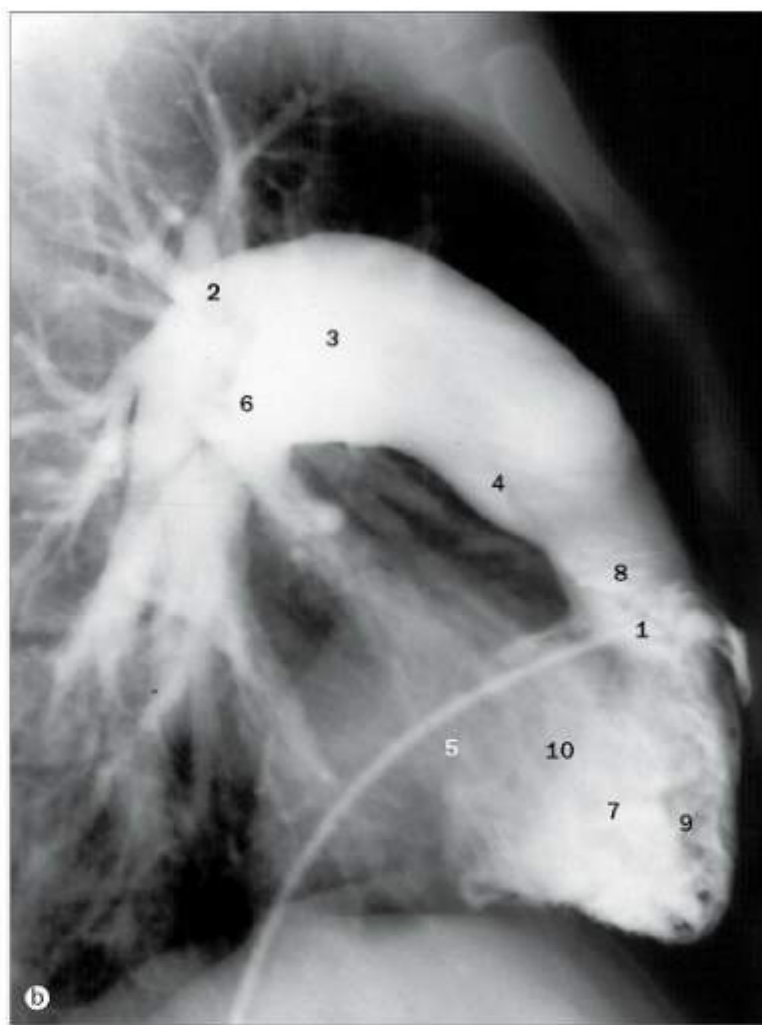


Arteriografia pulmonar, fase venosa.

- | | |
|-----------------------------------|---|
| 1 Aorta | 6 Veia pulmonar esquerda superior |
| 2 Arco da aorta | 7 Valva atrioventricular esquerda
(mitral) |
| 3 Aurícula esquerda | 8 Veia pulmonar direita inferior |
| 4 Átrio esquerdo | 9 Veia pulmonar direita superior |
| 5 Veia pulmonar esquerda inferior | |



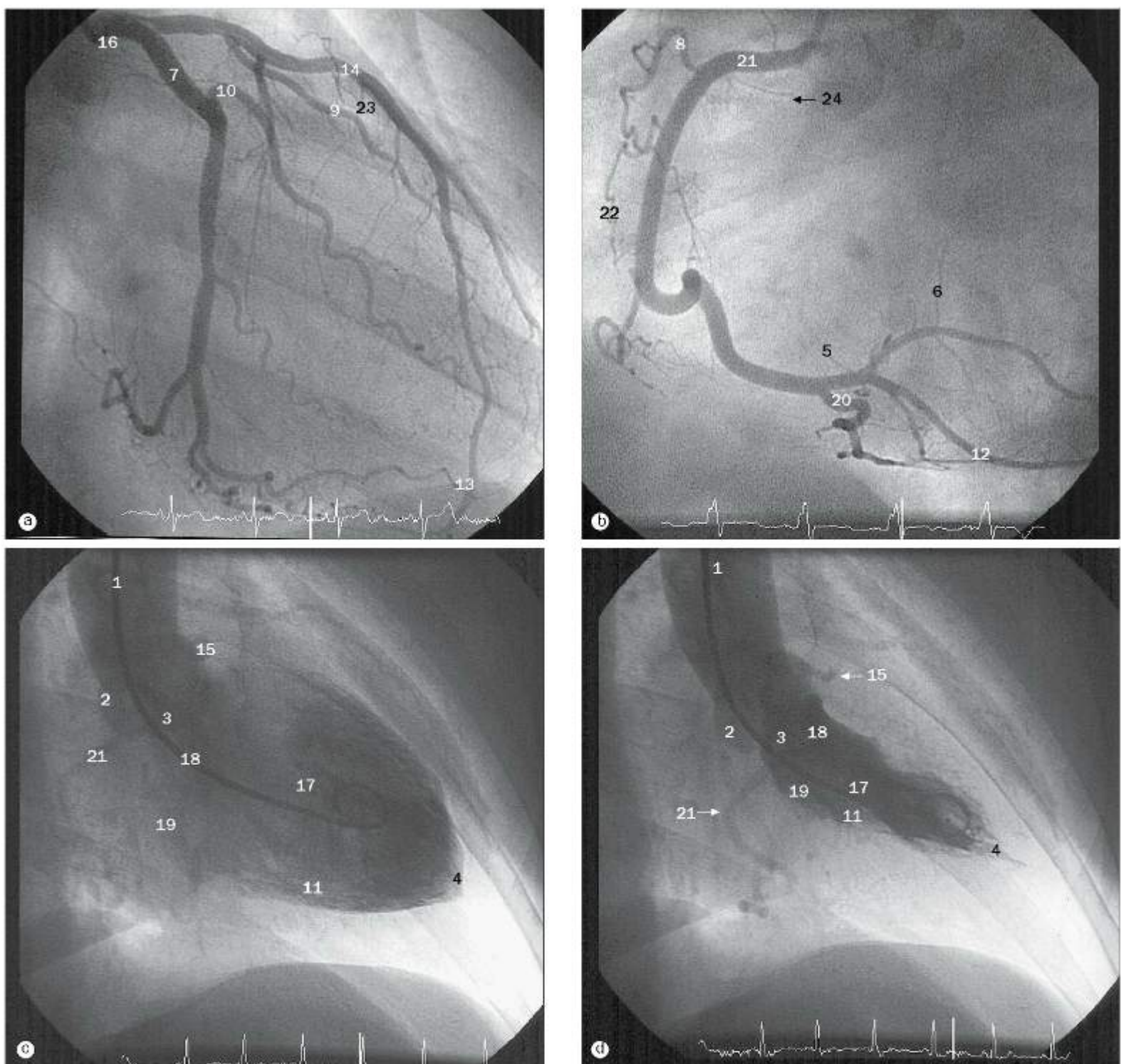
a



b

Angiografia do ventrículo direito, (a) projeção anteroposterior, (b) projeção lateral.

- 1 Cateter no ventrículo direito via veia cava inferior e átrio-direito
- 2 Artéria pulmonar esquerda
- 3 Tronco pulmonar
- 4 Valva do tronco pulmonar
- 5 Átrio direito
- 6 Artéria pulmonar direita
- 7 Ventrículo direito
- 8 Trato de saída do ventrículo direito
- 9 Trabéculas do ventrículo direito
- 10 Valva atrioventricular direita (tricúspide)

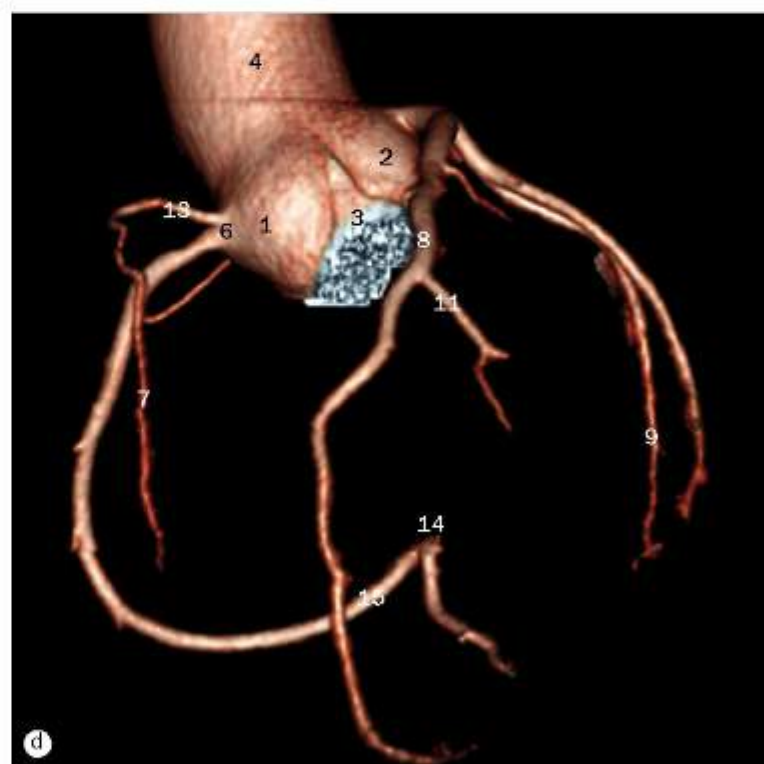
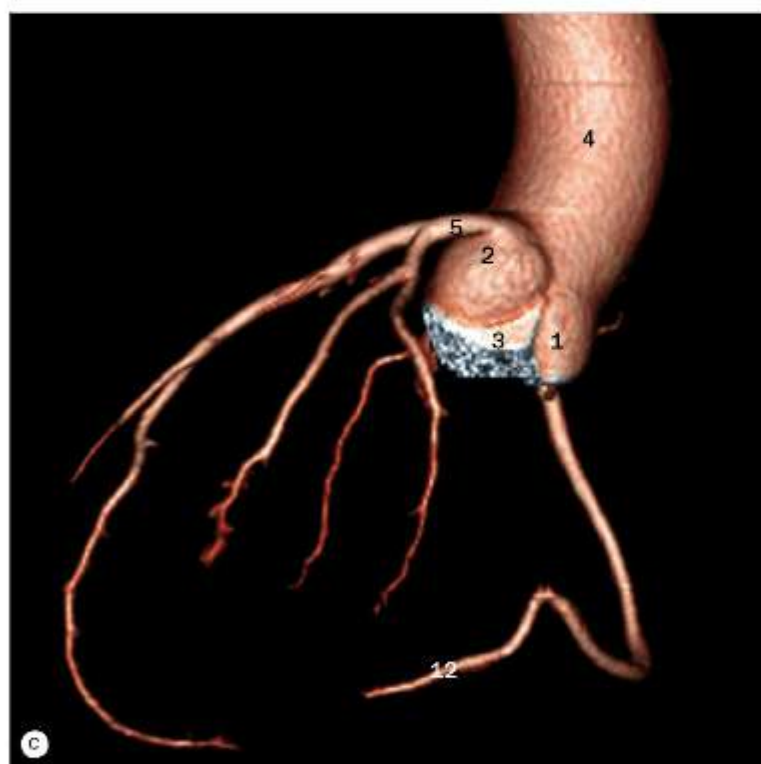
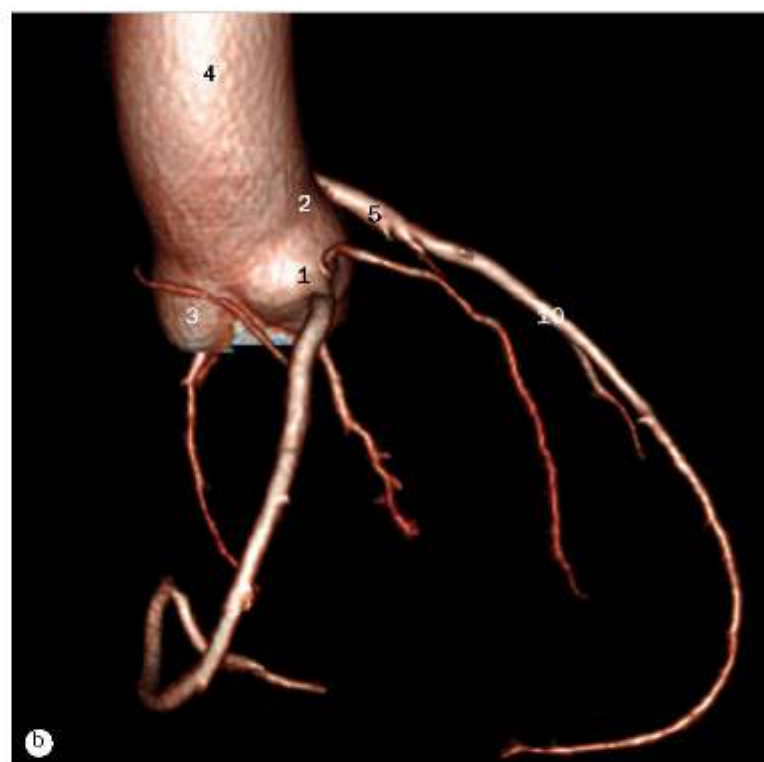
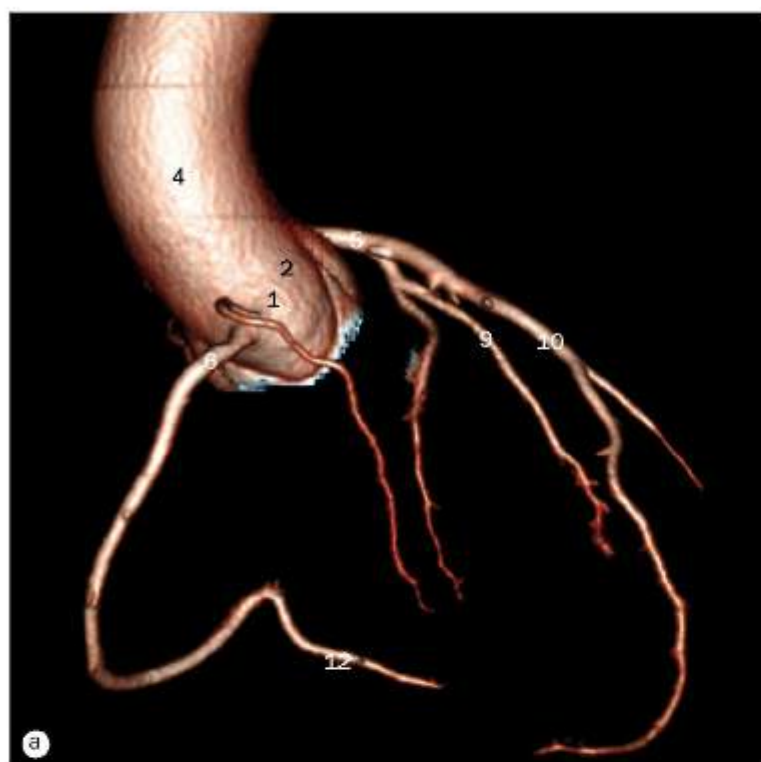


(a) Arteriografia coronária esquerda, (b) arteriografia coronária direita, (c) angiografia ventricular esquerda, fase diastólica, (d) angiografia ventricular esquerda, fase sistólica.

- 1 Aorta
- 2 Seio da aorta
- 3 Valva da aorta
- 4 Ápice do ventrículo esquerdo
- 5 Ramo do nó atrioventricular
- 6 Ramo para o átrio esquerdo
- 7 Ramo circunflexo
- 8 Ramo do cone arterial
- 9 Ramos diagonais

- 10 Primeiro ramo marginal do ramo circunflexo
- 11 Parede inferior do ventrículo esquerdo
- 12 Ramo ventricular lateral para o ventrículo esquerdo
- 13 Ramo interventricular anterior contornando o ápice do coração
- 14 Ramo interventricular anterior
- 15 Artéria coronária esquerda
- 16 Artéria coronária esquerda

- 17 Ventrículo esquerdo
- 18 Trato de saída do ventrículo esquerdo
- 19 Valva atrioventricular esquerda (mitral)
- 20 Ramo interventricular posterior
- 21 Artéria coronária direita
- 22 Ramos marginais direitos
- 23 Ramos septais
- 24 Ramo do nó sinoatrial



(a)-(d) Angiotomografias tridimensionais das coronárias.

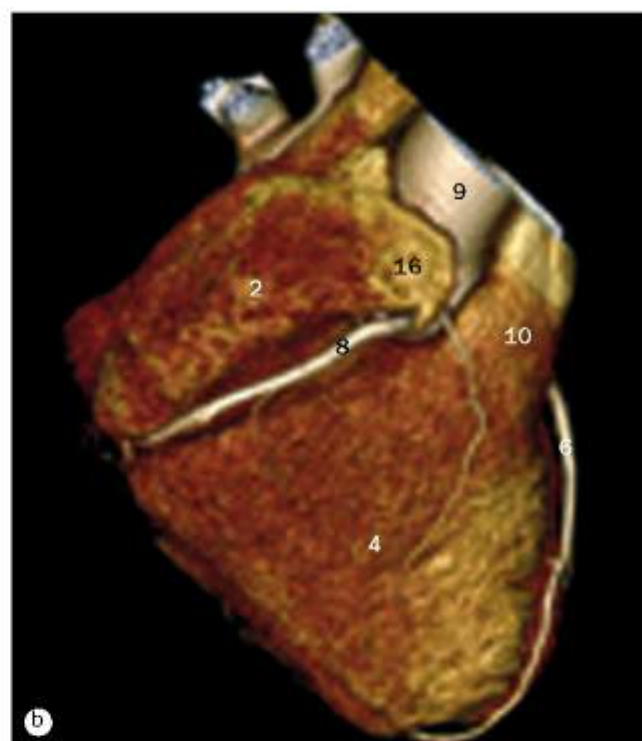
- 1 Válvula semilunar direita da valva da aorta
- 2 Válvula semilunar esquerda da valva da aorta
- 3 Válvula semilunar posterior da valva da aorta
- 4 Parte ascendente da aorta
- 5 Artéria coronária esquerda
- 6 Artéria coronária direita

- 7 Ramo marginal direito da artéria coronária direita
- 8 Ramo circunflexo
- 9 Ramo lateral (diagonal) do ramo Interventricular anterior
- 10 Ramo Interventricular anterior da artéria coronária esquerda

- 11 Ramo marginal esquerdo
- 12 Ramo marginal esquerdo
- 13 Ramo do cone arterial
- 14 Ramo do nó atrioventricular
- 15 Ramo Interventricular posterior da artéria coronária direita



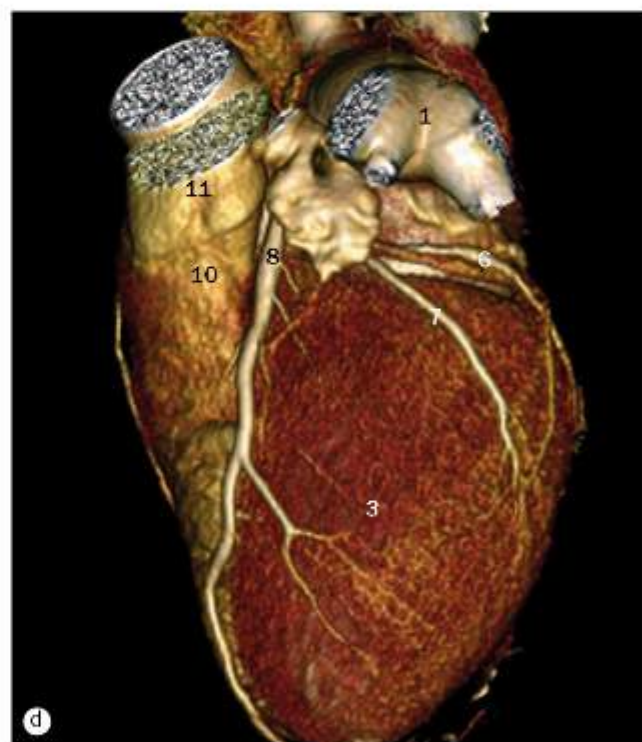
a



b



c



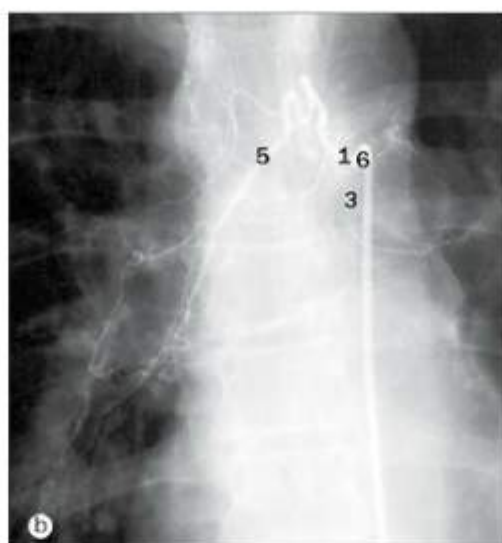
d

(a)-(d) Reconstruções de TC tridimensional do coração.

- 1 Átrio esquerdo
- 2 Átrio direito
- 3 Ventrículo esquerdo
- 4 Ventrículo direito
- 5 Artéria coronária esquerda

- 6 Ramo interventricular anterior da artéria coronária esquerda
- 7 Ramo circunflexo
- 8 Artéria coronária direita
- 9 Aorta
- 10 Trato de saída do tronco pulmonar

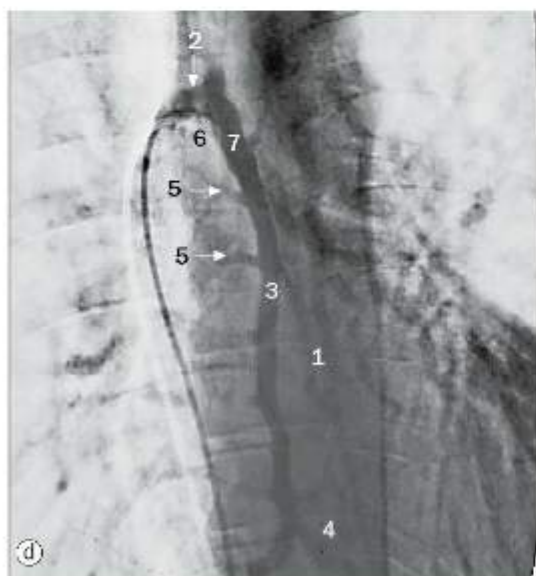
- 11 Artéria pulmonar
- 12 Aurícula esquerda
- 13 Veias pulmonares direitas
- 14 Veias pulmonares esquerdas
- 15 Veia cava superior
- 16 Aurícula direita



(a)-(c) Arteriografias das artérias bronquiais à direita.

Observa-se uma grande variabilidade na anatomia das artérias bronquiais, mas a maioria se origina da parte descendente da aorta na região torácica, acima do nível do tronco do brônquio principal esquerdo entre a borda superior da quinta vértebra torácica e a borda inferior da sexta vértebra torácica. O número de ramos bronquiais em cada lado pode variar entre um e quatro. Geralmente, observa-se um vaso para o pulmão direito e dois para o esquerdo. Ramos bronquiais acessórios podem se originar da artéria braquiocefálica e das artérias subclávias, ou de outros ramos como as artérias torácica interna, pericardiofrênica e esofágica. Em muitos casos, o ramo bronquial direito se origina de um tronco intercostobronquial, mas neste exemplo o tronco é muito curto e se divide quase imediatamente em um ramo bronquial direito, que se direciona para o hilo, e a primeira artéria intercostal posterior direita. Observa-se o enchimento por refluxo do ramo bronquial esquerdo. Um segundo ramo bronquial maior do que foi cateterizado (b) possui um tronco comum que se origina da frente da aorta, dando origem a um ramo bronquial direito e um esquerdo.

1. Tronco bronquial comum
2. Artéria intercostal posterior
3. Ramos bronquiais esquerdos
4. Enchimento por refluxo do ramo bronquial esquerdo
5. Ramo bronquial direito
6. Ponta do cateter no tronco bronquial comum
7. Ponta do cateter no tronco intercostobronquial

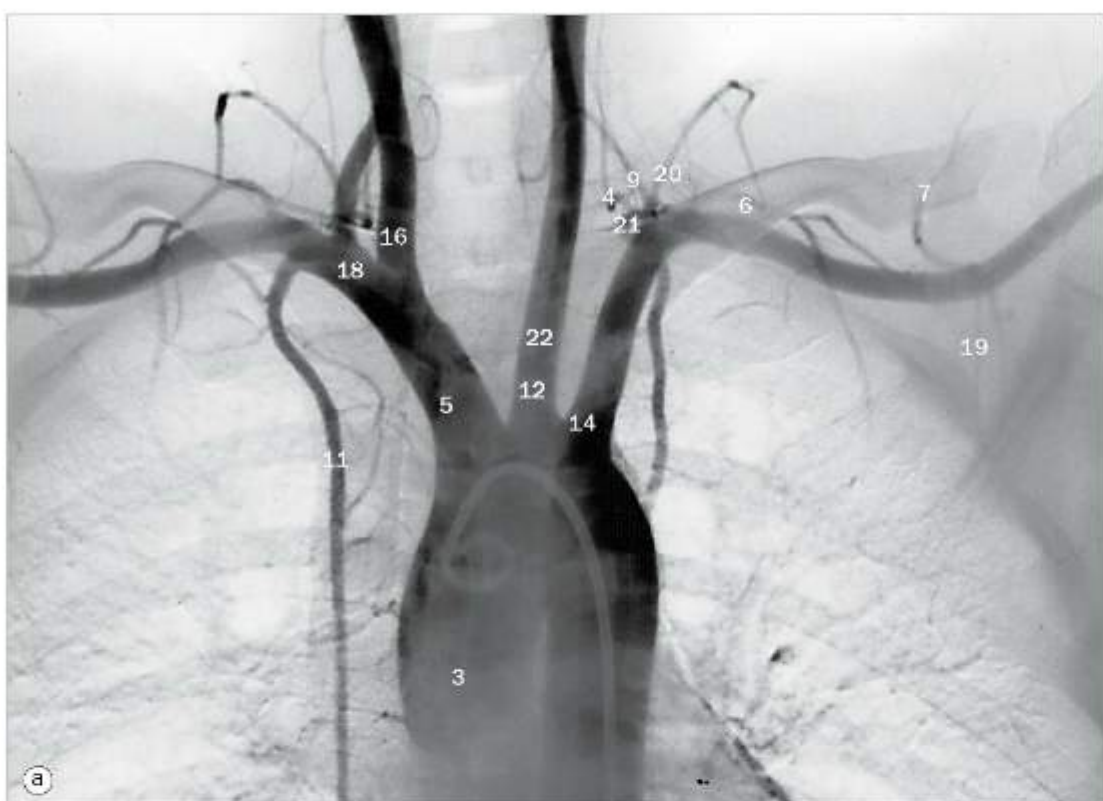


(d) Venografia da ázigo.

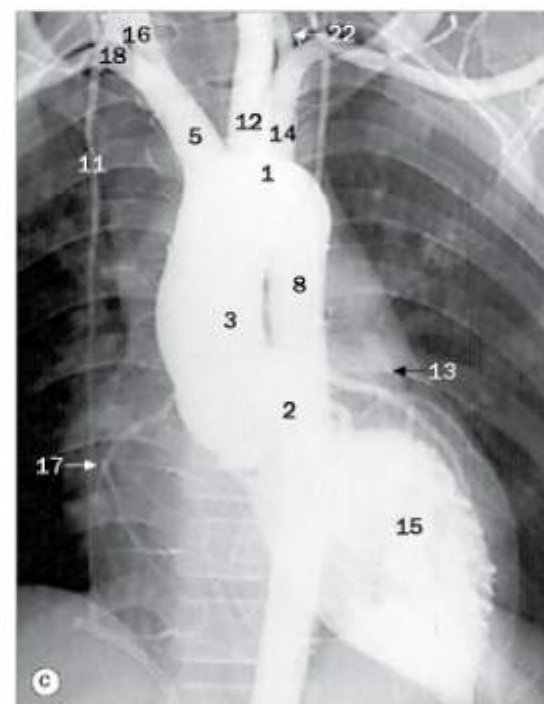
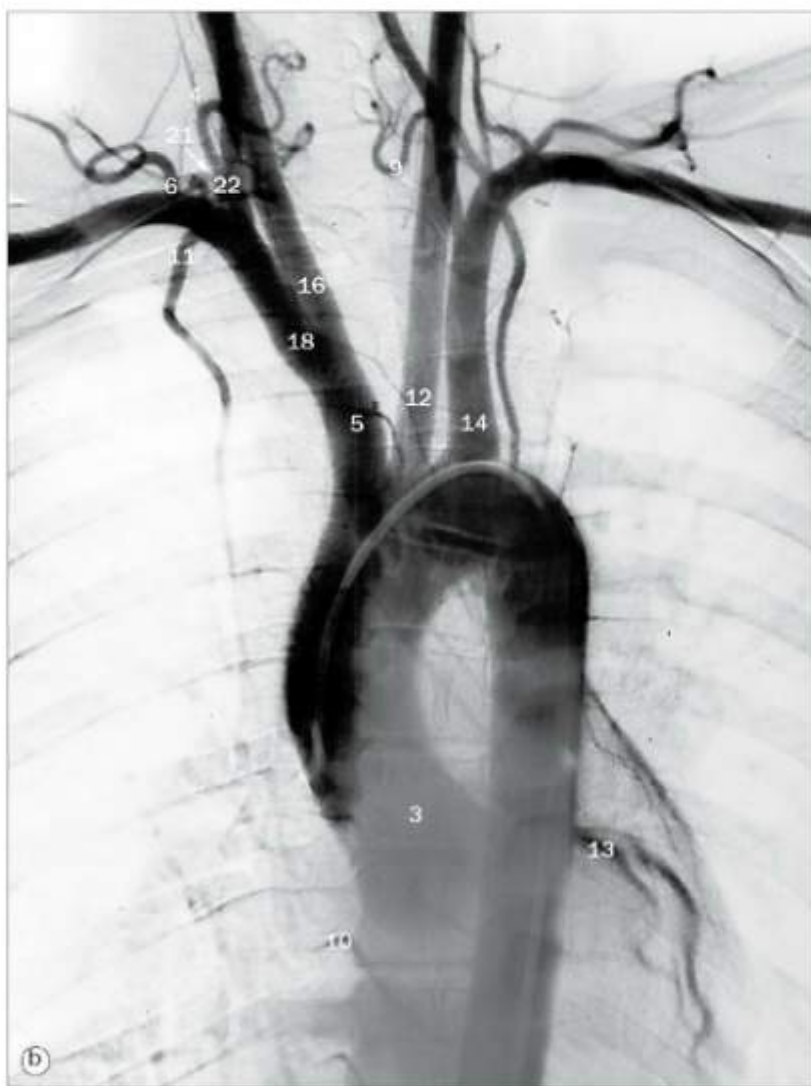
No tórax, as veias vertebrais drenam para as veias intercostais posteriores, enquanto na região lombar as veias lombares drenam para as veias lombares ascendentes. A veia lombar ascendente direita se torna a veia ázigo ao entrar no tórax e a veia lombar ascendente esquerda se torna a veia hemiázigo. No nível da quarta vértebra torácica, a veia ázigo curva-se anteriormente (o arco da ázigo) para entrar na veia cava superior.

A veia hemiázigo cruza para se unir à veia ázigo no nível do oitavo ou nono corpo vertebral torácico. A veia hemiázigo acessória é contínua com a veia hemiázigo inferiormente e a veia intercostal superior esquerda superiormente.

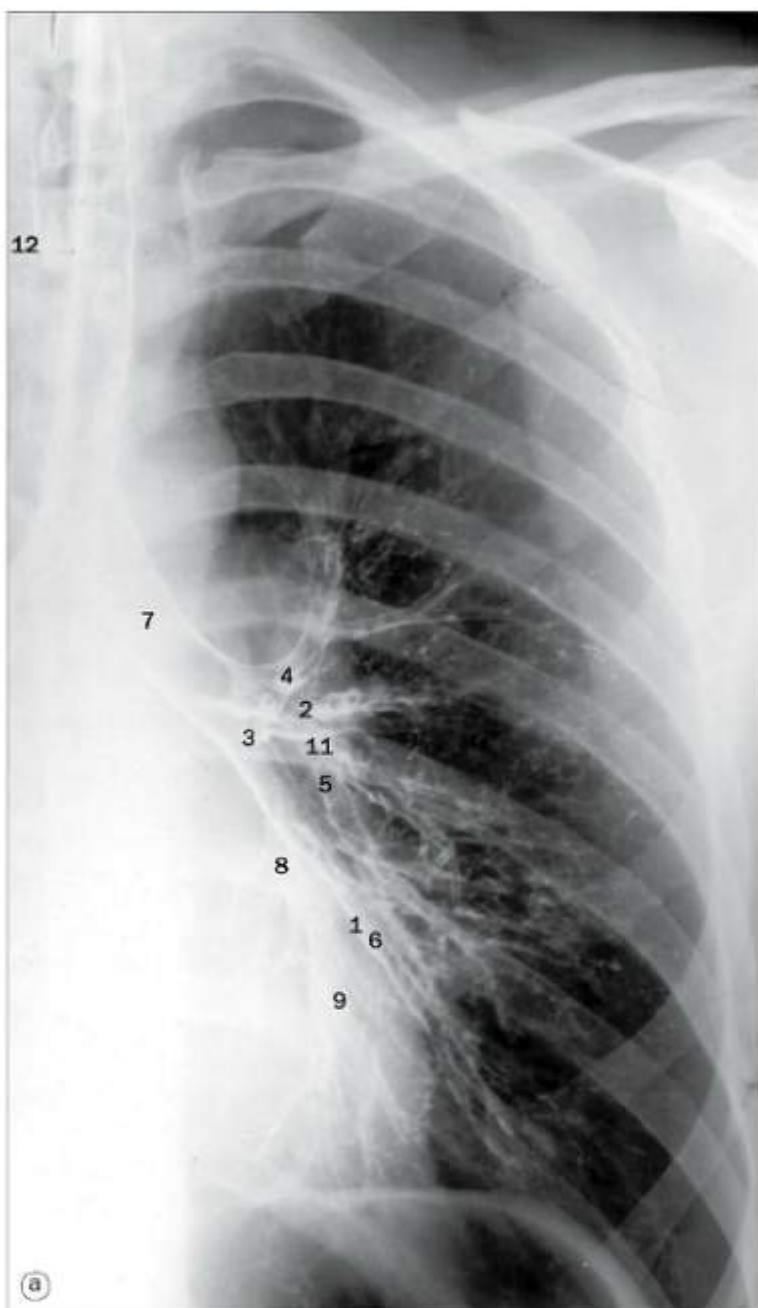
1. Veia hemiázigo acessória
2. Arco da veia ázigo
3. Veia ázigo
4. Veia hemiázigo
5. Veias intercostais posteriores
6. Artefato de subtração causado pelo movimento cardíaco e do cateter
7. Ponta do cateter introduzido via veia femoral passando pela veia cava inferior e veia ázigo



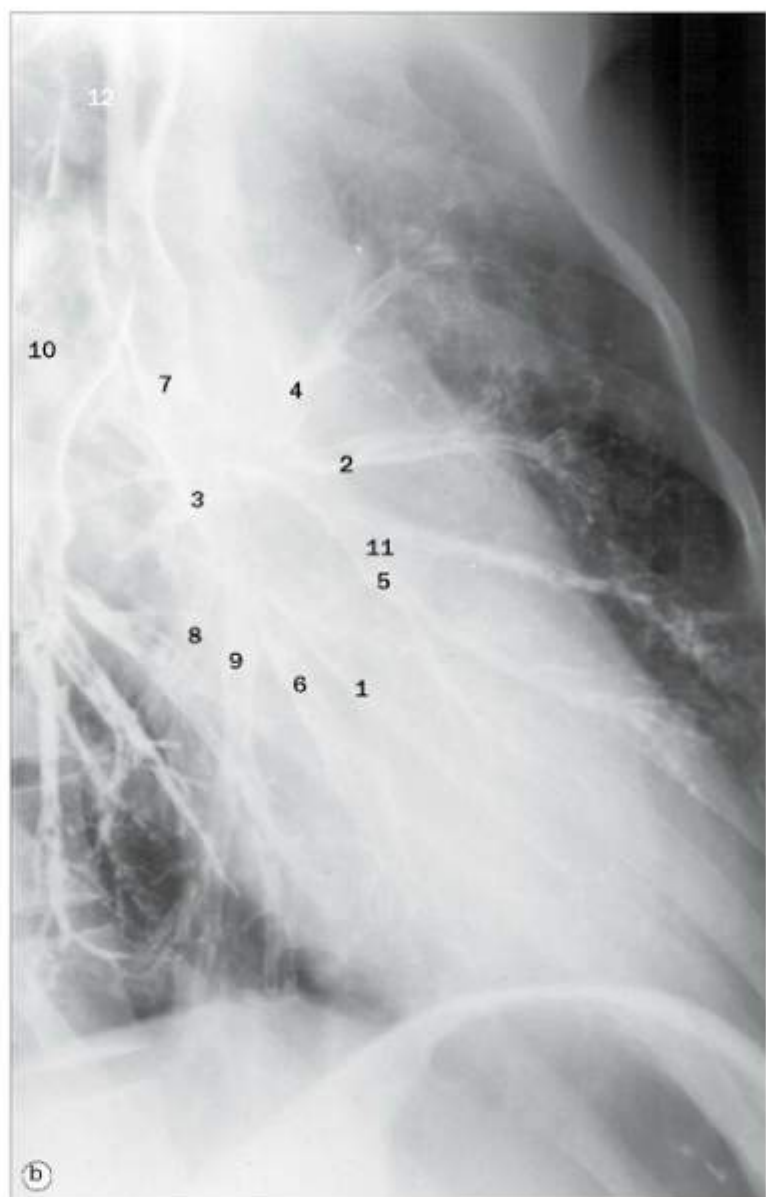
(a) Aortografia do arco da aorta por subtração, imagem anteroposterior. A artéria vertebral (22) possui uma origem separada fora do arco, projetada sobre a artéria carótida comum esquerda nesta imagem. Esta é uma variante normal.



- | | |
|--|------------------------------------|
| 1 Arco da aorta | 12 Artéria carótida comum esquerda |
| 2 Valva da aorta | 13 Artéria coronária esquerda |
| 3 Parte ascendente da aorta | 14 Artéria subclávia esquerda |
| 4 Artéria cervical ascendente | 15 Ventrículo esquerdo |
| 5 Tronco braquiocefálico | 16 Artéria carótida comum direita |
| 6 Tronco costocervical | 17 Artéria coronária direita |
| 7 Ramo deltóideo da artéria toracoacromial | 18 Artéria subclávia direita |
| 8 Parte descendente da aorta | 19 Artéria torácica superior |
| 9 Artéria tireoídea inferior | 20 Artéria supraescapular |
| 10 Artéria intercostal | 21 Tronco tireocervical |
| 11 Artéria torácica interna | 22 Artéria vertebral direita |



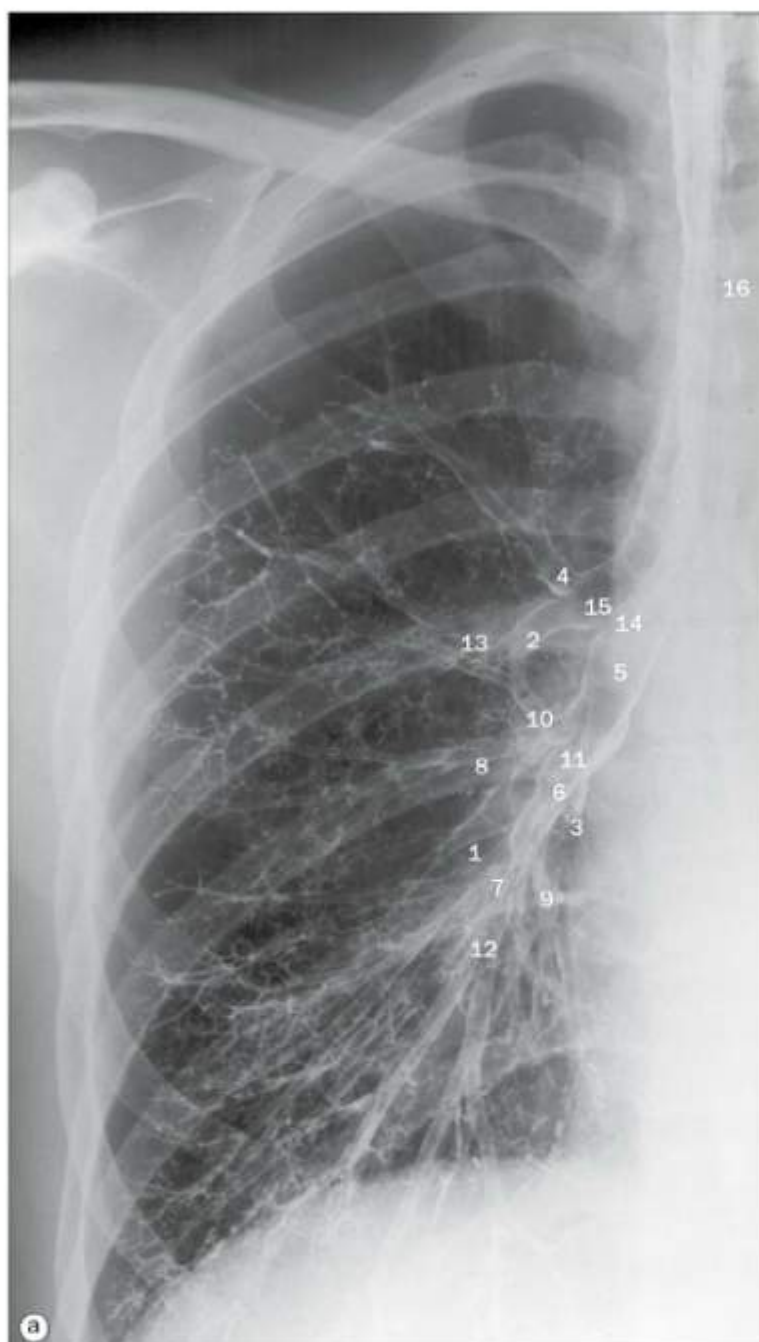
(a)



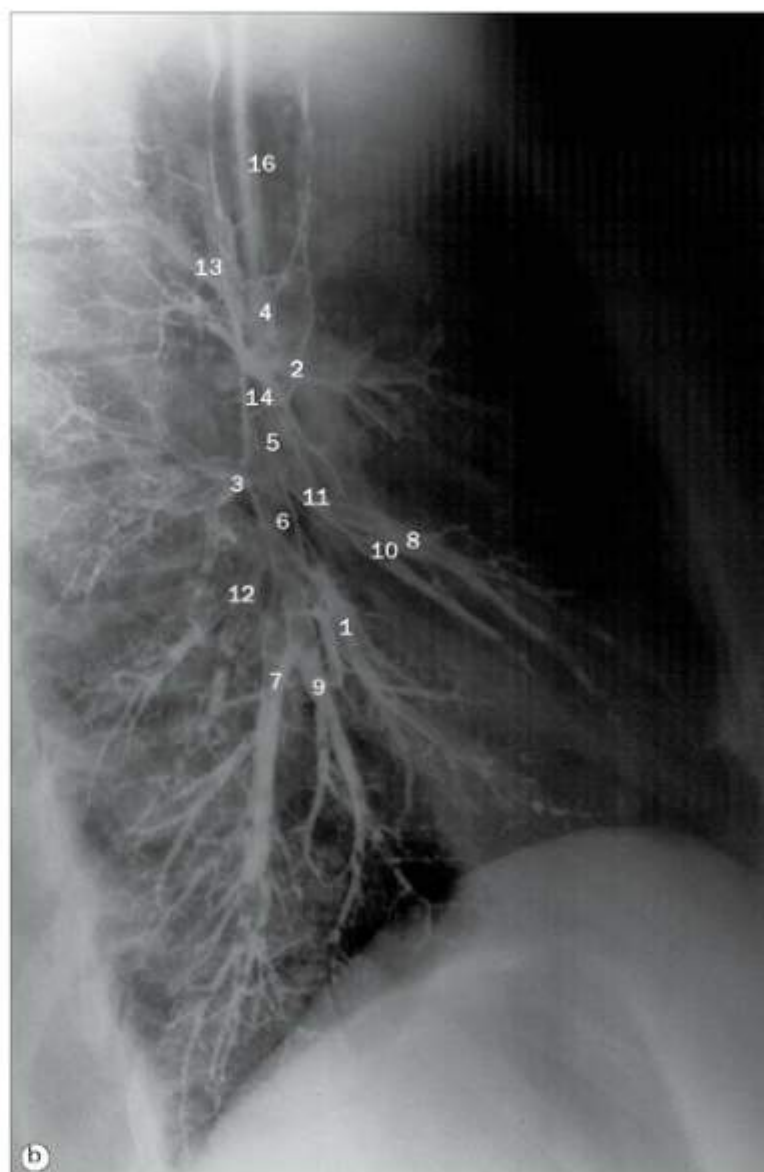
(b)

Broncografia do pulmão esquerdo, (a) imagem posteroanterior, (b) projeção oblíqua.

- 1 Brônquio segmentar basilar anterior
- 2 Brônquio segmentar anterior
- 3 Brônquio segmentar apical
- 4 Brônquio segmentar apicoposterior
- 5 Brônquio lingular inferior
- 6 Brônquio segmentar basilar lateral
- 7 Brônquio principal esquerdo
- 8 Brônquio segmentar basilar medial
- 9 Brônquio segmentar basilar posterior
- 10 Brônquio principal direito
- 11 Brônquio lingular superior
- 12 Traqueia



a

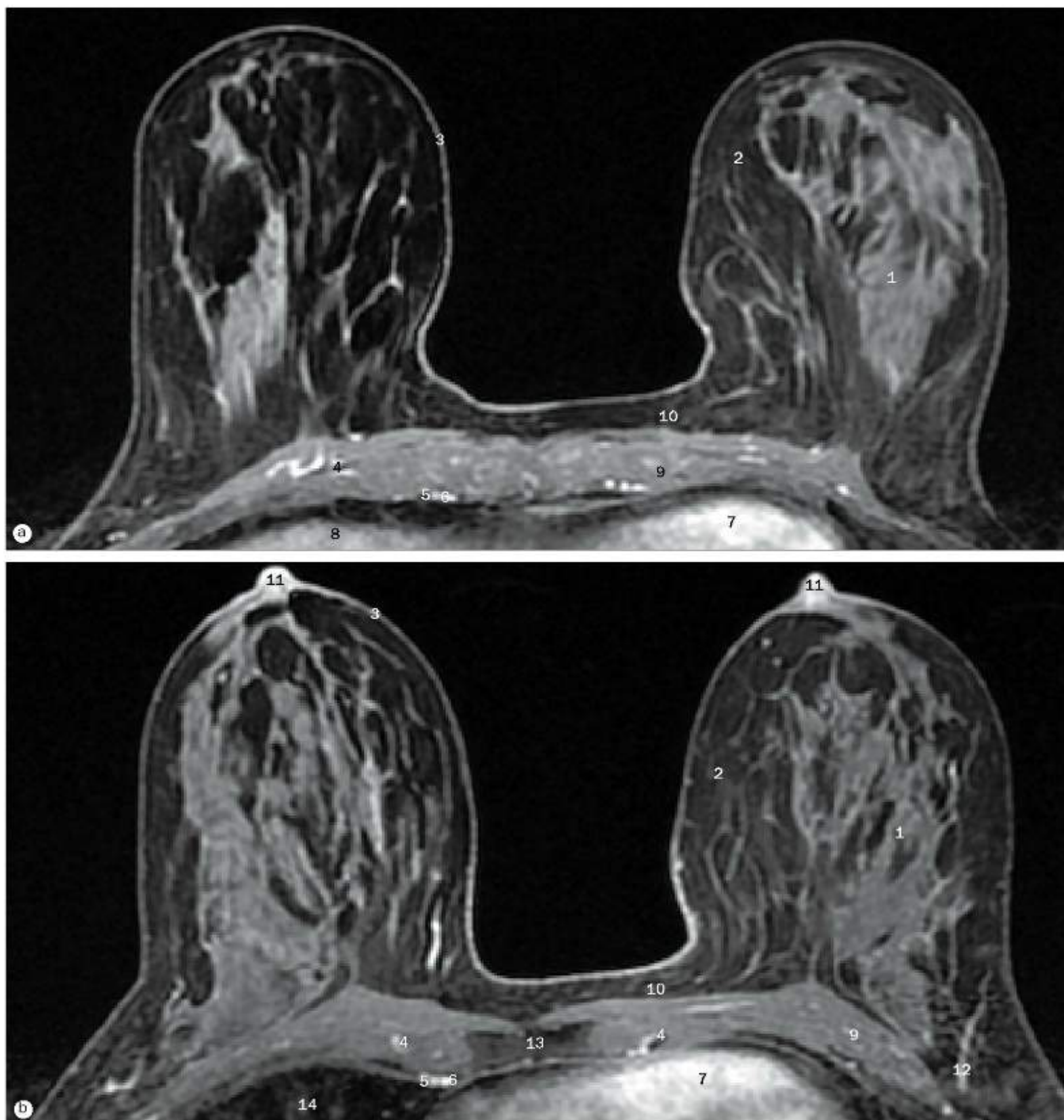


b

Broncografia do pulmão direito, (a) projeção posteroanterior, (b) projeção lateral.

- 1 Brônquio segmentar basilar anterior
- 2 Brônquio segmentar anterior
- 3 Brônquio segmentar superior
- 4 Brônquio segmentar apical
- 5 Brônquio intermédio (continuação do brônquio principal direito)
- 6 Brônquio lobar inferior esquerdo
- 7 Brônquio segmentar basilar lateral
- 8 Brônquio segmentar lateral do lobo médio

- 9 Brônquio segmentar basilar medial
- 10 Brônquio segmentar medial do lobo médio
- 11 Brônquio lobar médio
- 12 Brônquio segmentar basilar posterior
- 13 Brônquio segmentar posterior
- 14 Brônquio principal direito
- 15 Brônquio lobar superior direito
- 16 Traqueia



Mamografias, imagens de ressonância magnética.

- 1 Tecido fibroglandular (da mama direita)
- 2 Tecido adiposo da mama
- 3 Pele
- 4 Ramo perfurante anterior da artéria torácica interna
- 5 Veia torácica interna

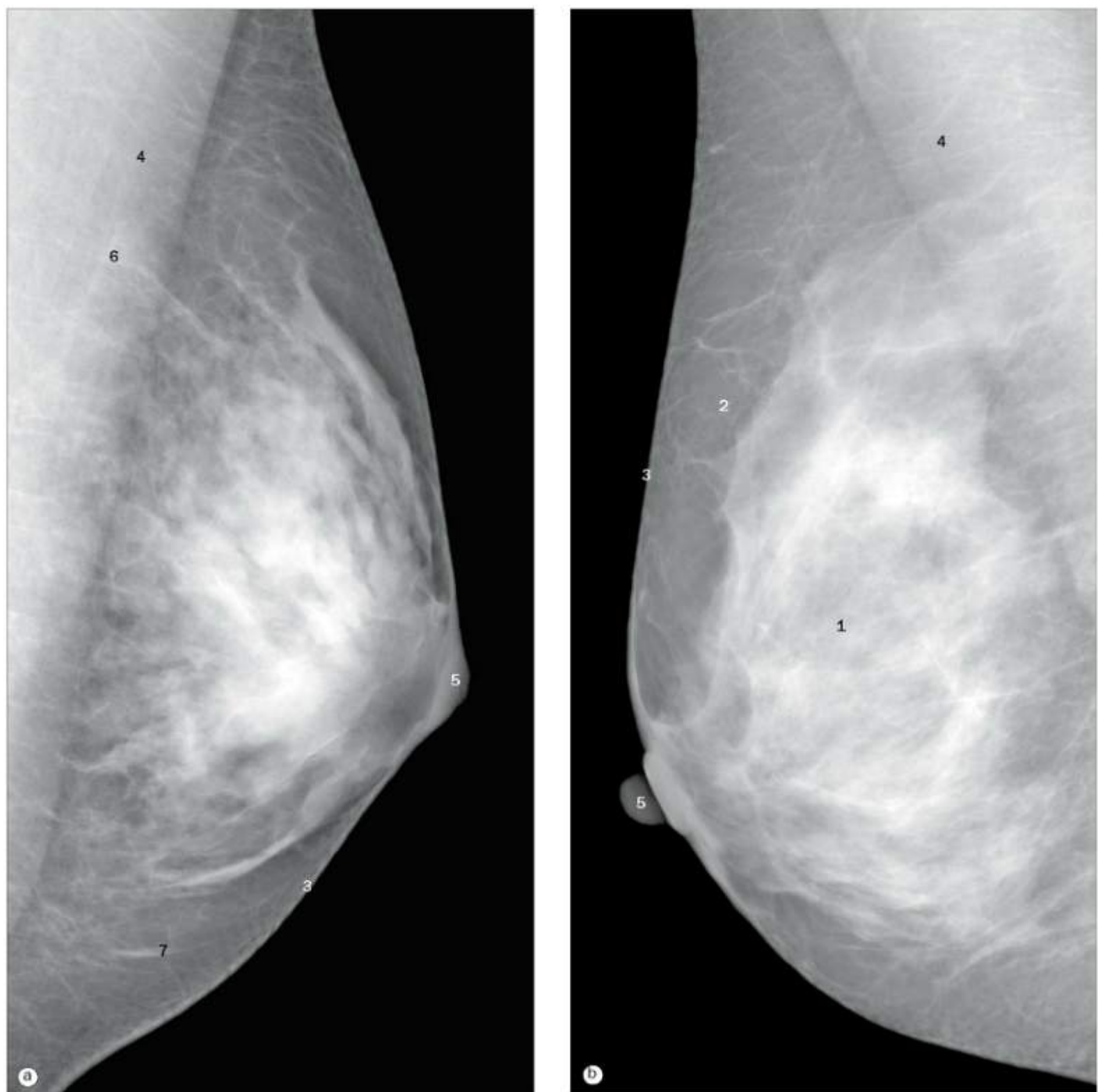
- 6 Artéria torácica interna
- 7 Coração
- 8 Fígado
- 9 Músculo peitoral maior
- 10 Fáscia peitoral anterior
- 11 Papila mamária/áréola da mama

- 12 Ramos mamários da artéria torácica lateral
- 13 Esterno
- 14 Lobo médio do pulmão direito



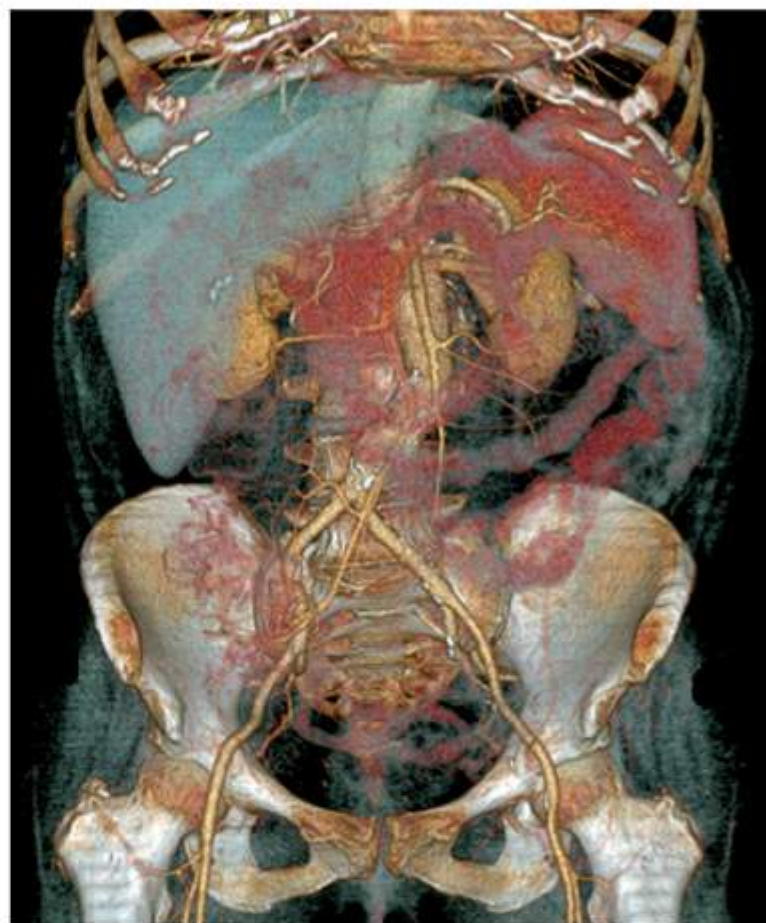
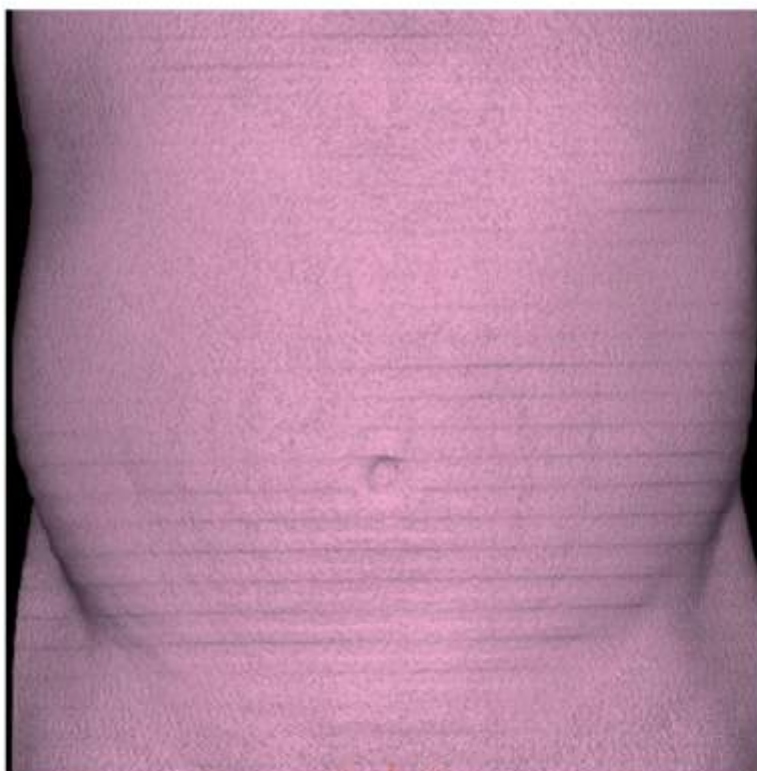
Mamas, (a)-(c) imagens de ressonância magnética, (d) imagem radiológica de mamografia.

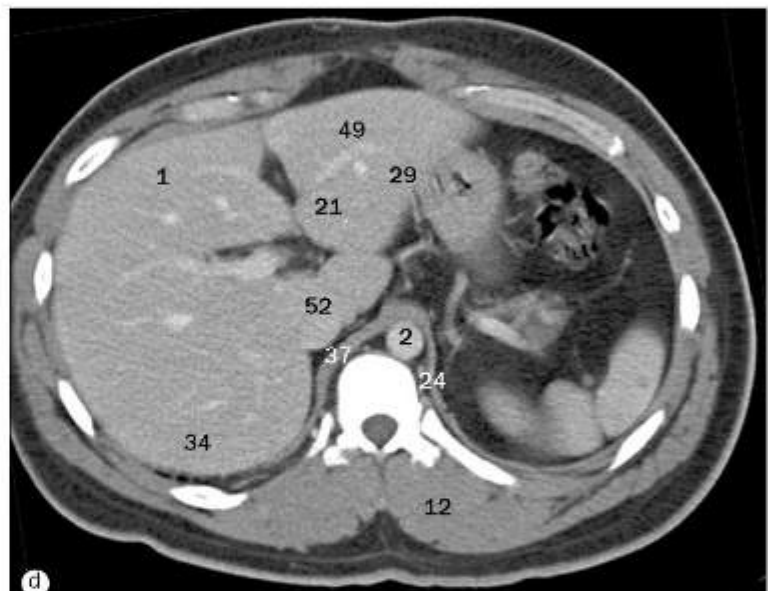
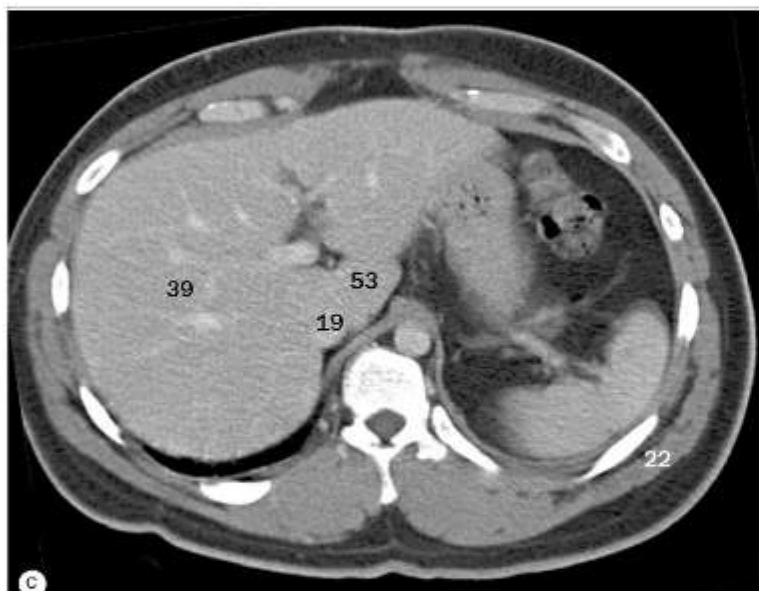
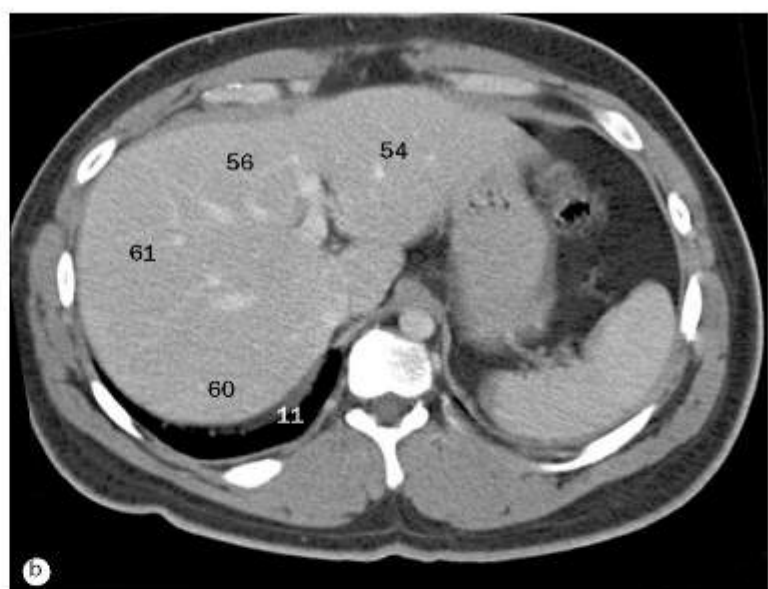
- | | |
|--|-----------------------------------|
| 1 Tecido fibroglandular (da mama direita) | 7 Fígado |
| 2 Tecido adiposo da mama | 8 Músculo peitoral menor |
| 3 Pele | 9 Músculo peitoral maior |
| 4 Ramo perfurante anterior da artéria torácica interna | 10 Fáscia peitoral anterior |
| 5 Artéria torácica interna | 11 Vessos intramamários |
| 6 Coração | 12 Ligamentos suspensores da mama |



Mamografias.

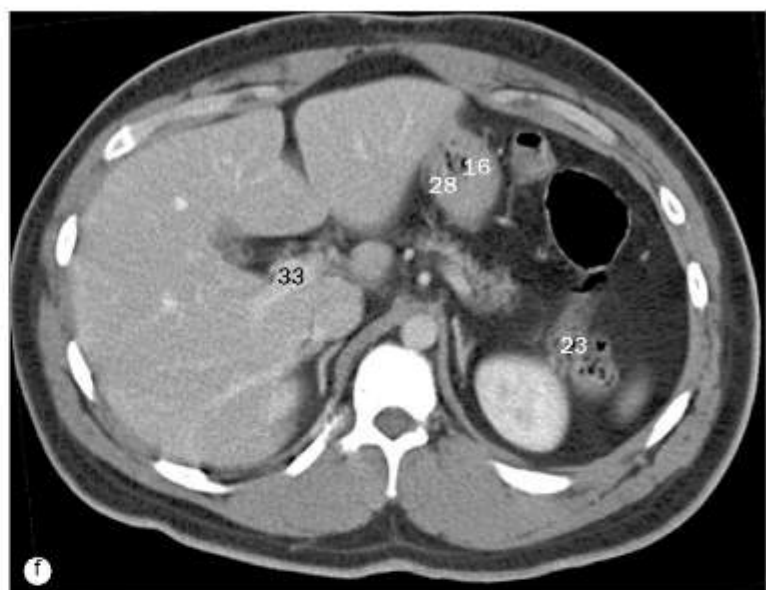
- | | |
|--|----------------------------------|
| 1. Tecido fibroglandular (da mama direita) | 4. Músculo peitoral maior |
| 2. Tecido adiposo da mama | 5. Papila mamária/aréola da mama |
| 3. Pele | 6. Vaso |
| | 7. Ligamento suspensor da mama |

5**Abdome e pelve – Corte transversal**



(a)-(h) Imagens axiais e sequenciais de TC do abdome e da pelve de um homem, da região superior para inferior.
Nota: as páginas 124-135 mostram imagens sequenciais do abdome e da pelve do mesmo paciente masculino.

- | | | |
|--|---|--|
| 1 Segmento anterior do lobo hepático direito | 14 Fundo gástrico | 28 Curvatura menor do estômago |
| 2 Aorta | 15 Vésicula biliar | 29 Segmento medial do lobo hepático esquerdo |
| 3 Colo descendente | 16 Curvatura maior do estômago | 30 Veia hepática intermédia |
| 4 Veia ázigo | 17 Cabeça do pâncreas | 31 Colo do pâncreas |
| 5 Corpo do pâncreas | 18 Veia hemiázigo | 32 Esôfago |
| 6 Corpo gástrico | 19 Veia cava inferior | 33 Veia porta |
| 7 Corpo vertebral | 20 Jejuno | 34 Segmento posterior do lobo hepático direito |
| 8 Tronco celiaco | 21 Segmento lateral do lobo hepático esquerdo | 35 Côrte renal |
| 9 Artéria hepática comum | 22 Músculo latíssimo do dorso | 36 Fáscia renal |
| 10 Parte descendente do duodeno | 23 Flexura esquerda do colo | 37 Pilar direito do diafragma |
| 11 Diaphragma | 24 Pilar esquerdo do diafragma | 38 Rim direito |
| 12 Músculo eretor da espinha | 25 Veia hepática esquerda | 39 Lobo hepático direito |
| 13 Fissura do ligamento venoso | 26 Rim esquerdo | |
| | 27 Glândula suprarrenal esquerda | |

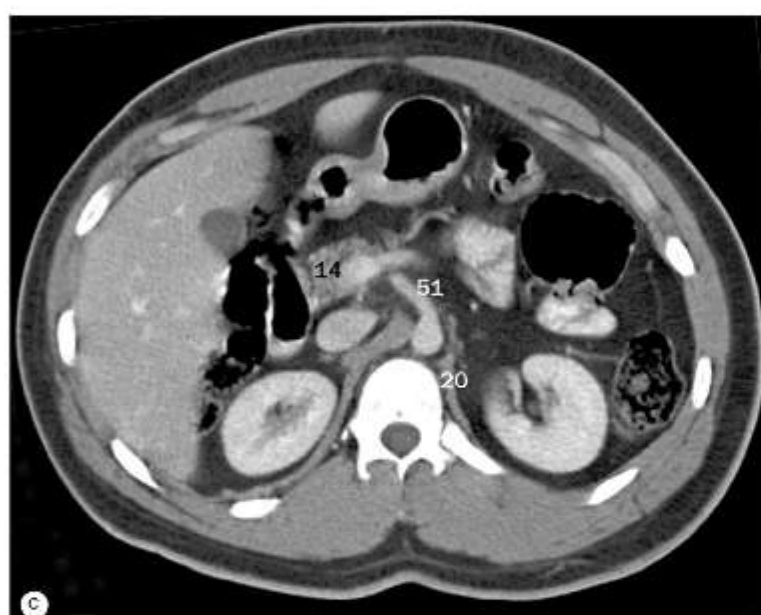
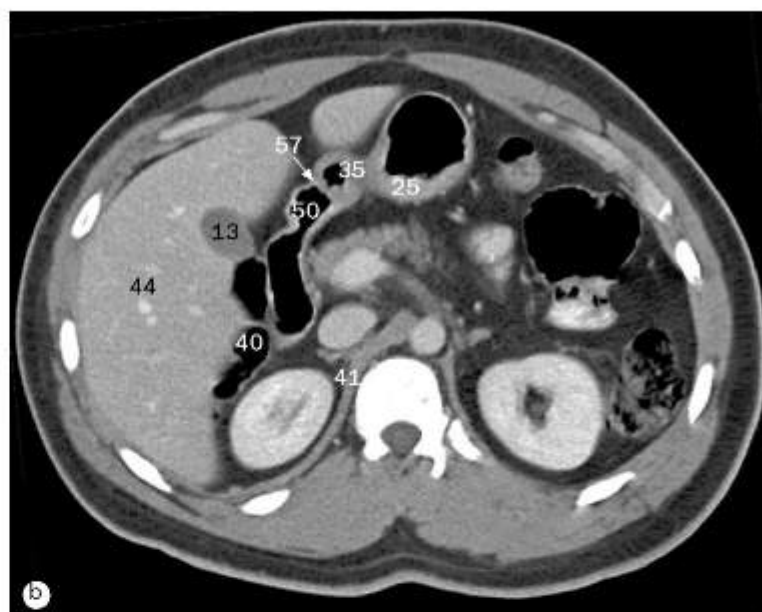


(a)-(h) Imagens axiais e sequenciais de TC do abdome e da pelve de um indivíduo masculino, da região superior para inferior.

40 Glândula suprarrenal direita
41 Músculo serrátil anterior
42 Baço
43 Artéria esplênica
44 Veia esplênica
45 Parte superior do duodeno
46 Cauda do pâncreas
47 Saco tecal
48 Colo transverso
49 Lobo hepático esquerdo

50 Lobo inferior direito do pulmão
51 Lobo inferior esquerdo do pulmão
52 Lobo caudado do fígado
53 Segmento 1 do fígado (posterior)
54 Segmento 2 do fígado (segmento posterior lateral esquerdo)
55 Segmento 3 do fígado (segmento anterior lateral esquerdo)
56 Segmento 4A (subsegmento medial esquerdo superior)

57 Segmento 4B do fígado (subsegmento medial esquerdo inferior)
58 Segmento 5 do fígado (segmento anterior medial direito)
59 Segmento 6 do fígado (segmento anterior lateral direito)
60 Segmento 7 do fígado (segmento posterior lateral direito)
61 Segmento 8 do fígado (segmento posterior medial direito)



(a)-(h) Imagens axiais e sequenciais de TC do abdome e da pelve de um indivíduo masculino, da região superior para inferior.

- | | | |
|--|---|--|
| 1 Segmento anterior do lobo hepático direito | 11 Músculo oblíquo externo do abdome | 21 Rim esquerdo |
| 2 Aorta | 12 Fissura do ligamento venoso | 22 Artéria renal esquerda |
| 3 Colo ascendente | 13 Vesícula biliar | 23 Veia renal esquerda |
| 4 Corpo do pâncreas | 14 Cabeça do pâncreas | 24 Glândula suprarrenal esquerda |
| 5 Corpo gástrico | 15 Veia cava inferior | 25 Curvatura menor do estômago |
| 6 Corpo vertebral | 16 Jejuno | 26 Segmento medial do lobo hepático esquerdo |
| 7 Ducto colédoco | 17 Segmento lateral do lobo hepático esquerdo | 27 Veia hepática intermédia |
| 8 Parte descendente do duodeno | 18 Músculo latíssimo do dorso | 28 Colo do pâncreas |
| 9 Colo descendente | 19 Flexura esquerda do colo | 29 Ducto pancreático |
| 10 Músculo erector da espinha | 20 Pilar esquerdo do diafragma | 30 Corpo adiposo pararrenal |



(a)-(h) Imagens axiais e sequenciais de TC do abdome e da pelve de um indivíduo masculino, da região superior para inferior.

31 Cápsula adiposa

32 Veia porta

33 Segmento posterior do lobo hepático direito

34 Músculo psoas maior

35 Parte pilônica do estômago

36 Músculo reto do abdome

37 Côrortex renal

38 Fáscia renal

39 Pelve renal

40 Flexura direita do colo

41 Pilar direito do diafragma

42 Veia hepática direita

43 Rim direito

44 Lobo hepático direito

45 Artéria renal direita

46 Veia renal direita

47 Glândula suprarrenal direita

48 Músculo serrátil anterior

49 Vela esplênica

50 Parte superior do duodeno

51 Artéria mesentérica superior

52 Veia mesentérica superior

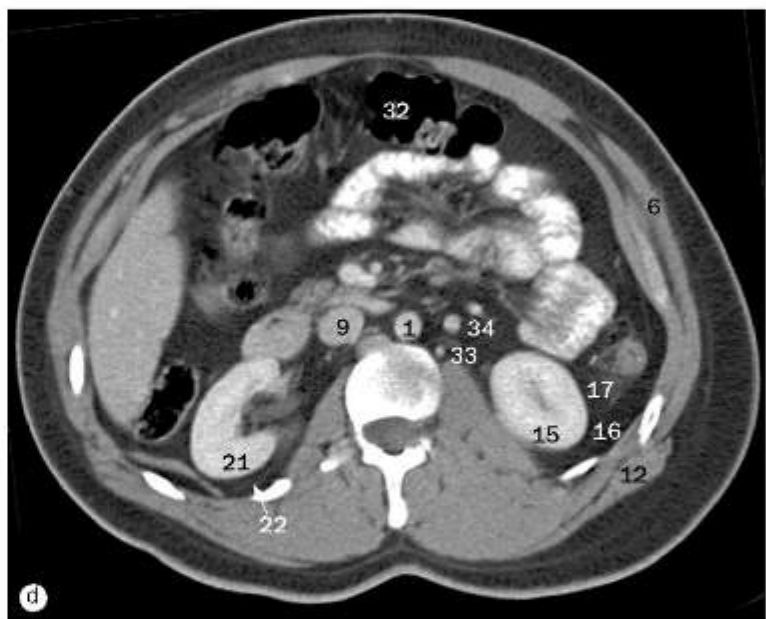
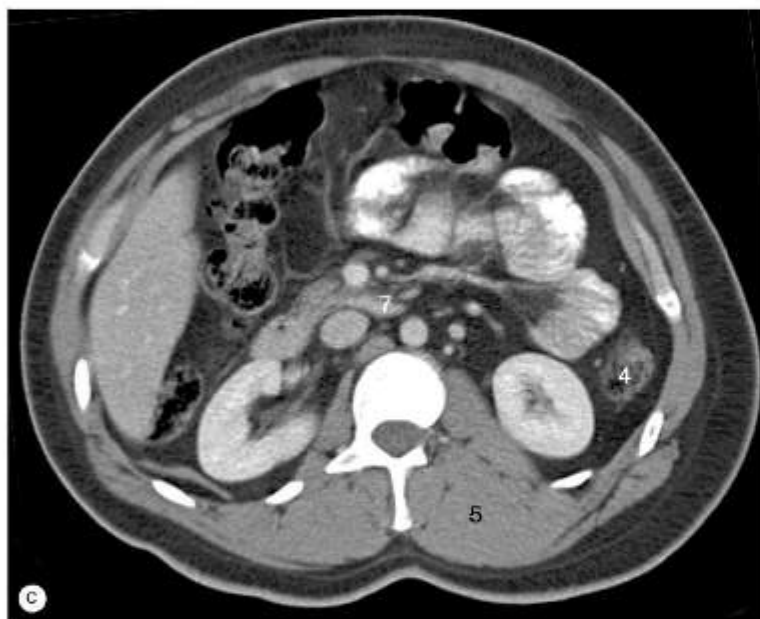
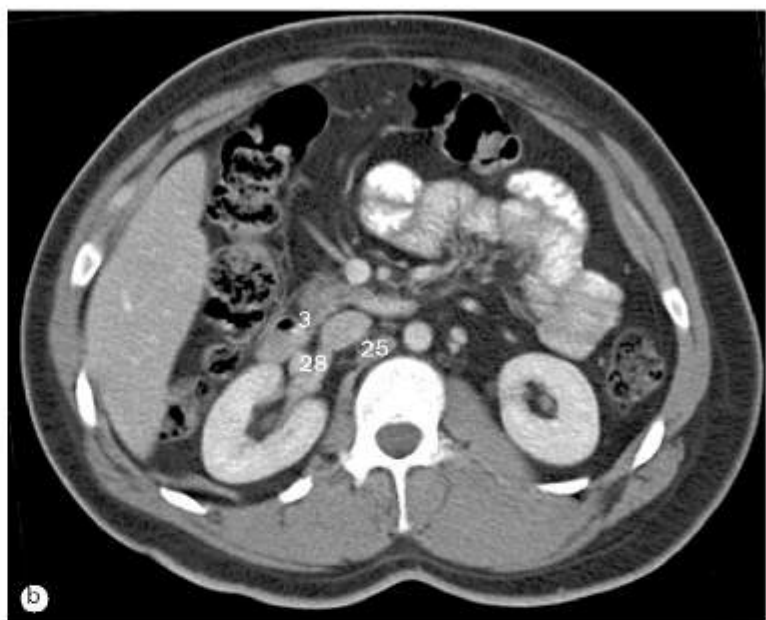
53 Cauda do pâncreas

54 Saco tecal

55 Colo transverso

56 Tecido adiposo do seio renal

57 Piloro

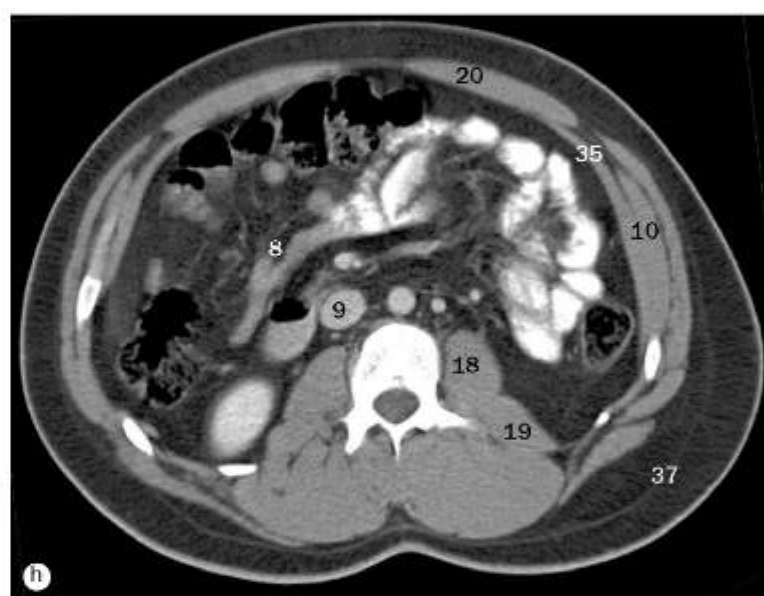
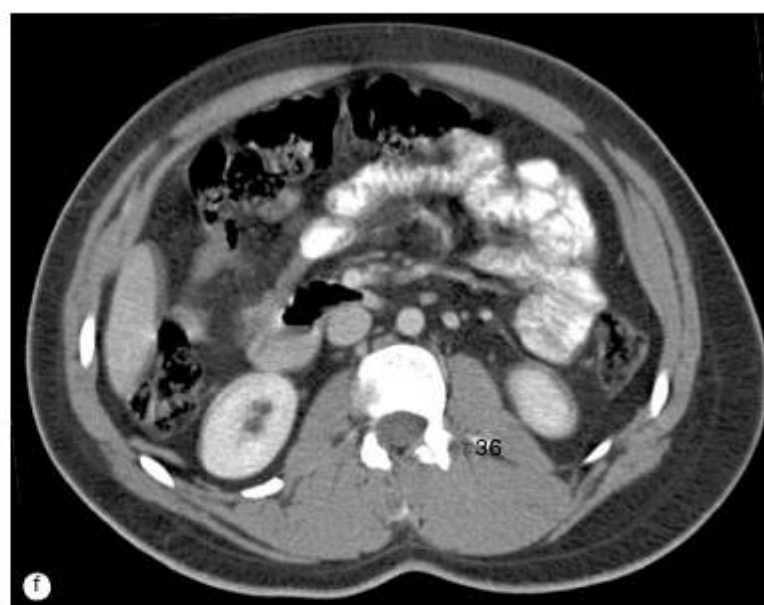
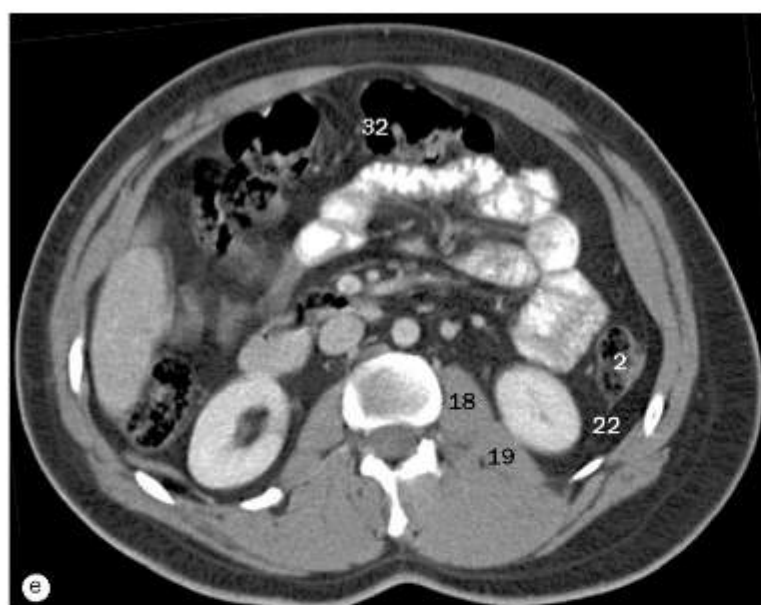


(a)-(h) Imagens axiais e sequenciais de TC do abdome e da pelve de um indivíduo masculino, da região superior para inferior.

- 1 Aorta
- 2 Colo ascendente
- 3 Parte descendente do duodeno
- 4 Colo descendente
- 5 Músculo erector da espinha
- 6 Músculo obliquo externo do abdome
- 7 Parte horizontal do duodeno

- 8 Ileó
- 9 Veia cava inferior
- 10 Músculo obliquo externo do abdome
- 11 Jejuno
- 12 Músculo latíssimo do dorso
- 13 Flexura esquerda do colo
- 14 Pilar esquerdo do diafragma

- 15 Rim esquerdo
- 16 Corpo adiposo pararrenal
- 17 Cápsula adiposa
- 18 Músculo psoas maior
- 19 Músculo quadrado do lombo
- 20 Músculo reto do abdome
- 21 CórTEX renal



(a)-(h) Imagens axiais e sequenciais de TC do abdome e da pelve de um indivíduo masculino, da região superior para inferior.

22 Fáscia renal

23 Pelve renal

24 Flexura direita do colo

25 Pilar direito do diafragma

26 Rim direito

27 Artéria renal direita

28 Veia renal direita

29 Artéria mesentérica superior

30 Veia mesentérica superior

31 Saco tecal

32 Colo transverso

33 Artéria testicular direita

34 Artéria testicular esquerda

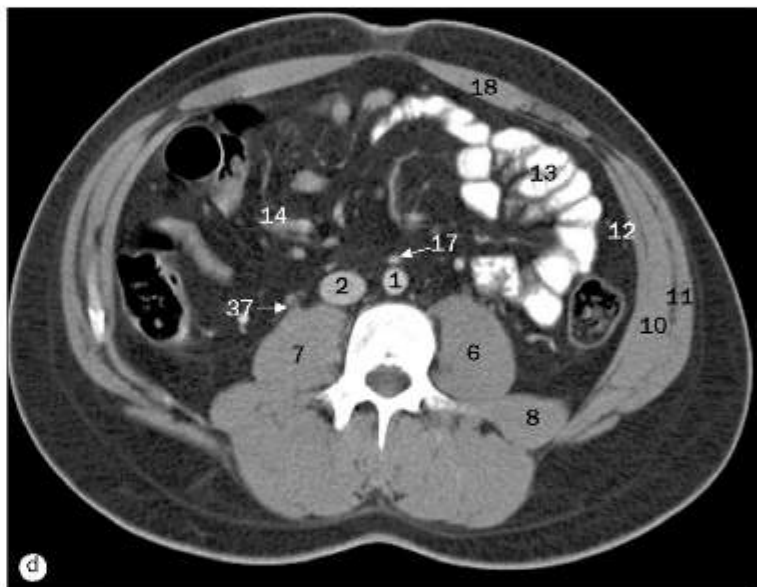
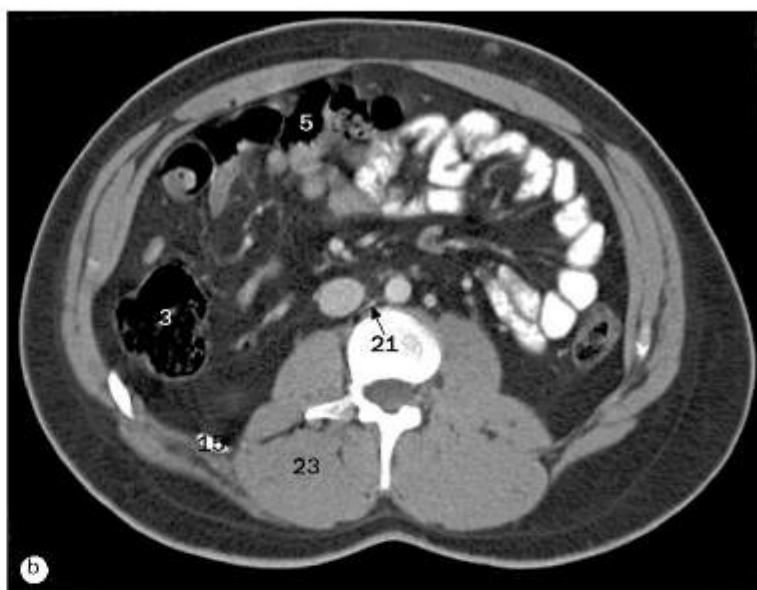
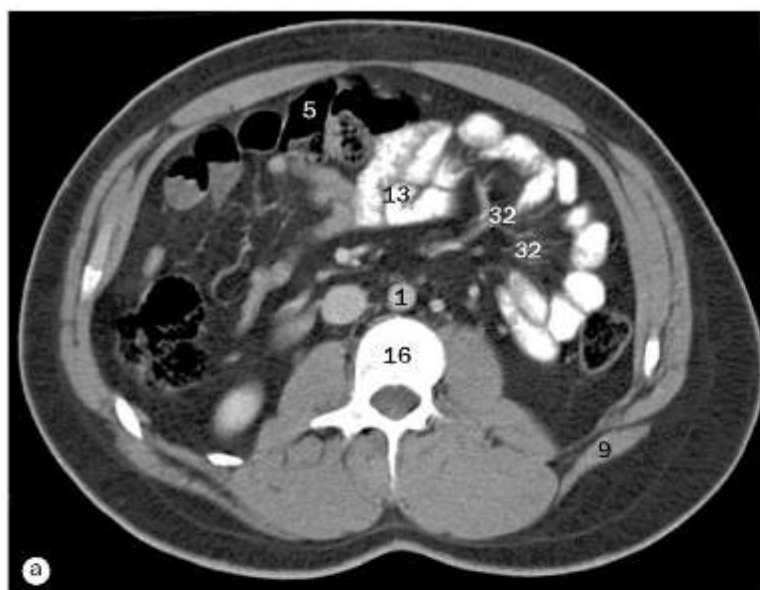
35 Músculo transverso do abdome

36 Décima segunda costela

37 Fáscia subcutânea (abdominal)

38 Parte ascendente do duodeno

39 Flexura duodenoejunal

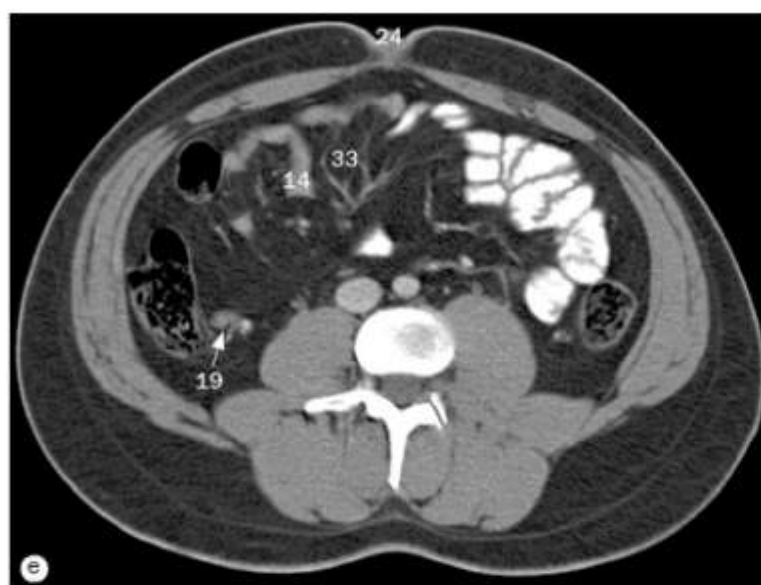


(a)-(h) Imagens axiais e sequenciais de TC do abdome e da pelve de um indivíduo masculino, da região superior para inferior.

- 1 Aorta
- 2 Vena cava inferior
- 3 Colo ascendente
- 4 Colo descendente
- 5 Colo transverso
- 6 Músculo psoas maior esquerdo
- 7 Músculo psoas maior direito

- 8 Músculo quadrado do lombo
- 9 Músculo latíssimo do dorso
- 10 Músculo obliquo interno do abdome
- 11 Músculo obliquo externo do abdome
- 12 Músculo transverso do abdome
- 13 Jejuno
- 14 Ileo

- 15 Décima segunda costela
- 16 Corpo vertebral
- 17 Artéria mesentérica inferior
- 18 Músculo reto do abdome
- 19 Artéria apendicular
- 20 Vena lombar
- 21 Artéria lombar

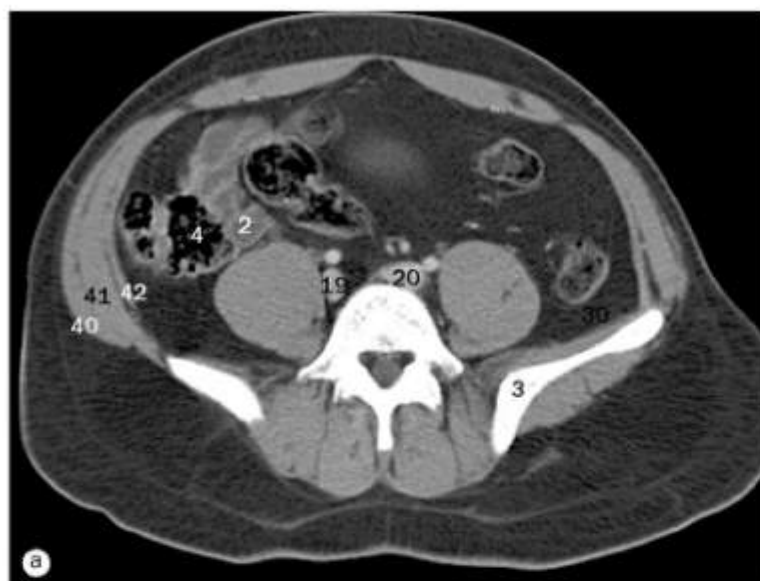


(a)-(h) Imagens axiais e sequenciais de TC do abdome e da pelve de um indivíduo masculino, da região superior para inferior.

22 Íleo
23 Músculo erector da espinha
24 Umbigo
25 Artéria ilíaca comum direita
26 Veia ilíaca comum direita
27 Artéria ilíaca comum esquerda
28 Veia ilíaca comum esquerda

29 Ceco
30 Apêndice vermiciforme
31 Artéria ileocólica
32 Artérias jejuna, ramos da artéria mesentérica superior
33 Artérias ileais, ramos da artéria mesentérica superior

34 Artéria testicular esquerda
35 Veia testicular esquerda
36 Ureter esquerdo
37 Ureter direito
38 Vasos testiculares direitos
39 Íleo – parte terminal

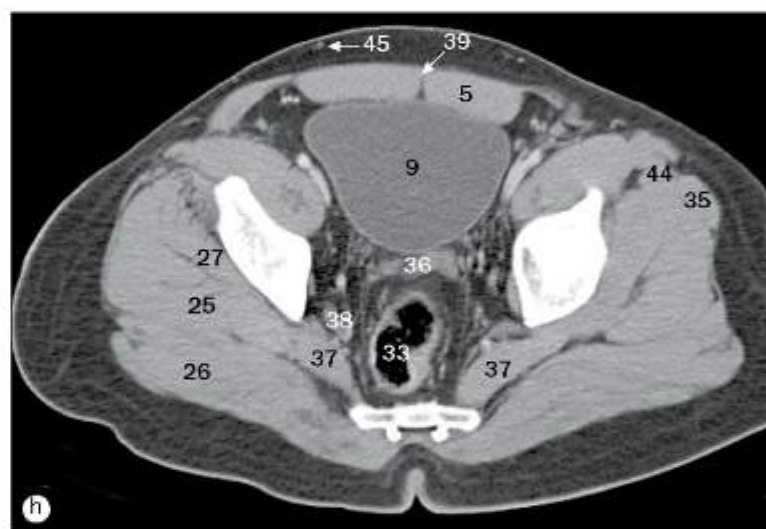
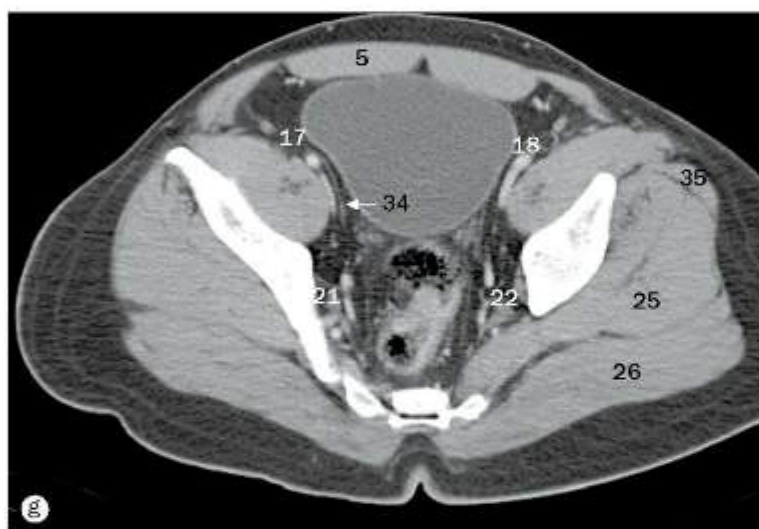
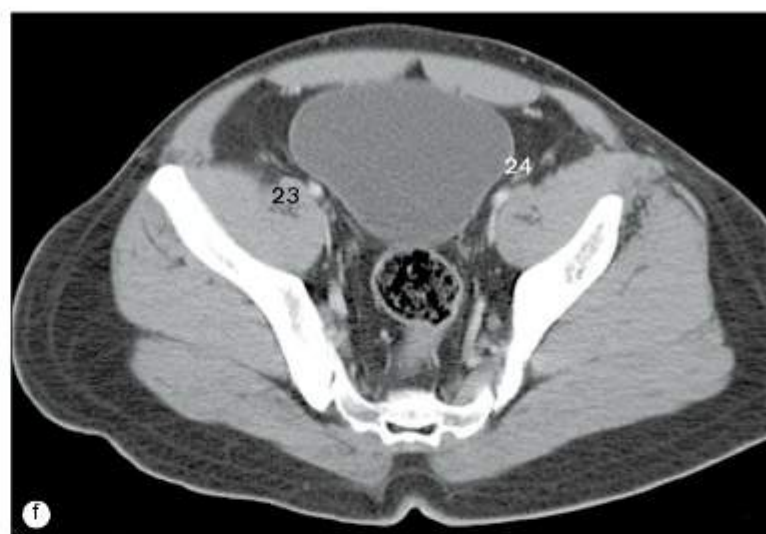
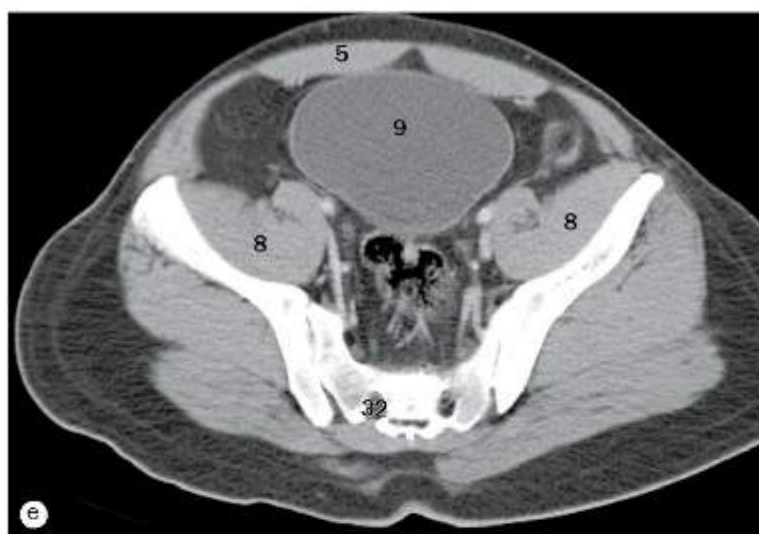


(a)-(h) Imagens axiais e sequenciais de TC do abdome e da pélvica de um indivíduo masculino, da região superior para inferior.

- 1 Ceco
- 2 Ileum – parte terminal
- 3 Osso do quadril
- 4 Colo ascendente
- 5 Músculo reto do abdome
- 6 Músculos eretores da espinha
- 7 Músculo psoas maior
- 8 Músculo ilíaco

- 9 Bexiga urinária
- 10 Ureter esquerdo
- 11 Ureter direito
- 12 Veias lombares
- 13 Artéria ilíaca comum direita
- 14 Artéria ilíaca comum esquerda
- 15 Artéria ilíaca interna direita
- 16 Artéria ilíaca interna esquerda

- 17 Artéria ilíaca externa direita
- 18 Artéria ilíaca externa esquerda
- 19 Veia ilíaca comum direita
- 20 Veia ilíaca comum esquerda
- 21 Veia ilíaca interna direita
- 22 Veia ilíaca interna esquerda
- 23 Veia ilíaca externa direita
- 24 Veia ilíaca externa esquerda



(a)-(h) Imagens axiais e sequenciais de TC do abdome e da pelve de um indivíduo masculino, da região superior para inferior.

25 Músculo glúteo médio
26 Músculo glúteo máximo
27 Músculo glúteo mínimo
28 Colo sigmoide
29 Sacro
30 Asa do sacro
31 Articulação sacroilíaca

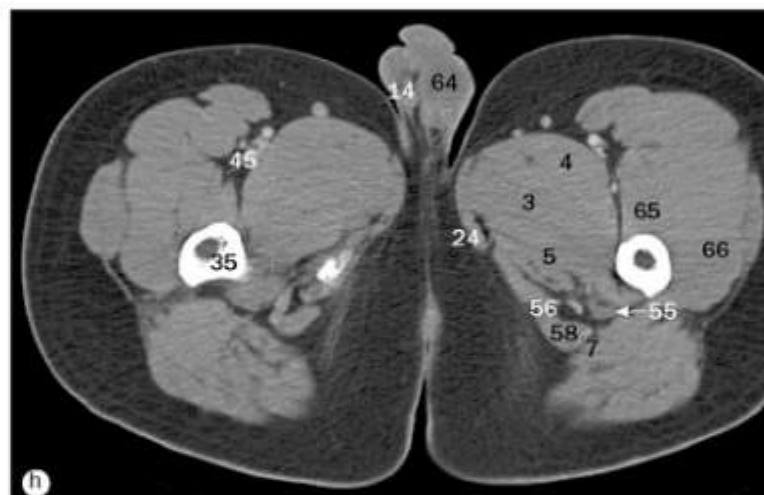
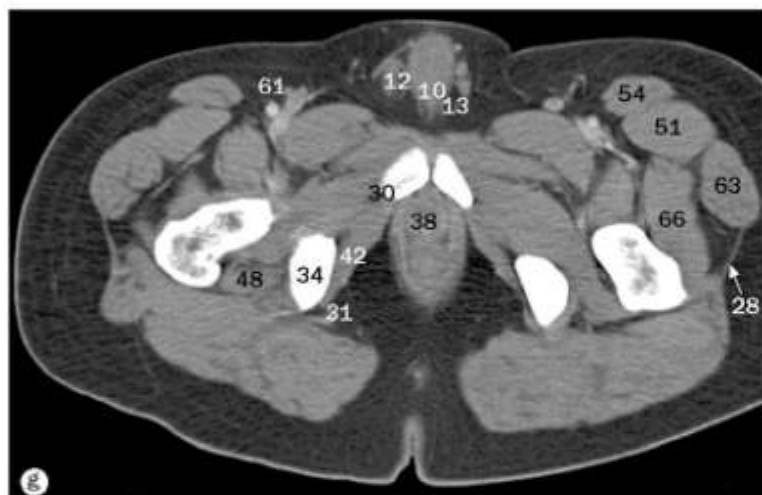
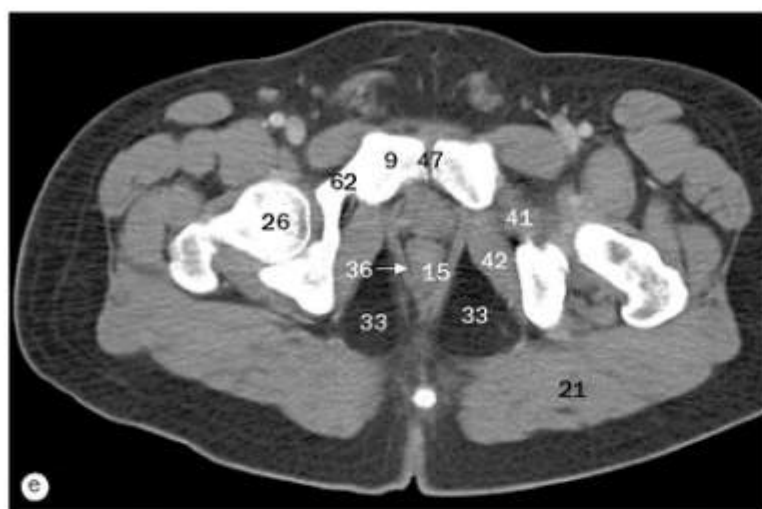
32 Forame sacral
33 Reto
34 Ducto deferente
35 Músculo tensor da fáscia lata
36 Glândula seminal
37 Músculo piriforme
38 Artéria e veia glútea superior

39 Linha alba
40 Músculo obliquo externo do abdome
41 Músculo obliquo interno do abdome
42 Músculo transverso do abdome
43 Saco tecal
44 Músculo sartório
45 Artéria epigástrica superficial



(a)-(h) Imagens axiais e sequenciais de TC do abdome e da pélve de um indivíduo masculino, da região superior para inferior.

- | | | |
|--------------------------|--------------------------------------|-----------------------------------|
| 1 Teto do acetáculo | 12 Corpo cavernoso | 23 Músculo glúteo mínimo |
| 2 Acetáculo | 13 Ramo do pênis (corpo cavernoso) | 24 Músculo grátil |
| 3 Músculo adutor curto | 14 Epidídimos | 25 Trocanter maior do fêmur |
| 4 Músculo adutor longo | 15 Músculo esfíncter externo do ânus | 26 Cabeça do fêmur |
| 5 Músculo adutor magno | 16 Artéria ilíaca externa | 27 Músculo iliopsoas |
| 6 Canal anal | 17 Veia ilíaca externa | 28 Trato iliotibial |
| 7 Músculo bíceps femoral | 18 Artéria femoral | 29 Artéria e veia glútea inferior |
| 8 Bexiga urinária | 19 Veia femoral | 30 Ramo inferior do púbis |
| 9 Corpo do púbis | 20 Músculo gêmeo | 31 Artéria e veia pudenda interna |
| 10 Bulbo do pênis | 21 Músculo glúteo máximo | 32 Espinha isquiática |
| 11 Côccix | 22 Músculo glúteo médio | 33 Fossa isquioanal |



(a)-(h) Imagens axiais e sequenciais de TC do abdome e da pelve de um indivíduo masculino, da região superior para inferior.

- 34 Isquio
- 35 Trocanter menor do fêmur
- 36 Músculo levantador do ánus
- 37 Ligamento da cabeça do fêmur
- 38 Parte membranácea da uretra
- 39 Colo do fêmur
- 40 Artéria e veia obturatórias
- 41 Músculo obturador externo
- 42 Músculo obturador interno
- 43 Músculo pectíneo
- 44 Músculo piriforme

- 45 Artéria femoral profunda
- 46 Próstata
- 47 Sínfise pública
- 48 Músculo quadrado femoral
- 49 Reto
- 50 Músculo reto do abdome
- 51 Músculo reto femoral
- 52 Ligamento sacroespinal
- 53 Sacro
- 54 Músculo sartório
- 55 Nervo isquiático

- 66 Músculo semimembranaceo
- 57 Glândula seminal
- 58 Músculo semitendíneo
- 59 Colo sigmoide
- 60 Funiculo espermático
- 61 Artéria femoral
- 62 Ramo superior do púbis
- 63 Músculo tensor da fáscia lata
- 64 Testículo
- 65 Músculo vasto intermédio
- 66 Músculo vasto lateral



a



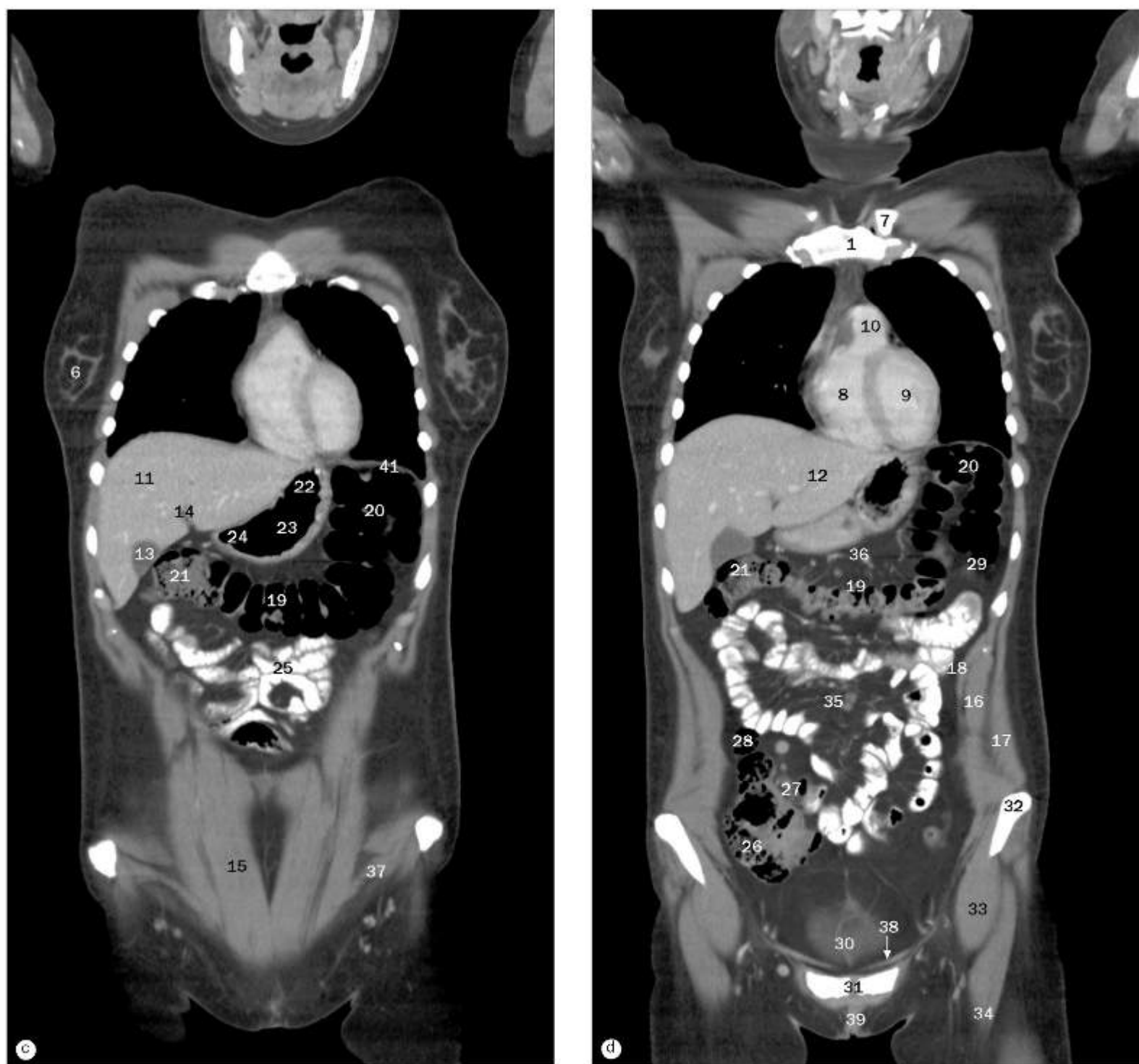
b

(a)-(d) Imagens coronais e sequenciais de TC do tórax, do abdome e da pelve de uma mulher, da região anterior para posterior.
Nota: as páginas 136-145 mostram imagens sequenciais da mesma paciente do sexo feminino.

- 1 Manubrio
- 2 Corpo do esterno
- 3 Costela
- 4 Cartilagem costal
- 5 Processo xifoide
- 6 Mama
- 7 Clavícula

- 8 Ventrículo direito
- 9 Ventrículo esquerdo
- 10 Tronco pulmonar
- 11 Lobo hepático direito
- 12 Lobo hepático esquerdo
- 13 Vesícula biliar
- 14 Fissura do ligamento venoso

- 15 Músculo reto do abdome
- 16 Músculo oblíquo interno do abdome
- 17 Músculo oblíquo externo do abdome
- 18 Músculo transverso do abdome
- 19 Colo transverso
- 20 Flexura esquerda do colo
- 21 Flexura direita do colo

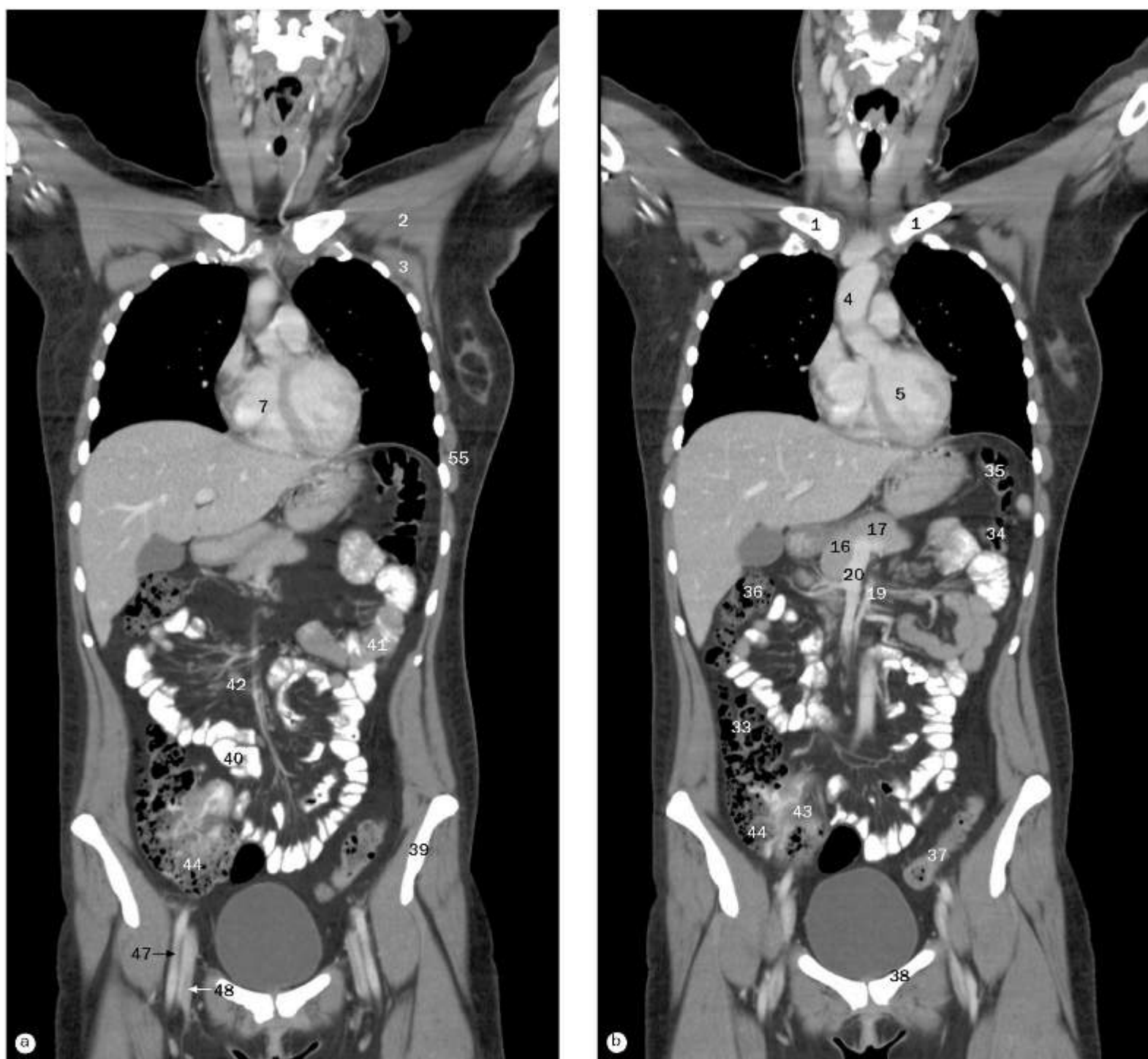


(a)-(d) Imagens coronais e sequenciais de TC do tórax, do abdome e da pelve de uma mulher, da região anterior para posterior.

22 Fundo gástrico
 23 Corpo gástrico
 24 Antro pilórico
 25 Jejuno
 26 Ceco
 27 Ileo
 28 Colo ascendente

29 Colo descendente
 30 Bexiga urinária
 31 Síntese pública
 32 Crista ilíaca
 33 Músculo iliopsoas
 34 Músculo sartório
 35 Mesentério do intestino delgado

36 Mesocolo transverso
 37 Músculo pectíneo
 38 Músculo levantador do ânus
 39 Lábio maior do pudendo
 40 Hemidiafragma direito
 41 Hemidiafragma esquerdo



- 1 Clavícula
- 2 Músculo peitoral maior
- 3 Músculo peitoral menor
- 4 Parte ascendente da aorta
- 5 Ventrículo esquerdo
- 6 Artéria pulmonar
- 7 Ventrículo direito
- 8 Átrio direito
- 9 Veia cava superior
- 10 Veia braquiocefálica esquerda

- 11 Tronco braquiocefálico
- 12 Pulmão direito
- 13 Pulmão esquerdo
- 14 Lobo hepático direito
- 15 Lobo hepático esquerdo
- 16 Cabeça do pâncreas
- 17 Colo do pâncreas
- 18 Corpo do pâncreas
- 19 Artéria mesentérica superior (AMS)
- 20 Veia mesentérica superior (VMS)

- 21 Vela esplênica
- 22 Vela porta
- 23 Vesícula biliar
- 24 Veia cava inferior
- 25 Aorta
- 26 Artéria ilíaca comum direita
- 27 Artéria ilíaca comum esquerda
- 28 Músculo psoas
- 29 Músculo iliaco
- 30 Músculo iliopsoas



(a)-(d) Imagens coronais e sequenciais de TC do tórax, do abdome e da pelve de uma mulher, da região anterior para posterior.

31 Bexiga urinária
 32 Baço
 33 Colo ascendente
 34 Colo descendente
 35 Flexura esquerda do colo
 36 Flexura direita do colo
 37 Colo sigmoide
 38 Ramo superior do púbis
 39 Ilío

40 Ileó
 41 Jejuno
 42 Mesentério do intestino delgado
 43 Ileó – parte terminal
 44 Ceco
 45 Artéria ilíaca externa
 46 Veia ilíaca externa
 47 Artéria femoral
 48 Veia femoral

49 Ramos jejunais da artéria mesentérica superior
 50 Ramos ileais da artéria mesentérica superior
 51 Músculo glúteo médio
 52 Cabeça do fêmur
 53 Bifurcação da aorta
 54 Parte superior do duodeno
 55 Músculo serrátil anterior



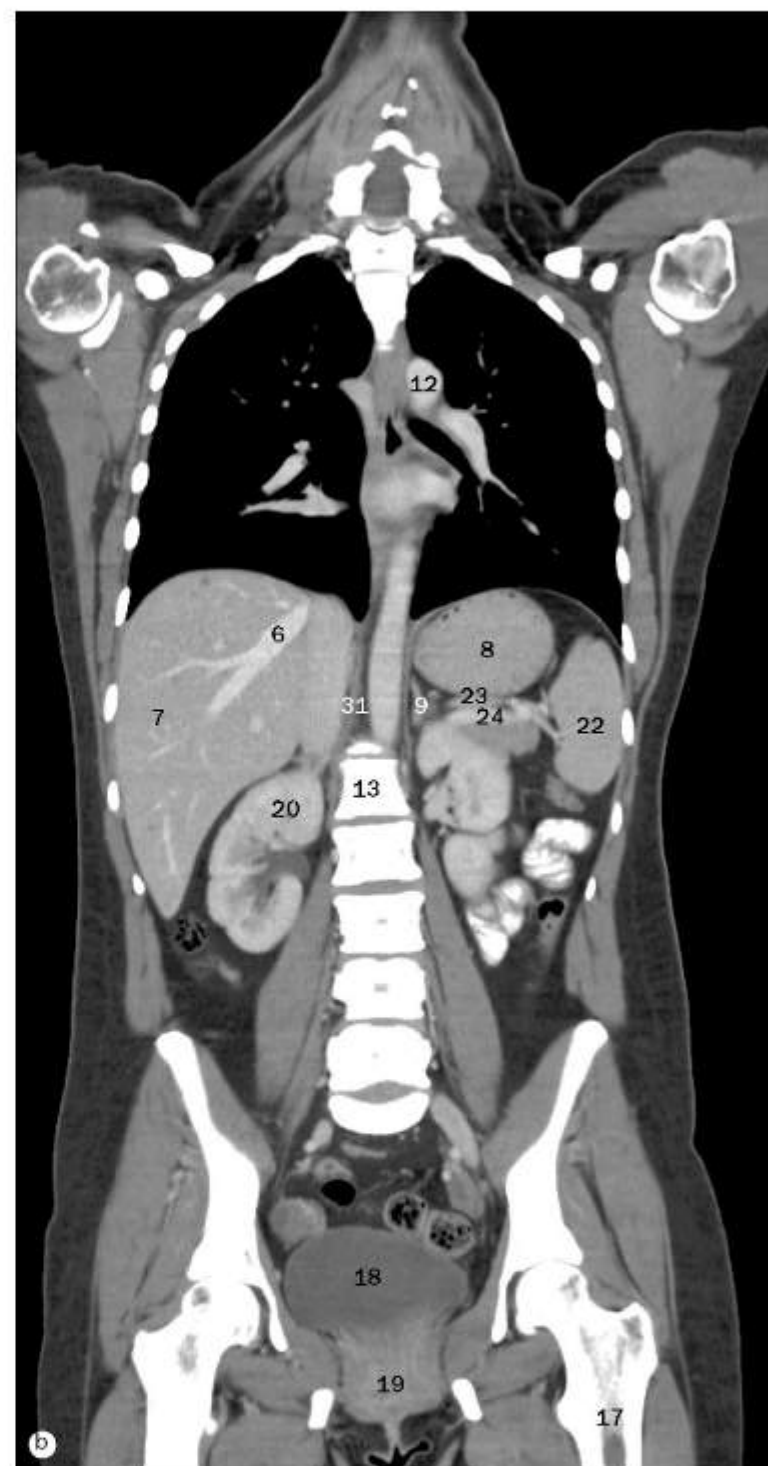
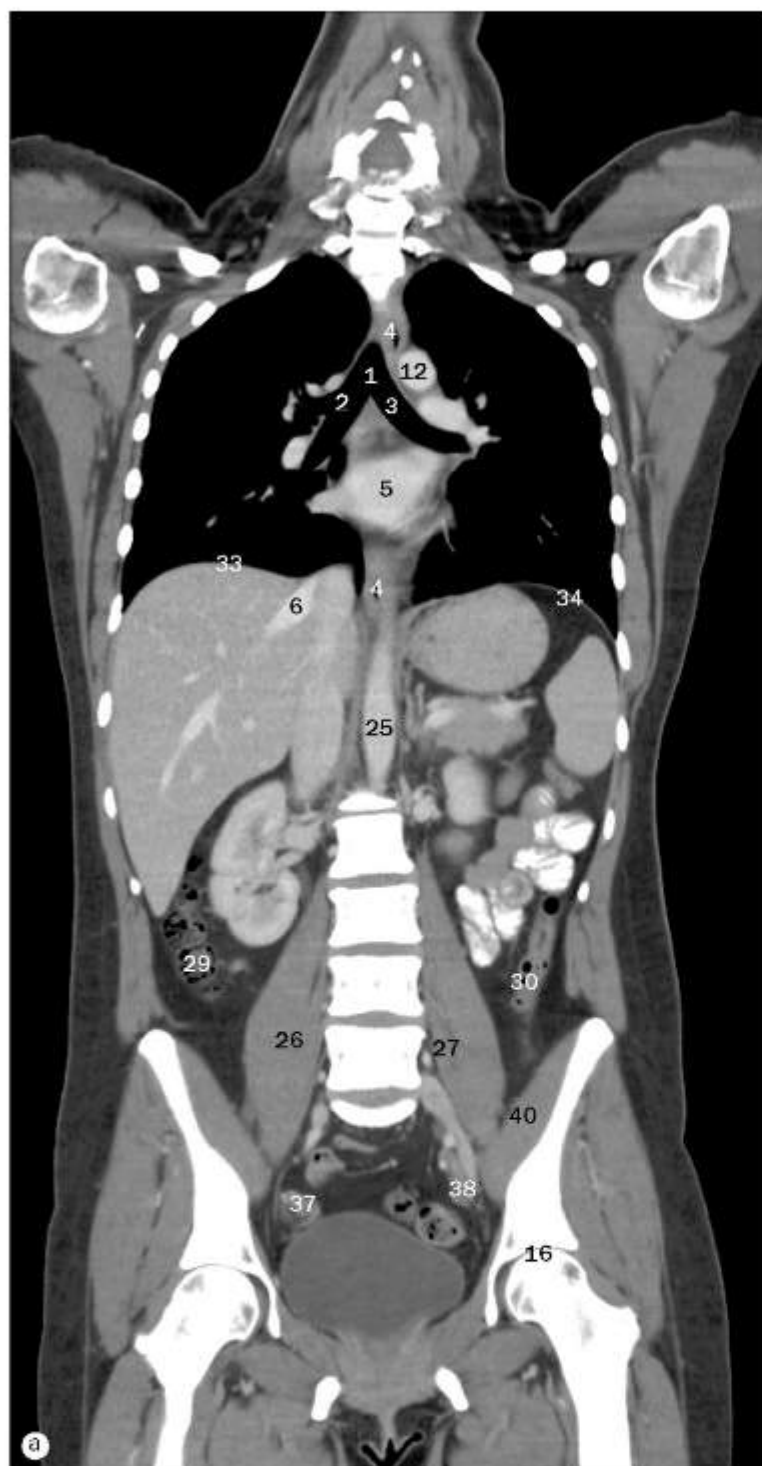
(a)-(d) Imagens coronais e sequenciais de TC do tórax, do abdome e da pelve de uma mulher, da região anterior para posterior.

- | | | |
|-----------------------------------|-------------------------------------|-----------------------------|
| 1 Esôfago | 12 Brônquio lobar superior direito | 23 Aorta |
| 2 Veia cava superior | 13 Brônquio intermédio | 24 Rim direito |
| 3 Átrio direito | 14 Brônquio principal esquerdo | 25 Artéria renal direita |
| 4 Ventrículo direito | 15 Brônquio lobar superior esquerdo | 26 Vela renal esquerda |
| 5 Parte ascendente da aorta | 16 Átrio esquerdo | 27 Fundo gástrico |
| 6 Traqueia | 17 Pulmão direito | 28 Baço |
| 7 Arteria carótida comum esquerda | 18 Pulmão esquerdo | 29 Colo ascendente |
| 8 Arco da aorta | 19 Lobo inferior direito | 30 Colo descendente |
| 9 Artéria pulmonar direita | 20 Veia hepática | 31 Colo sigmoide |
| 10 Artéria pulmonar esquerda | 21 Veia porta | 32 Flexura esquerda do colo |
| 11 Brônquio principal direito | 22 Veia cava inferior | 33 Flexura direita do colo |



(a)-(d) Imagens coronais e sequenciais de TC do tórax, do abdome e da pelve de uma mulher, da região anterior para posterior.

- | | | |
|---------------------------------|---|-------------------------------|
| 34 Artéria hepática comum | 44 Músculo glúteo médio | 53 Osso do quadril |
| 35 Tronco celiaco | 45 Músculo obturador externo | 54 Cabeça do fêmur |
| 36 Artéria mesentérica superior | 46 Músculo obturador interno | 55 Corpo do pâncreas |
| 37 Artéria gástrica esquerda | 47 Veia ilíaca comum direita | 56 Cauda do pâncreas |
| 38 Junção esofagogástrica | 48 Veia ilíaca comum esquerda | 57 Hemidiafragma direito |
| 39 Artéria esplênica | 49 Ceco | 58 Hemidiafragma esquerdo |
| 40 Artéria renal esquerda | 50 Artérias sigmóideas (a partir da artéria mesentérica inferior) | 59 Pilar direito do diafragma |
| 41 Músculo psoas maior | 51 Jejuno | 60 Músculo latíssimo do dorso |
| 42 Músculo ilíaco | 52 Ileo | |
| 43 Músculo glúteo máximo | | |

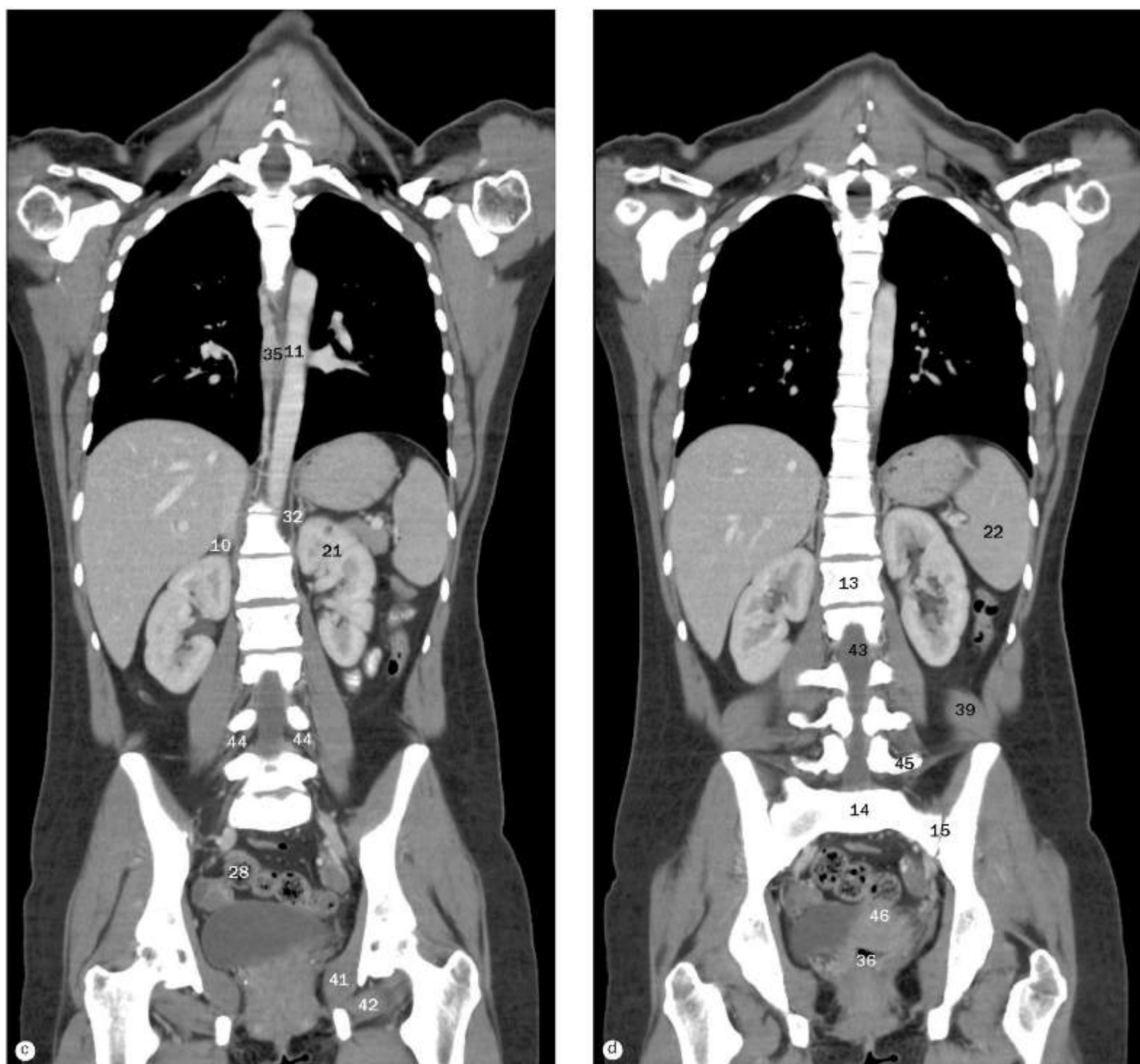


(a)-(d) Imagens coronais e sequenciais de TC do tórax, do abdome e da pelve de uma mulher, da região anterior para posterior.

- 1 Carina da traqueia
- 2 Brônquio principal direito
- 3 Brônquio principal esquerdo
- 4 Esôfago
- 5 Átrio esquerdo
- 6 Veia hepática
- 7 Lobo hepático direito
- 8 Fundo gástrico

- 9 Glândula suprarrenal esquerda
- 10 Glândula suprarrenal direita
- 11 Parte descendente da aorta – parte torácica
- 12 Arco da aorta
- 13 Corpo vertebral de L1
- 14 Sacro
- 15 Articulação sacroilíaca
- 16 Acetáculo

- 17 Fêmur
- 18 Bexiga urinária
- 19 Vagina
- 20 Rim direito
- 21 Rim esquerdo
- 22 Baço
- 23 Artéria esplênica
- 24 Veia esplênica



25 Parte descendente da aorta – parte abdominal
 26 Músculo psoas maior
 27 Músculo psoas menor
 28 Colo sigmoide
 29 Colo ascendente
 30 Colo descendente
 31 Pilar direito do diafragma

32 Pilar esquerdo do diafragma
 33 Hemidiafragma direito
 34 Hemidiafragma esquerdo
 35 Veia ázigo
 36 Reto
 37 Vasos ilíacos internos direitos
 38 Vasos ilíacos internos esquerdos
 39 Músculo quadrado do lombo

40 Músculo ilíaco
 41 Músculo obturador interno
 42 Músculo obturador externo
 43 Canal vertebral
 44 Raízes nervosas lombares
 45 Processo transverso de L5
 46 Útero



(a)-(d) Imagens coronais e sequenciais de TC do tórax, do abdome e da pelve de uma mulher, da região anterior para posterior.

- 1 Décima segunda costela
- 2 Fígado
- 3 Medula espinal
- 4 Canal vertebral
- 5 Processo espinhoso
- 6 Osso do quadril
- 7 Sacro

- 8 Articulação sacroiliaca
- 9 Pilar direito do diafragma
- 10 Pilar esquerdo do diafragma
- 11 Hemidiaphragma direito
- 12 Hemidiaphragma esquerdo
- 13 Músculos eretores da espinha
- 14 Músculo quadrado do lombo

- 15 Músculo glúteo máximo
- 16 Colo sigmoide
- 17 Reto
- 18 Vagina
- 19 Colo do útero
- 20 Útero
- 21 Veias uterinas



(a)-(d) Imagens coronais e sequenciais de TC do tórax, do abdome e da pelve de uma mulher, da região anterior para posterior.

22 Músculo latíssimo do dorso
23 Décima costela
24 Rim direito
25 Rim esquerdo
26 Escápula
27 Clavícula

28 Articulação acromioclavicular
29 Músculo glúteo médio
30 Músculo subescapular
31 Músculo infraespinal
32 Músculo supraespinal
33 Músculo intercostal

34 Nervo isquiático
35 Forame sacral
36 Baço
37 Ísquio



a



b

(a)-(d) Imagens sagitais e sequenciais de TC do tórax, do abdome e da pelve de uma mulher, da região direita para a esquerda. Nota: as páginas 146-149 mostram imagens sequenciais da mesma paciente do sexo feminino.

- 1 Pulmão direito
- 2 Pulmão esquerdo
- 3 Clavicula direita
- 4 Manubrio
- 5 Veia jugular interna direita
- 6 Aorta

- 7 Veia cava inferior
- 8 Veia cava superior
- 9 Átrio direito
- 10 Lobo hepático direito
- 11 Vesícula biliar
- 12 Rim direito

- 13 Jejuno
- 14 Ileo
- 15 Flexura direita do colo
- 16 Pâncreas
- 17 Músculo psoas maior
- 18 Músculo iliopsoas



(a)-(d) Imagens sagitais e sequenciais de TC do tórax, do abdome e da pelve de uma mulher, da região direita para a esquerda.

19 Vasos femoriais comuns
20 Sacro
21 Osso do quadril
22 Isquio
23 Bexiga urinária
24 Reto

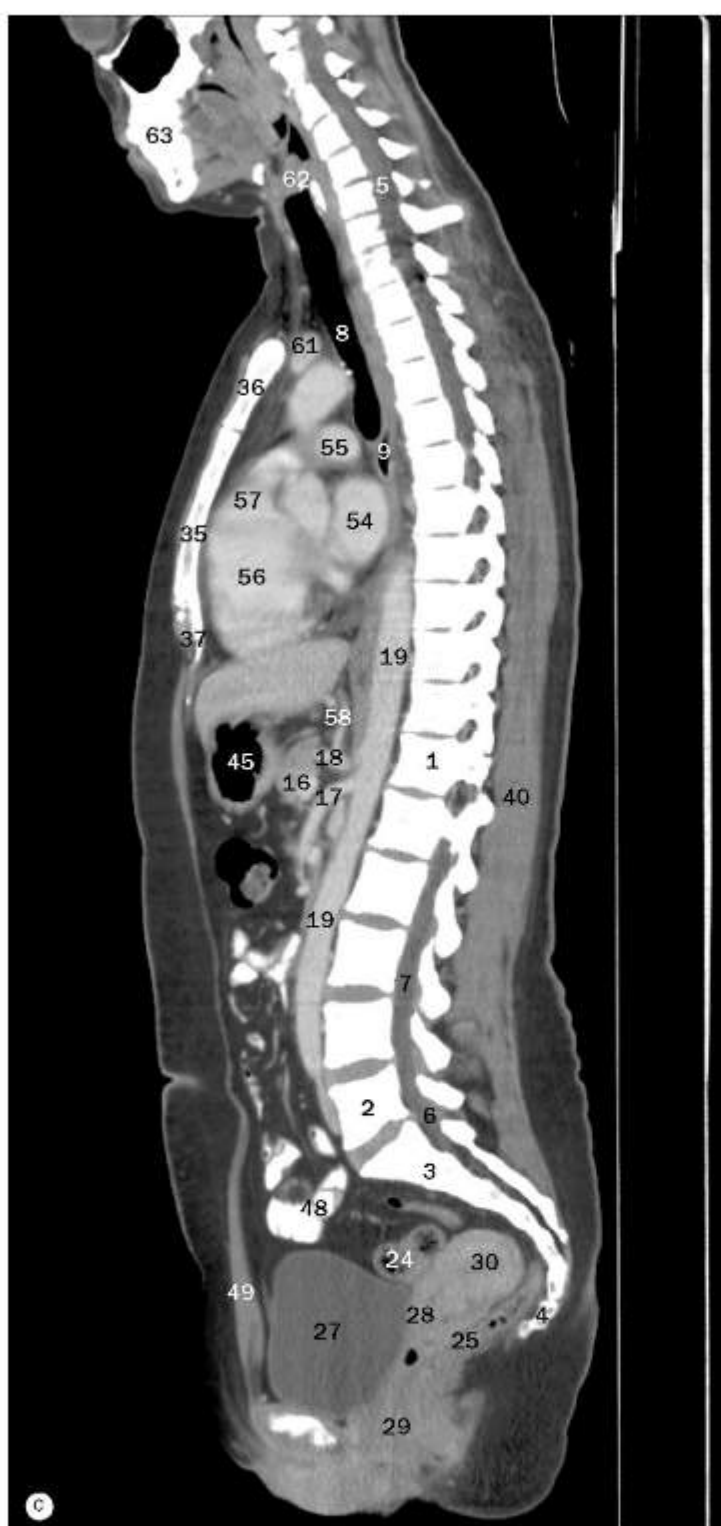
25 Colo sigmoide
26 Artéria ilíaca comum direita
27 Veia ilíaca externa direita
28 Artéria ilíaca externa direita
29 Veia ilíaca comum direita
30 Veia hepática

31 Veia porta
32 Púbis
33 Hemidiaphragma direito
34 Músculo glúteo máximo



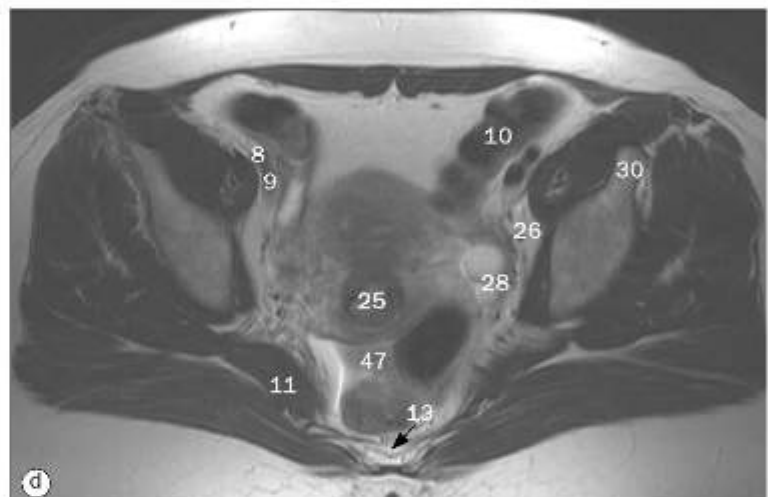
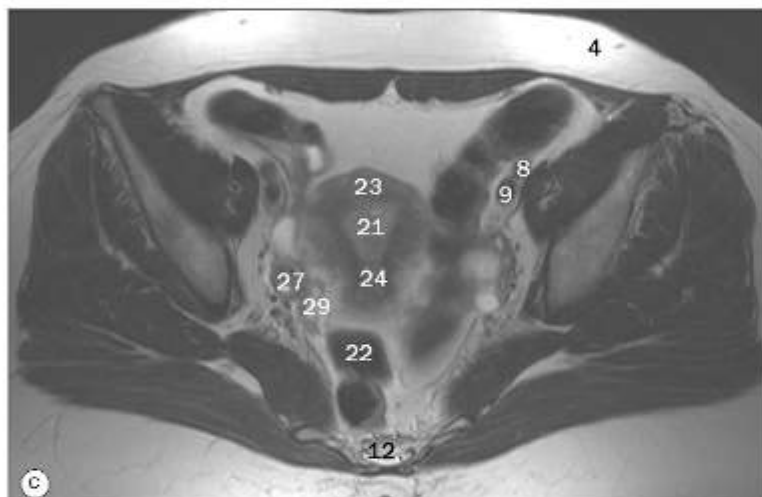
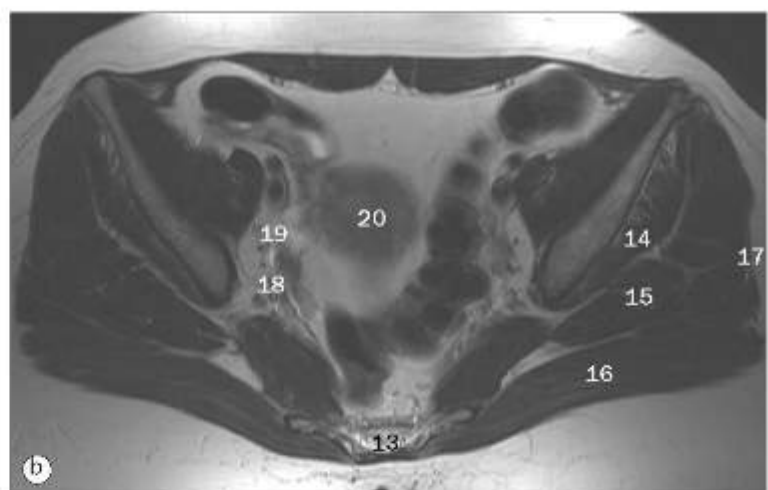
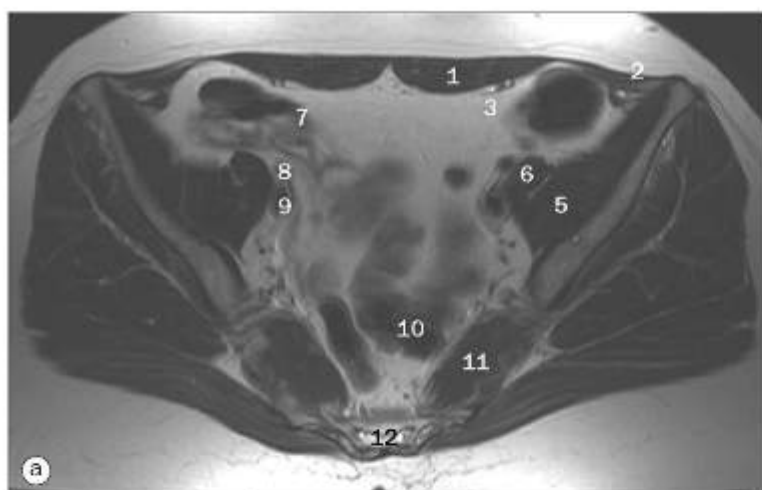
(a)-(d) Imagens sagitais e sequenciais de TC do tórax, do abdome e da pelve de uma mulher, da região direita para a esquerda.

- | | | |
|-------------------------|---------------------------------|---------------------|
| 1 Corpo da vértebra T12 | 11 Átrio direito | 21 Estômago |
| 2 Corpo da vértebra L5 | 12 Veia cava superior | 22 Colo descendente |
| 3 Sacro | 13 Veia cava inferior | 23 Colo transverso |
| 4 Côccix | 14 Veia hepática | 24 Colo sigmoide |
| 5 Medula espinal | 15 Veia esplênica | 25 Reto |
| 6 Canal vertebral | 16 Veia mesentérica superior | 26 Púbis |
| 7 Filamento terminal | 17 Artéria mesentérica superior | 27 Bexiga urinária |
| 8 Traqueia | 18 Tronco cefálico | 28 Colo do útero |
| 9 Esôfago | 19 Aorta | 29 Vagina |
| 10 Pulmão direito | 20 Pilar direito do diafragma | 30 Útero |



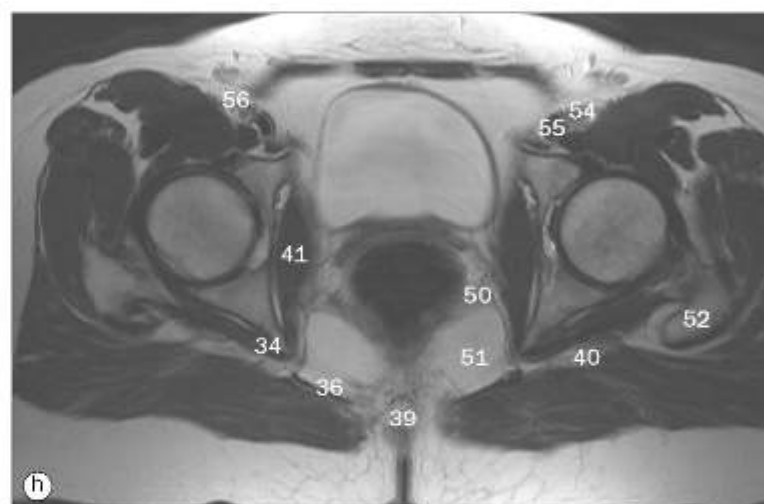
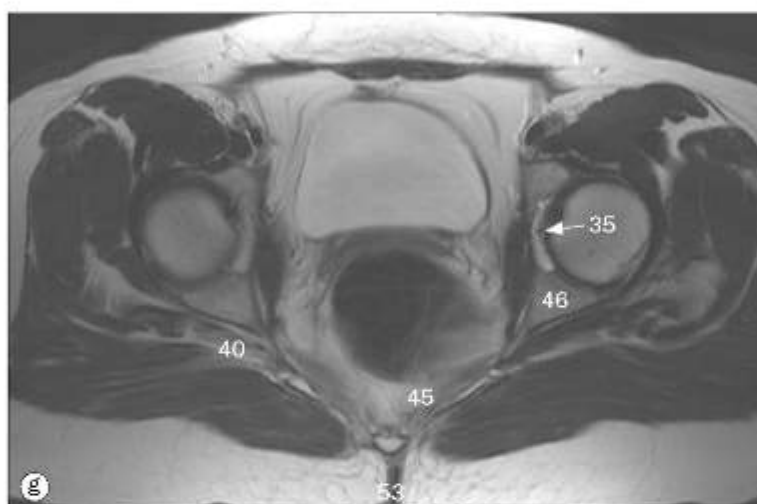
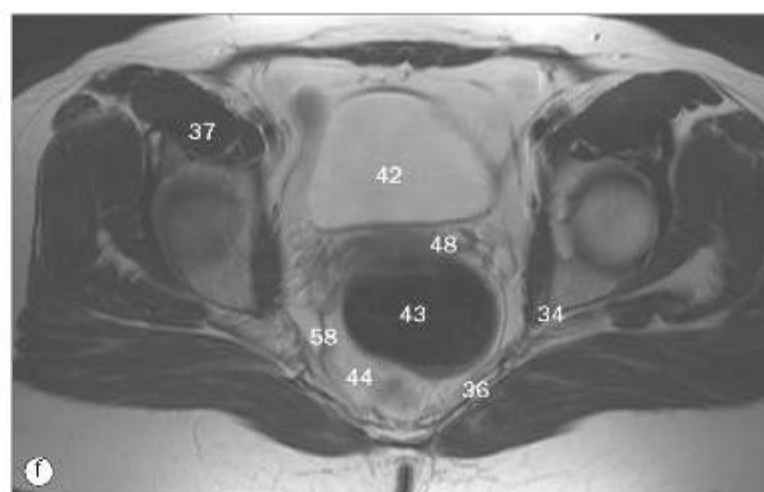
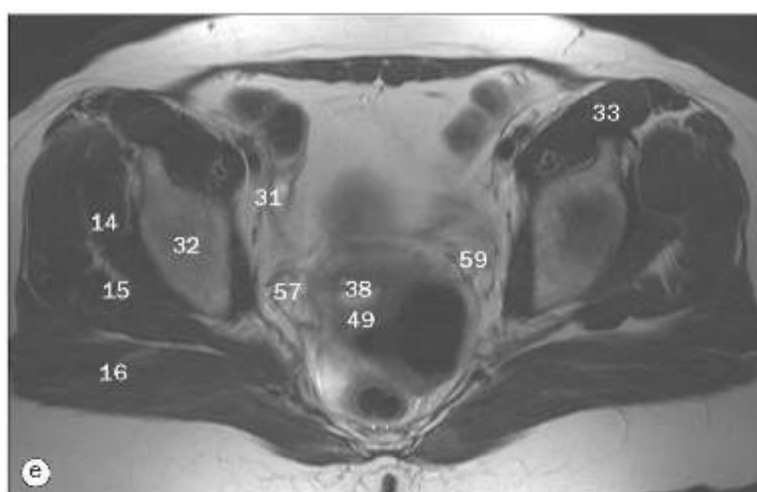
(a)-(d) Imagens sagitais e sequenciais de TC do tórax, do abdome e da pelve de uma mulher, da região direita para a esquerda.

- | | | |
|------------------------------------|---------------------------|----------------------------------|
| 31 Músculo glúteo máximo | 42 Hemidiafragma esquerdo | 53 Vasos femorais esquerdos |
| 32 Osso do quadril | 43 Fígado | 54 Átrio esquerdo |
| 33 Cabeça do fêmur | 44 Fundo gástrico | 55 Artéria pulmonar direita |
| 34 Ísquio | 45 Corpo gástrico | 56 Ventrículo direito |
| 35 Esterno | 46 Baço | 57 Saída do tronco pulmonar |
| 36 Manúbrio | 47 Jejuno | 58 Artéria hepática comum |
| 37 Processo xifoide | 48 Ileó | 59 Artéria esplênica |
| 38 Pulmão esquerdo | 49 Músculo reto do abdome | 60 Parte ascendente da aorta |
| 39 Clavícula esquerda | 50 Corpo do pâncreas | 61 Veia braquiocefálica esquerda |
| 40 Músculos eretores da espinha | 51 Cauda do pâncreas | 62 Laringe |
| 41 Músculo peitoral maior esquerdo | 52 Músculo ilíaco | 63 Mandíbula |



(a)-(p) Imagens axiais e sequenciais de RM da pelve feminina, ponderadas em T2, da região superior para inferior.

- | | | |
|--|------------------------------|--|
| 1: Músculo reto do abdome | 11: Músculo piriforme | 22: Junção retossigmóidea |
| 2: Aponeurose do músculo oblíquo externo do abdome | 12: Sacro | 23: Miométrio do útero |
| 3: Vasos epigástricos inferiores | 13: Canal sacral | 24: Óstio histológico interno do útero |
| 4: Vasos epigástricos superficiais | 14: Músculo glúteo mínimo | 25: Óstio do útero |
| 5: Músculo ilíaco | 15: Músculo glúteo médio | 26: Vasos obturadores |
| 6: Músculo psoas maior | 16: Músculo glúteo máximo | 27: Ovário direito |
| 7: Íleo | 17: Fáscia lata | 28: Ovário esquerdo |
| 8: Artéria ilíaca externa | 18: Vasos glúteos superiores | 29: Tuba uterina direita |
| 9: Veia ilíaca externa | 19: Vasos ováricos | 30: Espinha ilíaca anteroinferior |
| 10: Colo sigmoide | 20: Fundo do útero | |
| | 21: Cavidade do útero | |

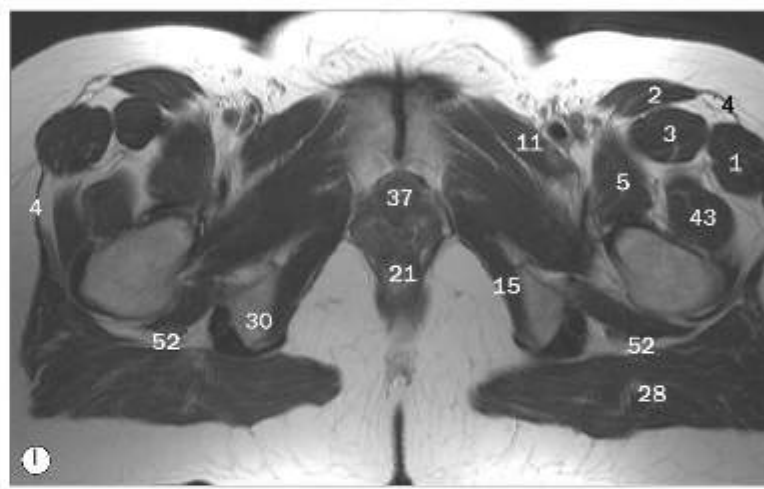
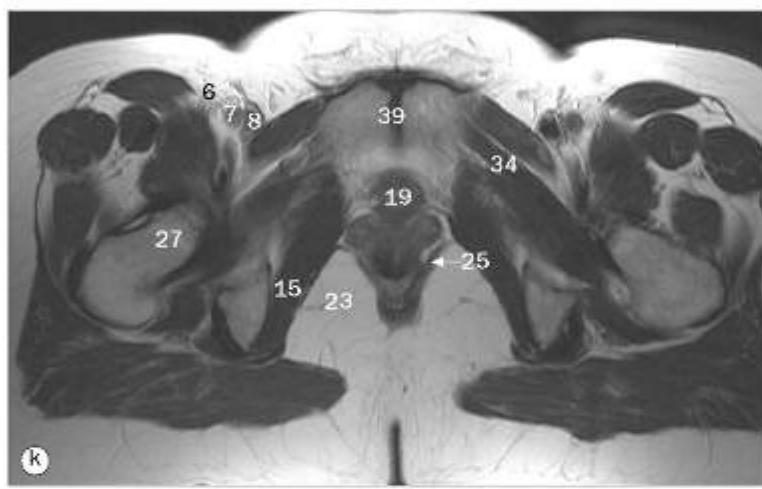
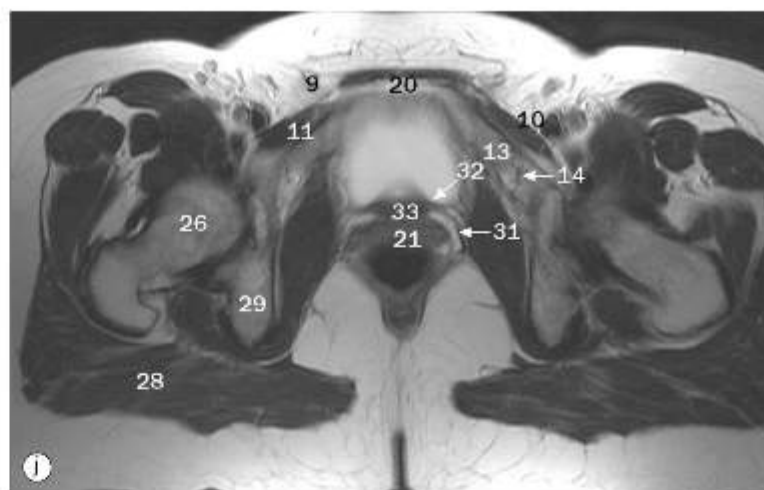
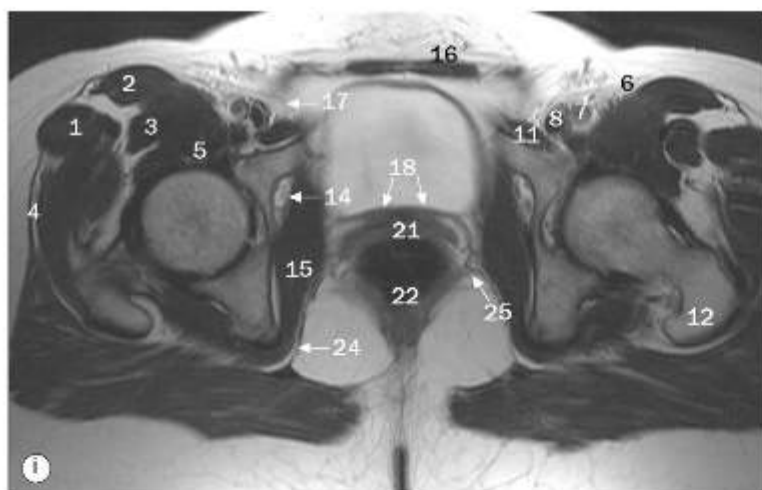


(a)-(p) Imagens axiais e sequenciais de RM da pelve feminina, ponderadas em T2, da região superior para inferior.

- 31 Ligamento redondo do útero
- 32 Teto do acetáculo
- 33 Músculo reto femoral
- 34 Espinha isquiática
- 35 Ligamento da cabeça do fêmur
- 36 Ligamento sacrospinal
- 37 Músculo iliopsoas
- 38 Parede do colo do útero
- 39 Coccix
- 40 Nervo isquiático

- 41 Músculo obturador interno
- 42 Bexiga urinária
- 43 Reto
- 44 Mesorreto
- 45 Fáscia inferior do diafragma da pelve
- 46 Isquio
- 47 Escavação retouterina
- 48 Fórmice posterior da vagina
- 49 Óstio do útero
- 50 Músculo levantador do ânus (puborrectal)

- 51 Fossa isquioanal
- 52 Trocante maior do fêmur
- 53 Fenda interglútea
- 54 Artéria femoral
- 55 Veia femoral
- 56 Ramos do nervo femoral
- 57 Ligamento transverso do colo
- 58 Ligamento retouterino
- 59 Ligamento largo

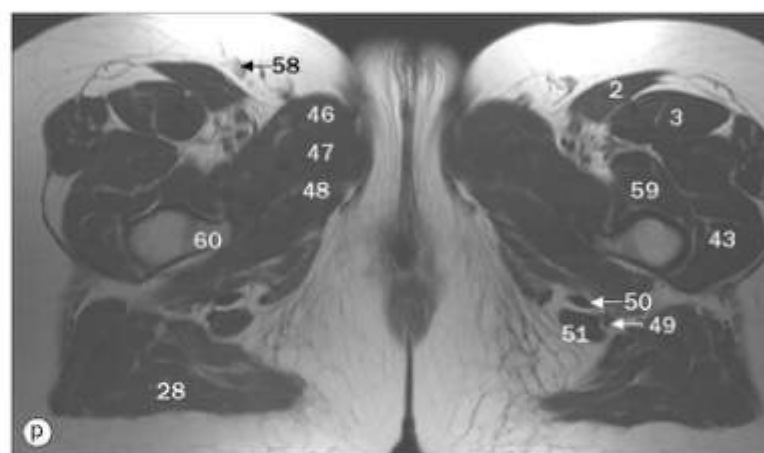
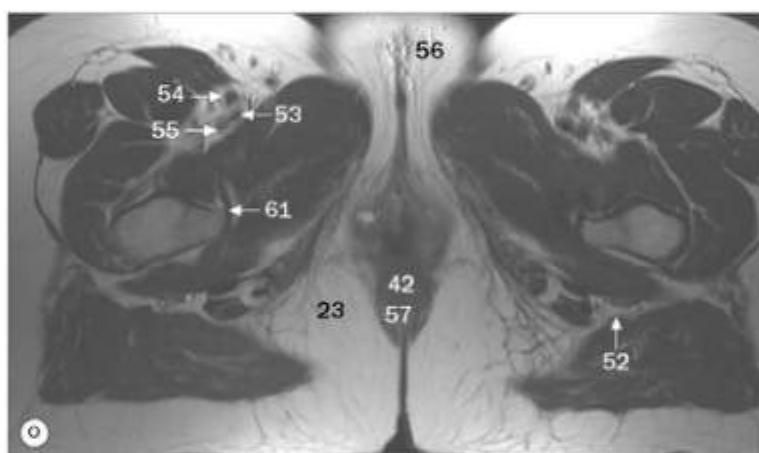
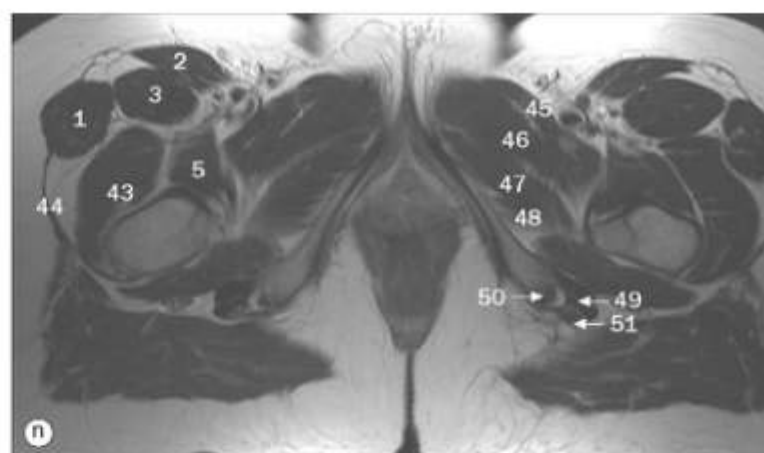
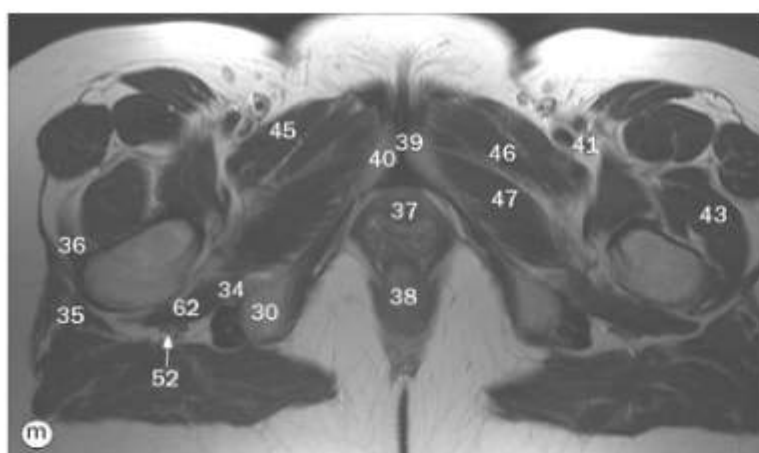


(a)-(p) Imagens axiais e sequenciais de RM da pelve feminina, ponderadas em T2, da região superior para inferior.

- 1 Músculo tensor da fascia lata
- 2 Músculo sartório
- 3 Músculo reto femoral
- 4 Fáscia lata
- 5 Músculo iliopsoas
- 6 Ramos do nervo femoral
- 7 Artéria femoral comum
- 8 Veia femoral comum
- 9 Ligamento redondo do útero
- 10 Canal femoral

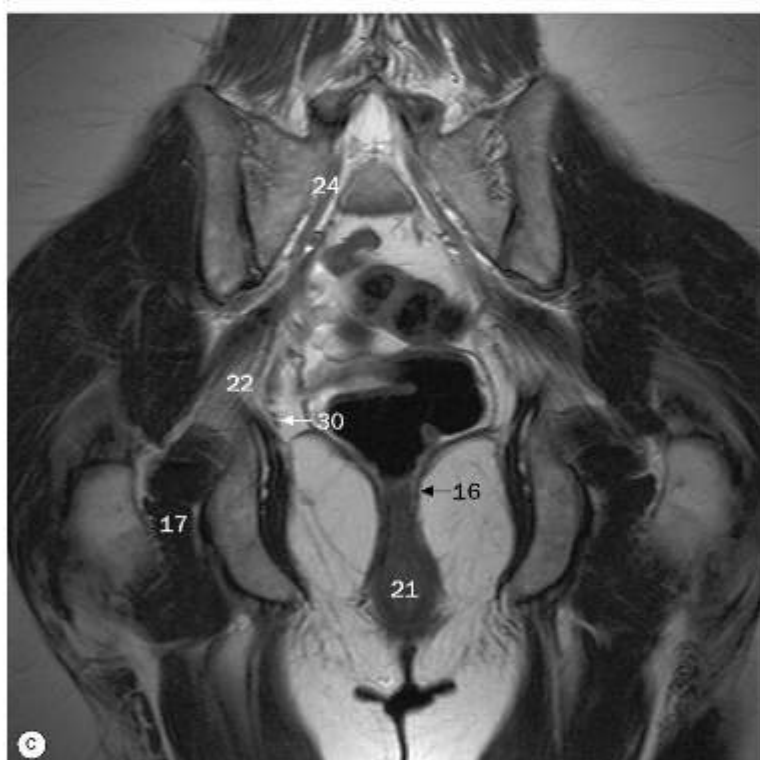
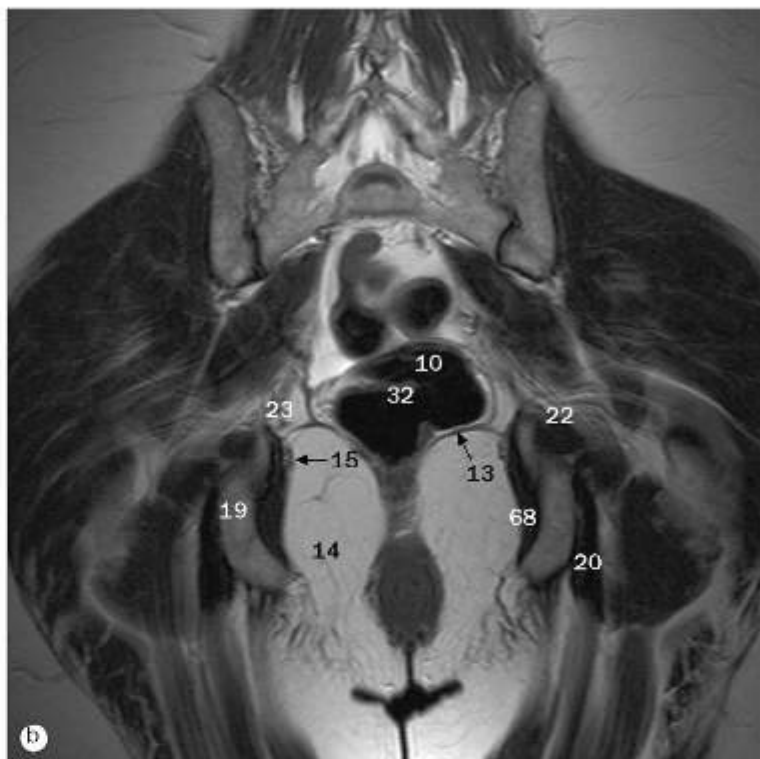
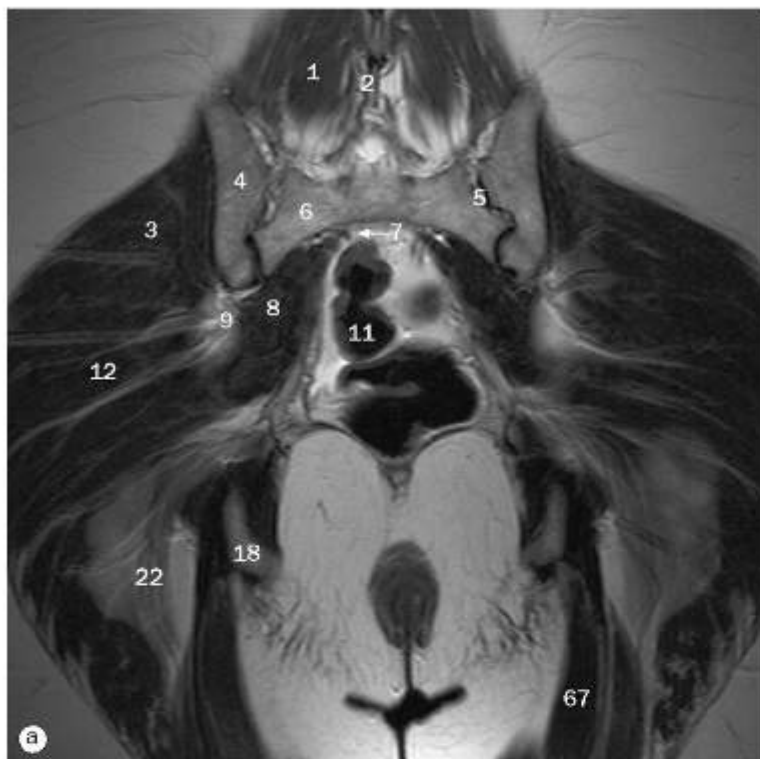
- 11 Pectíneo
- 12 Trocânter maior do fêmur
- 13 Ramo superior do púbis
- 14 Vasos obturadores
- 15 Músculo obturador interno
- 16 Músculo reto do abdome
- 17 Ligamento inguinal
- 18 Fundo da bexiga
- 19 Colo da bexiga
- 20 Espaço retropúbico

- 21 Vagina
- 22 Reto
- 23 Fossa isquioanal
- 24 Canal do pudendo
- 25 Músculo puborrectal
- 26 Cabeça do fêmur
- 27 Colo do fêmur
- 28 Músculo glúteo máximo
- 29 Isquio
- 30 Túber isquiático



(a)-(p) Imagens axiais e sequenciais de RM da pelve feminina, ponderadas em T2, da região superior para inferior.

- | | | |
|---|------------------------------|-----------------------------------|
| 31. Ureter | 41. Artéria femoral profunda | 52. Nervo isquálico |
| 32. Junção vesicoureteral | 42. Corpo do períneo | 53. Veia femoral superficial |
| 33. Trígono da bexiga | 43. Músculo vasto lateral | 54. Artéria femoral superficial |
| 34. Músculo obturador externo | 44. Trato iliotibial | 55. Vasos femorais profundos |
| 35. Músculo glúteo médio | 45. Músculo pectíneo | 56. Lábio maior do pudendo |
| 36. Músculo glúteo mínimo (inserção tendinea) | 46. Músculo adutor longo | 57. Canal anal |
| 37. Uretra | 47. Músculo adutor curto | 58. Veia safena magna |
| 38. Junção anorrectal | 48. Músculo adutor magno | 59. Músculo vasto intermédio |
| 39. Sínfise pubica | 49. Músculo semimembranáceo | 60. Trocânter menor do fêmur |
| 40. Corpo do púbis | 50. Músculo semitendíneo | 61. Inserção do músculo iliopsoas |
| | 51. Músculo bíceps femoral | 62. Músculo quadrado femoral |



(a)-(p) Imagens coronais de RM da pelve feminina, ponderadas em T2, da região posterior para anterior.

- | | | |
|-------------------------------------|-------------------------------------|---|
| 1 Músculo eretor da espinha | 13 Músculo levantador do ânus | 24 Nervo sacral (S1) |
| 2 Processo espinhoso da vértebra L5 | 14 Fossa isquioanal | 25 Saco tecal |
| 3 Músculo glúteo máximo | 15 Canal do pudendo | 26 Vasos retais superiores |
| 4 Osso do quadril | 16 Músculo esfínter externo do ânus | 27 Trocanter maior do fêmur |
| 5 Articulação sacroiliaca | 17 Músculo obturador externo | 28 Acetábulo |
| 6 Asa do sacro | 18 Túber isquiático | 29 Diafragma urogenital |
| 7 Tronco lombossacral | 19 Ísquio | 30 Feixe neurovascular no canal obturatório |
| 8 Músculo piriforme | 20 Origem comum dos tendões dos | 31 Ampola do reto |
| 9 Vasos glúteos superiores | músculos posteriores da coxa | 32 Prega transversa do reto |
| 10 Reto | 21 Canal anal | 33 Vasos retais médios |
| 11 Junção retossigmóidea | 22 Nervo isquiático | 34 Músculo piriforme (inserção) |
| 12 Músculo glúteo médio | 23 Vasos glúteos inferiores | 35 Parte intertrocantérica do fêmur |



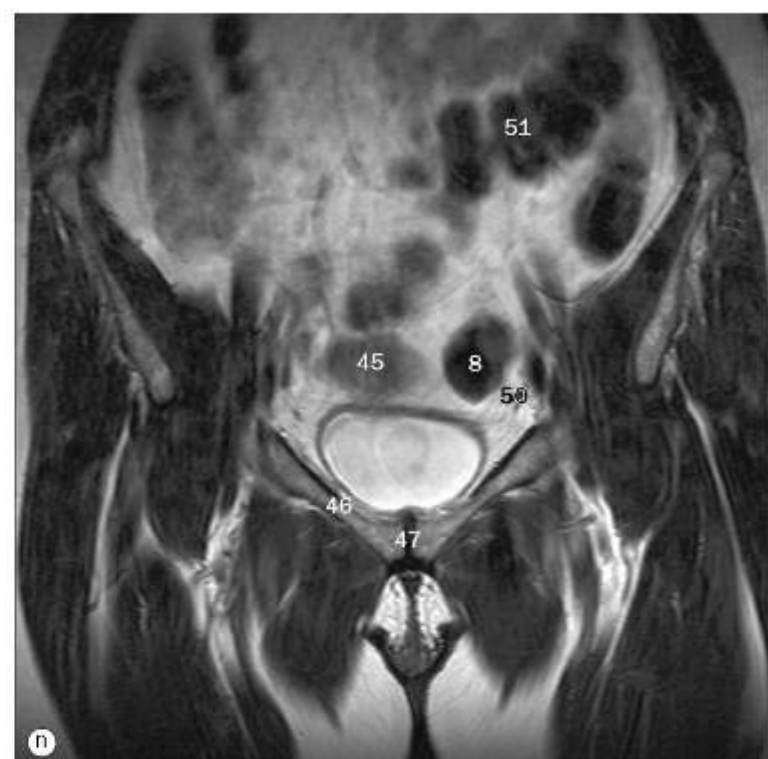
(a)-(p) Imagens coronais de RM da pelve feminina, ponderadas em T2, da região posterior para anterior.

- | | | |
|---------------------------------------|--|------------------------------|
| 36 Músculo obturador externo | 49 Ligamento largo do útero | 62 Músculo adutor longo |
| 37 Músculo gêmeo | 50 Ovário direito | 63 Trocânter menor do fêmur |
| 38 Feixe neurovascular retal inferior | 51 Ovário esquerdo | 64 Ramo inferior do púbis |
| 39 Ligamento iliolombar | 52 Cisto fisiológico do ovário (corpo lúteo) | 65 Plexo lombar |
| 40 Ureter | 53 Tuba uterina | 66 Crista ilíaca |
| 41 Tronco simpático | 54 Escavação retouterina | 67 Músculo bíceps femoral |
| 42 Ramos vasculares ilíacos internos | 55 Músculo psoas maior | 68 Músculo obturador interno |
| 43 Bifurcação do vaso ilíaco comum | 56 Colo descendente | 69 Músculo quadrado femoral |
| 44 Vasos gonadais | 57 Músculo iliaco | 70 Músculo grátil |
| 45 Colo do útero | 58 Disco intervertebral de L5/S1 | 71 Músculo glúteo mínimo |
| 46 Cavidade do útero | 59 Lábio menor do pudendo | |
| 47 Corpo do períneo | 60 Músculo adutor curto | |
| 48 Músculo puborrectal | 61 Vagina (parede posterior) | |



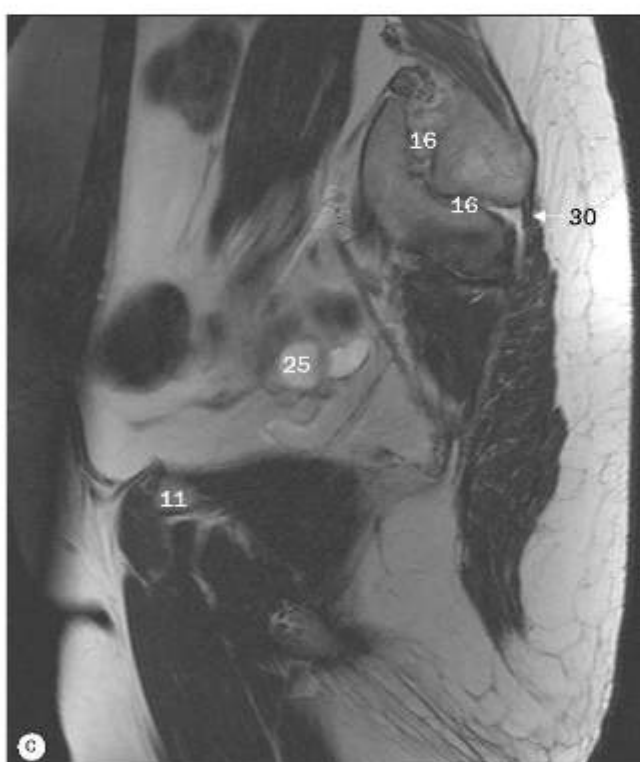
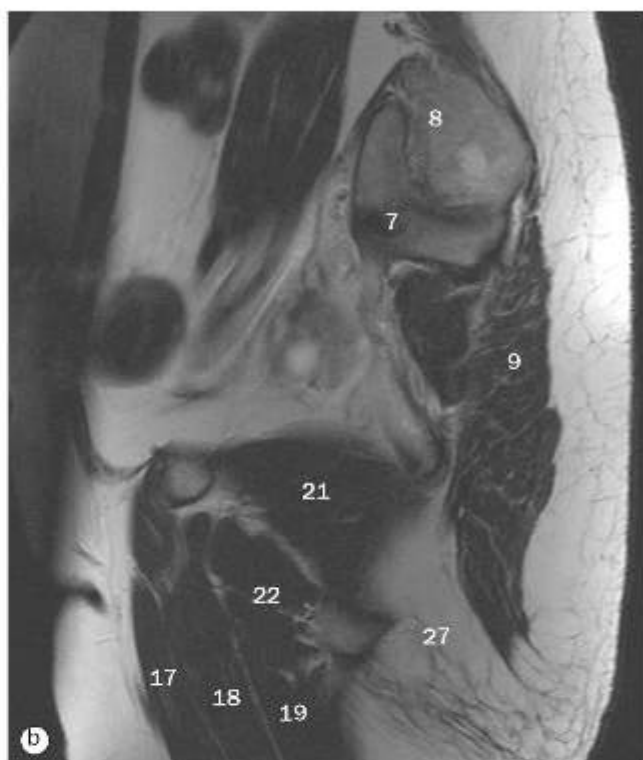
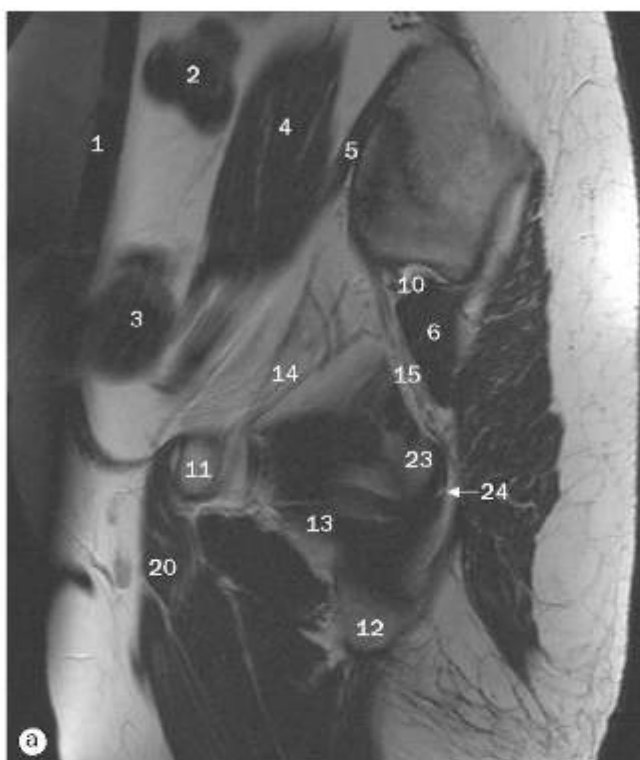
(a)-(p) Imagens coronais de RM da pelve feminina, ponderadas em T2, da região posterior para anterior.

- | | | |
|--------------------------------------|---|---|
| 1 Músculo psoas maior | 12 Ligamento largo do útero | 22 Músculo obturador externo |
| 2 Músculo ilíaco | 13 Tubas uterinas | 23 Músculo levantador do ânus |
| 3 Ramos da artéria ilíaca interna | 14 Vagina | 24 Músculo pubovaginal |
| 4 Colo descendente | 15 Fórmice posterior da vagina | 25 Músculo transverso do perineo (diafragma urogenital) |
| 5 Crista ilíaca | 16 Ureter | 26 Espaço profundo do perineo |
| 6 Músculo glúteo médio | 17 Óstio do ureter | 27 Espaço superficial do perineo |
| 7 Músculo glúteo mínimo | 18 Trígono da bexiga | 28 Uretra |
| 8 Colo sigmoide | 19 Feixe neurovascular no canal obturatório | 29 Esfínter interno da uretra |
| 9 Miométrio | 20 Teto do acetáculo | 30 Ramo inferior do púbis |
| 10 Disco intervertebral em L4/5 | 21 Músculo obturador interno | |
| 11 Ovários (cistos de corpos lúteos) | | |



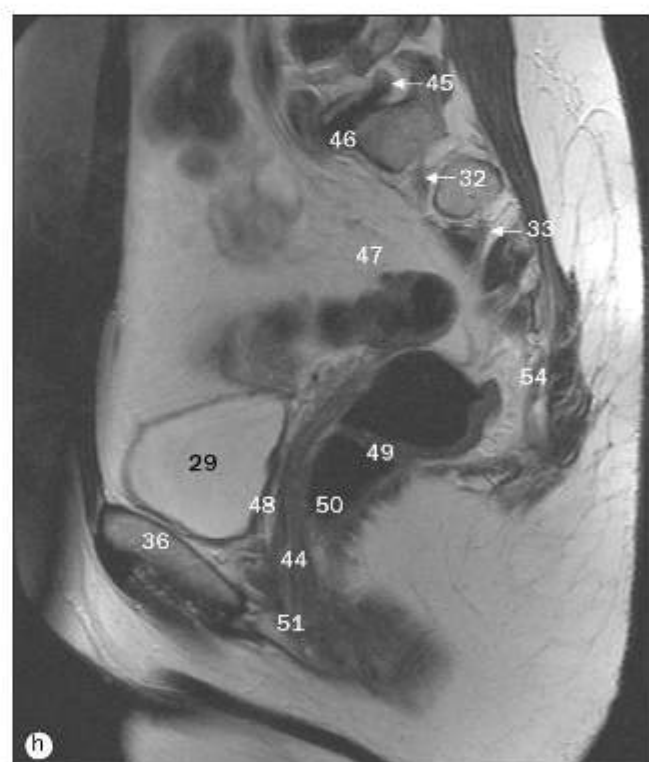
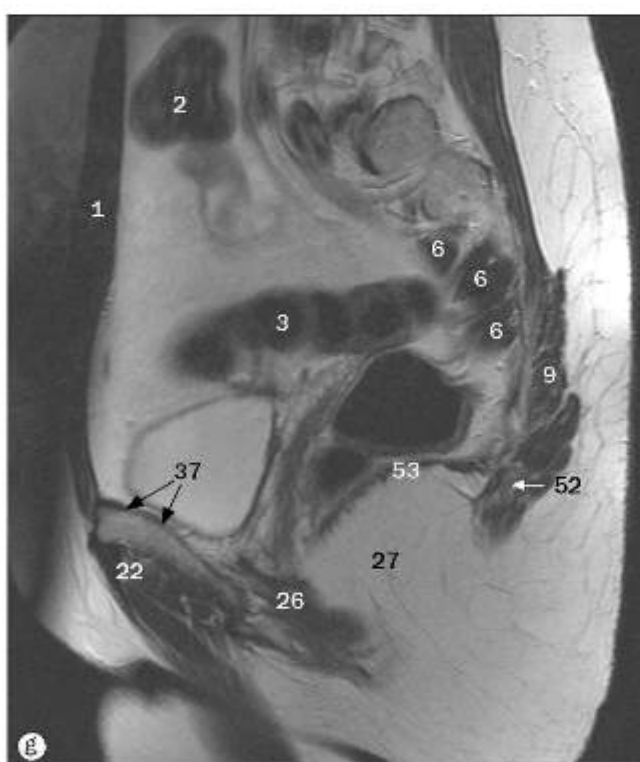
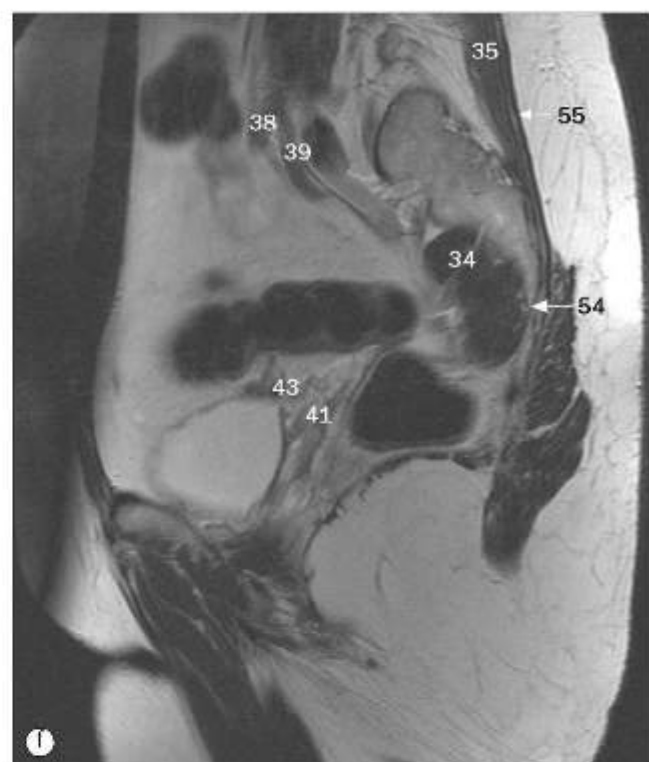
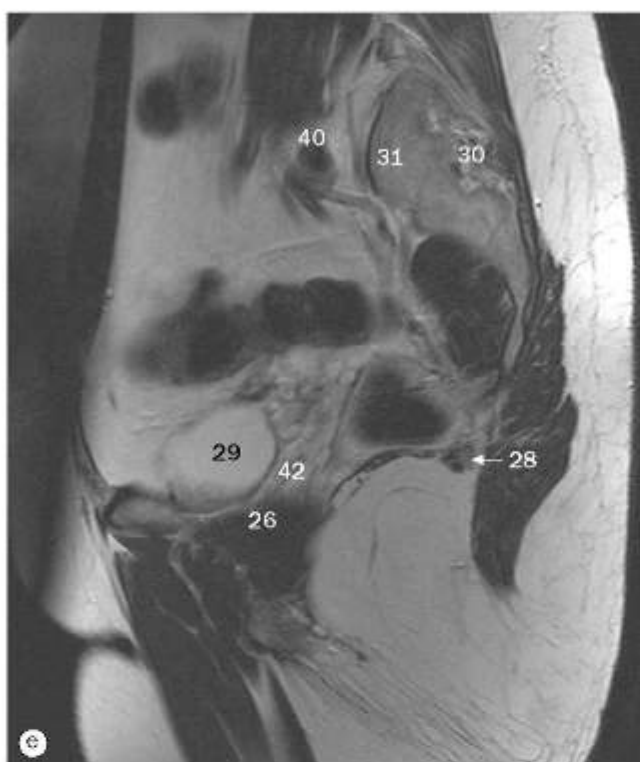
(a)-(p) Imagens coronais de RM da pelve feminina, ponderadas em T2, da região posterior para anterior.

- | | | |
|---------------------------------------|-------------------------------|--------------------------------------|
| 31. Músculo adutor longo | 42. Miométrio | 53. Ceco |
| 32. Lábio menor do pudendo | 43. Endométrio | 54. Músculo reto femoral |
| 33. Esfíncter interno da uretra | 44. Cavidade do útero | 55. Músculo iliopsoas |
| 34. Músculo vasto medial | 45. Fundo do útero | 56. Canal femoral |
| 35. Músculo vasto lateral | 46. Ramo superior do púbis | 57. Músculo adutor curto |
| 36. Aorta | 47. Síntese pública | 58. Músculo sartório |
| 37. Artéria ilíaca comum | 48. Artéria femoral | 59. Lábio maior do pudendo |
| 38. Artéria ilíaca externa | 49. Veia femoral | 60. Bexiga urinária |
| 39. Músculo oblíquo externo do abdome | 50. Vasos vesicais superiores | 61. Músculo grátil |
| 40. Músculo oblíquo interno do abdome | 51. Colo transverso | 62. Vasos circunflexos femorais |
| 41. Músculo transverso do abdome | 52. Intestino delgado | 63. Espaço retropélvico (de Retzius) |



(a)-(p) Imagens sagitais e sequenciais de RM da pelve feminina, ponderadas em T2, da direita para a esquerda através da linha mediana.

- | | | |
|------------------------------|--|---|
| 1. Músculo reto do abdome | 11. Ramo superior do púbis | 20. Músculo iliopsoas |
| 2. Colo transverso | 12. Ramo inferior do púbis | 21. Músculo obturador interno |
| 3. Colo sigmoide | 13. Músculo obturador externo | 22. Músculo pectíneo |
| 4. Músculo psoas maior | 14. Feixe neurovascular no canal obturatório | 23. Túber isquiático |
| 5. Músculo ilíaco | 15. Nervo isquiático | 24. Origem dos tendões dos músculos posteriores da coxa |
| 6. Músculo piriforme | 16. Articulação sacroiliaca | 25. Ovário direito (cisto do corpo lúteo) |
| 7. Asa do sacro | 17. Músculo adutor longo | 26. Músculo levantador do ánus |
| 8. Osso do quadril | 18. Músculo adutor curto | 27. Fossa isquioanal |
| 9. Músculo glúteo máximo | 19. Músculo adutor magno | |
| 10. Vasos glúteos superiores | | |

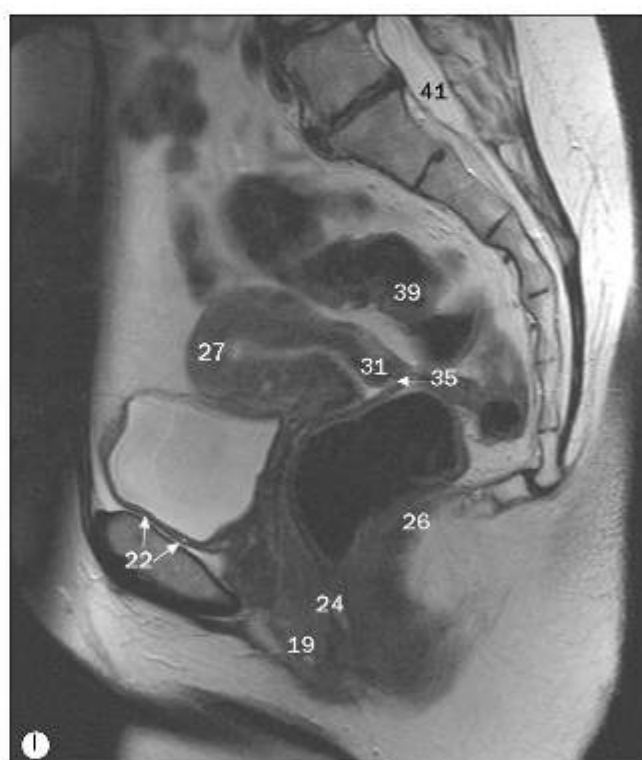
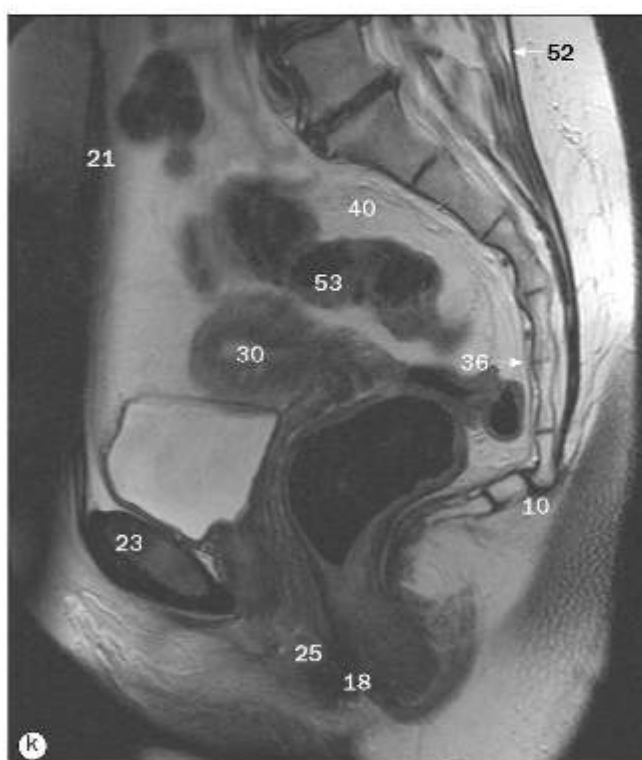
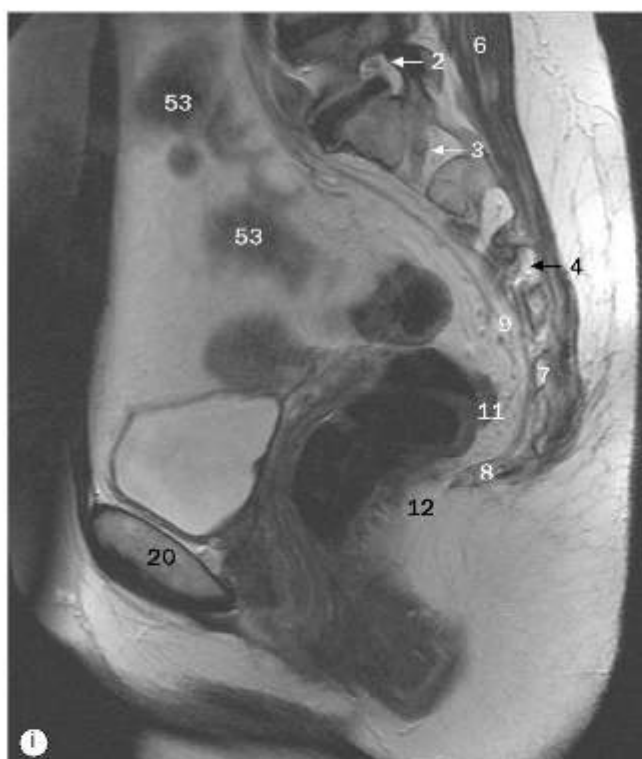


(a)-(p) Imagens sagitais e sequenciais de RM da pelve feminina, ponderadas em T2, da direita para a esquerda através da linha mediana.

- 28 Canal do pudendo
- 29 Bexiga urinária
- 30 Ligamentos sacroilíacos posteriores
- 31 Corpo do sacro
- 32 Primeira raiz sacral
- 33 Segunda raiz sacral
- 34 Junção retosigmoidea
- 35 Músculo eretor da espinha
- 36 Corpo do púbis
- 37 Espaço retropúbico (cavidade de Retzius)

- 38 Artéria ilíaca externa
- 39 Artéria ilíaca interna
- 40 Veia ilíaca interna
- 41 Ligamento largo do útero
- 42 Ligamento transverso do colo
- 43 Tuba uterina
- 44 Vagina
- 45 Quinta raiz lombar
- 46 Disco intervertebral em L5/S1
- 47 Mesossigmoide

- 48 Trígono da bexiga
- 49 Prega transversa do reto
- 50 Ampola do reto
- 51 Músculo transverso do períneo (diafragma urogenital)
- 52 Côccix
- 53 Músculo coccígeo
- 54 Fáscia inferior do diafragma da pelve
- 55 Fáscia toracolombar

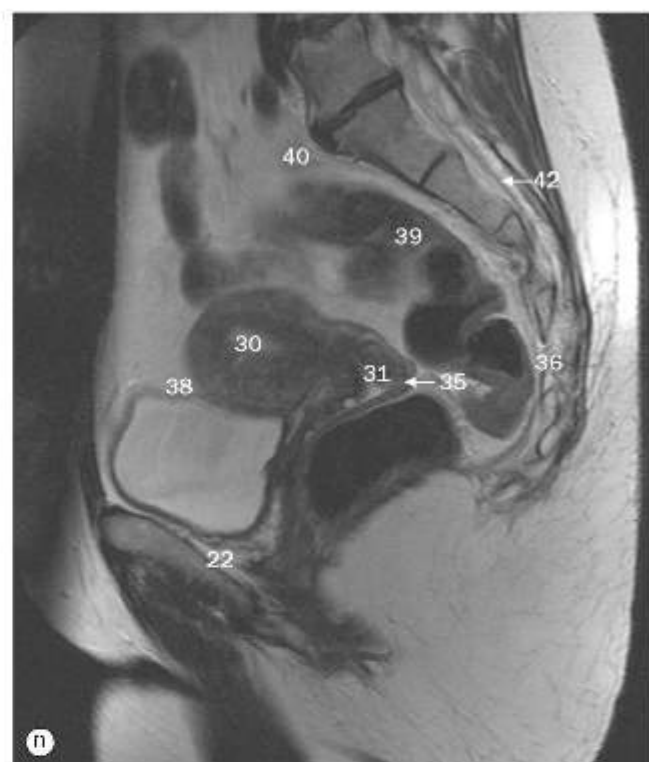
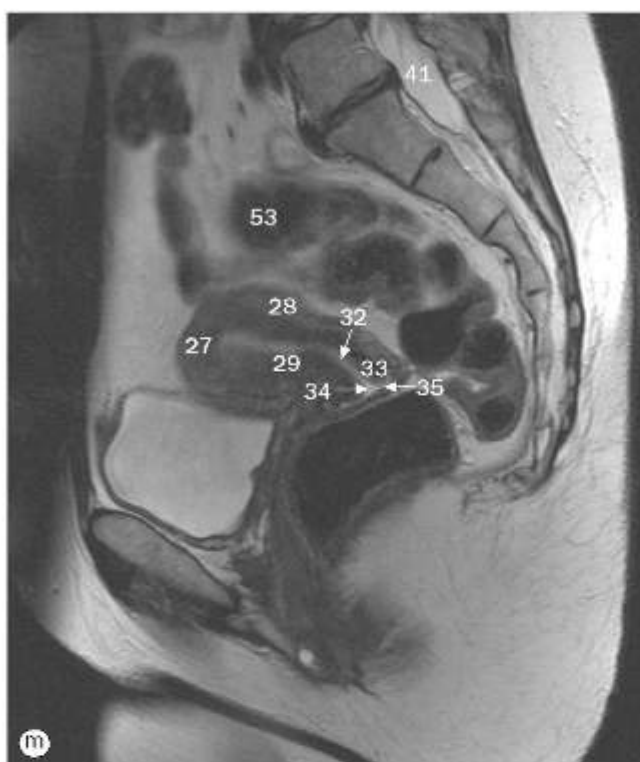


(a)-(p) Imagens sagitais e sequenciais de RM da pelve feminina, ponderadas em T2, da direita para a esquerda através da linha mediana.

- 1 Veia ilíaca comum esquerda
- 2 Raiz L5 (forame intervertebral)
- 3 Raiz S1
- 4 Raiz S2
- 5 Disco intervertebral em L5/S1
- 6 Músculo erector da espinha
- 7 Quinto segmento sacral
- 8 Côccix
- 9 Plexo sacral

- 10 Junção sacrococígea
- 11 Músculo levantador do ânus
- 12 Músculo puborrectal
- 13 Bexiga urinária
- 14 Ampola do reto
- 15 Vagina
- 16 Uretra
- 17 Óstio da vagina
- 18 Ânus
- 20 Corpo do púbis
- 21 Músculo reto do abdome
- 22 Espaço retropúbico (cavidade de Retzius)
- 23 Sínfise pública
- 24 Canal anal
- 25 Corpo do períneo
- 26 Corpo anococígeo

- 19 Músculo esfincter externo do ânus
- 20 Corpo do púbis
- 21 Músculo reto do abdome
- 22 Espaço retropúbico (cavidade de Retzius)
- 23 Sínfise pública
- 24 Canal anal
- 25 Corpo do períneo
- 26 Corpo anococígeo

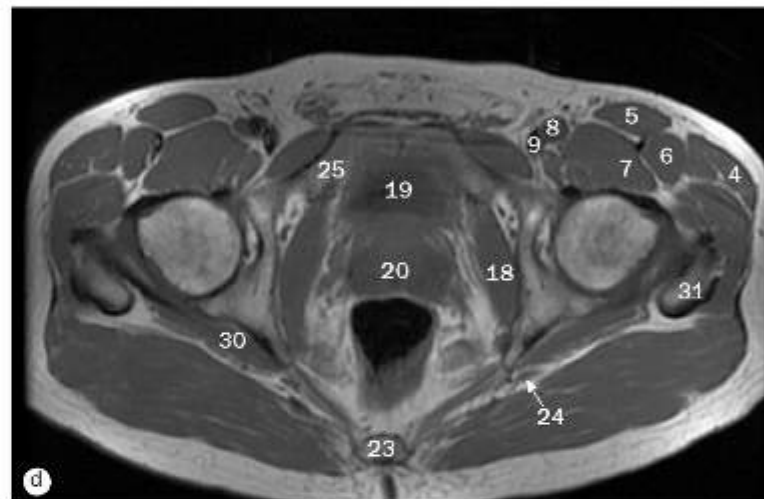
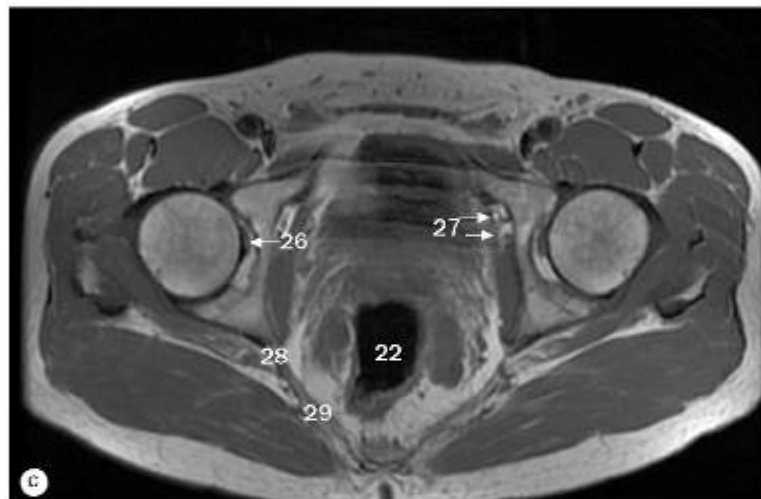
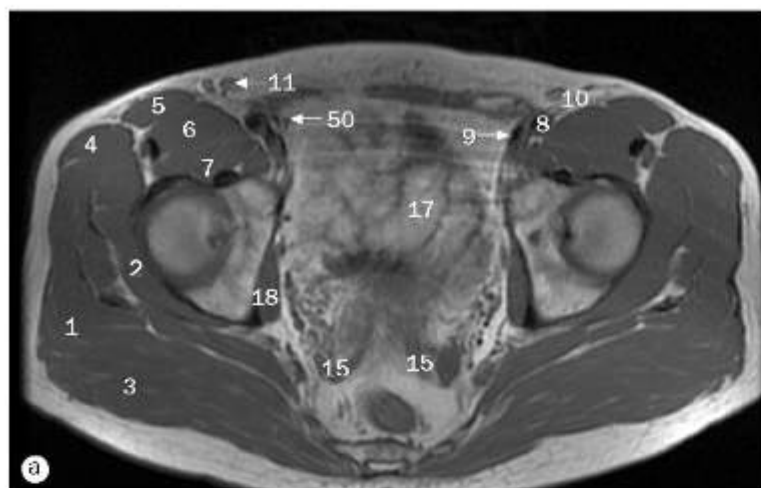


(a)-(p) Imagens sagitais e sequenciais de RM da pelve feminina, ponderadas em T2, da direita para a esquerda através da linha mediana.

- 27 Fundo do útero
- 28 Miométrio
- 29 Endométrio
- 30 Cavidade do útero
- 31 Colo do útero
- 32 Óstio anatômico interno do útero
- 33 Parede do colo do útero
- 34 Óstio do útero
- 35 Fôrnice posterior da vagina

- 36 Fáscia inferior do diafragma da pelve
- 37 Escavação retouterina
- 38 Escavação vesicouterina
- 39 Junção retossigmóidea
- 40 Mesossísmoide
- 41 Saco tecal
- 42 Filamento terminal
- 43 Raiz L5 esquerda
- 44 Raiz S1 esquerda

- 45 Raiz S2 esquerda
- 46 Fossa isquioanal
- 47 Músculo piriforme (faixas de origem)
- 48 Músculo adutor longo
- 49 Músculo adutor curto
- 50 Músculo adutor magno
- 51 Bainha do músculo reto do abdome
- 52 Fáscia toracolombar
- 53 Colo sigmaide
- 54 Tecido adiposo extraperitoneal

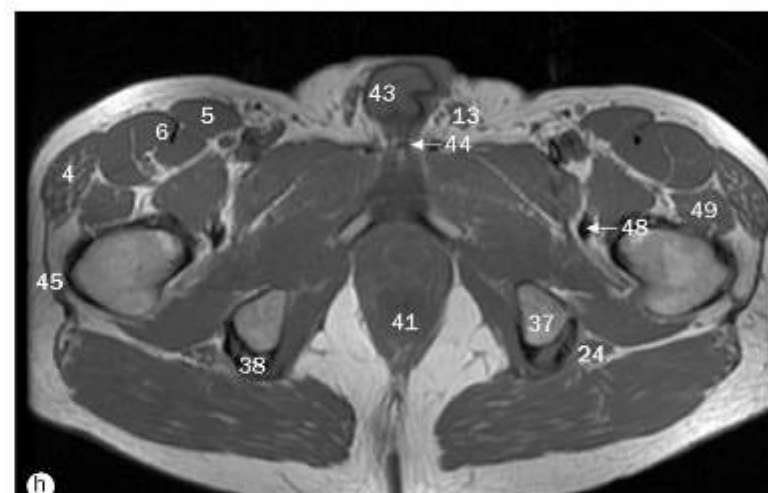
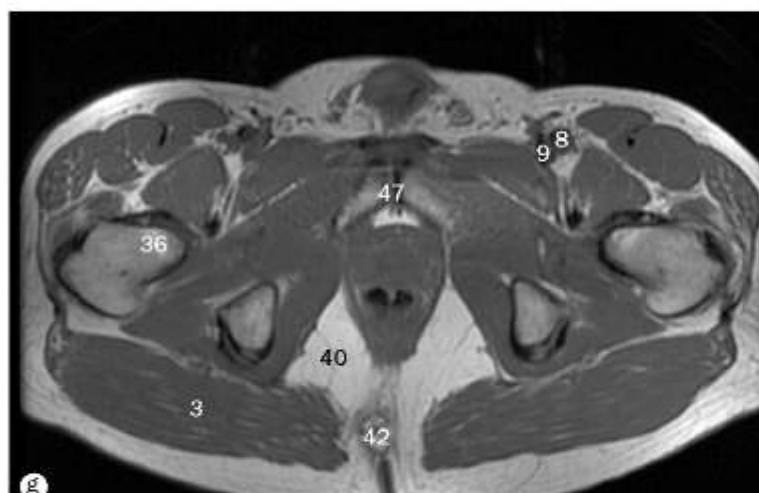
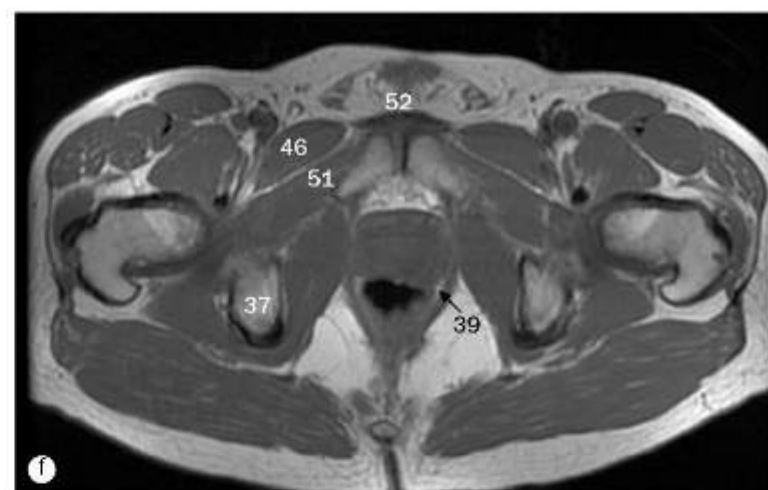
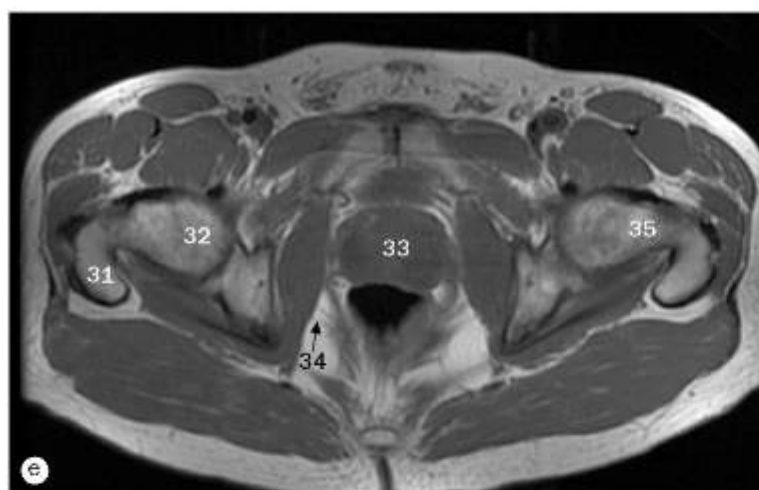


(a)-(l) Imagens axiais e sequenciais de RM da pelve masculina, ponderadas em T1, da região superior para inferior.

- 1 Músculo glúteo médio
- 2 Músculo glúteo mínimo
- 3 Músculo glúteo máximo
- 4 Músculo tensor da fáscia lata
- 5 Músculo sartório
- 6 Músculo reto femoral
- 7 Músculo iliopsoas
- 8 Artéria femoral comum

- 9 Veia femoral comum
- 10 Ramos do nervo femoral
- 11 Veia safena magna
- 12 Canal femoral
- 13 Funiculo espermático
- 14 Músculo reto do abdome
- 15 Ducto deferente
- 16 Acetáculo

- 17 Intestino delgado
- 18 Músculo obturador interno
- 19 Bexiga urinária
- 20 Glândula seminal
- 21 Vasos glúteos inferiores
- 22 Reto
- 23 Sacro
- 24 Nervo isquiático

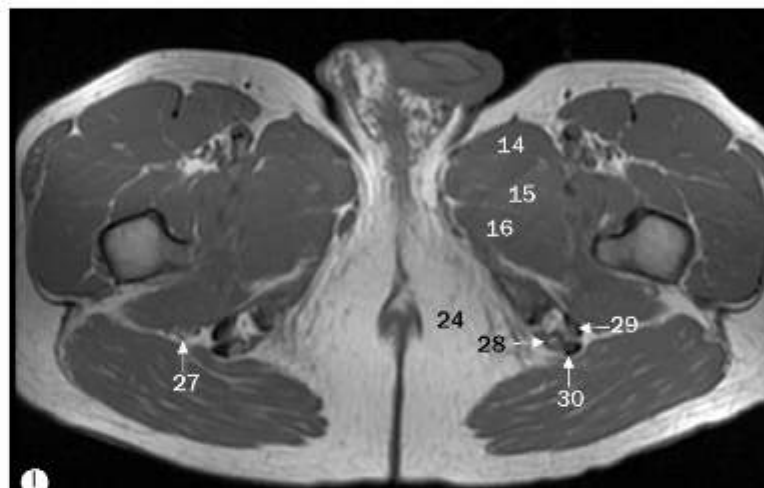
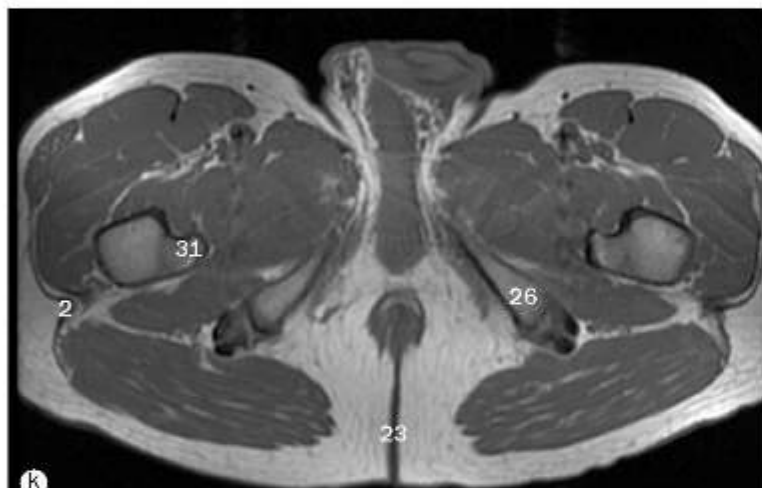
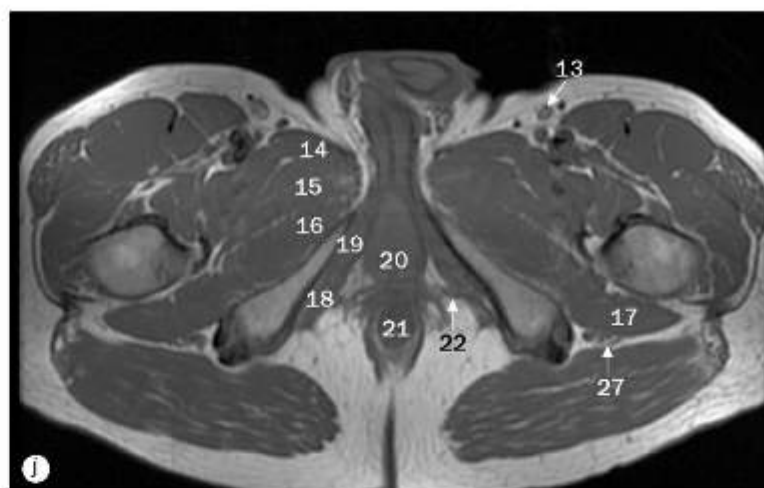
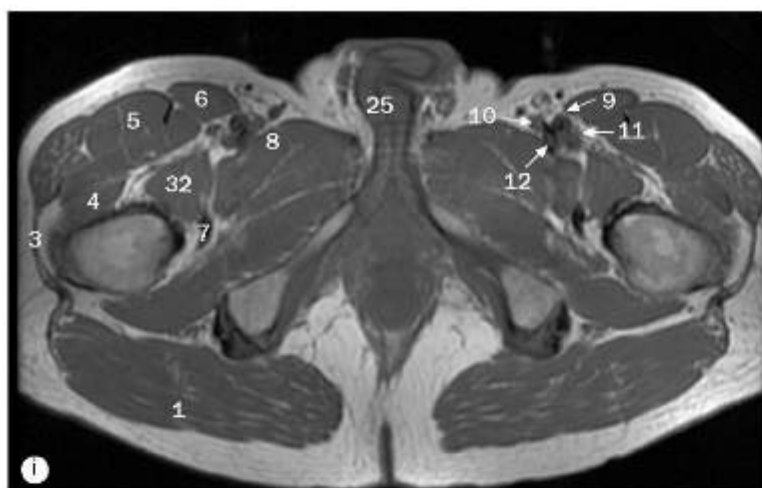


(a)-(l) Imagens axiais e sequenciais de RM da pelve masculina, ponderadas em T1, da região superior para inferior.

- 25 Ramo superior do púbis
- 26 Ligamento redondo
- 27 Vasos obturadores e nervo obturatório
- 28 Espinha isquiática
- 29 Ligamento sacrospinal
- 30 Músculo obturador externo
- 31 Trochanter maior do fêmur
- 32 Cabeça do fêmur
- 33 Próstata
- 34 Vasos retais inferiores e nervo anal inferior

- 35 Colo do fêmur
- 36 Trocanter menor do fêmur
- 37 Túber isquiático
- 38 Tendões posteriores da coxa (origem tendínea comum)
- 39 Músculo levantador do ânus (puborectal)
- 40 Fossa isquioanal
- 41 Junção anorretal
- 42 Côccix
- 43 Corpo cavernoso

- 44 Vasos dorsais do pênis
- 45 Fáscia lata
- 46 Músculo pectíneo
- 47 Sínfise pública
- 48 Tendão do músculo iliopsoas
- 49 Músculo vasto lateral
- 50 Vasos epigástricos inferiores
- 51 Músculo adutor longo
- 52 Ligamento púbico inferior



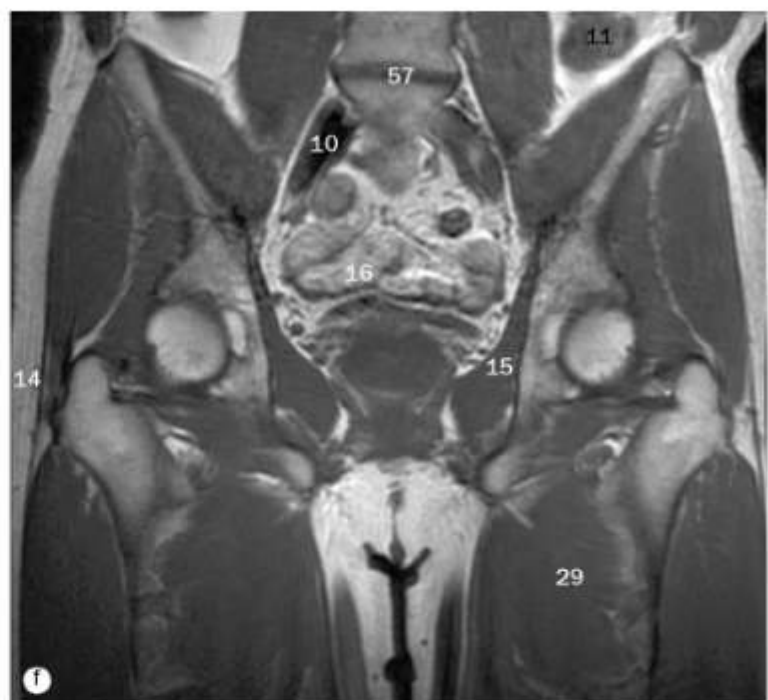
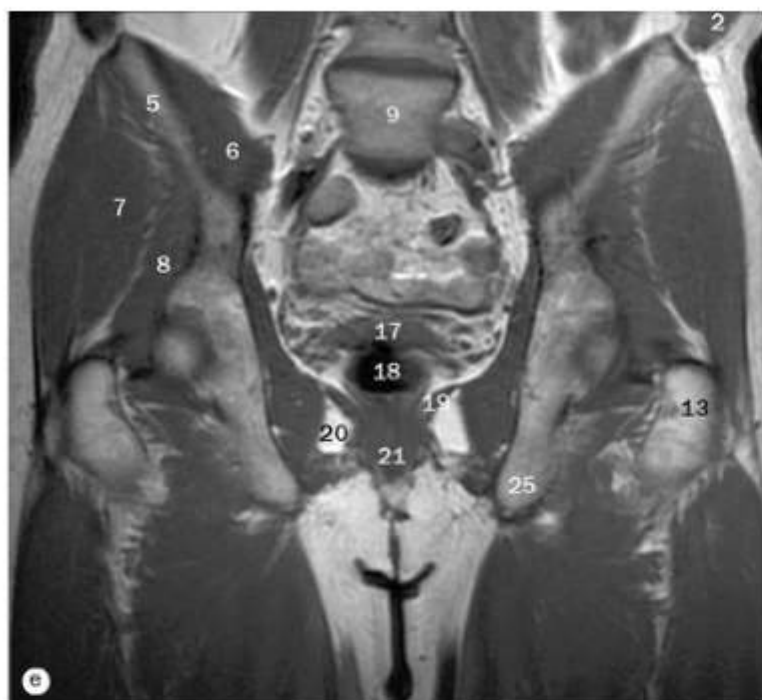
(a)-(l) Imagens axiais e sequenciais de RM da pelve masculina, ponderadas em T1, da região superior para inferior.

- | | | |
|-------------------------------|---------------------------------------|---|
| 1 Músculo glúteo máximo | 13 Veia safena magna | 24 Fossa isquioanal |
| 2 Fáscia lata | 14 Músculo adutor longo | 25 Corpo cavernoso |
| 3 Trato iliotibial | 15 Músculo adutor curto | 26 Túber isquiático |
| 4 Músculo vasto lateral | 16 Músculo adutor magno | 27 Nervo isquiático |
| 5 Músculo reto femoral | 17 Músculo quadrado femoral | 28 Origem tendínea do músculo semitendíneo |
| 6 Músculo sartório | 18 Músculo isquiocavemoso | 29 Origem tendínea do músculo semimembranáceo |
| 7 Tendão do músculo iliopsoas | 19 Ramo do pênis | 30 Origem tendínea do músculo bíceps femoral |
| 8 Músculo pectíneo | 20 Bulbo do pênis | 31 Trocanter menor do fêmur |
| 9 Artéria femoral | 21 Anus | 32 Músculo iliopsoas |
| 10 Veia femoral | 22 Feixe neurovascular retal inferior | |
| 11 Artéria femoral profunda | 23 Fenda interglútea | |
| 12 Veia femoral profunda | | |



(a)-(p) Imagens coronais e sequenciais de RM da pelve masculina, ponderadas em T1, da região posterior para anterior.

- | | | |
|--|---------------------------------------|----------------------------------|
| 1. Osso do quadril | 12. Ureter | 24. Tronco lombossacral |
| 2. Asa do sacro | 13. Vasos gonadais | 25. Origem comum dos tendões dos |
| 3. Articulação dos processos articulares | 14. Nervo isquiático | músculos posteriores da coxa |
| (L5/S1) | 15. Vasos glúteos superiores | 26. Tuber isquiático |
| 4. Saco tecal | 16. Glândula seminal | 27. Canal anal |
| 5. Articulação sacroiliaca | 17. Ampola do reto | 28. Corpo vertebral L5 |
| 6. Junção retossigmoidéa | 18. Músculo levantador do ânus | 29. Músculo ilíaco |
| 7. Músculo piriforme | 19. Músculo obturador interno | 30. Músculo quadrado femoral |
| 8. Músculo glúteo médio | 20. Fossa isquideanal | 31. Músculos gêmeos (superior |
| 9. Músculo glúteo mínimo | 21. Músculo esfínter externo do ânus | e inferior) |
| 10. Músculo glúteo máximo | 22. Feixe neurovascular retal interno | 32. Músculo obturador externo |
| 11. Intestino delgado | 23. Quinta raiz lombar | 33. Fáscia lata |



(a)-(p) Imagens coronais e sequenciais de RM da pelve masculina, ponderadas em T1, da região posterior para anterior.

1 Músculo psoas maior

2 Músculo obliquo externo do abdome

3 Músculo obliquo interno do abdome

4 Músculo transverso do abdome

5 Osso do quadril

6 Músculo ilíaco

7 Músculo glúteo médio

8 Músculo glúteo mínimo

9 Corpo da quinta vértebra lombar

10 Vasos ilíacos comuns

11 Colo descendente

12 Acetáculo

13 Trocânter maior do fêmur

14 Fásica lata

15 Músculo obturador interno

16 Intestino delgado

17 Glândula seminal

18 Reta

19 Músculo levantador do ânus

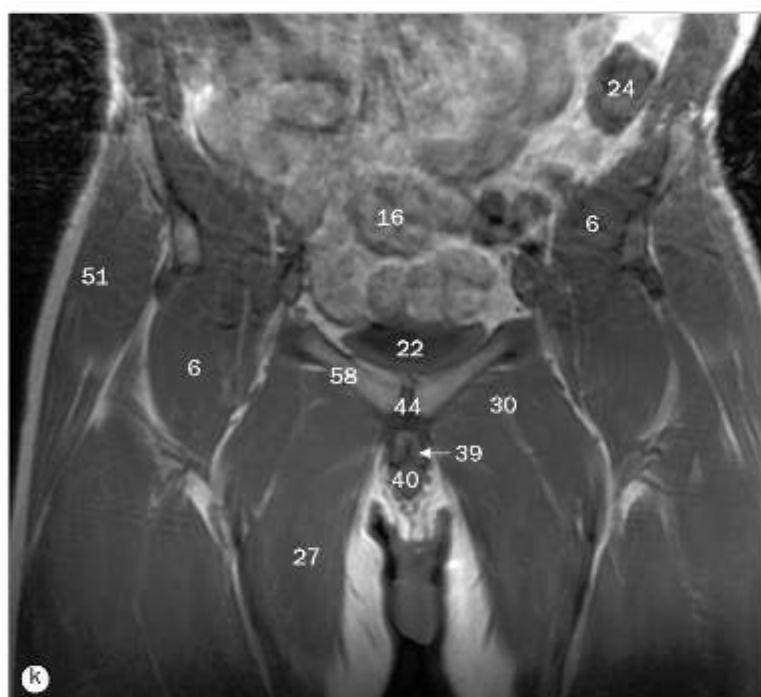
20 Fossa isquioanal

21 Canal anal

22 Bexiga urinária

23 Próstata

24 Colo sigmoide



(a)-(p) Imagens coronais e sequenciais de RM da pelve masculina, ponderadas em T1, da região posterior para anterior.

25	Ísquo	37	Bulbo do pênis	49	Veia ilíaca externa
26	Músculo transverso do períneo	38	Ceco	50	Vasos femorais
27	Músculo adutor longo	39	Corpo cavernoso	51	Músculo glúteo máximo
28	Músculo adutor curto	40	Corpo esponjoso	52	Músculo grátil
29	Músculo adutor magno	41	Parte esponjosa da uretra	53	Músculo obturador externo
30	Músculo pectíneo	42	Corpo do púbis	54	Ramo inferior do púbis
31	Cabeça do fêmur	43	Espinha ilíaca anterossuperior	55	Feixe neurovascular no canal obturatório
32	Colo do fêmur	44	Sínfise pública	56	Trocanter menor do fêmur
33	Fóvea da cabeça do fêmur	45	Testículo	57	Disco intervertebral em L4/5
34	Músculo vasto lateral	46	Vasos femorais profundos	58	Ramo superior do púbis
35	Ramo do pênis	47	Ligamento suspensor do pênis	59	Vasos femorais
36	Isquiocavernoso	48	Artéria ilíaca externa	60	Músculo tensor da fáscia lata

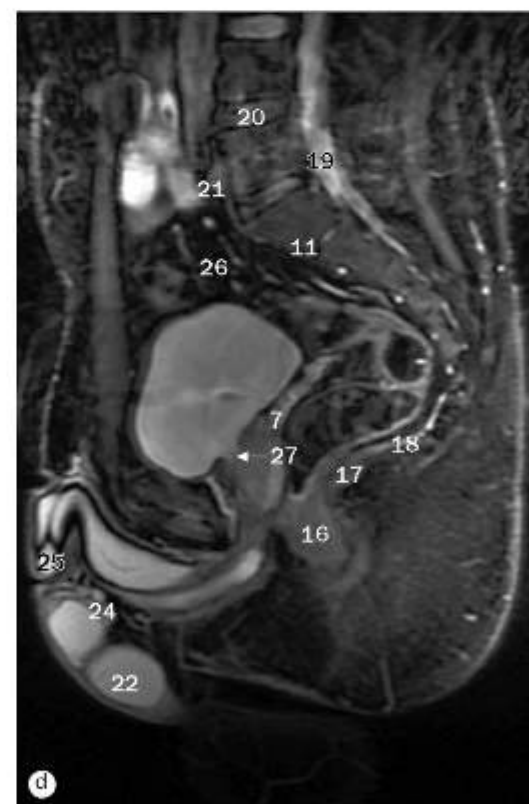
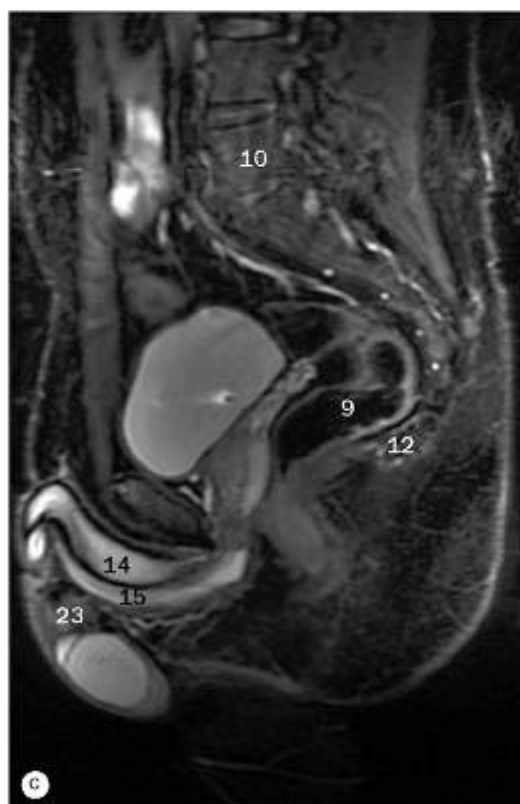
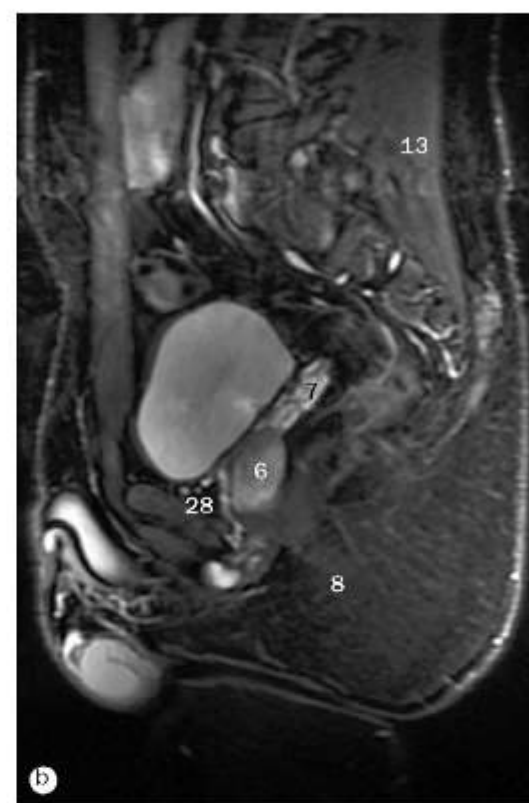
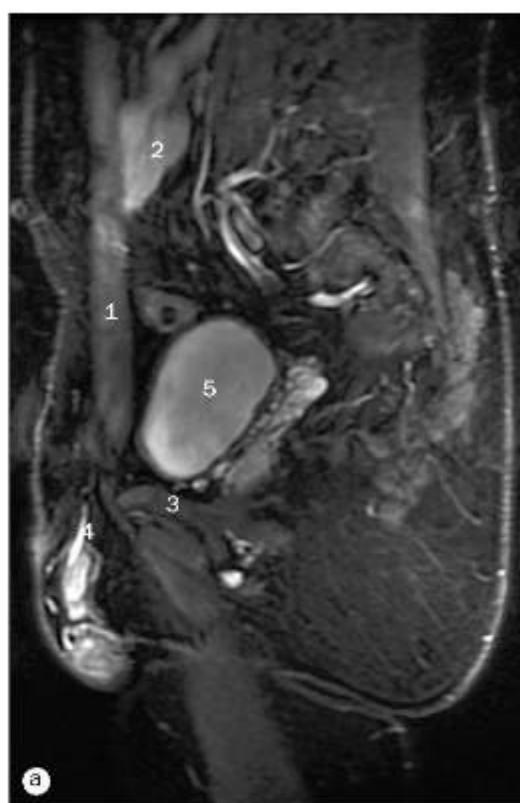


(a)-(p) Imagens coronais e sequenciais de RM da pelve masculina, ponderadas em T1, da região posterior para anterior.

- 1 Intestino delgado
- 2 Colo sigmoide
- 3 Veia femoral
- 4 Artéria femoral
- 5 Canal femoral
- 6 Músculo reto femoral
- 7 Músculo pectíneo
- 8 Corpo do púbis
- 9 Sínfise pública

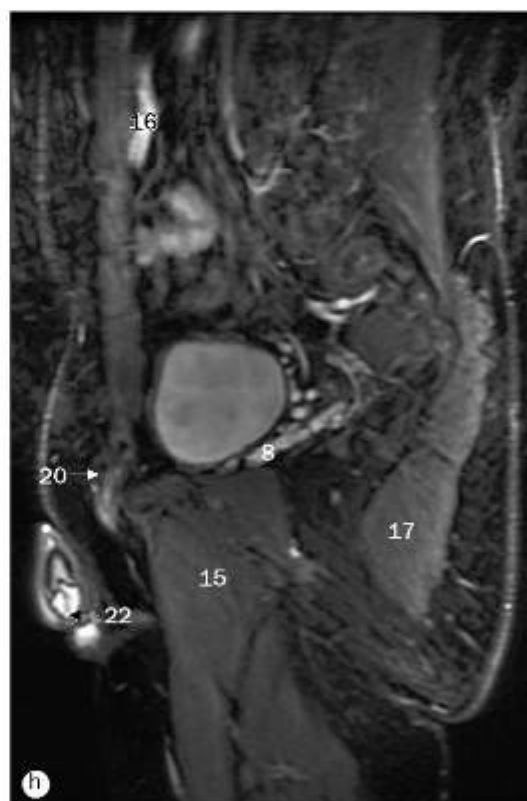
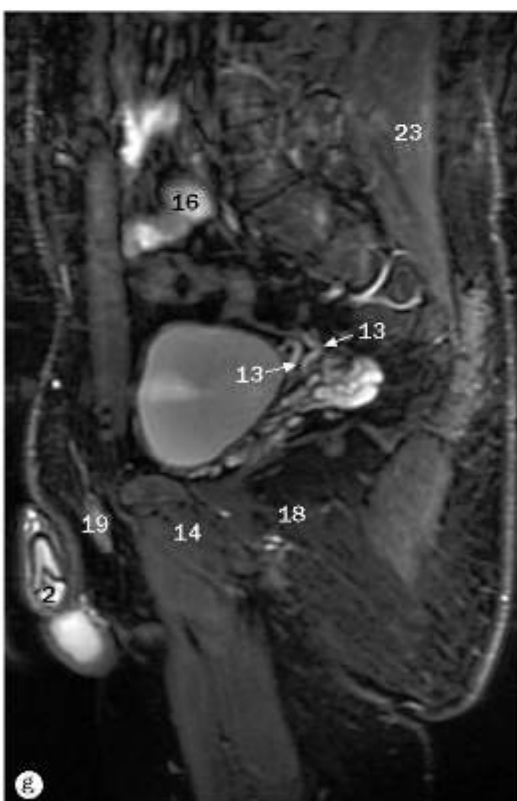
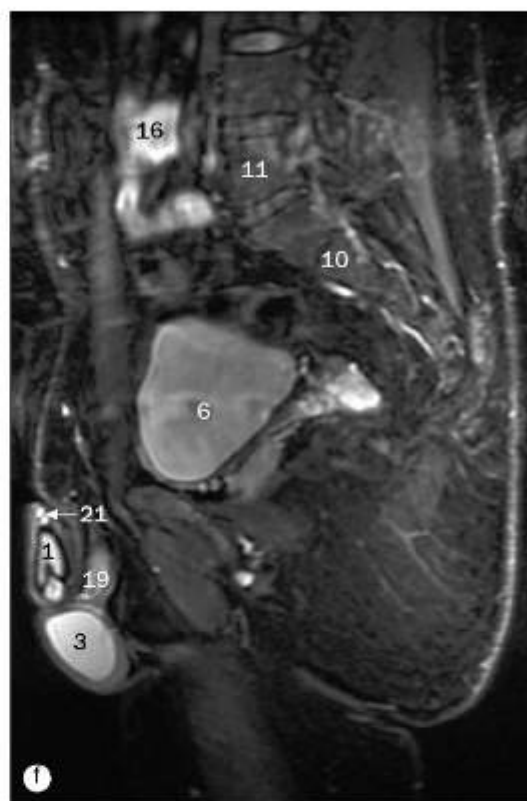
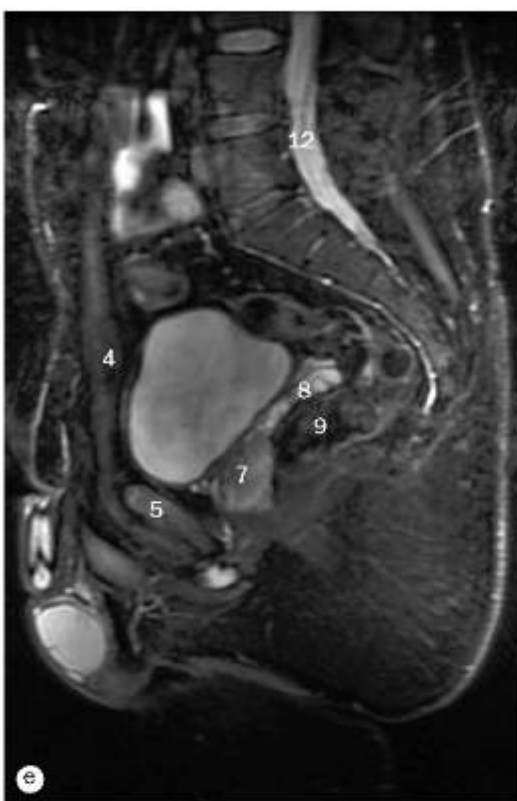
- 10 Ligamento suspensor do pênis
- 11 Corpo cavernoso do pênis
- 12 Corpo esponjoso do pênis
- 13 Testículo
- 14 Funiculo espermático
- 15 Cabeça do epidídimo
- 16 Parte esponjosa da uretra
- 17 Plexo pampiniforme
- 18 Músculo oblíquo externo do abdome

- 19 Ligamento inguinal
- 20 Vasos epigástricos inferiores
- 21 Canal inguinal
- 22 Linfonodos inguinais superficiais
- 23 Glande do pênis
- 24 Músculo reto do abdome
- 25 Umbigo
- 26 Veia safena magna
- 27 Linha alba



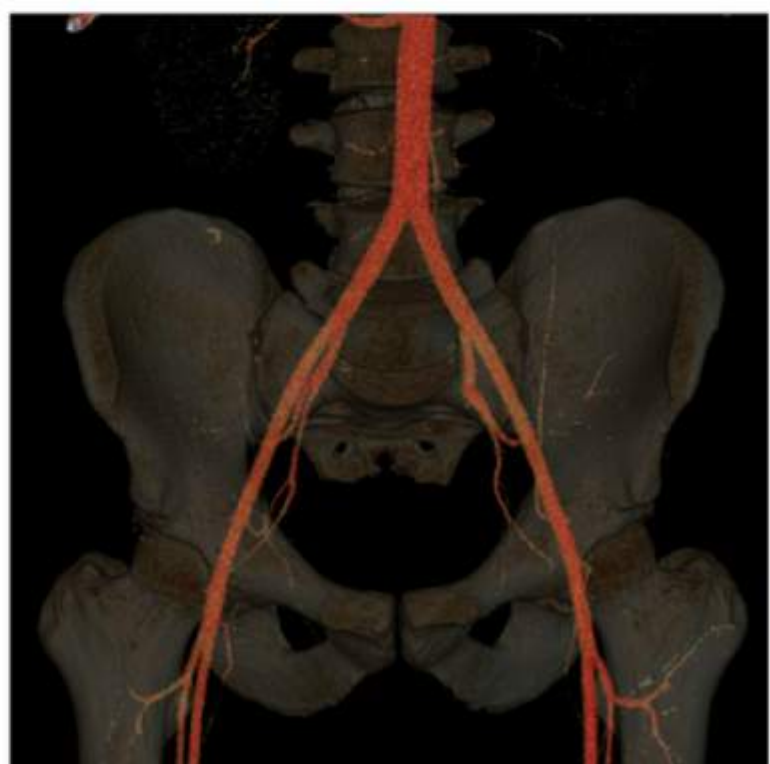
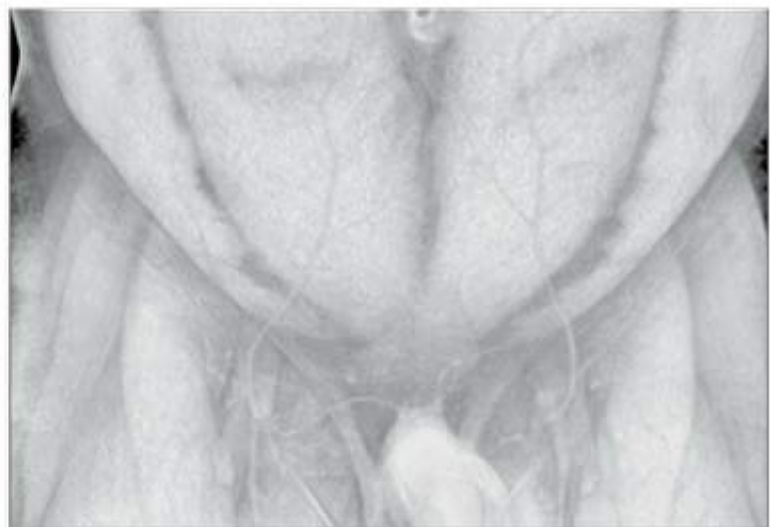
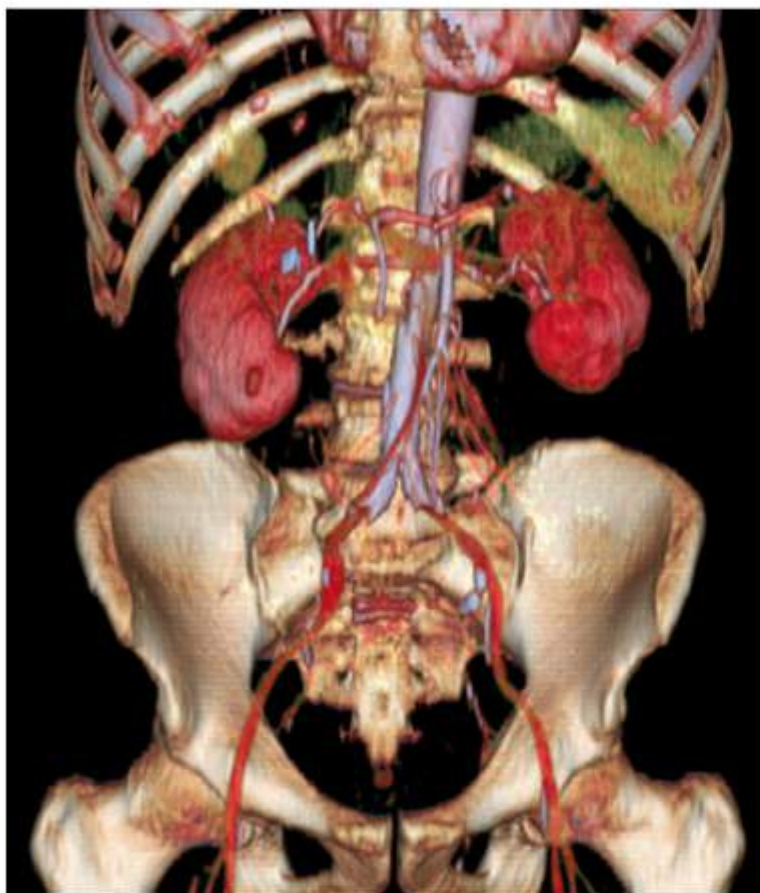
(a)-(h) Imagens sagitais e sequenciais de RM da pelve masculina, ponderadas em T2, da direita para a esquerda, através da linha mediana (imagens T2 com saturação de gordura).

- | | | | |
|--------------------------|-------------------------------|--------------------------------|---|
| 1 Músculo reto do abdome | 8 Fossa isquioanal | 15 Corpo esponjoso | 22 Testículo |
| 2 Intestino delgado | 9 Reto | 16 Canal anal | 23 Cabeça do epidídimo |
| 3 Corpo do púbis | 10 Quinta vértebra lombar | 17 Músculo puborrectal | 24 Corpo do epidídimo |
| 4 Funículo espermático | 11 Sacro | 18 Corpo anococcígeo | 25 Glande do pênis |
| 5 Bexiga urinária | 12 Cóccix | 19 Saco tecal | 26 Colo sigmoide |
| 6 Próstata | 13 Músculo erector da espinha | 20 Disco intervertebral (L4/5) | 27 Parte prostática da uretra |
| 7 Glândula seminal | 14 Corpo cavernoso | 21 Veia ilíaca comum | 28 Espaço retropúbico (cavidade de Retzius) |



(a)-(h) Imagens sagitais e sequenciais de RM da pelve masculina, ponderadas em T2, da direita para a esquerda, através da linha mediana (imagens T2 com saturação de gordura).

- | | | | |
|--------------------------|---------------------------|--------------------------|------------------------------|
| 1 Corpo cavernoso | 7 Próstata | 13 Ducto deferente | 19 Fúnicoles espermáticos |
| 2 Glande do pênis | 8 Glândula seminal | 14 Músculo pectíneo | 20 Canal inguinal |
| 3 Testículo | 9 Reto | 15 Músculo adutor curto | 22 Óstio externo da uretra |
| 4 Músculo reto do abdome | 10 Sacro | 16 Intestino delgado | 23 Músculo eretor da espinha |
| 5 Corpo do púbis | 11 Quinta vértebra lombar | 17 Músculo glúteo máximo | |
| 6 Bexiga urinária | 12 Saco tecal | 18 Fossa isquioanal | |

6**Abdome e pelve – Outros planos**

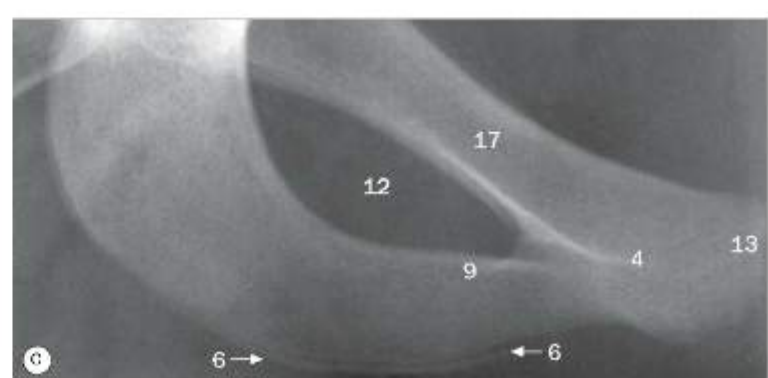


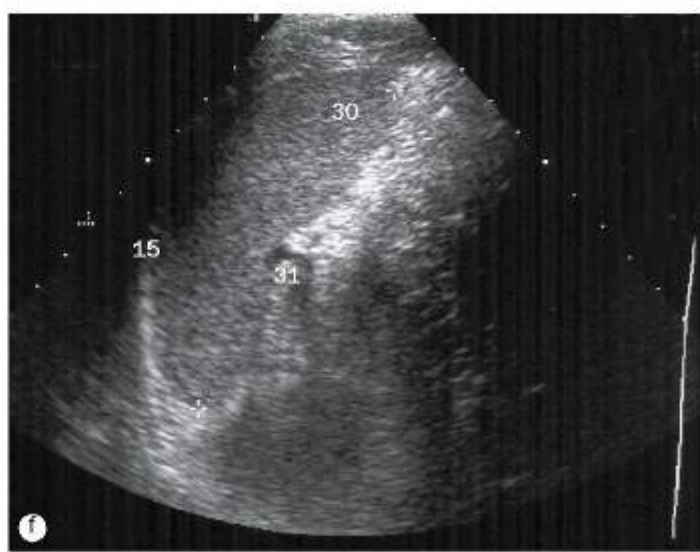
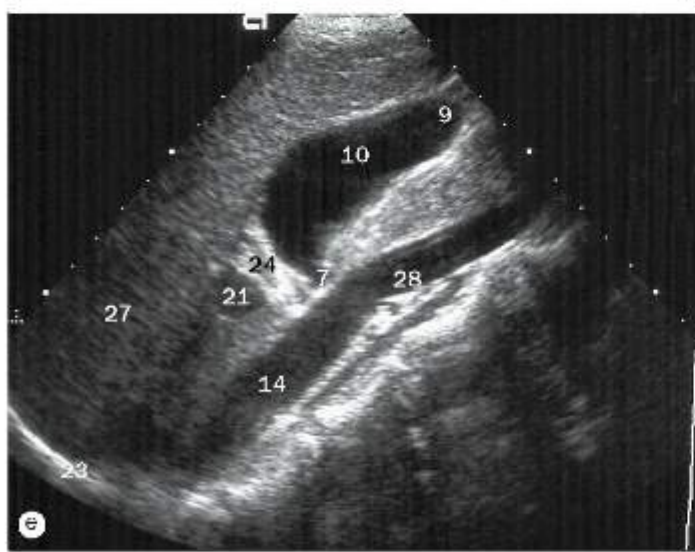
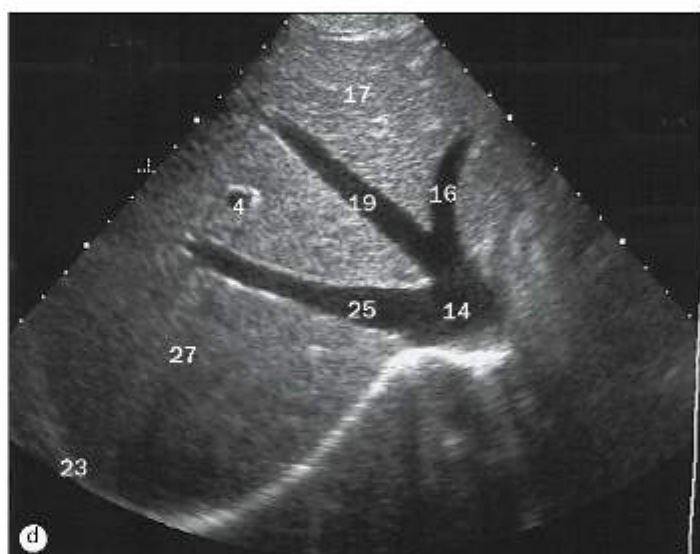
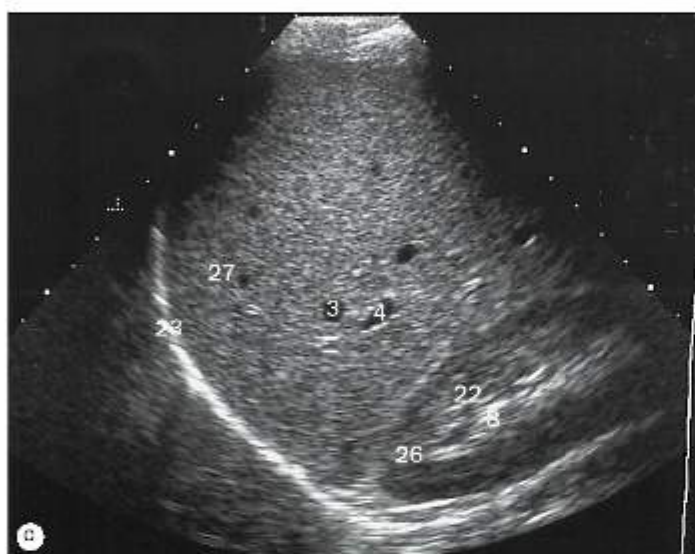
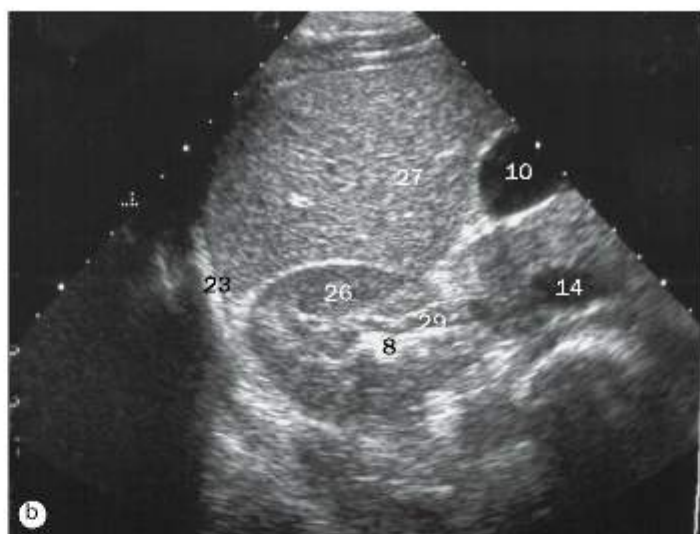
Radiografia abdominal em decúbito dorsal.

- | | | |
|---|--|------------------------------------|
| 1. Gases no fundo gástrico | 7. Flexura direita do colo | 14. Baço |
| 2. Gases no corpo gástrico | 8. Flexura esquerda do colo | 15. Linha de gordura properitoneal |
| 3. Gases na parte superior do duodeno
(bulbo duodenal) | 9. Colo sigmoide | 16. Rim direito |
| 4. Colo ascendente | 10. Reto | 17. Rim esquerdo |
| 5. Colo transverso | 11. Margem direita do músculo psoas maior | 18. Décima segunda costela |
| 6. Colo descendente | 12. Margem esquerda do músculo psoas maior | 19. Gases no ileo |
| | 13. Fígado | 20. Gases no ceco |



(a) Pelve e articulações do quadril de uma mulher adulta, projeção anteroposterior.
 (b) e (c) Pelve de um indivíduo masculino de 17 anos, projeções anteroposteriores.



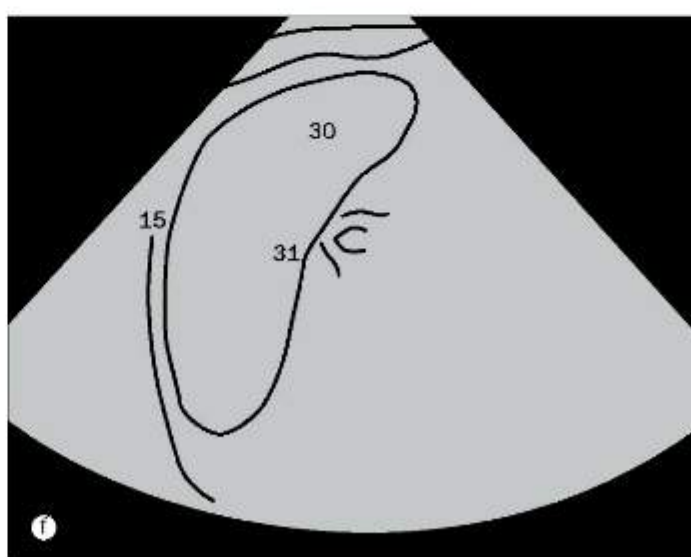
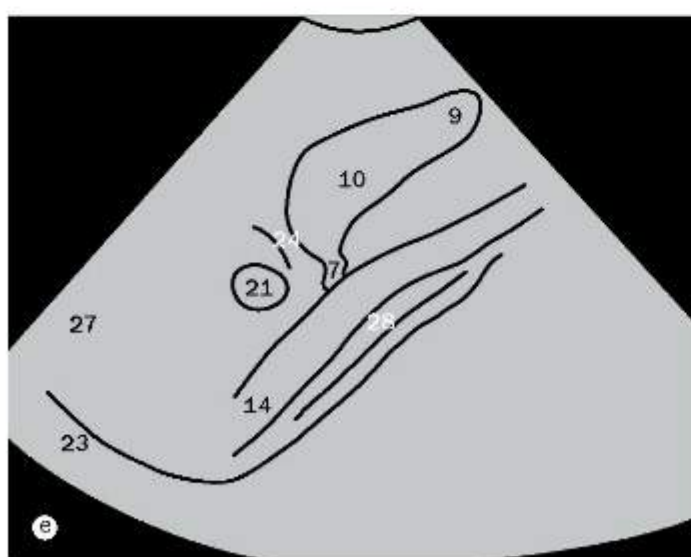
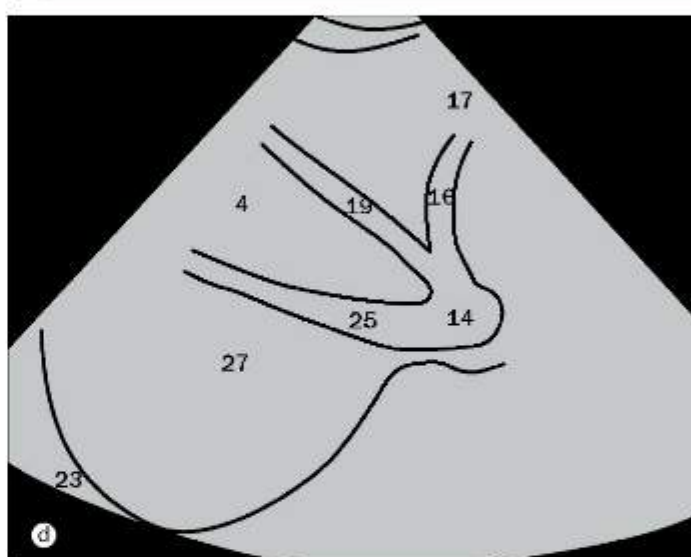
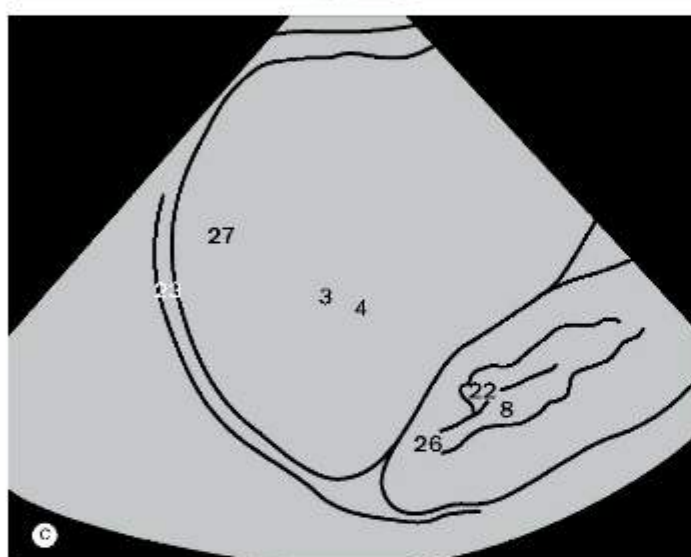
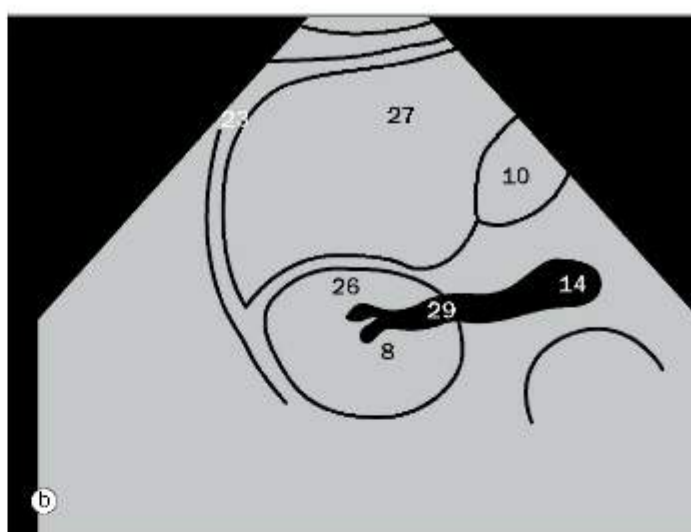
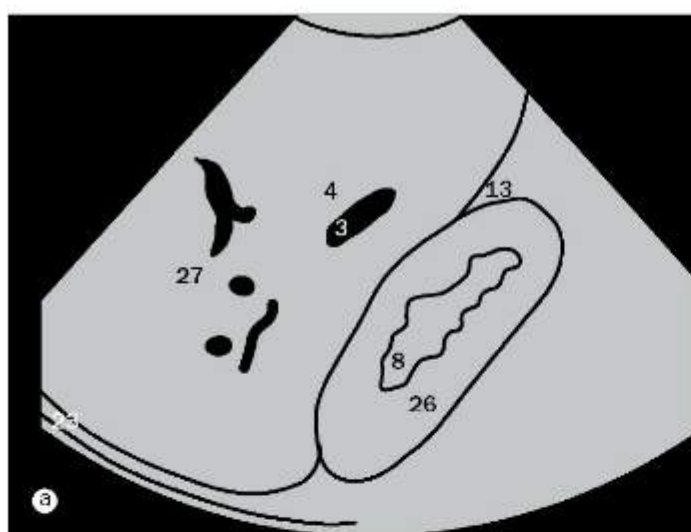


(a)-(f) Ultrassonografia do abdome, vistas sagital e parassagital.

1 Parte abdominal da aorta
2 Corpo do pâncreas
3 Ramo da veia hepática
4 Ramo da veia porta
5 Tronco celiaco

6 Ducto colédoco
7 Ducto cístico
8 Tecido adiposo no seio renal
9 Fundo da vesícula biliar
10 Vesícula biliar

11 Cabeça do pâncreas
12 Artéria hepática
13 Recesso hepatorenal
14 Veia cava inferior
15 Cúpula esquerda do diafragma

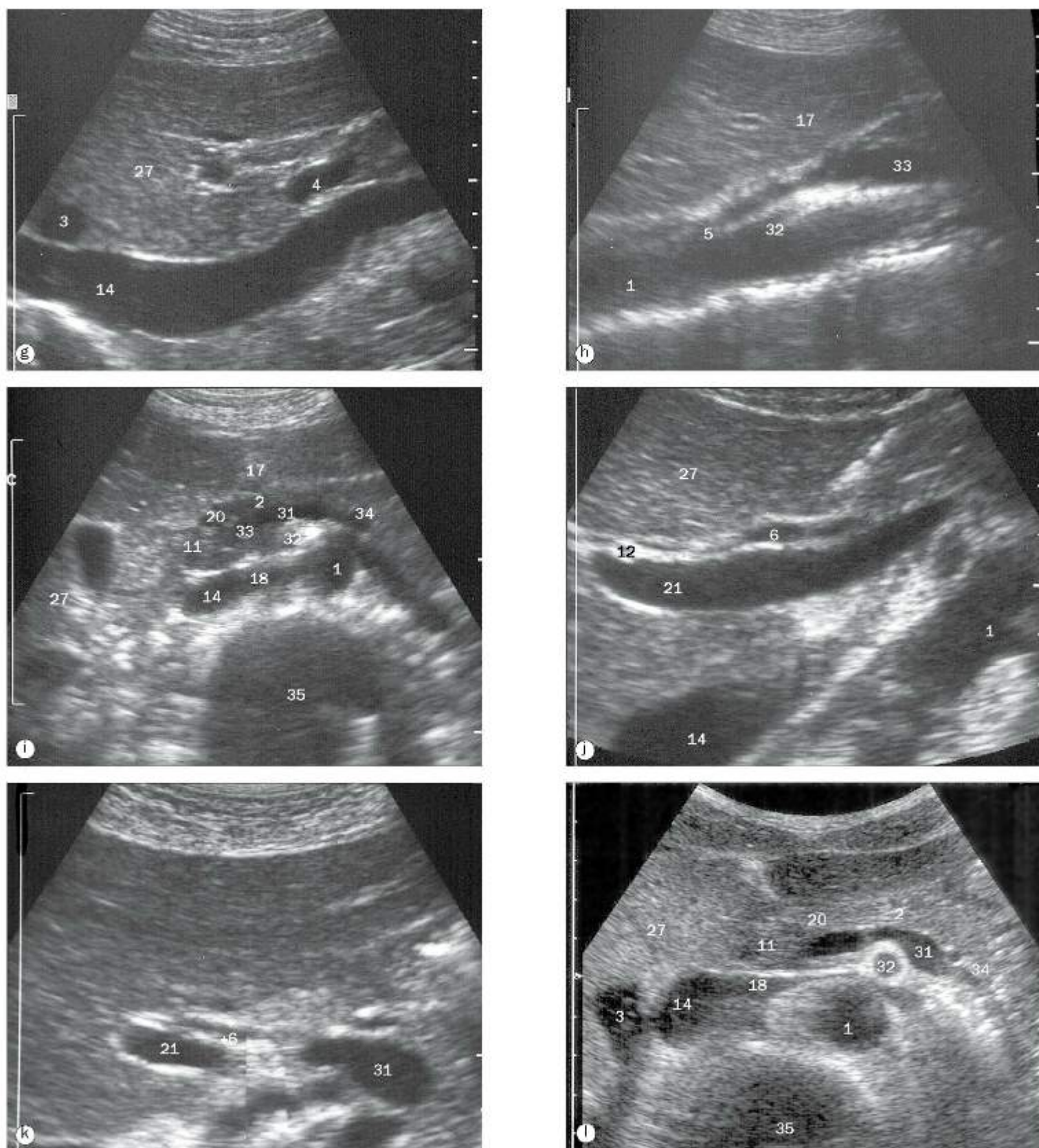


(a)-(f) Diagramas lineares das imagens ultrassonográficas opostas.

16 Veia hepática esquerda
17 Lobo esquerdo do fígado
18 Veia renal esquerda
19 Veia hepática intermédia
20 Colo do pâncreas
21 Veia porta
22 Papila renal

23 Cúpula direita do diafragma
24 Artéria hepática direita
25 Veia hepática direita
26 Rim direito
27 Lobo hepático direito
28 Artéria renal direita
29 Veia renal direita

30 Baço
31 Veia esplênica
32 Artéria mesentérica superior
33 Veia mesentérica superior
34 Cauda do pâncreas
35 Corpo vertebral

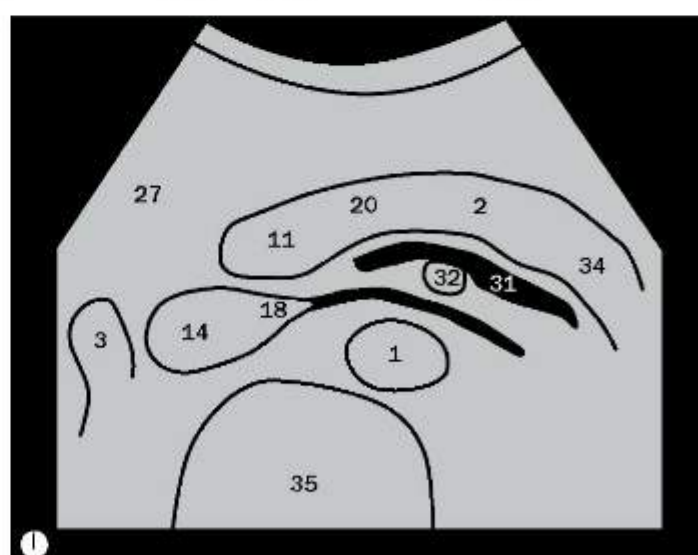
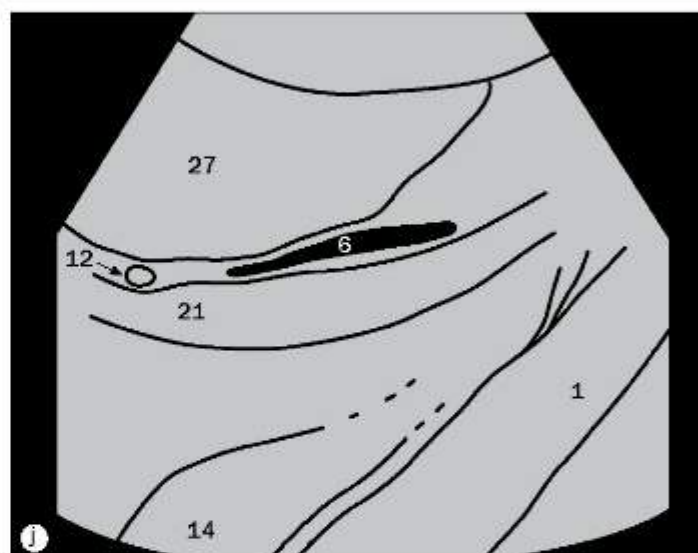
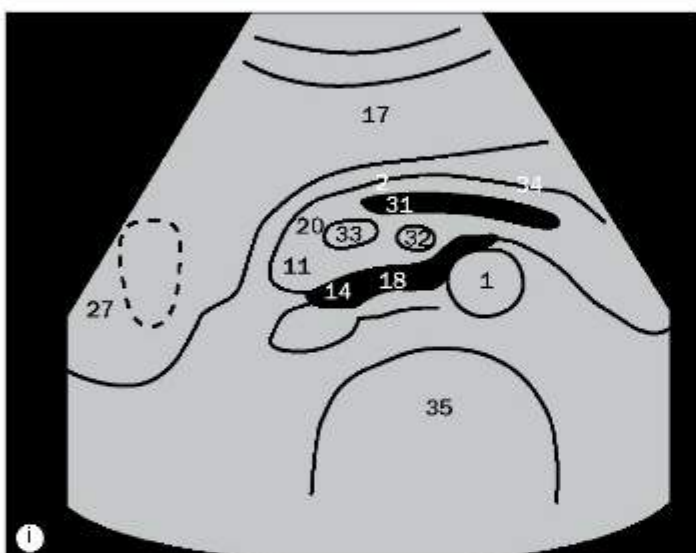
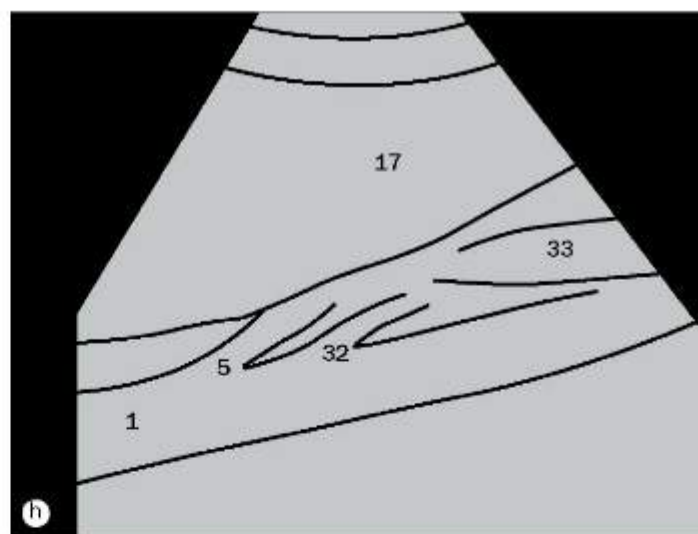
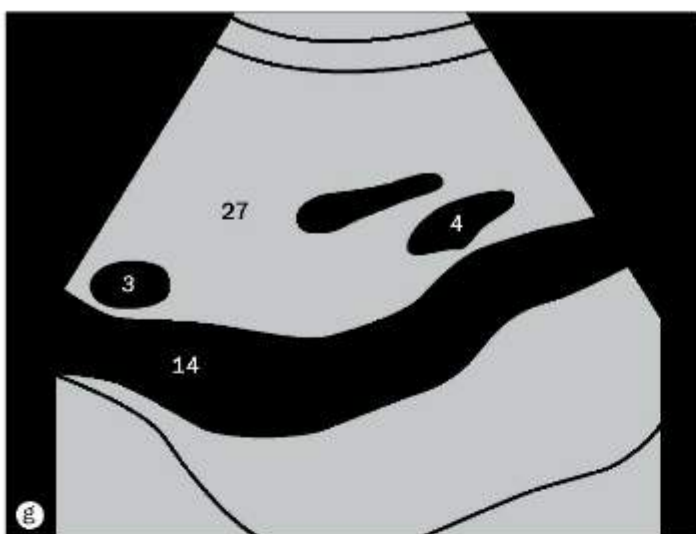


Ultrassonografia do abdome, (g)-(h) vistas sagital, (i)-(l) transversa e oblíqua transversa.

- 1 Parte abdominal da aorta
- 2 Corpo do pâncreas
- 3 Ramo da veia hepática
- 4 Ramo da veia porta
- 5 Tronco celiaco

- 6 Ducto colédoco
- 7 Ducto cístico
- 8 Tecido adiposo no seio renal
- 9 Fundo da vesícula biliar
- 10 Vesícula biliar

- 11 Cabeça do pâncreas
- 12 Artéria hepática
- 13 Recesso hepatorenal
- 14 Veia cava inferior
- 15 Cúpula esquerda do diafragma

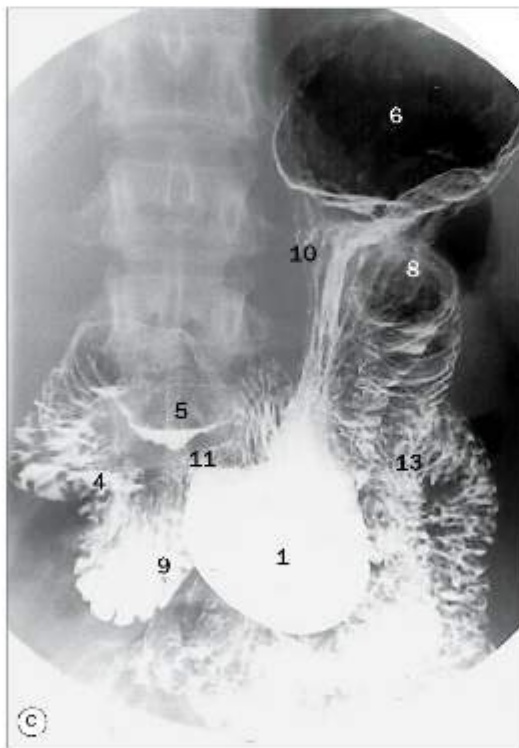
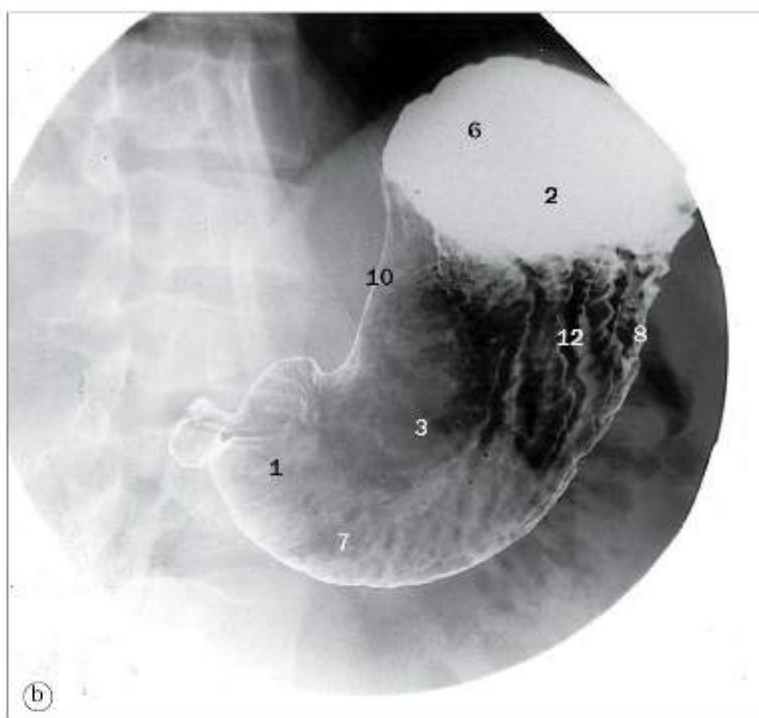
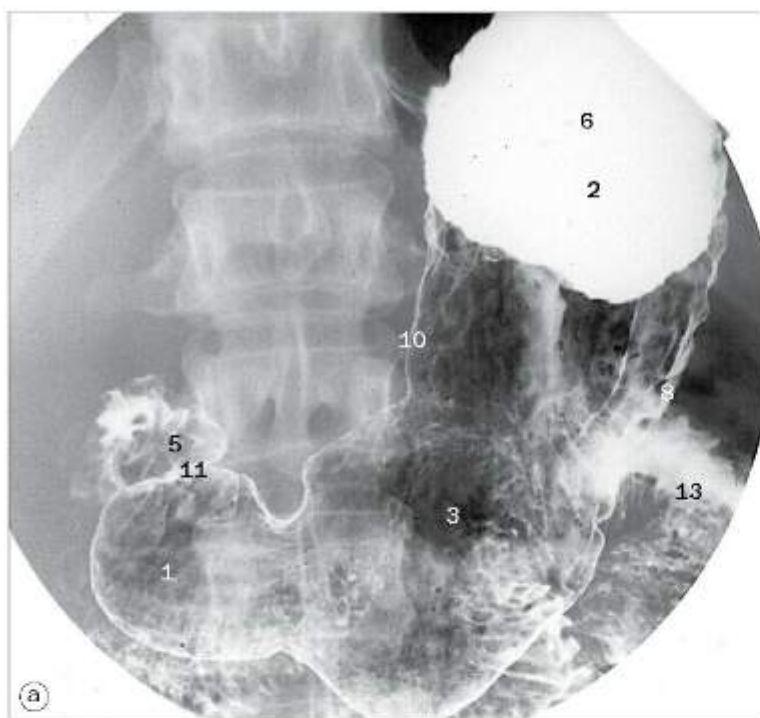


(g)-(l) Diagramas lineares das imagens ultrassonográficas opostas.

- 16 Veia hepática esquerda
- 17 Lobo esquerdo do fígado
- 18 Veia renal esquerda
- 19 Veia hepática intermédia
- 20 Colo do pâncreas
- 21 Veia porta
- 22 Papila renal

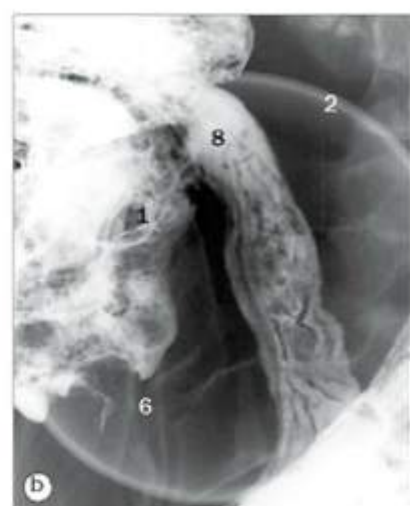
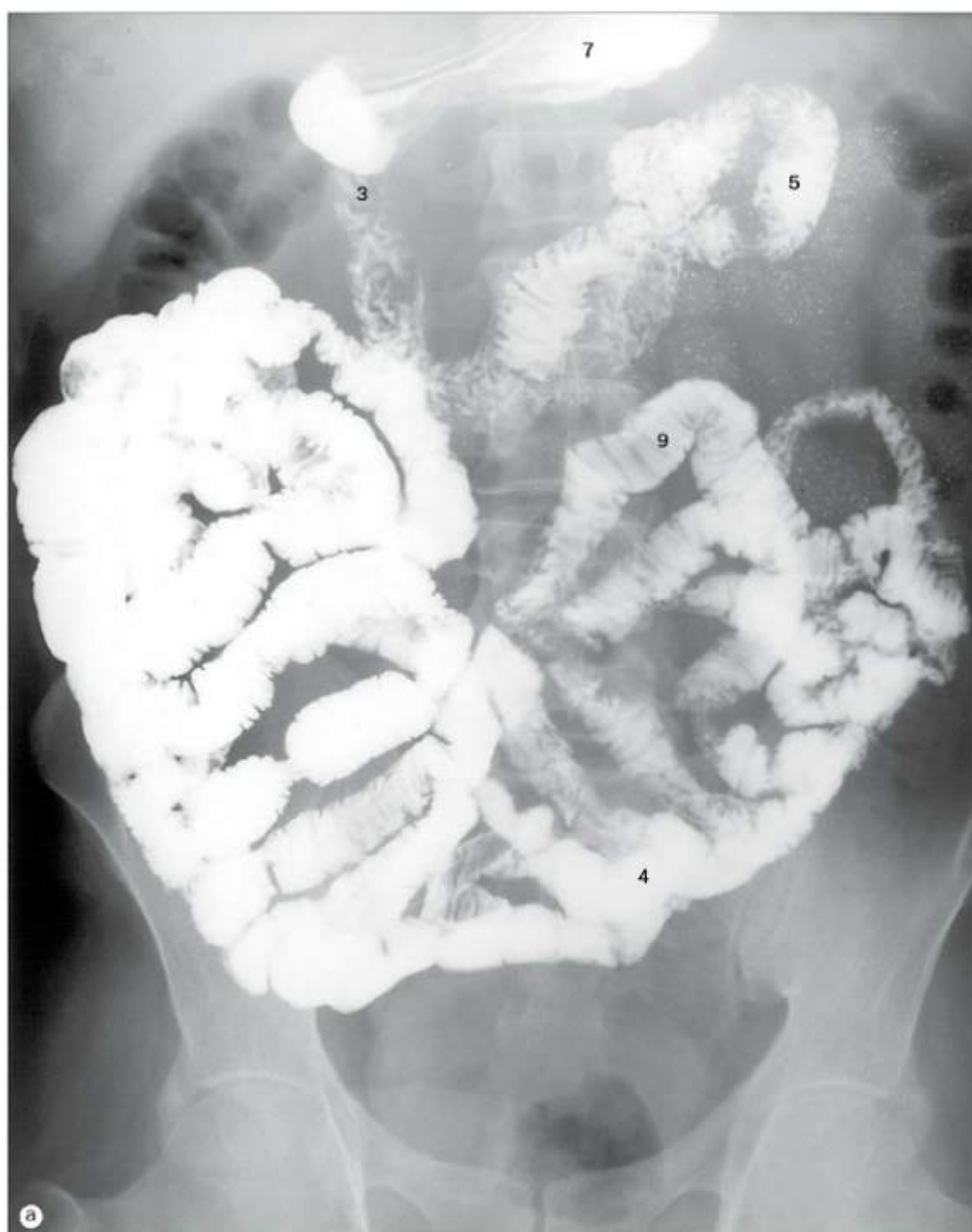
- 23 Cúpula direita do diafragma
- 24 Artéria hepática direita
- 25 Veia hepática direita
- 26 Rim direito
- 27 Lobo hepático direito
- 28 Artéria renal direita
- 29 Veia renal direita

- 30 Baço
- 31 Veia esplênica
- 32 Artéria mesentérica superior
- 33 Veia mesentérica superior
- 34 Cauda do pâncreas
- 35 Corpo vertebral



Abdome. Exames baritados com duplo contraste do estômago e do duodeno, (a) e (b) com o paciente em decúbito dorsal (para mostrar a mucosa do estômago), (c) com o paciente ereto, (d) com o paciente em posição oblíqua (para mostrar o duodeno).

- | | |
|--|--------------------------------|
| 1 Antro pilórico | 7 Bolhas de gás |
| 2 Acúmulo de bário no fundo do estômago | 8 Curvatura maior do estômago |
| 3 Corpo gástrico | 9 Parte horizontal do duodeno |
| 4 Parte descendente do duodeno | 10 Curvatura menor do estômago |
| 5 Bulbo duodenal (parte superior do duodeno) | 11 Canal pilórico |
| 6 Fundo gástrico | 12 Pregas gástricas |
| | 13 Intestino delgado |



Abdome, sequências baritadas, (a) com o paciente em decúbito dorsal, (b) vista localizada da parte terminal do ileo e (c) papila ileal. Radiografias anteroposteriores.

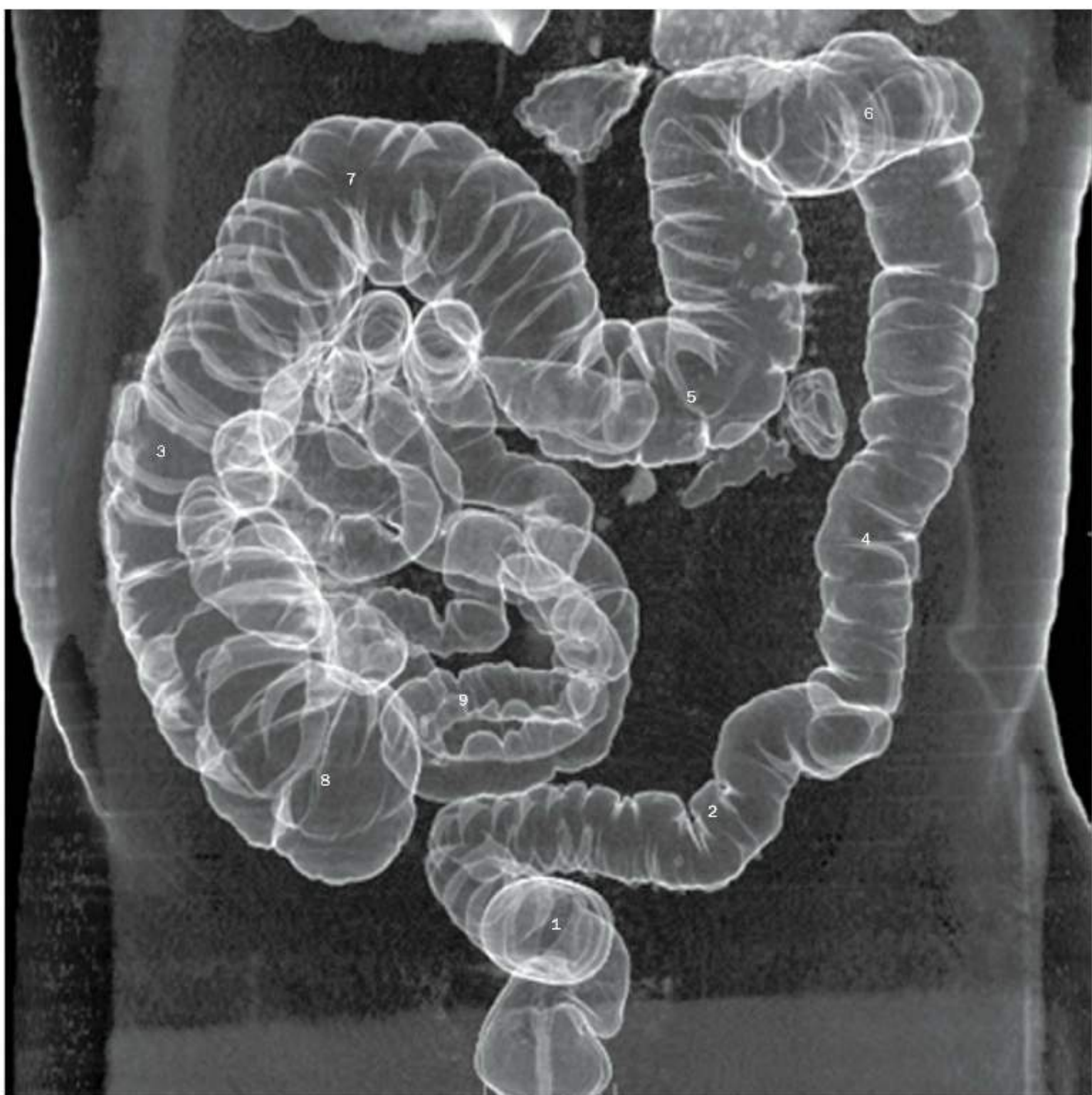
- | | |
|------------------------------------|--------------------------------|
| 1. Ceco | 8. Região terminal do ileo |
| 2. Dispositivo de compressão | 9. Pregas circulares do jejuno |
| 3. Parte descendente do duodeno | 10. Apêndice vermiforme |
| 4. Região proximal do ileo | 11. Colo ascendente |
| 5. Região proximal do jejuno | 12. Papila ileal |
| 6. Articulação sacroiliaca direita | 13. Colo transverso |
| 7. Estômago | |



Abdome, enema baritado com duplo contraste do intestino grosso (colo).

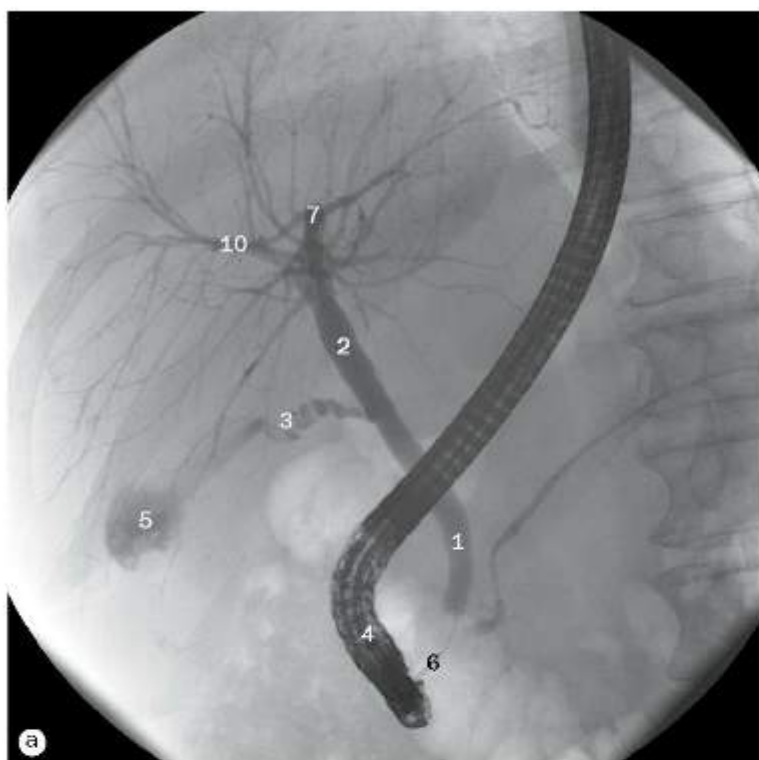
- 1 Colo ascendente
- 2 Ceco
- 3 Colo descendente
- 4 Flexura esquerda do colo
- 5 Reto

- 6 Flexura direita do colo
- 7 Seculações do colo
- 8 Colo sigmoide
- 9 Parte terminal do ileo
- 10 Colo transverso



Colonografia por TC

- | | |
|--------------------|----------------------------|
| 1 Reto | 6 Flexura esquerda do colo |
| 2 Colo sigmoide | 7 Flexura direita do colo |
| 3 Colo ascendente | 8 Ceco |
| 4 Colo descendente | 9 Parte terminal do ileo |
| 5 Colo transverso | |



(a) Colangiopancreatografia endoscópica retrógrada (CPER).

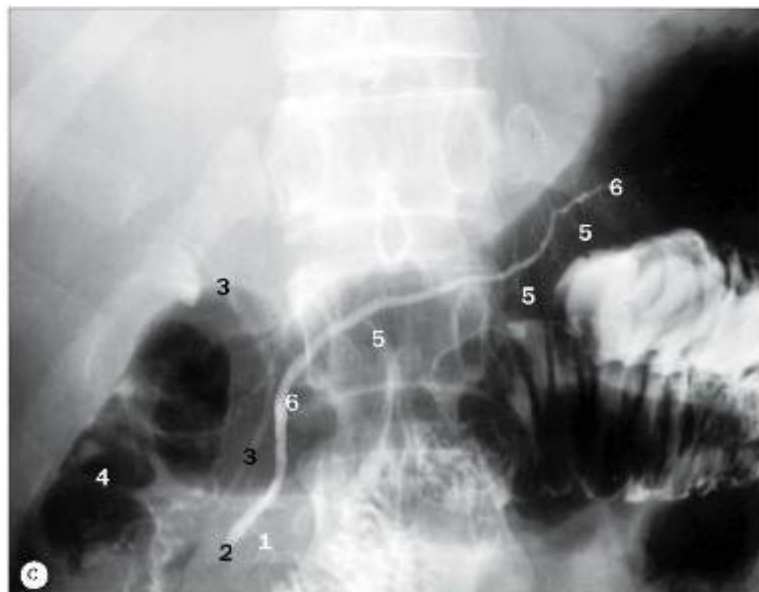


(b) Colangiopancreatografia magnética (CPRM).

- 1 Ducto colédoco
- 2 Ducto hepático comum
- 3 Duto cístico
- 4 Endoscópio no duodeno

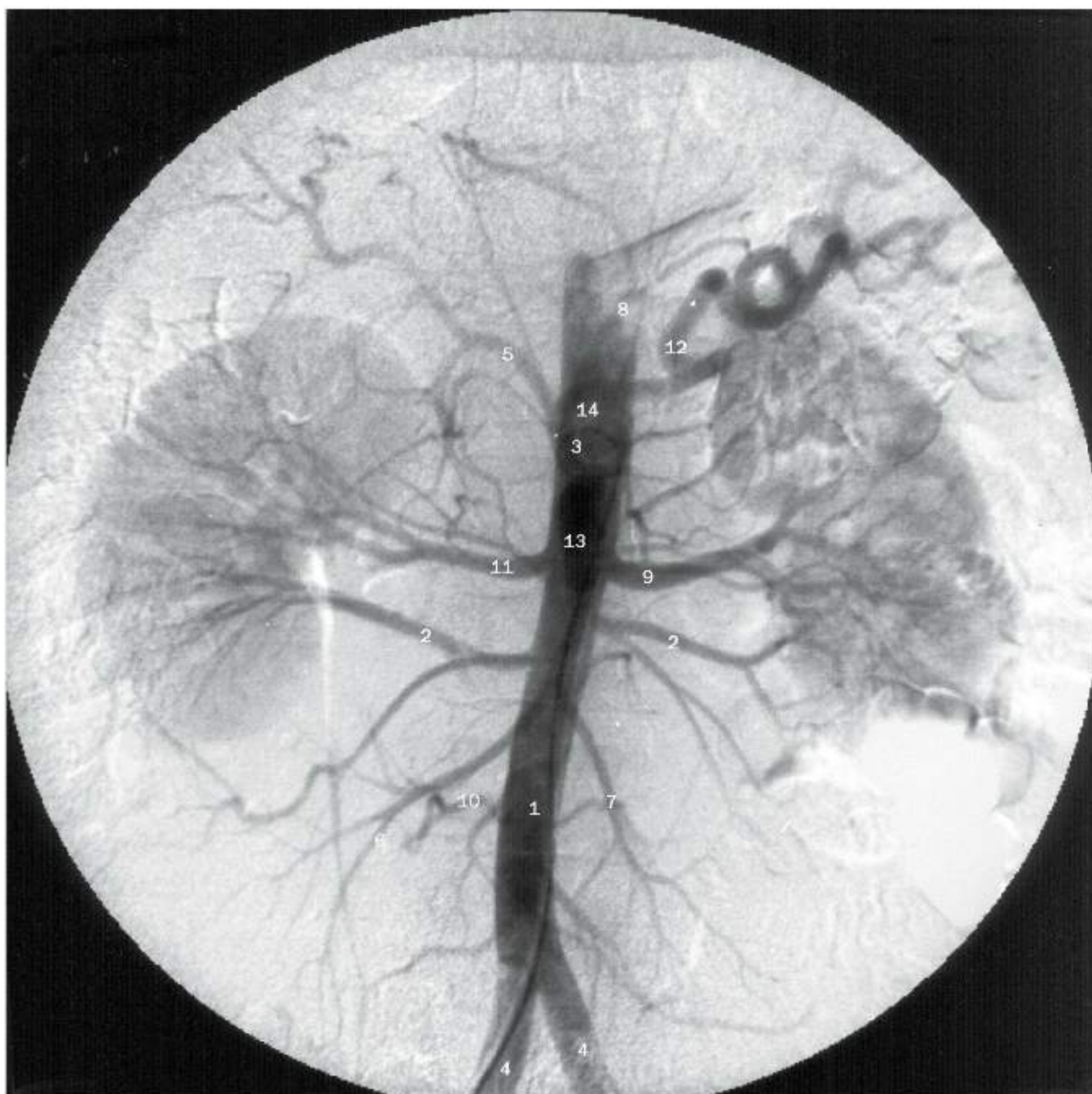
- 5 Vesícula biliar
- 6 Ampola hepatopancreática
- 7 Ducto hepático comum
- 8 Colo da vesícula biliar

- 9 Ducto pancreático
- 10 Ducto hepático direito



(c) CPER.

- 1 Ducto pancreático acessório
- 2 Parte ampular do ducto pancreático
- 3 Ducto colédoco
- 4 Meio de contraste e gases na parte descendente do duodeno
- 5 Ductos intralobulares
- 6 Ducto pancreático

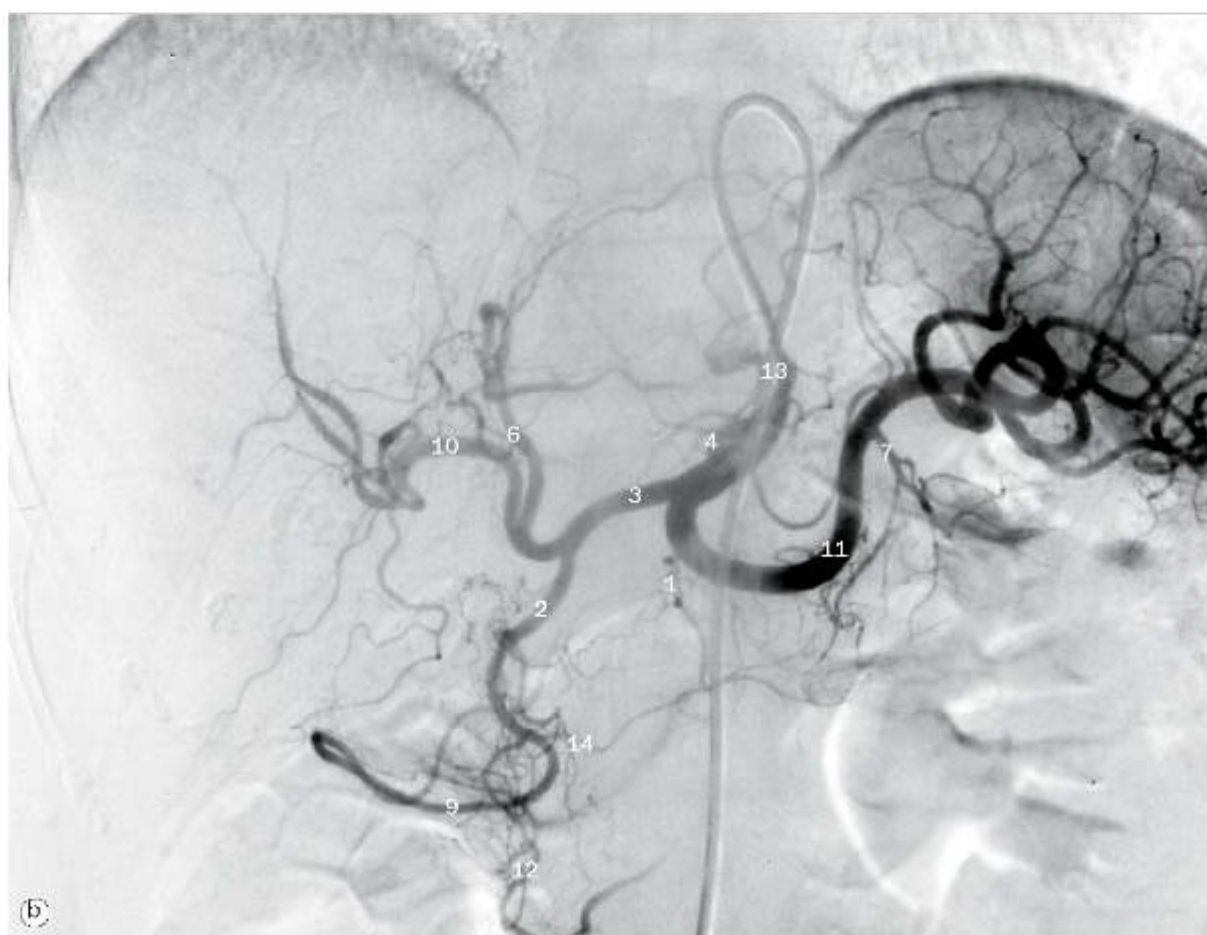
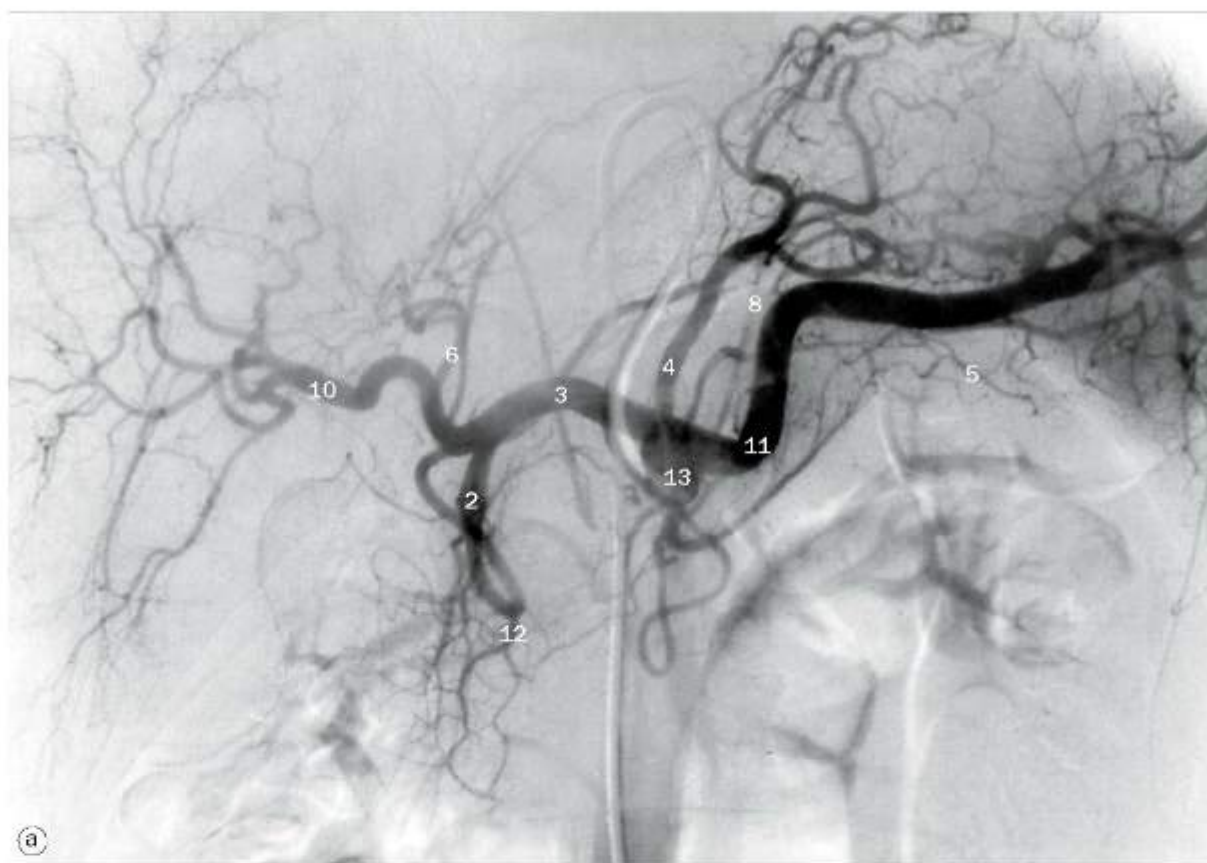


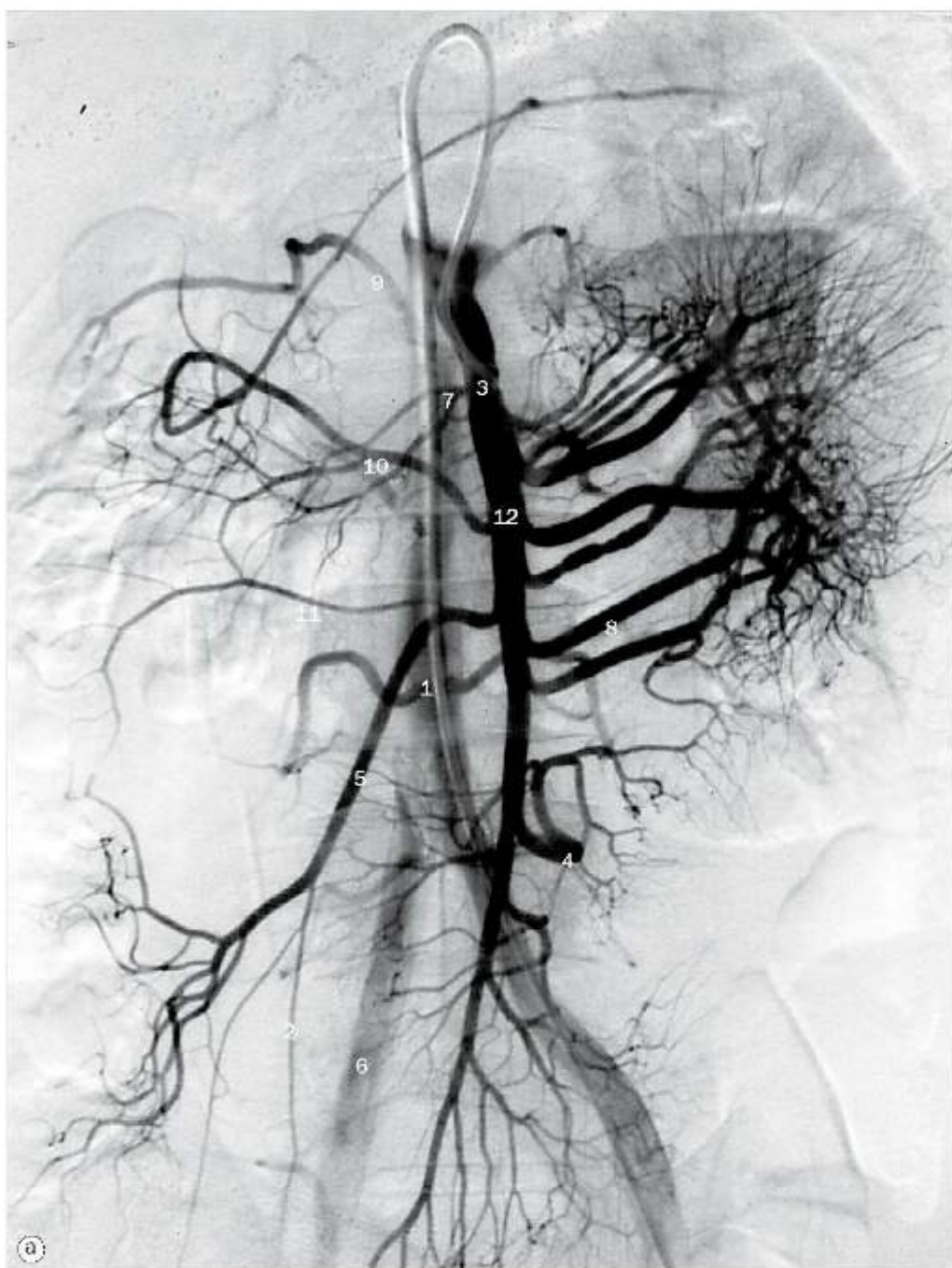
Aortografia abdominal.

- 1 Parte abdominal da aorta
- 2 Artérias renais acessórias
- 3 Tronco celiaco
- 4 Artérias iliacas comuns
- 5 Artéria hepática
- 6 Artéria ileocólica
- 7 Ramos jejunais da artéria mesentérica superior
- 8 Artéria gástrica esquerda
- 9 Artéria renal esquerda
- 10 Artérias lombares
- 11 Artéria renal direita
- 12 Artéria esplênica
- 13 Artéria mesentérica superior
- 14 Extremidade do cateter em rabo-de-porco (*pigtail*) na parte abdominal da aorta

(a) e (b) Arteriografias por subtração digital do tronco celíaco.

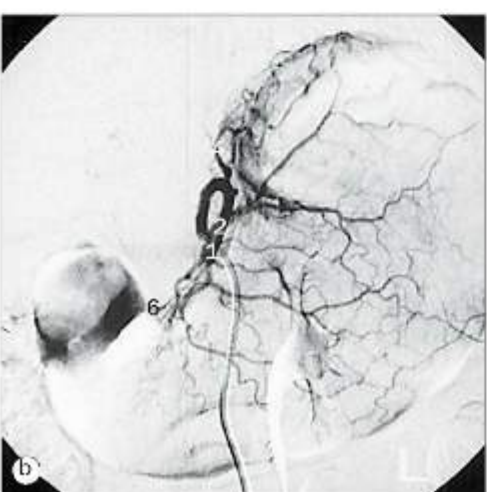
- 1 Artéria pancreática dorsal
- 2 Artéria gastroduodenal
- 3 Artéria hepática comum
- 4 Artéria gástrica esquerda
- 5 Artéria gastromental esquerda
- 6 Artéria hepática esquerda
- 7 Artéria pancreática magna
- 8 Artéria frênica superior
- 9 Artéria gastromental direita
- 10 Ramo direito da artéria hepática
- 11 Artéria esplênica
- 12 Artéria pancreaticoduodenal superior
- 13 Extremidade do cateter no tronco celíaco
- 14 Artéria pancreática inferior





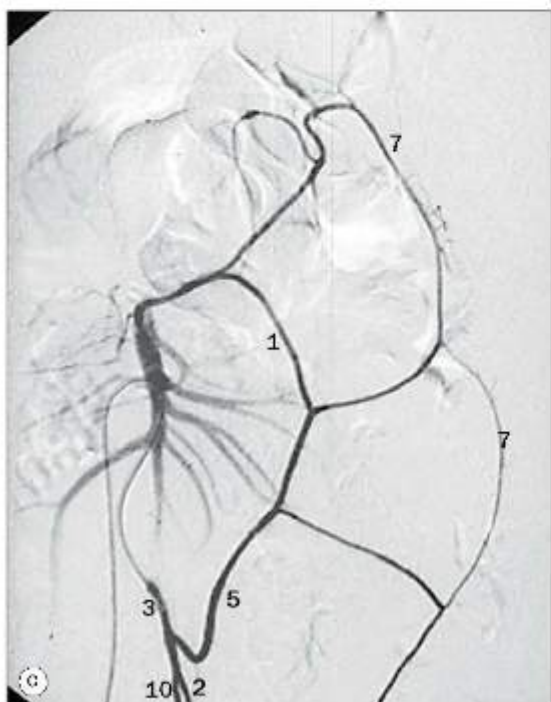
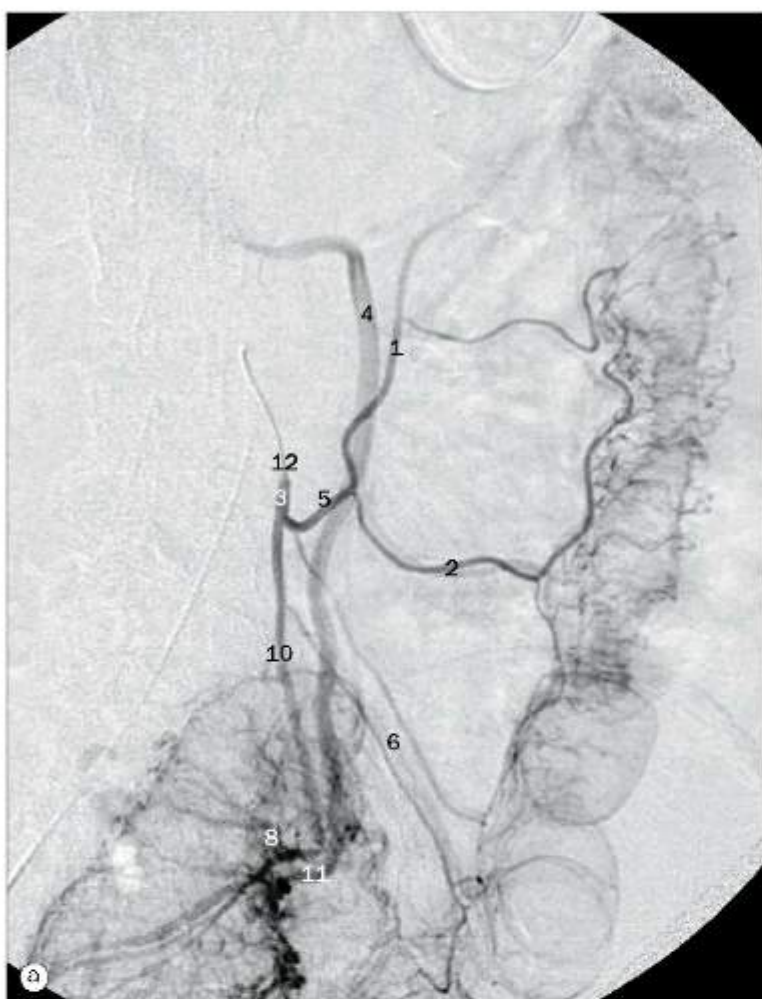
(a) Arteriografia por subtração digital da mesentérica superior.

1. Aorta
2. Artéria apendicular
3. Cateter com a extremidade seletivamente na artéria mesentérica superior
4. Ramos ileais da artéria mesentérica superior
5. Artéria ileocólica
6. Artéria ilíaca comum
7. Artéria pancreaticoduodenal inferior
8. Rámos jejuna da artéria mesentérica superior
9. Artérias lombares originando-se da parte abdominal da aorta
10. Artéria cólica média
11. Artéria cólica direita
12. Artéria mesentérica superior



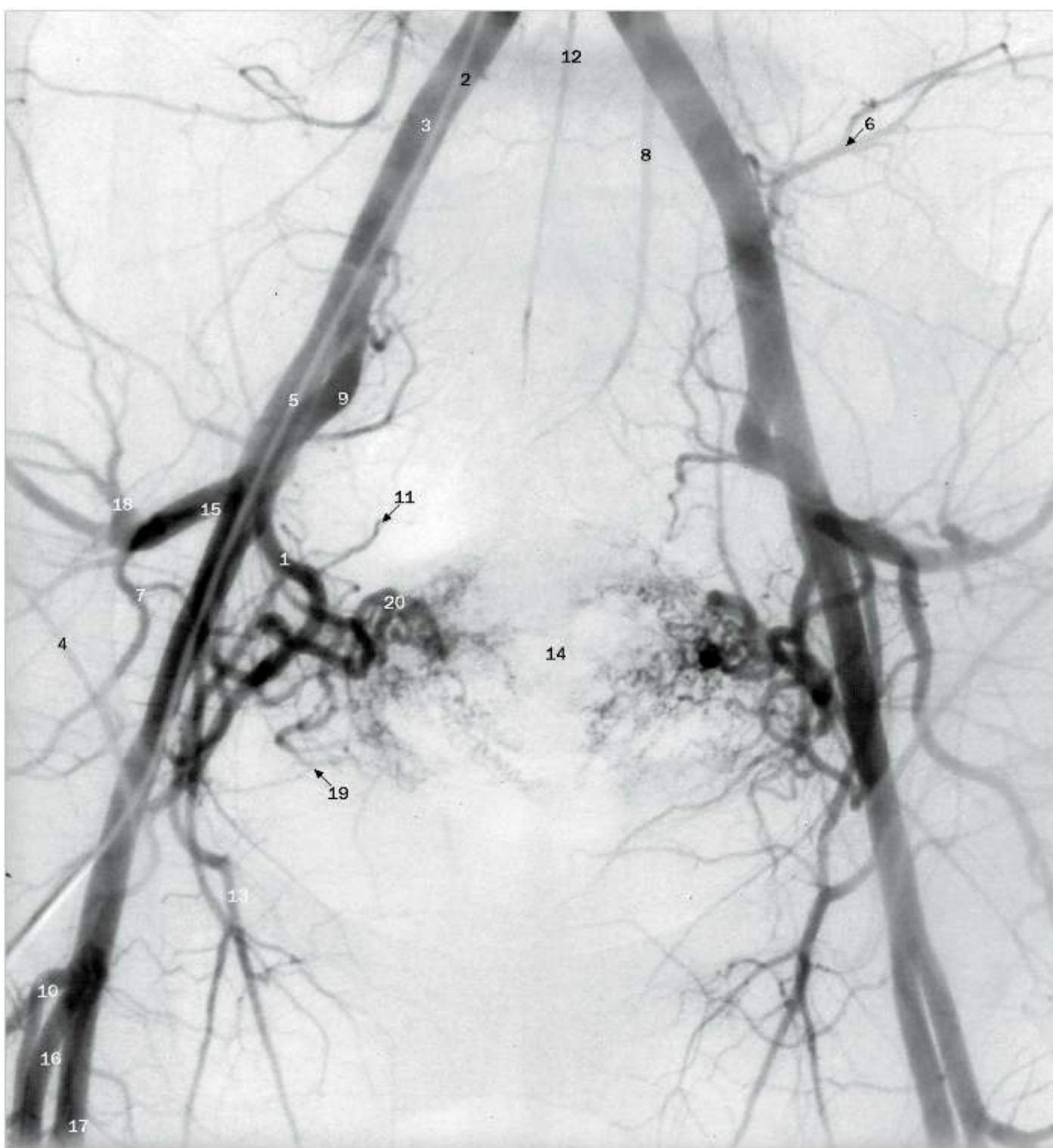
(b) Artérias gástricas, (c) veias gástricas.

1. Cateter na origem da artéria gástrica esquerda
2. Artéria gástrica esquerda
3. Veia gástrica esquerda
4. Ramo esofágico da artéria gástrica esquerda
5. Ramos esofágicos da veia gástrica esquerda
6. Artéria gástrica direita
7. Veias gástricas curtas
8. Veia esplênica



(a)-(c) Arteriografias mesentéricas inferiores.

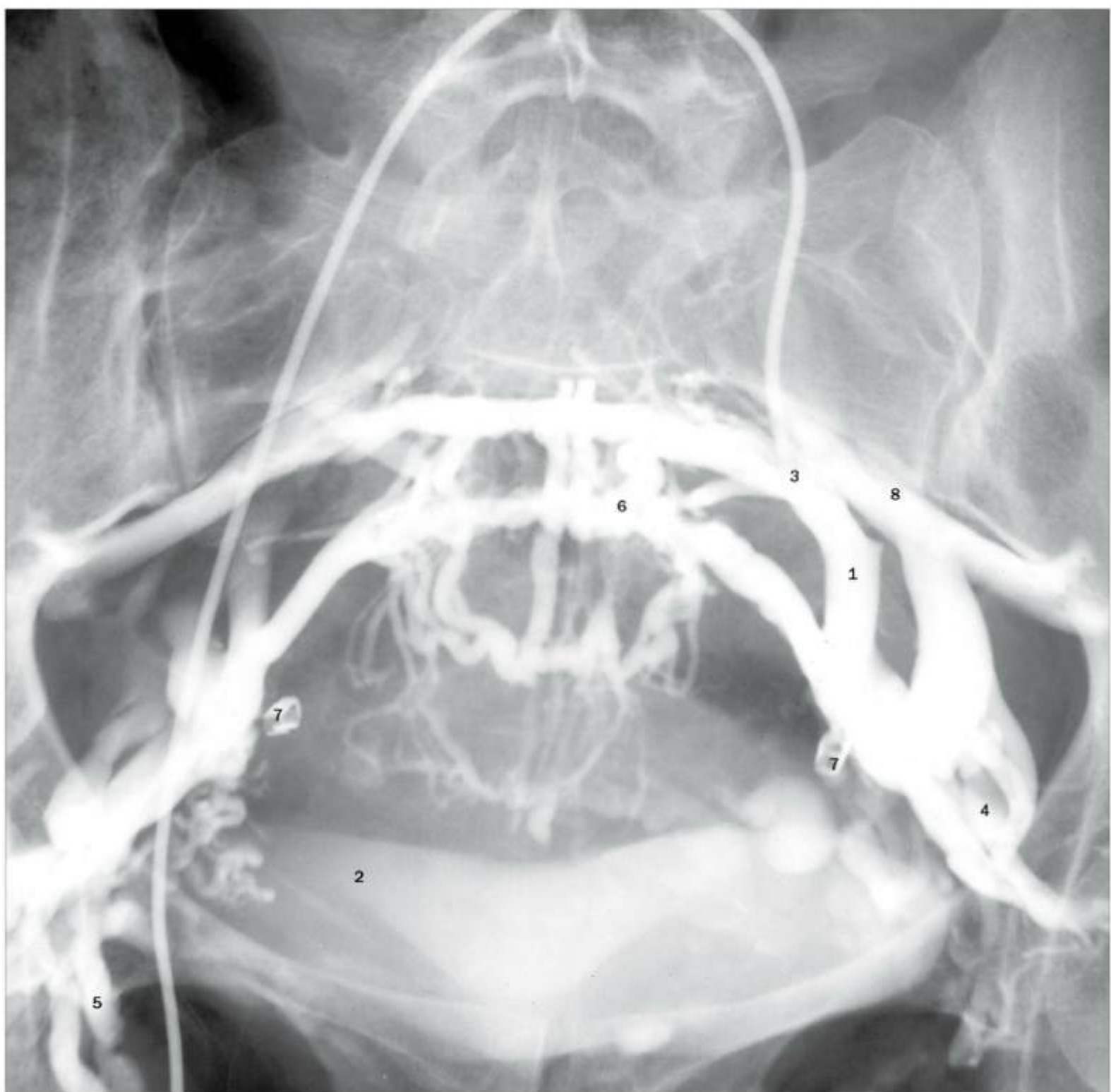
- 1. Ramo ascendente da artéria cólica esquerda
- 2. Ramo descendente da artéria cólica esquerda
- 3. Artéria mesentérica inferior
- 4. Veia mesentérica inferior
- 5. Artéria cólica esquerda
- 6. Veia cólica esquerda
- 7. Arco justacólico
- 8. Artérias sigmôideas
- 9. Veia sigmôidea
- 10. Artéria retal superior
- 11. Veia retal superior
- 12. Extremidade do cateter na artéria mesentérica inferior



Arteriografia pélvica por subtração digital.

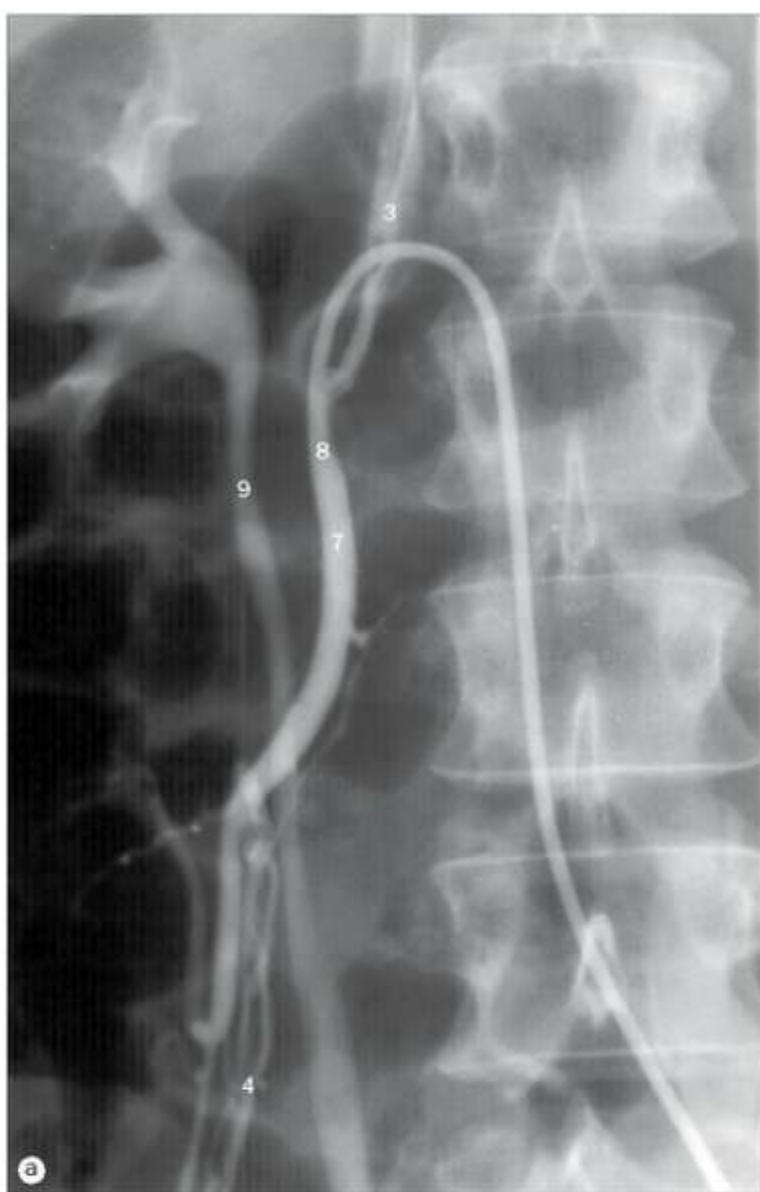
Essa radiografia anteroposterior da pelve demonstra tanto a artéria ilíaca interna como a externa e seus ramos. Muitos dos vasos estão superpostos: projeções oblíquas podem ser obtidas para que eles sejam vistos mais claramente. O meio de contraste injetado nas artérias é excretado pelos rins, e a bexiga cheia pode obscurecer os ramos. O cateterismo seletivo das artérias ilíaca interna e externa usando um cateter pré-moldado proporciona detalhes melhores, sem superposição dos vasos.

- 1 Tronco anterior da artéria ilíaca interna
- 2 Cateter introduzido na parte abdominal distal da aorta através da artéria femoral direita
- 3 Artéria ilíaca comum
- 4 Artéria circumflexa ilíaca profunda
- 5 Artéria ilíaca externa
- 6 Artéria iliolumbar
- 7 Artéria glútea inferior
- 8 Artéria mesentérica inferior
- 9 Artéria ilíaca interna
- 10 Artéria circumflexa femoral lateral
- 11 Artéria sacral lateral
- 12 Artéria sacral mediana
- 13 Artéria obturatória
- 14 Posição do útero
- 15 Tronco posterior da artéria ilíaca interna
- 16 Artéria femoral profunda
- 17 Artéria femoral
- 18 Artéria glútea superior
- 19 Artéria vesical superior
- 20 Artéria uterina



Venografia pélvica feminina.

- 1 Divisão anterior da veia ilíaca interna
- 2 Bexiga urinária contendo meio de contraste
- 3 Cateter introduzido através da veia femoral direita, com a extremidade na veia ilíaca interna esquerda
- 4 Veias glúteas inferiores
- 5 Veias obturatórias
- 6 Plexo venoso sacral
- 7 Grampos de esterilização
- 8 Veias glúteas superiores

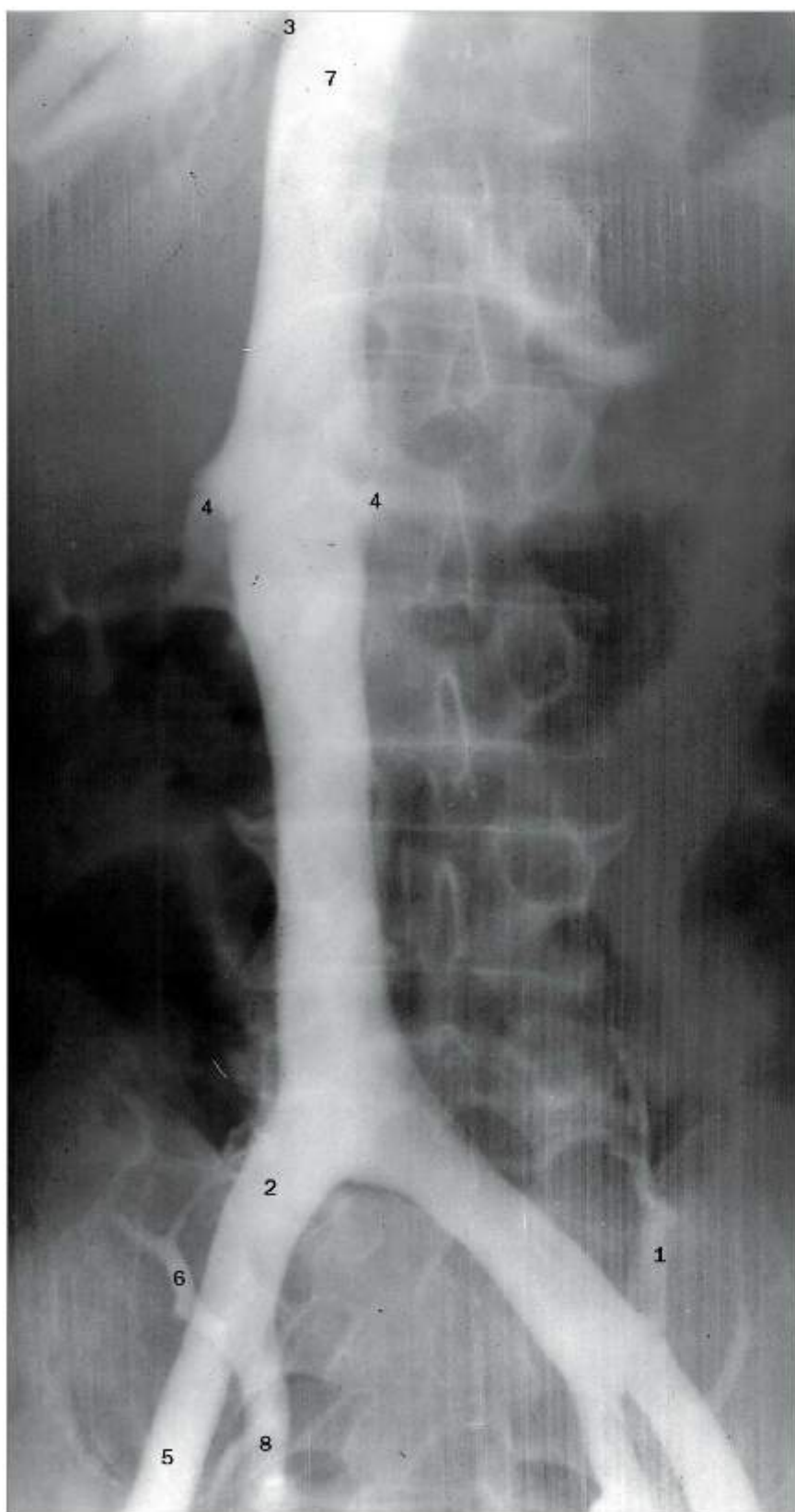


(a) e (b) Venografias testiculares direitas.

As veias gonadais drenam para uma ou duas veias principais através de um plexo venoso. À esquerda, a veia principal drena para a veia renal esquerda. Esta pode, ocasionalmente, comunicar-se com a veia mesentérica inferior e drenar para o sistema venoso portal. À direita, a veia principal drena, em geral, diretamente para a veia cava inferior (como no caso ilustrado), mas ela pode drenar também para a veia renal direita.

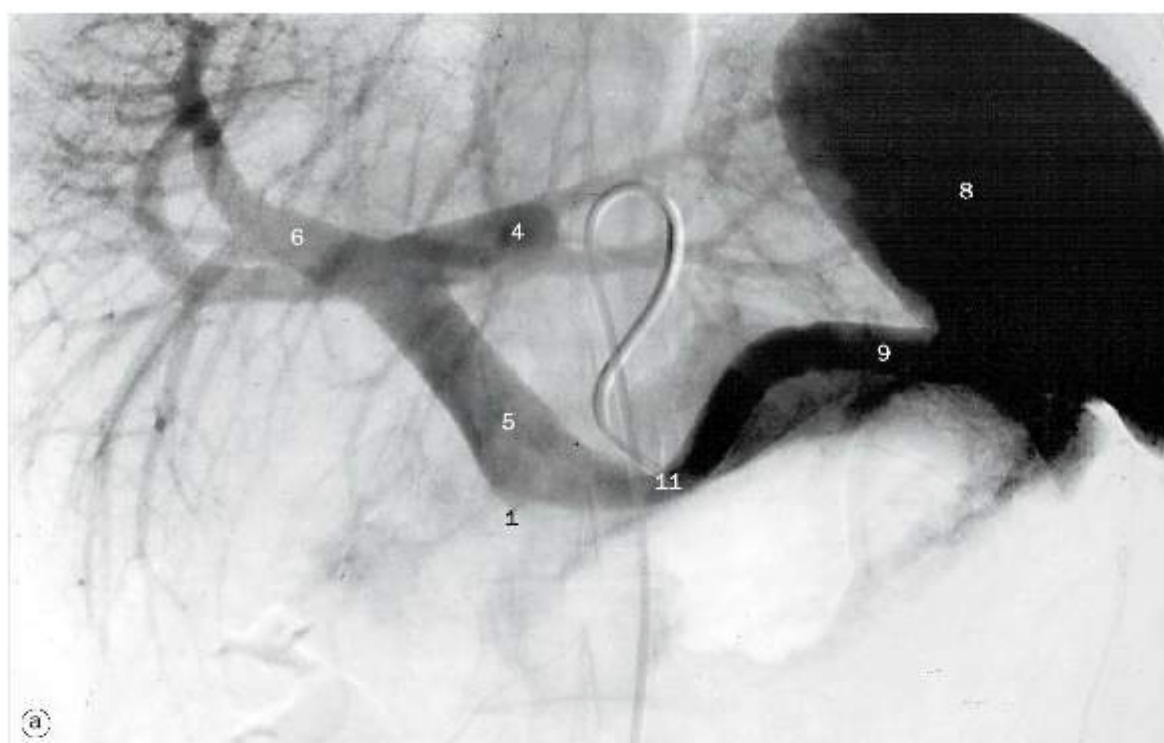


- 1 Bexiga urinária
- 2 Veias ilíacas comuns
- 3 Veia cava inferior
- 4 Plexo pampiniforme
- 5 Plexo pampiniforme (testículo ectópico no canal inguinal)
- 6 Veias capsulares renais
- 7 Veia testicular direita
- 8 Extremidade do cateter na veia testicular direita, introduzido pela veia femoral esquerda
- 9 Ureter



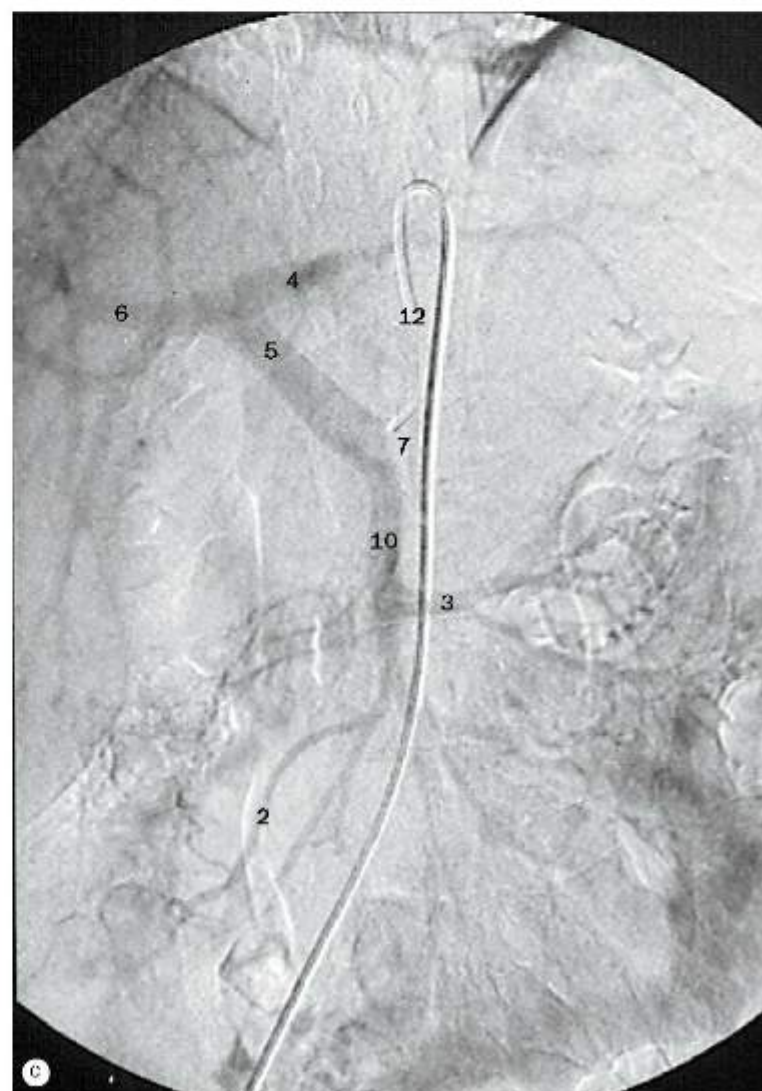
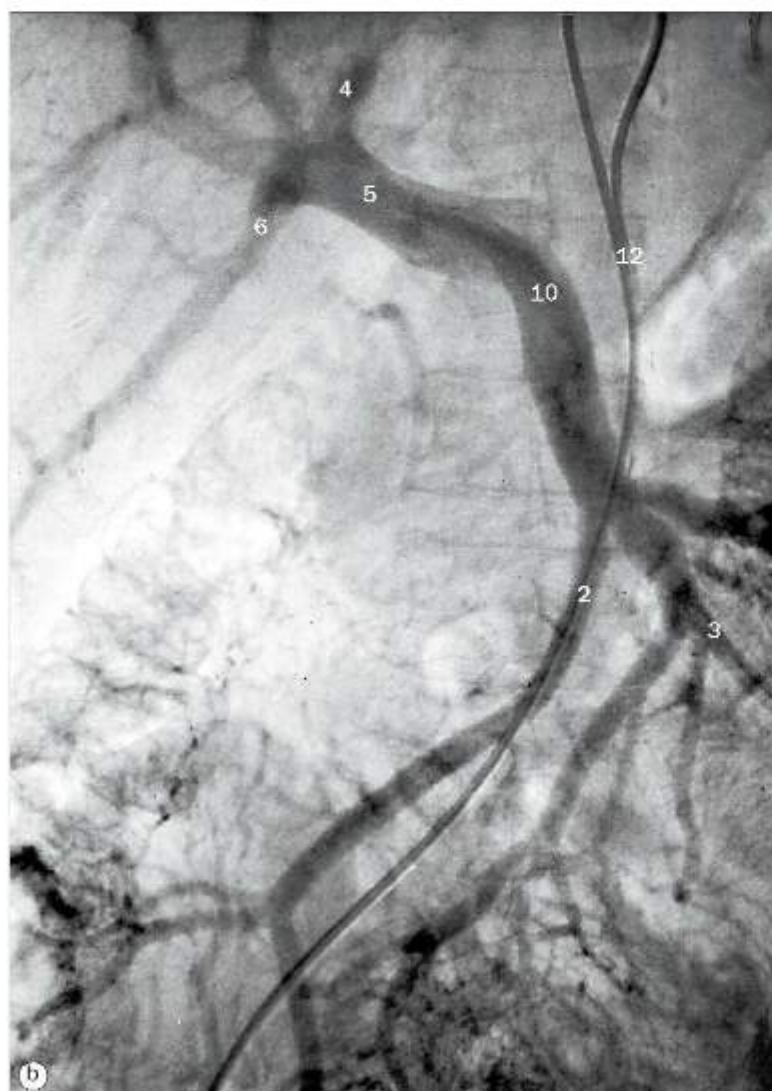
Venografia da veia cava inferior.

- 1 Veia lombar ascendente
- 2 Veia ilíaca comum
- 3 Entrada das veias hepáticas
- 4 Entrada das veias renais
- 5 Veia ilíaca externa
- 6 Veia iliolombar
- 7 Veia cava inferior
- 8 Veia ilíaca interna



(a) Esplenoportografia indireta.

(b) e (c) Fase venosa de uma arteriografia mesentérica superior.





(a) Arteriografia hepática por subtração digital.

- 1 Ramo anterior da artéria pancreaticoduodenal superior
- 2 Artéria pancreática dorsal
- 3 Artérias omentais
- 4 Artéria gastroduodenal
- 5 Ramo esquerdo da artéria hepática própria
- 6 Ramo posterior da artéria pancreaticoduodenal superior
- 7 Ramo direito da artéria hepática própria
- 8 Artéria gastromental direita
- 9 Artéria pancreaticoduodenal superior
- 10 Extremidade do cateter na artéria hepática comum
- 11 Artéria pancreática inferior



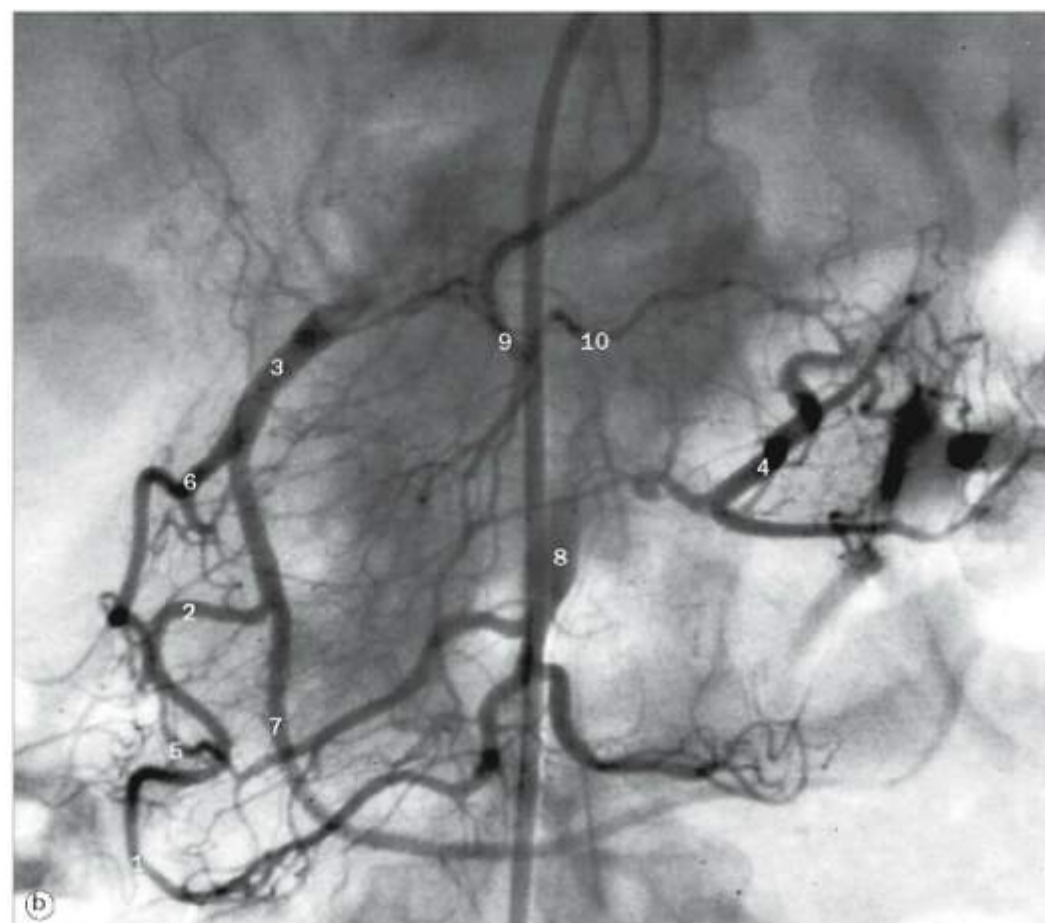
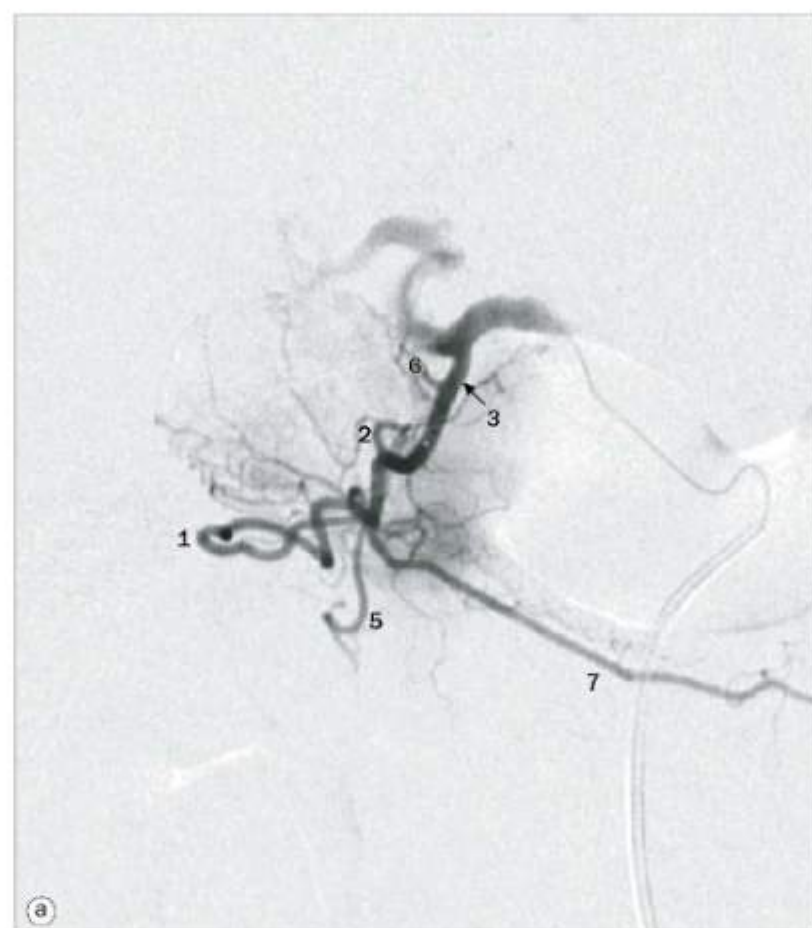
(b) Venografia hepática por subtração digital.

- 1 Veia cava inferior
- 2 Veia hepática intermédia
- 3 Parênquima hepático
- 4 Veia hepática direita
- 5 Extremidade do cateter na veia hepática

(a) Arteriografia seletiva gastroduodenal.

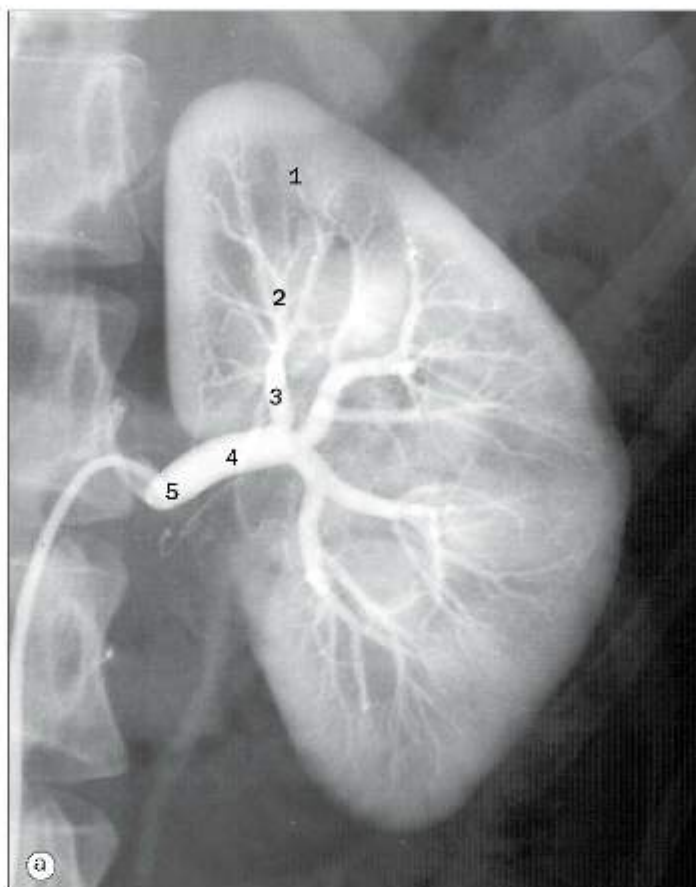
(b) Arteriografia pancreática por subtração digital.

- 1 Ramo anterior da artéria pancreaticoduodenal inferior
- 2 Ramo anterior da artéria pancreaticoduodenal superior
- 3 Artéria gastroduodenal
- 4 Artéria gastromental esquerda
- 5 Ramo posterior da artéria pancreaticoduodenal inferior
- 6 Ramo posterior da artéria pancreaticoduodenal superior
- 7 Artéria gastromental direita
- 8 Artéria mesentérica superior
- 9 Extremidade do cateter na artéria pancreática dorsal
- 10 Artéria pancreática inferior



(a) Arteriografia renal.

- 1 Artérias arqueadas
- 2 Artérias interlobares
- 3 Artérias lobares
- 4 Artéria renal
- 5 Extremidade do cateter na artéria renal



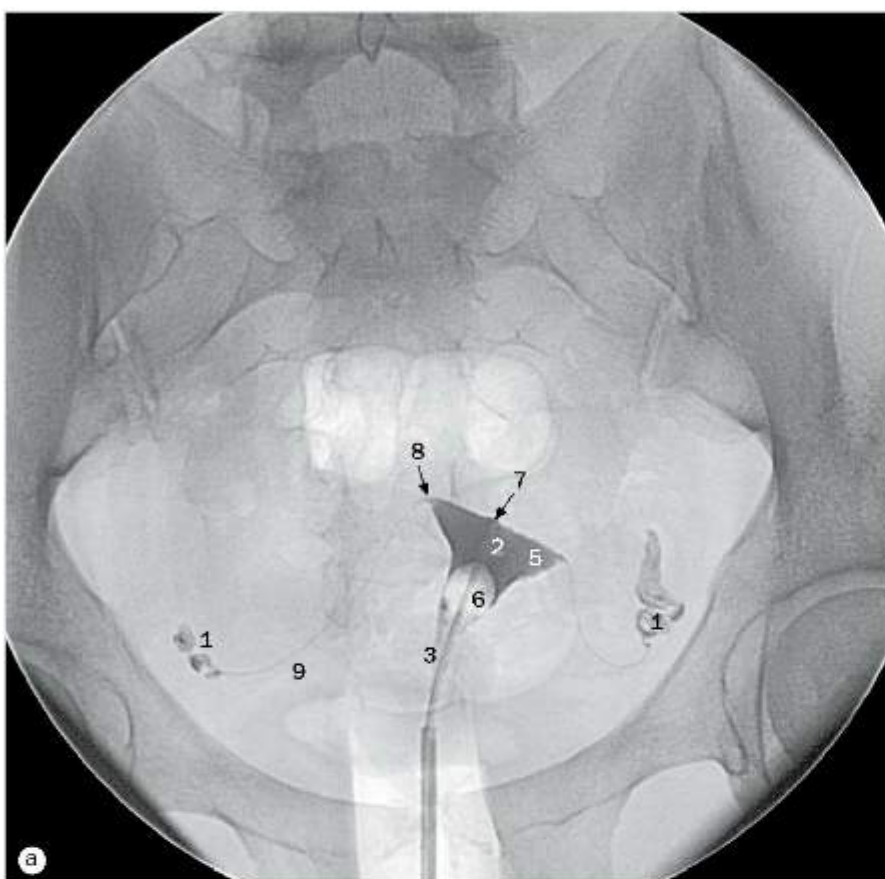
(b) Arteriografia da glândula suprarrenal esquerda.

- 1 Cateter na origem da artéria frênica inferior
- 2 Músculo diafragma
- 3 Artéria frênica inferior
- 4 Glândula suprarrenal esquerda
- 5 Artérias suprarrenais superiores
- 6 Extremidade da sonda nasogástrica

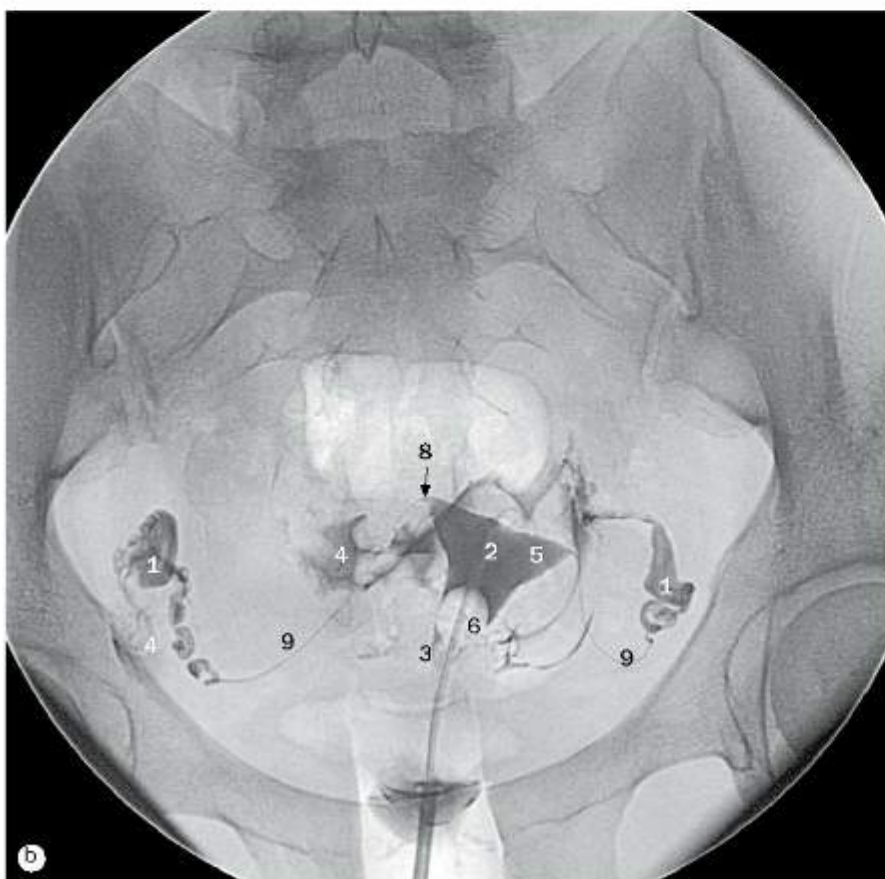


(c) Venografia da glândula suprarrenal esquerda.

- | | |
|--|---|
| <ol style="list-style-type: none"> 1 Adenoma na glândula suprarrenal 2 Veias capsulares 3 Músculo diafragma 4 Veia frênica inferior 5 Veia renal esquerda | <ol style="list-style-type: none"> 6 Veia suprarrenal esquerda 7 Extremidade do cateter na veia suprarrenal esquerda 8 Cálice do polo superior |
|--|---|

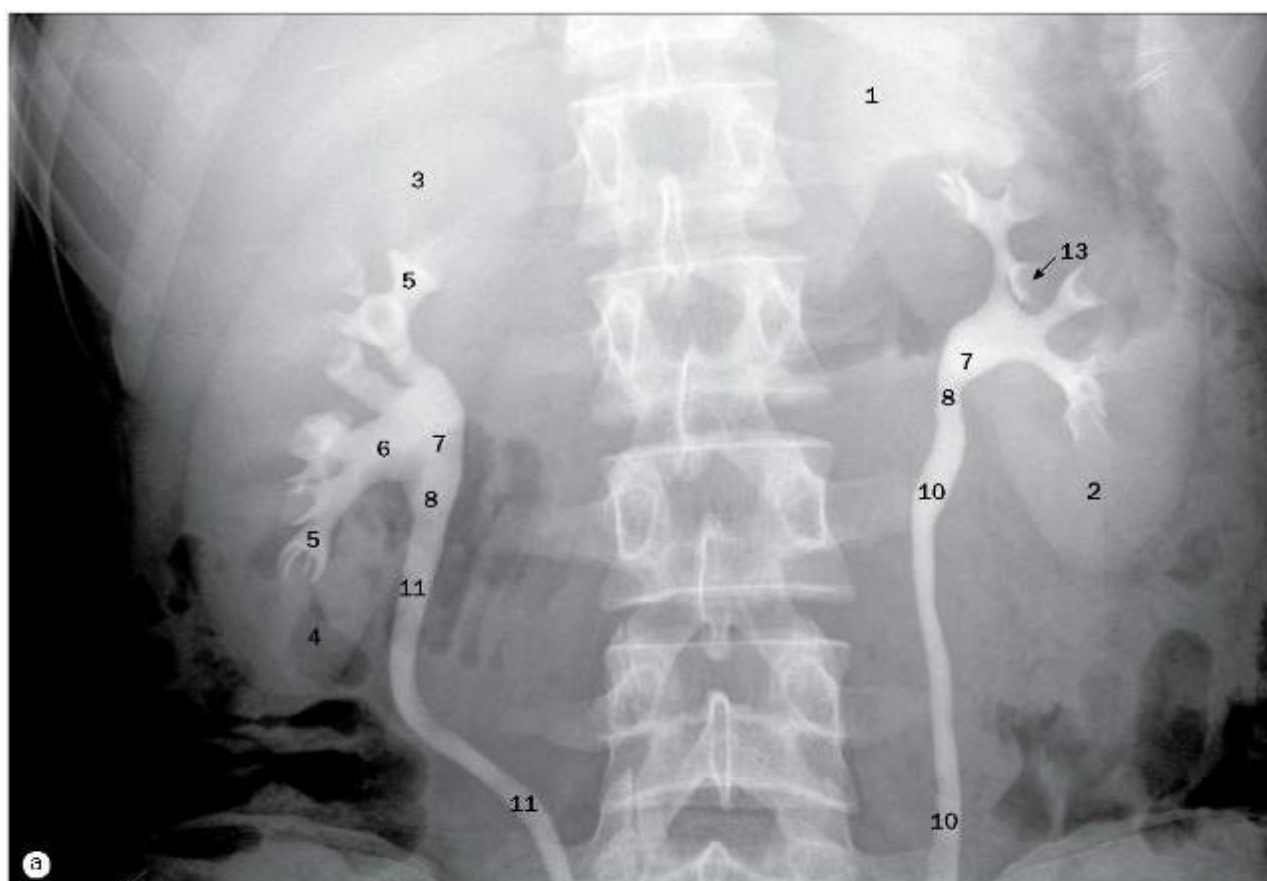


(a) Fase inicial do enchimento uterino.

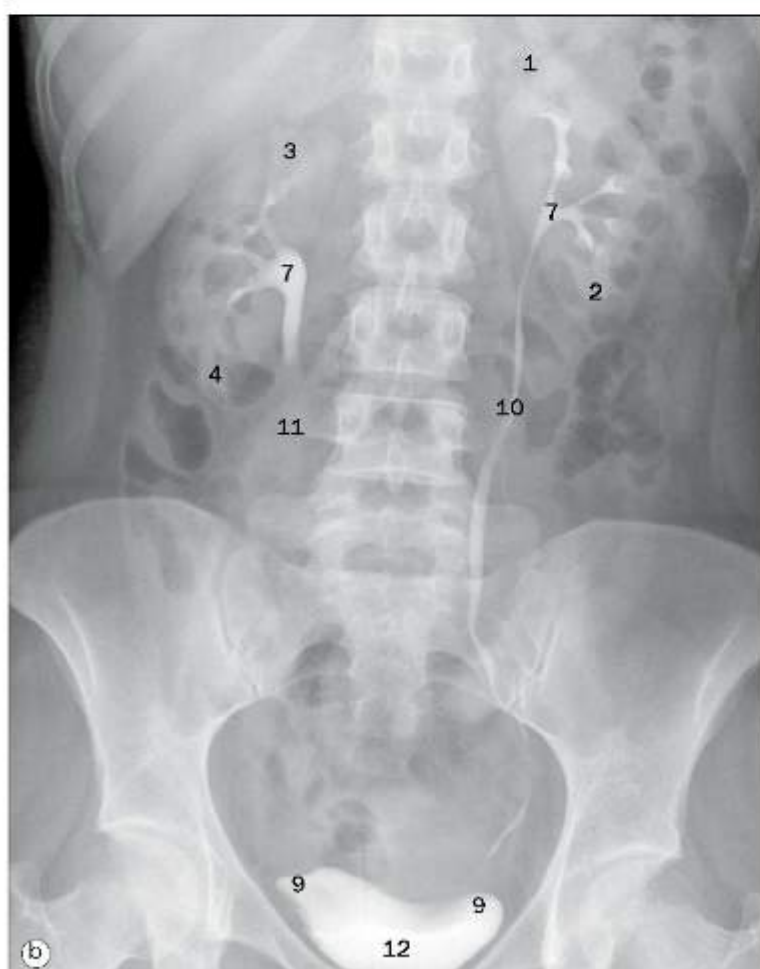


(b) Fase tardia com extravasamento peritoneal

- 1 Ampola da tuba uterina
- 2 Corpo do útero
- 3 Colo do útero
- 4 Vazamento de contraste para a cavidade peritoneal
- 5 Corno do útero
- 6 Cateter balão de Foley no útero
- 7 Fundo do útero
- 8 Isthmo da tuba uterina
- 9 Tuba uterina

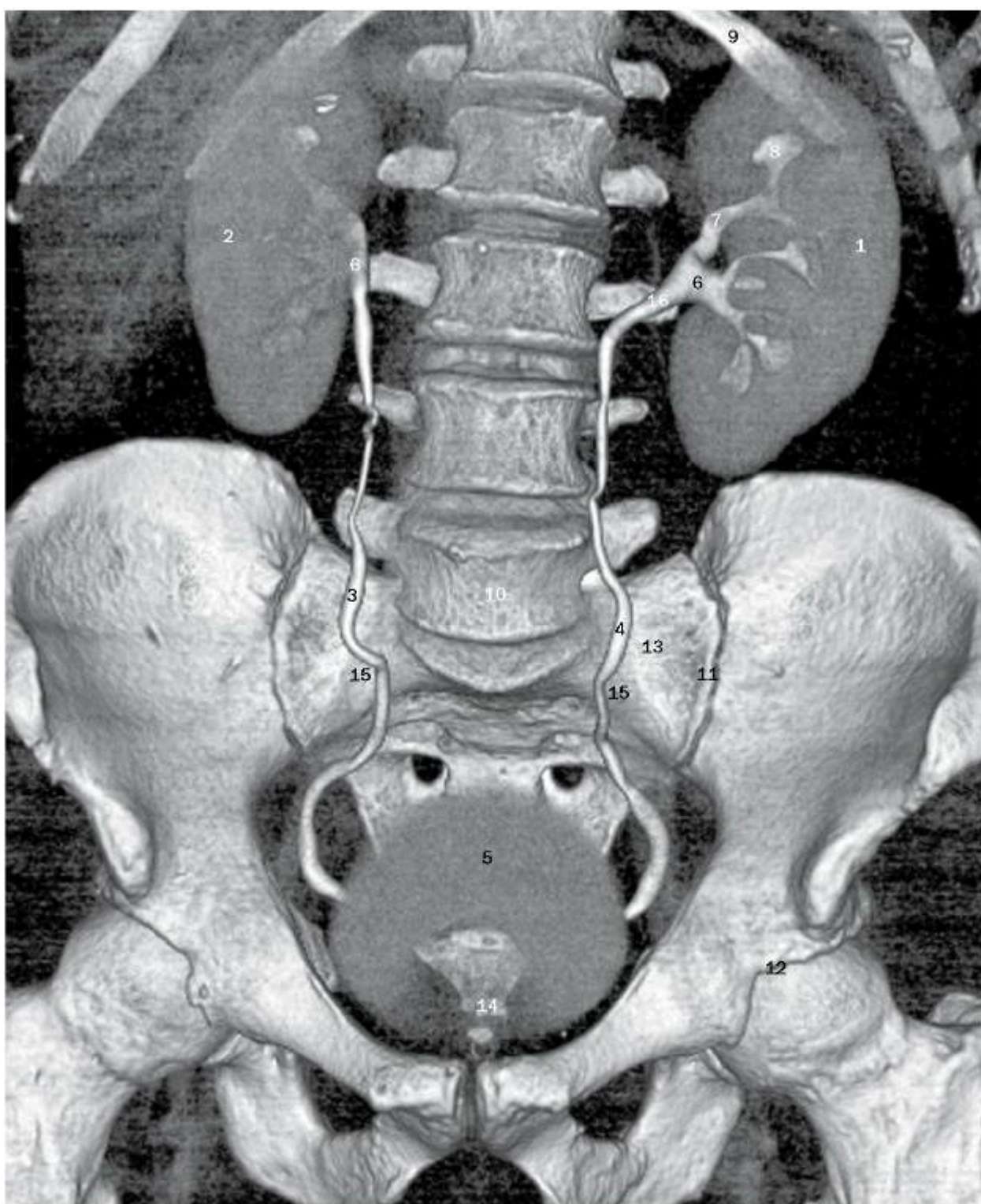


(a) Radiografia localizada após 10 minutos de uma urografia excretora. Há compressão abdominal.



(b) Radiografia após 15 minutos de uma urografia excretora após a liberação da compressão.

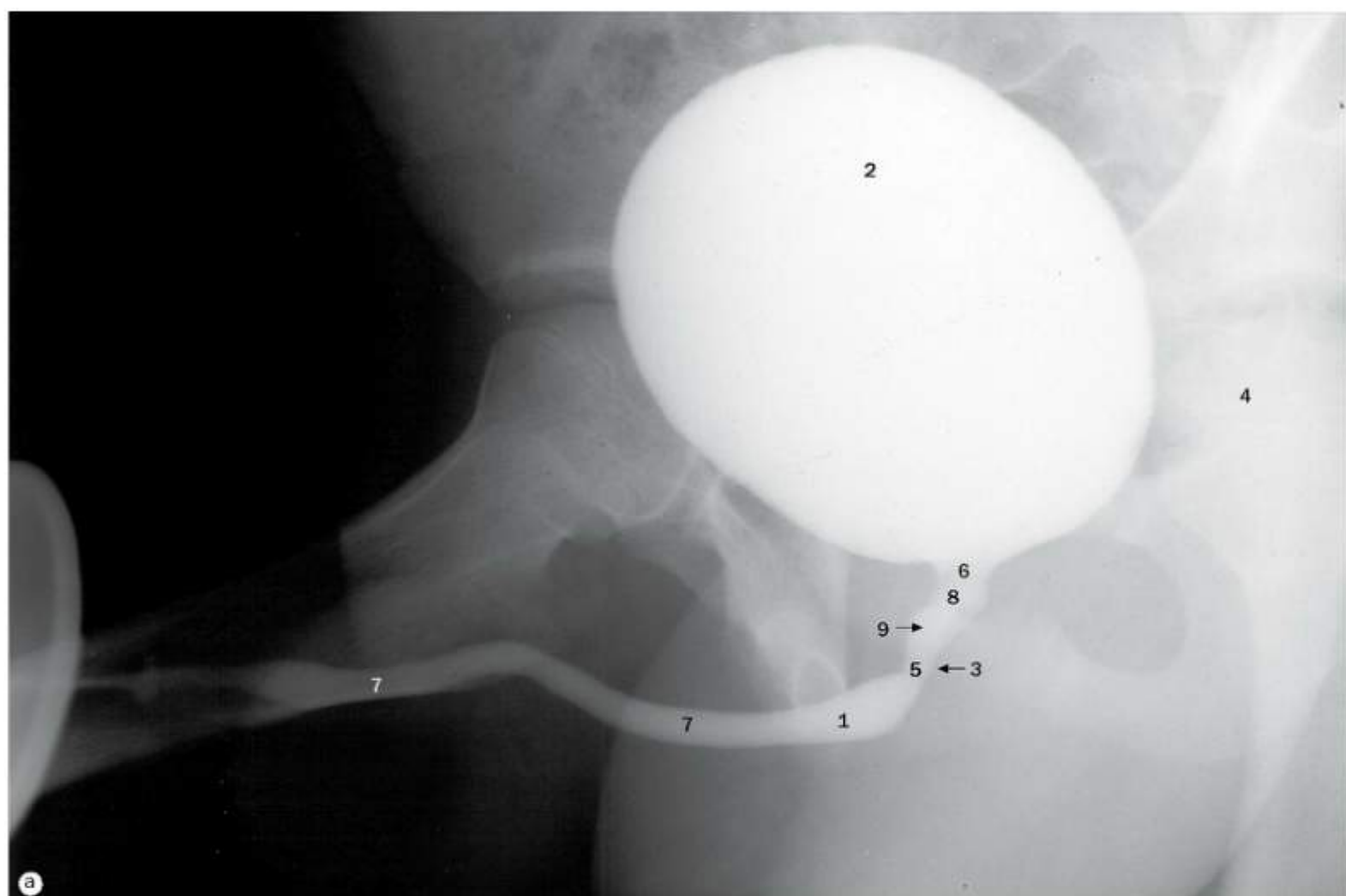
- 1 Polo superior do rim esquerdo
- 2 Polo inferior do rim esquerdo
- 3 Polo superior do rim direito
- 4 Polo inferior do rim direito
- 5 Câlice renal menor
- 6 Câlice renal maior
- 7 Pelve renal
- 8 Junção pelviureteral
- 9 Junção vesicoureteral
- 10 Ureter esquerdo
- 11 Ureter direito
- 12 Bexiga urinária
- 13 Papila renal



Uro-TC em 3D após 10 minutos da injeção intravenosa.

- 1 Rim esquerdo
- 2 Rim direito
- 3 Ureter direito
- 4 Ureter esquerdo
- 5 Bexiga urinária
- 6 Cálice renal maior
- 7 Cálice renal menor
- 8 Décima segunda costela

- 9 Décima segunda costela
- 10 Corpo vertebral de L5
- 11 Articulação sacroiliaca
- 12 Articulação do quadril
- 13 Asa do sacro
- 14 Côccix
- 15 Ponto de entrecruzamento ureteral dos vasos ilíacos comuns
- 16 Junção pelviureteral

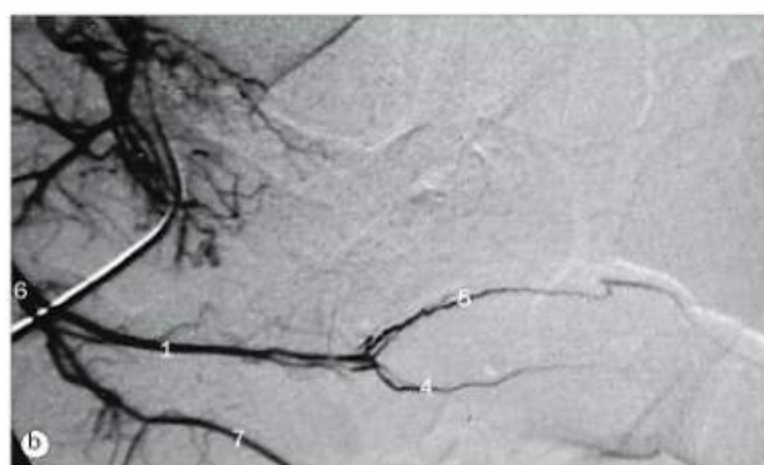


(a) Uretrografia masculina, imagem oblíqua.

(b) Arteriografia do pênis.

(c) Cavernosografia.

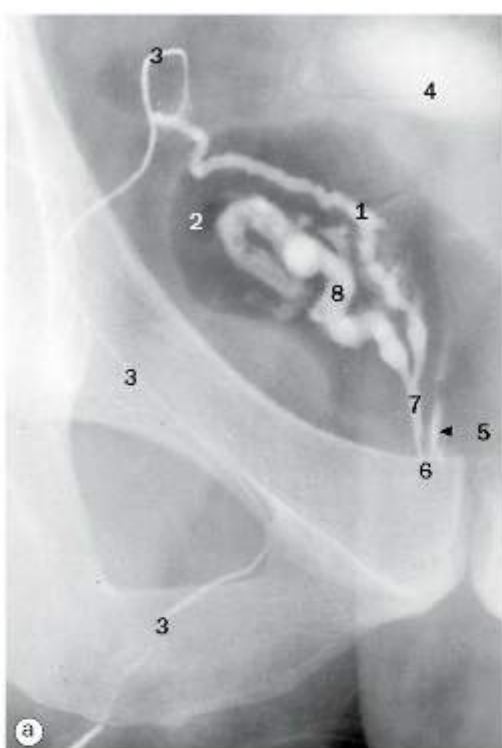
- 1 Parte esponjosa da uretra na região do bulbo do pênis
- 2 Meio de contraste na bexiga urinária
- 3 Músculo esfíncter externo da uretra
- 4 Cabeça do fêmur
- 5 Parte membranácea da uretra
- 6 Colo da bexiga urinária
- 7 Parte esponjosa da uretra na região do corpo do pênis
- 8 Parte prostática da uretra
- 9 Colículo seminal



- 1 Artéria do pênis
- 2 Corpo cavernoso
- 3 Ramo do pênis (corpo cavernoso)

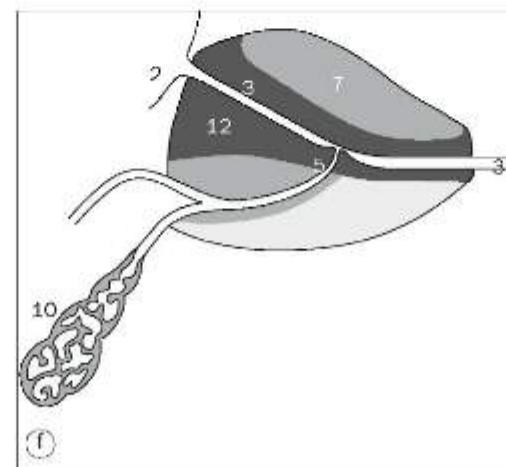
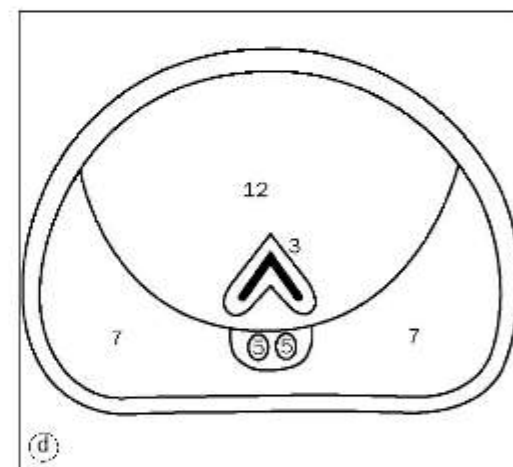
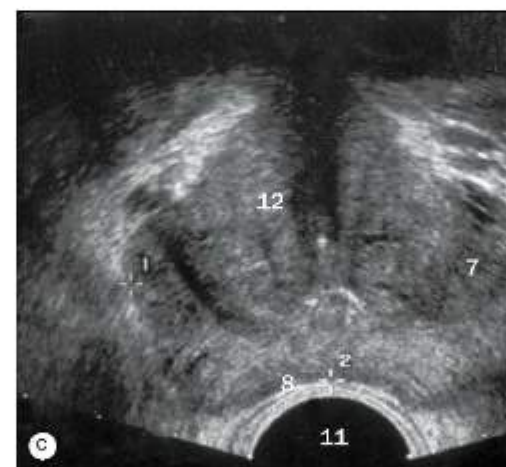
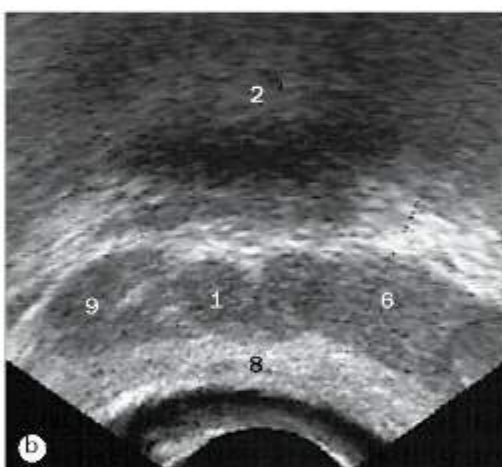
- 4 Artéria profunda do pênis
- 5 Artéria dorsal do pênis
- 6 Artéria pudenda interna
- 7 Artéria perineal





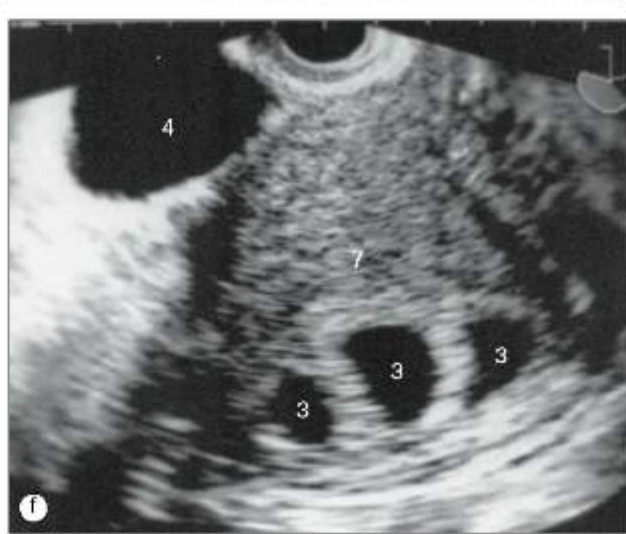
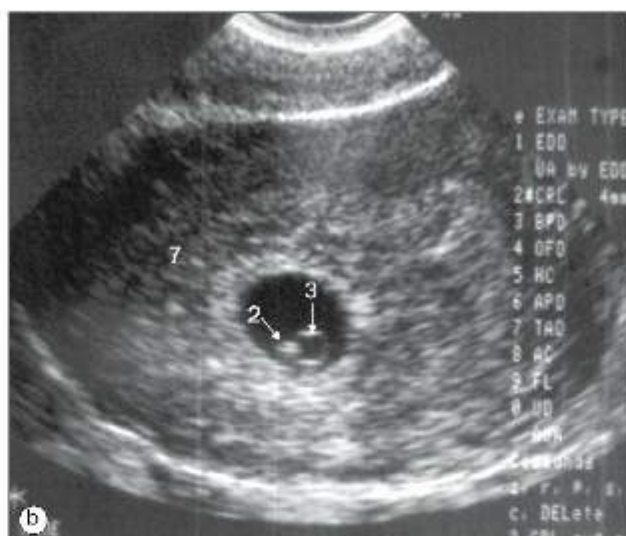
(a) Vesiculografia seminal

- 1 Ampola do ducto deferente
- 2 Gases no colo
- 3 Ducto deferente
- 4 Bexiga cheia
- 5 Ducto ejaculatório esquerdo
- 6 Posição do colículo seminal
- 7 Ducto ejaculatório direito
- 8 Glândula seminal



- 1 Ampola do ducto deferente
- 2 Bexiga urinária
- 3 Trajeto da uretra
- 4 Parte distal da uretra
- 5 Ducto ejaculatório
- 6 Glândula seminal esquerda
- 7 Zona periférica da próstata
- 8 Parede do reto
- 9 Glândula seminal direita
- 10 Glândula seminal
- 11 Transdutor
- 12 Zona de transição da próstata

Ultrassonografia transretal da próstata, (b) corte axial através da base da bexiga, (c) corte axial através do meio da próstata, (d) desenho de um corte axial da próstata, (e) corte sagital na linha mediana, (f) desenho do corte sagital na linha mediana.



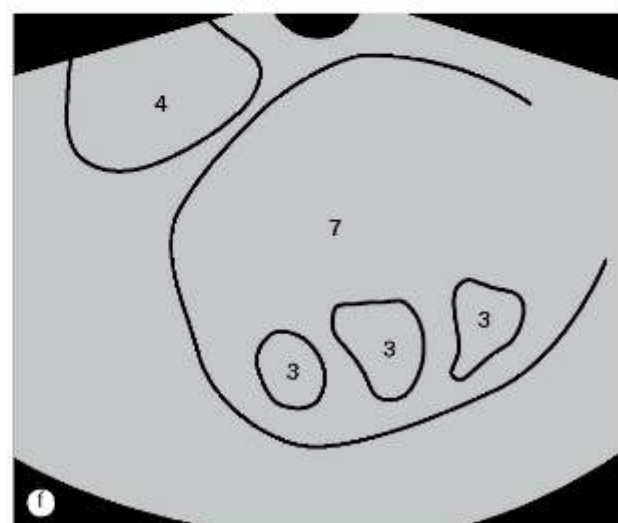
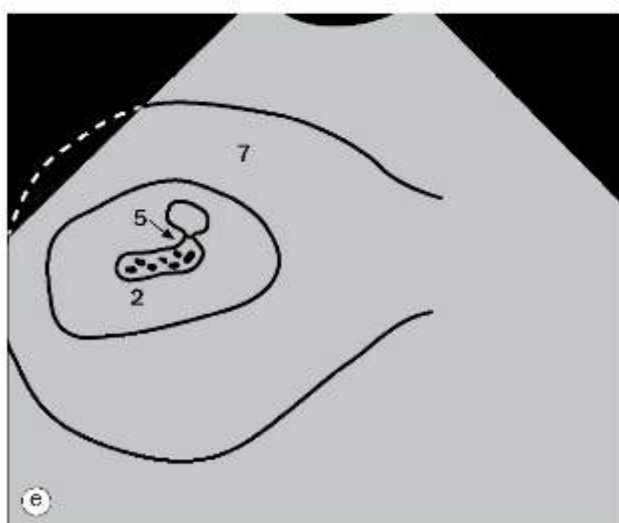
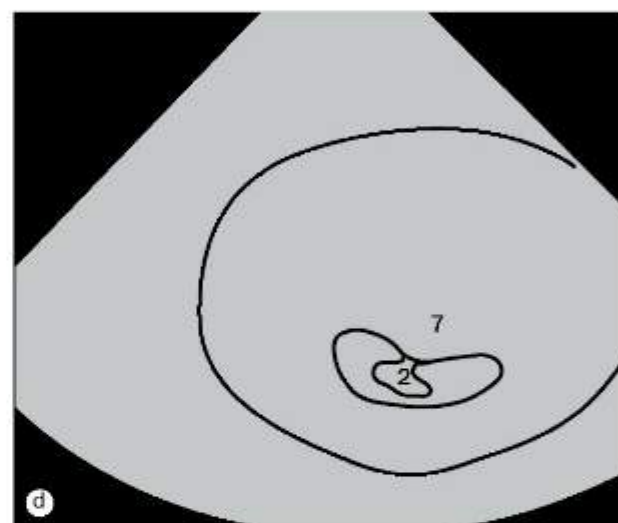
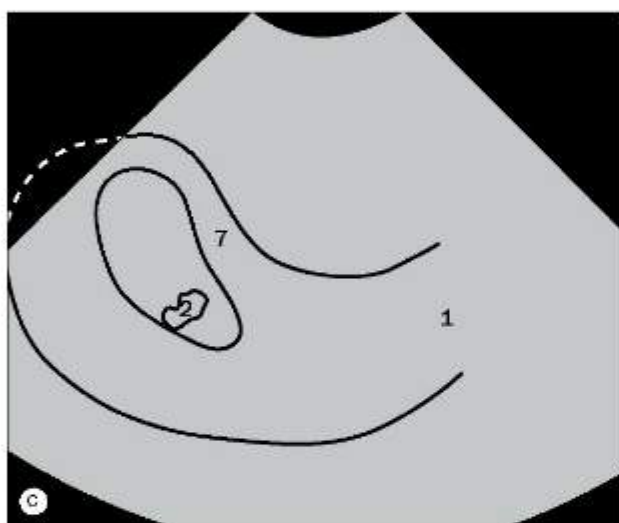
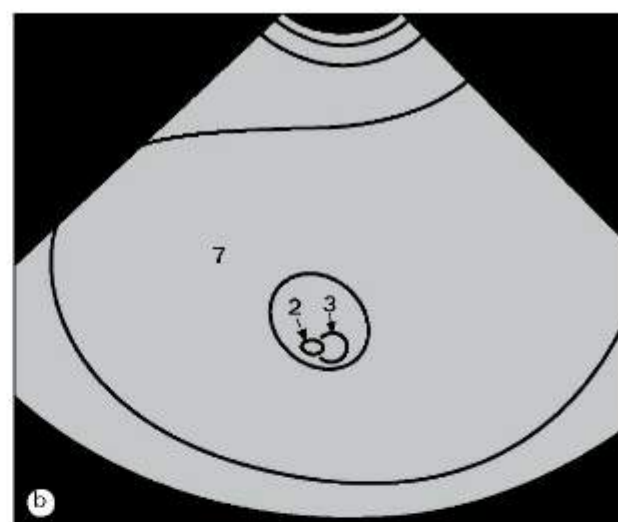
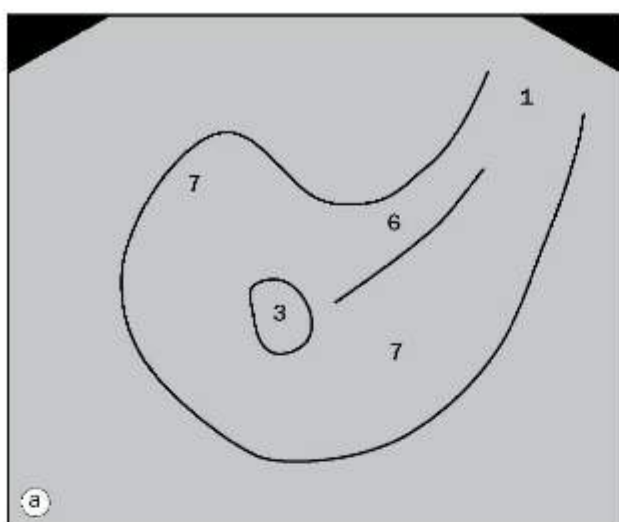
(a) Saco gestacional de 8 mm = idade gestacional de 5 semanas + 3 dias, (b) CCN (comprimento cabeça-nádega) = 4 mm = idade gestacional de 6 semanas, (c) CCN = 6 mm = idade gestacional de 6 semanas + 3 dias, (d) CCN = 8 mm = idade gestacional de 6 semanas + 5 dias, (e) CCN = 10 mm = idade gestacional de 7 semanas + 2 dias, (f) trigêmeos - três sacos gestacionais separados.

1 Colo do útero
2 Feto

3 Saco gestacional
4 Bexiga materna

5 Posição do coração fetal
6 Cavidade do útero

7 Útero



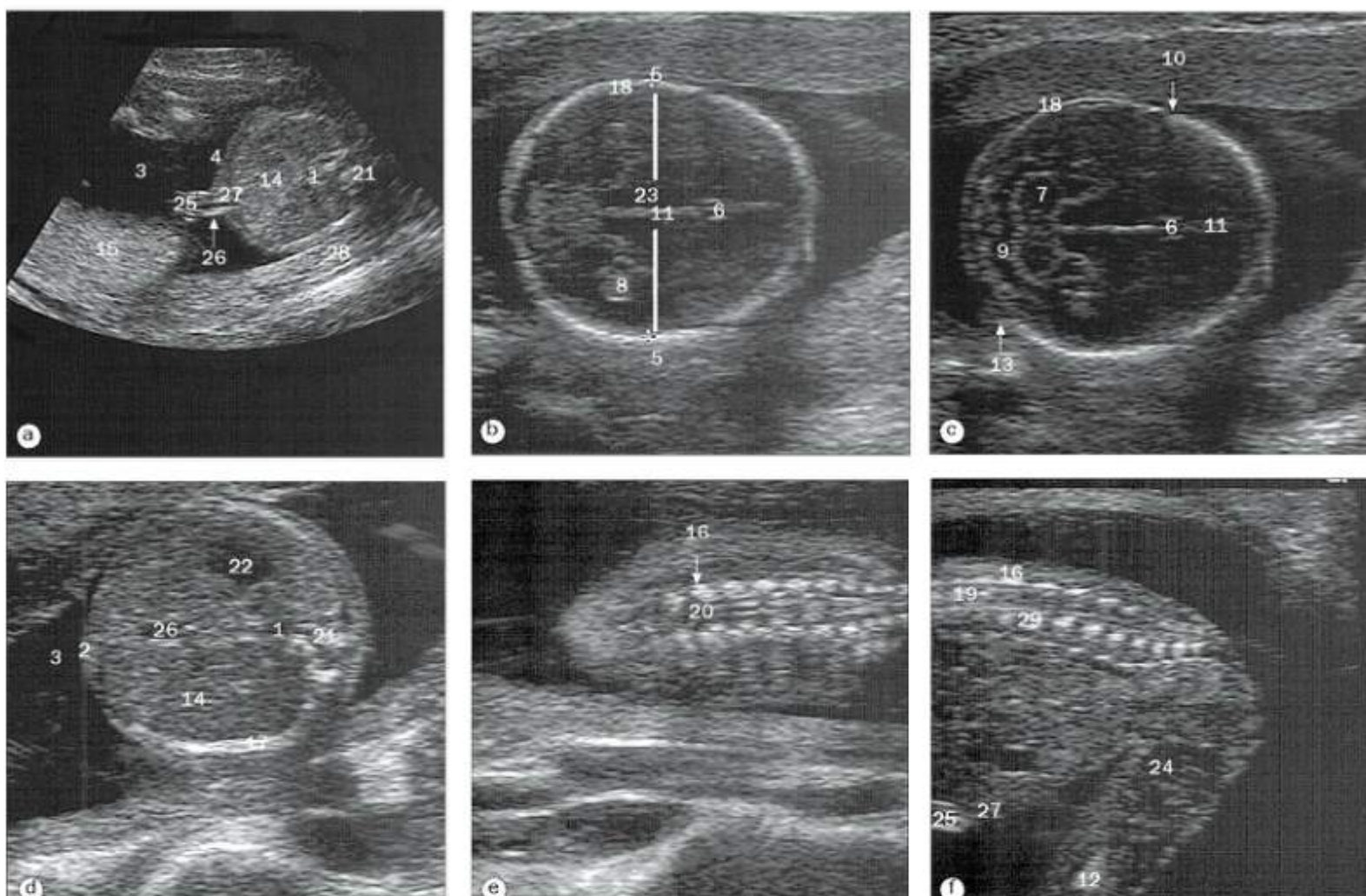
(a)-(f) Diagramas lineares das imagens ultrassonográficas opostas.

1 Colo do útero
2 Feto

3 Saco gestacional
4 Bexiga materna

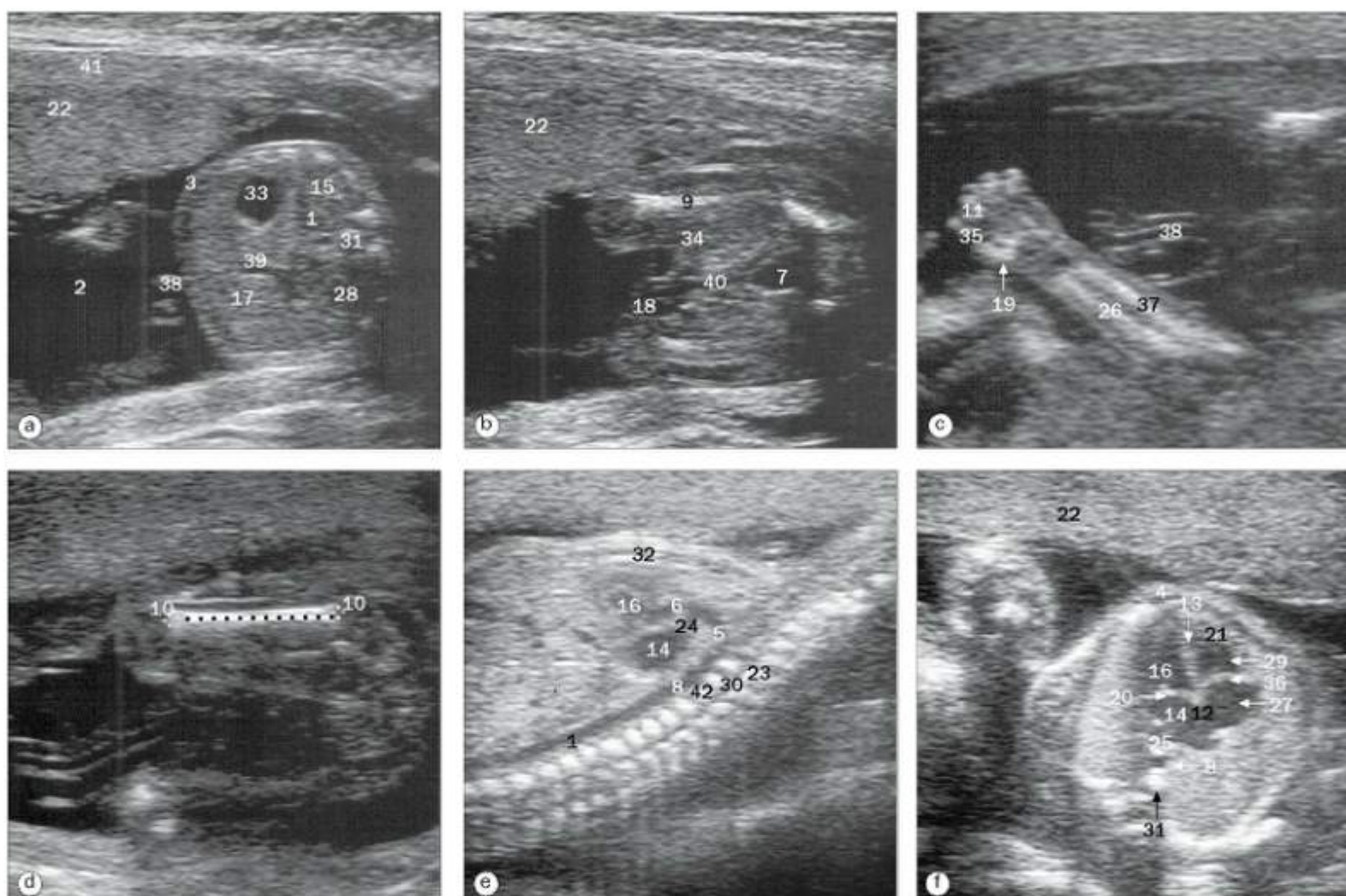
5 Posição do coração fetal
6 Cavidade do útero

7 Útero



Ultrassonografia fetal, segundo trimestre, (a) inserção do cordão, (b) e (c) crânio, (d) abdome, (e) e (f) coluna vertebral.

- | | |
|--------------------------------------|--|
| 1 Parte abdominal da aorta | 16 Elementos posteriores das vértebras |
| 2 Medida da circunferência abdominal | 17 Costelas |
| 3 Líquido amniótico | 18 Crânio |
| 4 Parte anterior da parede abdominal | 19 Canal vertebral |
| 5 Medida do diâmetro biparietal | 20 Medula espinal |
| 6 Cavidade do septo pelúcido | 21 Coluna vertebral |
| 7 Cerebelo | 22 Estômago |
| 8 Plexo corioide | 23 Tálamo |
| 9 Cisterna magna | 24 Coxas |
| 10 Sutura coronal | 25 Cordão umbilical |
| 11 Foice do cérebro | 26 Veia umbilical |
| 12 Fêmur | 27 Umbigo |
| 13 Sutura lambdóidea | 28 Parede do útero |
| 14 Fígado | 29 Corpo vertebral |
| 15 Placenta | |



Ultrassonografia fetal, segundo trimestre, (a) abdome, (b) pelve, (c) antebraco, (d) fêmur, (e) coração e aorta, (f) visão das quatro câmaras do coração.

- | | |
|--|---|
| 1 Parte abdominal da aorta | 22 Placenta |
| 2 Líquido amniótico | 23 Elementos posteriores
da vértebra |
| 3 Parte anterior da parede abdominal | 24 Artéria pulmonar |
| 4 Parte anterior da parede torácica | 25 Veia pulmonar |
| 5 Arco da aorta | 26 Rádio |
| 6 Parte ascendente da aorta | 27 Átrio direito |
| 7 Bexiga urinária | 28 Rim direito |
| 8 Parte descendente da aorta | 29 Ventrículo direito |
| 9 Fêmur | 30 Canal vertebral |
| 10 Fêmur para a medida do comprimento
femoral | 31 Coluna vertebral |
| 11 Dedo | 32 Esterno |
| 12 Septo interatrial | 33 Estômago |
| 13 Septo interventricular | 34 Coxas |
| 14 Átrio esquerdo | 35 Polegar |
| 15 Rim esquerdo | 36 Valva tricúspide |
| 16 Ventrículo esquerdo | 37 Ulna |
| 17 Fígado | 38 Cordão umbilical |
| 18 Genitais externos masculinos | 39 Veia umbilical |
| 19 Diáfise do metacarpal | 40 Uretra |
| 20 Valva mitral | 41 Parede do útero |
| 21 Trabécula septomarginal | 42 Corpo vertebral |



(a) Fase de impregnação inicial, pelve.

(b) Fase de impregnação tardia, pelve.

- 1 Cadeias lombares ascendentes
- 2 Vasos linfáticos aferentes inguinais
- 3 Linfonodos ilíacos comuns
- 4 Vasos linfáticos eferentes inguinais
- 5 Linfonodos ilíacos externos
- 6 Linfonodos inguinais superficiais
- 7 Entrecruzamento lombar
- 8 Linfonodos inguinais profundos





(a) Fase de impregnação inicial, abdome.



(b) Fase de impregnação tardia, abdome.

- 1 Cadeias lombares ascendentes
- 2 Linfáticos inguinais aferentes
- 3 Linfonodos ilíacos comuns
- 4 Linfáticos inguinais eferentes
- 5 Linfonodos ilíacos externos

- 6 Linfonodos inguinais (superficiais)
- 7 Entrecruzamento lombar
- 8 Linfonodos inguinais profundos
- 9 Ducto torácico



(a) Linfáticos da região crural após a canulação de vasos linfáticos nos pés.

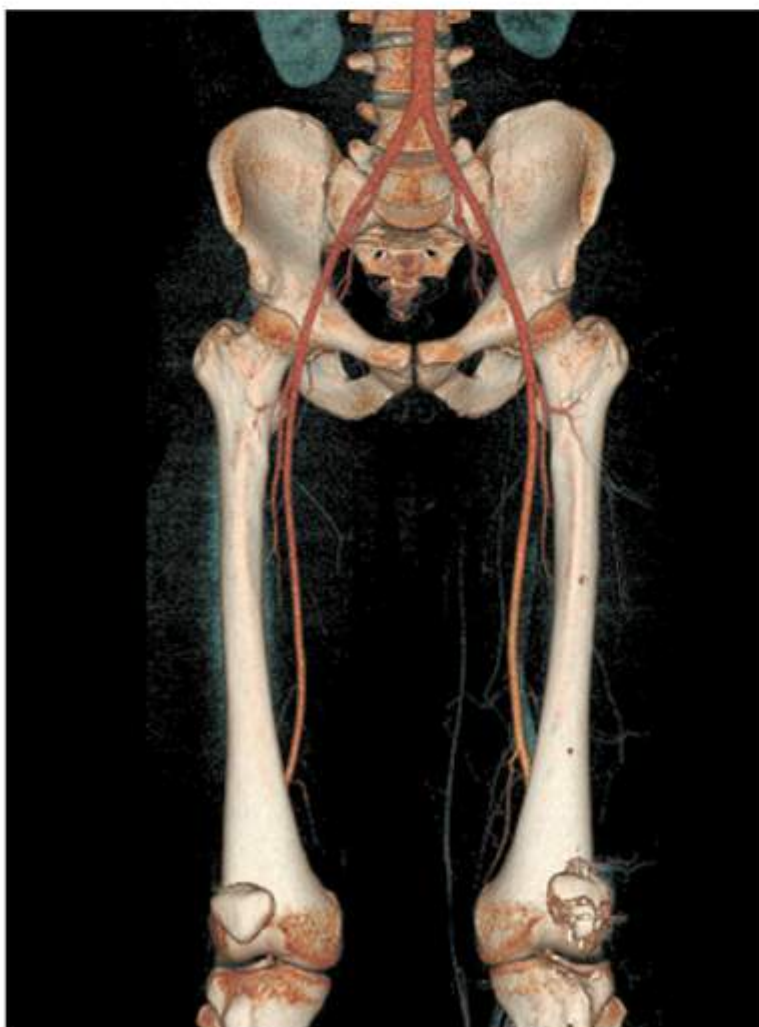
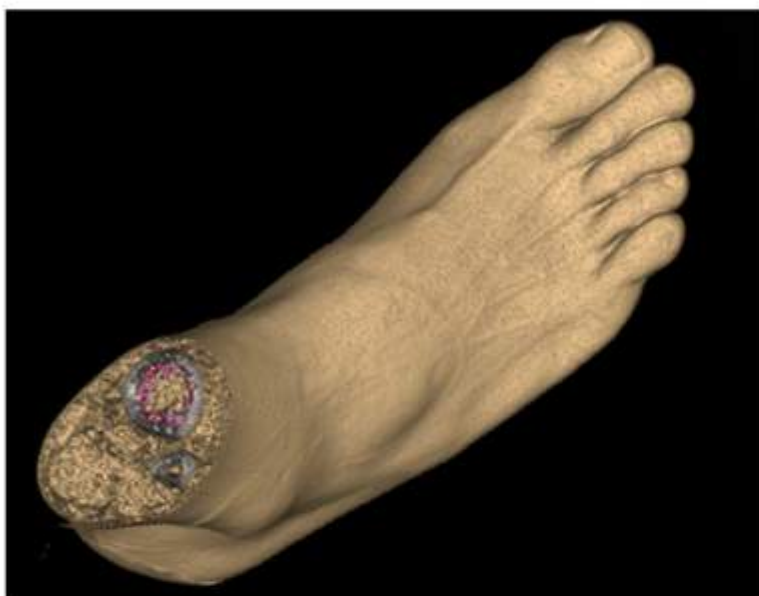
(b) Fase de impregnação inicial em uma radiografia lateral do abdome.

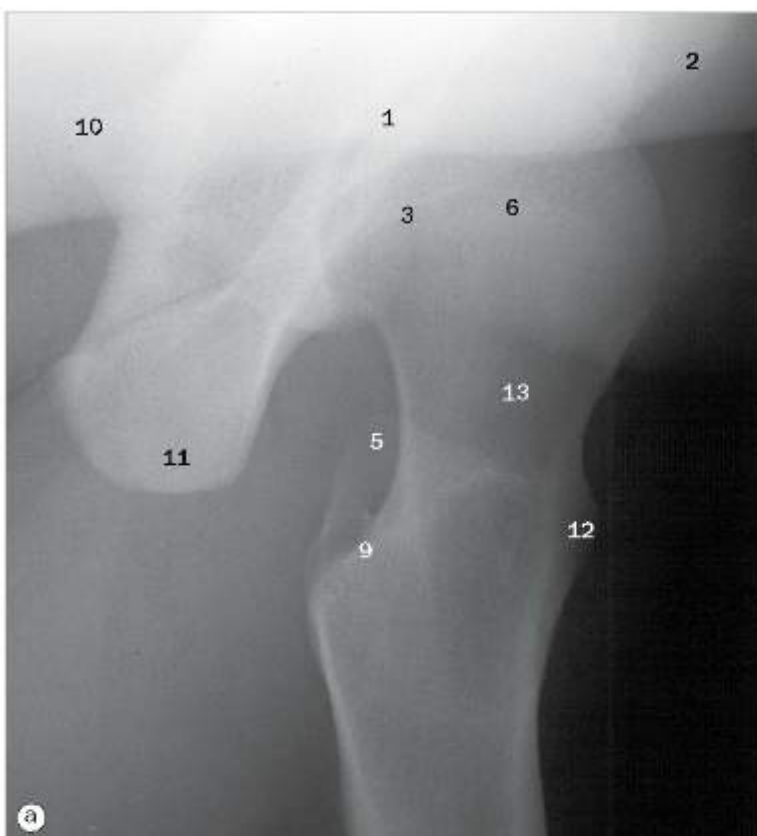
(c) Ducto torácico.

- 1 Cadeias lombares ascendentes de linfonodos
- 2 Cisterna do quilo
- 3 Ducto torácico
- 4 Canais linfáticos periféricos do pé
- 5 Canais linfáticos periféricos da parte inferior da perna
- 6 Ampola terminal

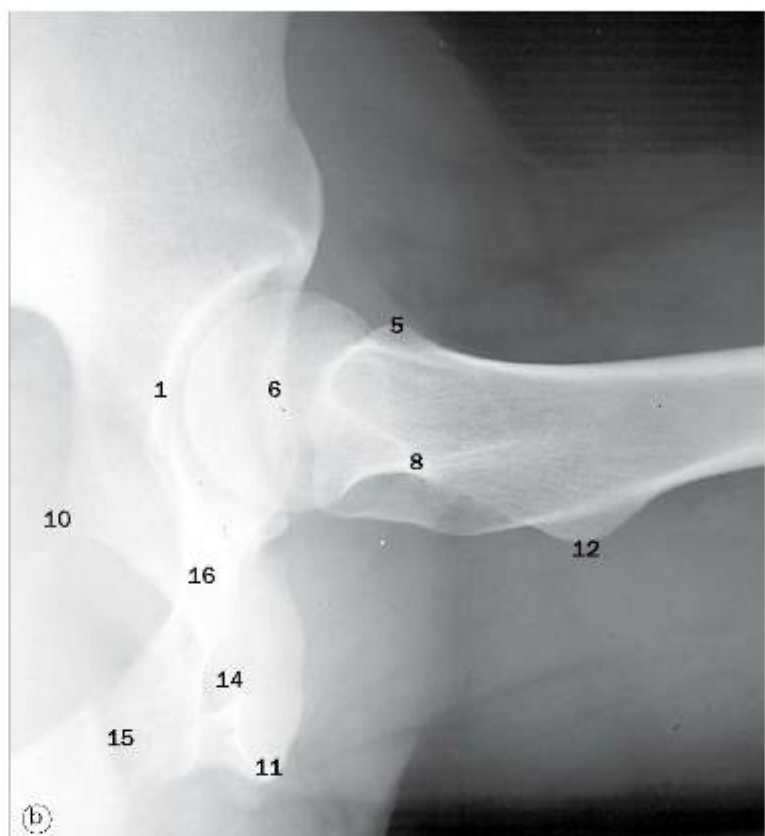
7

Membro inferior





(a) Quadril (para o colo do fêmur), projeção lateral.

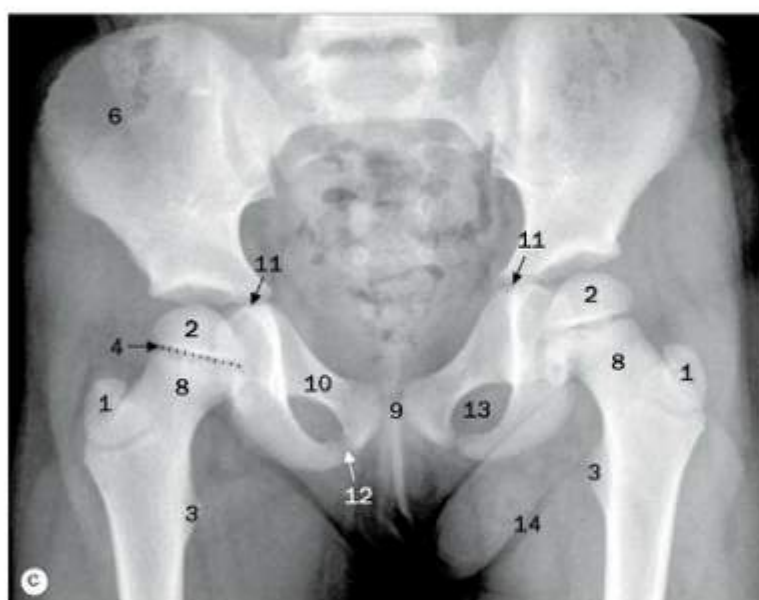


(b) Quadril, projeção lateral.



(c) Quadril, projeção anteroposterior.

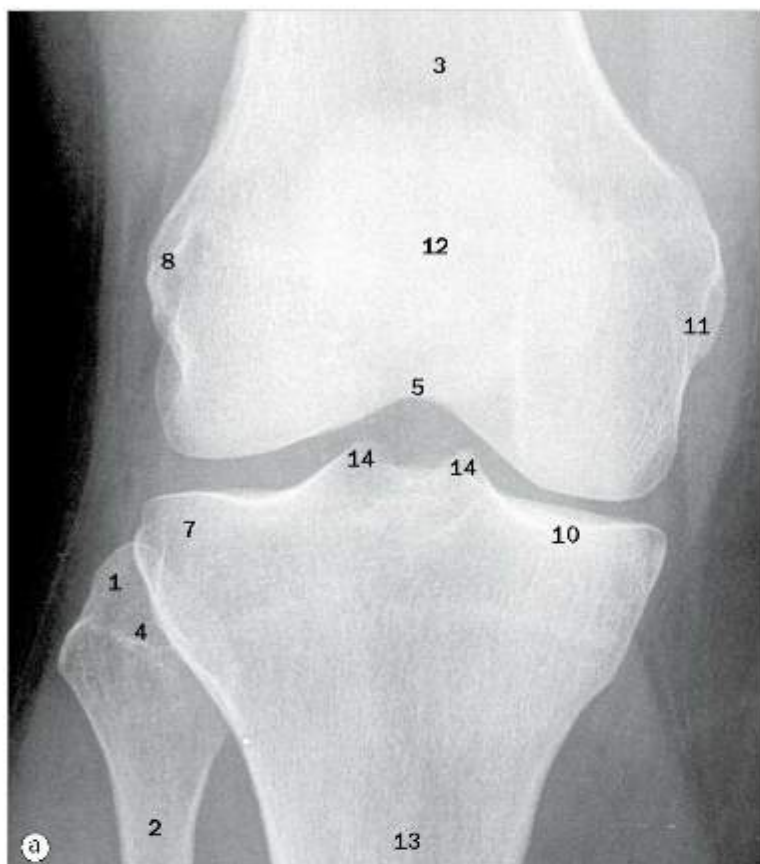
- 1 Acetáculo
- 2 Espinha ilíaca anteroinferior
- 3 Linha epifisial
- 4 Fóvea da cabeça do fêmur
- 5 Trocânter maior do fêmur
- 6 Cabeça do fêmur
- 7 Remo inferior do púbis
- 8 Crista intertrocantérica
- 9 Linha intertrocantérica
- 10 Espinha isquiática
- 11 Túber isquiático
- 12 Trocânter menor do fêmur
- 13 Colo do fêmur
- 14 Forâme obturado
- 15 Sínfise pública
- 16 Ramo superior do púbis



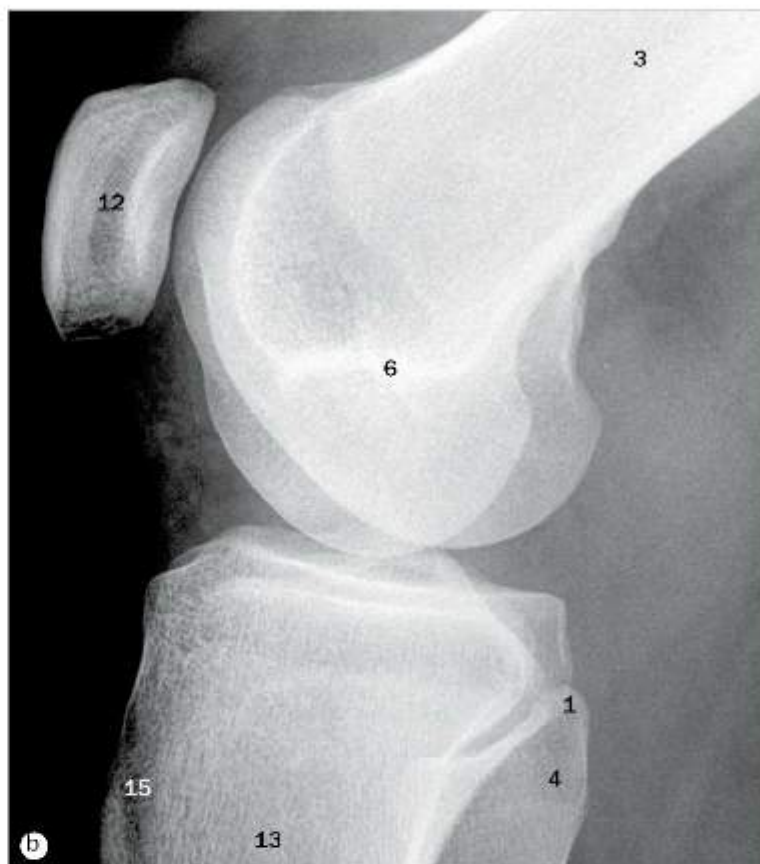
Pelve de uma menina de 4 meses de vida (a), de uma menina de 9 meses de vida (b), de uma menina de 6 anos de idade (c) e de uma menina de 11 anos de idade (d).

- | | |
|--|---|
| 1 Centro de ossificação do trocânter maior | 8 Colo do fêmur |
| 2 Centro de ossificação da cabeça do fêmur | 9 Síntese púbica |
| 3 Centro de ossificação do trocânter menor | 10 Osso do quadril (púbis) |
| 4 Linha epifisial | 11 Cartilagem trirradiada |
| 5 Fêmur | 12 Junção não ossificada entre o isquio e o púbis |
| 6 Osso do quadril (ílio) | 13 Forame obturado |
| 7 Osso do quadril (isco) | 14 Pregas de tecido adiposo |

OSSO DO QUADRIL	Aparece	Funde-se
ílio	2-3 mvl	7-9 anos
ískio	4 mvl	7-9 anos
púbis	4 mvl	7-9 anos
acetáculo	11-14 anos	15-25 anos
Espinha ilíaca ant. sup.	Puberdade	15-25 anos
Crista ilíaca/ espinhas ilíacas	Puberdade	15-25 anos
Túber Isquiático	Puberdade +	15-25 anos
Fêmur (c)		
Diáfise	7 svi	
Cabeça	4-6 meses	14-18 anos
Trocânter maior	2-4 anos	14-18 anos
Trocânter menor	10-12 anos	14-18 anos
Epífise distal	9 mvl	17-19 anos

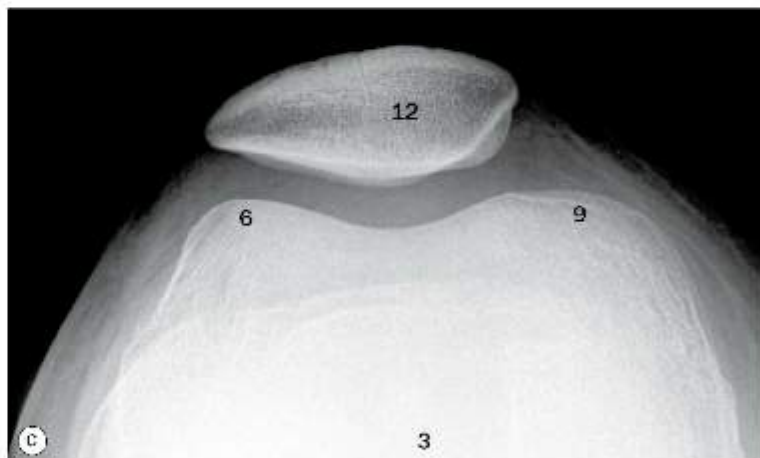


(a) Projeção anteroposterior.



(b) Projeção lateral.

- 1 Ápice da cabeça da fibula
- 2 Colo da fibula
- 3 Fêmur
- 4 Cabeça da fibula
- 5 Fossa intercondilar
- 6 Côndilo lateral do fêmur
- 7 Côndilo lateral da tibia
- 8 Epicôndilo lateral do fêmur
- 9 Côndilo medial do fêmur
- 10 Côndilo medial da tibia
- 11 Epicôndilo medial do fêmur
- 12 Patela
- 13 Tíbia
- 14 Tubérculos da eminência intercondilar
- 15 Tuberossidade da tíbia



(c) Projeção inferossuperior (axial).



(a) Menina de 2 anos de idade.



(b) e (c) Menina de 5 anos de idade.



- 1 Extensão anteroinferior do centro de ossificação proximal da tibia para a tuberosidade da tibia
- 2 Centro de ossificação da epífise distal do fêmur
- 3 Centro de ossificação da cabeça da fibula
- 4 Patela
- 5 Centro de ossificação da epífise proximal da tibia
- 6 Linha epifisiar
- 7 Fêmur
- 8 Fibula
- 9 Tibia

PATELA (c)	Aparece	Funde-se
1-3 centros	3-5 anos	Puberdade
TÍBIA (c)		
Diáfise	7 svi	
Epífise proximal/platô	9 mvi	16-18 anos
Tuberosidade	10-12 anos	12-14 anos
Epífise distal	4 meses-1 ano	15-17 anos
FÍBULA (c)		
Diáfise	8 svi	
Epífise proximal/cabeça	2-4 anos	17-19 anos
Epífise distal	6 meses-1 ano	15-17 anos



(d) e (e) Menina de 12 anos de idade.





(a) Articulação do tornozelo, projeção anteroposterior.



(b) Articulação do tornozelo, projeção lateral.

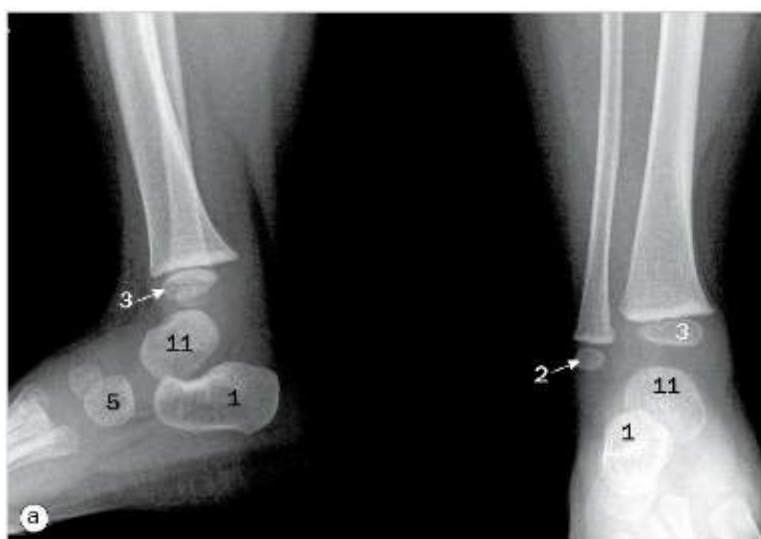


(c) Calcâneo, projeção lateral.



(d) Calcâneo, projeção axial (craniocaudal).

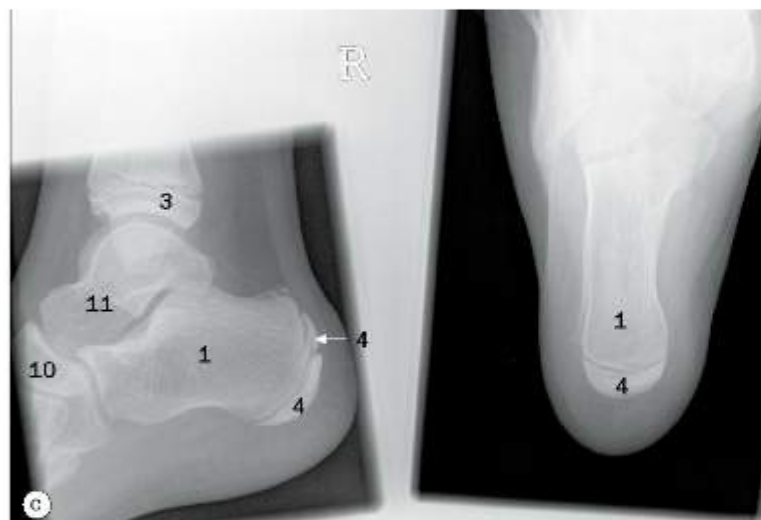
- 1 Calcâneo
- 2 Cuboide
- 3 Fibula
- 4 Cabeça do tálus
- 5 Cuneiforme lateral
- 6 Malleolo lateral
- 7 Processo lateral da tuberosidade do calcâneo
- 8 Tubérculo lateral do tálus
- 9 Colo do tálus
- 10 Malleolo medial
- 11 Processo medial da tuberosidade do calcâneo
- 12 Tubérculo medial do tálus
- 13 Navicular
- 14 Região da articulação tibiofibular distal
- 15 Sustentaculo do tálus
- 16 Tálus
- 17 Tibia
- 18 Tuberossidade da base do quinto metatarsal



(a) Tornozelo de uma menina de 3 anos de idade.



(b) Tornozelo de uma menina de 5 anos de idade.



(c) Tornozelo de uma menina de 13 anos de idade.



(d) Calcâneo de uma menina de 10 anos de idade.

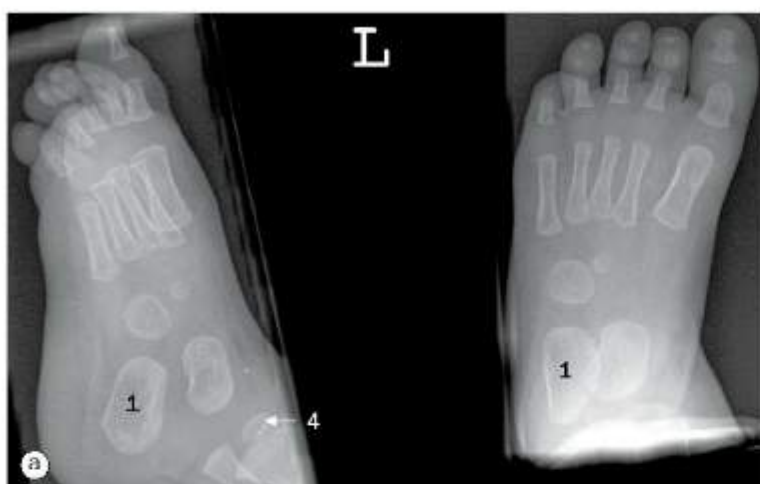
- 1 Calcâneo
- 2 Centro de ossificação da epífise distal da fíbula
- 3 Centro de ossificação da epífise distal da tibia
- 4 Centro de ossificação da face posterior do calcâneo
- 5 Cuboide
- 6 Linha epifisial
- 7 Fíbula
- 8 Cuneiforme intermédio
- 9 Cuneiforme lateral
- 10 Navicular
- 11 Tálius
- 12 Tibia

OSSOS DO TARSO (c)	Aparece	Funde-se
Calcâneo	3 mvl	14-16 anos
Tálius	6 mvl	
Navicular	3 anos	
Cuneiforme lateral	6 meses-1 ano	
Cuneiforme intermédio	2-3 anos	
Cuneiforme medial	1-2 anos	
Cuboide	9 mvl	



Pé, (a) projeção dorsoplantar, (b) projeção dorsoplantar oblíqua, (c) e (d) osso navicular.

- 1. Calcâneo
- 2. Cuboide
- 3. Falange distal do segundo dedo
- 4. Primeiro metatarsal
- 5. Cuneiforme intermédio
- 6. Cuneiforme lateral
- 7. Cuneiforme medial
- 8. Falange média do segundo dedo
- 9. Navicular
- 10. Falange proximal do segundo dedo
- 11. Ossos sesamoïdes do músculo flexor curto do hálux
- 12. Tálimo
- 13. Tuberosidade da base do quinto metatarsal
- 14. Osso navicular



(a) Pé de uma menina de 11 meses de idade.



(b) Pé de uma menina de 3 anos de idade.



(c) Pé de uma menina de 6 anos de idade.

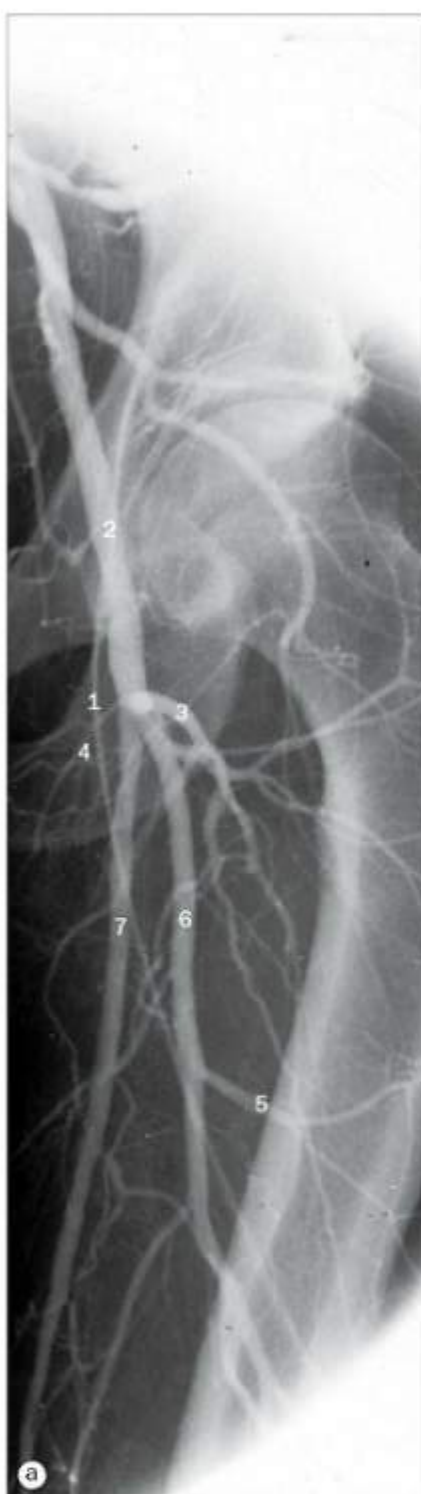


(d) Pé de uma menina de 12 anos de idade.

- 1 Calcâneo
- 2 Centro de ossificação da epífise distal da fibula
- 3 Centro de ossificação para a falange média do segundo dedo
- 4 Centro de ossificação da epífise distal da tíbia
- 5 Centro de ossificação do primeiro metatarsal
- 6 Centro de ossificação da falange média do segundo dedo
- 7 Centro de ossificação da face posterior do calcâneo
- 8 Centro de ossificação da falange proximal do segundo dedo
- 9 Centro de ossificação para os metatarsais do segundo ao quinto
- 10 Centro de ossificação da tuberosidade da base do quinto metatarsal
- 11 Cuboide
- 12 Cuneiforme intermédio
- 13 Cuneiforme lateral
- 14 Cuneiforme medial
- 15 Navicular
- 16 Tálius

METATARSAIS (c)	Aparece	Funde-se
Corpos	9 siu	
Cabeças (2-5) ou base (1)	3-4 anos	17-20 anos
Tuberosidade do 5º	10-12 anos	13-15 anos
FALANGES (c)		
Corpo	9-12 siu	
Bases (variável)	1-6 anos	14-18 anos

OSSOS DO TARSO (c)	Aparece	Funde-se
Calcâneo	3 mvl	14-16 anos
Tálius	6 mvl	
Navicular	3 anos	
Cuneiforme lateral	6 meses-1 ano	
Cuneiforme intermédio	2-3 anos	
Cuneiforme medial	1-2 anos	
Cuboíde	9 mvl	



(a) Arteriografia femoral.

As artérias femoral, poplítea e tibial são examinadas através da cateterização da região distal da parte abdominal da aorta e injeção de meio de contraste. O meio de contraste é acompanhado durante sua passagem pelos membros inferiores. Caso apenas uma perna seja examinada, uma injeção na artéria femoral ipsilateral é suficiente. A artéria ilíaca externa continua como a artéria femoral, que se origina profundamente ao ligamento inguinal, emitindo em seguida a artéria femoral profunda. Uma incidência oblíqua geralmente é útil para a avaliação da bifurcação femoral e identificação de ateromas nas origens destes vasos.

- 1 Cateter introduzido na região distal da parte abdominal da aorta via artéria femoral esquerda
- 2 Artéria femoral
- 3 Artéria circumflexa femoral lateral
- 4 Artéria circumflexa femoral medial
- 5 Artéria perfurante
- 6 Artéria femoral profunda
- 7 Artéria femoral

(b) Arteriografia poplítea.

A artéria femoral torna-se artéria poplítea em sua passagem através do canal dos adutores. A artéria poplítea termina na borda inferior do músculo poplíteo, dividindo-se em artérias tibiais anterior e posterior.

- 1 Artéria tibial anterior
- 2 Artéria inferior lateral do joelho
- 3 Artéria inferior medial do joelho
- 4 Ramos musculares da artéria tibial anterior
- 5 Ramos musculares da artéria tibial posterior
- 6 Artéria fibular
- 7 Artéria poplítea
- 8 Artéria tibial posterior
- 9 Artéria superior lateral do joelho
- 10 Artéria superior medial do joelho



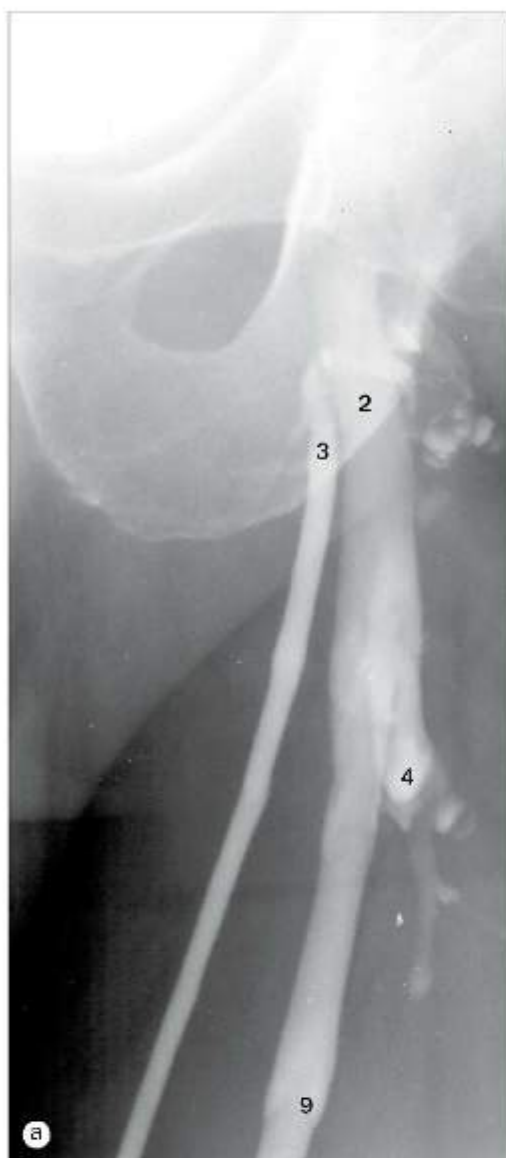


(a) Arteriografia poplítea, (b) arteriografia do pé, imagem lateral, (c) venografia do pé, (d) Angiorressonância das artérias da região crural.

- 1 Artéria tibial anterior
- 2 Arco venoso dorsal do pé
- 3 Artéria dorsal do pé
- 4 Veia safena magna
- 5 Artéria inferior lateral do joelho
- 6 Artéria inferior medial do joelho
- 7 Veia marginal lateral
- 8 Artéria planar lateral

- 9 Artéria medial do calcâneo
- 10 Veia marginal medial
- 11 Artéria planar medial
- 12 Ramos musculares da artéria tibial anterior
- 13 Ramos musculares da artéria tibial posterior
- 14 Artéria fibular

- 15 Arco plantar profundo
- 16 PLEXO venoso cutâneo plantar
- 17 Artéria poplítea
- 18 Artéria tibial posterior
- 19 Veia safena parva
- 20 Artéria superior medial do joelho



a



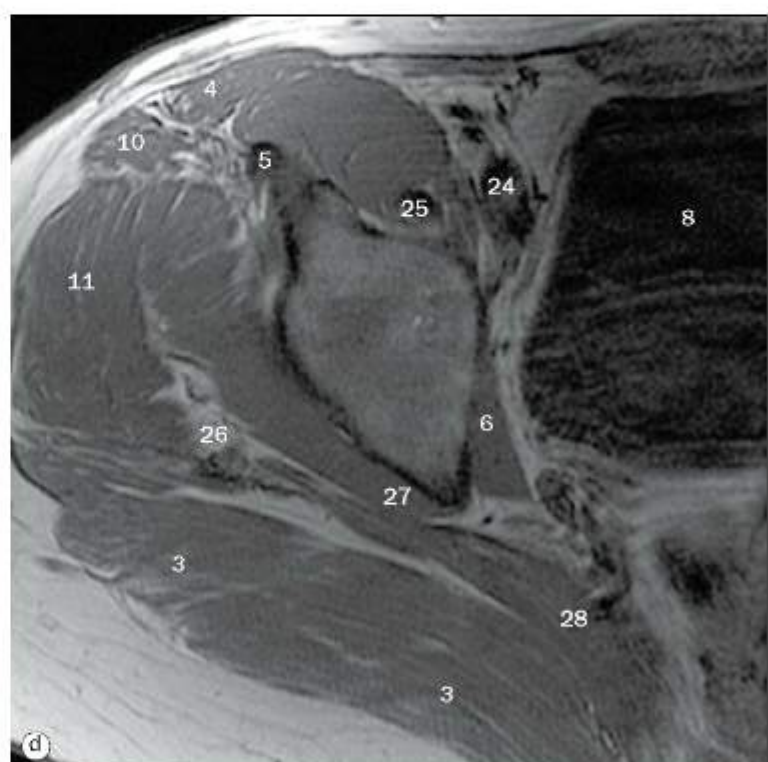
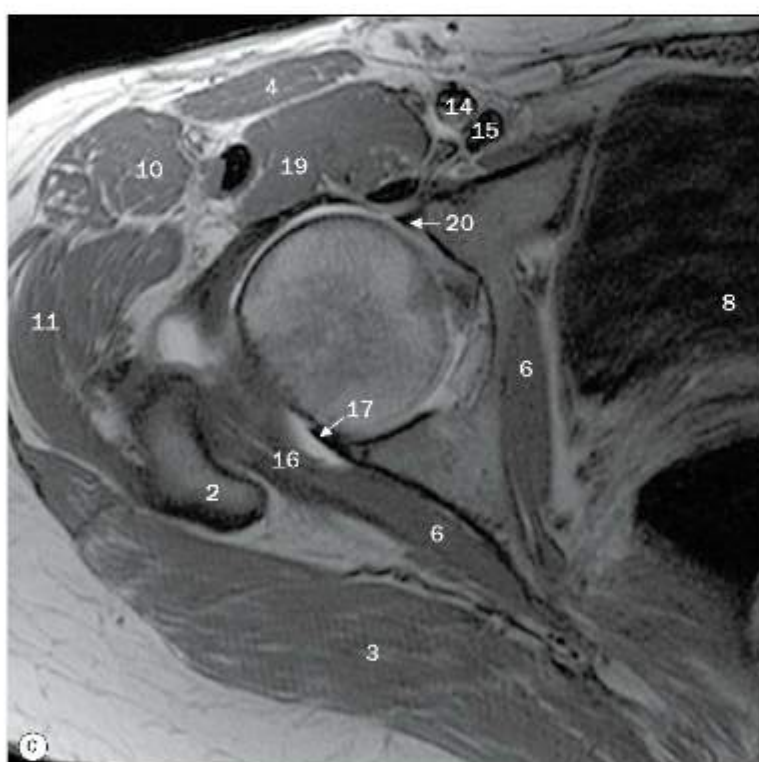
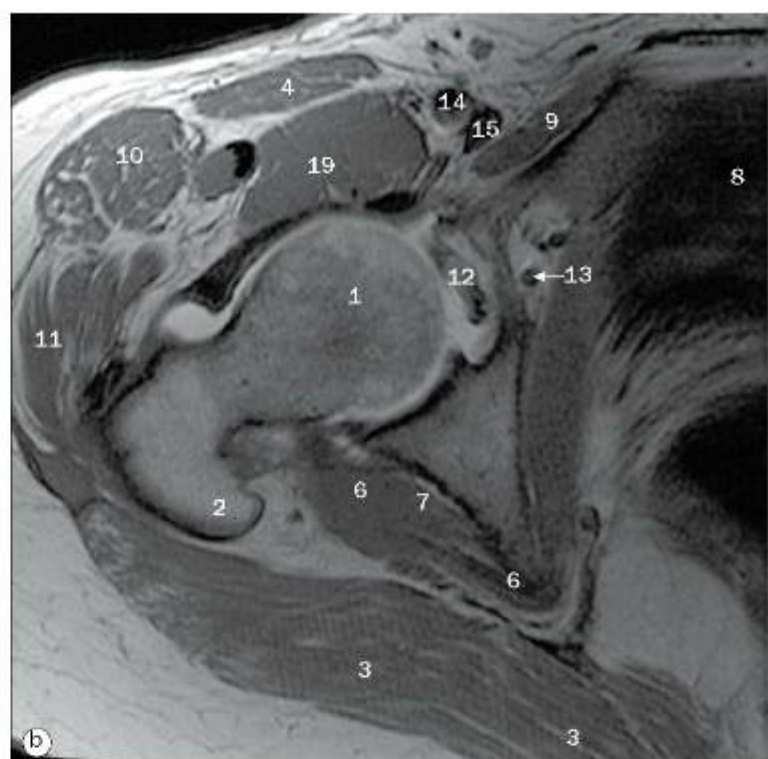
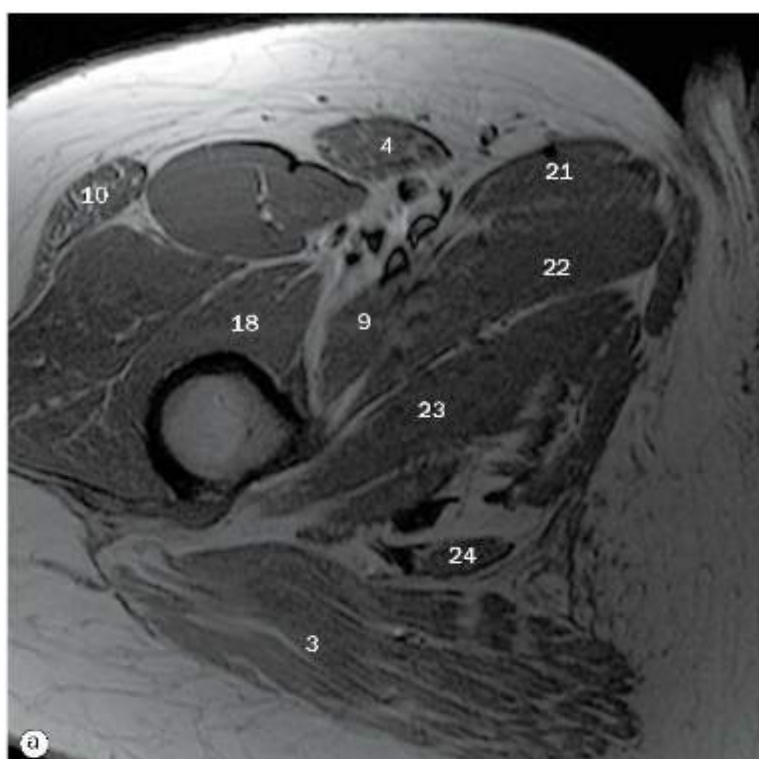
b



c

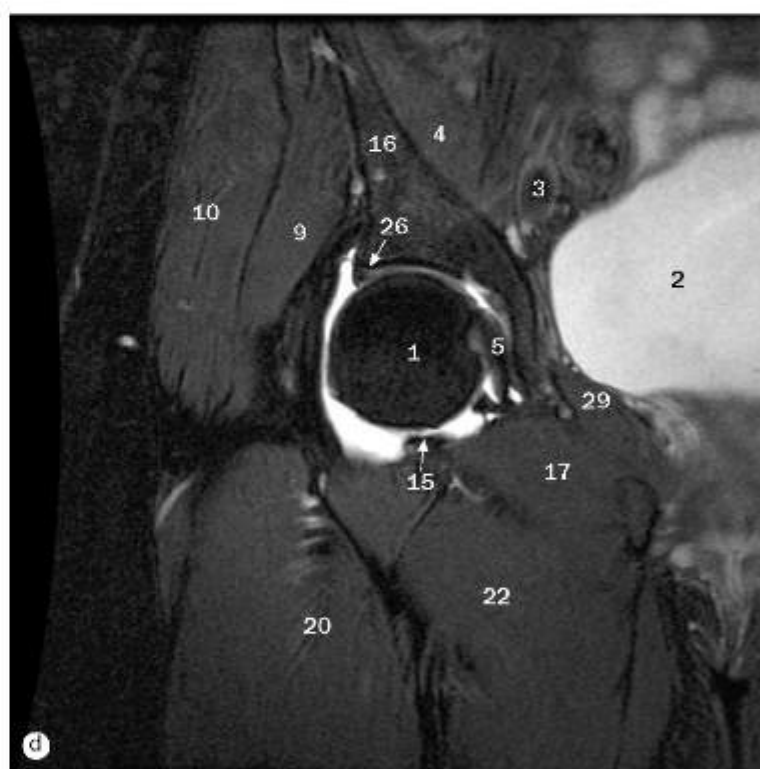
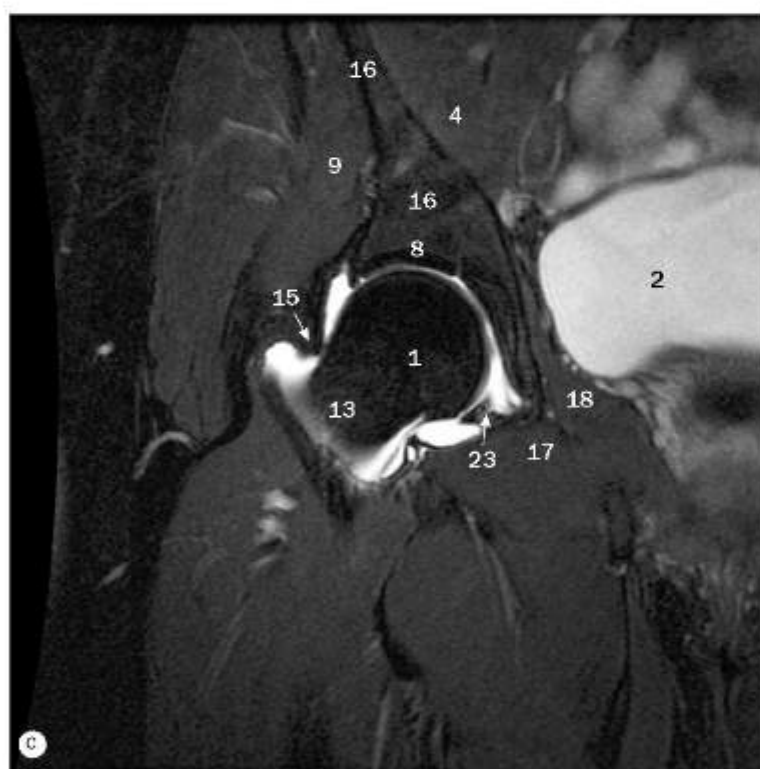
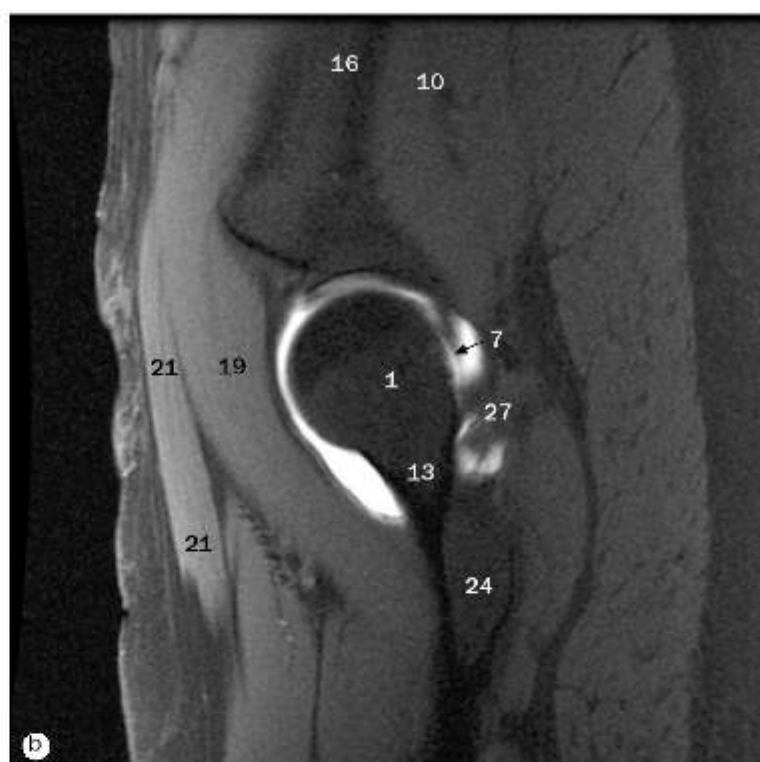
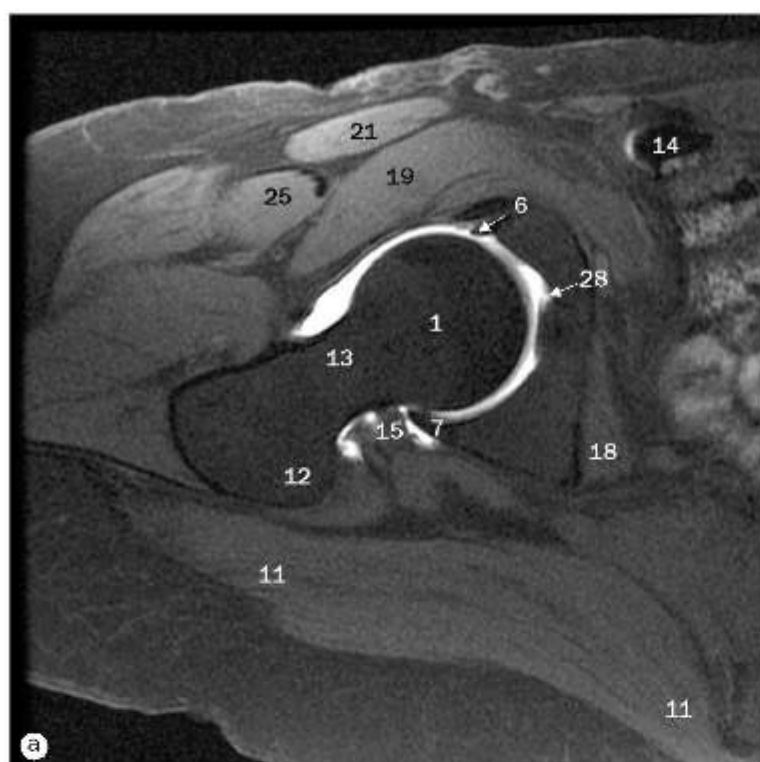
(a)-(c) Venografias do membro inferior.

- 1 Veia tibial anterior
- 2 Veia femoral
- 3 Veia safena magna
- 4 Veia circunflexa lateral femoral
- 5 Tributária muscular da veia femoral
- 6 Veia perfurante
- 7 Veia poplitea
- 8 Veias tibiais posteriores
- 9 Válvulas venosas
- 10 Plexo venoso da região crural



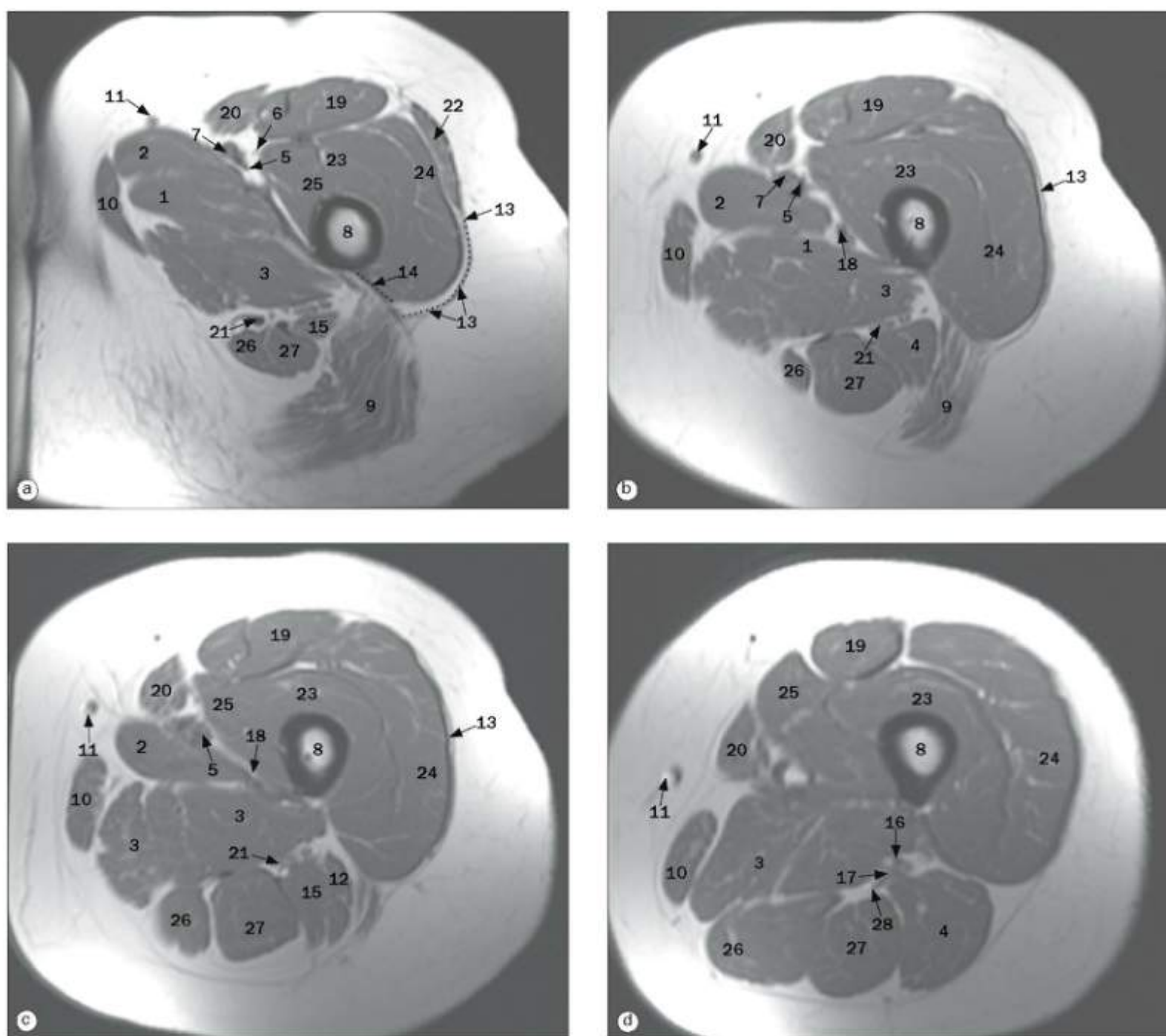
(a)-(d) Quadril, imagens axiais de ressonância magnética, da região superior para a inferior.

- | | | | |
|----------------------------------|----------------------------------|--|-----------------------------|
| 1 Cabeça do fêmur | 9 Músculo pectíneo | 16 Tendão do músculo obturador interno | 22 Músculo adutor curto |
| 2 Trocanter maior | 10 Músculo tensor da fáscia lata | 17 Lábio articular (região posterior) | 23 Músculo adutor magno |
| 3 Músculo glúteo máximo | 11 Músculo vasto lateral | 18 Músculo vasto intermédio | 24 Músculo semitendíneo |
| 4 Músculo sartório | 12 Ligamento da cabeça do fêmur | 19 Músculo iliopsoas | 25 Artéria femoral profunda |
| 5 Tendão do músculo reto femoral | 13 Nervo obturatório | 20 Lábio articular (região anterior) | 26 Artéria ilíaca externa |
| 6 Músculo obturador interno | 14 Artéria femoral | 21 Músculo adutor longo | 27 Músculo glúteo mínimo |
| 7 Músculo gêmeo superior | 15 Vena femoral | | 28 Músculo glúteo médio |
| 8 Bexiga urinária | | | |



Quadril, imagens de artrorresonância magnética, (a) axial, (b) sagital, (c) e (d) coronal.

- | | | |
|---------------------------------------|---|---------------------------------------|
| 1. Cabeça do fêmur | 11. Músculo glúteo máximo | 21. Músculo sartório |
| 2. Bexiga urinária | 12. Trocanter maior | 22. Músculo adutor longo |
| 3. Artéria ilíaca externa | 13. Colo do fêmur | 23. Ligamento transverso do |
| 4. Músculo ilíaco | 14. Artéria femoral | acetábulo |
| 5. Ligamento da cabeça do fêmur | 15. Zona orbicular (cápsula fibrosa circular) | 24. Músculo quadrado femoral |
| 6. Lábio articular (região anterior) | 16. Osso do quadril | 25. Músculo reto femoral |
| 7. Lábio articular (região posterior) | 17. Músculo obturador externo | 26. Lábio articular (região superior) |
| 8. Teto do acetábulo | 18. Músculo obturador interno | 27. Músculo gêmeo |
| 9. Músculo glúteo mínimo | 19. Músculo iliopsoas | 28. Incisura do acetábulo |
| 10. Músculo glúteo médio | 20. Músculo vasto intermédio | 29. Músculo pectíneo |

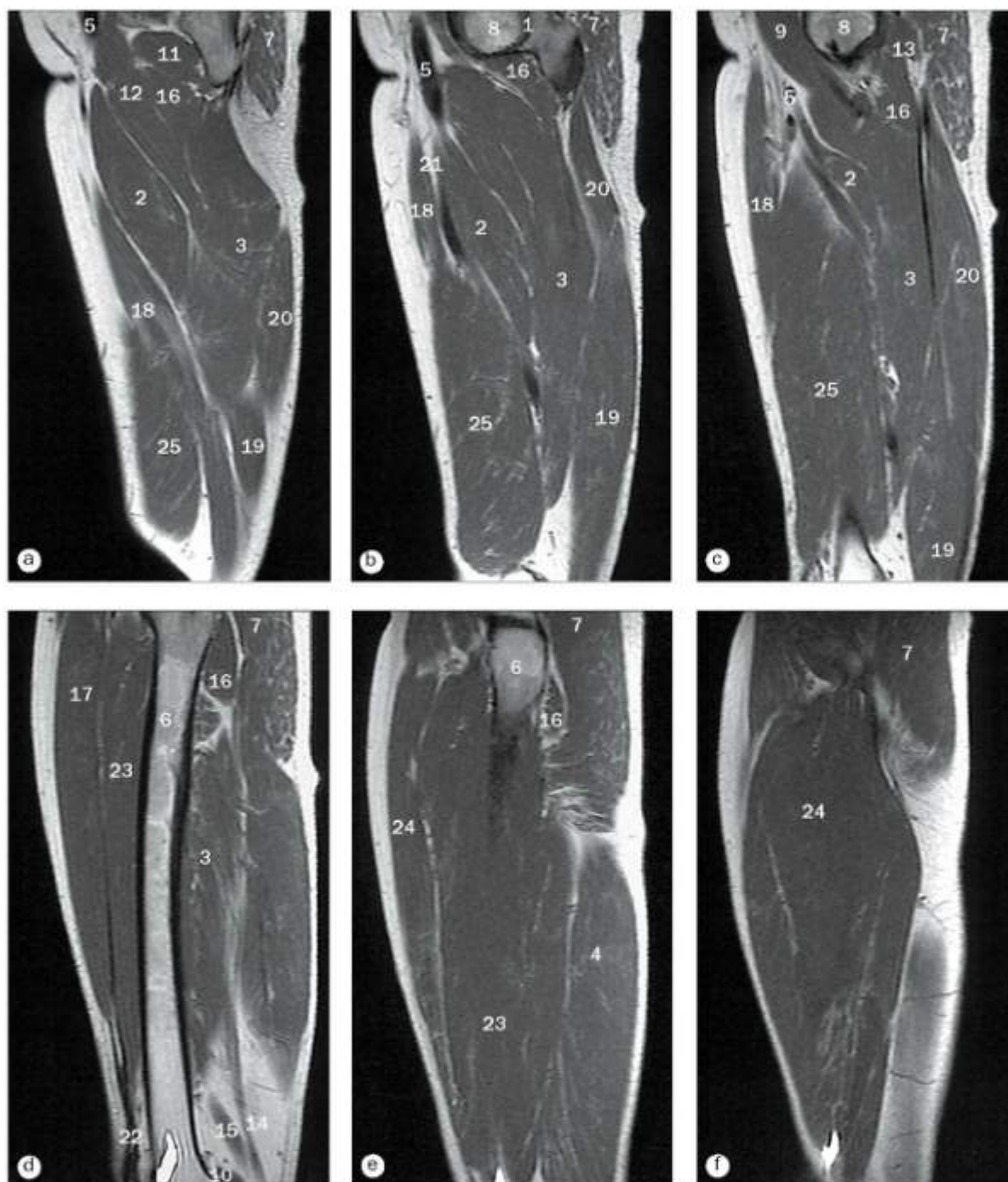


(a)-(d) Imagens axiais de ressonância magnética da coxa.

- 1 Músculo adutor curto
- 2 Músculo adutor longo
- 3 Músculo adutor magno
- 4 Músculo bíceps femoral
- 5 Artéria femoral
- 6 Nervo femoral
- 7 Veia femoral
- 8 Fêmur
- 9 Músculo glúteo máximo
- 10 Músculo grátil

- 11 Veia safena magna
- 12 Cabeça curta do músculo bíceps femoral
- 13 Trato iliotibial
- 14 Septo intermuscular lateral da coxa
- 15 Cabeça longa do músculo bíceps femoral
- 16 Artéria poplítea
- 17 Veia poplítea
- 18 Artéria femoral profunda

- 19 Músculo reto femoral
- 20 Músculo sartório
- 21 Nervo isquiático
- 22 Músculo tensor da fáscia lata
- 23 Músculo vasto intermédio
- 24 Músculo vasto lateral
- 25 Músculo vasto medial
- 26 Músculo semimembranáceo
- 27 Músculo semitendíneo
- 28 Nervo tibial



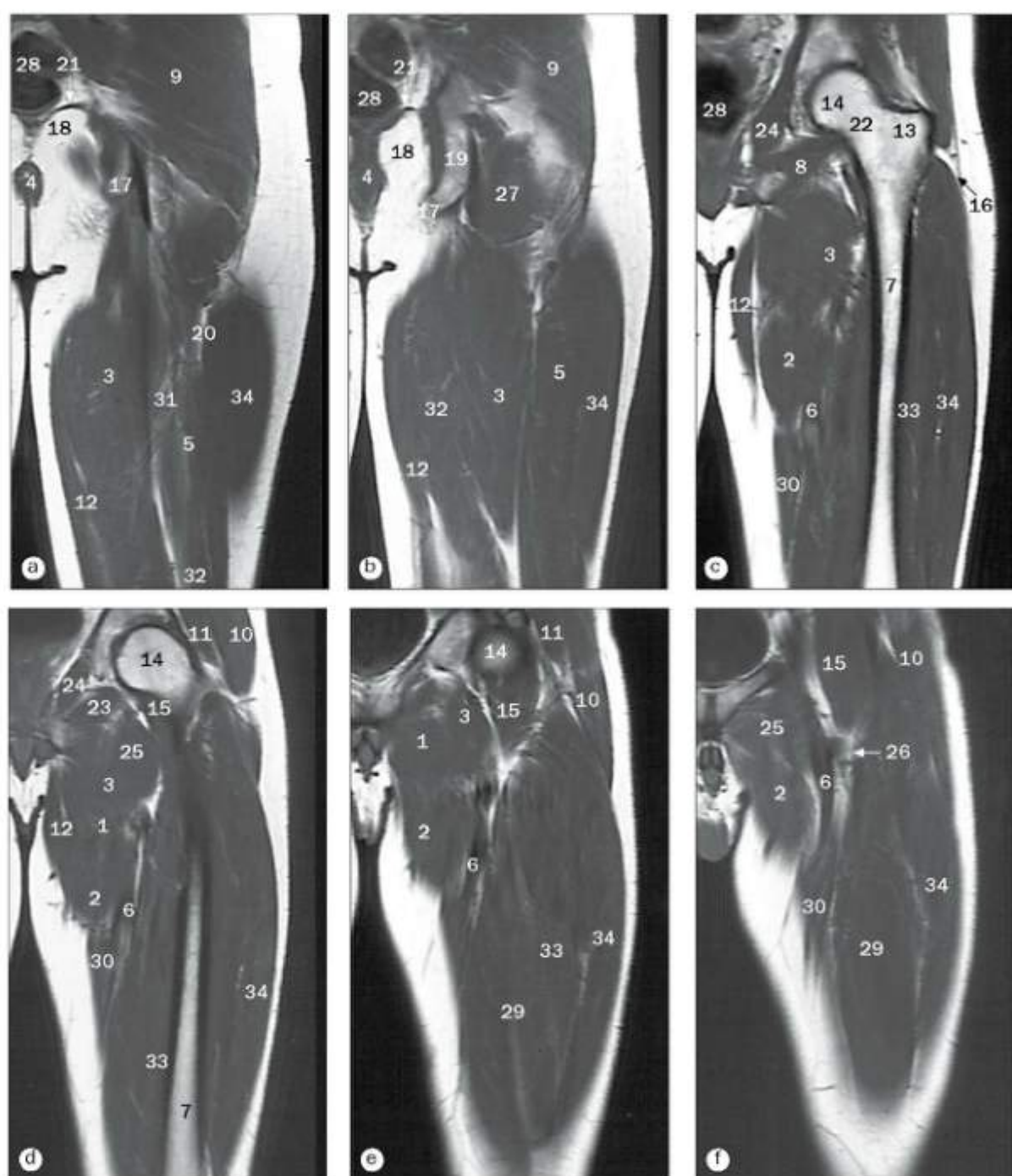
(a)-(f) Coxa, imagens sagitais de ressonância magnética.

- 1 Acetáculo
- 2 Músculo adutor longo
- 3 Músculo adutor magno
- 4 Músculo biceps femoral
- 5 Artéria femoral
- 6 Fêmur
- 7 Músculo glúteo máximo
- 8 Cabeça do fêmur
- 9 Músculo iliopsoas

- 10 Cabeça lateral do músculo gastrocnêmio
- 11 Músculo obturador externo
- 12 Músculo pectíneo
- 13 Músculo piriforme
- 14 Artéria poplitea
- 15 Veia poplitea
- 16 Músculo quadrado femoral
- 17 Músculo reto femoral
- 18 Músculo sartório

- 19 Músculo semimembranáceo
- 20 Músculo semitendíneo
- 21 Canal dos adutores
- 22 Tendão do músculo quadríceps femoral
- 23 Músculo vasto intermédio
- 24 Músculo vasto lateral
- 25 Músculo vasto medial

(a)-(f) Coxa, imagens coronais de ressonância magnética.



- 1 Músculo adutor curto
- 2 Músculo adutor longo
- 3 Músculo adutor magno
- 4 Canal-anal
- 5 Músculo biceps femoral
- 6 Artéria femoral
- 7 Fêmur
- 8 Músculo gêmeo
- 9 Músculo glúteo máximo
- 10 Músculo glúteo médio
- 11 Músculo glúteo mínimo
- 12 Músculo grátil

- 13 Trocânter maior do fêmur
- 14 Cabeça do fêmur
- 15 Músculo iliopsoas
- 16 Trato iliotibial
- 17 Túber isquiático
- 18 Fossa isquioanal
- 19 Ísquio
- 20 Septo intermuscular lateral da coxa
- 21 Músculo levantador do ânus
- 22 Colo do fêmur
- 23 Músculo obturador externo
- 24 Músculo obturador interno

- 25 Músculo pectíneo
- 26 Artéria femoral profunda
- 27 Músculo quadrado femoral
- 28 Reto
- 29 Músculo reto femoral
- 30 Músculo sartório
- 31 Músculo semimembranáceo
- 32 Músculo semitendíneo
- 33 Músculo vasto intermédio
- 34 Músculo vasto lateral

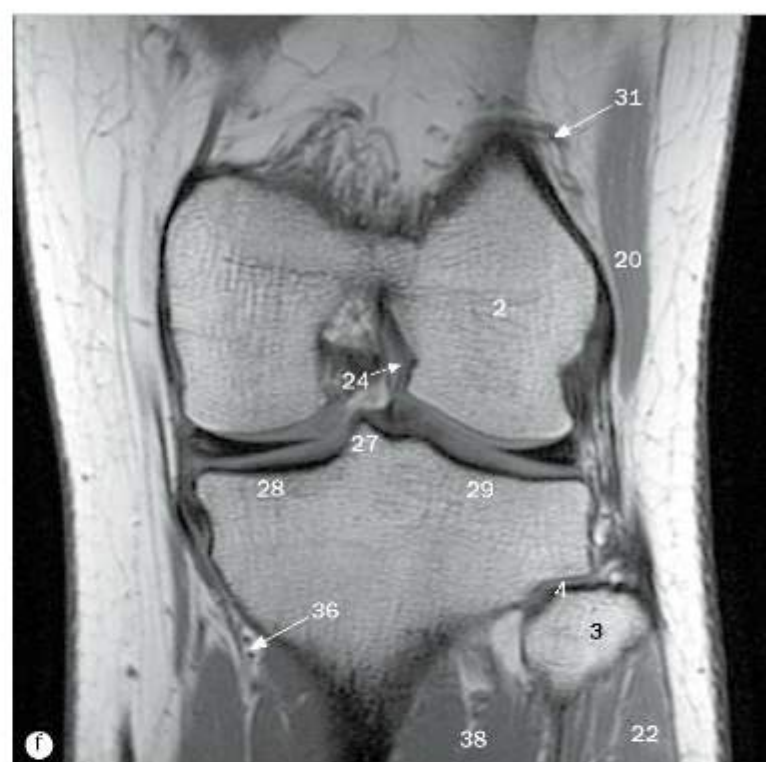


(a)-(h) Joelho, imagens coronais de ressonância magnética, da região posterior para a anterior.

- 1 Côndilo medial do fêmur
- 2 Côndilo lateral do fêmur
- 3 Cabeça da fíbula
- 4 Articulação tibiofibular proximal
- 5 Ligamento colateral fibular
- 6 Trato iliotibial
- 7 Tendão do músculo poplíteo
- 8 Músculo poplíteo

- 9 Veia safena magna
- 10 Músculo sartório
- 11 Tendão do músculo grátil
- 12 Artéria poplítea
- 13 Tendão do músculo semimembranáceo
- 14 Cabeça medial do músculo gastrocnêmio
- 15 Músculo semimembranáceo
- 16 Corno posterior do menisco medial

- 17 Corno posterior do menisco lateral
- 18 Ligamento cruzado posterior
- 19 Cabeça lateral do músculo gastrocnêmio
- 20 Músculo biceps femoral
- 21 Músculo sóleo
- 22 Músculo fibular longo
- 23 Músculo extensor longo dos dedos
- 24 Ligamento cruzado anterior

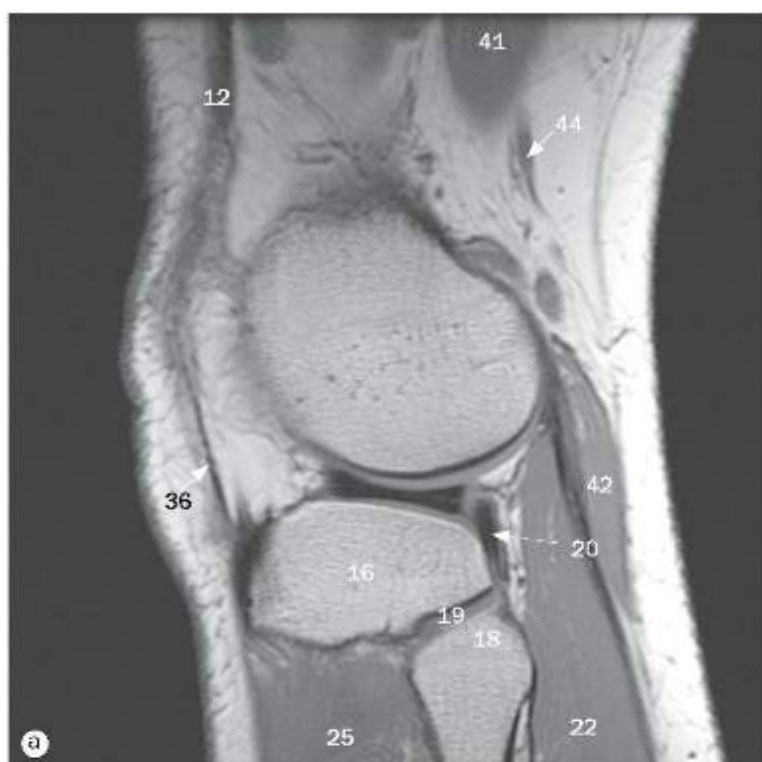


(a)-(h) Joelho, imagens coronais de ressonância magnética, da região posterior para a anterior.

25 Corpo do menisco medial
26 Corpo do menisco lateral
27 Tubérculo intercondilar
28 Côndilo medial da tibia
29 Côndilo lateral da tibia
30 Músculo vasto medial

31 Artéria superior lateral do joelho
32 Artéria superior medial do joelho
33 Ligamento colateral tibial, porção profunda
34 Ligamento colateral tibial, porção superficial
35 Pata anserina (fixações musculares)
36 Artéria inferior medial do joelho

37 Músculo vasto lateral
38 Músculo tibial posterior
39 Raiz do córno posterior, menisco medial
40 Músculo tibial anterior
41 Nervo tibial

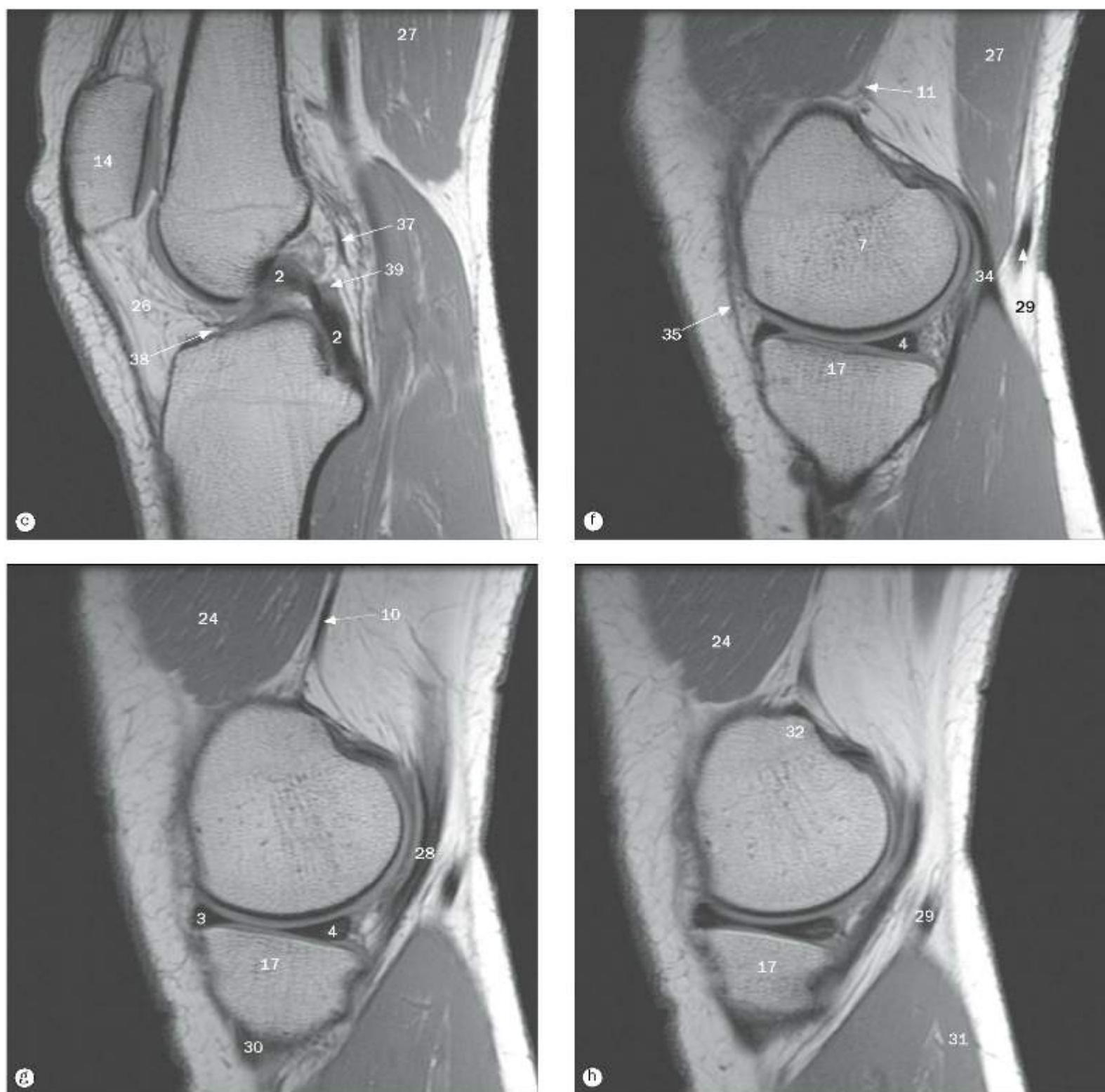


(a)-(h) Joelho, imagens sagitais de ressonância magnética, da região lateral para a medial.

- 1 Ligamento cruzado anterior
- 2 Ligamento cruzado posterior
- 3 Corno anterior do menisco medial
- 4 Corno posterior do menisco medial
- 5 Corno anterior do menisco lateral
- 6 Corno posterior do menisco lateral
- 7 Côndilo medial do fêmur
- 8 Côndilo lateral do fêmur

- 9 Artéria e veias superiores laterais do joelho
- 10 Septo intermuscular medial da coxa
- 11 Artéria superior medial do joelho
- 12 Tendão do músculo quadriceps femoral
- 13 Ligamento da patela
- 14 Patela
- 15 Linha epifisial
- 16 Côndilo lateral da tibia

- 17 Côndilo medial da tibia
- 18 Cabeça da fibula
- 19 Articulação tibiofibular proximal
- 20 Tendão do músculo poplíteo
- 21 Ventre do músculo poplíteo
- 22 Cabeça lateral do músculo gastrocnêmio
- 23 Músculo sóleo
- 24 Músculo vasto medial

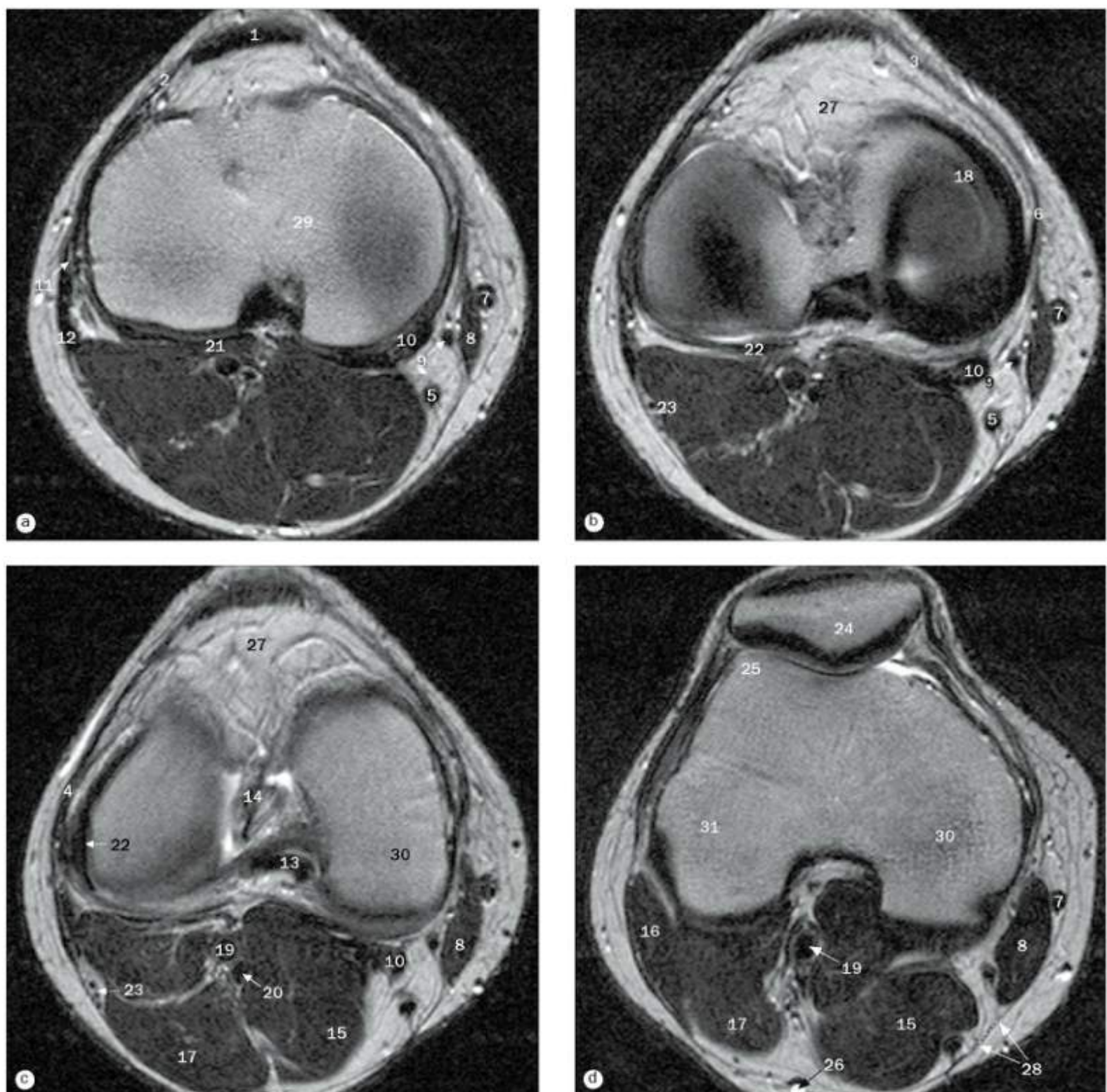


(a)-(h) Joelho, imagens sagitais de ressonância magnética, da região lateral para a medial.

- 25 Músculo tibial anterior
- 26 Corpo adiposo infrapatelar
- 27 Músculo semimembranáceo
- 28 Tendão do músculo semimembranáceo
- 29 Tendão do músculo semitendíneo
- 30 Tendão do músculo sartório
- 31 Cabeça medial do músculo gastrocnêmio

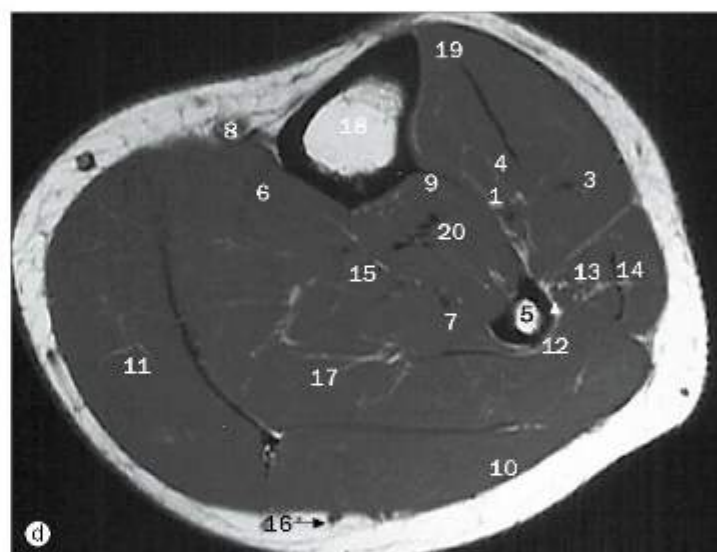
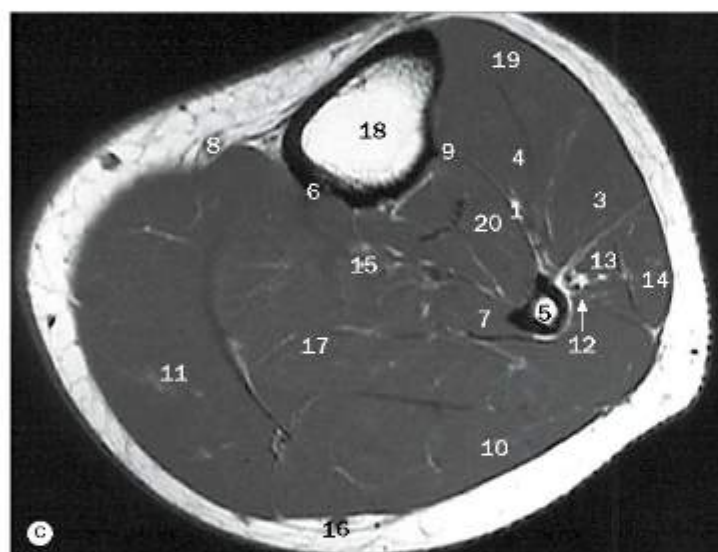
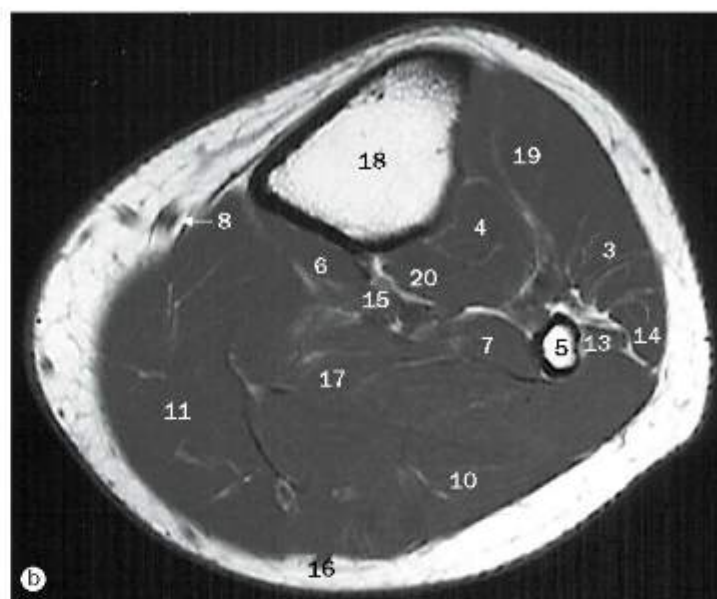
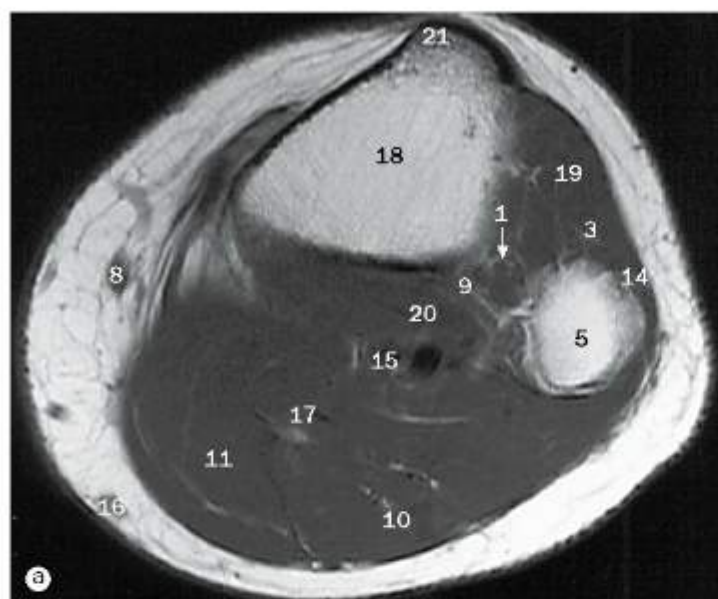
- 32 Tubérculo do adutor do fêmur
- 33 Artéria poplítea
- 34 Cabeça medial do músculo gastrocnêmio
- 35 Retináculo medial da patela
- 36 Retináculo lateral da patela
- 37 Região posterior da cápsula articular
- 38 Ligamento transverso do joelho

- 39 Ligamento meniscofemoral posterior
- 40 Tubérculo intercondilar
- 41 Músculo biceps femoral
- 42 Músculo plantar
- 43 Tuberossidade da tíbia
- 44 Nervo fibular comum



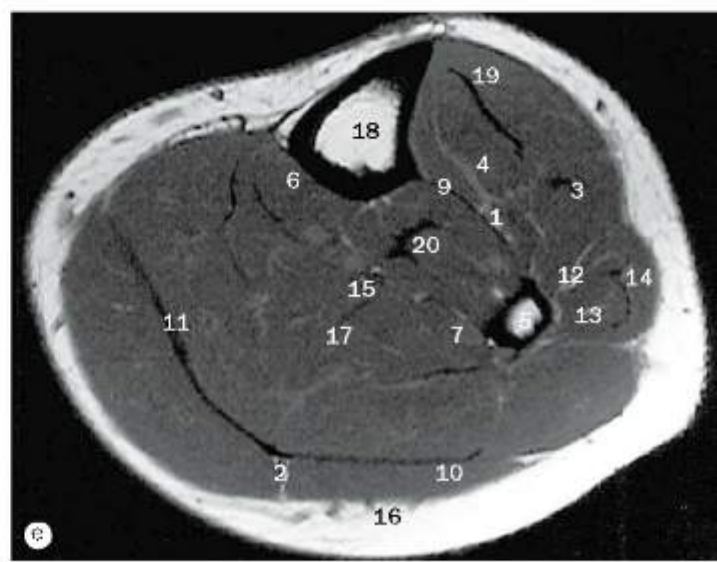
(a)-(d) Joelho, imagens axiais de ressonância magnética, da região inferior para a superior.

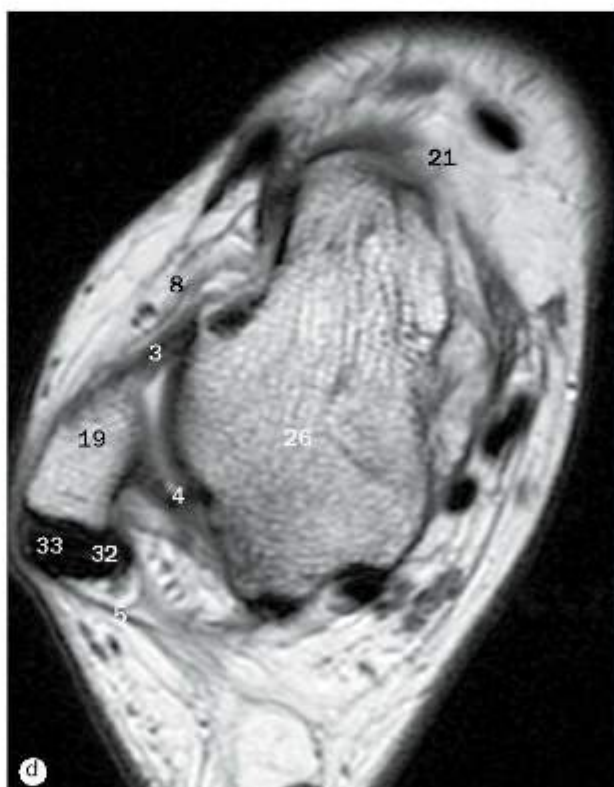
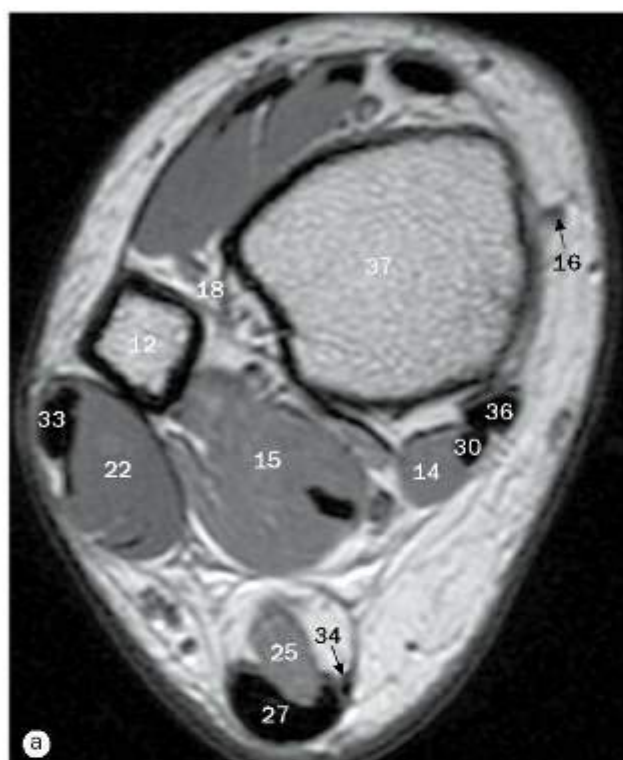
- | | | |
|--------------------------------------|---|-------------------------------------|
| 1 Ligamento da patela | 12 Tendão do músculo bíceps femoral | 23 Nervo fibular comum |
| 2 Retináculo lateral da patela | 13 Ligamento cruzado posterior | 24 Patela |
| 3 Retináculo medial da patela | 14 Ligamento cruzado anterior | 25 Eminéncia condilar lateral |
| 4 Trato iliotibial | 15 Cabeça medial do músculo gastrocnêmio | 26 Vela safena parva |
| 5 Tendão do músculo semitendíneo | 16 Músculo bíceps femoral | 27 Corpo adiposo infrapatelar |
| 6 Ligamento colateral tibial | 17 Cabeça lateral do músculo gastrocnêmio | 28 Fáscia profunda (fáscia lata) |
| 7 Vela safena magna | 18 Menisco medial | 29 Face articular superior da tibia |
| 8 Músculo sartório | 19 Artéria poplítea | 30 Côndilo medial do fêmur |
| 9 Tendão do músculo grátil | 20 Veia poplítea | 31 Côndilo lateral do fêmur |
| 10 Tendão do músculo semimembranáceo | 21 Músculo poplíteo | |
| 11 Ligamento colateral fibular | 22 Tendão do músculo poplíteo | |



(a)-(e) Região crural, imagens axiais de ressonância magnética.

- | | |
|--------------------------------------|---|
| 1 Artéria tibial anterior | 10 Cabeça lateral do músculo gastrocnêmio |
| 2 Aponeurose do músculo gastrocnêmio | 11 Cabeça medial do músculo gastrocnêmio |
| 3 Músculo extensor longo dos dedos | 12 Artéria fibular |
| 4 Músculo extensor longo do hálux | 13 Músculo fibular curto |
| 5 Fibula | 14 Músculo fibular longo |
| 6 Músculo flexor longo dos dedos | 15 Artéria tibial posterior |
| 7 Músculo flexor longo do hálux | 16 Veia safena parva |
| 8 Veia safena magna | 17 Músculo sóleo |
| 9 Membrana interóssea | 18 Tibia |
| | 19 Músculo tibial anterior |
| | 20 Músculo tibial posterior |
| | 21 Tuberossidade da tibia |





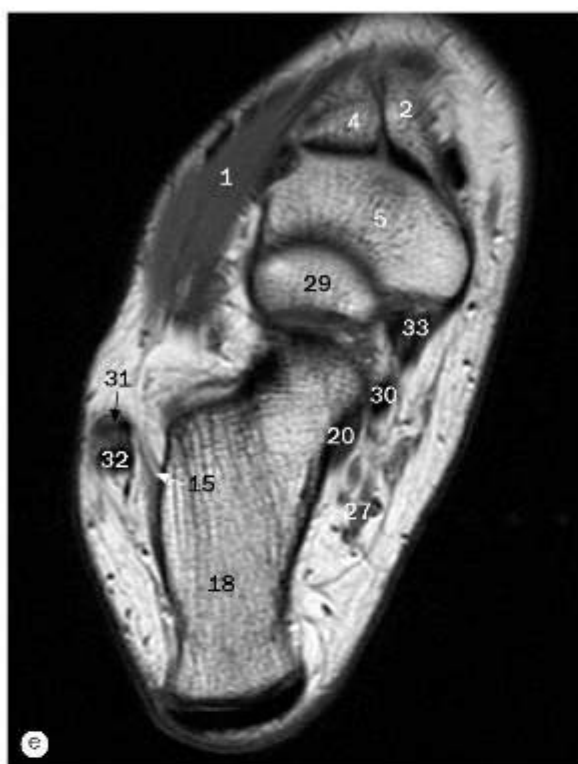
- 1 Ligamento tibiofibular anterior
- 2 Ligamento tibiofibular posterior
- 3 Ligamento talofibular anterior
- 4 Ligamento talofibular posterior
- 5 Retináculo dos músculos fibulares
- 6 Tronco neurovascular
- 7 Articulação talofibular
- 8 Retináculo dos músculos extensores
- 9 Retináculo dos músculos flexores
- 10 Músculo extensor dos dedos
- 11 Músculo extensor longo do hálux
- 12 Fibula
- 13 Articulação talocrural
- 14 Músculo flexor longo dos dedos
- 15 Músculo flexor longo do hálux
- 16 Veia safena magna
- 17 Articulação tibiofibular distal
- 18 Membrana interóssea
- 19 Maléolo lateral
- 20 Maléolo medial
- 21 Navicular
- 22 Músculo fibular curto
- 23 Arteria e veia tibiais posteriores
- 24 Veia safena parva
- 25 Músculo sóleo
- 26 Tálius

(a)-(h) Imagens axiais de ressonância magnética do tornozelo, da região superior para a inferior.

- 27 Tendão do calcâneo
- 28 Tendão do músculo extensor longo dos dedos
- 29 Tendão do músculo extensor longo do hálux

- 30 Tendão do músculo flexor longo dos dedos
- 31 Tendão do músculo flexor longo do hálux
- 32 Tendão do músculo fibular curto
- 33 Tendão do músculo fibular longo

- 34 Tendão do músculo plantar
- 35 Tendão do músculo tibial anterior
- 36 Tendão do músculo tibial posterior
- 37 Tibia
- 38 Músculo tibial posterior

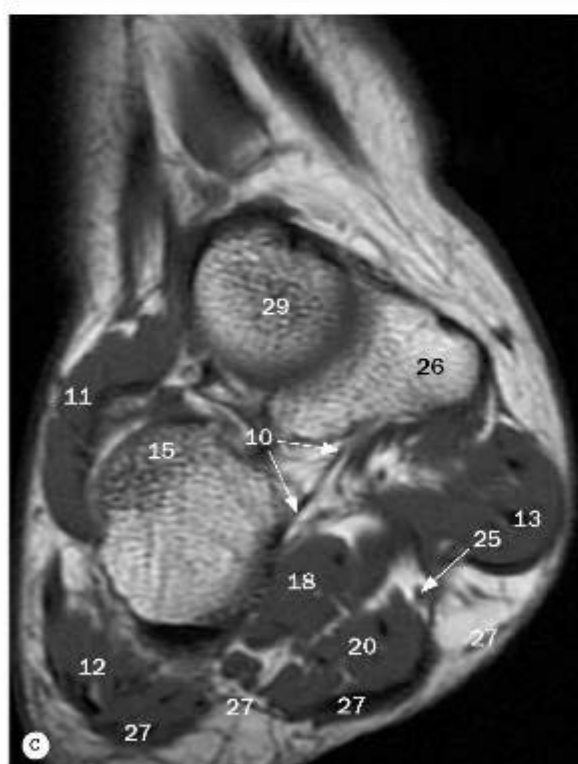


- 1 Músculo extensor curto dos dedos
- 2 Cuneiforme medial
- 3 Cuneiforme lateral
- 4 Cuneiforme intermédio
- 5 Navicular
- 6 Cuboíde
- 7 Nervo e vasos plantares mediais
- 8 Nervo e vasos plantares laterais
- 9 Cabeça do primeiro metatarsal
- 10 Corpo adiposo do calcâneo
- 11 Tuberossidade do quinto metatarsal
- 12 Segundo metatarsal
- 13 Terceiro metatarsal
- 14 Quarto metatarsal
- 15 Ligamento calcaneofibular
- 16 Músculo abdutor do dedo mínimo
- 17 Músculo abdutor do hálux
- 18 Calcâneo
- 19 Ligamento deltóideo
- 20 Tendão do músculo flexor longo do hálux
- 21 Músculo quadrado plantar
- 22 Músculo flexor curto dos dedos
- 23 Articulação tibiofibular distal
- 24 Maléolo lateral
- 25 Maléolo medial
- 26 Aponeurose plantar
- 27 Artéria tibial posterior
- 28 Sustentáculo do tálcus
- 29 Cabeça do tálcus
- 30 Tendão do músculo flexor longo dos dedos
- 31 Tendão do músculo fibular curto
- 32 Tendão do músculo fibular longo
- 33 Tendão do músculo tibial posterior

(a)-(h) Imagens axiais de ressonância magnética do tornozelo, da região superior para a inferior.



- 1 Ligamento deltóideo, parte superficial
- 2 Ligamento deltóideo, parte profunda
- 3 Ligamento tibiofibular
- 4 Primeiro metatarsal
- 5 Segundo metatarsal
- 6 Terceiro metatarsal
- 7 Quarto metatarsal
- 8 Quinto metatarsal
- 9 Veia safena magna
- 10 Ligamento calcaneonavicular plantar, "mola"
- 11 Músculo extensor curto dos dedos
- 12 Músculo abdutor do dedo mínimo
- 13 Músculo adutor do hálux
- 14 Calcâneo
- 15 Cuboide
- 16 Músculo extensor curto dos dedos
- 17 Fibula
- 18 Músculo quadrado plantar



(a)-(d) Imagens coronais de ressonância magnética do pé e tornozelo.

- 19 Músculo flexor do dedo mínimo
- 20 Músculo flexor curto dos dedos
- 21 Músculo flexor curto do hálux
- 22 Mâleolo lateral
- 23 Nervo e vasos plantares laterais
- 24 Mâleolo medial
- 25 Nervo e artéria plantares mediais
- 26 Navicular
- 27 Aponeurose plantar

- 28 Sustentáculo do tálus
- 29 Tálus
- 30 Articulação talofibular
- 31 Tendão do músculo extensor longo dos dedos
- 32 Tendão do músculo flexor longo do hálux
- 33 Tendão do músculo flexor curto dos dedos
- 34 Tendão do músculo flexor longo dos dedos

- 35 Tendão do músculo flexor longo do hálux
- 36 Tendão do músculo fibular curto
- 37 Tendão do músculo fibular longo
- 38 Tendão do músculo tibial anterior
- 39 Tendão do músculo tibial posterior
- 40 Tibia



- 1 Músculo abdutor do dedo mínimo
- 2 Músculo abdutor do hálux
- 3 Tubérculo do calcâneo
- 4 Cartilagem articular
- 5 Inserção do tendão do calcâneo
- 6 Articulação calcaneocubóidea
- 7 Calcâneo
- 8 Cuboide
- 9 Articulação cuneonavicular
- 10 Músculo extensor curto dos dedos
- 11 Processo lateral da tuberosidade do calcâneo
- 12 Corpo adiposo do calcanhar
- 13 Fibula
- 14 Primeiro metatarsal
- 15 Músculo flexor curto dos dedos
- 16 Músculo flexor longo dos dedos
- 17 Músculo flexor longo do hálux
- 18 Cabeça do tálus
- 19 Maléolo lateral
- 20 Cuneiforme medial
- 21 Maléolo medial
- 22 Face articular talar média, articulação talocalcânea
- 23 Navicular
- 24 Colo do tálus
- 25 Músculo fibular curto
- 26 Aponeurose plantar
- 27 Articulação talocalcânea – região posterior
- 28 Artéria e veia tibiais posteriores
- 29 Base do osso metatarsal
- 30 Veia-safena parva
- 31 Músculo sóleo
- 32 Sustentáculo do tálus
- 33 Articulação talonavicular
- 34 Tálus
- 35 Seio do tarso
- 36 Tendão do calcâneo
- 37 Tendão do músculo extensor longo dos dedos
- 38 Tendão do músculo flexor longo dos dedos
- 39 Tendão do músculo flexor longo do hálux
- 40 Tendão do músculo fibular curto
- 41 Tendão do músculo fibular longo
- 42 Tendão do músculo tibial anterior
- 43 Tendão do músculo tibial posterior
- 44 Tibia
- 45 Parte tibiotalar da articulação taliocrural

(a)-(d) Tornozelo, imagens sagitais de ressonância magnética, da região lateral para a medial.

28 Artéria e veia tibiais posteriores
29 Base do osso metatarsal
30 Veia-safena parva
31 Músculo sóleo
32 Sustentáculo do tálus
33 Articulação talonavicular
34 Tálus

35 Seio do tarso
36 Tendão do calcâneo
37 Tendão do músculo extensor longo dos dedos
38 Tendão do músculo flexor longo dos dedos
39 Tendão do músculo flexor longo do hálux

40 Tendão do músculo fibular curto
41 Tendão do músculo fibular longo
42 Tendão do músculo tibial anterior
43 Tendão do músculo tibial posterior
44 Tibia
45 Parte tibiotalar da articulação taliocrural



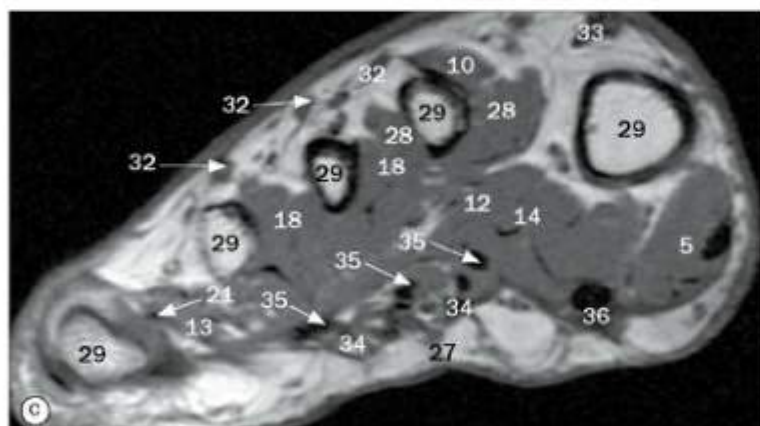
(a)



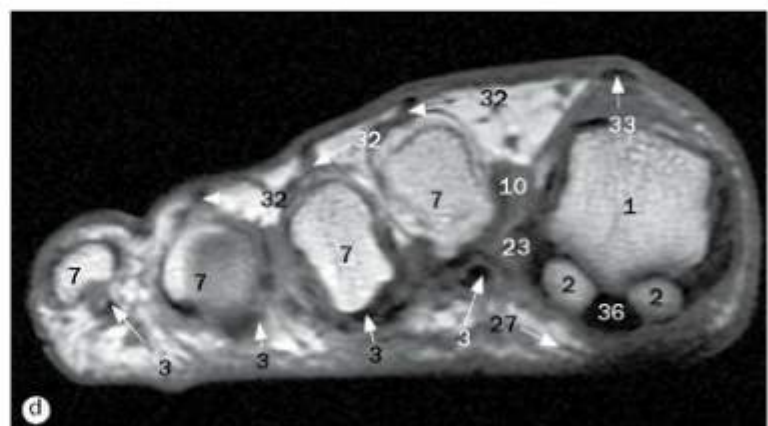
(b)

- 1 Cabeça do primeiro metatarsal
- 2 Ossos sesamoídes no músculo flexor curto do hálux
- 3 Músculo flexor longo dos dedos
- 4 Músculo abdutor do dedo mínimo
- 5 Músculo e tendão do músculo adutor do hálux
- 6 Base do osso metatarsal
- 7 Base da falange proximal
- 8 Calcâneo
- 9 Cuboide
- 10 Músculo interósseo dorsal
- 11 Músculo extensor curto dos dedos
- 12 Músculo quadrado plantar
- 13 Músculo flexor do dedo mínimo
- 14 Músculo flexor curto dos dedos
- 15 Músculo flexor curto do hálux
- 16 Cabeça do tálimus

(a)-(b) Pé, imagens coronais de ressonância magnética.



(c)



(d)

(c)-(d) Pé, imagens axiais de ressonância magnética.

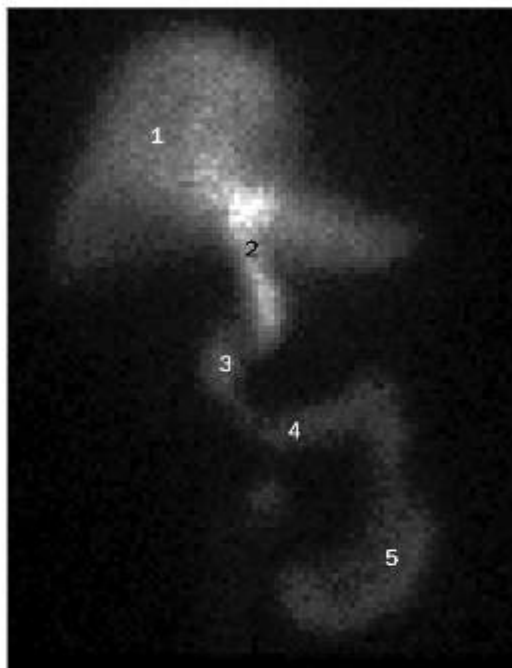
- 17 Cuneiforme intermédio
- 18 Músculos interósseos
- 19 Cuneiforme lateral
- 20 Maléolo lateral
- 21 Nervo plantar lateral
- 22 Cuneiforme medial
- 23 Nervo e artéria plantares mediais
- 24 Navicular

- 25 Colo do tálimus
- 26 Músculo oponente do dedo mínimo
- 27 Aponeurose plantar
- 28 Músculo interósseo plantar
- 29 Corpo dos metatarsais 1, 2, 3, 4, 5
- 30 Tálimus
- 31 Seio do tarso

- 32 Tendão do músculo extensor longo dos dedos
- 33 Tendão do músculo extensor longo do hálux
- 34 Tendão do músculo flexor curto dos dedos
- 35 Tendão do músculo flexor longo dos dedos
- 36 Tendão do músculo flexor longo do hálux
- 37 Tendão do músculo fibular curto
- 38 Tendão do músculo fibular longo

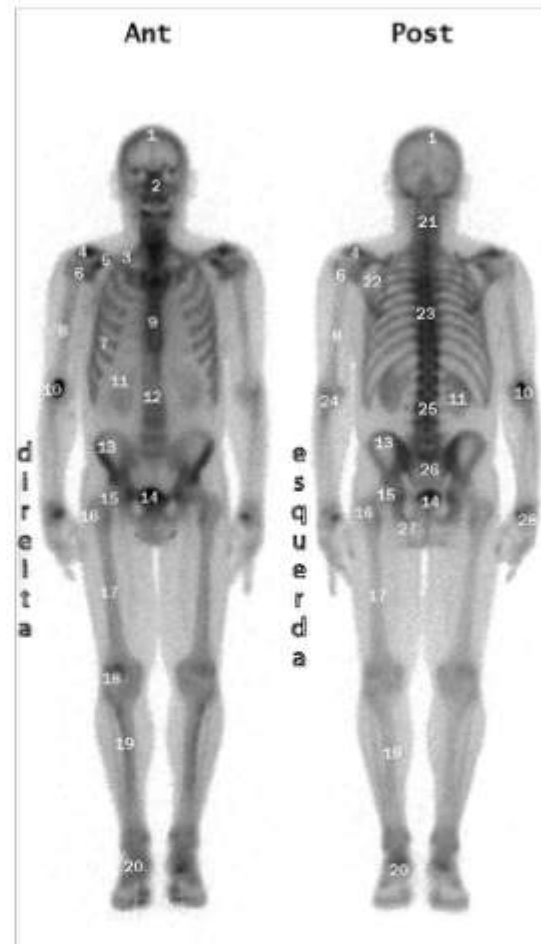
8

Medicina nuclear



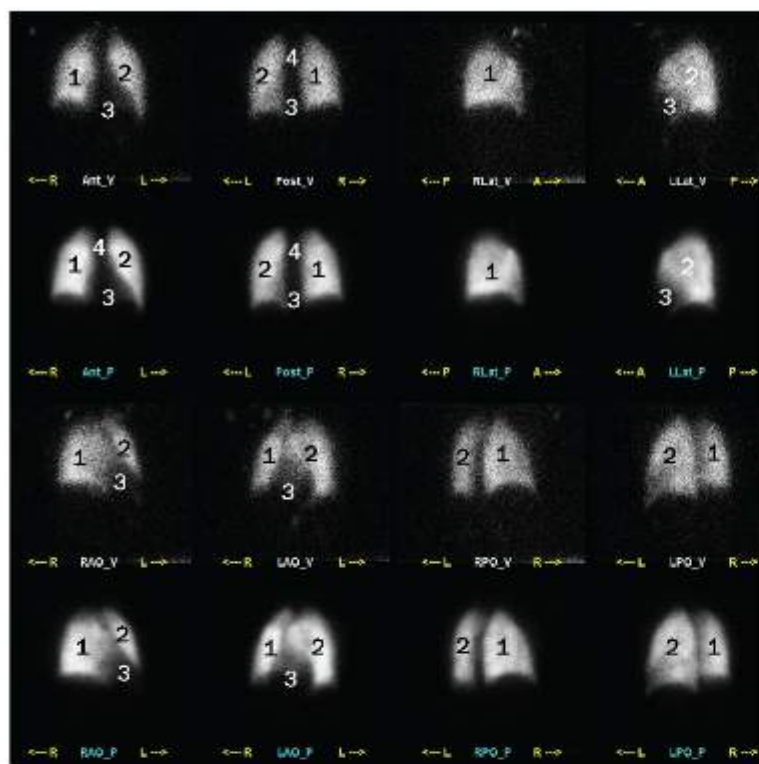
Cintilografia hepatobiliar. As substâncias injetadas para esse exame são rapidamente eliminadas do sangue. Os hepatócitos do fígado extraem a maior parte da dose injetada e a excretam na árvore biliar intra-hepática. A partir daí o marcador flui para os ductos hepáticos e coléodo. A substância muitas vezes enche passivamente a vesícula biliar (não visto neste caso por várias razões, como, por exemplo, cirurgicamente ausente, a vesícula biliar está distendida ou se contraiu ativamente durante a aquisição das imagens, ou o paciente teve um jejum prolongado antes da aquisição das imagens). A substância passará então para o duodeno pela papila maior do duodeno e chegará finalmente ao intestino delgado.

- 1 Fígado
- 2 Ducto coléodo
- 3 Parte descendente do duodeno
- 4 Parte horizontal do duodeno
- 5 Jejuno



Cintilografia óssea corporal total. As cintilografias ósseas usam substâncias fisiológicas para detectar anormalidades sutis no metabolismo ósseo. Elas são usadas para a definição de anormalidades ósseas, incluindo condições infecciosas, traumáticas, congênitas, metabólicas e malignas. Embora os ossos captem a substância, parte dela permanece no sangue e é finalmente excretada pelos rins.

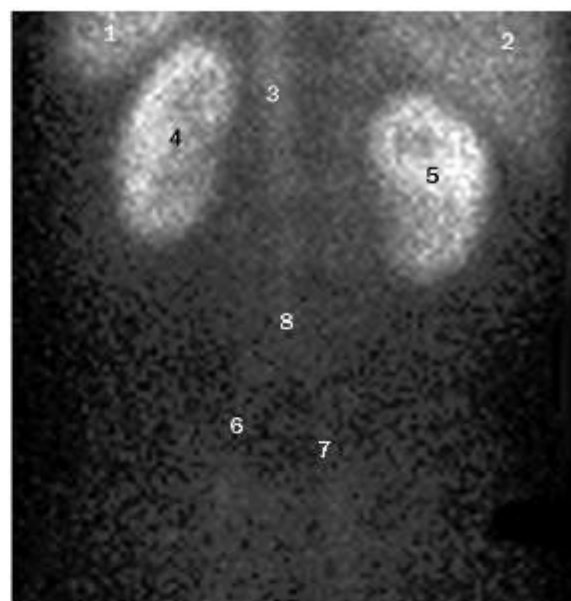
- | | |
|---|--|
| 1 Crânio | 15 Cabeça do fêmur |
| 2 Nariz e ossos da face | 16 Trocânter maior do fêmur |
| 3 Primeira costela | 17 Diáfise do fêmur |
| 4 Articulação acromioclavicular | 18 Patela |
| 5 Clavícula | 19 Tibia |
| 6 Cabeça do úmero | 20 Tornozelo |
| 7 Quinta costela | 21 Região cervical da coluna vertebral |
| 8 Diáfise do úmero | 22 Escápula |
| 9 Esterno | 23 Região torácica da coluna vertebral |
| 10 Extravasamento para as partes moles no local da injeção na fossa cubital | 24 Cotovelo |
| 11 Rim direito | 25 Corpo da terceira vértebra lombar |
| 12 Corpos de vértebras lombares | 26 Sacro |
| 13 Osso do quadril | 27 Túber isquiático |
| 14 Bexiga urinária | 28 Punho |



Cintilografia pulmonar. O exame dos pulmões envolve tanto a ventilação como a perfusão. Essas duas distribuições são correspondentes no estado normal. A solicitação do exame de ventilação e perfusão depende das substâncias que são usadas. Tanto a cintilografia de ventilação como a de perfusão avaliam os pulmões em oito projeções (anterior, posterior, lateral direita, lateral esquerda, oblíqua anterior direita [OAD], oblíqua anterior esquerda [OAE], oblíqua posterior direita [OPD] e oblíqua posterior esquerda [OPE]. A primeira e a terceira fileiras são de ventilação, e a segunda e a quarta fileiras são da perfusão correspondente.

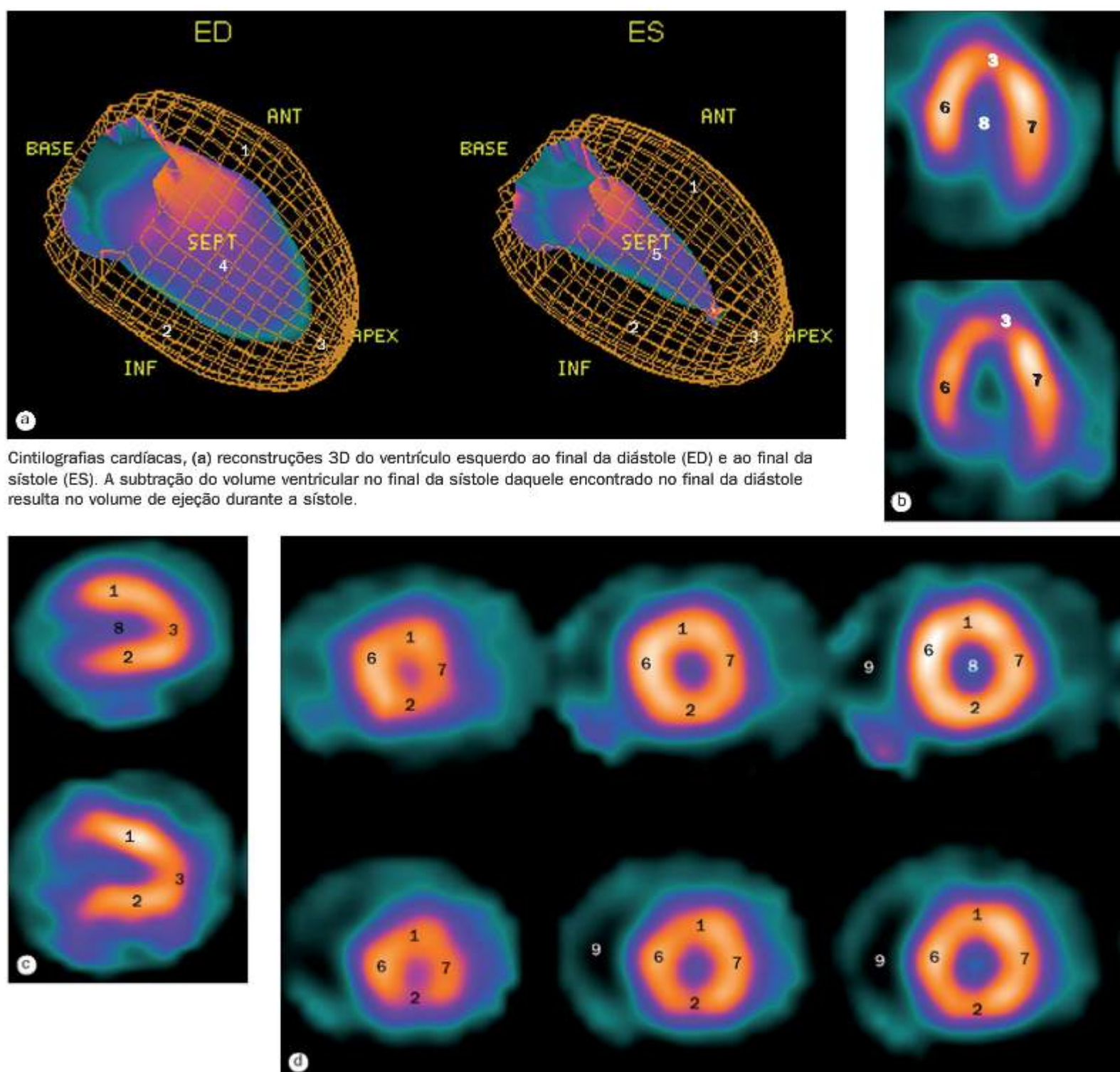
- 1 Pulmão direito
- 2 Pulmão esquerdo

- 3 Silhueta cardíaca
- 4 Mediastino



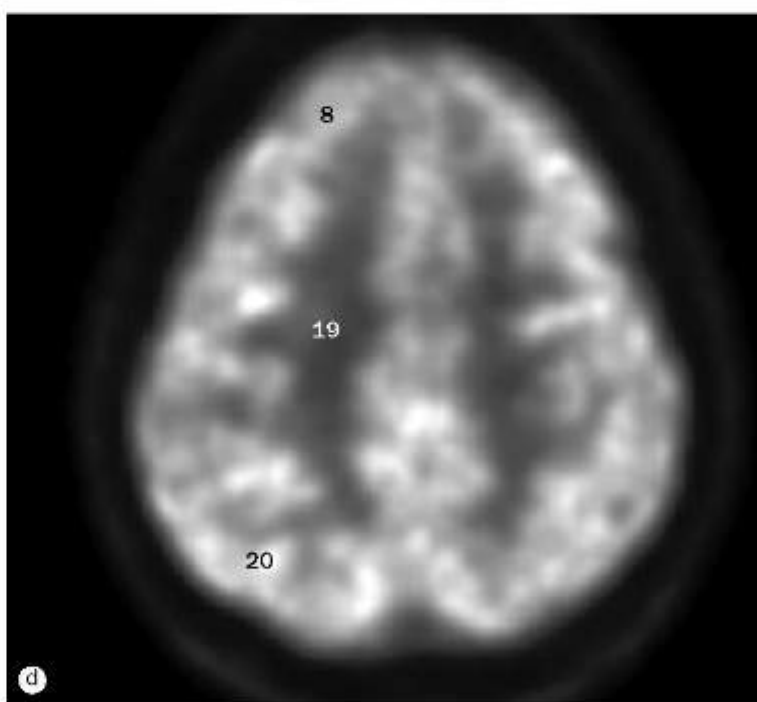
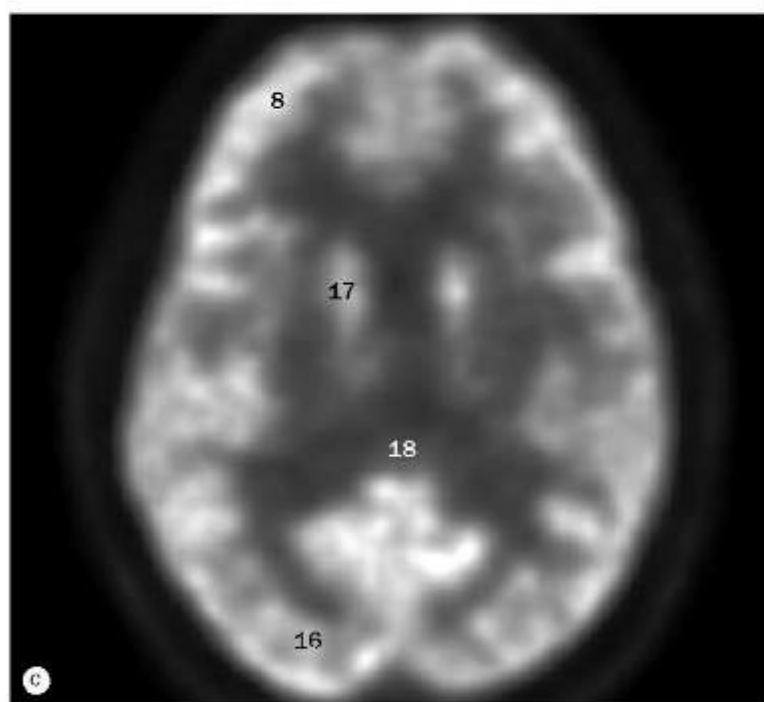
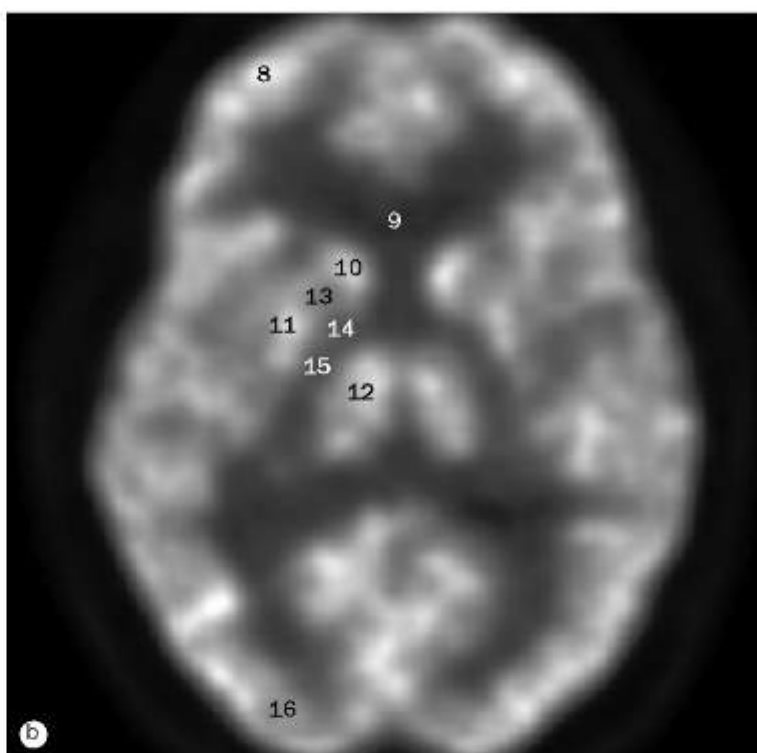
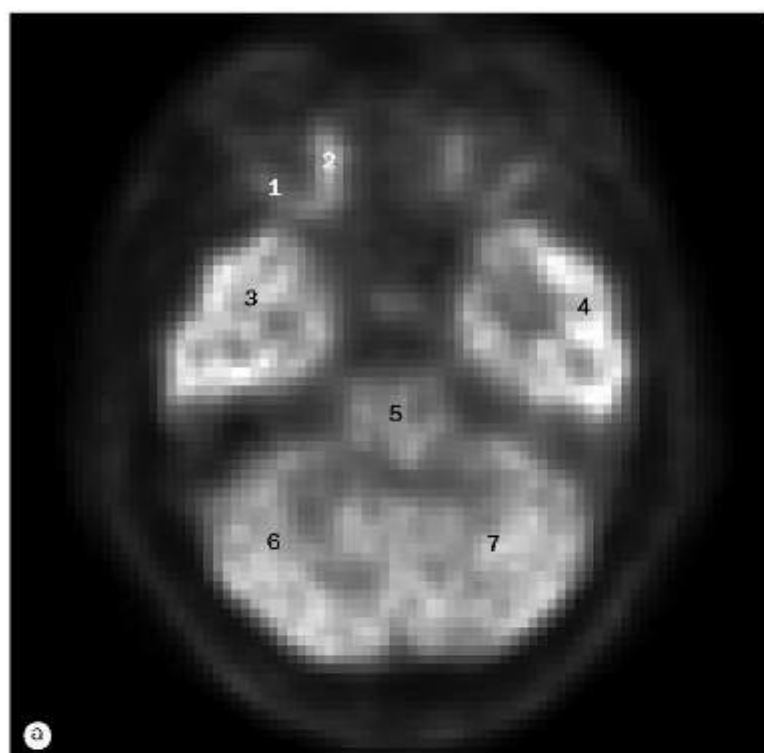
Cintilografia renal. O exame renal é feito com a câmera colocada sobre o dorso do paciente, porque os rins estão mais próximos da superfície da pele, otimizando, assim, a atividade proveniente dos rins. Dependendo da substância radiofarmacêutica usada, pode-se obter a estrutura e/ou função relativa do rim. Em geral, é possível avaliar a perfusão e a excreção da substância. No estágio inicial do exame, parte da substância permanece no sangue, o que permite a visualização das estruturas circunvizinhas.

- | | |
|----------------------------|--|
| 1 Baço | 6 Artéria ilíaca comum esquerda |
| 2 Fígado | 7 Artéria ilíaca comum direita |
| 3 Parte abdominal da aorta | 8 Bifurcação da parte abdominal da aorta |
| 4 Rim esquerdo | |
| 5 Rim direito | |



Cintilografias cardíacas, (b)-(d), as imagens são obtidas durante o estresse (por exercício ou farmacêutico), representadas pela fileira superior de imagens, e durante o repouso, representadas pela fileira inferior das imagens. A comparação dessas imagens pode determinar alterações na circulação cardíaca, da isquemia aguda a um infarto antigo. Depois do exame, o coração é cortado em planos diferentes para se avaliar as paredes específicas e a circulação que as supre. O ventrículo esquerdo aparece em uma forma de "ferradura" no sentido longitudinal do maior eixo (b) e sentido horizontal do maior eixo (c) e como uma "rosquinha" no menor eixo (d). A parede anterior, o ápice e a parte do septo são supridas pelo ramo interventricular anterior. A artéria coronária direita (ACD) supre a parede inferior e parte do septo, e o ramo circumflexo supre a parede lateral.

- | | |
|--|--|
| 1. Parede anterior do ventrículo esquerdo
2. Parede inferior do ventrículo esquerdo
3. Parte apical do ventrículo esquerdo
4. Volume sanguíneo acumulado no ventrículo esquerdo ao final da diástole
5. Volume sanguíneo acumulado no ventrículo | esquerdo ao final da sístole
6. Septo interventricular
7. Parede lateral do ventrículo esquerdo
8. Cavidade do ventrículo esquerdo
9. Cavidade do ventrículo direito |
|--|--|

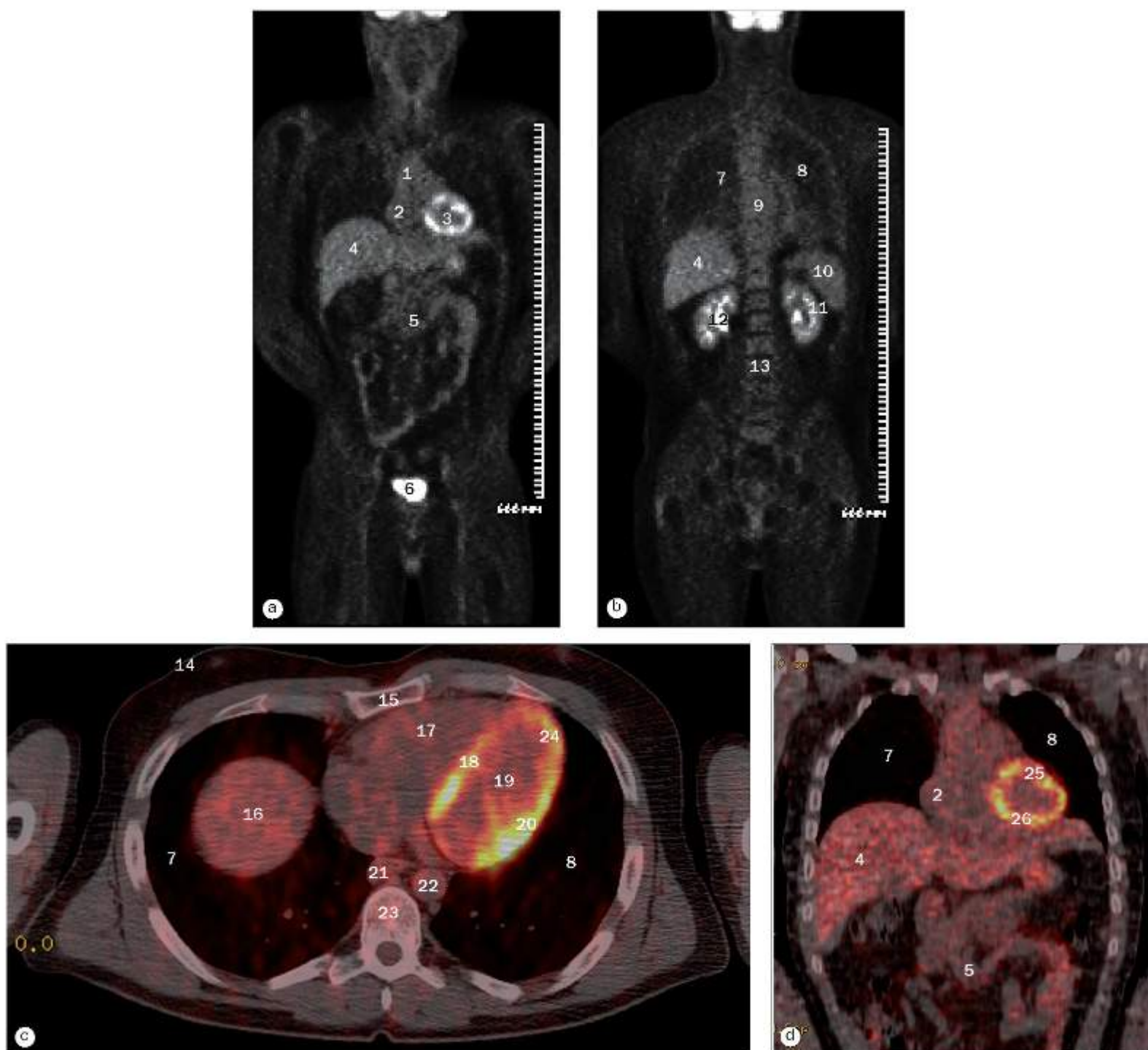


(a)-(d) Exames metabólicos encefálicos por PET. A fluorodesoxiglicose (FDG) é um derivado da glicose. As células não conseguem diferenciar a glicose da FDG. Uma diferença importante é que, uma vez no interior da célula, a FDG não é metabolizada e fica presa aí. Isso permite o exame fácil de estruturas do corpo. O encéfalo tem captação elevada de FDG, com a substância cinzenta tendo uma captação mais elevada em comparação à substância branca. Os núcleos da base têm geralmente uma captação um pouco maior que a do córtex. É normal encontrar áreas de captação aumentada nos campos visuais frontais, no córtex visual e na área de Wernicke.

- 1 Músculo reto lateral
- 2 Músculo reto medial
- 3 Lobo temporal direito
- 4 Lobo temporal esquerdo
- 5 Tronco encefálico
- 6 Hemisfério cerebelar direito
- 7 Hemisfério cerebelar esquerdo

- 8 Lobo frontal
- 9 Corpo caloso, joelho
- 10 Núcleo caudado, cabeça
- 11 Putame
- 12 Tálamo
- 13 Cápsula interna, ramo anterior
- 14 Cápsula interna, joelho

- 15 Cápsula interna, ramo posterior
- 16 Lobo occipital
- 17 Núcleo caudado, corpo
- 18 Corpo caloso, esplênio
- 19 Coroa radiada
- 20 Lobo parietal



(a)-(d) Exames TC/PET corporais totais. O exame de PET mostra a função fisiológica do tecido, e a TC fornece informações anatômicas. Fundindo-se essas imagens se obtém a localização anatômica precisa de áreas de interesse. As figuras (a) e (b) são imagens PET coronais do corpo em profundidades diferentes. As figuras (c) e (d) são imagens TC/PET fundidas nas projeções axial (c) e coronal (d).

- 1 Mediastino
- 2 Átrio direito
- 3 Ventrículo esquerdo
- 4 Fígado
- 5 Intestino delgado
- 6 Bexiga urinária
- 7 Pulmão direito
- 8 Pulmão esquerdo
- 9 Região torácica da coluna vertebral

- 10 Baço
- 11 CórTEX renal
- 12 Rim, pelve renal
- 13 Região lombar da coluna vertebral
- 14 Técido da mama direita
- 15 Esterno
- 16 Fígado, abóbada
- 17 Ventrículo direito
- 18 Septo interventricular

- 19 Ventrículo esquerdo, cavidade
- 20 Parede lateral do ventrículo esquerdo
- 21 Esôfago
- 22 Parte torácica da aorta descendente
- 23 Corpo vertebral torácico
- 24 Ápice do ventrículo esquerdo
- 25 Parede anterior do ventrículo esquerdo
- 26 Parede inferior do ventrículo esquerdo

Índice

Nota: As referências dizem respeito ao texto (principalmente legendas e quadros), e não aos números que codificam as estruturas nas figuras. As modalidades mais comuns de investigação por imagens (radiografias e TC e RM convencionais) não constam deste Índice.

A

abertura lateral do 4º ventrículo, 17, 43, 51
abertura mediana do 4º ventrículo, 42, 51
acetáculo, 134, 142, 154, 156, 162, 166, 208, 222
incisura, 220
lábio
teto, 60, 134, 156
anterior, 220
posterior, 220
acrônio da escápula, 68, 69, 79
aderência intertalâmica do tálamo, 50
ampola
da tuba uterina, 195
do ducto deferente, 199
do reto, 154, 159, 160, 165
hepatopancreática, 182
terminal, 205, 206
anastomoses da polpa (dedo), 78
anel fibroso, 63
anel timpânico, 15
angiografia de subtração (incl.
arteriografias e venografias com subtração digital)
abdomo
arteriografia do tronco celiaco, 184
arteriografia hepática, 192
arteriografia pancreática, 193
arteriograma mesentérico superior, 185
arco da aorta, 117
encéfalo, 36-9
mão, 78
pelve, 187
pescoço, 33
angiografia por ressonância magnética do encéfalo, 40
pescoço, 33
angiografias, veja aortografia;
arteriografia, angiorenossâncnia magnética; venografia;
ventrículos (coração)
ângulo cardiofrênico, esquerdo, 90
ângulo costofrênico, esquerdo, 90
ângulo pontocerebelar, 43
antebraço, 73, 85
ulassom fetal, 203
ânus, 164
veja também canal anal; esfínter anal; junção anorrectal
aorta, 62, 92, 94, 111, 113
arco da aorta, 33, 90, 91, 96, 100, 104, 105, 106, 108, 111, 117, 140, 142
angiografia por subtração, 117
fetal, 203
parte abdominal, 103, 105, 107, 124, 126, 128, 130, 138, 140, 143, 145, 148, 157, 183, 185
bifurcação, 139, 236
cateter introduzido via artéria femoral, veja artéria femoral
extremidade do cateter em rabo-de-porco (*pigtail*) em, 183

fetal, 202, 203
visões em outros planos, 174, 176, 183, 202, 203, 236
parte ascendente, 91, 95, 100, 104, 105, 106, 108, 114, 117, 138, 140, 149
fetal, 203
parte descendente, 90, 96, 100, 104, 105, 106, 108, 117, 142
fetal, 203
investigação PET/TC, 239
raiz da, 115
aortografia
abdominal, 183
subtração do arco, 117
aparelho vestibular, vestíbulo do, 50
apêndice, 131, 179
aponeurose
do músculo bíceps braquial, 84
músculo gastrocnêmio, 229
músculo oblíquo externo do abdome, 150
plantar, 231, 232, 233, 234
aqueuduto do mesencéfalo, 21, 45, 47, 51
arco justacôlico, 186
arco palmar (arterial), profundo, 76, 78, 88
arco palmar (venoso), superficial, 78, 87
arco palmar profundo (arco arterial), 76, 78, 88
arco venoso
na mão
dorsal, 86
palmar superficial, 78
no pé, dorsal e plantar, 217
arco venoso plantar, 217
áróia da mama, 120
artéria
circunflexa anterior do úmero, 76
circunflexa posterior do úmero, 76
artéria apendicular, 130, 185
artéria apical (lobo superior), 110
artéria auricular, posterior, 33
artéria axilar, 76, 79, 108
esquerda, 103
artéria basilar, 16, 21, 22, 33, 38, 43, 46, 47, 49
bifurcação, 45
arteria braquial, 76, 82, 83, 84
profunda (arteria braquial profunda), 76, 84
ramos musculares, 76
artéria bronquial, 116
artéria calcarina, 38
artéria callosomarginal, 36, 45, 48
artéria cerebelar
inferior anterior, 17, 38
inferior posterior, 38, 64
origem, 38
ramo hemisférico, 38
segmento inferior do verme, 38
segmento medular, 38
segmento retrotonsilar, 38
segmento supratonsilar, 38
superior, 38, 40, 49
atrás do tronco encefálico, 38
ramo do verme, 38
ramo hemisférico, 38
ramos talamoperfurantes, 38
artéria cerebral
anterior, 36, 40, 45, 46, 47, 48
ramo frontal interno, 36
posterior, 19, 21, 36, 38, 44, 49
na cisterna ambiens, 38, 40
na cisterna interpeduncular, 38
parte pré-comunicante, 40
porção quadrigeminal, 38, 40
ramos coriôideos posteriores, 38
ramos do esplêni, 38
ramos talamoperfurantes, 38
médio, 21, 36, 45, 46, 47, 48, 49
joelho, 36, 39
ramo de segunda ordem, 45
ramos angulares, 36
ramos insulares, 36, 39
ramos parietais veja artéria parietal
ramos temporais anteriores, 36
artéria cerebral posterior
segmento pré-comunicante, 40
artéria cervical, ascendente, 33, 117
artéria circunflexa da escápula, 76
artéria circunflexa ilíaca profunda, 187
artéria circunflexa umeral veja artéria circunflexa do úmero
artéria cólica
direita, 185
esquerda, 185, 186
ramo ascendente, 186
ramo descendente, 186
média, 185
artéria comunicante
anterior, 36, 40, 45
posterior, 36, 38, 40
artéria coriôidea, anterior, 36
artéria digital palmar
comum, 78, 88
própria, 88
artéria do calcâneo, medial, 217
artéria do labirinto, 43
artéria do pênis, 198
dorsal, 198
profunda, 198
artéria do sulco central, 36
artéria dorsal do pé, 217
artéria epigástrica, superficial e inferior, 133
artéria espinal, anterior, 38, 64, 65
artéria esplênica, 141, 142, 149, 191
ponta de cateter na, 191
visão em outros planos, 183, 184, 191
artéria estriada distal medial, 36
artéria estriada distal medial
(recorrente de Heubner), 36
artéria facial, 33
ramo labial, 33
artéria femoral, 134, 139, 219, 220, 221, 222, 223
circunflexa femoral lateral, 187, 216
circunflexa femoral medial, 216
comum, 151, 152, 157, 161, 162, 168, 216
direita, cateter introduzido na região distal da parte abdominal da aorta, 187
esquerda, cateter introduzido na região distal da parte abdominal da aorta, 216
parte intertrocantérica, 154
profunda, 135, 153, 164, 167, 187, 216, 219, 221, 223
superficial, 135, 153, 164, 187, 216
artéria femoral profunda, 135, 153, 164, 167, 187, 216, 219, 221, 223
artéria frênica, 184
inferior, 194
ponta de cateter na origem da, 194
artéria gástrica, 185
direita, 185
esquerda, 140, 183, 184
ponta de cateter na origem da, 185
ramo esofágico da, 185
artéria gastroduodenal, 184, 192, 193
artéria gastromental
direita, 184, 191
esquerda, 184, 191
artéria glútea
inferior, 134, 187
superior, 133, 187
artéria hepática, 174, 183, 184
comum, 124, 141, 149
direita, 175, 177, 184
esquerda, 184
visão em outros planos, 174, 175, 176, 183, 184
artéria ileocólica, 131, 183, 185
artéria ilíaca, 185
circunflexa ilíaca profunda, 187
comum, 157, 187
cintilografia, 236
direita, 131, 132, 138, 147, 236
esquerda, 131, 132, 138, 236
externa, 134, 139, 150, 157, 159, 167, 187, 219, 220
direita, 132, 147
esquerda, 132
interna, 159, 187
direita, 1, 132
esquerda, 132
ramos, 156
tronco anterior da, 187
tronco posterior da, 187
artéria iliolumbar, 187
artéria infraorbital, 33
artéria intercostal, 108, 116, 117
esquerda, décima primeira, cateterização seletiva, 66
artéria interóssea
anterior, 76, 85
comum, 76
posterior, 76
artéria interventricular, anterior
esquerda, 113
artéria lingual, 33
artéria mamária interna veja artéria torácica, interna
artéria maxilar, 33, 36
artéria meníngea média, 33
artéria mesentérica
inferior, 130
arteriografia, 186
ponta de cateter na, 186
ramos sigmóideos da, 141, 186
visão em outros planos, 186, 187
superior, 105, 107, 127, 129, 138, 140, 148, 191
arteriografia, 191
ponta de cateter na, 185, 191
projeções não transversais, 175, 177, 183, 185, 191, 192, 193
ramos ileais, 131, 139, 185
ramos jejuna, 131, 139, 183, 185
artéria metacarpal palmar, 78
artéria occipital, 33, 36
medial, ramo calcârino (artéria calcârnea), 38
artéria oftalmica, 23, 36
ramo etmoidal, 36
artéria operculofrontal, 36
artéria orbitofrontal, 36
artéria pancreática
dorsal, 184
extremidade de cateter na, 192, 193
magia, 184
transversa, 184, 192, 193

- artéria pancreática inferior, 184, 192, 193
 artéria pancreaticoduodenal inferior, 185
 ramo anterior, 192, 193
 ramo posterior, 192, 193
 superior, 184
 ramo anterior, 192, 193
 ramo posterior, 192, 193
 artéria paracentral, 36
 artéria parietal (ramos parietais da artéria cerebral média)
 inferior interna, 36
 posterior, 36
 artéria parietoccipital, 38
 artéria perfurante, 216
 artéria pericalosa, 36
 ao redor do corpo caloso, 36
 ramo orbitofrontal, 36
 artéria perineal, 198
 artéria plantar
 lateral, 217
 medial, 217, 232, 234
 artéria polar frontal, 36, 45
 artéria poplitea, 217, 221, 222, 224, 227, 228
 artéria principal do polegar, 78
 artéria profunda do pênis, 198
 artéria pudenda, interna, 198
 artéria pulmonar, 93, 110, 112, 115, 138
 angiografia, 110
 cateter em artéria principal, 110
 direita, 90, 91, 97, 102, 105, 107, 109, 110, 112, 140
 lobo inferior, 95
 lobo superior, 97, 102, 109
 esquerda, 90, 91, 96, 100, 101, 104, 105, 106, 108, 112, 140, 149
 fetal, 203
 lobo inferior, 110
 lobo médio, 110
 lobo superior, 110
 direito, 97, 102, 109
 artéria radial, 76, 78, 84, 85, 86
 artéria radicular anterior (de Adamkiewicz), 66
 artéria recorrente radial, 76
 artéria recorrente ulnar, 76
 artéria renal, 194
 acessória, 183
 direita, 127, 129, 140
 visões em outros planos, 175, 177, 183
 esquerda, 126, 141
 visões em outros planos, 183
 ponta de cateter na, 194
 principal, 194
 artéria retal, superior, 186
 artéria sacral
 lateral, 187
 média, 187
 artéria subclávia, 33
 direita, 33, 102, 117
 esquerda, 92, 96, 100, 101, 103, 104, 105, 106, 108, 117
 artéria subescapular, 76
 artéria submental, 33
 artéria supraescapular, 33, 117
 artéria temporal
 anterior, 36
 inferior, 38
 posterior, 36, 38
 superficial, 33
 artéria testicular, esquerda, 129, 131
 artéria tibial
 anterior, 216, 217, 229
 ramos musculares, 216, 217
 posterior, 216, 217, 229, 230, 231, 233
 ramos musculares, 216, 217
 artéria tireoídea, 33
 inferior, 33, 117
 superior, 33
 artéria torácica
 interna, 96, 108, 117, 120, 121
 direita, 33, 103
 esquerda, 33, 103
 ramo perfurante anterior, 120, 121
 lateral, 76
 ramos intramamários da, 120
 superior, 76, 117
 artéria toracocromial, 76
 ramo deltóideo, 117
 artéria ulnar, 76, 78, 85, 86, 87
 ramo carpal palmar, 78
 ramo palmar profundo, 78
 artéria uterina, 187
 artéria vertebral, 28, 33, 38, 39, 40, 42, 46, 47, 50, 117, 124
 no forame transverso do atlas, 38
 ramo meníngeo, 38
 refluxo de meio de contraste em, 33
 sulco (no atlas), 61
 artérias arqueadas, 194
 artérias carótidas, 36, 37
 comum, 28, 29, 33, 62
 direita, 33, 102, 117
 esquerda, 33, 92, 96, 100, 101, 104, 106, 108, 117, 140
 externa, 25, 33
 ponta de cateter em, 33
 interna, 9, 14, 16, 21, 22, 23, 25, 32, 33, 40, 42, 43, 48
 bifurcação, 45
 parte cervical, 36
 parte cerebral, 36, 44
 parte petrosa, 33, 36
 parte cavernosa, 9, 36, 44, 46
 artérias carótidas internas, 36, 44
 artérias centrais anterolaterais, 36
 artérias coronárias, 113
 angiografia, 113, 114
 direita, 105, 107, 109, 113, 114, 115, 117
 ramo interventricular posterior, 114
 esquerda, 113, 114, 115
 artéria circumflexa veja ramo circumflexo
 ramo interventricular anterior, 96, 108, 113, 114, 115
 tronco principal, 113
 artérias do joelho
 inferior lateral, 216, 217
 inferior medial, 216, 217, 225
 superior lateral, 216, 225, 226
 superior medial, 216, 217, 225, 226
 artérias interlobares, 194
 artérias lobares, 194
 artérias lombares, 130, 183, 185
 artérias septais, 113
 interventricular posterior, 113
 artérias sigmóideas, 141, 186
 artérias suprarrenais, superior, 194
 artérias veia vasos sanguíneos e artérias específicas
 arteriografia bronquial, 116
 arteriografia gastroduodenal, seletivo, 193
 arteriografias
 artéria e veia gástricas, 185
 artérias mesentéricas
 inferior, 186
 superior, 191
 coronária, 113, 114
 do pênis, 198
 espinal, 66
 gastroduodenal, seletiva, 193
 membro inferior, 216, 217, 218
 membro superior, 76
 subtração veia angiografia por subtração
- tórax
 artérias pulmonares, 110-11
 ramos bronquiais, 116
 arteriografias com subtração digital veia angiografia por subtração
 articulação acromioclavicular, 79, 145
 cintilografia, 235
 articulação atlantoaxial, 57, 58
 articulação calcaneocubóidea, 233
 articulação costotransversária, 96
 articulação costovertebral, 96
 articulação do quadril, 197
 articulação dos processos articulares, 62
 C2/C3, 61
 C3/C4, 56
 L4/L5, 59
 L5/S1, 165
 articulação esternoclavicular, 96, 109
 articulação facetaria veja articulação dos processos articulares
 articulação sacroiliaca, 59, 60
 feminina, 142, 144, 154, 158, 173
 masculina, 133, 165
 visões em outros planos, 173, 179, 197
 articulação talocalcânea
 face articular média, 233
 posterior, 233
 articulação talofibular, 230
 articulação talonavicular, 233
 articulação tibiofibular
 distal, 212, 230, 231
 proximal, 224, 226
 articulações veja articulações específicas e entradas no termo articular
 articulações temporomandibulares, 7, 32
 fossa mandibular, 14
 túberculo articular, 3
 articulações uncovertebrais
 C2/C3, 61
 C3/C4, 61
 artrografia por ressonância magnética
 ombro, 79-81
 quadril, 220
 artrografia, RM veja artrografia por ressonância magnética
 atlas (C1), 56
 arco, 4
 anterior, 3, 8, 13, 14, 22, 32, 46, 47, 50, 56, 57, 61, 64
 posterior, 13, 25, 46, 47, 56, 61
 corpo, 56
 forame transverso veja forame transversário
 ligamento transverso, 61
 massa lateral, 2, 13, 15, 50, 56, 57, 61, 64
 processo espinhoso, 56
 processo transverso, 12, 13, 15, 57, 61
 processos articulares veja processo articular
 túberculos, 13, 64
 átrio
 direito, 77, 90, 102, 104, 105, 109, 112, 115, 138, 140, 146, 148
 aurícula, 87, 109
 Exame de PET/TC, 239
 fetal, 203
 margem, 90
 esquerdo, 91, 96, 100, 104, 105, 106, 108, 111, 115, 140, 142
 aurícula, 90, 96, 100, 108, 111, 115
 fetal, 203
 margem, 91
 suprimento coronário, 113
 septo veia septo interatrial
- auricula
 veia átrio
 orelha externa, 3, 7, 42
 áxis (C2), 8, 14
 base, 13
 corpo, 25, 50, 56, 57, 61
 dente do áxis, 2, 4, 6, 8, 13, 14, 22, 25, 46, 47, 50, 56, 57, 61, 64
 forame transverso, 13
 lâmina, 61
 lateral, 56
 pedículo, 61
 processo articular, superior, 57
 processo espinhoso, 56, 57, 61
 processo transverso, 57
- B**
- baço, 95, 139, 140, 142, 149
 visões em outros planos, 172, 175, 177, 191
 cintilografia, 236
 exame de PET/TC, 239
 bainha do músculo reto do abdome, 161
 banda moderadora veja trabécula septomarginal
 bábio, 13
 bexiga urinária, 132, 134, 137, 139, 142, 147, 148, 151, 152, 153, 157, 158, 159, 160, 162, 166, 169, 170, 189, 219, 220
 base e colo, 152, 198
 cheia, 199
 cintilografia, 235
 esfínter interno, 156
 exame de PET/TC, 239
 fetal, 200, 201, 203
 meio de contraste em, 188, 198
 trígono, 153, 156, 159
 visões em outros planos, 188, 189, 196, 197, 199, 219
 bigorna, 9, 15
 bloqueio de mordida, 34
 broncografia
 pulmão direito, 119
 pulmão esquerdo, 118
 brônquio
 carina da traqueia bifurcando-se para, 90, 96, 100, 108, 142
 intermédio, 92, 118, 140
 lingular, 92
 inferior, 94, 118
 superior, 95, 118
 lobo inferior do segmento apical, 94
 lobo inferior, 119
 direito, 95, 97, 109
 esquerdo, 92, 94, 96, 108
 segmento apical, 94
 lobo médio, 95
 lobo superior
 direito, 93, 97, 109, 119, 140
 esquerdo, 92, 96, 108, 140
 principal
 direito, 58, 90, 91, 93, 97, 102, 104, 105, 106, 109, 118, 119, 140, 142
 esquerdo, 58, 90, 92, 96, 100, 101, 104, 105, 106, 108, 118, 140, 142
 segmentar anterior, 92, 118, 119
 segmentar apical, 118, 119
 segmentar apicoposterior, 118
 segmentar basilar anterior, 94, 118, 119
 segmentar basilar lateral, 94, 118
 segmentar basilar medial, 95, 118, 119
 segmentar basilar posterior, 95, 118, 119
 segmentar lateral, do lobo médio, 94, 119

- segmentar medial, do lobo médio, 95, 119
 segmentar posterior, 93, 119
 brônquio segmentar lingular, 92
 inferior, 94
 bulbo, 16, 42, 46, 47, 51
 bulbo da veia jugular, 33, 37, 39, 41
 bulbo do olho, 9, 10, 12, 18, 20, 22, 23, 45
 câmara anterior, 21, 23
 câmara vítreo, e humor, 21, 23
 lente, 23, 44
- C**
- C1 veia atlas
 - C1/C2 forame intervertebral, 61
 - C2 veia áxis
 - C2/C3
 - articulação dos processos articulares, 61
 - articulação uncovertebral, 61
 - C3
 - corpo, 25
 - processo espinhoso, 56
 - unco do corpo, 63
 - C3/C4
 - articulação dos processos articulares, 56
 - articulação uncovertebral, 56
 - disco intervertebral, 56
 - C4
 - corpo, 25
 - lâmina, 56
 - parte interarticular, 56
 - pedículo, 56
 - processo espinhoso, 56
 - processo transverso, 56
 - veja processos articulares
 - unco do corpo, 56
 - C5
 - corpo, 57
 - lâmina, 57
 - processo espinhoso, 57
 - processo transverso, 56, 57
 - veja processos articulares
 - unco do corpo, 57
 - C6
 - corpo, 58
 - lâmina, 56
 - pedículo, 56
 - C7
 - corpo, 62
 - parte interarticular, 56
 - processo transverso, 56, 64
 - C7/T1, forame intervertebral, 56
 - C8, raízes do nervo, 64
 forame intervertebral, 56
 - cadeia lombar de linfofodos
 ascendente, 204, 205, 206
 cruzamento, 204, 205
 - cadeia simpática, pelve, 155
 - calcâneo, 125, 212, 214, 231, 232, 233, 234
 aspecto posterior, centro para, 213, 215
 menina, 213
 processo lateral e medial, 212
 sustentáculo do tálus, 212, 231, 232, 233
 tubérculo anterior, 233
 - cálice
 - maior, 196, 197
 - menor, 196, 197
 - polo superior, 194
 - calvária do crânio, 45
 lâmina interna, 45
 lâmina externa, 45
 - câmara anterior do bulbo do olho, 20, 23
 câmara do olho veja bulbo do olho
 - câmara postrema do bulbo do olho e humor vítreo, 21, 23, 44
 - canais ópticos, 11, 13
 canais semicirculares, 9, 15, 17
 superior, 4
 - canal anal, 134, 153, 154, 160, 165, 166, 169, 223
 canal auditivo veia meato acústico
 - canal do pudendo 152, 154, 159
 - canal dos adutores, 222
 - canal femoral, 152, 157, 168
 - canal incisivo, 8
 - canal inguinal, 168, 170
 - canal pterigóideo (canal vidiano), 10, 11
 - canal sacral
 - central, 150
 - parte superior e inferior, 60
 - canal semicircular
 - horizontal, 50
 - posterior, 43, 50
 - superior, 44, 50
 - canal vertebral, 97, 143, 144, 148
 fetal, 202, 203
 sacral, 60
 - canalículos lacrimais, 23
 - capitato, 73, 74, 75, 86
 - capítulo do úmero, 70, 71, 72, 82, 83
 - cápsula
 - articular veja cápsula articular
 - de substância branca veja cápsula externa;
 - cápsula interna
 - cápsula articular
 - articulação do joelho, posterior, 227
 - articulação do ombro
 - anterior, 79
 - posterior, 80
 - cápsula externa, 45, 48
 - cápsula interna
 - exame de PET, 238
 - membro posterior, 45
 - membro anterior, 45, 48
 - cápsula interna, exame de PET, 238
 - carina (bifurcação da traqueia para o brônquio esquerdo/direito), 90, 96, 100, 108, 142
 - carpo, 75
 - cartilagem aritenóidea, 28
 - cartilagem articular, tornozelo, 233
 - cartilagem costal
 - anterior, 103
 - feminina, 136
 - cartilagem cricóidea, 29, 32
 - cartilagem tireóidea, 29, 61
 lâmina, 27
 - cartilagem triradiada, 209
 - cauda equina, 62, 63, 65
 - cavidade do septo pelúcido, 52, 53, 202
 fetal, 202
 - cavidade glenoidal, 68, 69, 79
 veja lábio
 - cavidade nasal, 8
 - meato superior, 10
 - meato inferior, 8, 10
 - meato médio, 8, 10
 - cavidade oral, 29
 - cavidade peritoneal, extravasamento de meios de contraste na, 195
 - cavidade pulpar do dente, 34
 - cavidade timpânica (cavidade da orelha média), 9
 - parte inferior (hipotímpano), 14
 - parte superior (epitímpano), 14
 - teto (tegme timpânico), 6
 - cavidade trigeminal, 17, 18
 gânglio trigeminal na, 49
 - ceco, 131, 132, 137, 139, 141, 157, 167, 172
 visões em outros planos, 172, 179, 180, 181
 - células etmoidais, 2, 6, 3, 8, 21, 23, 43
 anterior, 9, 10
 - média, 9
 - células mastóideas, 8, 15, 43, 51
 - centro semiovale (*centrum semiovale*), 45
 - centro semiovale, 45
 - cerebelo, 46, 47, 52, 53
 fetal, 202
 - hemisféricos, 16, 46, 51
 exame de PET, 238
 - folhas, 42, 46, 47, 51
 - lobo flocculonodular, 43
 - nódulo, 51
 - núcleo dentado, 51
 - tentório do cerebelo, 46
 - tonsila, 42, 47, 51
 - verme
 - inferior, 43
 - superior, 44
 - cérebro do recém-nascido, 52-3
 - cérebro neonatal, 52-3
 - cintilografia hepatobilial, 235
 - cisterna
 - ambiente veja cisterna ambiens
 - cerebelobulbar posterior veja cisterna magna
 - colicular, 45
 - interpeduncular veja cisterna interpeduncular
 - oculomotoria, 18
 - portina, 46, 47, 49
 - suprasellar veja cisterna suprasellar
 - cisterna ambiens, 18, 44
 artéria cerebral posterior em, 38, 40
 nervo abducente em, 50
 - cisterna cerebelobulbar posterior veja cisterna magna (cisterna cerebelobulbar posterior), 43, 46, 47, 51, 64
 - cisterna colicular, 45
 - cisterna do quilo, 205, 206
 - cisterna interpeduncular, 18, 50
 artéria cerebral posterior em, 38
 - cisterna magna (cisterna cerebelobulbar posterior), 43, 46, 47, 51, 64
 - cisterna oculomotoria, 18
 - cisterna portina, 46, 47, 49
 - cisterna suprasellar, 45, 48
 quiasma óptico na, 46, 47
 - cisto de corpo lúteo, 155, 156, 158
 - claustrum, 45
 - clavícula, 27, 56, 58, 69, 79, 90, 96, 100, 108, 136, 138, 145, 149
 cintilografia, 235
 - clivo, 3, 9, 13, 17, 22, 43, 53, 64
 inferior veja parte basilar do occipital
 - côccix, 60, 159, 197
 feminino, 148, 151, 160
 segmento, 173
 - masculino, 134, 163, 169
 - cóclea, 9, 15, 43, 50
 - colangiopancreatografia
 - endoscópica retrógrada, 182
 - RM, 182
 - colículo
 - inferior, 44, 46, 51
 - seminal, 198, 199
 - superior, 45, 46, 47, 51
 - colo, 181
 - arco justacôlico, 186
 - ascendente, 124, 126, 128, 130, 132, 137, 139, 140, 143, 148
 - projeções não transversais, 172, 179, 180, 181
 - descendente, 62, 126, 130, 137, 139, 140, 143, 148, 155, 166
 - projeções não transversais, 172, 180, 181
 - flexuras veja flexura direita do colo; flexura esquerda do colo
 - saculações, 180
 - sigmoide veja colo sigmoide
 - transverso veja colo transverso
 - colo veja colo do útero
 - ligamento redondo, 151, 152
 - ligamento transverso do colo, 151, 159
 - colo do útero, 144, 148, 155, 160, 195
 em ultrassom fetal, 200, 201
 - óstio, 161
 - externo, 150, 161
 - interno, 150, 161
 - parede, 151, 161
 - colo sigmoide, 133, 135, 139, 140, 143, 144, 147, 148, 150, 155, 156, 158, 161, 166, 168, 169
 visões em outros planos, 172, 180, 181
 - colo transverso, 127, 129, 130, 136, 157, 158
 visões em outros planos, 179, 180, 181
 - colonografia, TC, 181
 - coluna/vértebras lombares, 59, 66
 - corpo veja corpo vertebral
 - exame de PET/TC, 239
 - veja também L1; L2 etc.
 - coluna vertebral, 55-63
 - cintilografia, 235
 - exame de PET/TC, 239
 - fetal, 202, 203
 - região cervical, 61
 - coluna vertebral (espinha) veja coluna vertebral
 - coluna vertebral (região cervical), 61
 - cintilografia, 235
 - veja corpo vertebral
 - veja discos intervertebrais
 - exame de PET/TC, 239
 - veja também T1; T4 etc.
 - comissura
 - anterior, 21, 45, 47
 - posterior, 45
 - comprimento cabeça-nádega, 200
 - concha nasal
 - inferior, 2, 8, 10, 30, 42
 - média, 8, 10, 13, 30
 - superior, 9, 10
 - concha veja conchas nasais
 - conchas nasais veja turbinados
 - côndilos
 - da mandíbula, 3, 4, 12, 32
 - cabeça, 7, 8, 14, 34
 - colo, 7, 8, 34
 - lateral do fêmur, 210, 224, 225, 226, 228
 eminência, 228
 - lateral e medial da tibia, 210
 - medial do fêmur, 210, 224, 225, 226, 228
 - occipital, 8, 13, 42, 61
 - cone arterial (cone pulmonar; trato de saída do fluxo ventricular direito), 105, 107, 112, 115, 136, 149
 - cone medular, 62, 63, 65
 - confluência dos seios, 37, 39, 41, 44
 - coração, 94, 112-15, 120, 121, 237
 reconstruções em 3D, 115, 237
 silhueta em cintilografia pulmonar, 236
 ultrassom fetal, 200, 201, 203
 - cordão umbilical, 202, 203
 - corioide, 23
 - córnea, 23
 - corno frontal do ventrículo lateral, 45, 48
 - corno occipital do ventrículo lateral, 45
 - corno temporal do ventrículo lateral, 44, 49
 - coroa do dente, 34
 - coroa radiada, 45, 46, 49
 exame de PET, 238
 - corpo adiposo

- corpo adiposo (cont.)
 tornozelo, 233
 cotovelo, anterior, 80
 infrapatelar, 227, 228
 corpo adiposo da órbita, 22
 corpo adiposo pararenal, 126, 128
 corpo anococcígeo, 169
 corpo caloso, 52
 artéria pericalvosa em extensão ao redor, 36
 corpo, 46, 47, 48, 53
 esplênia, 45, 46, 47, 51, 53
 exame de PET, 238
 joelho, 45, 46, 47, 48, 53
 exame de PET, 238
 corpo cavernoso, 134, 163, 164, 167, 168, 169, 170, 198
 cavernosografia, 198
 ramo do pênis, 134, 164, 167
 corpo cavernoso do pênis veja corpo cavernoso
 corpo ciliar, 21
 corpo do períneo, 153, 155, 160
 corpo esponjoso, 167, 168, 169
 corpo mamilar (do hipotálamo), 19, 45, 50
 corpo vertebral, 58, 96, 104, 108, 124, 126, 130, 175, 177
 C3, 25
 C4, 25
 C5, 57
 C6, 58
 C7, 62
 discos epifisais anulares para veja discos epifisais anulares
 fetal, 202, 203
 lombar
 cintilografia, 235
 L1, 59, 142
 L2, 65
 L3, 63, 235
 L5, 148, 165, 166, 197
 sacral, 159
 torácico, 239
 exame de PET/TC, 239
 T11, 58
 T12, 148
 T6, 58
 corpos geniculados, medial e lateral, 21
 córtex calcarino, 21, 44
 córtex olfatório, 48
 córtex orbital do lobo frontal, 46, 47
 córtex visual, primário (córtex calcarino), 21
 costelas, 58, 136, 144, 145, 146
 cabeça, 16
 décima segunda, 59, 65, 129, 130, 144, 172, 197
 décima, 145
 fetais, 202
 primeira, 56, 57, 58, 64, 90, 146
 cintilografia, 235
 quinta, cintilografia, 235
 cotovelo, 71-2, 82-5
 coxa, 221-3
 artéria femoral profunda, 135, 153, 164, 167, 187, 216, 219, 221, 223
 fáscia profunda da (*fascia lata*), 150, 152, 163, 164, 165, 166, 228
 fetal, 202, 203
 crânio (crâneo), 2-5
 calvária veja calvária
 cintilografia, 235
 fetal, ultrassom, 202
 crista etmoidal, 2, 10, 21, 45
 crista intertrocantérica do fêmur, 208
 crista supraepicondilar, medial, 83, 84
 cuboide, 212, 213, 214, 215, 230, 232, 234
 cuneiforme
 intermédio, 213, 214, 215, 230, 234
 lateral, 212, 213, 214, 215, 230, 234
 medial, 214, 215, 230, 233, 234
- D**
 dedos dos pés, falanges, 214, 215, 216
 dente canino, 34
 dente do áxis, 2, 4, 6, 8, 13, 14, 22, 25, 46, 47, 50, 56, 57, 61, 64
 dentes, 34
 dentes deciduos, 34
 dentição, 34
 diafragma, abdominotorácico, 124, 194
 direita (hemidiaphragma), 97, 137, 141, 143, 144, 147
 abóbada, 90, 91, 105, 107, 175, 177
 pilar, 129, 141, 143, 144, 148
 esquerdo (hemidiaphragma), 96, 137, 141, 143, 144, 149
 abóbada, 90, 91, 105, 107, 174, 176
 pilar, 126, 128, 143, 144
 diafragma urogenital (períneo transverso)
 feminino, 154, 156, 159
 masculino, 167
 diástole
 angiografia do ventrículo esquerdo em, 113
 final de veja diástole
 diástole final
 reconstruções em 3D do ventrículo esquerdo em, 237
 volume de acúmulo de sangue dentro do ventrículo esquerdo em, 237
 dípole, 3, 45
 discos
 articular, da articulação temporomandibular, 7
 intervertebral veja discos intervertebrais
 discos articulares das articulações temporomandibulares, 7
 veja também discos intervertebrais
 discos epifisais anulares do corpo vertebral (região torácica), 58
 veja discos epifisais anulares
 discos intervertebrais
 C3/C4, 56
 lombares
 indentação na margem tecal anterior, 65
 L4/L5, 59, 167, 169
 lombossacrais (L5/S1), 155, 159, 160
 sacrais, espaço do, 60
 torácicos, 58
 núcleo pulposo de T5/T6, 62
 dorso da sela turca, 3, 4, 13, 14, 21, 22
 ducto cístico, 174, 176, 182
 ducto coléodo, 126, 174, 176, 182, 235
 ducto deferente, 133, 170, 199
 ampola, 199
 ducto ejaculatório, esquerdo, 199
 ducto hepático
 comum, 182
 direito, 182
 esquerdo, 182
 ducto lacrimonal 9, 10, 11, 13, 23, 43
 veja também saco lacrimal
 ducto pancreático, 126, 174, 182
 acessório, 182
 parte ampular, 182
 ducto pancreático acessório (ducto de Santorini), 182
 ducto parótideo, 42
 ducto submandibular, 35
- ducto torácico, 205, 206
 ductos intralobulares, 182
 duodeno
 exames baritados com duplo contraste, 178
 flexura duodenoejunal, 129
 parte ascendente, 129
 parte descendente, 124, 126, 128
 visões em outros planos, 178, 179, 182, 235
 parte horizontal, 128, 178
 cintilografia, 235
 parte superior, 127, 139, 178
- E**
 eminência arqueada do osso temporal, 4, 12, 50
 eminência articular do osso temporal, 7
 eminência intercondilar, tubérculos, 210
 encéfalo, 16-17, 36-53
 fetal, 202
 exame metabólico de PET, 238
 vasos, 36-41
 neonatal, novo, 52-3
 endométrio, 161
 epicôndilos
 femoral, lateral e medial, 210
 umeral, 70, 71, 72, 73, 82, 83, 84
 epidídimo, 134
 cabeça, 168, 169
 corpo, 169
 epiglote, 24, 26, 29, 32, 56, 61
 epitímpano, 14
 escapoide, 73, 74, 75, 86
 escápula, 68, 80, 91, 145
 acrônio, 68, 69, 79
 cintilografia, 235
 coluna, 68, 80, 90
 processo coracoide, 68, 69, 79
 escavação retouterina, 151, 155, 161
 esclera, 23
 esfincter
 externo do ânus externo, 134, 154, 160
 esôfago, 27, 93, 96, 109, 140, 142, 148
 entrada, 29
 exame de PET/TC, 239
 espaço do períneo
 profundo, 156
 superficial, 156
 espaço extradural, 62, 63
 espaço faríngeo, 29
 espaço parafaríngeo, 8
 espaço profundo do períneo, 156
 espaço retroperitoneal (cavô de Retzius), 152, 159, 160, 161, 169
 espaço subaracnóideo
 extensão lateral ao redor das raízes do nervo espinal, 65
 líquido cerebrospinal e, 62
 meio de contraste
 região cervical, 64
 região lombar, 65
 nervos espinais no, 65
 espinha veja coluna vertebral
 espinha nasal anterior, 13, 34
 esplêno do corpo caloso veja corpo caloso
 esterno, 91, 93, 102, 120, 136, 149
 cintilografia, 235
 corpo do, 96, 104, 105, 106, 108, 136
 exame de PET/TC, 239
 fetal, 203
 manubrio de veja mandíbula
 xifosterno veja processo xifoide
 estômago, 95, 148
 antro, 137, 178
 corpo, 124, 126, 137, 172, 178
- curvatura maior do, 124, 178
 curvatura menor do, 126, 178
 exames baritados com duplo contraste, 178
 fetal, 202, 203
 fundo, 90, 91, 124, 137, 140, 142, 149, 172, 178
 acúmulo de bário, 178
 parte pilórica, 127, 178
 pregas, 178
 visões em outros planos, 172, 178, 179
 estudos com bário
 estômago/duodeno, 178
 acúmulo de bário no estômago, 178
 intestino delgado, 179
- F**
 face articular veja processos articulares
 face temporal da asa maior do esfenóide, 2
 falanges
 dedos das mãos, 74, 75, 87, 88
 dedos dos pés, 214, 215, 234
 faringe, 24-32
 veja também parte nasal, parte oral, parte laríngea
 fásica
 peitoral, anterior, 120, 121
 renal, 127, 129
 subcutânea (abdome), 129
 toracolumbar, 62, 159, 161
 fásica inferior da diafragma da pelve (de Waldeyer), 151, 159, 161
 fásica lata, 150, 152, 163, 164, 165, 166, 228
 fásica profunda da coxa (fásica lata), 150, 152, 163, 164, 165, 166, 228
 fásica subcutânea (abdominal), 129
 fásica toracolumbar, 62, 159, 161
 feixe neurovascular
 no canal obturatório, 154, 156, 158, 167
 pudendo interno, 152, 154, 159
 retal inferior, 155, 164, 165
 fêmur, 142, 208, 209, 210, 211, 221, 222
 cabeça, 134, 139, 141, 149, 152, 162, 163, 165, 167, 198, 208, 209, 219, 222, 223
 centro para, 209
 cintilografia, 235
 fóvea (fóvea da cabeça), 165, 167, 208
 ligamento (ligamento da cabeça do fêmur), 135, 163
 colo, 135, 152, 163, 165, 167, 208, 209, 220, 223
 côndilos veja côndilos
 diáfise, cintilografia, 235
 epicôndilos, lateral e medial, 210
 fetal, 202, 203
 medição do comprimento, 203
 fossa intercondilar, 209
 intertrocanterico, 208
 linha epifisial, 208, 209, 211
 trocantér maior, 134, 145, 151, 152, 158, 163, 166, 208, 219, 220, 223
 centro de ossificação do, 209
 cintilografia, 235
 trocantér menor, 135, 153, 155, 163, 164, 167, 208
 centro de ossificação do, 209
 tubérculos intercondilares, 210
 fenda intermucular, 63
 fenda natal, 58, 151, 164
 fibula, 211, 212, 213, 229, 230, 232, 233

- ápice da cabeça, 210
cabeça, 210, 224, 226
 centro de ossificação do, 211
colo, 210
distal, centro de ossificação do, 213, 215
maléolo lateral, 212
figado, 95, 120, 121, 144, 149, 182, 235
abóbada, 239
fetal, 202, 203
veia lobos
segmentos 1-8 do, 125
visão em outros planos, 172
 cintilografia, 235, 236
 exame de PET/TC, 239
filamento terminal, 148, 161
fissura horizontal, 84, 91, 92, 94
 veia cerebral magna, 39
fissura longitudinal do cérebro, 45
fissura oblíqua, 93, 95
 direita, 91
 esquerda, 91
fissura orbital
 inferior, 9, 11, 13
 superior, 2, 6, 9, 11, 13
fissura orbital, inferior, 10
flexura direita do colo, 127, 129, 136, 139, 140, 146
 visões em outros planos, 172, 180, 181
flexura esquerda do colo, 124, 126, 128, 136, 139, 140
fluído amniótico, 202, 203
fluorodesoxiglicose no exame de PET do encéfalo, 238
foice do cérebro, 45, 48, 52
 fetal, 202
forame
 abertura lateral do 4º ventrículo, 17, 43, 51
 abertura mediana do 4º ventrículo, 42, 51
 alveolar, inferior (do ramo mandibular), 61
 esfenopalatino, 11
 estilmastóideo veja forame estilmastóideo
 incisivo, 13
 infraorbital, 6
 interventricular, 46, 47, 50, 57
 intervertebral veja forame intervertebral
 isquiático, 145
 jugular, 15, 16, 43
 obturado, 173, 208, 209
 palatino, maior, 12
 sacral, anterior, 60, 133, 173
 transverso veja forame transversário
forame alveolar, inferior, do ramo mandibular, 61
forame esfenopalatino, 11
forame espinhoso, 9
forame estilmastóideo, 15
 nervo facial, 17
forame incisivo, 13
forame infraorbital, 6
forame interventricular, 46, 47, 50, 57
forame intervertebral
 C7/T1, 56
 cervical, 61
 lombar, 59, 63
 ponta de cateter em, 66
forame isquiático, 145
forame jugular, 15, 16, 43
forame lacerado, 9, 14
forame magno, 4, 42, 46, 47, 51, 62, 64
forame neural veja forame intervertebral
forame obturado, 173, 208, 209
forame palatino, maior, 12
forame redondo, 2, 9, 11
forame sacral anterior, 60, 133, 173
forame sacral pélvico, 60, 133, 173
forame transversário, 64
 de C1 (atlas), 61
 artéria vertebral de saída, 38
 de C2 (áxis), 13
fórceps occipital e frontal, 45
fórmica
 da vagina, posterior, 151, 156, 161
 do cérebro, 209
fossa cubital, 235
fossa do crânio
 anterior, asselho, 6
 posterior, 16-17
fossa hipofisial veja sela turca
fossa intercondilar, 209
fossa intratemporal, 49
fossa isquioanal, 223
 feminina, 151, 152, 154, 158, 161
 masculina, 134, 163, 164, 165, 166, 169, 170
fossa mandibular da articulação temporomandibular (ATM), 14
fossa pterigoidea, 8
fossa pterigopatética, 9, 10, 11, 12, 22
fóvea da cabeça do fêmur, 165, 167, 208
fundo
 gástrico veja estômago
 útero, 150, 157, 161, 195
 vesícula biliar, 174, 176
funículo espermático, 135, 162, 168, 169, 170
- G**
- gânglio trigeminal na cavidade de Meckel, 49
genitais, extenos, feto masculino, 203
giro (cerebral)
 do cíngulo, 45, 46, 47, 48
 giro reto, 21
 insular, 45, 48
 pós-central, 45
 pré-central, 45
giro da ínsula, 45, 48
giro do cíngulo, 45, 46, 47, 48
giro pós-central, 45
giro pré-central, 45
giro reto, 21
glândula do pênis, 168, 169, 170
glândula hipofise, 18, 44, 46, 47, 48
glândula lacrimal, 20, 44
glândula parótida, 24, 31, 35, 49
 lobo profundo, 42
 lobo superficial, 42
glândula pineal, 45, 51
glândula seminal, 133, 135, 162, 165, 166, 169, 170, 199
glândula submandibular, 24, 26, 31, 35
glândula suprarrenal, 194
 angiografias, 194
 direita, 127, 142
 esquerda, 126, 194
glândula tireoide, 27, 29, 32
istmo da, 29
 lobo, 29
 direito, 33
glândulas salivares, 35
 veja também glândulas específicas
globo do olho veja bulbo do olho
globo pálido, 45, 49
glote, 28
gordura extraperitoneal (cavo de Retzius/espaço retropúbico), 152, 159, 160, 161, 169
granulação aracnóidea, 45
- H**
- hamato, 73, 74, 75, 86
 hâmulo, 74, 86
hâmulo pterigóideo, 61
hemidiafragma veja diafragma
hemisfério, cerebelar veja cerebelo
- hipocampo, 44, 49
hipotálamo
 corpo mamilar, 19, 45, 50
hipotímpano, 14
histerossalpingografia, 195
humor aquoso, 23
- I**
- íleo, 128, 130, 131, 137, 138, 141, 149, 150
 região proximal, 179
 região terminal, 131, 132, 139, 179, 181
ílio (osso do quadril)
 cintilografia, 235
 crista ilíaca, 59, 60, 165, 173, 209, 220
 centro de ossificação do, 173
 feminina, 137
espinha ilíaca
 anteroinferior, 150, 173, 208
 anterossuperior, 167, 173
feminino, 139, 141, 144, 147, 149, 150, 154, 158
 crista, 137, 155, 156
menina, 206
masculino, 131, 132, 166, 167
incisivos, 34
incisura troclear da ulna, 70
incisura ulnar do rádio, 74
incisura vertebral, inferior
 lombar, 59
 torácica, 58
infundíbulo
 ventrículo direito, 91
íntio, 3, 43
inserção deltóidea do músculo
 levantador da escápula, 29, 54
intestino delgado, 157, 162, 165, 166, 168, 169, 170
 exame de PET/TC, 239
mesentério, 137, 138
 veja também regiões específicas
intestino grosso veja regiões específicas
isquio, 223
 espinha isquiática, 208
 feminina, 208
 masculina, 134, 163
feminino, 145, 147, 149, 152, 153, 154, 158, 173, 209
 ramo, 173
masculino, 134, 135, 163, 164, 165, 167, 173
túber 153, 154, 158, 163, 164, 165, 173, 208, 223
 cintilografia, 235
isquiocavemoso, 164, 167
- J**
- jejuno, 124, 126, 128, 130, 138, 139, 141, 146, 149
 cintilografia, 235
flexura duodenoejeunal, 129
válvulas convientes (pregas circulares), 179
- joelho
 artéria cerebral média, 36, 39
 cápsula interna, exame de PET, 238
 veja corpo caloso
- junção anorrectal, 153, 163
junção esofagogastrica, 141
junção pelviureteral, 196, 197
junção retossigma, 150, 154, 159, 161, 165
junção sacrococcígea, 160
junção vesicoureteral, 153, 196
- L**
- L1, corpo, 59, 142
L2
 corpo, 65
- lâmina, 59
processo articular inferior, 59
- L3
 corpo, 63, 235
 processo articular superior, 59
 processo espinhoso, 59, 65
 processo transverso, 59
- L3/L4, agulha de punção lombar no espaço entre, 65
- L4, nervo espinal, 65
- L4/L5 disco articular/intervertebral, 59, 167, 169
- L5, 169, 170
 corpo, 148, 165, 166, 197
 nervo espinal, 65
 processo espinhoso, 154
 processo transverso, 143
 raiz do nervo, 159, 160, 161, 165
- L5/S1
 articulação dos processos articulares, 165
 disco intervertebral, 155, 159, 160
- lábio articular
 da cavidade glenoidal, 28, 79, 80
 do acetábulo, 219, 220
- lábio maior, 137, 163, 157
- lábio menor, 155, 157
- lamela intertubercular do processo transverso de C4, 56
- lâmina (do arco vertebral), 62, 96
 C2, 61
 C4, 56
 C5, 57
 C6, 56
 L2, 59
- lâmina cibriforme (do osso etmoide), 10, 11, 13
- lâmina do processo pterigoide
 lateral, 8, 11, 42
 medial, 8, 11, 43, 61
- lâmina orbital, 9, 10
- lâmina orbital do osso etmoide (lâmina papirácea), 9, 10
- lâmina orbital do osso frontal, 45
- lâmina perpendicular, osso etmoide, 11
- laríngio, 26-9, 149
- lente, 23, 44
- ligamento amarelo, 61, 62, 63
 indentação posterior na dura-máter a partir de, 64
- ligamento calcaneofibular, 231
- ligamento calcaneonavicular plantar, 232
- ligamento cervical, transverso, 151, 159
- ligamento coracoclavicular, 79
- ligamento coracoumeral, 79
- ligamento deltóideo, 231
 porção profunda, 232
 porção superficial, 232
- ligamento glenoumeral
 inferior, 79
 médio, 80
 superior, 80
- ligamento iliolombar, 155
- ligamento inguinal
 feminino, 152
 masculino, 168
- ligamento interespinal, 63
- ligamento largo do útero, 151, 155, 156, 159, 161
- ligamento longitudinal
 anterior, 63
 posterior, 63
- ligamento meniscofemoral, 227
- ligamento meniscofemoral posterior, 227
- ligamento nucal, 25, 62
- ligamento petroclínóideo, 44
- ligamento púbico inferior, 163
- ligamento redondo
 do fêmur (ligamento da cabeça do fêmur), 135, 163, 219, 220
 do útero, 151, 152

- ligamento retouterino, 151
 ligamento sacroiliaco posterior, 159
 ligamento sacrospinial, 135, 151, 163
 ligamento supraespinal, 62
 ligamento suspensor
 da lente, 23
 da mama, 121, 122
 do pênis, 167, 168
 ligamento talofibular
 anterior, 230
 posterior, 230
 ligamento tibiofibular, 232
 anterior, 230
 posterior, 230
 ligamento transverso
 atlas, 61
 joelho, 227
 ligamento transverso do acetáculo, 220
 ligamento transverso do colo, 151, 159
 ligamento transverso do púbis, 163
 ligamento venoso, fissura do, 124, 126, 136
 ligamentos
 calcaneofibular, 231
 calcaneonavicular plantar, 232
 colateral veia ligamentos colaterais
 coracoclavicular, 79
 coracoumeral, 79
 cruzado veia ligamentos cruzados
 deltóideo veia ligamento deltóideo
 glenoumeral veia ligamento
 glenoumeral
 iliolumbar, 155
 inguinal veia ligamento inguinal
 interespinal, 63
 largo (do útero), 151, 155, 156, 159, 161
 longitudinal veia ligamento
 longitudinal
 meniscofemoral, 227
 nucal, 25, 62
 petroclínideo, 44
 redondo veia ligamento redondo
 retouterino, 151
 sacroiliaco, dorsal/posterior, 159
 sacrospinial, 135, 151, 163
 supraespinal, 62
 suspenso veia ligamento suspensor
 talofibular veia ligamento talofibular
 tibiofibular veia ligamento tibiofibular
 transverso do acetáculo, 220
 transverso do colo, 151, 159
 transverso do púbis, 163
 transverso veia ligamento transverso
 ligamentos colaterais (do joelho)
 fibular, 224, 228
 tibial, 228
 porção profunda, 225
 porção superficial, 225
 ligamentos cruzados
 anterior, 224, 226, 228
 posterior, 224, 225, 228
 ligamentos sacroiliacos posteriores, 159
 linfáticos, 204-6
 linfonodos
 iliaicos, 204, 205
 inguinais, 168, 204, 205
 cadeia lombar veia cadeia lombar
 linfonodos ilíacos, comum e externo, 204, 205
 linfonodos inguinais profundos, 204, 205
 linfonodos inguinais superficiais, 168, 204, 205
 língua, 29, 54, 98
 base, 29
 músculo longitudinal, 31
 músculo transverso, 31
 septo da língua, 230
 língula da mandíbula, 61
 linha alba, 168
 linha de gordura peritoneal, 172
 linha epifisiar
- cotovelo, 72
 fêmur, 208, 209, 211, 226
 mão, 75
 ombro, 69
 tomozelo, 213
 linha intertrocantérica, 208
 líquido cerebrospinal, coluna vertebral, 62, 63
 lobo caudado do fígado, 125
 lobo floculonodular do cerebelo, 43
 lobo frontal, 45, 48, 53
 exame de PET, 238
 parte orbital do, 46, 47
 lobo occipital, 45, 53
 cortex calcarino, 21, 44
 exame de PET, 238
 lobo parietal, 45, 49, 52, 53
 exame de PET, 238
 lobo temporal, 7, 9, 43, 46, 47, 48, 52, 53
 esquerdo, exame de PET, 238
 unco, 44, 51
 lobos
 cérebro veja lobo frontal; lobo
 occipital; lobo parietal; lobo
 temporal
 fígado
 direito, 97, 124, 126, 127, 136, 138, 142, 146, 175, 177
 esquerdo, 124, 126, 136, 138, 175, 177
 pulmão
 inferior, direito, 340
 médio, 120
 segmento anterior do lobo superior, 92, 94
 segmento apical do lobo inferior, 92
 segmento apical do lobo superior
 direito, 92
 segmento apicoposterior do lobo
 superior esquerdo, 92
 segmento basilar anterior do lobo
 inferior, 94
 segmento basilar lateral do lobo
 inferior, 94
 segmento basilar medial do lobo
 inferior, 95
 segmento basilar posterior do lobo
 inferior, 95
 segmento lateral do lobo médio, 92, 94
 segmento lingual superior, 93
 segmento medial do lobo médio, 93, 95
 segmento posterior do lobo
 superior, 93
 veia também brônquio; artéria
 pulmonar
 tireoide veia glândula tireoide
- M**
- maléolo
 lateral, 212, 230, 231, 232, 233, 234
 medial, 230, 231, 232, 233
 mama (feminina), 90, 120-2, 136
 exame de PET/TC, 239
 mandíbula, 4, 6, 30, 35, 46, 47, 54, 57, 149
 ângulo, 34, 56
 cabeça, 43, 49
 canal alveolar no interior da, 34
 condilo veja processo condilar
 corpo, 24, 34
 fossa, 7
 língula, 61
 processo coronoide, 6, 8, 11, 12, 34, 42, 49
 ramo, 2, 6, 8, 11, 14, 31, 34, 42, 61
 manguito rotador, 80
 manúbrio, 90, 93, 97, 102, 105, 107, 108, 136, 146, 149
- martelo, 7, 9, 15
 maxila, 11
 assoalho da órbita, 11
 processo palatino, 6
 processo zigomático, 3, 6
 processo / margem / crista / osso
 alveolar, 8, 11, 30, 34, 46
 espinha nasal anterior, 13, 34
 meato acústico
 externo, 3, 7, 9, 15, 32, 64
 interno, 2, 4, 9, 13, 15, 18, 43, 50
 mediastino, 96-109
 anterior, 91
 cintilografia, 236
 exame de PET/TC, 239
 TC coronal, 100-3
 RM sagital, 104-7
 RM axial, 108-9
 TC axial, 96-9
 medida do diâmetro biparietal, 202
 medula espinal, 51, 62-6, 144, 148
 cervical, 25, 46, 47, 61, 62, 64
 fetal, 202
 fissura mediana anterior, 65
 substâncias cinzenta e branca, 62
 torácica, 62, 64, 65
 medula espinal (região cervical), 25, 46, 47, 61, 62, 64
 medula espinal região lombar, 621, 63, 65, 66
 medula espinal região torácica, 62, 64, 65
 membrana interóssea
 antebraço, 85
 perna, 229, 230
 membro inferior, 207-34
 canais linfáticos periféricos da perna, 206
 vasos sanguíneos, 216-18
 membro superior, 67-84
 vasos, 76-8
 membros veia membro inferior; membro
 superior
 menisco
 lateral
 corno anterior, 226
 corno posterior, 224, 225, 226
 corpo, 225
 medial, 228
 corno anterior, 226
 corno posterior, 224, 226
 corpo, 225
 mesencéfalo, 16-17, 18, 21, 45, 50
 núcleo rubro do, 19
 teto do, 51
 mesentério, intestino delgado, 137, 138
 mesocolo
- músculo adutor magno, 153, 158, 161, 163, 164, 165, 167, 219, 220, 221, 223
 músculo anconeal, 84, 85
 músculo bíceps braquial, 82, 83, 84
 tendão, 79, 82, 83, 84
 cabeça longa, 79
 músculo bíceps femoral, 134, 153, 155, 164, 223, 224, 228
 cabeça curta, 221
 cabeça longa, 221
 tendão, 228
 músculo braquial, 82, 83, 84
 tendão, 84
 músculo braquiorradial, 82, 83, 84, 85
 músculo coccígeo, 159
 músculo constrictor da faringe, superior, 25
 músculo coracobráquial, 79
 músculo deltóide, 79
 tendão, 79
 músculo digástrico
 ventre anterior, 24, 30
 ventre posterior, 24
 músculo eretor da espinha, 62, 96, 108, 124, 126, 128, 131, 132, 140, 144, 154, 159, 160, 169, 170
 músculo esfínter da uretra
 externo, 156, 198
 interno, 157
 músculo espinal da cabeça, 25
 músculo espinal do pescoço, 27
 músculo esplênio da cabeça, 24, 27
 músculo esternocleidomastóideo, 23, 27, 29, 32, 42, 50
 músculo esterno-hiôideo, 27
 músculo extensor curto do polegar,
 tendão, 86, 87
 músculo extensor curto dos dedos, 231, 232, 233, 234
 músculo extensor do dedo mínimo,
 tendão, 86, 87
 músculo extensor dos dedos
 punho, mão, 85
 tendão, 86, 87
 tornozelo, 230
 tendão, 230, 233
 músculo extensor longo do hálux, 229, 230
 tendão, 230, 232, 234
 músculo extensor longo do polegar, 84
 tendão, 86, 87, 88
 músculo extensor longo dos dedos, 224, 229
 tendão, 232, 234
 músculo extensor radial curto do carpo, 83, 84, 85
 músculo extensor radial longo do carpo, 83, 84, 85
 tendão, 86
 músculo extensor ulnar do carpo, 85
 tendão, 86
 músculo flexor curto do hálux, 232, 234
 sesamoide em, 214, 234
 músculo flexor curto do polegar, 87, 88
 músculo flexor curto dos dedos, 231, 232, 233, 234
 tendão, 230, 231, 232, 233, 234
 músculo flexor longo do hálux, 229, 230, 233
 tendão, 230, 231, 232, 233, 234
 músculo flexor longo do polegar, tendão, 86, 87, 88
 músculo flexor longo dos dedos, 230, 233, 234
 tendão, 230, 231, 232, 233, 234
 músculo flexor profundo dos dedos, 82, 83, 84, 85
 tendão, 86, 87, 88

- músculo flexor radial do carpo, 83, 84, 85
tendão, 86
- músculo flexor superficial dos dedos, 82, 83, 84, 85, 86
tendão, 86, 87, 88
- músculo flexor ulnar do carpo, 82, 83, 84, 85
tendão, 86
- músculo gastrocnêmio
aponeurose, 229
cabeça lateral, 222, 224, 226, 229
cabeça medial, 224, 227, 228, 229
tendão, 227
- músculo gêmeo, 134, 155, 165, 219, 220, 223
- músculo genioglosso, 24, 30
- músculo gênio-hióideo, 26, 30
- músculo glúteo máximo, 133, 134, 141, 144, 147, 148, 150, 152, 154, 158, 161, 162, 164, 165, 167, 170, 219, 220, 221
- músculo glúteo médio, 133, 134, 139, 141, 145, 150, 153, 154, 156, 161, 162, 165, 166, 219, 220
- músculo glúteo mínimo, 133, 134, 150, 156, 161, 162, 165, 166, 219, 220
inserção tendínea, 153
- músculo grátil, 134, 155, 157, 167, 221, 223, 228
tendão, 224
- músculo hipoglosso, 30
- músculo ilíaco, 132, 138, 140, 143, 150, 155, 156, 158, 165, 168, 220
- músculo iliopsoas, 134, 137, 138, 146, 151, 153, 157, 158, 161, 162, 164, 219, 220, 222, 223
tendão, 163, 164
- músculo infraespinal, 79, 96, 145
tendão, 79
- músculo intercostal, 145
- músculo latíssimo do dorso, 96, 124, 126, 130, 141, 145
- músculo levantador da escápula, 26
- músculo levantador da pálebra
superior, 20, 22
- músculo levantador do ângulo da boca, 94
- músculo levantador do ânus, 60, 223
feminino, 151, 154, 156, 158, 160
masculino, 134, 163, 165, 166
- músculo levantador do lábio superior e da asa do nariz, 42
- músculo levantador do véu palatino, 32
- músculo longitudinal da língua, 31
- músculo longo da cabeça, 25, 26, 42
- músculo longo do pescoço, 25, 26, 27
- músculo longissímo da cabeça, 25
- músculo lumbilic, 87, 88
- músculo masseter, 8, 11, 12, 24, 31, 42, 48
- músculo milo-hióideo, 24, 31
- músculo multifido, 25
- músculo oblíquo (abdomen)
externo, 126, 128, 130, 133, 136, 150, 157, 166, 168
aponeurose do, 150
interno, 128, 130, 133, 136, 157, 166
- músculo oblíquo (órbita)
inferior, 22
superior, 20
- músculo oblíquo inferior da cabeça, 25
- músculo obturador externo, 135, 137, 141, 143, 153, 155, 156, 158, 159, 163, 165, 167, 220, 222, 223
- músculo obturador interno, 135, 141, 143, 151, 152, 154, 155, 156, 158, 165, 166, 219, 220, 223
tendão, 219
- músculo oponente do dedo mínimo
pé, 234
- mão, 87, 88
- músculo oponente do polegar, 87, 88
- músculo orbicular da boca, 25, 29, 54
- músculo orbicular do olho, 22
- músculo palatofaringeo, 31
- músculo palmar longo, 84, 85
tendão, 86
- músculo pectíneo, 135, 137, 152, 153, 158, 164, 165, 167, 168, 170, 219, 220, 222, 223
- músculo peitoral maior, 96, 109, 120, 121, 138, 149
fáscia, 120, 121
- músculo peitoral menor, 80, 96, 109, 121, 138
- músculo piriforme, 133, 135, 150, 154, 158, 165, 222
inserção, 154
origem, 161
- músculo plantar, 227
tendão, 230
- músculo platísmo, 24, 26, 30
- músculo poplíteo, 224, 228
tendão, 224, 226, 228
ventre, 226
- músculo pré-vertebral, 29
- músculo pronador redondo, 82, 83, 84, 85
- músculo psoas, 63, 130, 138, 141, 150
margem, 172
psoas maior, 62, 127, 128, 132, 143, 146, 155, 156, 158, 166
psoas menor, 143
- músculo pterigóide
lateral, 8, 11, 12, 31, 42, 49
medial, 8, 11, 24, 31, 42, 49
- músculo puborrectal
feminino, 151, 152, 155, 160
masculino, 169
- músculo pubovaginal, 156
- músculo quadrado do lombo, 128, 130, 143, 144
- músculo quadrado femoral, 135, 153, 155, 164, 165, 220, 222, 223
- músculo quadrado plantar, 230, 231, 232, 234
- músculo redondo menor, 80
- músculo reto
inferior, 20, 22, 43, 46
lateral, 20, 21, 23, 44
exame de PET, 238
medial, 21, 23, 44
exame de PET, 238
superior, 20, 21, 22, 44
- músculo reto do abdome, 127, 128, 130, 132, 133, 135, 136, 149, 150, 152, 158, 160, 168, 169, 170
- músculo reto femoral, 135, 157, 161, 162, 164, 168, 220, 221, 222, 223
tendão, 219
- músculo sartório, 133, 135, 137, 152, 157, 161, 162, 164, 219, 220, 221, 222, 223, 224, 228
- músculo semiespinal da cabeça, 25, 27
- músculo semiespinal do pescoço, 27
- músculo semimembranáceo, 135, 153, 164, 221, 222, 223, 224, 227, 228
tendão, 227
- músculo semitendíneo, 135, 153, 164, 219, 221, 222, 223
tendão, 227, 228
- músculo serrátil anterior, 97, 109, 127, 139
- músculo sóleo, 224, 226, 230, 233
- músculo subescapular, 80, 97, 109, 145
tendão, 80
- músculo supinador, 82, 84, 85
- músculo supraespinal, 80, 97, 145
tendão, 80
- músculo temporal, 7, 8, 11, 23, 31, 42, 44, 48
- músculo tensor da fáscia lata, 133, 135, 152, 161, 162, 167, 216, 221
- músculo tensor do tímpano, tendão, 15
- músculo tibial anterior, 225, 227, 229
tendão, 230, 232, 233
- músculo tibial posterior, 225, 229, 230
tendão, 230, 231, 232, 233
- músculo tireo-hióideo, 32
- músculo transverso da língua, 31
- músculo transverso do abdome, 129, 130, 133, 136, 157, 166
- músculo transverso do perineo veja diafragma urogenital
- músculo trapézio, 25, 27, 51, 80, 97, 109
- músculo tríceps braquial
cabeça lateral, 82, 83, 84
cabeça longa, 84
cabeça medial, 82, 83, 84
tendão, 82
- músculo vasto intermédio, 135, 153, 219, 220, 221, 222, 223
- músculo vasto lateral, 135, 153, 157, 163, 164, 167, 219, 221, 222, 223
- músculo vasto medial, 157, 221, 222, 225, 227
- músculo vocal, 28, 32
- músculos veja **músculos específicos**
- músculos escalenos, anterior/médio/posterior, 28
- músculos fibular curto e longo
- músculos infra-hióideos, 28, 29
- músculos interósseos dorsais
mão, 87, 88
pé, 234
- músculos interósseos
mão
dorsal, 87, 88
palmar, 87, 88
pé, 234
dorsal, 234
plantar, 234
- músculos interósseos palmares, 87, 88
- músculos interósseos plantares, 234
- músculos papilares, 96, 101, 109
- músculos posteriores da coxa, origem, 154, 158, 163, 165
- N**
- narinas, 8
- nariz, 29, 54
veja também **entradas no termo nasal**
- nervo(s) veja **nervos específicos**
- nervo abducente (NC VI), 16, 18, 49
na cisterna arbiens, 50
- nervo alveolar, inferior, 49
- nervo anal, inferior, 163
- nervo auditivo, 18
- nervo auriculotemporal, 50
- nervo coclear, 17
- nervo espinal
cervical, 63
lombar, 65
S1 (nervo sacral), 154
- nervo facial (NC VII), 16, 18, 43, 50
em forame estilomastóideo, 17
- nervo femoral, 221
ramos, 151, 162
- nervo fibular, comum, 224, 228
- nervo glossofaríngeo (NC IX), 16, 18
- nervo hipoglosso (NC XII), 18
- nervo isquiático, 135, 145, 151, 153, 154, 158, 162, 164, 165, 221
- nervo maxilar, 49
- nervo mediano, 84, 85, 86
- nervo obturatório, 163, 219
veja também **nervo coclear; nervo vestibular**
- nervo oculomotor (NC III), 18, 49
- nervo oftálmico, 49
- nervo olfatório (NC I), 18, 21, 45
- nervo óptico (NC II), 9, 18, 20, 23, 44, 46, 47, 49
parte infraorbitária, 21
- parte intracanalicular, 19, 21
- parte intracraniana, 19, 21, 22
- parte intraocular, 19, 22
- nervo plantar
lateral, 231, 234
medial, 231, 232, 234
- nervo radial, 84, 85
- nervo sacral
S1, 154
raiz, 159
S2, raiz, 159
- nervo tibial, 221, 225
- nervo trigâmico (NC V), 18, 50
ramo maxilar, 49
ramo oftálmico, 49
- nervo troclear (NC IV), 18-19, 49
- nervo ulnar, 84, 85, 86
- nervo vago (NC X), 16
- nervo vestibular, 17
- nervo vestibulococlear (NC VIII), 16, 43, 50
veja também **nervo coclear; nervo vestibular**
- nervos crânicos, 18-19
- núcleo caudado
cabeca, 45, 46, 48, 52, 53
exame de PET, 238
- corpo, 45, 50, 52, 53
- núcleo dentado do cerebelo, 51
- núcleo lenticiforme, 46, 47
- núcleo pulposo, 63
T5/T6, 62
- núcleo rubro do mesencéfalo, 19
- O**
- occipício, 64
veja também **parte basilar**
- olécrano, 70, 71, 72, 82, 83, 84
- olécrano, fossa do, 70, 82, 83, 84
- órbita, 20-3
assolo, osso maxilar, 11
- teto, osso frontal, 11
- orelha, 14-15
externa, 3, 7, 42
tragó, 50
interna, 12
- média, 12
cavidade da veja cavidade timpanica
interna, 9
- ossículos (bigorna e martelo), 67
- órgão renal veja rim
- origem comum dos músculos extensores, 83, 84
- origem comum dos músculos flexores, 83, 84
- origem tendínea comum
dos músculos posteriores da coxa, 154, 158, 163, 165
- no cotovelo
extensores, 83, 84
flexores, 83, 84
- ossículos da orelha média (bigorna e martelo), 67
- osso alveolar/processo alveolar/márgem alveolar/crista alveolar da maxila, 8, 11, 30, 34, 46
- osso do quadril, 209
- osso esfenóide
basifenoide veja parte basilar
- plano esfenoidal, 2
- asa maior, 2, 3, 7, 9, 11, 48, 53
superfície temporal do, 2
- corpo, 2, 14, 44, 49
- asa menor, 2, 6, 11

- osso etmoide**
 lâmina perpendicular, 11
 lâmina orbital, 9, 10
 lâmina cibiforme, 10, 11, 13
- osso frontal, 10**
 incisura etmoidal, 11
 lâmina orbital, 45
 processo zigomático, 6, 7
 teto da órbita, 11
- osso hioide, 34, 57**
 como maior, 25, 29
 corpo, 25, 29
- osso navicular, 212, 213, 214, 215, 230, 231, 232, 233**
- osso occipital, 57**
 parte basilar
 escama, 4
 protuberância extrema, 3
 írio, 3, 43
 condilo, 8, 13, 42, 61
- osso occipital, escama occipital, 4**
- osso palatino, lâmina horizontal, 6**
- osso(s), punho e mão, 74-5**
 veja também ossos específicos
- osso temporal, 14-15**
 processo zigomático, 7
 tubérculo articular, 7, 12
 parte petrosa, 2, 43
 ápice, 9
 eminência arqueada, 4, 12, 50
 processo mastoide, 2, 4, 6, 15, 42, 61
 processo estiloide, 8, 12, 14, 24, 61
- ossos do tarsô, 213**
- ossos faciais, 6, 8-13**
 cintilografia, 235
- ossos metacarpais, 73-88**
 fetais, 203
- ossos nasais, 6, 9, 10, 13**
 cintilografia, 235
- ossos sesamoídes**
 punho, 74
 tornozelo, no músculo flexor curto do hálux, 214
- ovário**
 cistos fisiológicos (corpo lúteo), 155, 156, 158
 direito, 150, 155, 158
 esquerdo, 150, 156
- P**
- palato**
 duro, 8, 10, 23, 30, 42, 48
 mole, 3, 6, 29, 31, 49
- pálpebras, 10, 23**
- pâncreas, 146**
 cabeça, 124, 126, 138, 174, 176
 cauda, 127, 141, 149, 175, 177
 colo, 126, 138, 177
 corpo, 124, 126, 138, 141, 149, 174, 176
 visões em outros planos, 174, 175, 176, 177
- papila ileal, 179**
- papila mamária, 120**
- papila, renal, 175, 196**
- parede lateral da órbita, 11**
- parede lateral do seio cavernoso, 48**
- parte abdominal da aorta, veia aorta**
- parte basilar**
 do esfenóide, 50
 do osso occipital, 2, 3, 14, 50, 56
 medula do, 41
- parte cervical da artéria carótida interna, 36**
- parte esponjosa da uretra, 198**
- parte interarticular**
 C4, 56
 C7, 56
 região lombar, 59
- parte intertrocanterica do fêmur, 154**
- parte laríngea da faringe, 24, 26-9**
- parte marginal do músculo orbicular da boca, 29, 54**
- parte nasal da faringe, 8, 10, 11, 24, 29, 32, 42, 46, 47, 48**
- parte oral da faringe, 6, 24, 29, 32, 48**
- parte periférica do músculo orbicular da boca, 29, 54**
- parte pilórica do estômago, 127, 178**
- parte tibiotalar da articulação do tornozelo, 233**
- pata anserina, 225**
- patela, 209, 211, 226, 228**
 cintilografia, 235
- pedúnculos cerebelares**
 inferior, 46, 51
 médio, 43, 46, 47
 superior, 18, 44, 46, 47, 51
- pedúnculos cerebrais, 19, 21, 45, 46, 47, 50**
 médio, 51
- peito veia tórax**
- pelve (região pélvica), 132-49, 154-61, 169-70, 187-9, 209**
- menina, 209**
- RM axial**
 feminina, 151-3
 masculina, 162-4
- RM coronal**
 feminina, 154-8
 masculina, 165-8
- RM sagital**
 feminina, 158-61
 masculina, 169-70
- TC axial, masculina, 132-5**
- TC coronal, feminina, 136-45**
- TC sagital, feminina, 146-9**
- ultrassom fetal, 203**
- visões em outros planos**
 feminina, 173, 188
 linfáticos, 204
 masculina, 173, 189, 198-9
 vasos sanguíneos, 187-9
- visões anteroposteriores, 172**
- pelve renal, 127, 129, 196**
- pênis**
 bulbo, 134, 164, 167
 corpo esponjoso, 167, 168, 169
 corpus cavernosum veia corpo cavernoso
 glânde, 168, 169, 170
 ligamento suspensor, 167, 168
 pilar do, 134, 164, 167
- pericárdio, 97, 101, 104, 105, 106, 109**
 recessos, 109
 superior, 93, 97
- peroneal/perônio. veia em fibular**
- pilar**
 diafragma veia diafragma
- piramidal, 73, 74, 75**
- pisiforme, 73, 74, 86**
- placenta, 202, 203**
- plano esfenoidal, 2**
- plexo coriôideo, 49, 52, 53**
 fetal, 202
- plexo lombar, 155**
- plexo pampiniforme de veias, 186, 189**
- plexo sacral (de veias), 160, 188**
- plexo venoso**
 cutâneo plantar, 217
 região crural, 218
 sacral, 66
- plexo venoso cutâneo plantar, 217**
- plexo venoso sacral, 66**
- plexo venoso vertebral, longitudinal, 66**
- plexos venosos vertebrais longitudinais, 66**
- polegar**
 artéria da face radial do, 78
 falange distal, 74, 87, 88
 falange proximal, 74, 88
- fetal, 203**
- ponte, 16, 21, 22, 43, 46, 47, 50**
 tegumento, 46, 47
- ponto de Sylvius, 36**
- porção colicolar da artéria cerebral posterior, 38, 40**
- porção intracraniana**
 artérias carótidas internas, 36, 44
 nervo óptico, 19, 21, 22
- porção/parte petrosa**
 artéria carótida interna, 9, 14, 33, 36
 osso temporal veia osso temporal
- prega ariepiglótica, 27**
- prega axilar, anterior, 90**
- prega transversa do reto, 154, 159**
- prega transversa do reto (de Houston), 154, 159**
- prega vestibular, 32**
- pregas circulares, jejunio, 179**
- pregas gástricas, 178**
- pré-molares, 34**
- processo clinoide, anterior, 3, 11, 13, 21, 48**
- processo coracoide da escápula, 68, 69, 79**
- processo coronóide**
 mandíbula, 6, 8, 11, 12, 34, 42, 49
 ulna, 70, 82
- processo estiloide**
 fibula, 209
 osso temporal, 8, 12, 14, 24, 61
 rádio, 74
 ulna, 73, 86
- processo frontal do zigomático, 3, 6**
- processo mamilar, 59**
- processo mastoide, 2, 4, 6, 15, 42, 61**
- processo palatino da maxila, 6**
- processo temporal do osso zigomático, 6**
- processo transverso, 97**
 C1/atlâs, 12, 13, 15, 57, 61
 C2/áxis, 57
 C4, 56
 C5, 56, 57
 C7, 56, 64
 L3, 59
 L5, 143
 tubérculos das veias tuberculosas
 vértebras torácicas, 58
 T1, 56
- processo xifoide, 97, 103, 105, 106, 136, 149**
- processo zigomático**
 osso frontal, 6, 7
 osso temporal, 7
- processo zigomático da maxila, 3, 6**
- processos articulares**
 inferior
 C1, 57, 61
 C4, 56
 L2, 59
 torácico, 58
 superior
 C1, 57
 C2, 57
 C4, 56
 C5, 56
 L3, 59
 vértebras sacrais, 60
 vértebras torácicas, 58
- processos espinhosos, 56-62, 144**
- próstata, 135, 163, 166, 169, 170**
 ultrassom do reto, 199
 zona de transição, 199
 zona periférica, 199
- púbis (osso púbico), 160**
 corpo, 134, 153, 159, 160, 167, 168, 169
 visões em outros planos, 173
 feminina, 148, 152, 153, 155, 156, 157, 158, 159, 160
- menina, 209**
- junção não ossificada entre o ísquio e, 209**
- masculina, 134, 135, 163, 167, 168, 169**
- ramo**
 inferior, 134, 155, 156, 167, 173, 208
 superior, 60, 135, 139, 152, 157, 158, 163, 167, 173, 208
- sínfise veia sínfise púbica**
- tubérculo, 173**
- visões em outros planos, 173, 208, 209**
- pulmões, 93-6, 118-19, 236**
- cintilografia, 236**
- direito, 138, 140, 146, 148, 236, 239**
 239
- esquerdo, 138, 140, 149, 236, 239**
- exame de PET/TC, 239**
- fissuras veia fissura horizontal; fissura obliqua**
- veia lobos**
- vasculatura, 110-11**
- putame, 45, 48**
- varredura PET, 238**
- Q**
- quadril, 208, 219-20**
- quiasma óptico, 19, 21, 45, 48**
 na cisterna supraselar, 46, 47
- R**
- radiação óptica, 45**
- rádio, 70, 71, 72, 73, 74, 75, 77, 82, 83, 84, 85, 86**
 cabeça, 70, 71, 72, 82, 83, 84
- colo, 70**
- fetal, 203**
- incisura ulnar, 74**
- processo estiloide, 74**
- tubérculo dorsal, 86**
- tuberossidade, 70, 83**
- rafe da faringe, 50**
- raiz anterior do nervo, 64**
- raiz posterior (do nervo espinal)**
 cervical, 64
 gânglio sensitivo, 62
- raízes**
 dentárias, 34
 do nervo espinal veia raízes do nervo espinal
- raízes dos nervos espinais, 62, 63, 65**
- C8 veia C8**
- dorsal veia raiz posterior**
- extensão lateral ao redor do espaço subaracnóideo**
- L5, 159, 160, 161, 165**
- sacrais veia S1; S2; S3**
- ventral, 64**
- raízes dos nervos, espinal veia raízes do nervo espinal**
- ramo**
 do ísquio, 173
 da mandíbula, 2, 6, 8, 11, 14, 31, 34, 42, 61
 do púbis veia púbis
- ramo / segmento do verme**
 artéria cerebelar inferior posterior, 38
- artéria cerebelar superior, 38**
- ramo carpal palmar da artéria ulnar, 78**
- ramo circumflexo da artéria coronária esquerda, 108, 113, 114, 115**
- ramo marginal obtuso veia ramo marginal esquerdo**
- ramo deltóideo da artéria toracoacromial, 117**
- ramo do cone arterial, 113**
 direita, 114
- ramo do nó atrioventricular, 113, 114**
- ramo do nó sinoatrial, 113**
- ramo do pênis/corpo cavernoso, 134, 164, 167**
- ramo etmóide da artéria oftalmica, 36**

- ramo frontal da artéria cerebral anterior, 36
 ramo interventricular
 anterior, da artéria coronária
 esquerda, 96, 108, 113, 114, 115
 posterior, da artéria coronária direita, 113, 114
 ramo labial da artéria facial, 33
 ramo lingual (artéria pulmonar)
 inferior, 110
 superior, 110
 ramo marginal esquerdo, obtuso, 114
 primeiro, 113
 ramo marginal, direito, 114
 direita, 113
 ramo meníngeo da artéria vertebral, 38
 ramo palmar profundo da artéria ulnar, 78
 ramo ventricular (da artéria coronária)
 direito, 114
 lateral, para ventrículo esquerdo, 113
 ramos angulares da artéria cerebral
 média, 36
 ramos corioideos da artéria cerebral
 posterior, 38
 ramos diagonais (vasos coronários), 113, 114
 ramos esofágicos
 artéria gástrica esquerda, 185
 veia gástrica esquerda, 185
 ramos esplênicos da artéria cerebral
 posterior, 38
 ramos hemisféricos
 artéria cerebelar inferior posterior, 38
 artéria cerebelar superior, 38
 ramos ileais da artéria mesentérica
 superior, 131, 139, 185
 ramos insulares/segmento da artéria
 cerebral média em, 36, 40
 ramos jejunais da artéria mesentérica
 superior, 131, 139, 183, 185
 ramos mamários da artéria torácica
 lateral, 120
 ramos perfurantes da artéria torácica
 interna, anterior, 120, 121
 ramos perfurantes do tálamo
 artéria cerebral posterior, 38
 artéria cerebelar superior, 38
 ramos temporais da artéria cerebral
 média, anterior, 36
 recesso alveolar, 8
 recesso axilar, 79
 recesso hepatorenal, 174, 176
 região crural, 229
 arteriografia, 127
 canais linfáticos periféricos da perna, 206
 linfáticos, 206
 plexo venoso, 218
 ressonância magnética
 colangiocreatografia, 182
 retina, 23
 retináculo
 dos músculos extensores, tornozelo, 230
 dos músculos fibulares, 230
 dos músculos flexores veja retináculo
 da patela, medial e lateral, 227, 228
 retináculo dos músculos flexores
 punho, 86
 tornozelo, 230
 reto, 60, 133, 135, 143, 144, 147, 148, 152, 154, 162, 166, 169, 170, 223
 ampola, 154, 159, 160, 165
 feixe neurovascular inferior, 155, 164, 165
 parede, 199
 pregas transversas, 154, 159
 ultrassonografia prostática via, 199
 visões em outros planos, 172, 180, 181
 rim, 63, 126, 127, 128, 129, 140, 142, 145, 146, 172, 175, 177, 196, 197, 203, 235, 236
 veia cállice
 cintilografia, 235
 córtex, 127, 128
 exame de PET/TC, 239
 fásica, 127, 129
 fetal, 203
 papila, 175, 196
 pelve, 127, 129, 196
 polos inferiores, 194
 polos superiores, 194, 196
 veja também entradas no termo renal
- S**
- S1
 espaço do disco, 60
 nervo sacral, 154
 raiz, 159, 160, 161
 veja também L5/S1
- S1/S2
 forame sacral, 60
 saco tecal, região terminal, em, 65
- S2 raiz do nervo, 159, 160, 161
 forame sacral para, 60
- S3 raiz, 160
 saco gestacional, 200, 201
 saco lacrimal, 10, 23
 saco tecal, 63, 65, 127, 129, 133, 154, 161, 165, 169, 170
 caudal lombar, 63
 indentação do disco intervertebral, 65
 indentação do ligamento amarelo, 64
 sacro, 60, 135, 160, 169, 170
 asa, 60, 133, 154, 158, 165, 197
 cintilografia, 235
 corpo, 159
 crista, 173
 mediana, tubérculo espinhoso
 em, 60
 feminino, 142, 144, 147, 148, 150, 154, 158, 159, 160, 173
 masculino, 133, 135, 162, 165, 169
 promontório, 59, 60, 63, 65
 visões em outros planos, 59, 60, 63, 65, 173
 saculações do colo, 180
 segmento lingual (pulmões)
 inferior, 94
 superior, 93, 95
 segmento pré-ganglionar do NC V
 (trigêmeo), 18
 segmento retrotonsilar da artéria
 cerebelar inferior posterior, 38
 segmento supratonsilar da artéria
 cerebelar inferior posterior, 38
 seio
 paranasal veja seios paranasais
 venoso da dura-máter, confluência do, 37, 39, 41, 44
 veja também seios específicos
 seio/antro maxilar, 2, 6, 8, 10, 11, 12, 22, 30, 34, 43, 46, 47
 seio cavernoso, 23, 37, 48
 artéria carótida interna em, 9, 36, 44, 46
 parede lateral da dura-máter, 48
 seio coronário, 96
 direito, 114
 esquerdo, 113
 seio da aorta, 113
 posterior, 114
 seio do tarso, 232, 233, 234
 seio esfenoidal, 2, 6, 8, 9, 10, 11, 21, 31, 43, 46, 47, 48
 seio esfenoparietal, 37
 seio frontal, 2, 3, 10, 44, 46, 47
 infundíbulo, 44
 seio petroso, superior, 39
 seio reto, 37, 39, 41, 44, 48
 seio sagital
 inferior, 36, 37, 45, 51
 superior, 17, 36, 37, 41, 44, 48
 seio sigmóideo, 33, 37, 39, 41
 seio transverso, 37, 39, 41
 direito, 37, 39
 esquerdo, 39
 sulco do, 4
 seios paranasais, 6, 8-13
 sulco do seio sigmóideo, 7
 veja também seios específicos
 seios venosos, confluência dos, 37, 39, 41, 44
 veja também seios venosos
 específicos
 sela turca (fossa hipofisária) 3, 6, 13, 22
 assoalho, 9
 semilunar, 73, 74, 75, 86
 septo interatrial, 96, 100, 108
 fetal, 203
 septo interventricular, 97, 101, 104, 105, 106, 108, 109
 cintilografia, 237
 exame de PET/TC, 239
 fetal, 203
 septo interventricular (parte
 membranácea), 101, 108
 septo lingual veja língua
 septo nasal, 2, 4, 6, 8, 10, 30, 34, 42
 septo pelúcido, 45, 48
 cavidade do veja cavidade do septo
 pelúcido
 sincondrose esfenoccipital
 (basisfenóide – basioccipício), 3, 50
 sínfise pública, 60, 135, 137, 153, 157, 160, 163, 167, 168
 visão em outros planos, 173, 209
 sistema biliar, 182
 cintilografia, 235
 sístole final
 reconstruções em 3D do ventrículo
 esquerdo em, 237
 volume de acúmulo de sangue dentro
 do ventrículo esquerdo em, 237
 substância branca
 encéfalo, 45
 medula espinal, 62
 substância cinzenta, cérebro, 45
 medula espinal, 62
 substância negra, 19
 sulco carótico, 3
 sulco central, 45, 46
 sulco de cíngulo, 46
 sulco intertuberculolar do úmero, 68
 sulco lateral, 45, 46, 47, 48, 52
 sulco pré-auricular, 60
 sulcos cerebrais
 central, 45, 46
 lateral, 45, 46, 47, 48, 52
 sulco do cíngulo, 46
 sustentáculo do tálus, 212, 231, 232, 233
 sutura coronal, 3, 4
 fetal, 202
 sutura frontozigomática, 6
 sutura lambdóidea, 2, 3, 4
 fetal, 202
 sutura sagital, 2, 4
- T**
- T1, 58
 processo espinhoso, 56
 processo transverso, 56
 T11, corpo vertebral, 58
 T12, corpo vertebral, 148
 T4, processo espinhoso, 62
 T5/T6, núcleo pulposo, 62
 T6
 pedículo, 58
 processo espinhoso, 58
 tálamo, 45, 50, 52, 53
 aderência intertalâmica do, 50
 exame de PET, 238
 fetal, 202
 talus, 212, 213, 214, 215, 230, 232, 233, 234
 cabeca, 212, 231, 233, 234
 colo, 212, 233, 234
 tubérculo medial, 212
 tecidos moles retrofaríngeos, 29
 tecidos moles, pescoço, 29
 tegme timpanico, 7
 tegumento da ponte, 46, 47
 tendão da patela, 226, 228
 tendão calcâneo (tendão de Aquiles), 230, 233
 tendão do músculo quadríceps femoral, 222, 226
 tendões veja origem tendínea comum e
 tendões específicos
 tentório do cerebelo, 46, 51
 testículo, 135, 167, 168, 169, 170
 ectópico, no canal inguinal, 189
 venografia, 189
 teto do mesencéfalo, 51
 tibia, 210, 211, 212, 213, 215, 230, 232, 233
 cintilografia, 235
 coluna vertebral, 227
 côndilos, lateral e medial, 210
 face articular superior, 228
 lateral e medial, 226
 tuberossidade da, 210, 211, 227, 229
 tonsila(s)
 do cerebelo, 47
 faríngea, 13, 31
 palatina, 24, 32
 tórax, 89-122
 fetal, parede anterior, 203
 TC coronal, 100-3, 136-45
 TC sagital (sequencial), feminina, 146-9
 vasos, 116-17
 tomózelo, 212-14, 213, 230-3
 cintilografia, 236
 toro tubário, 8
 trabécula septomarginal, 190
 fetal, 203
 trabéculas do ventrículo direito, 112
 trago, 50
 trapézio, 73, 74, 75, 88
 trapezoide, 73, 74, 75, 88
 traqueia, 28, 29, 32, 57, 58, 62, 90, 91, 93, 97, 102, 105, 107, 109, 118, 119, 140, 148
 carina, 90, 96, 100, 108, 142
 trato iliotibial, 134, 153, 164, 221, 223, 224, 228
 trato olfatório e bulbo, 19
 trato óptico, 21, 45, 49
 trato pulmonar de fluxo de saída (do
 ventrículo direito: cone arterial), 105, 107, 112, 115, 136, 149
 trocanteres do fêmur veja fêmur
 tróclea do úmero, 70, 72, 82, 83
 tronco braquiocefálico, 33, 92, 96, 100, 104, 105, 106, 108, 117, 138
 tronco bronquial, comum, 116
 tronco celíaco, 105, 107, 124, 140, 148, 184
 angiografias por subtração, 184
 ponta de cateter em, 184
 visões em outros planos, 174, 176, 183, 184
 tronco costocervical, 33, 117

- tronco encefálico, 52, 53
artérias cerebelares superiores, 38
exame de PET, 238
- tronco intercostobronquial, ponta de cateter no, 116
- tronco lombossacral, 154, 165
- tronco pulmonar, 90, 91, 97, 101, 104, 106, 109, 136
- tronco tireocervical, 117
ponta de cateter no, 33
- tubas auditivas, 9, 32
- tubas uterinas, 155, 156, 159, 195
ampola, 195
direita, 150
istmo, 195
- túberculo
articular, para articulação temporomandibular, 3
da eminência intercondilar, 210
- do adutor, 227
- do calcâneo, anterior, 233
- do processo transverso
C1, 13, 64
C2, 61
C4, 56
C5, 57
- do rádio, dorsal, 86
- do tálus, medial, 212
- espinhosos, da crista sacral mediana, 60
mentual (da mandíbula), 34
púbico, 173
- túberculo articular para articulação temporomandibular, 3
- túberculo da sela, 3
- túberculo do adutor do fêmur, 227
- túberculo dorsal do rádio, 86
- túberculo espinhosos da crista sacral mediana, 60
- túberculo mental, 34
- tuberossidades
túberculo
maior, 68, 69, 79
menor, 68
- base do quinto metatarsal, 212, 214, 231
- radial, 70, 83
da tibia, 210, 211, 227, 229
- tubo endotraqueal, 33
- tubo nasogástrico, extremidade do, 194
- túnel ulnar, 86
- U**
- ulna, 71, 72, 73, 75, 77, 83, 84, 85, 86
cabeça, 74
distal, 74, 75
estiloide, 73, 86
fetal, 203
incisura troclear, 70
olécrano, 70, 71, 72, 82, 83, 84
processo coronoide, 70, 82
- ulassom fetal, 200-3
- umbigo, 131, 168, 202
- úmero, 70, 72, 73, 74, 82, 83, 84
cabeça, 68, 69, 79
cintilografia, 235
capítulo, 70, 71, 72, 82, 83
colo anatômico, 68
colo cirúrgico, 68
diáfise, cintilografia, 235
veia epicôndilos
fossa do olécrano, 70, 82, 83, 84
sulco intertubercular, 68
tróclea, 70, 72, 82, 83
veia tuberosidades
- unco do corpo
C3, 61
C4, 56
C5, 57
lobo temporal, 44, 51
- ureter, 153, 155, 165, 189
- direito e esquerdo, 123, 131, 132, 196, 197
óstio, 156
- uretra
feminina, 153, 156, 160
masculina, 135, 167, 198, 199
curso da, 199
meato externo, 170
uretra parte esponjosa, 167, 168, 198
uretra parte membranácea, 135, 198
uretra parte prostática, 169, 198
uretra região distal, 199
- urografia
excretora, 196
TC em 3D, 197
- útero, 143, 144, 148, 187, 195, 196
cavidade do, 150, 155, 157, 161, 200, 201
- corno do, 195
- corpo, 156
em ultrassom fetal, 200, 201, 202
- endométrio, 161
- fundo, 150, 157, 161, 195
- ligamento largo, 151, 155, 156, 159, 161
- miometrio, 150, 156, 157, 161
- úvula, 24, 31
- V**
- vagina, 142, 144, 148, 152, 156, 159, 160
fórnice posterior, 151, 156, 161
parede posterior, 155
- valécula (epiglótica), 24, 26, 29, 32, 61
- valva atrioventricular direita (tricúspide), 90, 91, 97, 103, 105, 107, 109
fetal, 203
- valva atrioventricular esquerda (mitral), 90, 91, 97, 103, 104, 105, 106, 109, 111, 113
fetal, 203
- valva da aorta, 90, 91, 96, 100, 104, 105, 106, 108, 113, 117
- valva do tronco pulmonar, 90, 91, 101, 104, 105, 106, 109, 112
- válvula semilunar posterior da valva da aorta, 114
- válvulas venosas, 218
- vasculatura veia vasos sanguíneos; linfáticos
- vaso deferente veia ducto deferente
- vasos veia vasos sanguíneos
- vasos alveolares
arteria alveolar superior posterior, 33
inferior, 49
- vasos circunflexos femorais, 157
arteria circunflexa femoral lateral, 187, 216
arteria circunflexa femoral medial, 218
veia circunflexa femoral lateral, 218
- vasos corioides (não especificados), 45
- vasos do encéfalo, 41
- vasos do pênis (não especificados)
arteriografia, 198
dorsal, 163, 170
- vasos dorsais do pênis, 163, 170
- vasos epigástricos
inferior, 163, 168
superficial, 150
- vasos faringeos, arteria ascendente, 33
- vasos femorais
circunflexos veia vasos circunflexos femorais
comuns, 147, 167, 168
esquerdo, 149
profundos, 153
- vasos femorais profundos, 153
vasos femorais profundos veia artéria femoral; veia femoral; vasos femorais
- vasos glúteos
inferior, 154, 162
superior, 150, 154, 158, 165
- vasos gonadais
femininos, 155
masculinos, 165
- vasos ilíacos
comum
bifurcação, 155
ponto de cruzamento com os ureteres, 197
interna
esquerdo e direito, 143, 150
ramos, 155
- vasos linfáticos ilíacos, eferentes, 204
- vasos linfáticos inguinais, 204, 205
- vasos meníngeos, médios, sulcos para, 3
- vasos obturadores, 135, 150, 152, 163, 187, 188
- vasos occipitais (não especificados), 42
- vasos ovários, 150
- vasos plantares (não especificados), medial e lateral, 231
- vasos radiculares, 63
arteria radicular anterior, 66
- vasos retais
inferior, 163
média, 154
superior, 154
- vasos vesicais, superiores, 157
arteria, 187
- veia anastomótica
anastomótica inferior do cérebro (veia de Trolard), 37
cerebral superficial média (veia de Labbé), 37, 41
- veia anterior do núcleo caudado, 37
- veia axilar, 77, 79, 108
- veia áziga, 94, 96, 108, 116, 124, 143
arco, 92, 116
superior, ponta de cateter introduzida na veia femoral, 116
venografia, 116
- veia basilar, 37, 45, 51
- veia basilica, 76, 78, 83, 84, 85, 86
- veia basivertebral, 62, 63, 65
- veia braquiocefálica, 77
direita, 33, 93, 97, 102, 109
esquerda, 92, 96, 100, 108, 138, 149
sitio de entrada, 77
- veia cava
inferior, 62, 90, 91, 94, 96, 100, 104, 105, 106, 108, 124, 126, 128, 130, 138, 140, 146, 148, 189, 190
visões em outros planos, 62, 90, 91, 174, 176
superior, 33, 77, 90, 93, 97, 102, 105, 107, 109, 115, 138, 140, 146, 148
ponta de cateter introduzida via veia femoral, 116
- veia céfala, 77, 78, 82, 83, 84, 85, 86
- veia cerebelar pré-central, 38
- veia cerebral magna, 37, 39, 40, 41, 45, 46, 47, 51
cisterna da veia cisterna ambiens
- veia cerebral superficial média, 37, 41
- veia colateral
anterior, 23
medial, 23
- veia cólica, esquerda, 186
- veia comunicante, superficial (em órbita), 23
- veia coroidea, superior, 39
- veia da tonsila, 39
- veia digital palmar, 78
comum, 78
- veia do joelho, superior lateral, 226
- veia do verme
inferior, 38
superior, 39
- veia esplênica, 127, 138, 142, 148, 185, 191
projeções não transversais, 175, 177
- veia femoral, 134, 139, 218, 219, 221
circunflexa femoral lateral, 218
comum, 151, 152, 157, 161, 162
ponta de cateter introduzida via na veia cava superior e veia áziga, 116
na veia femoral esquerda, 189
na veia ilíaca interna esquerda, 188
profunda (veia profunda do fêmur), 164
superficial, 153, 164
tributária muscular, 218
- veia femoral profunda, 164
- veia frênica, inferior, 194
- veia hemiázigas, 94, 96, 108
acessória, 116
- veia hemisférica
inferior, 39
superior, 39
- veia ileocólica, 191
- veia ilíaca
comum, 169, 189, 190
cateter em, 66
direita, 131, 132, 141, 147
esquerda, 131, 132, 141, 160
- externa, 134, 139, 150, 167, 190
direita, 132, 147
esquerda, 132, 188
ponta de cateter introduzida via veia femoral esquerda, 188
interna, 159, 190
direita, 132
divisão anterior, 188
esquerda, 132
- veia iliolombar, 190
- veia intermédia do cotovelo, 77
- veia jejunal, 191
- veia jugular
anterior, 26
externa, 24, 26
interna, 24, 26, 29, 33, 36, 37, 38, 39, 41, 42, 50, 62
direita, 146
- veia lingual, 33
- veia marginal
lateral, 217
medial, 217
- veia mesencefálica
lateral, 39
posterior, 39
- veia mesentérica
inferior, 186
superior, 127, 138, 148
visões em outros planos, 175, 177
- veia oftalmica
inferior, 23
superior, 20, 23, 44
- veia perfurante, 216
- veia petrosa, 39
- veia pontomesencefálica, anterior, 39
- veia poplitea, 222, 228
- veia porta, 127, 138, 140, 147, 191
ramo, 174, 176
direito, 191
esquerdo, 191
- visões em outros planos, 174, 175, 177
- veia principal do polegar, 78
- veia pulmonar
direita, 115
inferior, 95, 97, 103, 105, 107, 109
superior, 97, 102, 105, 107, 109, 111

- esquerda, 115
 inferior, 96, 103, 108, 111
 superior, 92, 96, 101, 108, 111
 fetal, 203
- veia radial do indicador, 78
- veia renal
 direita, 127, 129
 visões em outros planos, 175
 esquerda, 140
 visões em outros planos, 175, 177, 194
- veia retal, superior, 186
- veia retrormandibular, 24, 32, 42, 49
- veia safena
 magna, 153, 162, 164, 168, 217, 218, 221, 224, 228, 229, 230, 232
 parva, 217, 228, 230, 233
- veia sínfôideia, 186
- veia subclávia, 77
 direita, 33
 esquerda, 103
- veia supraorbitária, 23
- veia suprarrenal, esquerda, 194
 ponta de cateter na, 194
- veia tâlamo estriada, 37
- veia testicular
 direita, 189
 esquerda, 129, 131
 ponta de cateter introduzida via veia femoral esquerda, 189
- veia tibial
 anterior, 218
 posterior, 218, 230, 233
- veia tireóidea
 inferior, 33
- média, ponta de cateter na, 33
 superior, 33
- veia torácica, interna, 120
- veia umbilical, 203
- veias veja vasos sanguíneos, veias específicas e entradas em venoso
- veias angulares, 23
- veias capsulares, 194
 direita, 189
- veias cavais veia veia cava
- veias cerebrais
 magna, 37, 39, 41, 45, 46, 47, 51
 superficial, 37, 41
- veias corticais, 45, 46
 superficial, 37
- veias diploicas, 47
- veias frontais, 21
- veias gástricas
 curta, 185
 esquerda, 185
 ramos esofágicos, 185
- veias glúteas
 inferior, 134, 188
 superior, 133, 188
- veias hepáticas, 140, 142, 147, 148, 190
 ramo, 174, 176
 direito, 127, 175, 177
 esquerdo, 175, 177
 intermédia, 126, 175, 177
- veias intercostais, 116
 superior direita, 109
- veias intravertebrais, 66
- veias lombares, 130, 132
 ascendentes, 66, 190
- veias sacrais, laterais, 66
- veias uterinas, 144
- venografia
 ázigo, 116
 hepática, por subtração, 192
- lombar, 66
- membro inferior, 218
 pé, 217
- membro superior, 77
- orbital, 23
- pélvico, feminino, 188
- pESCOço, 33
- suprarrenal, 194
- testicular, 189
- ventrículos (coração)
 direito, 90, 91, 102, 107, 112, 115, 136, 138, 149
 cavidade, 97, 102, 105, 107, 109, 237
 cone arterial, 91
 exame de PET/TC, 239
 fetal, 203
 trabéculas, 112
 trato de fluxo de saída (fluxo de saída pulmonar; cone arterial), 105, 107, 112, 115, 136, 149
- esquerdo, 90, 101, 113, 115, 117, 136, 138, 140, 237
 ápice, 113, 237, 239
 cavidade, 97, 101, 104, 105, 106, 108, 113, 237, 239
- fetal, 203
- margem, 90
- suprimento coronário, 113
- trato de fluxo de saída, 113
- exame de PET/TC, 239
- septo veja septo interventricular
- ventrículos (encéfalo)
 abertura mediana do quarto ventrículo, 42, 51
 lateral, 46, 47, 52, 53
 corno frontal, 45, 48
 corno occipital, 45
 corno temporal, 44, 49
 corpo, 45, 46, 49
 quarto, 16, 43, 46, 47, 51, 53
 abertura lateral do quarto ventrículo, 17, 43
 recesso superior, 21
 terceiro, 45, 46, 47, 52, 53
 trigono colateral do, 45, 51
- verme veja cerebelo
- vesícula biliar, 124, 126, 136, 138, 146
- colo, 182
- fundo, 174, 176
- visões em outros planos, 174, 176, 182
- visão das quatro câmaras do coração do feto, 203
- visões em outros planos, 172, 180, 181
- vômer, 8, 13, 31
- Z**
- zigomático, 11, 12, 31
 parede lateral da órbita, 11
- processo temporal, 6
- processo frontal, 3, 6
- arco, 3, 4, 5, 6, 8, 9, 11, 14, 31, 43
- zona de transição da próstata, 199
- zona orbicular, 220